

**Κ. ΚΑΡΟΥΜΠΑΛΟΥ**  
ΤΑΚΤ. ΚΑΘΗΓΗΤΟΥ  
ΠΑΝΕΠΙΣΤΗΜΙΟΥ ΑΘΗΝΩΝ

**Κ. ΒΑΛΕΟΝΤΗ**  
ΦΥΣΙΚΟΥ  
ΡΑΔΙΟΗΛΕΚΤΡΟΛΟΓΟΥ

εφαρμοσμενος  
**ηλεκτρομαγνητισμος**




**Κ. ΚΑΡΟΥΜΠΑΛΟΥ**  
ΤΑΚΤ. ΚΑΘΗΓΗΤΟΥ  
ΠΑΝΕΠΙΣΤΗΜΙΟΥ ΑΘΗΝΩΝ

**Κ. ΒΑΛΕΟΝΤΗ**  
ΦΥΣΙΚΟΥ  
ΡΑΔΙΟΗΛΕΚΤΡΟΛΟΓΟΥ

**εφαρμοσμενος**  
**ηλεκτρομαγνητισμος**

Κάθε γνήσιο αντίτυπο υπογράφεται από ένα εκ των  
συγγραφέων.

A handwritten signature in black ink, consisting of several overlapping loops and a long, sweeping horizontal stroke extending to the right.

## ΠΡΟΛΟΓΟΣ

Τό βιβλίο αυτό περιέχει τίς παραδόσεις πού ἔκανε ὁ καθηγητής κ. Κ. Καρούμπalos τό 1975-76 στό Α' ἔτος τῶν Μεταπτυχιακῶν "Ενδεικτικῶν 'Ηλεκτρονικῆς" τοῦ Πανεπιστημίου 'Αθηνῶν, στό μάθημα τοῦ 'Ηλεκτρομαγνητισμοῦ.

Τό ἀρχικό κείμενο βελτιώθηκε καί συμπληρώθηκε σέ συνεργασία μέ τόν Ραδιοηλεκτρολόγο Φυσικό κ. Κ. Βαλεοντῆ, ὁ ὁποῖος συνέταξε καί τό μέρος τῶν προβλημάτων.

Σκοπός μας ἦταν νά δώσουμε ἕνα αυτόνομο, συνεπτυγμένο κείμενο, πού ν' ἀναδείχνει, κατά τρόπο ἐπαγωγικό, ἐκεῖνα κυρίως τά θέματα ἀπό τό μεγάλο καί ὠραῖο κεφάλαιο τοῦ 'Ηλεκτρομαγνητισμοῦ, πού συναντᾶ συχνά ὁ ἐφαρμοσμένος φυσικός καί ὁ ἐπιστήμονας τηλεπικοινωνιακός μηχανικός.

Πρόθεσή μας ἦταν νά καλύψουμε, ἔτσι, ἕνα κενό πού ὑπάρχει, κατά τή γνῶμη μας, στήν περιοχή αὐτή τῆς ἐλληνικῆς βιβλιογραφίας.

Ἐπιδιώκαμε, ὅμως, ἡ διαπραγμάτευση τῶν κλασικῶν αὐτῶν ἐφαρμογῶν τοῦ 'Ηλεκτρομαγνητισμοῦ, διατηρώντας τήν ἀναγνωρισμένη ἐπιστημονική καί μεθοδολογική της ἀξία, νά παραμένει προσιτή στόν ἀναγνώστη χωρίς τήν ἀνάγκη ἀναδρομῶν σέ ἐκτενέστερα, αὐστηρότερα, ἀλλά κάποτε δύσβατα συγγράμματα. Ἄν πραγματικά πετύχαμε στήν ἐπιθυμία μας αὐτή, τότε τό βιβλίο θά εἶναι χρήσιμο, ἐκτός ἀπό τόν μεταπτυχιακό, καί στόν ἀπαιτητικό προπτυχιακό σπουδαστή.

Τό βιβλίο περιέχει βασικά ἑπτά κεφάλαια καί 108 προβλήματα.

Τό πρῶτο κεφάλαιο περιλαμβάνει μιά μεθοδική ἀνάπτυξη τῶν ἀπαραίτητων μαθηματικῶν γνῶσεων, καί ἔχει κύριο σκοπό ν' ἀπελευθερώσει τόν ἀναγνώστη ἀπό ἕνα εἰδικό σύστημα συντεταγμένων καί νά τόν ἐξοικειώσει μέ τίς ἐκφράσεις καί τή χρήση τῶν τελεστῶν τῆς διανυσματικῆς ἀνάλυσης.

Ἀπό τά ὑπόλοιπα ἑξί κεφάλαια, τά τρία πρῶτα, δηλ. τά 2, 3 καί 4, συνιστοῦν οὐσιαστικά ἕνα πρῶτο μέρος, ὅπου δίνονται οἱ βασικές θεωρητικές γνῶσεις κατά τρόπο προσανατολισμένο στό ἀντικείμενο τοῦ βιβλίου. Ἔτσι:

Στό κεφάλαιο 2 δίνονται οἱ ἐξισώσεις τοῦ Maxwell καί οἱ σχετικοί φυσικοί νόμοι, τούς ὁποίους ἐκφράζουν. Δίνεται ἀκόμα ἡ ἐξίσωση τῆς συνέχειας, καί γίνεται ἀπλούστευση τῶν ἐξισώσεων γιά τήν περίπτωση ἀρμονικῶν πεδίων καί πηγῶν.

Στό κεφάλαιο 3 όρίζονται τά δυναμικά (μονόμετρο  $\Phi$  καί διανυσματικό  $\vec{A}$ ) καί διατυπώνεται, μέ τή βοήθεια τών θεμελιωδών έξισώσεων, ή διαφορική έξίσωση τοῦ κύματος, εἴτε μέ τή βοήθεια τών δυναμικῶν εἴτε μέ τή βοήθεια τών πεδίων· συνδέονται, ἔτσι τά πεδία μέ τίς πηγές τους (φορτία χώρου  $\rho$  καί ρεύματα  $\vec{J}$ ).

Μιά πρώτη λύση τών "όμογενῶν" έξισώσεων (χωρίς πηγές διέγερσης) καί ή διερεύνησή της γιά ἐπίπεδο μονοχρωματικό κύμα, δίνει τήν εὐκαιρία ν' ἀναδειχτεῖ ή σημασία τών διάφορων παραμέτρων τοῦ μέσου διάδοσης καί νά γίνει ή σύνδεσή τους μέ τά χαρακτηριστικά τοῦ κύματος. Στή συνέχεια, δείχνεται πῶς ή ἀρχή τῆς διατήρησης τῆς ἐνέργειας ὁδηγεῖ στό θεώρημα τοῦ Poynting, όρίζεται τό διάνυσμα Poynting  $\vec{P}$  καί γίνεται ή μαθηματική καί φυσική του διερεύνηση γιά τυπικές περιπτώσεις. Ἀκολουθεῖ ή μελέτη τών μή όμογενῶν έξισώσεων, ή ἐπίλυση γιά τήν περίπτωση ἀρμονικῶν πηγῶν διέγερσης καί ή διατύπωση τών "καθυστερημένων δυναμικῶν". Τέλος, τό κεφάλαιο αὐτό κλείνει μέ τήν τόσο βασική μελέτη τῆς ἀκτινοβολίας στοιχειώδους ἡλεκτρικοῦ καί στοιχειώδους μαγνητικοῦ διπόλου, μελέτη πού γίνεται ὅσο τό δυνατό πληρέστερα γιά ἀρμονικό ρεύμα διέγερσης.

Τό σύντομο κεφάλαιο 4 εἶναι ἀφιερωμένο στό σημαντικό γιά τίς ἐφαρμογές θέμα τών συνθηκῶν στά ὅρια. Μετά τή γενική μελέτη, ἀντιμετωπίζονται οἱ ἀκραῖες, εἰδικές περιπτώσεις (τελείως ἀγώγιμων καί τελείως μονωτικῶν μέσων), καί συνοφίζονται τά σχετικά συμπεράσματα.

Τά τρία κεφάλαια 5, 6 καί 7 συνιστοῦν οὐσιαστικά τό δεύτερο μέρος τοῦ βιβλίου. Στό μέρος αὐτό γίνεται ἐφαρμογή τών ἀρχῶν τοῦ ἡλεκτρομαγνητισμοῦ στούς κυματοδηγούς καί τά ἀντηχεῖα, στή διάδοση μέσα ἀπό ἰονισμένα μέσα καί τέλος στή μελέτη τῆς πόλωσης τοῦ ἡλεκτρομαγνητικοῦ κύματος καί τών ἀρίστων συνθηκῶν ζεύξης τοῦ κύματος μέ κεραία γνωστῶν χαρακτηριστικῶν πόλωσης. Εἰδικότερα:

Στό κεφάλαιο 5, μετά ἀπό μιὰ γενική παρουσίαση τοῦ θέματος τῆς κυματοδηγησης καί τήν ταξινομήση τών διάφορων "κυματικῶν τύπων" (modes) πού μπορεῖ ν' ἀκολουθήσουν τά "τρέχοντα" κύματα μέσα στόν κυματοδηγό, γίνεται λεπτομερέστερη μελέτη τόσο τοῦ ὀρθογώνιου ὅσο καί τοῦ κυκλικοῦ κυλινδρικοῦ κυματοδηγοῦ. Καί στίς δύο περιπτώσεις ή μελέτη ἐξειδικεύεται τελικά στή διερεύνηση ἀφενός τοῦ "ἐγκάρσιου κυματικοῦ τύπου" TE καί ἀφετέρου τοῦ "ἐγκάρσιου μαγνητικοῦ τύπου" TM.

Εἶναι γνωστό πῶς τό ἐνδιαφέρον τῆς μελέτης τών κυλινδρικῶν κυματοδηγῶν ἀνανεώθηκε θεαματικά τά τελευταῖα χρόνια ἐξαιτίας τοῦ ὅτι γίνεται ὅλο καί πλεονεκτήματα εὐρύτερη χρήση τών κυματοδηγῶν φωτός (optical fibers).

Παρόλο πού δέν ἔγινε δυνατό, στήν πρώτη αὐτή ἐκδόση, νά συμπεριληφθεῖ ή μελέτη τέτοιων ὀπτικῶν κυματοδηγῶν, δόθηκε ἰδιαίτερη ἐμφαση στή θεωρητική μελέτη τών κυκλικῶν κυλινδρικῶν κυματοδηγῶν. Στό θέμα αὐτό ἀφιερώθηκε καί ἓνα "παράρτημα".

Ἡ φυσιολογική συμπλήρωση τοῦ κεφαλαίου 5 γίνεται μέ τή μελέτη ἡλεκτρομαγνητικῶν ἀντηχεῖων. Περιοριστήκαμε στή μελέτη τών "στάσιμων κυματικῶν τύπων" σέ δύο μόνο μορφές ἀντηχεῖων: τό ὀρθογώνιο καί τό κυλινδρικό. Ἡ μελέτη, ὅμως, ἔγινε μέ τρόπο πού ἐπιτρέπει τή γενί-

κευση καί στο τέλος τοῦ κεφαλαίου ὑποδείχνεται τό ἐνδιαφέρον ἄλλων πρακτικῶν μορφῶν ἀντηχείων γιά τίς μικροκυματικές διατάξεις καθώς καί ὁ τρόπος σύζευξής τους μέ "γραμμή μεταφοῶς" γιά τή διέγερση ἢ τήν ἀπαγωγή ἐνέργειας.

Στό κεφάλαιο 6 ἐπιχειρεῖται ἡ ἀπλοποιημένη μελέτη ἐνός δύσκολου θέματος: τῆς διάδοσης ΗΜ κύματος μέσα ἀπό ἰονισμένο μέσο παρουσία μαγνητικοῦ πεδίου (ψυχρό μαγνητόπλασμα). Ἀποδείχνεται, ἀρχικά, ὅτι ἡ εὐκίνησις καί ἐπομένως καί ἡ εἰδική ἀγωγιμότητα σ στο μέσο αὐτό εἶναι τανυστικά μεγέθη. Ἀπό τίς ἐξισώσεις τοῦ Maxwell προκύπτει ὅτι τό ἴδιο ἰσχύει καί γιά τήν "ἐνεργό διηλεκτρική σταθερά"  $\epsilon$  καί ἐπομένως καί γιά τό δείκτη διάθλασης  $n$  τοῦ ὑλικοῦ δηλ. τό ὑλικό εἶναι ἀνισότροπο.

Ἀπό τή διερεύνηση τῶν τανυστῶν  $\sigma$  καί  $\epsilon$  γιά διάφορες τιμές τῆς συχνότητος  $\omega$  τοῦ κύματος καί τοῦ μαγνητικοῦ πεδίου  $B$ , προκύπτουν πολύ χρήσιμα συμπεράσματα γιά τίς συνθήκες πού εὐνοοῦν τήν ἐκδήλωση γνωστῶν φαινομένων μεγάλου ἐνδιαφέροντος (φαινόμενο Hall, γυρομαγνητικός συντονισμός, μαγνητοαντίσταση, ἀποκοπή πλάσματος). Παράλληλα, ἡ διατύπωση τῆς ἐξίσωσης διασποῶς (dispersion relation) καί ἡ διερεύνηση τῆς σταθερᾶς διάδοσης ἐνός ἐπίπεδου μονοχρωματικοῦ κύματος ( $\omega, k$ ), ὁδηγεῖ σέ κλασικά ἀποτελέσματα γιά τήν δυνατότητα διάδοσης ΗΜ-κύματος κατὰ τίς διαφορές, ἀναφορικά μέ τό  $B$ , διευθύνσεις (κυρίως τή "διαμήκη" καί τήν "ἐγκάρσια"). Προκύπτουν, ἔτσι, οἱ δυνατότες μορφές διάδοσης τοῦ κύματος ("τακτική" καί "ἐκτακτη" ἀκτίνα). Εἶναι φανερό ὅτι ἡ ὅλη διαπραγμάτευση ἔχει ἄμεση ἐφαρμογή στή συμπεριφορὰ τῆς ἰονόσφαιρας κατὰ τήν πρόσπτωση ΗΜ κύματος, ἀλλά καί μεγάλο ἐνδιαφέρον γιά τή μελέτη τῆς στροφῆς τοῦ ἐπίπεδου πόλωσης τοῦ κύματος πού περνᾷ μέσα ἀπ' αὐτήν, φαινομένου γνωστοῦ σάν στροφή Faraday. Ἡ μελέτη ἀκριβῶς τῆς στροφῆς Faraday γίνεται, σέ ἀρκετή ἔκταση, στό τέλος τοῦ κεφαλαίου αὐτοῦ.

Τό 7ο, τελευταῖο κεφάλαιο, εἶναι ἀφιερωμένο στή μελέτη τῆς πόλωσης τοῦ ἠλεκτρομαγνητικοῦ κύματος, ὅπου χρησιμοποιήσαμε βασικά τήν πολύ εὐληπτή μεθοδολογία πού ἀκολουθεῖ ὁ Kraus. Ἀφοῦ εἰσαχθεῖ ἡ ἐννοια τῆς πόλωσης καί ὀριστοῦν οἱ "γεωμετρικές" τῆς παράμετροι, γίνεται μιᾶ ἀρχική μελέτη τῆς "ὀλικῆς" ἐλλειπτικῆς πόλωσης, θεωρημένης σάν ἐπαλληλίας εἴτε δύο γραμμικά πολωμένων κυμάτων εἴτε δύο κυκλικά πολωμένων κυμάτων.

Δείχνεται ὅτι ἀρκεῖ ἓνα σημεῖο ἐπάνω στήν ἐπιφάνεια τῆς "σφαίρας τοῦ Poincaré" γιά νά περιγραφεῖ τέλεια τό εἶδος τῆς ὀλικῆς πόλωσης, σ' ὁποιαδήποτε περίπτωση.

Ἐξετάζεται ὕστερα τό "μερικό πολωμένο κύμα" καί ὀρίζονται οἱ τέσσερις παράμετροι τοῦ Stokes ἢ ὅπως λέμε, τό διάνυσμα Stokes  $\vec{S}$ , πού καθορίζει μονοσήμαντα τό πολωμένο κύμα. Τονίζεται ἰδιαίτερα ἡ σημαντική "γραμμική" ιδιότητα, σύμφωνα μέ τήν ὁποία ὅταν ἔχουμε ἐπαλληλῶς πολλῶν, ἀνεξάρτητων μεταξύ τους, πολωμένων κυμάτων, τό τελικό κύμα πού προκύπτει, ἔχει διάνυσμα Stokes ἴσο μέ τό ἄθροισμα τῶν διανυσμάτων Stokes τῶν ἐπιμέρους κυμάτων.

Στή συνέχεια, γίνεται ἡ περιγραφή τῶν χαρακτηριστικῶν πόλωσης



μιάς κεραίας, με τη βοήθεια ενός διανύσματος (ή μήτρας-στήλης) ανάλογου με το διάνυσμα  $\vec{S}$ , και δείχνεται ότι η ισχύς που παίρνει τελικά μία κεραία λήψης, από ένα πολωμένο κύμα, είναι το έσωτερικό γινόμενο των παραστατικών διανυσμάτων της κεραίας και του κύματος. Προκύπτει έτσι άμεσα οι συνθήκες προσαρμογής (ή άριστης σύζευξης) μεταξύ κεραίας και κύματος.

Στο τέλος του κεφαλαίου γίνεται γενίκευση προς την οπτική με τον όρισμό (από τις παραμέτρους Stokes) της "μήτρας συνεκτικότητας" (coherency matrix) και το κεφάλαιο κλείνει με τη μελέτη του μετασχηματισμού, που θα υποστεί το διάνυσμα  $\vec{S}$  ενός κύματος, κατά τη διέλευσή του μέσα από ένα "γραμμικό υλικό (ή διάταξη), του οποίου η "συνάρτηση μεταφοράς" δίνεται από μία "μήτρα Mueller".

Μετά το θεωρητικό μέρος, έχουν παρατεθεί 108 προβλήματα, σε σειρά που αντιστοιχεί στα επτά θεωρητικά κεφάλαια. Τα προβλήματα διαλέχθηκαν έτσι, ώστε όχι μόνο να βοηθήσουν τον αναγνώστη να πάρει μία καλή γεύση εφαρμογών, αλλά και να εμπεδώσουν το θεωρητικό μέρος, και να το συμπληρώσουν σε πολλά σημεία. Τα προβλήματα είναι είτε τελείως λυμένα είτε συνοδεύονται από τις απαντήσεις τους.

Δυό λόγια για τις Μονάδες: Τόσο στη θεωρία όσο και στα προβλήματα, ακολουθήσαμε το Διεθνές Σύστημα Μονάδων SI (Système International), στο οποίο άλλωστε τείνει να συμμορφωθεί, σε διεθνή κλίμακα, κάθε νέα επιστημονική έκδοση.

Ο πρώτος από μας θα ήθελε να ευχαριστήσει θερμά το Ραδιοηλεκτρολόγο Φυσικό Σωτήρη Καρρά για την πρακτική δουλειά που έκανε σαν σπουδαστής του Μεταπτυχιακού Ένδεικτικού, καθαρογράφοντας τις σημειώσεις σε μία πρώτη φάση.

ΑΘΗΝΑ, 'Απρίλης 1979

Κ.ΚΑΡΟΥΜΠΑΛΟΣ Κ.ΒΑΛΕΟΝΤΗΣ

# ΠΕΡΙΕΧΟΜΕΝΑ

	Σελίδα
ΠΡΟΛΟΓΟΣ.....	III
ΚΕΦΑΛΑΙΟ 1: ΑΠΑΡΑΙΤΗΤΕΣ ΜΑΘΗΜΑΤΙΚΕΣ ΓΝΩΣΕΙΣ.....	1
1.1. 'Ορθογώνια Συστήματα Συντεταγμένων.....	1
1.2. Διανυσματικοί Τελεστές.....	4
1.3. Θεωρήματα Gauss και Stokes.....	7
1.4. 'Ο Διανυσματικός Τελεστής "Ανάδελτα".....	7
1.5. Φυσική σημασία των $\text{grad}$ , $\text{div}$ , $\text{rot}$ και $\nabla^2$ .....	9
1.5.1. Βαθμίδα ( $\text{grad}$ ).....	9
1.5.2. 'Απόκλιση ( $\text{div}$ ).....	11
1.5.3. Στροβιλισμός ( $\text{rot}$ ).....	13
1.5.4. Λαπλασιανή ( $\nabla^2$ ).....	15
1.6. Μερικές 'Ιδιότητες και 'Εχόλια.....	15
1.7. Πότε γνωρίζουμε τέλεια ένα πεδίο.....	19
1.8. Χρονική περιγραφή - Μιγαδικές εκφράσεις των 'Αρμονικῶν Πεδίων.....	19
ΚΕΦΑΛΑΙΟ 2: ΟΙ ΕΞΙΣΩΣΕΙΣ ΤΟΥ MAXWELL.....	22
2.1. Κλασικοί φυσικοί νόμοι που ὀδήγησαν στις ἐξισώσεις τοῦ Maxwell.....	22
2.1.1. Νόμος τοῦ Ampère.....	22
2.1.2. Νόμος τοῦ Faraday.....	22
2.1.3. Νόμος τοῦ Gauss γιὰ τὴν ἠλεκτρικὴ διέγερση $\vec{D}$ .....	23
2.1.4. Νόμος τοῦ Gauss γιὰ τὸ μαγνητικὸ πεδίο $\vec{B}$ .....	23
2.1.5. Νόμος τοῦ Ohm.....	23
2.2. Οἱ ἐξισώσεις τοῦ Maxwell.....	24
2.2.1. Πρῶτη ἐξίσωση τοῦ Maxwell.....	24
2.2.2. Δεύτερη ἐξίσωση τοῦ Maxwell.....	25
2.2.3. Τρίτη ἐξίσωση τοῦ Maxwell.....	26
2.2.4. Τέταρτη ἐξίσωση τοῦ Maxwell.....	27
2.3. 'Η ἐξίσωση τῆς συνέχειας.....	27
2.4. Οἱ ἐξισώσεις τοῦ Maxwell ὅταν τὰ πεδία εἶναι ἄρμονικά.....	30
ΚΕΦΑΛΑΙΟ 3: ΤΟ ΜΟΝΟΜΕΤΡΟ ΚΑΙ ΤΟ ΔΙΑΝΥΣΜΑΤΙΚΟ ΔΥΝΑΜΙΚΟ - ΕΞΙΣΩΣΕΙΣ ΠΕΔΙΟΥ.....	31
3.1. 'Ορισμοί.....	31
3.2. 'Εξισώσεις πεδίου διατυπωμένες μὲ τὰ δυναμικά.....	32
3.3. 'Εξισώσεις τῶν πεδίων $\vec{E}$ καὶ $\vec{B}$ .....	36
3.4. 'Εξισώσεις τῶν δυναμικῶν $\vec{A}$ καὶ $\Phi$ καὶ τῶν πεδίων $\vec{E}$ καὶ $\vec{B}$ ὅταν αὐτὰ εἶναι ἄρμονικά.....	38
3.5. 'Εφαρμογὴ στὴ διάδοση ἐπίπεδου μονοχρωματικοῦ κύματος..	39
3.5.1. Σέ μέσο χωρὶς ἀπώλειες ( $\sigma = 0$ , ἢ $\sigma \ll \omega\epsilon$ ).....	41
3.5.2. Σέ μέσο μὲ μεγάλη ἀγωγιμότητα ( $\sigma \gg \omega\epsilon$ ).....	41
3.6. Γενίκευση τῆς λύσης ἐπίπεδου κύματος.....	44
3.7. Διατήρηση τῆς 'Ενέργειας-Θεώρημα τοῦ Poynting.....	47
3.7.1. Γενικὴ περίπτωση.....	47
3.7.2. Περίπτωση 'Αρμονικῶν Πηγῶν καὶ Πεδίων.....	51
3.7.3. Μιγαδικὴ 'Ισχύς-Μιγαδικὸ διάνυσμα Poynting....	54



3.8.	Λύση τῶν μὴ Ὁμογενῶν Ἐξισώσεων.....	55
3.8.1.	Στατικά Δυναμικά.....	55
3.8.2.	Χρονικά μεταβαλλόμενα Δυναμικά-Καθυστερημένα Δυναμικά.....	58
3.9.	Ἀκτινοβολία Στοιχειώδους Ἡλεκτρικοῦ Διπόλου.....	60
3.10.	Ἀκτινοβολία Στοιχειώδους Μαγνητικοῦ Διπόλου.....	68
ΚΕΦΑΛΑΙΟ 4:	ΟΡΙΑΚΕΣ ΣΥΝΘΗΚΕΣ.....	75
4.1.	Κάθετες συνιστώσες τῶν $\vec{D}$ , $\vec{E}$ , $\vec{H}$ καὶ $\vec{B}$ .....	75
4.2.	Ἐφαπτομενικές συνιστώσες τῶν $\vec{H}$ , $\vec{B}$ , $\vec{E}$ καὶ $\vec{D}$ .....	77
4.3.	Εἰδικές περιπτώσεις.....	81
4.3.1.	Ὁριακές συνθήκες στὴν Ἐπιφάνεια μεταξύ δύο καλῶν διηλεκτρικῶν.....	81
4.3.2.	Ὁριακές συνθήκες στὴν ἐπιφάνεια τέλειων Ἀγωγῶν.....	81
4.4.	Συνοπτικός Πίνακας ὁριακῶν συνθηκῶν.....	83
ΚΕΦΑΛΑΙΟ 5:	ΘΕΩΡΙΑ ΤΩΝ ΚΥΜΑΤΟΔΗΓΩΝ.....	84
5.1.	Εἰσαγωγή.....	84
5.2.	Μελέτη Ὁρθογώνιου Κυματοδηγοῦ.....	87
5.2.1.	Ἐγκάρσιος Ἡλεκτρικός Κυματικός Τύπος (TE).....	91
5.2.2.	Ἐγκάρσιος Μαγνητικός Κυματικός Τύπος (TM).....	101
5.2.3.	Μερικά Πρακτικά Συμπεράσματα.....	102
5.2.4.	Ἐξασθένιση τοῦ κύματος κατὰ τὴ διάδοση μέσα σὲ ὀρθογώνιο κυματοδηγό (βασικές σχέσεις).....	106
5.3.	Μελέτη Κυκλικοῦ κυλινδρικοῦ κυματοδηγοῦ.....	108
5.3.1.	Κυματικός τύπος TM.....	111
5.3.2.	Κυματικός τύπος TE.....	113
5.3.3.	Ἐξασθένιση τοῦ κύματος κατὰ τὴ διάδοση μέσα ἀπὸ κυκλικό κυλινδρικό κυματοδηγό.....	114
5.4.	Τρόποι διέγερσης καὶ λήψης τοῦ σήματος στοὺς κυματοδηγούς.....	118
5.5.	Ἡλεκτρομαγνητικά Ἀντηχεῖα.....	119
5.5.1.	Τὸ ὀρθογώνιο Ἡλεκτρομαγνητικό Ἀντηχεῖο.....	119
5.5.2.	Τὸ κυκλικό Ἡλεκτρομαγνητικό Ἀντηχεῖο.....	121
5.5.3.	Σύζευξη Ἀντηχεῖου μέ Γραμμὴ Μεταφορᾶς.....	130
ΚΕΦΑΛΑΙΟ 6:	ΔΙΑΔΟΣΗ ΜΕΣΑ ΣΕ ΙΟΝΙΣΜΕΝΟ ΜΕΣΟ.....	131
6.1.	Τανυστές τῆς εὐκίνησias καὶ τῆς εἰδικῆς ἀγωγιμότητας τοῦ ἰονισμένου μέσου παρουσία Μαγνητικοῦ Πεδίου.....	132
6.2.	Ὁ τανυστὴς τῆς διηλεκτρικῆς σταθερᾶς.....	139
6.3.	Σταθερά τῆς διάδοσης καὶ δείκτης διάθλασης.....	173
6.4.	Στροφή Faraday.....	150
ΚΕΦΑΛΑΙΟ 7:	ΠΟΛΩΣΗ ΤΟΥ ΗΛΕΚΤΡΟΜΑΓΝΗΤΙΚΟΥ ΚΥΜΑΤΟΣ.....	155
7.1.	Ὀλικά πολωμένο κύμα.....	155
7.2.	Ἡ σφαῖρα τοῦ Poincaré.....	158
7.3.	Ἀπόκριση κεραίας σὲ ὀλικά πολωμένο κύμα.....	160
7.4.	Μερικά πολωμένο κύμα. Παράμετροι Stokes.....	162
7.4.1.	Παράμετροι Stokes γιὰ ὀλικά πολωμένο κύμα.....	163
7.4.2.	Παράμετροι Stokes γιὰ μερικά πολωμένο καὶ γιὰ τελείως ἀπόλωτο κύμα.....	167
7.5.	Παραστατική μήτρα πόλωσης μιᾶς κεραίας-Ἀπόκριση κεραίας σὲ μερικά ἢ ὀλικά πολωμένο κύμα.....	173
7.6.	Γενίκευση τῆς περιγραφῆς μέ μῆτρες-Μήτρα συνεκτικότητας.....	176
7.7.	Μετασχηματισμός τοῦ διανύσματος Stokes ἐνός κύματος κατὰ τὴ διέλευσή του μέσα ἀπὸ γραμμικὴ διάταξη-Μῆτρες Mueller.....	179
ΠΑΡΑΡΤΗΜΑ.....		183
ΠΡΟΒΛΗΜΑΤΑ.....		193
ΒΙΒΛΙΟΓΡΑΦΙΑ.....		313

# 1. ΑΠΑΡΑΙΤΗΤΕΣ ΜΑΘΗΜΑΤΙΚΕΣ ΓΝΩΣΕΙΣ ΓΙΑ ΤΗ ΜΕΛΕΤΗ ΤΟΥ ΗΛΕΚΤΡΟΜΑΓΝΗΤΙΚΟΥ ΠΕΔΙΟΥ.

## 1.1. Όρθογώνια Συστήματα Συντεταγμένων.

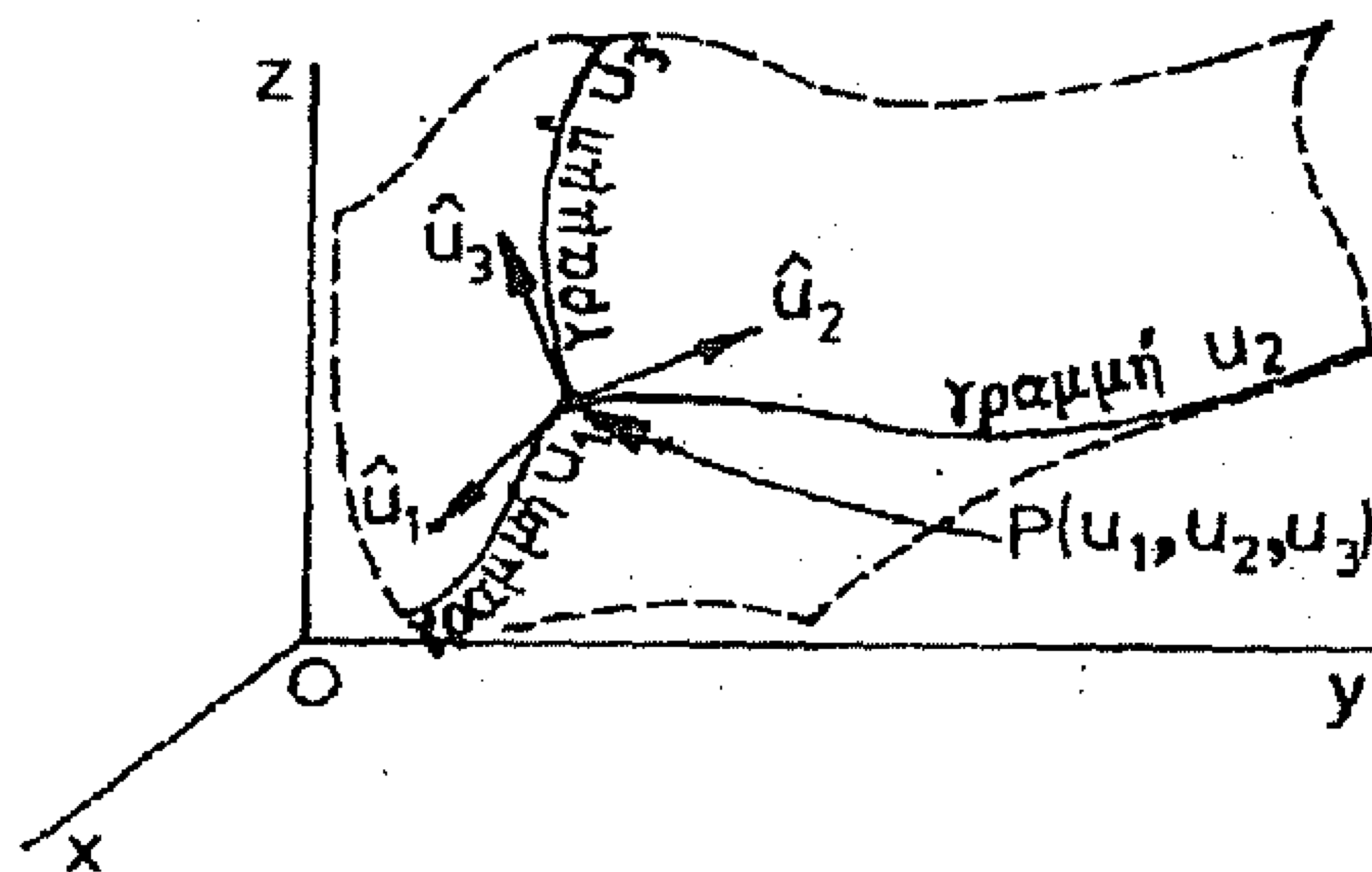
Κάθε σημείο  $P$  μπορεί να οριστεί από την τομή τριών επιφανειών:

$$f_1(x,y,z) = u_1 = \text{σταθερά}$$

$$f_2(x,y,z) = u_2 = \text{σταθερά}$$

$$f_3(x,y,z) = u_3 = \text{σταθερά}$$

Οι επιφάνειες αυτές ονομάζονται συντεταγμένες επιφάνειες και οι τομές τους ανά δύο συντεταγμένες γραμμές. "Αν μάλιστα οι γραμμές αυτές τέμνονται κάθε-



Σχ. 1-1. Σύστημα καυκυλόγραμμων συντεταγμένων

τα τότε σύστημα λέγεται ό ρ θ ο γ ώ ν ο .

"Αν  $\vec{r}$  είναι τό διάνυσμα θέσης ενός σημείου  $P = P(u_1, u_2, u_3)$  τότε τό διάνυσμα  $\frac{\partial \vec{r}}{\partial u_i}$  εφάπτεται στή συντεταγμένη γραμμή  $u_i$  στο σημείο  $P$  και δύνεται από τή σχέση :

$$\frac{\partial \vec{r}}{\partial u_i} = h_i \hat{u}_i \quad \text{για } i=1,2,3 \quad (1-1)$$

όπου  $\hat{u}_i$  τό μοναδιαίο διάνυσμα πάνω στή γραμμή  $u_i$  πού δύνεται από τή σχέση :



$$\hat{u}_i = \frac{\frac{\partial \vec{r}}{\partial u_i}}{\left| \frac{\partial \vec{r}}{\partial u_i} \right|} \quad (1-2)$$

καί  $h_i$  οί συντελεστές κλίμακας έτσι πού :

$$h_i = \left| \frac{\partial \vec{r}}{\partial u_i} \right| = \sqrt{\left( \frac{\partial x}{\partial u_i} \right)^2 + \left( \frac{\partial y}{\partial u_i} \right)^2 + \left( \frac{\partial z}{\partial u_i} \right)^2} \quad (1-3)$$

### Παρατήρηση:

Τά μοναδιαία διανύσματα  $\hat{u}_i$  αλλάζουν γενικά διεύθυνση από σημείο σέ σημείο. Μόνο στό καρτεσιανό ορθογώνιο σύστημα  $(\hat{x}, \hat{y}, \hat{z})$  έχουν σταθερή κατεύθυνση σέ κάθε σημείο του χώρου.

### Γιά τό ορθογώνιο καρτεσιανό σύστημα

Οί συντεταγμένες έπιφάνει-  
ες πού ορίζουν τό σημείο  
 $P(x, y, z)$  είναι τά επίπεδα

$$x = \text{σταθ.}$$

$$y = \text{σταθ.}$$

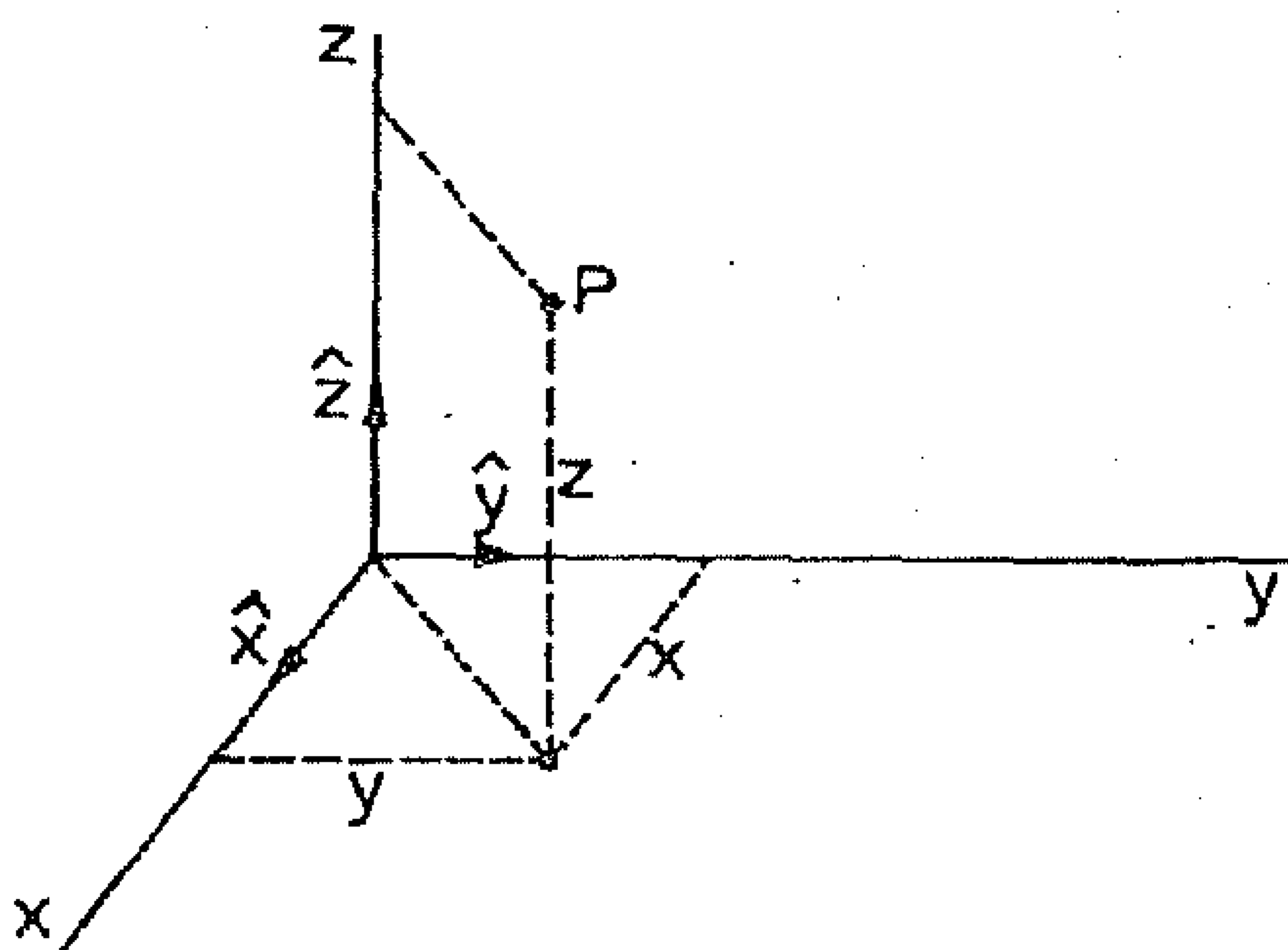
$$z = \text{σταθ.}$$

Μοναδιαία διανύσματα είναι  
τά:

$$\hat{u}_1 = \hat{x}, \quad \hat{u}_2 = \hat{y}, \quad \hat{u}_3 = \hat{z}$$

μέ συντελεστές κλίμακας

$$h_x = h_y = h_z = 1$$



Σχ. 1-2. Ορθογώνιο καρτεσιανό σύστημα

### Γιά τό κυλινδρικό σύστημα

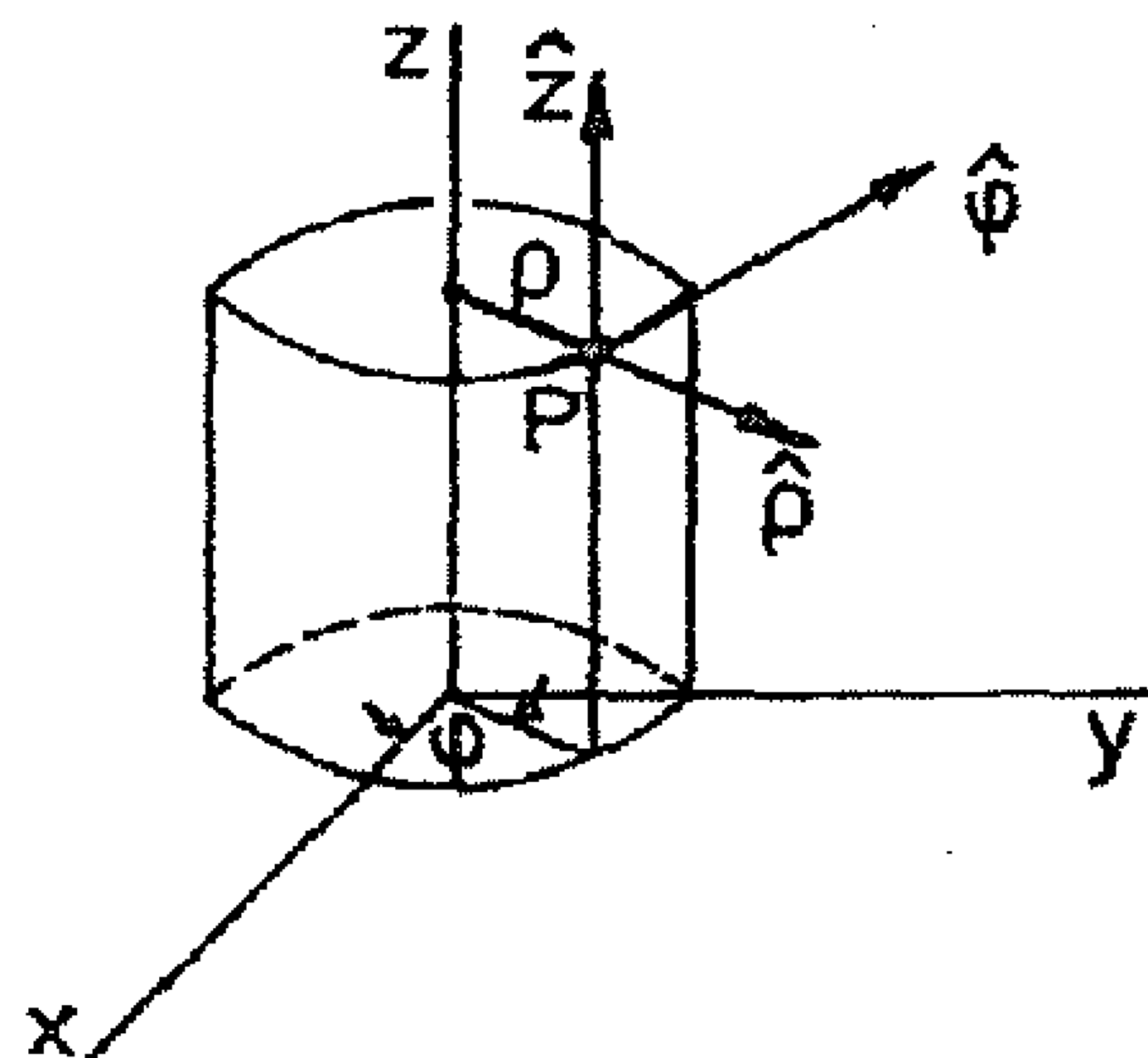
Οί συντεταγμένες έπιφάνειες πού ορίζουν τό σημείο  $P(\rho, \varphi, z)$  είναι :

(i) Ένας ὀρθός κυκλικός κύλινδρος μέ ἀκτίνα  $\rho=c_1$  καὶ ἄξονα τὸν  $z$ .

(ii) Ένα ἐπίπεδο  $\varphi = c_2$  πού περνᾷ ἀπὸ τὸν ἄξονα τῶν  $z$ .

(iii) Ένα ἐπίπεδο  $z = c_3$  κάθετο στὸν ἄξονα τῶν  $z$ . Οἱ συντελεστές κλίμακας εἶναι:

$$h_\rho=1 \quad h_\varphi=\rho \quad h_z=1$$



Σχ. 1-3. Κυλινδρικό σύστημα συντεταγμένων

#### Γιὰ τὸ σφαιρικό σύστημα

Οἱ συντεταγμένες ἐπιφάνειες πού ὀρίζουν τὸ σημεῖο  $P(r,\vartheta,\varphi)$  εἶναι :

(i)  $r = c_1$  σφαῖρα μέ κέντρο τήν ἀρχή  $O$ .

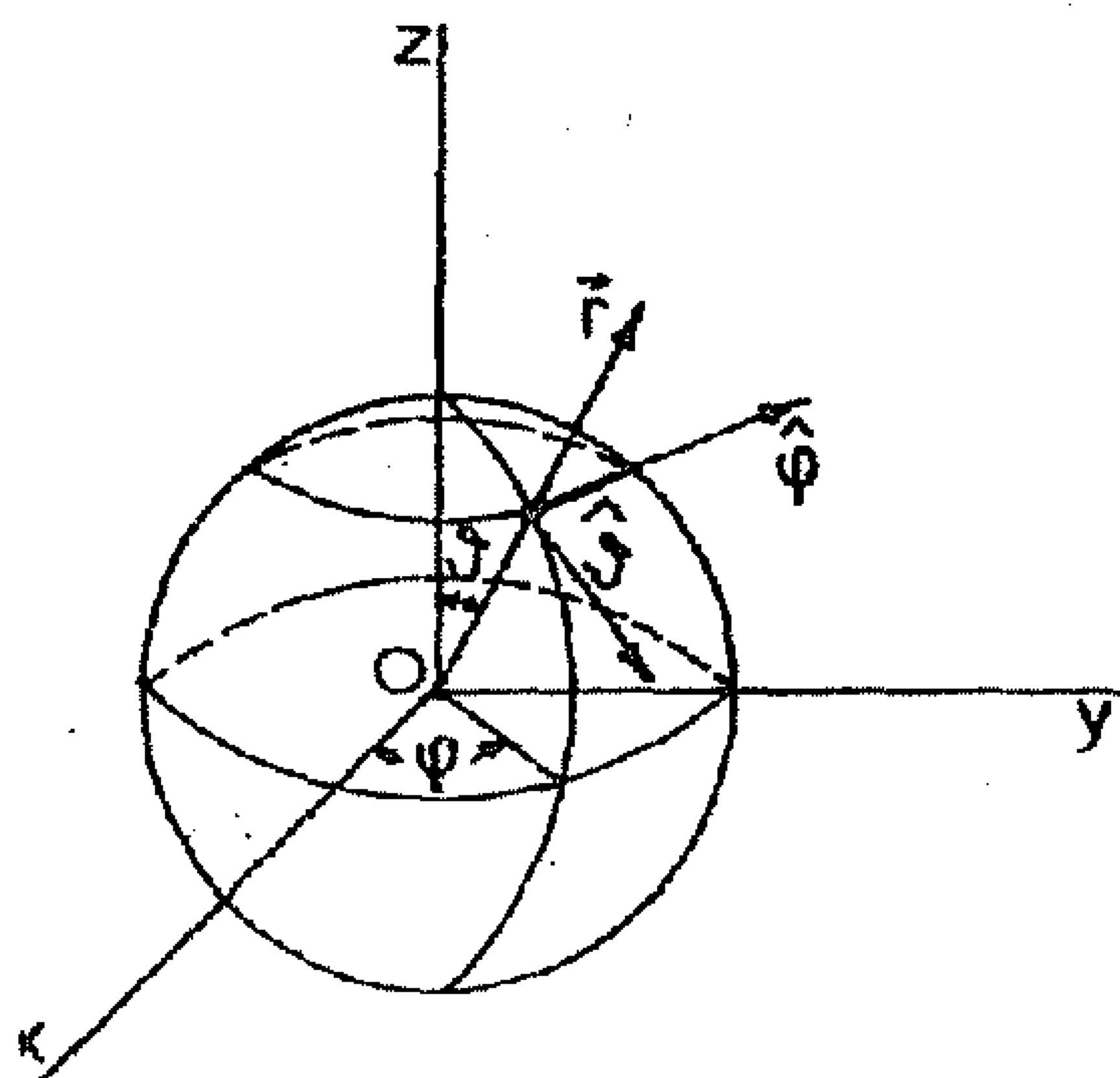
(ii)  $\vartheta = c_2$  κῶνος μέ κορυφή τὸ  $O$ .

(iii)  $\varphi = c_3$  ἐπίπεδο πού περνᾷ ἀπὸ τὸν ἄξονα  $z$ .

Οἱ συντελεστές κλίμακας εἶναι :

$$h_r = 1, \quad h_\vartheta = r,$$

$$h_\varphi = r \sin \vartheta.$$



Σχ. 1-4. Σφαιρικό σύστημα συντεταγμένων

#### Έκφραση τῶν στοιχείων μήκους, ἐπιφάνειας καὶ ὀγκοῦ

“Αν ἡ συντεταγμένη  $u_i$  μεταβληθεῖ κατὰ τή διεύθυνση  $\hat{u}_i$  κατὰ



$du_i$ , τό μέτρο τῆς ἀντίστοιχης μετατόπισης  $dl_i$  πάνω στή συντεταγμένη γραμμή  $u_i$  εἶναι :

$$dl_i = h_i du_i \quad i = 1, 2, 3 \quad (1-4)$$

καί τό στοιχεῖο μήκους  $dl$  γιά ἓνα ὀρθογώνιο σύστημα :

$$dl^2 = dl_1^2 + dl_2^2 + dl_3^2 \quad (1-5)$$

Οἱ προβολές τοῦ στοιχείου ἐπιφάνειας  $dS$  πάνω στίς συντεταγμένες ἐπιφάνειες εἶναι :

$$\begin{aligned} dS_1 &= dl_2 dl_3 = h_2 h_3 du_2 du_3 \\ dS_2 &= dl_3 dl_1 = h_3 h_1 du_3 du_1 \\ dS_3 &= dl_1 dl_2 = h_1 h_2 du_1 du_2 \end{aligned} \quad (1-6)$$

καί τό στοιχεῖο ὀγκοῦ  $dV$  δύνεταί ἀπό τήν σχέση :

$$dV = dl_1 dl_2 dl_3 = h_1 h_2 h_3 du_1 du_2 du_3 \quad (1-7)$$

## 1.2.Οἱ Διανυσματικοί Τελεστές.

Ἐστω  $U(\vec{r})$  καί  $\vec{F}(\vec{r})$  μιά μονόμετρο καί μιά διανυσματική συνάρτηση τῆς θέσης  $\vec{r}$  τοῦ σημείου  $P$ ,  $\Delta\psi$  ἡ ροή τῆς  $\vec{F}$  ἀπό ἓναν ὀγκο  $\Delta V$  γύρω ἀπό τό σημείο  $P$ , πού περιορίζεται ἀπό τήν κλειστή ἐπιφάνεια  $\Delta S$ .

Ἡ βαθμύδα τοῦ μονόμετρου πεδίου  $U$  (gradient) ὀρίζεται ἀπό τήν σχέση :

$$\text{grad} U = \lim_{\Delta V \rightarrow 0} \frac{1}{\Delta V} \oint_{\Delta S} U d\vec{S} \quad (1-8)$$

καί κάνει διανυσματοποίηση τοῦ μονόμετρου μεγέθους  $U$ . Ὅπως ἀποδείχνεται παρακάτω (παρ. 1.5.1) τό διάνυσμα  $\text{grad} U$  βλέπει πρὸς τὰ ἐκεῖ πού τό πεδίο  $U$  μεταβάλλεται γρηγορότερα.

Ἡ ἀπόκλιση (divergence) τοῦ διανυσματικοῦ πεδίου  $\vec{F}$  ὀρίζεται μέ τό ὅριο :

$$\operatorname{div} \vec{F} = \lim_{\Delta V \rightarrow 0} \frac{1}{\Delta V} \oint_{\Delta S} \vec{F} \cdot d\vec{S} = \lim_{\Delta V \rightarrow 0} \frac{\Delta \Psi}{\Delta V} = \frac{d\Psi}{dV} \quad (1-9)$$

καί παριστάνει τή ροή τοῦ πεδίου μέσα ἀπό τήν ἐπιφάνεια πού περικλείει τή μονάδα ὄγκου.

Ὁ σ τ ρ ο β υ λ ι σ μ ό ς (curl, rotation) τοῦ διανυσματικοῦ πεδίου  $\vec{F}$  ὀρίζεται ἀπό τή σχέση :

$$\operatorname{rot} \vec{F} = \lim_{\Delta V \rightarrow 0} \frac{1}{\Delta V} \oint_{\Delta S} d\vec{S} \times \vec{F} \quad (1-10)$$

καί παριστάνει τήν "κυκλοφορία" τοῦ πεδίου ἀνά μονάδα ἐπιφάνειας.

Π α ρ α τ η ρ ο ῦ μ ε ὅτι οἱ πρὸ πάνω ὀρισμοί ἐνοποιοῦνται μέ τή βοήθεια τοῦ ὀλοκληρωτικοῦ τελεστή

$$\vec{\nabla}_0 \equiv \lim_{\Delta V \rightarrow 0} \frac{1}{\Delta V} \oint_{\Delta S} d\vec{S}_0 \quad (1-11)$$

ὅπου τό ο παριστάνει (i) ἐσωτερικό (ii) ἐξωτερικό ἢ (iii) κυνόμενο γινόμενο.

Πρὸ κάτω δύνουμε τίς ἀναλυτικές ἐκφράσεις τῶν grad, div καί rot σέ ἓνα γενικευμένο σύστημα ὀρθογώνιων καμπυλόγραμμων συντεταγμένων :

$$\vec{\nabla} U \equiv \operatorname{grad} U = \frac{\partial U}{\partial l_1} \hat{u}_1 + \frac{\partial U}{\partial l_2} \hat{u}_2 + \frac{\partial U}{\partial l_3} \hat{u}_3 = \frac{1}{h_1} \frac{\partial U}{\partial u_1} \hat{u}_1 + \frac{1}{h_2} \frac{\partial U}{\partial u_2} \hat{u}_2 + \frac{1}{h_3} \frac{\partial U}{\partial u_3} \hat{u}_3 \quad (1-12)$$

$$\vec{\nabla} \cdot \vec{F} \equiv \operatorname{div} \vec{F} = \frac{1}{h_1 h_2 h_3} \left\{ \frac{\partial}{\partial u_1} (F_1 h_2 h_3) + \frac{\partial}{\partial u_2} (F_2 h_3 h_1) + \frac{\partial}{\partial u_3} (F_3 h_1 h_2) \right\} \quad (1-13)$$



$$\vec{\nabla} \times \vec{F} = \text{rot} \vec{F} = \frac{1}{h_1 h_2 h_3} \cdot \begin{vmatrix} h_1 \hat{u}_1 & h_2 \hat{u}_2 & h_3 \hat{u}_3 \\ \frac{\partial}{\partial u_1} & \frac{\partial}{\partial u_2} & \frac{\partial}{\partial u_3} \\ h_1 F_1 & h_2 F_2 & h_3 F_3 \end{vmatrix} \quad (1-14)$$

Σημειώνουμε ότι ο ολοκληρωτικός τελεστής  $\vec{\nabla}$  μόνο στο ορθογώνιο καρτεσιανό σύστημα έχει αναλυτική διαφορική έκφραση, τέτοια που αν εφαρμοστεί στις πράξεις  $\vec{\nabla} U$ ,  $\vec{\nabla} \cdot \vec{F}$  και  $\vec{\nabla} \times \vec{F}$  να μας δώσει τις αντίστοιχες αναλυτικές εκφράσεις των  $\text{grad} U$ ,  $\text{div} \vec{F}$  και  $\text{rot} \vec{F}$ .

Γιαυτό στη πράξη τά  $\nabla U$ ,  $\vec{\nabla} \cdot \vec{F}$ ,  $\vec{\nabla} \times \vec{F}$  χρησιμοποιούνται σαν συμβολισμούς ισοδύναμοι με τους  $\text{grad} U$ ,  $\text{div} \vec{F}$ ,  $\text{rot} \vec{F}$  και μόνο στο ορθογώνιο καρτεσιανό σύστημα έχουν την έννοια πράξεων (βλ. και παρ. 1. 4 παρακάτω)

Σάν Λαπλασιανή (Laplacien) ενός μονόμετρου πεδίου  $U$  ορίζουμε τό μονόμετρο μέγεθος  $\text{div grad} U$  και τό συμβολίζουμε με  $\nabla^2 U$ . Σε ένα ορθογώνιο καμπυλόγραμμο σύστημα συντεταγμένων ή Λαπλασιανή το  $U$  δύνεται από την έκφραση :

$$\nabla^2 U = \frac{1}{h_1 h_2 h_3} \left\{ \frac{\partial}{\partial u_1} \left( \frac{h_2 h_3}{h_1} \frac{\partial U}{\partial u_1} \right) + \frac{\partial}{\partial u_2} \left( \frac{h_3 h_1}{h_2} \frac{\partial U}{\partial u_2} \right) + \frac{\partial}{\partial u_3} \left( \frac{h_1 h_2}{h_3} \frac{\partial U}{\partial u_3} \right) \right\} \quad (1-15)$$

Ανάλογα ορίζεται και ή Λαπλασιανή ενός διανυσματικού πεδίου  $\vec{F}$ .

Η Λαπλασιανή ενός διανυσματικού πεδίου  $\vec{F}(\vec{r})$  στο καρτεσιανό σύστημα υπολογίζεται από τή σχέση:

$$\nabla^2 \vec{F} = \hat{x} \nabla^2 F_x + \hat{y} \nabla^2 F_y + \hat{z} \nabla^2 F_z \quad (1-16)$$

ένω στά υπόλοιπα ορθογώνια συστήματα συντεταγμένων από τή σχέση

$$\nabla^2 \vec{F} = \vec{\nabla} (\vec{\nabla} \cdot \vec{F}) - \vec{\nabla} \times \vec{\nabla} \times \vec{F} \quad (1-17)$$

ή τήν ισοδύναμή της :

$$\nabla^2 \vec{F} = \frac{1}{h_1 h_2 h_3} \left[ \frac{\partial}{\partial u_1} \left( \frac{h_2 h_3}{h_1} \frac{\partial \vec{F}}{\partial u_1} \right) + \frac{\partial}{\partial u_2} \left( \frac{h_3 h_1}{h_2} \frac{\partial \vec{F}}{\partial u_2} \right) + \frac{\partial}{\partial u_3} \left( \frac{h_1 h_2}{h_3} \frac{\partial \vec{F}}{\partial u_3} \right) \right] \quad (1-18)$$

### 1.3. Θεωρήματα Gauss και Stokes.

Αν  $\vec{A}(\vec{r})$  είναι ένα διανυσματικό πεδίο αποδεικνύονται τα παρακάτω βασικά θεωρήματα:

$$(α) \quad \int_V \vec{\nabla} \cdot \vec{A} dV = \oint_S \vec{A} \cdot d\vec{S} \quad \text{θεώρημα Gauss} \quad (1-19)$$

μέ τη βοήθεια του οποίου μπορούμε να μετατρέψουμε τριπλό ολοκλήρωμα (όγκου  $V$ ) σε διπλό (έπιφανειακό πάνω στη κλειστή επιφάνεια  $S$  που περιβάλλει τον προηγούμενο όγκο  $V$ ).

$$(β) \quad \int_S (\vec{\nabla} \times \vec{A}) \cdot d\vec{S} = \oint_C \vec{A} \cdot d\vec{l} \quad \text{θεώρημα Stokes} \quad (1-20)$$

μέ τη βοήθεια του οποίου ένα επιφανειακό ολοκλήρωμα πάνω σε μία επιφάνεια  $S$  μετατρέπεται σε επικαμπύλιο πάνω στη κλειστή καμπύλη  $C$  που περιορίζει την επιφάνεια.

### 1.4. Ο Διανυσματικός Τελεστής "Ανάδελτα" (Δεσμευμένος στο Καρτεσιανό Σύστημα).

Στο ορθογώνιο Καρτεσιανό σύστημα συντεταγμένων, οι εκφράσεις των  $\text{grad}U$ ,  $\text{div}\vec{A}$  και  $\text{rot}\vec{A}$  έχουν τη μορφή :

$$\text{grad}U = \hat{x} \frac{\partial U}{\partial x} + \hat{y} \frac{\partial U}{\partial y} + \hat{z} \frac{\partial U}{\partial z} \quad (1-21)$$

$$\text{div}\vec{A} = \frac{\partial A_x}{\partial x} + \frac{\partial A_y}{\partial y} + \frac{\partial A_z}{\partial z} \quad (1-22)$$



$$\text{rot} \vec{A} = \left( \frac{\partial A_z}{\partial y} - \frac{\partial A_y}{\partial z} \right) \hat{x} + \left( \frac{\partial A_x}{\partial z} - \frac{\partial A_z}{\partial x} \right) \hat{y} + \left( \frac{\partial A_y}{\partial x} - \frac{\partial A_x}{\partial y} \right) \hat{z} \quad (1-23)$$

Στις (1-22) και (1-23) μπορούμε να δώσουμε και τη μορφή :

$$\text{div} \vec{A} = \hat{x} \cdot \frac{\partial \vec{A}}{\partial x} + \hat{y} \cdot \frac{\partial \vec{A}}{\partial y} + \hat{z} \cdot \frac{\partial \vec{A}}{\partial z} \quad (1-24)$$

$$\text{rot} \vec{A} = \hat{x} \times \frac{\partial \vec{A}}{\partial x} + \hat{y} \times \frac{\partial \vec{A}}{\partial y} + \hat{z} \times \frac{\partial \vec{A}}{\partial z} \quad (1-25)$$

Παρατηρούμε ότι αν χρησιμοποιήσουμε το διαφορικό τελεστή  $\vec{\nabla}$  να  $\vec{\nabla}$   $\delta \epsilon \lambda \tau \alpha$  (τελεστή του Hamilton, del ή nabla)  $\vec{\nabla}$ , που έχει την καρτεσιανή μορφή :

$$\vec{\nabla} = \hat{x} \frac{\partial}{\partial x} + \hat{y} \frac{\partial}{\partial y} + \hat{z} \frac{\partial}{\partial z} \quad (1-26)$$

οι σχέσεις (1-21), (1-24) και (1-25) παίρνουν τη μορφή :

$$\text{grad} U = \vec{\nabla} U \quad (1-27)$$

$$\text{div} \vec{A} = \vec{\nabla} \cdot \vec{A} \quad (1-28)$$

$$\text{rot} \vec{A} = \vec{\nabla} \times \vec{A} \quad (1-29)$$

Ο τελεστής "ανάδελα" είναι η διαφορική έκφραση, στο καρτεσιανό σύστημα, του ολοκληρωτικού τελεστή  $\vec{\nabla}$  που προαναφέραμε, και που στα άλλα συστήματα συντεταγμένων, εκτός από το καρτεσιανό, δεν έχει αντίστοιχη διαφορική έκφραση.

Αξίζει να αναφέρουμε ότι ο τελεστής ανάδελα μπορεί να χρησιμοποιηθεί και σε άλλους παραστατικούς χώρους, όπως στο χώρο των ταχυτήτων, των όρμων κ.τ.λ. Π.χ. στο χώρο των ταχυτήτων έχουμε ότι :

$$\vec{\nabla}_v = \hat{x} \frac{\partial}{\partial v_x} + \hat{y} \frac{\partial}{\partial v_y} + \hat{z} \frac{\partial}{\partial v_z} \quad (1-30)$$

Μπορούμε επίσης νά όρίσουμε ανάλογους διαφορικούς τελεστές καί σέ χώρους περισσότερων διαστάσεων. Στόν τετραδιάστατο π.χ. χώρο (x.y.z.w) όρίζουμε τόν

$$\vec{\nabla} = \hat{x} \frac{\partial}{\partial x} + \hat{y} \frac{\partial}{\partial y} + \hat{z} \frac{\partial}{\partial z} + \hat{w} \frac{\partial}{\partial w} \quad (1-31)$$

καί σέ ένα χώρο r διαστάσεων

$$\vec{\nabla} = \sum_i^r \hat{u}_i \frac{\partial}{\partial u_i} \quad i = 1, 2, \dots, r. \quad (1-32)$$

Στό όρθογώνιο Καρτεσιανό σύστημα ή Λαπλασιανή τοῦ πεδίου U εἶναι:

$$\nabla^2 U = \frac{\partial^2 U}{\partial x^2} + \frac{\partial^2 U}{\partial y^2} + \frac{\partial^2 U}{\partial z^2} \quad (1-33)$$

Από τήν έκφραση αὐτή εἶναι φανερό ὅτι ή Λαπλασιανή μπορεῖ νά θεωρηθεῖ σάν ἐφαρμογή τοῦ μονόμετρου τελεστή

$$\nabla^2 = \frac{\partial^2}{\partial x^2} + \frac{\partial^2}{\partial y^2} + \frac{\partial^2}{\partial z^2} \quad (1-34)$$

πού μπορεῖ νά θεωρηθεῖ σάν τό " ἐσωτερικό τετράγωνο " τοῦ τελεστή ἀνάδελτα  $\vec{\nabla}$ :

$$\nabla^2 = \vec{\nabla} \cdot \vec{\nabla} \quad (1-35)$$

## 1.5. Φυσική σημασία τῶν grad, div, rot καί $\nabla^2$

### 1.5.1. Βαθμίδα (grad).

"Εστω τό μονόμετρο πεδίο  $\Phi(\vec{r})$  καί μιά αὐθαίρετη διεύθυνση  $\hat{n}$

Ἡ κατευθυνόμενη παράγωγος τοῦ  $\Phi$  κατὰ τή διεύθυνση  $\hat{n}$  εἶναι:

$$\frac{\partial \Phi}{\partial n} = \frac{\partial \Phi}{\partial x} \frac{\partial x}{\partial n} + \frac{\partial \Phi}{\partial y} \frac{\partial y}{\partial n} + \frac{\partial \Phi}{\partial z} \frac{\partial z}{\partial n} = \left( \frac{\partial \Phi}{\partial x} \hat{x} + \frac{\partial \Phi}{\partial y} \hat{y} + \frac{\partial \Phi}{\partial z} \hat{z} \right) \cdot \hat{n}$$

$$\left( \frac{\partial \Phi}{\partial x} \hat{x} + \frac{\partial \Phi}{\partial y} \hat{y} + \frac{\partial \Phi}{\partial z} \hat{z} \right) = \vec{\nabla} \Phi \cdot \hat{n} \quad (1-36)$$



Όστε :

$$\frac{\partial \Phi}{\partial n} = \vec{\nabla} \Phi \cdot \hat{n} = |\vec{\nabla} \Phi| \cos \psi \quad (1-37)$$

(βλ. σχ. 1-5)

Όστε η κατευθυνόμενη παράγωγος του πεδίου  $\Phi$  στη θέση  $\vec{r}$  και κατά τη διεύθυνση  $\hat{n}$  είναι ίση με την προβολή της βαθμίδας  $\vec{\nabla} \Phi$  στο σημείο  $\vec{r}$  πάνω στη διεύθυνση  $\hat{n}$ .

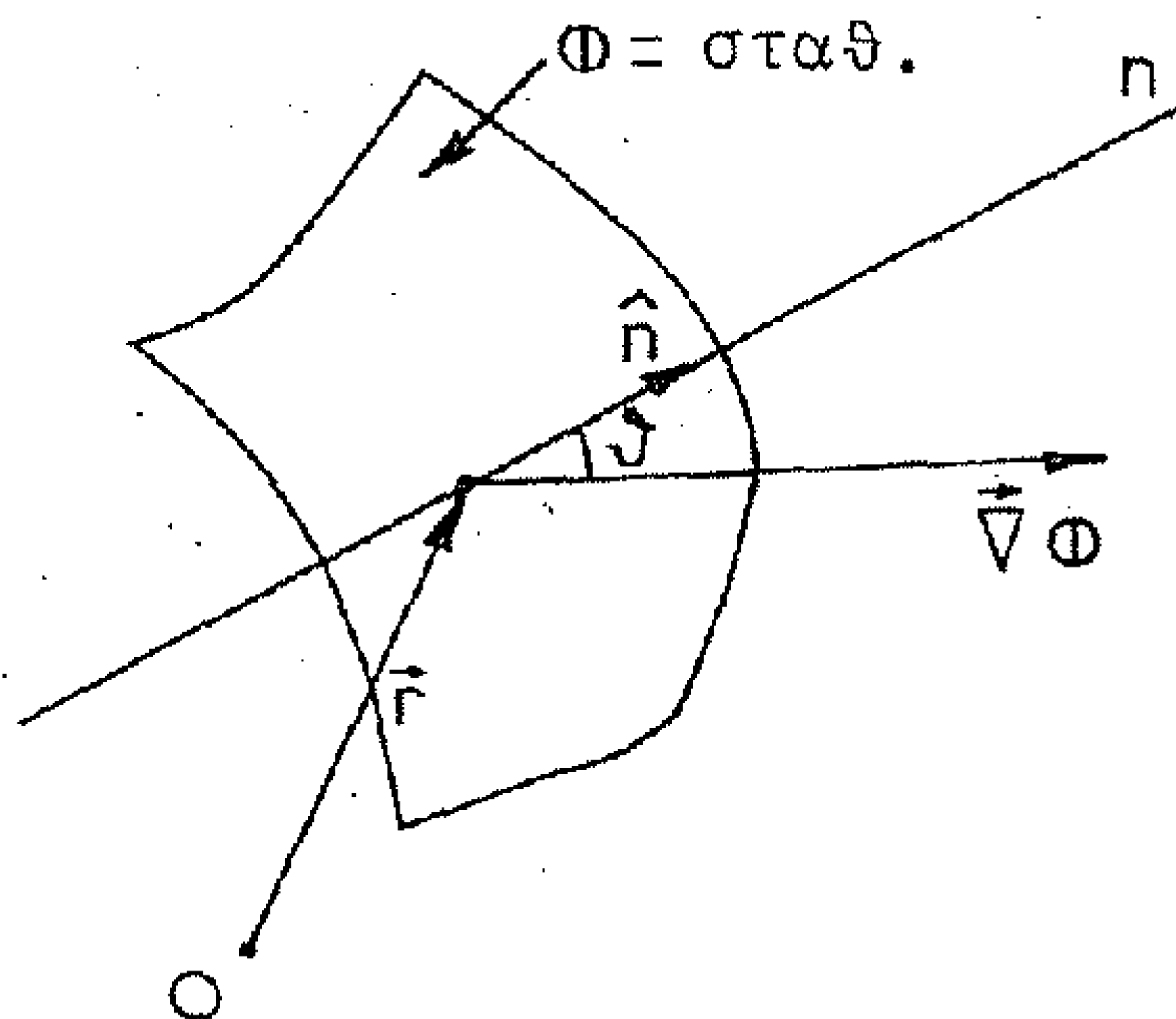
Παρατηρούμε ότι αν αλλά-

ζουμε διευθύνσεις  $\hat{n}$  ή  $\frac{\partial \Phi}{\partial n}$

γίνεται μέγιστη όταν  $\hat{n} // \vec{\nabla} \Phi$

και 
$$\left( \frac{\partial \Phi}{\partial n} \right)_{\max} = |\vec{\nabla} \Phi|$$

Σχ. 1-5. Η βαθμίδα  $\vec{\nabla} \Phi$  είναι διάνυσμα κάθετο στην επιφάνεια  $\Phi = \text{σταθ.}$



(1-38)

Όστε η βαθμίδα του  $\Phi$  ( $\vec{\nabla} \Phi$ ) είναι ένα διάνυσμα που έχει τη διεύθυνση και φορά του μέγιστου ρυθμού μεταβολής του πεδίου  $\Phi$  και μέτρο ίσο ακριβώς με το μέγιστο αυτό ρυθμό.

Αν από τη θέση  $\vec{r}$  θεωρήσουμε μια μετατόπιση  $d\vec{r}$  το μονόμετρο πεδίο  $\Phi(\vec{r})$  θα γίνει  $\Phi + d\Phi$ . Όπως ξέρουμε το ολικό διαφορικό  $d\Phi$  δίνεται από τη σχέση

$$d\Phi = \frac{\partial \Phi}{\partial x} dx + \frac{\partial \Phi}{\partial y} dy + \frac{\partial \Phi}{\partial z} dz \quad (1-39)$$

που μπορεί να θεωρηθεί ως

$$d\Phi = \left( \frac{\partial \Phi}{\partial x} \hat{x} + \frac{\partial \Phi}{\partial y} \hat{y} + \frac{\partial \Phi}{\partial z} \hat{z} \right) \cdot (dx \hat{x} + dy \hat{y} + dz \hat{z}) = \vec{\nabla} \Phi \cdot d\vec{r} \quad (1-40)$$

Όστε το ολικό διαφορικό του πεδίου  $\Phi(\vec{r})$  είναι ίσο με το έσωτε-ρικό γινόμενο της βαθμίδας του επί τη μετατόπιση  $d\vec{r}$

Ἡ ἐξίσωση  $\Phi(\vec{r}) = \text{σταθ.}$  εἶναι ἡ ἐξίσωση μιᾶς ἐπιφάνειας πάνω στην οποία τό μονόμετρο πεδίο ἔχει σταθερή τιμή (π.χ μιᾶ ἰσοδυναμική ἐπιφάνεια). Πάνω στην ἐπιφάνεια αὕτη εἶναι  $d\Phi=0$  καί ἐπομένως :

$$\vec{\nabla} \Phi \cdot d\vec{r} = 0 \quad (1-41)$$

Ὡστε  $\vec{\nabla} \Phi \perp d\vec{r}$  καί ἐπειδή τό  $d\vec{r}$  ἔχει τή διεύθυνση τῆς ἐφαπτόμενης στην ἐπιφάνεια προκύπτει, ὅτι ἡ βαθμίδα  $\vec{\nabla} \Phi$  εἶναι κάθετη στην ἐπιφάνεια  $\Phi(\vec{r}) = \text{σταθ.}$

Καί ἐπομένως τό διάνυσμα

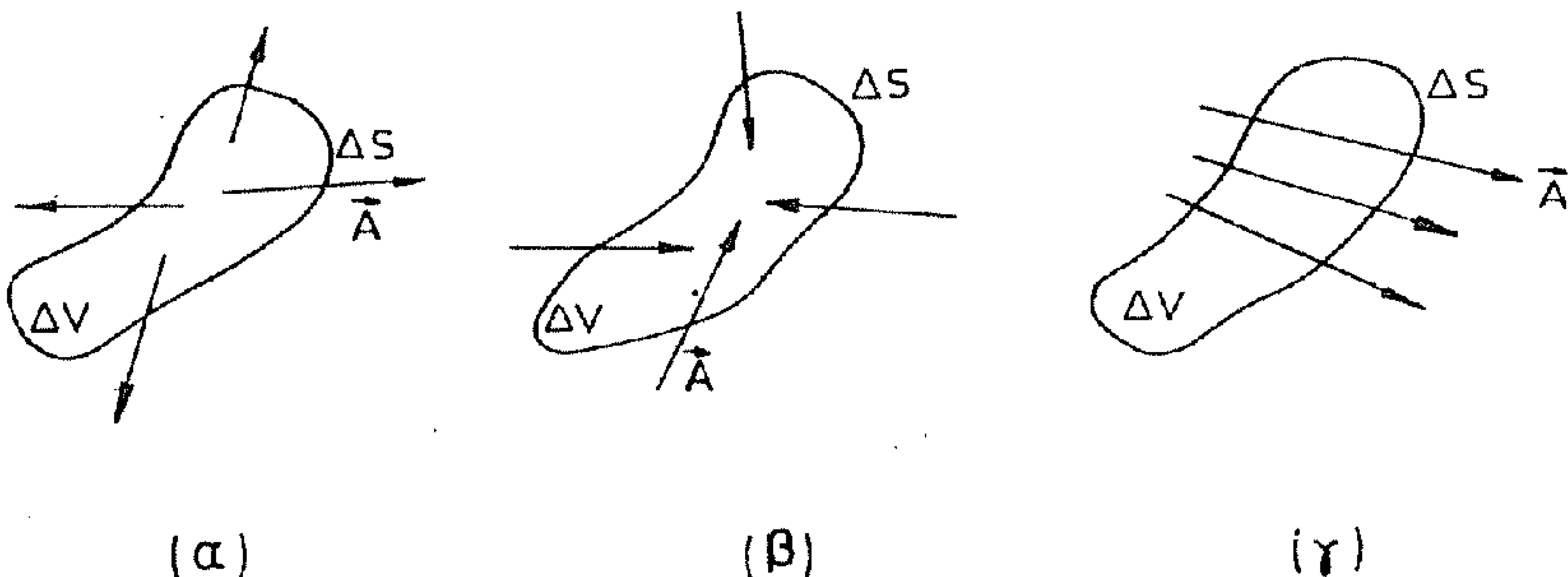
$$\hat{n} = \frac{\vec{\nabla} \Phi}{|\vec{\nabla} \Phi|} \quad (1-42)$$

εἶναι τό μοναδιαῖο διάνυσμα, πού εἶναι κάθετο στην ἐπιφάνεια  $\Phi(\vec{r}) = \text{σταθ.}$

### 1.5.2. Ἀπόκλιση (div).

Ἐστω ἓνα διανυσματικό πεδίο  $\vec{A}(\vec{r})$  καί μιᾶ κλειστή ἐπιφάνεια  $\Delta S$ , πού περικλείει ὄγκο  $\Delta V$  γύρω ἀπό τό σημεῖο  $\vec{r}$ .

Στό σχ.1-6 φαίνονται οἱ τρεῖς περιπτώσεις, πού μπορεῖ νά συμβαίνουν στό σημεῖο  $\vec{r}$ .



Σχ. 1-6. Οἱ τρεῖς περιπτώσεις τῆς  $\vec{\nabla} \cdot \vec{A}$  στην περὶοχή ἑνός σημείου

(α) Παρουσία πηγῆς ( $\vec{\nabla} \cdot \vec{A} > 0$ )

(β) Παρουσία καταβόθρας ( $\vec{\nabla} \cdot \vec{A} < 0$ )

(γ) Περιοχή σωληνοειδοῦς πεδίου ( $\vec{\nabla} \cdot \vec{A} = 0$ )

Ἡ ἀπόκλιση τοῦ  $\vec{A}$  εἶναι

$$\operatorname{div} \vec{A} = \vec{\nabla} \cdot \vec{A} = \lim_{\Delta V \rightarrow 0} \frac{\Delta \Psi}{\Delta V} = \frac{d\Psi}{dV} \quad (1-43)$$

ἐκφράζει δηλ. τὴν ἔνταση τῆς πηγῆς ἢ καταβόθρας τοῦ πεδίου (ροῆς τοῦ πεδίου) στή μονάδα τοῦ ὅγκου στή θέση  $\vec{r}$ .

Ἄς πάρουμε σάν συγκεκριμένο παράδειγμα τὸ πεδίο ταχυτήτων ἑνὸς πληθυσμοῦ σωματιδίων, πού ὑπακούουν στήν ἐξίσωση τῆς συνέχειας :

$$\frac{\partial N}{\partial t} = C - \vec{\nabla} \cdot (N\vec{U}) \quad (1-44)$$

$$\left( \begin{array}{l} \text{ρυθμός αὐξησης} \\ \text{τῆς πυκνότητας} \\ \text{τῶν σωματιδίων} \end{array} \right) = \left( \begin{array}{l} \text{ρυθμός δημιουργίας} \\ \text{νέων σωματιδίων} \\ \text{στή μονάδα τοῦ ὅγκου} \end{array} \right) - \left( \begin{array}{l} \text{ρυθμός ἐκροῆς} \\ \text{τῶν σωματιδίων} \\ \text{ἀπὸ τῆς μονάδας} \\ \text{τοῦ ὅγκου} \end{array} \right)$$

Στὴ σχέση αὐτὴ ὁ ὅρος  $\vec{\nabla} \cdot (N\vec{U})$  ἐκφράζει τὸ ρυθμὸ ἐκροῆς τῶν σωματιδίων ἀπὸ τῆς μονάδας τοῦ ὅγκου. Ἄν δὲν γίνεται συσσώρευση σωματιδίων τότε  $\frac{\partial N}{\partial t} = 0$  καὶ

$$\vec{\nabla} \cdot (N\vec{U}) = C \quad (1-45)$$

$$\left( \begin{array}{l} \text{ρυθμός ἐκροῆς} \\ \text{σωματιδίων} \end{array} \right) = \left( \begin{array}{l} \text{ρυθμός δημιουργίας} \\ \text{δηλ. ἔνταση τῆς πηγῆς} \\ \text{παραγωγῆς σωματιδίων} \end{array} \right)$$

Ἄν στή περὶοχή πού μελετᾶμε δὲν ὑπάρχει πηγὴ δημιουργίας σωματιδίων ( $C = 0$ ) τότε καὶ

$$\vec{\nabla} \cdot (N\vec{U}) = 0 \quad (1-46)$$

καὶ τὸ πεδίο  $N\vec{U}$  εἶναι "σωληνοειδές" δηλ. δὲν ἔχει οὔτε πηγὴ οὔτε καταβόθρα σωματιδίων. Ἡ σχέση αὐτὴ στή περίπτωσι ροῆς ἀσυμ-



πύεστου ρευστοῦ ( $N = \text{σταθ.}$ ) γίνεται

$$\vec{V} \cdot \vec{U} = 0 \quad (1-47)$$

### 1.5.3. Στροβιλισμός (rot).

Έστω ένα διανυσματικό πεδίο  $\vec{A}(\vec{r})$  καί στή θέση  $\vec{r}$  ένα στοιχειώδες  $d\vec{S} = dS\hat{n}$  που έχει περίγραμμα  $C$ .

Εφαρμόζοντας τό θεώρημα τοῦ Stokes ἔχουμε :

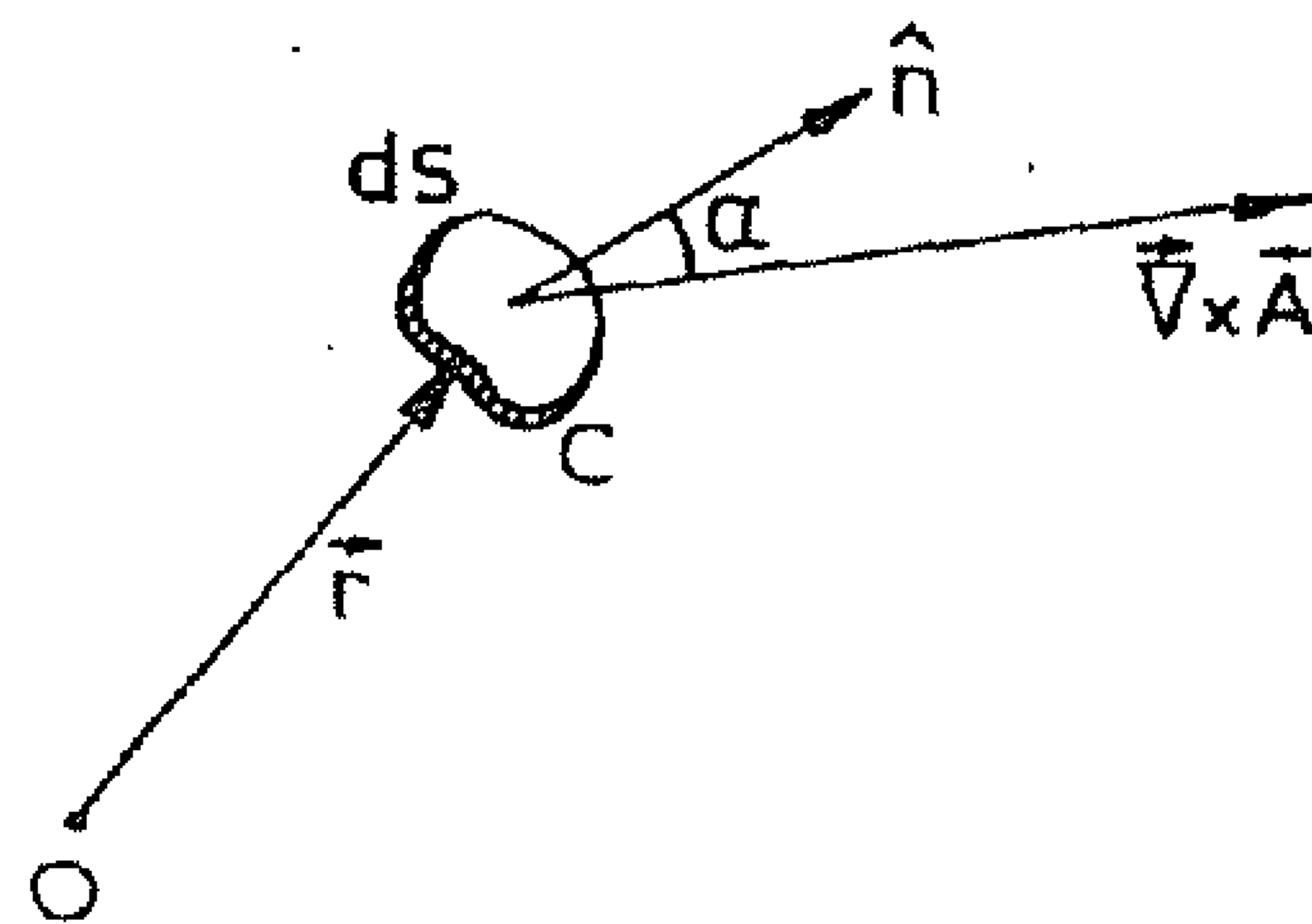
$$(\vec{\nabla} \times \vec{A}) \cdot d\vec{S} = (\vec{\nabla} \times \vec{A}) \cdot \hat{n} dS = \oint_C \vec{A} \cdot d\vec{l} = d\Gamma \quad (1-48)$$

ὅπου  $d\Gamma$  ἡ "κυκλοφορία" τοῦ  $\vec{A}$  πάνω στό περίγραμμα  $C$  τοῦ  $dS$ .

Ὡστε :

$$|\vec{\nabla} \times \vec{A}| \cos \alpha = \frac{d\Gamma}{dS} \quad (1-49)$$

Τό δεύτερο μέλος τῆς (1-49) εἶναι ἡ "κυκλοφορία" τοῦ πεδίου πάνω στό περίγραμμα  $C$  τῆς μονάδας τῆς ἐπιφάνειας, ἐνῶ τό πρῶτο μέλος εἶναι ἡ προβολή τοῦ  $\text{rot} \vec{A}$  πάνω στή κάθετο  $\hat{n}$  τῆς ἐπιφάνειας.

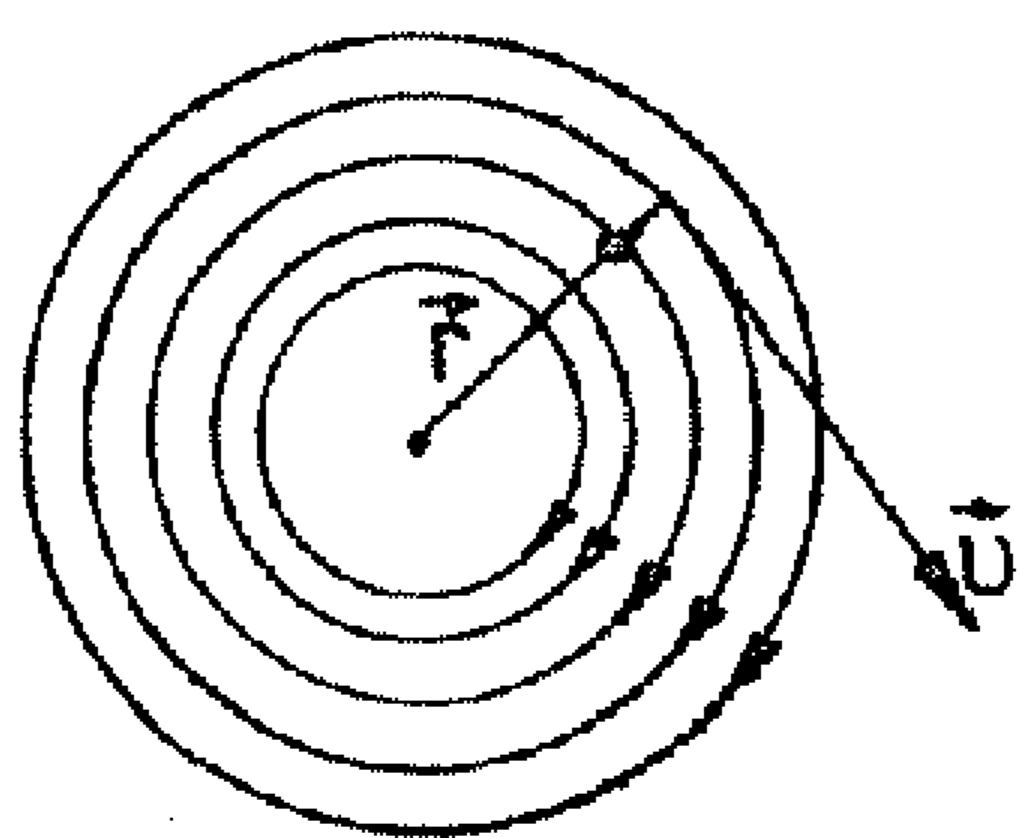


"Αν θεωρήσουμε  $\hat{n}$  παράλληλο μέ τό  $\text{rot} \vec{A}$  τότε ἡ κυκλοφορία ἀνά μονάδα ἐπιφάνειας γίνεται μέγλιση :

Σχ.1-7. Ἡ κυκλοφορία τοῦ  $\vec{A}$  πάνω στό περίγραμμα  $C$  μιᾶς στοιχειώδους ἐπιφάνειας  $dS$  γίνεται μέγλιση ἂν ἡ  $dS$  προσανατολιστεῖ κάθετα στό  $\vec{\nabla} \times \vec{A}$ .

$$\left( \frac{d\Gamma}{dS} \right)_{\max} = |\vec{\nabla} \times \vec{A}| \quad (1-50)$$

"Ωστε ο στροβιλισμός του  $\vec{A}$ , σ' ένα σημείο  $\vec{r}$ , εκφράζει κατά μέτρο, διεύθυνση και φορά, τή μέγιστη κυκλοφορία του πεδίου  $\vec{A}$  ανά μονάδα επιφάνειας, στο σημείο αυτό.



Σχ. 1-8. Παράδειγμα υπολογισμού rot  $\vec{V}$  στην περίπτωση ενός στροβύλου

"Όταν ή κυκλοφορία είναι μηδέν τότε μηδενίζεται και ο στροβιλισμός του

$\vec{A}$  και το πεδίο  $\vec{A}$  σ' εκείνη τήν περιοχή του χώρου λέμε ότι είναι αστρόβιλο, ενώ αν ή κυκλοφορία και επομένως ο στροβιλι-

σμός του  $\vec{A}$  δεν είναι μηδέν τότε το πεδίο είναι στροβιλό .

"Ας φανταστούμε για παράδειγμα

έναν στρόβιλο ενός ρευστού (σχ. 1-8)

πού έχει σταθερή γωνιακή ταχύτητα  $\vec{\omega} = \omega_x \hat{x} + \omega_y \hat{y} + \omega_z \hat{z}$  .

"Εστω  $\vec{U}$  ή ταχύτητα ενός σημείου του στροβύλου . Είναι

$$\vec{U} = \vec{\omega} \times \vec{r} \quad (1-51)$$

όποτε :

$$\vec{\nabla} \times \vec{U} = \vec{\nabla} \times (\vec{\omega} \times \vec{r}) = \vec{\nabla} \times \begin{vmatrix} \hat{x} & \hat{y} & \hat{z} \\ \omega_x & \omega_y & \omega_z \\ x & y & z \end{vmatrix} = \vec{\nabla} \times [(\omega_y z - \omega_z y) \hat{x} - (\omega_x z - \omega_z x) \hat{y} +$$

$$+ (\omega_x y - \omega_y x) \hat{z}] = \begin{vmatrix} \hat{x} & \hat{y} & \hat{z} \\ \frac{\partial}{\partial x} & \frac{\partial}{\partial y} & \frac{\partial}{\partial z} \\ (\omega_y z - \omega_z y) & (\omega_z x - \omega_x z) & (\omega_x y - \omega_y x) \end{vmatrix} =$$

$$= \hat{x}(\omega_x + \omega_x) + \hat{y}(\omega_y + \omega_y) + \hat{z}(\omega_z + \omega_z) = 2\vec{\omega}$$

(1-52)

"Ωστε:

$$\vec{\nabla} \times \vec{U} = 2\vec{\omega}$$

Από τή σχέση αυτή δικαιολογείται και ή όνομασία "στροβιλισμός".

### 1.5.4. Λαπλασιανή ( $\nabla^2$ )

"Ας φανταστοῦμε ἕναν κύβο μέ πλευρά  $\alpha$  σ' ἕνα σημεῖον  $O$  τοῦ χώρου καί ἄς πάρουμε τήν ἀρχή τοῦ ὀρθογώνιου καρτέσιανου συστήματος στό σημεῖο αὐτό καί τούς ἄξονες  $x, y, z$ , παράλληλους ἀντίστοιχα πρὸς τίς ἀκμές τοῦ κύβου. Ἐστω  $\Phi_0$  ή τιμή στή θέση  $O$  ἑνὸς μονόμετρου πεδίου  $\Phi(\vec{r})$  καί  $\bar{\Phi}$  ή μέση τιμή του μέσα στόν κύβο. Μπορεῖ νά ἀποδείξει κανένας ὅτι σέ πρώτη προσέγγιση

$$(\nabla^2 \Phi)_0 \simeq \frac{24}{\alpha^2} (\bar{\Phi} - \Phi_0) \quad (1-53)$$

Δηλ. ή  $\nabla^2 \Phi$  σ' ἕνα σημεῖο, σέ πρώτη προσέγγιση, ἀποτελεῖ ἕνα μέτρο τοῦ πόσο διαφέρει ή τιμή  $\Phi_0$  τοῦ πεδίου στή θέση  $O$  ἀπό τή μέση τιμή τοῦ  $\Phi$  στή γειτονιά τοῦ σημείου  $O$ .

## 1.6. Μερικές Ἰδιότητες καί Σχόλια.

(α) Τό ἀνάδελτα ἑνὸς ἀθροίσματος συναρτήσεων θέσης εἶναι ἴσο μέ τό ἄθροισμα τῶν ἀνάδελτα τῶν συναρτήσεων. Δηλαδή :

$$\left. \begin{aligned} \vec{\nabla} (\Phi_1 + \Phi_2) &= \vec{\nabla} \Phi_1 + \vec{\nabla} \Phi_2 \\ \vec{\nabla} \cdot (\vec{A}_1 + \vec{A}_2) &= \vec{\nabla} \cdot \vec{A}_1 + \vec{\nabla} \cdot \vec{A}_2 \\ \vec{\nabla} \times (\vec{A}_1 + \vec{A}_2) &= \vec{\nabla} \times \vec{A}_1 + \vec{\nabla} \times \vec{A}_2 \end{aligned} \right\} \text{ γραμμικότητα τοῦ τελεστή } \vec{\nabla} \quad (1-54)$$

(β) Τό ἀνάδελτα τοῦ γινομένου δύο συναρτήσεων θέσης σέ ἕνα ὀρισμένο σημεῖο  $P = \Sigma$ , εἶναι ἴσο μέ τό ἄθροισμα τῶν ἀνάδελτα τῶν γινομένων πού λαβαῖνουμε ἂν ὑποθέσουμε διαδοχικά σταθερή τή μιά καί τήν ἄλλη συνάρτηση, μέ τιμή τήν τιμή της στό σημεῖο  $\Sigma$ . Δηλ.



$$\text{grad} (u_1, u_2) = \vec{\nabla} (u_1, u_2) = \vec{\nabla} (\underline{u_1}, u_2) + \vec{\nabla} (u_1, \underline{u_2})$$

$$\text{grad} (\vec{A}_1 \cdot \vec{A}_2) = \vec{\nabla} (\vec{A}_1 \cdot \vec{A}_2) = \vec{\nabla} (\underline{\vec{A}_1} \cdot \vec{A}_2) + \vec{\nabla} (\vec{A}_1 \cdot \underline{\vec{A}_2})$$

$$\text{div} (\vec{A}_1 \times \vec{A}_2) = \vec{\nabla} \cdot (\vec{A}_1 \times \vec{A}_2) = \vec{\nabla} \cdot (\underline{\vec{A}_1} \times \vec{A}_2) + \vec{\nabla} \cdot (\vec{A}_1 \times \underline{\vec{A}_2}) \quad (1-55)$$

$$\text{rot} (\vec{A}_1 \times \vec{A}_2) = \vec{\nabla} \times (\vec{A}_1 \times \vec{A}_2) = \vec{\nabla} \times (\underline{\vec{A}_1} \times \vec{A}_2) + \vec{\nabla} \times (\vec{A}_1 \times \underline{\vec{A}_2})$$

$$\text{div} (\Phi \vec{A}) = \vec{\nabla} \cdot (\Phi \vec{A}) = \vec{\nabla} \cdot (\underline{\Phi} \vec{A}) + \vec{\nabla} \cdot (\Phi \underline{\vec{A}})$$

όπου έχουν υπογραμμιστεί οι όροι που παίρνονται σταθερού.

(γ) Από το τριπλό γινόμενο

$$\vec{A} \cdot \vec{B} \times \vec{C} = \begin{vmatrix} A_x & A_y & A_z \\ B_x & B_y & B_z \\ C_x & C_y & C_z \end{vmatrix}$$

προκύπτει:

$$\vec{\nabla} \cdot \vec{\nabla} \times \vec{A} = 0$$

$$\text{div rot } \vec{A} = 0 \quad (1-56)$$

(δ) Από την σχέση  $\vec{A} \times (\vec{B} \times \vec{C}) = (\vec{A} \cdot \vec{C})\vec{B} - (\vec{A} \cdot \vec{B})\vec{C}$

προκύπτει:

$$\vec{\nabla} \times (\vec{\nabla} \times \vec{A}) = \vec{\nabla} (\vec{\nabla} \cdot \vec{A}) - \nabla^2 \vec{A} \quad (1-57)$$

$$\text{rot rot } \vec{A} = \text{grad div } \vec{A} - \nabla^2 \vec{A} \quad (1-58)$$

(ε) Εύκολα αποδείχνουμε διανυσματικά ότι :

$$\vec{\nabla} \times \vec{\nabla} \Phi \equiv 0$$

δηλαδή ότι:

$$\text{rot grad } \Phi \equiv 0$$

(1-59)

# ΠΙΝΑΚΑΣ 1-Ι

Έκφραση τῶν Διαγυσματικῶν Τελεστῶν σέ Ὁρθογώνια Συστήματα Συντεταγμένων.

Ὁρθ.Καρτεσιανές	Κυλινδρικές Συντεταγμένες	Σφαιρικές Συντεταγμένες
Συνιστώσες τῆς Βαθμίδας τοῦ $\psi : \vec{\nabla} \psi$		
$(\vec{\nabla} \psi)_x = \frac{\partial \psi}{\partial x}$	$(\vec{\nabla} \psi)_\rho = \frac{\partial \psi}{\partial \rho}$	$(\vec{\nabla} \psi)_r = \frac{\partial \psi}{\partial r}$
$(\vec{\nabla} \psi)_y = \frac{\partial \psi}{\partial y}$	$(\vec{\nabla} \psi)_\varphi = \frac{1}{\rho} \frac{\partial \psi}{\partial \varphi}$	$(\vec{\nabla} \psi)_\vartheta = \frac{1}{r} \frac{\partial \psi}{\partial \vartheta}$
$(\vec{\nabla} \psi)_z = \frac{\partial \psi}{\partial z}$	$(\vec{\nabla} \psi)_z = \frac{\partial \psi}{\partial z}$	$(\vec{\nabla} \psi)_\varphi = \frac{1}{r \sin \vartheta} \frac{\partial \psi}{\partial \varphi}$
Ἡ Ἀπόκλιση τοῦ $\vec{A} : \vec{\nabla} \cdot \vec{A}$		
$\frac{\partial A_x}{\partial x} + \frac{\partial A_y}{\partial y} + \frac{\partial A_z}{\partial z}$	$\frac{1}{\rho} \frac{\partial (\rho A_\rho)}{\partial \rho} + \frac{1}{\rho} \frac{\partial A_\varphi}{\partial \varphi} + \frac{\partial A_z}{\partial z}$	$\frac{1}{r^2} \frac{\partial (r^2 A_r)}{\partial r} + \frac{1}{r \sin \vartheta} \frac{\partial (\sin \vartheta A_\vartheta)}{\partial \vartheta} + \frac{1}{r \sin \vartheta} \frac{\partial A_\varphi}{\partial \varphi}$
Συνιστώσες τοῦ Στροβιλισμοῦ τοῦ $\vec{A} : \vec{\nabla} \times \vec{A}$		
$(\vec{\nabla} \times \vec{A})_x = \frac{\partial A_z}{\partial y} - \frac{\partial A_y}{\partial z}$	$(\vec{\nabla} \times \vec{A})_\rho = \left( \frac{1}{\rho} \frac{\partial A_\varphi}{\partial \varphi} - \frac{\partial A_z}{\partial z} \right)$	$(\vec{\nabla} \times \vec{A})_r = \frac{1}{r \sin \vartheta} \left\{ \frac{\partial (\sin \vartheta A_\varphi)}{\partial \vartheta} - \frac{\partial A_\vartheta}{\partial \varphi} \right\}$
$(\vec{\nabla} \times \vec{A})_y = \frac{\partial A_x}{\partial z} - \frac{\partial A_z}{\partial x}$	$(\vec{\nabla} \times \vec{A})_\varphi = \left( \frac{\partial A_\rho}{\partial z} - \frac{\partial A_z}{\partial \rho} \right)$	$(\vec{\nabla} \times \vec{A})_\vartheta = \frac{1}{r \sin \vartheta} \frac{\partial A_r}{\partial \varphi} - \frac{1}{r} \frac{\partial (r A_\varphi)}{\partial r}$
$(\vec{\nabla} \times \vec{A})_z = \frac{\partial A_y}{\partial x} - \frac{\partial A_x}{\partial y}$	$(\vec{\nabla} \times \vec{A})_z = \frac{1}{\rho} \left\{ \frac{\partial (\rho A_\varphi)}{\partial \rho} - \frac{\partial A_\rho}{\partial \varphi} \right\}$	$(\vec{\nabla} \times \vec{A})_\varphi = \frac{1}{r} \left\{ \frac{\partial (r A_\vartheta)}{\partial r} - \frac{\partial A_r}{\partial \vartheta} \right\}$
Ἡ Λαπλασιανή τοῦ $\psi : \text{div grad} \psi = \nabla^2 \psi$		
$\frac{\partial^2 \psi}{\partial x^2} + \frac{\partial^2 \psi}{\partial y^2} + \frac{\partial^2 \psi}{\partial z^2}$	$\frac{1}{\rho} \frac{\partial}{\partial \rho} \left( \rho \frac{\partial \psi}{\partial \rho} \right) + \frac{1}{\rho^2} \frac{\partial^2 \psi}{\partial \varphi^2} + \frac{\partial^2 \psi}{\partial z^2}$	$\frac{1}{r^2} \frac{\partial}{\partial r} \left( r^2 \frac{\partial \psi}{\partial r} \right) + \frac{1}{r^2 \sin \vartheta} \frac{\partial}{\partial \vartheta} \left( \sin \vartheta \frac{\partial \psi}{\partial \vartheta} \right) + \frac{1}{r^2 \sin^2 \vartheta} \frac{\partial^2 \psi}{\partial \varphi^2}$

## ΠΙΝΑΚΑΣ 1-Π

## Κύριοι Τύποι τῆς Διανυσματικῆς Ἀνάλυσης

$$(1) \vec{A} \cdot \vec{B} \times \vec{C} = (\vec{A}, \vec{B}, \vec{C}) = (\vec{B}, \vec{C}, \vec{A}) = (\vec{C}, \vec{A}, \vec{B}) = \\ = -(\vec{A}, \vec{C}, \vec{B}) = -(\vec{C}, \vec{B}, \vec{A}) = -(\vec{B}, \vec{A}, \vec{C}).$$

$$(2) \vec{A} \times (\vec{B} \times \vec{C}) = (\vec{A} \cdot \vec{C}) \vec{B} - (\vec{A} \cdot \vec{B}) \vec{C}$$

$$(3) (\vec{A} \times \vec{B}) \cdot (\vec{C} \times \vec{D}) = \vec{A} \cdot [\vec{B} \times (\vec{C} \times \vec{D})] = (\vec{A} \cdot \vec{C})(\vec{B} \cdot \vec{D}) - (\vec{A} \cdot \vec{D})(\vec{B} \cdot \vec{C})$$

$$(4) (\vec{A} \times \vec{B}) \times (\vec{C} \times \vec{D}) = (\vec{A} \times \vec{B} \cdot \vec{D}) \vec{C} - (\vec{A} \times \vec{B} \cdot \vec{C}) \vec{D}$$

$$(5) \text{grad}(\varphi\psi) \equiv \vec{\nabla}(\varphi\psi) = \varphi \vec{\nabla}\psi + \psi \vec{\nabla}\varphi$$

$$(6) \text{div}(\varphi \vec{A}) \equiv \vec{\nabla} \cdot (\varphi \vec{A}) = \vec{A} \cdot \vec{\nabla}\varphi + \varphi \vec{\nabla} \cdot \vec{A}$$

$$(7) \text{rot}(\varphi \vec{A}) \equiv \vec{\nabla} \times (\varphi \vec{A}) = \varphi \vec{\nabla} \times \vec{A} - \vec{A} \times \vec{\nabla}\varphi$$

$$(8) \text{div}(\vec{A} \times \vec{B}) \equiv \vec{\nabla} \cdot (\vec{A} \times \vec{B}) = \vec{B} \cdot (\vec{\nabla} \times \vec{A}) - \vec{A} \cdot (\vec{\nabla} \times \vec{B})$$

$$(9) \text{rot}(\vec{A} \times \vec{B}) \equiv \vec{\nabla} \times (\vec{A} \times \vec{B}) = \\ = \vec{A}(\vec{\nabla} \cdot \vec{B}) - \vec{B}(\vec{\nabla} \cdot \vec{A}) + (\vec{B} \cdot \vec{\nabla})\vec{A} - (\vec{A} \cdot \vec{\nabla})\vec{B}$$

$$(10) \text{grad}(\vec{A} \cdot \vec{B}) \equiv \vec{\nabla}(\vec{A} \cdot \vec{B}) = \\ = \vec{A} \times (\vec{\nabla} \times \vec{B}) + \vec{B} \times (\vec{\nabla} \times \vec{A}) + (\vec{B} \cdot \vec{\nabla})\vec{A} + (\vec{A} \cdot \vec{\nabla})\vec{B}$$

$$(11) \vec{\nabla}^2 \varphi = \vec{\nabla} \cdot \vec{\nabla} \varphi$$

$$(12) \vec{\nabla}^2 \vec{A} = \vec{\nabla}(\vec{\nabla} \cdot \vec{A}) - \vec{\nabla} \times (\vec{\nabla} \times \vec{A})$$

$$(13) \vec{\nabla} \times \vec{\nabla} \varphi = \vec{0}$$

$$(14) \vec{\nabla} \cdot (\vec{\nabla} \times \vec{A}) = 0$$

$$(15) \vec{\nabla} \times \vec{\nabla} \times \vec{A} = \vec{\nabla} \vec{\nabla} \cdot \vec{A} - \nabla^2 \vec{A}$$

$$(16) \int_V (\varphi \vec{\nabla}^2 \psi + \vec{\nabla} \varphi \cdot \vec{\nabla} \psi) dV = \oint_S \varphi \vec{\nabla} \psi \cdot d\vec{S}$$

$$(17) \int_V (\varphi \vec{\nabla}^2 \psi - \psi \vec{\nabla}^2 \varphi) dV = \oint_S (\varphi \vec{\nabla} \psi - \psi \vec{\nabla} \varphi) \cdot d\vec{S}$$

$$(18) \int_V \vec{\nabla} \varphi dV = \oint_S \varphi d\vec{S}$$



Στούς δύο πίνακες 1-I και 1-II συνοψίζουμε τις εκφράσεις των  $\nabla\psi$ ,  $\vec{\nabla}\cdot\vec{A}$ ,  $\vec{\nabla}\times\vec{A}$  και  $\nabla^2\psi$  στο ορθογώνιο καρτεσιανό σύστημα, στο κυλινδρικό και τό σφαιρικό, καθώς και τούς κυριότερους τύπους της διανυσματικής ανάλυσης.

## 1.7. Πότε Γνωρίζουμε Τελείως "Ένα Πεδίο;

Θά έλεγε κανένας ότι ή γνώση του  $\vec{\nabla}\times\vec{A}$  άρκει για να προσδιορίσουμε τό πεδίο  $\vec{A}(\vec{r})$ , γιατί ή διανυσματική διαφορική εξίσωση

$$\vec{\nabla}\times\vec{A}=\vec{a} \quad (1-60)$$

αναλύεται σε τρεις μονόμετρες διαφορικές εξισώσεις μέ τρεις άγνωστους ( $A_x$ ,  $A_y$ ,  $A_z$ ). Από τις τρεις, όμως, αυτές διαφορικές εξισώσεις οι δύο μόνο είναι ανεξάρτητες μεταξύ τους, γιατί ισχύει ή ταυτότητα :

$$\vec{\nabla}\cdot\vec{\nabla}\times\vec{A}\equiv 0 \quad (1-61)$$

"Αν όμως ξέρουμε και τό  $\vec{\nabla}\cdot\vec{A}=\beta$  τότε έχουμε ακόμα μία διαφορική εξίσωση ανεξάρτητη από τις άλλες.

"Ωστε έχοντας τό  $\vec{\nabla}\times\vec{A}$  και τό  $\vec{\nabla}\cdot\vec{A}$  προσδιορίζουμε πλήρως τό πεδίο  $\vec{A}$ .

## 1.8. Χρονική Περιγραφή - Μιγαδικές Έκφράσεις των Άρμονιχών Πεδίων.

Στή γενική περίπτωση, ένα πεδίο - μονόμετρο  $\Phi$  ή διανυσματικό  $\vec{A}$  - είναι συνάρτηση και του χρόνου  $t$ .

Είναι δηλαδή :

$$\begin{aligned} \Phi &= \Phi(\vec{r}, t) \\ \vec{A} &= \vec{A}(\vec{r}, t) \end{aligned} \quad (1-62)$$

Δεδομένου ότι η χρονική εξέλιξη των πεδίων που μας ενδιαφέρουν είναι κυρίως αρμονική (ήμειτονική ή συνημιτονική) θα ασχοληθούμε ιδιαίτερα με την περίπτωση αυτή.

Στη μελέτη των αρμονικών πεδίων πολλά προσφέρει ο μιγαδικός λογισμός γιατί απλοποιεί τις πράξεις και μετατρέπει τις διαφορικές εξισώσεις σε αλγεβρικές.

Έτσι, τα αρμονικά πεδία

$$\Phi(\vec{r}, t) = \Phi_0(\vec{r}) \cos(\omega t + \varphi(\vec{r})) \quad (1-63)$$

$$\vec{A}(\vec{r}, t) = A_0(\vec{r}) \hat{A} \cos(\omega t + \varphi(\vec{r}))$$

μπορούν να θεωρηθούν ως τα πραγματικά μέρη μιγαδικών πεδίων :

$$\Phi(\vec{r}, t) = \text{Re} \left[ \Phi_0(\vec{r}) e^{j(\omega t + \varphi(\vec{r}))} \right] \quad (1-64)$$

$$\vec{A}(\vec{r}, t) = \text{Re} \left[ A_0(\vec{r}) \hat{A} e^{j(\omega t + \varphi(\vec{r}))} \right]$$

Αν γράψουμε τις (1-64) με τη μορφή :

$$\Phi(\vec{r}, t) = \text{Re} \left[ \Phi(\vec{r}) e^{j\omega t} \right] \quad (1-65)$$

$$\vec{A}(\vec{r}, t) = \text{Re} \left[ \vec{A}(\vec{r}) e^{j\omega t} \right]$$

ορίζουμε τα λεγόμενα φασικά πεδία  $\Phi(\vec{r})$  και  $\vec{A}(\vec{r})$  (phasors), που αντιστοιχούν στα πραγματικά  $\Phi$  και  $\vec{A}$ .

Τα φασικά πεδία είναι μιγαδικά, έχουν, δηλ. μέτρο και φάση και είναι συναρτήσεις μόνο της θέσης  $\vec{r}$  και όχι του χρόνου  $t$ .

Από τις (1-64), (1-65) προκύπτουν οι σχέσεις :

$$\Phi(\vec{r}) = \Phi_0(\vec{r}) e^{j\varphi(\vec{r})}$$

$$\vec{A}(\vec{r}) = A_0(\vec{r}) e^{j\varphi(\vec{r})} \hat{A} \quad (1-66)$$

Ἡ χρήση τῶν φασικῶν πεδίων εἶναι πολύτιμη στή λύση γραμμικῶν διαφορικῶν ἐξισώσεων, ὥς πρὸς τὸ χρόνο γιὰτὶ μᾶς ἐπιτρέπει τὶς τελεστικὲς ἀντιστοιχίες:

$$\frac{\partial}{\partial t} \Leftrightarrow j\omega \quad (1-67)$$

$$\int \cdot dt \Leftrightarrow \frac{1}{j\omega} \quad (1-68)$$

Ἐφαρμόζοντας τὶς ἀντιστοιχίες αὐτές στή γραμμικὴ διαφορικὴ ἐξίσωση καταλήγουμε σέ ἀλγεβρικὴ ἐξίσωση μὲ ἄγνωστο τὸ  $\phi$  ἢ τὸ  $\bar{A}$ . Καὶ τότε μὲ τὶς (1-65) προσδιορίζουμε τὰ πραγματικὰ ἁρμονικὰ πεδία .

Π α ρ α τ ῆ ρ ῆ σ η

Τέτοιες ἀντιστοιχίες δέν πρέπει νὰ ἐφαρμόζονται σέ σχέσεις, πού δέν εἶναι γραμμικές . Π.χ. εἶναι :

$$\bar{A} \cdot \bar{B} = \text{Re}[\bar{A}e^{j\omega t}] \cdot \text{Re}[\bar{B}e^{j\omega t}] = \frac{1}{2} \text{Re}[\bar{A} \cdot \bar{B}^* + \bar{A} \cdot \bar{B}e^{j2\omega t}]$$

δηλαδή

$$\bar{A} \cdot \bar{B} \neq \text{Re}[\bar{A} \cdot \bar{B}e^{j2\omega t}]$$





## 2. ΟΙ ΕΞΙΣΩΣΕΙΣ ΤΟΥ MAXWELL

Σκοπός μας είναι να συνδέσουμε τα πεδία με τις πηγές τους μέσα σε κάποιο υλικό μέσο.

### 2.1. Κλασικοί φυσικοί νόμοι που οδήγησαν στις εξισώσεις του Maxwell.

#### 2.1.1. Νόμος του Ampere.

Σύμφωνα με το νόμο του Ampere το κλειστό έπικαμπύλιο ολοκλήρωμα της μαγνητικής διέγερσης\*)  $\oint_C \vec{H} \cdot d\vec{l}$  ή πάνω σε μία κλειστή καμπύλη C είναι ίσο με την ένταση I του ρεύματος, που περικλείνει ή καμπύλη C :

$$\oint_C \vec{H} \cdot d\vec{l} = I \quad (2-1)$$

#### 2.1.2. Νόμος του Faraday.

Ο νόμος του Faraday διατυπώνεται με τη σχέση :

$$U_{επ} = - \frac{\partial \Psi}{\partial t} \quad (2-2)$$

όπου  $\partial \Psi$  ή στοιχειώδης μεταβολή της μαγνητικής ροής, που διαπερνά την επιφάνεια ενός πλαισίου, σε χρόνο  $\partial t$  και  $U_{επ}$  ή έπα-

\*) Το χαρακτηριστικό μέγεθος του μαγνητικού πεδίου, που αντιστοιχεί στην ένταση  $\vec{E}$  του ηλεκτρικού πεδίου είναι το  $\vec{B}$ , που πριν τό λέγαμε "μαγνητική έπαγωγή" και τώρα θά τό λέμε "ένταση του μαγνητικού πεδίου". Στο μέγεθος  $\vec{D}$  (πρώην "διηλεκτρική μετατόπιση"), που θά τό λέμε "ηλεκτρική διέγερση", αντιστοιχεί τό  $\vec{H}$ , που θά τό λέμε "μαγνητική διέγερση" (πρώην "ένταση μαγνητικού πεδίου")

γωγιική τάση, που αναπτύσσεται στα άκρα του πλαισίου .

### 2.1.3. Νόμος του Gauss για την ηλεκτρική διέγερση $\vec{D}$ .

Ο νόμος αυτός, που είναι γνωστός και ως " νόμος της ηλεκτρικής ροής " διατυπώνεται έτσι :

$$\oint_S \vec{D} \cdot d\vec{S} = \int_V \rho dV = q \quad (2-3)$$

όπου  $S$  είναι μία κλειστή επιφάνεια, που περιορίζει έναν όγκο  $V$ ,  
 $\rho$  ή πυκνότητα φορτίου και  $q$  το όλικό φορτίο μέσα στον όγκο  $V$  .

### 2.1.4. Νόμος του Gauss για το μαγνητικό πεδίο $\vec{B}$ .

Ο νόμος αυτός διατυπώνεται με τη σχέση :

$$\oint_S \vec{B} \cdot d\vec{S} = 0 \quad (2-4)$$

και εκφράζει ότι δεν υπάρχουν μεμονωμένα μαγνητικά " φορτία " (ποσότητες μαγνητισμού) .

### 2.1.5. Νόμος του Ohm.

Στή γενική του μορφή ο νόμος του Ohm έχει τη μορφή

$$\vec{J} = \sigma \vec{E} \quad (2-5)$$

όπου  $\vec{J}$  ή πυκνότητα ρεύματος σε κάποιο σημείο μέσα σ' έναν άγωγο,  
 $\sigma$  ή ειδική αγωγιμότητά του και  $\vec{E}$  ή ένταση του ηλεκτρικού πεδίου στο σημείο αυτό.



## 2.2. Οι εξισώσεις του Maxwell.

### 2.2.1. Πρώτη εξίσωση του Maxwell.

Από το νόμο του Ampere έχουμε:

$$\oint_C \vec{H} \cdot d\vec{l} = \int_S \vec{J} \cdot d\vec{s} \quad (2-6)$$

όπου  $\vec{J} = \sigma \vec{E}$  ή πυκνότητα ρεύματος αγωγής και  $\sigma$  ή ειδική αγωγιμότητα, ή  $\vec{J} = \rho \vec{v}$  ή πυκνότητα ρεύματος μεταφοράς.

Ο Maxwell για να κάνει το νόμο του Ampere να ισχύει και στην περίπτωση της κίνησης κύματος στον ελεύθερο χώρο, όρισε το μέγεθος :

$$\vec{J}_d = \frac{\partial \vec{D}}{\partial t} \quad (2-7)$$

και το ονόμασε " πυκνότητα ρεύματος μετατόπισης " (displacement current density ). Και στην (2-6) αντί του  $\vec{J}$  χρησιμοποίησε το άθροισμα  $\vec{J} + \vec{J}_d$  . Δηλαδή :

$$\oint_C \vec{H} \cdot d\vec{l} = \int_S \left( \vec{J} + \frac{\partial \vec{D}}{\partial t} \right) \cdot d\vec{s} \quad (2-8)$$

Εφαρμόζοντας το θεώρημα του Stokes :

$$\int_S (\vec{\nabla} \times \vec{F}) \cdot d\vec{s} = \oint_C \vec{F} \cdot d\vec{l}$$

γράφουμε την (2-8) ως εξής :

$$\int_S \left( \vec{J} + \frac{\partial \vec{D}}{\partial t} \right) \cdot d\vec{s} = \int_S (\nabla \times \vec{H}) \cdot d\vec{s}$$

$$\int_S \left[ \vec{\nabla} \times \vec{H} - \left( \vec{J} + \frac{\partial \vec{D}}{\partial t} \right) \right] \cdot d\vec{s} = 0 \quad (2-9)$$

Επειδή όμως η επιφάνεια  $S$  είναι αυθαίρετη, για να αληθεύει η (2-9) πρέπει :

$$\boxed{\vec{\nabla} \times \vec{H} = \vec{J} + \frac{\partial \vec{D}}{\partial t}} \quad (2-10)$$

Η σχέση (2-10) εκφράζει την 1<sup>η</sup> εξίσωση του Maxwell, όπου  $\vec{J}$  η πυκνότητα ρεύματος άγωγής (όταν πρόκειται για κίνηση φορτίων μέσα σε υλικό) ή η πυκνότητα του ρεύματος μεταφοράς (όταν πρόκειται για κίνηση φορτίων στον ελεύθερο χώρο) και  $\partial \vec{D} / \partial t$  ο ρυθμός μεταβολής της ηλεκτρικής διέγερσης (πυκνότητα ρεύματος μετατόπισης).

### 2.2.2. Δεύτερη εξίσωση του Maxwell.

Από το νόμο του Faraday και από την ολική μαγνητική ροή, που διαπερνά την επιφάνεια, που περιορίζεται από το πλαίσιο :

$$\Psi = \int_S \vec{B} \cdot d\vec{s} \quad (2-11)$$

έχουμε :

$$U_{επ} = - \frac{\partial}{\partial t} \int_S \vec{B} \cdot d\vec{s} = - \int_S \frac{\partial \vec{B}}{\partial t} \cdot d\vec{s}$$

άλλά :

$$U_{επ} = \oint_C \vec{E} \cdot d\vec{l}$$

Ωστε:

$$\oint_C \vec{E} \cdot d\vec{l} = - \int_S \frac{\partial \vec{B}}{\partial t} \cdot d\vec{S} \quad (2-12)$$

Εφαρμόζοντας τό θεώρημα τοῦ Stokes ἔχουμε :

$$\int_S (\vec{\nabla} \times \vec{E}) \cdot d\vec{S} = - \int_S \frac{\partial \vec{B}}{\partial t} \cdot d\vec{S}$$

ἢ

$$\int_S \left( \vec{\nabla} \times \vec{E} + \frac{\partial \vec{B}}{\partial t} \right) \cdot d\vec{S} = 0 \quad (2-13)$$

Επειδὴ καὶ πάλι ἡ ἐπιφάνεια  $S$  εἶναι αὐθαίρετη, γιὰ νὰ ἰσχύει ἡ (2-13) πρέπει :

$$\boxed{\vec{\nabla} \times \vec{E} = - \frac{\partial \vec{B}}{\partial t}} \quad (2-14)$$

Ἡ (2-14) ἀποτελεῖ τὴ 2<sup>η</sup> ἐξίσωση τοῦ Maxwell.

### 2.2.3. Τρίτη ἐξίσωση τοῦ Maxwell.

Ἀπὸ τὸ νόμο τοῦ Gauss (2-3) γιὰ τὴν  $\vec{D}$  εἶναι :

$$\oint_S \vec{D} \cdot d\vec{S} = \int_V \rho dV$$

Εφαρμόζοντας τό θεώρημα τοῦ Gauss , ἔχουμε :

$$\oint_S \vec{D} \cdot d\vec{S} = \int_V \vec{\nabla} \cdot \vec{D} dV = \int_V \rho dV$$

$$\int_V [\vec{\nabla} \cdot \vec{D} - \rho] dV = 0 \quad (2-15)$$

Από όπου προκύπτει η 3<sup>η</sup> εξίσωση του Maxwell:

$$\boxed{\vec{\nabla} \cdot \vec{D} = \rho} \quad (2-16)$$

### 2.2.4. Τέταρτη εξίσωση του Maxwell.

Από το νόμο του Gauss (2-4) για το  $\vec{B}$  :

$$\oint_S \vec{B} \cdot d\vec{S} = 0$$

Έχουμε :

$$\oint_S \vec{B} \cdot d\vec{S} = \int_V \vec{\nabla} \cdot \vec{B} \, dV = 0 \quad (2-17)$$

Επειδή ο όγκος  $V$  και η επιφάνεια  $S$  μπορούν να παρθούν αυθαίρετα για να αληθεύει η (2-17) πρέπει :

$$\boxed{\vec{\nabla} \cdot \vec{B} = 0} \quad (2-18)$$

Η (2-18) είναι η 4<sup>η</sup> εξίσωση του Maxwell.

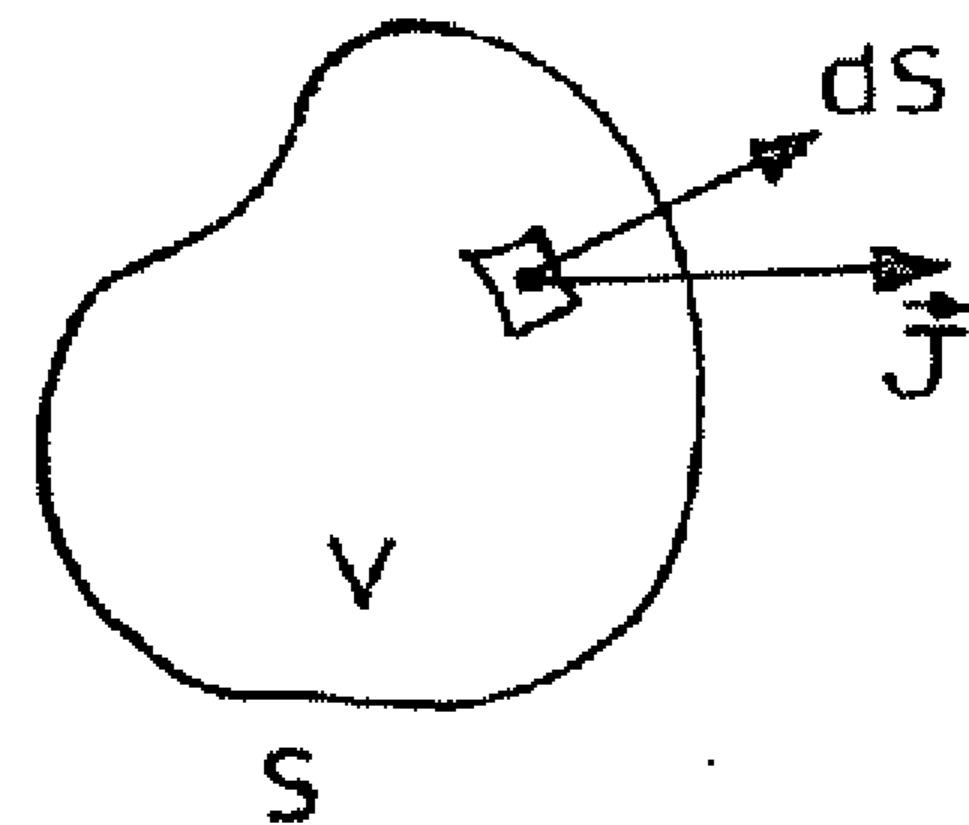
### 2.3. Η εξίσωση της συνέχειας.

Η εξίσωση της συνέχειας είναι μερική περίπτωση της γενικής ομώνυμης εξίσωσης και είναι απόρροια της αρχής της διατήρησης του φορτίου :

Τό ολικό φορτίο, που περιέχει ο όγκος  $V$  (βλ. σχ. 2-1) είναι :

$$q = \int_V \rho \, dV \quad (2-19)$$

Αν μέσα στον όγκο  $V$  δεν υπάρχουν πηγές ούτε καταβόθρες φορτίου, τότε :



Σχ. 2-1 Η εξίσωση της συνέχειας βασίζεται στην αρχή της διατήρησης του φορτίου μέσα στον όγκο  $V$ .



$$\left( \begin{array}{l} \text{ρυθμός ελάττωσης} \\ \text{του φορτίου } q \text{ μέ-} \\ \text{σα στον όγκο } V \end{array} \right) = \left( \begin{array}{l} \text{ρυθμός έκροης} \\ \text{φορτίου μέσω} \\ \text{της } S \end{array} \right) \quad (2-20)$$

ή

$$-\frac{\partial}{\partial t} \left( \int_V \rho \, dv \right) = \oint_S \vec{J} \cdot d\vec{S} \quad (2-21)$$

Με εφαρμογή του θεωρήματος του Gauss ή (2-21) γίνεται :

$$-\int_V \frac{\partial \rho}{\partial t} \, dv = \int_V \vec{\nabla} \cdot \vec{J} \, dv \quad (2-22)$$

ή

$$\int_V \left[ \vec{\nabla} \cdot \vec{J} + \frac{\partial \rho}{\partial t} \right] dv = 0 \quad (2-23)$$

Επειδή, όμως, ο όγκος  $V$  είναι αυθαίρετος, πρέπει :

$$\boxed{\vec{\nabla} \cdot \vec{J} + \frac{\partial \rho}{\partial t} = 0} \quad (2-24)$$

π α ρ α τ ή ρ η σ η

Η εξίσωση της συνέχειας είναι δυνατό να προκύψει από την πρώτη και την τρίτη εξίσωση του Maxwell :

$$\vec{\nabla} \times \vec{H} = \vec{J} + \frac{\partial \vec{D}}{\partial t} \quad (2-25)$$

$$\vec{J} = \vec{\nabla} \times \vec{H} - \frac{\partial \vec{D}}{\partial t}$$

$$\vec{\nabla} \cdot \vec{J} = \vec{\nabla} \cdot (\vec{\nabla} \times \vec{H}) - \vec{\nabla} \cdot \frac{\partial \vec{D}}{\partial t} = 0 - \frac{\partial (\vec{\nabla} \cdot \vec{D})}{\partial t}$$

Αλλά

$$\vec{\nabla} \cdot \vec{D} = \rho$$

Οστε :

$$\vec{\nabla} \cdot \vec{J} + \frac{\partial \rho}{\partial t} = 0 \quad (2-26)$$

Δηλαδή, η εξίσωση της συνέχειας περιέχεται μέσα στις εξισώσεις του Maxwell .

## ΠΙΝΑΚΑΣ 2-Ι

Οι Βασικές Έξισώσεις του Ήλεκτρομαγνητισμού.

Έξισώσεις του Maxwell			
Όλοκληρωτική μορφή		Διαφορική μορφή	
$\oint_C \vec{H} \cdot d\vec{l} = \int_S \left( \vec{J} + \frac{\partial \vec{D}}{\partial t} \right) \cdot d\vec{S}$	(2-27)	$\vec{\nabla} \times \vec{H} = \vec{J} + \frac{\partial \vec{D}}{\partial t}$	(2-31)
$\oint_C \vec{E} \cdot d\vec{l} = - \int_S \frac{\partial \vec{B}}{\partial t} \cdot d\vec{S}$	(2-28)	$\vec{\nabla} \times \vec{E} = - \frac{\partial \vec{B}}{\partial t}$	(2-32)
$\oint_S \vec{D} \cdot d\vec{S} = \int_V \rho dV$	(2-29)	$\vec{\nabla} \cdot \vec{D} = \rho$	(2-33)
$\oint_S \vec{B} \cdot d\vec{S} = 0$	(2-30)	$\vec{\nabla} \cdot \vec{B} = 0$	(2-34)
Έξισωση της συνέχειας :		$\vec{\nabla} \cdot \vec{J} + \frac{\partial \rho}{\partial t} = 0$	(2-35)
Έξισωση της δύναμης :		$\vec{F} = \frac{d(m \vec{v})}{dt}, \vec{F} = q(\vec{E} + \vec{v} \times \vec{B})$	(2-36)
Έξισώσεις του μέσου			
$\vec{D} = \epsilon \vec{E} = \epsilon_0 \vec{E} + \vec{P}$	(2-37)	$\vec{H} = \mu^{-1} \vec{B} = \mu_0^{-1} \vec{B} - \vec{M}$	(2-41)
$\vec{P} = \chi_e \epsilon_0 \vec{E}$	(2-38)	$\vec{M} = \frac{\chi_m}{1 + \chi_m} \mu_0^{-1} \vec{B} = \chi_m \vec{H}$	(2-42)
$\epsilon = \epsilon_0 (1 + \chi_e)$	(2-39)	$\mu = \mu_0 (1 + \chi_m)$	(2-43)
$\epsilon_r = \frac{\epsilon}{\epsilon_0} = 1 + \chi_e$	(2-40)	$\mu_r = \frac{\mu}{\mu_0} = 1 + \chi_m$	(2-44) *
		$\vec{J} = \sigma \vec{E}$	ή
		$\vec{J} = \rho \vec{v}$	(2-45)
		$v^2 = \frac{1}{\epsilon \mu}$	(2-46)
		$c^2 = \frac{1}{\epsilon_0 \mu_0}$	(2-47)
ΟΡΟΛΟΓΙΑ			
$\vec{E}$ : Ένταση του ηλεκτρικού πεδίου		$\mu_r$ : σχετική μαγν. διαπερατότητα	
$\vec{B}$ : " " μαγνητικού " "		$\chi_e$ : ηλεκτρική επιδεκτικότητα	
$\vec{D}$ : ηλεκτρική διέγερση του μέσου		$\chi_m$ : μαγνητική " "	
$\vec{H}$ : μαγνητική " " " "		$\sigma$ : ειδική αγωγιμότητα	
$\vec{J}$ : πυκνότητα ρεύματος αγωγής ή μεταφοράς		$\vec{P}$ : ηλεκτρική πόλωση του μέσου	
		$\vec{M}$ : μαγνητική " " " "	
$\rho$ : πυκνότητα φορτίου		$c$ : ταχύτητα κύματος στο κενό	
$\epsilon$ : απόλυτη διηλεκτρική σταθερά		$v$ : " " σε υλικό μέσο	
$\epsilon_r$ : σχετική " " " "		$\epsilon_0$ : διηλ. σταθερά του κενού (απόλ.)	
$\mu$ : απόλυτη μαγν. διαπερατότητα		$\mu_0$ : μαγν. διαπερ/τητα " " ( " )	

\*) Οι τύποι (2-41) - (2-44) δά είχαν πλήρη αναλογία με τους (2-37) - (2-40) αν είχε οριστεί  $\mu^* = \mu^{-1}$ ,  $\mu_0^* = \mu_0^{-1}$ ,  $\chi_e^* = \chi_e$  και  $\chi_m^* = -\frac{\chi_m}{1 + \chi_m}$

## 2.4.Οι εξισώσεις του Maxwell όταν τα πεδία και οι πηγές τους είναι αρμονικά.

"Όταν τα πεδία και οι πηγές τους είναι αρμονικές συναρτήσεις του χρόνου, τότε χρησιμοποιώντας μιγαδική ανάλυση μπορούμε να χειριστούμε εύκολότερα τις εξισώσεις (βλ. παρ. 1.8), αν αντί των πραγματικών πεδίων πάρουμε τα αντίστοιχα φασικά (phasors). Για την κάθε περίπτωση, ξεκινάμε χρησιμοποιώντας στην αντίστοιχη διαφορική εξίσωση, τις τελεστικές αντιστοιχίες (1-67), (1-68) εφαρμοσμένες πάνω στους αντίστοιχους phasors.

### 2.4.1. Πρώτη εξίσωση του Maxwell.

Από την (2-10) έχουμε :

$$\vec{\nabla} \times \vec{H} = \vec{J} + j\omega \vec{D} \quad (2-48)$$

ή

$$\vec{\nabla} \times \vec{H} = (\sigma + j\omega \epsilon) \vec{E} \quad (2-49)$$

### 2.4.2. Δεύτερη εξίσωση του Maxwell.

Από την (2-14) έχουμε :

$$\vec{\nabla} \times \vec{E} = -j\omega \vec{B} \quad (2-50)$$

### 2.4.3. Τρίτη εξίσωση του Maxwell.

Από την εξίσωση (2-16) προκύπτει :

$$\vec{\nabla} \cdot \vec{D} = \rho \quad (2-51)$$

### 2.4.4. Τέταρτη εξίσωση του Maxwell.

Από την εξίσωση (2-18) προκύπτει :

$$\vec{\nabla} \cdot \vec{B} = 0 \quad (2-52)$$

### 2.4.5. Εξίσωση της συνέχειας.

Από την εξίσωση (2-24) προκύπτει :

$$\vec{\nabla} \cdot \vec{J} + j\omega \rho = 0 \quad (2-53)$$





### 3. ΤΟ ΜΟΝΟΜΕΤΡΟ ΚΑΙ ΤΟ ΔΙΑΝΥΣΜΑΤΙΚΟ ΔΥΝΑΜΙΚΟ - ΕΞΙΣΩΣΕΙΣ ΠΕΔΙΟΥ.

#### 3.1. Όρισμοί.

Από την εξίσωση

$$\vec{\nabla} \cdot \vec{B} = 0 \quad (3-1)$$

βγάζουμε τό συμπέρασμα ότι μπορούμε νά γράφουμε :

$$\boxed{\vec{B} = \vec{\nabla} \times \vec{A}} \quad (3-2)$$

δεδομένου ότι γιά κάθε διάνυσμα  $\vec{A}$  είναι  $\vec{\nabla} \cdot \vec{\nabla} \times \vec{A} = 0$ .

Τό διανυσματικό πεδίο  $\vec{A}$ , πού όρίσαμε μ' αυτόν τόν τρόπο, λέγεται διανυσματικό δυναμικό.

Από τή 2<sup>η</sup> εξίσωση του Maxwell έχουμε :

$$\vec{\nabla} \times \vec{E} = - \frac{\partial \vec{B}}{\partial t} = - \frac{\partial}{\partial t} (\vec{\nabla} \times \vec{A}) = - \vec{\nabla} \times \frac{\partial \vec{A}}{\partial t} \quad (3-3)$$

Ολοκληρώνοντας τήν (3-3) έχουμε :

$$\vec{E} = - \frac{\partial \vec{A}}{\partial t} - \vec{K} \quad (3-4)$$

όπου  $\vec{K}$  = σταθερό διάνυσμα τέτοιο ώστε :

$$\vec{\nabla} \times \vec{K} = 0 \quad (3-5)$$

καί άρα μπορεί νά είναι

$$\vec{K} = \vec{\nabla} \Phi \quad (3-6)$$

όπου  $\Phi$  = μονόμετρο πεδίο. Όστε :

$$\boxed{\vec{E} = - \vec{\nabla} \Phi - \frac{\partial \vec{A}}{\partial t}} \quad (3-7)$$

Τό πεδίο  $\Phi$  λέγεται μ ο ν ό μ ε τ ρ ο δ υ ν α μ ι κ ό .

Στήν περίπτωση άρμονικά μεταβαλλόμενων πεδίων οί σχέσεις, (3-2) καί (3-7) γράφονται:

$$\vec{B} = \vec{\nabla} \times \vec{A} \quad (3-8)$$

$$\vec{E} = -\vec{\nabla} \Phi - j\omega \vec{A} \quad (3-9)$$

### 3.2. Έξισώσεις Πεδίου διατυπώμενες μέ τά δυναμικά.

Στήν 1<sup>η</sup> εξίσωση του Maxwell

$$\vec{\nabla} \times \vec{H} = \vec{J} + \frac{\partial \vec{D}}{\partial t} \quad (3-10)$$

θέτουμε:

$$\vec{H} = \mu^{-1} \vec{B} \quad (3-11)$$

καί

$$\vec{J} = \vec{J}_i + \vec{J}_r \quad (3-12)$$

όπου  $\vec{J}_i$  ή πυκνότητα ρεύματος, πού επιβάλλεται από έξω καί λέγεται πυκνότητα ρεύματος έπιβολής καί  $\vec{J}_r$  ή πυκνότητα του ρεύματος απόκρισης (ό χωρισμός αυτός του  $\vec{J}$  είναι γενικά αυθαίρετος καί εξαρτάται από τό συγκεκριμένο πρόβλημα) .

Τό ρεύμα απόκρισης μπορεί νά είναι ρεύμα άγωγής ή καί ρεύμα μεταφοράς. Στά παρακάτω θά υποθέσουμε τό πρώτο . Δηλαδή:

$$\vec{J}_r = \sigma \vec{E} \quad (3-13)$$

Στή (3-10) θέτουμε επίσης :

$$\vec{B} = \vec{\nabla} \times \vec{A} \quad (3-14)$$

καί

$$\vec{D} = \epsilon \vec{E} \quad (3-15)$$

καί ἔχουμε :

$$\vec{\nabla} \times (\vec{\nabla} \times \vec{A}) = \mu \sigma \vec{E} + \mu \vec{J}_i + \epsilon \mu \frac{\partial \vec{E}}{\partial t} \quad (3-16)$$

Ἀντικαθιστώντας

$$\vec{E} = -\vec{\nabla} \Phi - \frac{\partial \vec{A}}{\partial t} \quad (3-17)$$

$$\text{καί} \quad \frac{\partial \vec{E}}{\partial t} = -\vec{\nabla} \frac{\partial \Phi}{\partial t} - \frac{\partial^2 \vec{A}}{\partial t^2} \quad (3-18)$$

$$\text{καί} \quad \vec{\nabla} \times (\vec{\nabla} \times \vec{A}) = \vec{\nabla} (\vec{\nabla} \cdot \vec{A}) - \nabla^2 \vec{A} \quad (3-19)$$

ἔχουμε :

$$\vec{\nabla} (\vec{\nabla} \cdot \vec{A}) - \nabla^2 \vec{A} = -\mu \sigma \vec{\nabla} \Phi - \mu \sigma \frac{\partial \vec{A}}{\partial t} + \mu \vec{J}_i - \epsilon \mu \vec{\nabla} \frac{\partial \Phi}{\partial t} - \epsilon \mu \frac{\partial^2 \vec{A}}{\partial t^2} \quad \text{ἢ}$$

$$\nabla^2 \vec{A} - \epsilon \mu \frac{\partial^2 \vec{A}}{\partial t^2} - \mu \sigma \frac{\partial \vec{A}}{\partial t} = -\mu \vec{J}_i + \vec{\nabla} \left( \vec{\nabla} \cdot \vec{A} + \epsilon \mu \frac{\partial \Phi}{\partial t} + \sigma \mu \Phi \right) \quad (3-20)$$

Ἀπό τήν (3-2) δέν ὀρίζεται μονοσήμαντα τό δυναμικό  $\vec{A}$  (ἄλλῶς ὀρίζεται μιά ὁλόκληρη κλάση διανυσμάτων). Γιά νά τό προσδιορίσουμε μονοσήμαντα πρέπει ἐκτός ἀπό τό  $\vec{\nabla} \times \vec{A}$  νά ἔχουμε καί τό  $\vec{\nabla} \cdot \vec{A}$ . Ὁ Lorentz διατύπωσε τή συνθήκη .

$$\boxed{\vec{\nabla} \cdot \vec{A} + \epsilon \mu \frac{\partial \Phi}{\partial t} + \sigma \mu \Phi = 0} \quad (3-21)$$

πού λέγεται συνθήκη τοῦ Lorentz καί πού προσδιορίζει τήν  $\vec{\nabla} \cdot \vec{A}$ . Μέ τή συνθήκη τοῦ Lorentz ἡ (3-20) παίρνει τήν τελική της μορφή :

$$\boxed{\nabla^2 \vec{A} - \epsilon \mu \frac{\partial^2 \vec{A}}{\partial t^2} - \mu \sigma \frac{\partial \vec{A}}{\partial t} = -\frac{\vec{J}_i}{\mu^{-1}}} \quad (3-22)$$

Από την 3<sup>η</sup> εξίσωση του Maxwell έχουμε :

$$\vec{\nabla} \cdot \vec{D} = \rho$$

$$\vec{\nabla} \cdot \vec{E} = \frac{\rho}{\epsilon}$$

$$\vec{\nabla} \cdot \left( -\vec{\nabla} \Phi - \frac{\partial \vec{A}}{\partial t} \right) = \frac{\rho}{\epsilon}$$

$$\nabla^2 \Phi + \frac{\partial (\vec{\nabla} \cdot \vec{A})}{\partial t} = -\frac{\rho}{\epsilon} \quad (3-23)$$

Αντικαθιστώντας τό  $\vec{\nabla} \cdot \vec{A}$  από τη δεσμευτική συνθήκη του Lorentz στην (3-23) έχουμε :

$$\nabla^2 \Phi - \epsilon \mu \frac{\partial^2 \Phi}{\partial t^2} - \sigma \mu \frac{\partial \Phi}{\partial t} = -\frac{\rho}{\epsilon} \quad (3-24)$$

Οι εξισώσεις (3-22) και (3-24) είναι οι διαφορικές εξισώσεις των δυναμικών. 'Απ' αυτές προσδιορίζονται τά δυναμικά σέ συνάρτηση μέ τίς πηγές τους ( $\vec{J}_i$  και  $\rho$ ). Οι εξισώσεις αυτές είναι μή όμογενείς γενικευμένες διαφορικές εξισώσεις κύματος.

Η συνθήκη, λοιπόν, του Lorentz εξασφαλίζει ώστε τά δυναμικά  $\vec{A}$  και  $\Phi$  νά ικανοποιοϋν τη μή όμογενή γενικευμένη διαφορική εξίσωση κύματος \*).

Θέτοντας

$$\epsilon \mu = \frac{1}{v^2} \quad (3-25)$$

γράφουμε τίς (3-22), (3-24) έτσι:

$$\begin{aligned} \nabla^2 \vec{A} - \frac{1}{v^2} \frac{\partial^2 \vec{A}}{\partial t^2} - \mu \sigma \frac{\partial \vec{A}}{\partial t} &= -\frac{\vec{J}_i}{\mu^{-1}} \\ \nabla^2 \Phi - \frac{1}{v^2} \frac{\partial^2 \Phi}{\partial t^2} - \mu \sigma \frac{\partial \Phi}{\partial t} &= -\frac{\rho}{\epsilon} \end{aligned} \quad (3-26)$$

\*) Η δεσμευτική συνθήκη του Lorentz εξασφαλίζει τη συναλλοιότητα (covariant) ταυιστική σχέση μεταξύ των δυναμικών  $\vec{A}$  και  $\Phi$ .



Έχοντας υπόψη τη γενική μη ομογενή διαφορική εξίσωση κύματος, από τις (3-26) βγάζουμε το συμπέρασμα ότι η ταχύτητα του κύματος, που περιγράφουν, είναι  $u$  δηλαδή :

$$\boxed{u = \frac{1}{\sqrt{\epsilon\mu}}} \quad (3-27)$$

ένω ο όρος  $-\mu\sigma\frac{\partial}{\partial t}$  είναι ένας " όρος απόσβεσης " , που εφαρμόζεται όταν η ειδική αγωγιμότητα  $\sigma = 0$  .

Ο τελεστής

$$\square^2 \equiv \nabla^2 - \frac{1}{u^2} \frac{\partial^2}{\partial t^2} \quad (3-28)$$

λέγεται χωροχρονικός τελεστής του D'Alembert\*.)

Χρησιμοποιώντας τον τελεστή αυτό, π.χ. για την περίπτωση του κενού (όπου  $\sigma = 0$ ) γράφουμε τις (3-26) έτσι:

$$\square^2 \vec{A} = -\frac{\vec{J}_i}{\mu^{-1}} \quad (3-29)$$

$$\square^2 \Phi = -\frac{\rho}{\epsilon}$$

Όταν δεν υπάρχουν " διεγέρσεις " ( $\vec{J}_i=0$ ,  $\rho=0$ ) τότε οι (3-26) γίνονται ομογενείς .

\*)

Ο τελεστής του D'Alembert όταν εφαρμόζεται, στην περίπτωση αρμονικού πεδίου της μορφής  $\vec{A}e^{j\omega t}$  γράφεται :

$$\square^2 \equiv \nabla^2 + \frac{\partial^2}{\partial (j\omega t)^2} = \frac{\partial^2}{\partial x^2} + \frac{\partial^2}{\partial y^2} + \frac{\partial^2}{\partial z^2} + \frac{\partial^2}{\partial (j\omega t)^2}$$

(όπου  $x, y, z, j\omega t$  οι συντεταγμένες στον χώρο του Mincowski), ενώ για φασικό πεδίο (phasor)  $\vec{A}$  γράφεται :

$$\square^2 \equiv \nabla^2 + \frac{\omega^2}{u^2}$$

### 3.3. Έξισώσεις των πεδίων $\vec{E}$ και $\vec{B}$ .

"Ας φανταστούμε ένα όμογενές και ισότροπο μέσο και ας μελετήσουμε τα πεδία  $\vec{E}$  και  $\vec{B}$  μέσα στο μέσο αυτό.

Από την 1<sup>η</sup> εξίσωση του Maxwell έχουμε :

$$\vec{\nabla} \times \vec{H} = \vec{J} + \frac{\partial \vec{D}}{\partial t} = \vec{J}_i + \sigma \vec{E} + \epsilon \frac{\partial \vec{E}}{\partial t} \quad (3-30)$$

και

$$\frac{\partial}{\partial t} (\vec{\nabla} \times \vec{H}) = \vec{\nabla} \times \frac{\partial \vec{H}}{\partial t} = \frac{1}{\mu} \vec{\nabla} \times \frac{\partial \vec{B}}{\partial t} = \frac{\partial \vec{J}_i}{\partial t} + \sigma \frac{\partial \vec{E}}{\partial t} + \epsilon \frac{\partial^2 \vec{E}}{\partial t^2} \quad (3-31)$$

ή

$$-\vec{\nabla} \times (\vec{\nabla} \times \vec{E}) = \mu \frac{\partial \vec{J}_i}{\partial t} + \mu \sigma \frac{\partial \vec{E}}{\partial t} + \epsilon \mu \frac{\partial^2 \vec{E}}{\partial t^2}$$

ή

$$-\left(\vec{\nabla}(\vec{\nabla} \cdot \vec{E}) - \nabla^2 \vec{E}\right) = \epsilon \mu \frac{\partial^2 \vec{E}}{\partial t^2} + \mu \sigma \frac{\partial \vec{E}}{\partial t} + \mu \frac{\partial \vec{J}_i}{\partial t} \quad (3-32)$$

Αλλά είναι:

$$\vec{\nabla} \cdot \vec{E} = \frac{\rho}{\epsilon} \quad (3-33)$$

Από τις (3-32) και (3-33) προκύπτει η διαφορική εξίσωση του  $\vec{E}$  :

$$\boxed{\nabla^2 \vec{E} - \epsilon \mu \frac{\partial^2 \vec{E}}{\partial t^2} - \sigma \mu \frac{\partial \vec{E}}{\partial t} = \frac{1}{\epsilon} \vec{\nabla} \rho + \frac{1}{\mu} \frac{\partial \vec{J}_i}{\partial t}} \quad (3-34)$$

Σε σημεία όπου δεν υπάρχουν φορτία ( $\rho=0$ ) ούτε ρεύματα έμβολης

( $\vec{J}_i=0$ ) ή (3-34) γίνεται:

$$\boxed{\nabla^2 \vec{E} - \epsilon \mu \frac{\partial^2 \vec{E}}{\partial t^2} - \sigma \mu \frac{\partial \vec{E}}{\partial t} = 0} \quad (3-35)$$

"Αν επιπλέον το μέσο δεν έχει απώλειες ( $\sigma=0$ ) τότε η (3-35) γίνεται :

$$\nabla^2 \vec{E} - \frac{1}{v^2} \frac{\partial^2 \vec{E}}{\partial t^2} = 0 \quad \text{ή} \quad \square^2 \vec{E} = 0 \quad (3-36)$$

Από τη 2<sup>η</sup> εξίσωση του Maxwell έχουμε :

$$\vec{\nabla} \times \vec{E} = - \frac{\partial \vec{B}}{\partial t} \quad (3-37)$$

$$\frac{\partial^2 \vec{B}}{\partial t^2} = - \vec{\nabla} \times \frac{\partial \vec{E}}{\partial t} \quad (3-38)$$

Από την (3-30) έχουμε :

$$\frac{\partial \vec{E}}{\partial t} = \frac{1}{\epsilon} (\vec{\nabla} \times \vec{H} - \vec{J}_i - \sigma \vec{E}) \quad \text{και}$$

$$\vec{\nabla} \times \frac{\partial \vec{E}}{\partial t} = \frac{1}{\epsilon} \vec{\nabla} \times \vec{\nabla} \times \vec{H} - \frac{1}{\epsilon} \vec{\nabla} \times \vec{J}_i - \frac{\sigma}{\epsilon} \vec{\nabla} \times \vec{E} \quad (3-39)$$

Από τις (3-38) και (3-39) προκύπτει :

$$-\epsilon \frac{\partial^2 \vec{B}}{\partial t^2} = \vec{\nabla} (\vec{\nabla} \cdot \vec{H}) - \nabla^2 \vec{H} - \vec{\nabla} \times \vec{J}_i + \sigma \frac{\partial \vec{B}}{\partial t} \quad (3-40)$$

και επιπλέον

$$\vec{\nabla} \cdot \vec{H} = \frac{1}{\mu} \vec{\nabla} \cdot \vec{B} = 0 \quad \text{και} \quad \nabla^2 \vec{H} = \frac{1}{\mu} \nabla^2 \vec{B}$$

έχουμε τελικά:

$$\boxed{\nabla^2 \vec{B} - \epsilon \mu \frac{\partial^2 \vec{B}}{\partial t^2} - \sigma \mu \frac{\partial \vec{B}}{\partial t} = - \frac{\vec{\nabla} \times \vec{J}_i}{\mu^{-1}}} \quad (3-41)$$

Στήν περίπτωση που δεν υπάρχουν ρεύματα έπιβολής ( $\vec{J}_i=0$ ) ή (3-41) γίνεται:

$$\boxed{\nabla^2 \vec{B} - \epsilon \mu \frac{\partial^2 \vec{B}}{\partial t^2} - \sigma \mu \frac{\partial \vec{B}}{\partial t} = 0} \quad (3-42)$$

Αν έπιπλέον τό μέσο δεν έχει απώλειες ( $\sigma=0$ ) τότε ή (3-42) γίνεται:

$$\nabla^2 \vec{B} - \frac{1}{v^2} \frac{\partial^2 \vec{B}}{\partial t^2} = 0 \quad \eta \quad \square^2 \vec{B} = 0 \quad (3-43)$$

όπου  $v$  ή ταχύτητα της διάδοσης του κύματος μέσα στο μέσο αυτό και που τή δύνει ή σχέση (3-27) .

### 3.4. Οί εξισώσεις τών δυναμικών $\vec{A}$ και $\Phi$ και τών πεδίων $\vec{E}$ και $\vec{B}$ όταν αυτά είναι άρμονικά.

Στήν περίπτωση που πηγές και πεδία είναι άρμονικές συναρτήσεις του χρόνου, μπορούμε νά εκφράσουμε τς διαφορικές εξισώσεις τών  $\vec{A}$ ,  $\Phi$ ,  $\vec{E}$  και  $\vec{B}$ , που αναφέραμε στά προηγούμενα, μέ τά αντίστοιχα φασικά μεγέθη (phasors)  $\vec{A}$ ,  $\Phi$ ,  $\vec{E}$  και  $\vec{B}$ . Έτσι οί (3-22) και (3-24) γράφονται:

$$\nabla^2 \vec{A} + \omega^2 \epsilon \mu \vec{A} - j \omega \mu \sigma \vec{A} = - \frac{\vec{J}_i}{\mu^{-1}} \quad (3-44)$$

$$\nabla^2 \Phi + \omega^2 \epsilon \mu \Phi - j \omega \mu \sigma \Phi = - \frac{\rho}{\epsilon} \quad (3-45)$$

και οί (3-34) και (3-41) γράφονται:

$$\nabla^2 \vec{E} + \omega^2 \epsilon \mu \vec{E} - j \omega \mu \sigma \vec{E} = \frac{1}{\epsilon} \vec{\nabla} \rho + \frac{j \omega \vec{J}_i}{\mu^{-1}} \quad (3-46)$$



$$\nabla^2 \vec{E} + \omega^2 \epsilon \mu \vec{E} - j\omega\mu\sigma \vec{E} = - \frac{\vec{\nabla} \times \vec{J}_i}{\mu^{-1}} \quad (3-47)$$

### 3.5. Έφαρμογή στη διάδοση επίπεδου μονοχρωματικού κύματος.

Θεωρούμε ένα μέσο ομογενές και ισότροπο, που δεν περιέχει "διεγέρσεις" δηλ. είναι  $\vec{J}_i = 0$ ,  $\rho = 0$ . Στην περίπτωση αρμονικού κύματος, με κυκλική συχνότητα  $\omega$ , το ηλεκτρικό πεδίο θα ικανοποιεί τη διαφορική εξίσωση (3-46) με  $\rho = 0$  και  $\vec{J}_i = 0$  που μπορούμε να την ξαναγράψουμε έτσι:

$$\nabla^2 \vec{E} - (-\omega^2 \epsilon \mu + j\omega\mu\sigma) \vec{E} = 0 \quad (3-48)$$

$$\text{και αν} \quad \gamma^2 \equiv -\omega^2 \epsilon \mu + j\omega\mu\sigma \quad (3-49)$$

ή (3-48) γράφεται:

$$\nabla^2 \vec{E} - \gamma^2 \vec{E} = 0 \quad (3-50)$$

"Αν περιοριστούμε σε πεδίο  $\vec{E}$  πολωμένο κατά τη διεύθυνση  $\hat{y}$  και διαδιδόμενο κατά τη διεύθυνση  $\hat{x}$  μπορούμε να γράψουμε για το φασικό ηλεκτρικό πεδίο :

$$\vec{E} = E_y(x) \hat{y} \quad (3-51)$$

πού σε κάθε επίπεδο  $x = \text{σταθ.}$  έχει σταθερή τιμή είναι δηλ. ανεξάρτητο από τα  $y$  και  $z$  (επίπεδο κύμα) .

Από την (3-51) ή (3-50) γίνεται :

$$\frac{\partial^2 E_y}{\partial x^2} - \gamma^2 E_y = 0 \quad (3-52)$$

Η χαρακτηριστική εξίσωση της (3-52) είναι  $\nu^2 - \gamma^2 = 0$  οπότε  $\nu = \pm \gamma$  και η γενική λύση της είναι :

$$E_y = E_1 e^{\gamma x} + E_2 e^{-\gamma x} \quad (3-53)$$

όπου  $E_1$ ,  $E_2$  μιγαδικές, γενικά, σταθερές :

$$\begin{aligned} E_1 &= E_1 e^{j\delta_1} \\ E_2 &= E_2 e^{j\delta_2} \end{aligned} \quad (3-54)$$

Από την (3-49) είναι :

$$\gamma = \sqrt{-\omega^2 \epsilon \mu + j\omega \mu \sigma} \quad (3-55)$$

Γενικά, μπορούμε να γράψουμε :

$$\gamma = \alpha + j\beta \quad (3-56)$$

Η σταθερά  $\gamma$  λέγεται "σταθερά της διάδοσης", ή  $\alpha$  λέγεται "σταθερά της εξασθένησης" και η  $\beta$  "σταθερά της φάσης".

Η (3-53) λοιπόν γράφεται:

$$E_y = E_1 e^{\alpha x} e^{j(\beta x + \delta_1)} + E_2 e^{-\alpha x} e^{j(-\beta x + \delta_2)} \quad (3-57)$$

Πολλαπλασιάζοντας επί  $\hat{y} e^{j\omega t}$  και παίρνοντας τό πραγματικό μέρος έχουμε :

$$\vec{E} = \hat{y} E_1 e^{\alpha x} \cos(\omega t + \beta x + \delta_1) + \hat{y} E_2 e^{-\alpha x} \cos(\omega t - \beta x + \delta_2) \quad (3-58)$$

Η γενική λύση (3-58) είναι έπαλληλúa δύο επίπεδων κυμάτων, που διαδίδονται κατά διευθύνσεις αντίθετες όπως φαίνεται από την αντίθεση του προσήμου του  $x$  στους δύο όρους.

### 3.5.1. Σέ μέσο χωρίς απώλειες ( $\sigma=0$ , ή $\sigma \ll \omega\epsilon$ )

Στήν περίπτωση αυτή ή (3-55) δύνει:

$$\gamma = \sqrt{-\omega^2 \epsilon \mu} = j\omega \sqrt{\epsilon \mu} \quad (3-59)$$

Ώστε ή σταθερά τής φάσης είναι:

$$\beta = \omega \sqrt{\epsilon \mu} \quad (3-60)$$

ένω ή σταθερά τής εξασθένησης είναι

$$\alpha = 0 \quad (3-61)$$

Ώστε ή γενική λύση (3-58), στήν περίπτωση που  $\sigma = 0$ , γίνεται :

$$\vec{E} = \hat{y} E_1 \cos(\omega t + \beta x + \delta_1) + \hat{y} E_2 \cos(\omega t - \beta x + \delta_2) \quad (3-62)$$

Ο δεύτερος προσθετέος τής (3-62) αντιπροσωπεύει επίπεδο κύμα, που διαδίδεται προς τά θετικά  $x$ , ενώ ο πρώτος επίπεδο κύμα, που διαδίδεται προς τά αρνητικά  $x$ . Τά  $E_1$  καί  $E_2$  είναι οί τιμές πλάτους καί τά  $\delta_1$ ,  $\delta_2$  οί τιμές φάσης, που εξαρτώνται από τίς αρχικές συνθήκες.

Παρατηρούμε στήν (3-62) ότι τά πλάτη τών κυμάτων μένουν τά ίδια -(σταθερά) κατά τή διάδοση, δέν έχουμε δηλ. εξασθένηση τών κυμάτων.

### 3.5.2. Σέ μέσο μέ μεγάλη αγωγιμότητα ( $\sigma \gg \omega\epsilon$ )

$$\text{Ών} \quad \sigma \gg \omega\epsilon \quad (3-63)$$

$$\text{τότε} \quad \omega\mu\sigma \gg \omega^2\epsilon$$

καί ή (3-55) δύνει:

$$\gamma = \sqrt{j\omega\mu\sigma} \quad (3-64)$$

$$\eta \quad \gamma = \sqrt{\omega \mu \sigma} e^{j\frac{\pi}{2}} = \sqrt{\omega \mu \sigma} e^{j\frac{\pi}{4}} = \sqrt{\omega \mu \sigma} \left( \cos \frac{\pi}{4} + j \sin \frac{\pi}{4} \right) = \sqrt{\omega \mu \sigma} \left( \frac{1}{\sqrt{2}} + j \frac{1}{\sqrt{2}} \right)$$

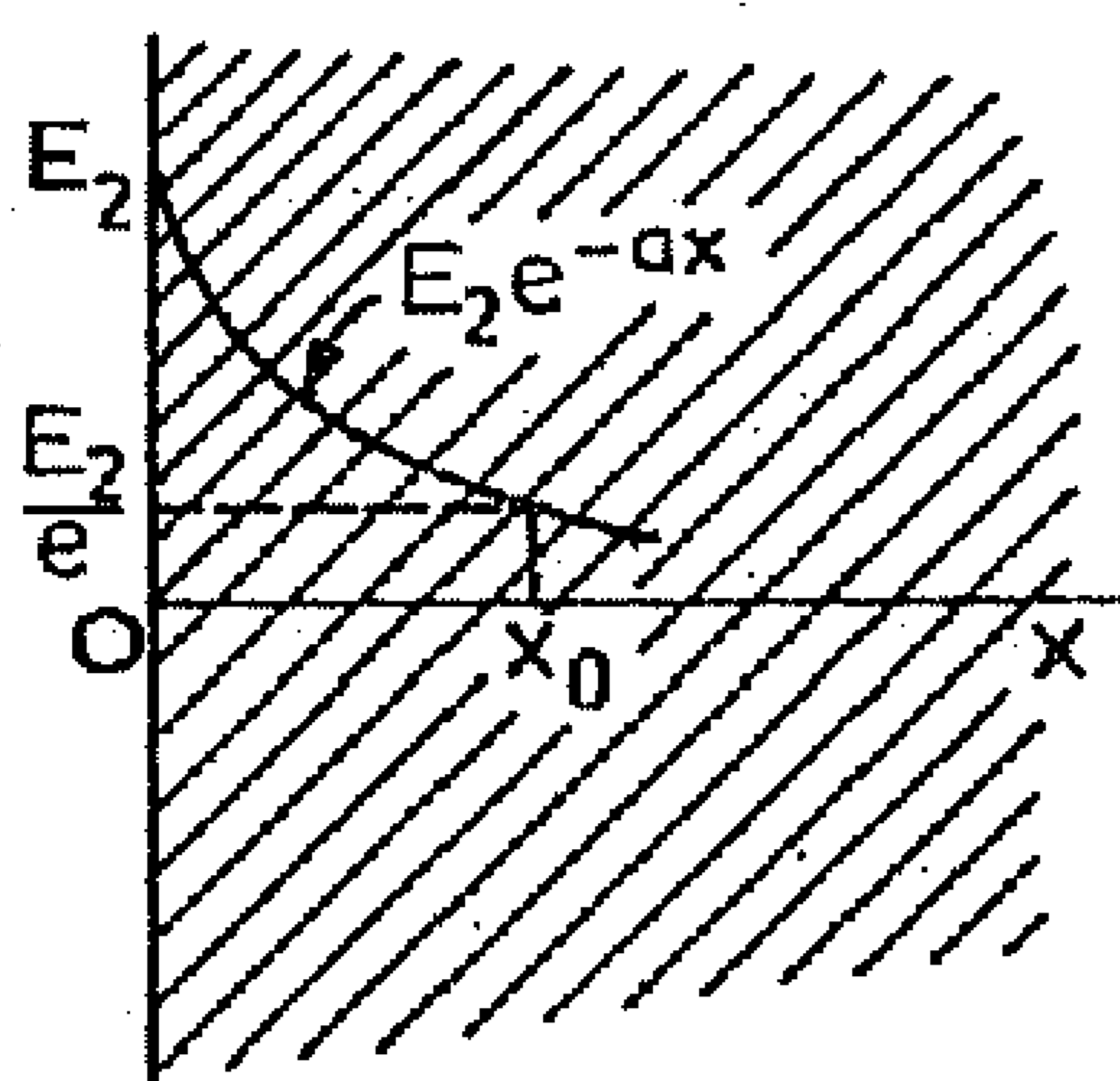
$$\eta \quad \gamma = \sqrt{\frac{\omega \mu \sigma}{2}} + j \sqrt{\frac{\omega \mu \sigma}{2}} \quad (3-65)$$

"Ωστε :

$$\alpha = \beta = \sqrt{\frac{\omega \mu \sigma}{2}} > 0 \quad (3-66)$$

"Ετσι, η γενική λύση (3-58) ισχύει όπως είναι με  $\alpha$  και  $\beta$  τις τιμές της (3-66) .

"Εχουμε πάλι δύο επίπεδα κύματα, πού τό ένα (πρώτος προσθετέος) τρέχει προς τά αρνητικά  $x$  και τό άλλο (δεύτερος προσθετέος) προς τά θετικά  $x$  . Τά πλάτη τους, όμως, δέν μένουν σταθερά αλλά ελαττώνονται εκθετικά του πρώτου κατά τόν παράγοντα  $e^{\alpha x}$  (πού μικραίνει όταν μικραίνει τό  $x$ , προς τά αρνητικά  $x$  δηλαδή) και του δεύτερου κατά τόν παράγοντα  $e^{-\alpha x}$  (πού κι αυτός μικραίνει όσο αυξάνεται τό  $x$ ) . Και στά δύο κύματα δηλαδή ό εκθετικός παράγοντας, πού περιέχει τό  $\alpha$  είναι παράγοντας έφασθένησης.



Σχ. 3-1 Τό βάθος διείσδυσης  $x_0$  είναι τό βάθος εκείνο, μέσα στό ύλικό, στό όποιο ή ένταση του πεδίου κέφτει  $e$  φορές κάτω από τήν τιμή, πού έχει στην επιφάνεια του ύλικου.

"Ετσι αν πάρουμε τήν αρχή των αξόνων στην άκρη του ύλικου και θεωρήσουμε ότι εΐσχωρεΐ μέσα στό ύλικό τό κύμα του δεύτερου προσθετέου

της (3.58), τότε σέ κάποιο βάθος  $x_0$  θά είναι :

$$\alpha x_0 = 1 \quad (3-67)$$

και τό πλάτος  $E_2 e^{-\alpha x}$  θά γίνει  $E_2 / e$  . Τό πάχος  $x_0$  λέγεται "οπτικό πάχος" ή "βάθος της διείσδυσης"

Από τις (3-66) και (3-67) έχουμε

$$x_0 = \sqrt{\frac{2}{\omega \mu \sigma}} \quad (3-68)$$

Τό βάθος της διείσδυσης είναι πολύ μικρό στους καλούς αγωγούς και στις πολύ μεγάλες συχνότητες. Στόν τέλει αγωγό ( $\sigma = \infty$ ) είναι  $x_0 = 0$ .

Οι ισοφασικές επιφάνειες ενός επίπεδου κύματος, σαν αυτά που μελετήσαμε, είναι :

$$\varphi = \omega t \pm \beta x + \delta = \text{σταθ.} \quad (3-69)$$

$$\text{ή για } t = \text{σταθ.} \text{ είναι και } x = \text{σταθ.} = c \quad (3-70)$$

Δηλαδή κάθε χρονική στιγμή όλα τα σημεία που βρίσκονται πάνω στο επίπεδο  $x=c$  έχουν την ίδια φάση. Οι ισοφασικές επιφάνειες, λοιπόν, είναι επίπεδα κάθετα στον άξονα  $x$ , κατά τον οποίο γίνεται η διάδοση.

Τό μήκος κύματος  $\lambda$  είναι η απόσταση δύο σημείων, που την ίδια χρονική στιγμή ή φάση τους διαφέρει κατά  $2\pi$ . δηλαδή

$$\varphi_2 - \varphi_1 = (\omega t \pm \beta x_2 + \delta) - (\omega t \pm \beta x_1 + \delta) = \pm 2\pi \quad (3-71)$$

ή

$$\beta (x_2 - x_1) = 2\pi$$

ή

$$\beta \lambda = 2\pi$$

Άρα σε μέσο με  $\sigma \gg \omega \epsilon$

έχουμε:

$$\beta = \frac{2\pi}{\lambda} = \sqrt{\frac{\omega \mu \sigma}{2}} \quad (3-72)$$



Ενώ σέ μέσο μέ  $\sigma \ll \omega \epsilon$

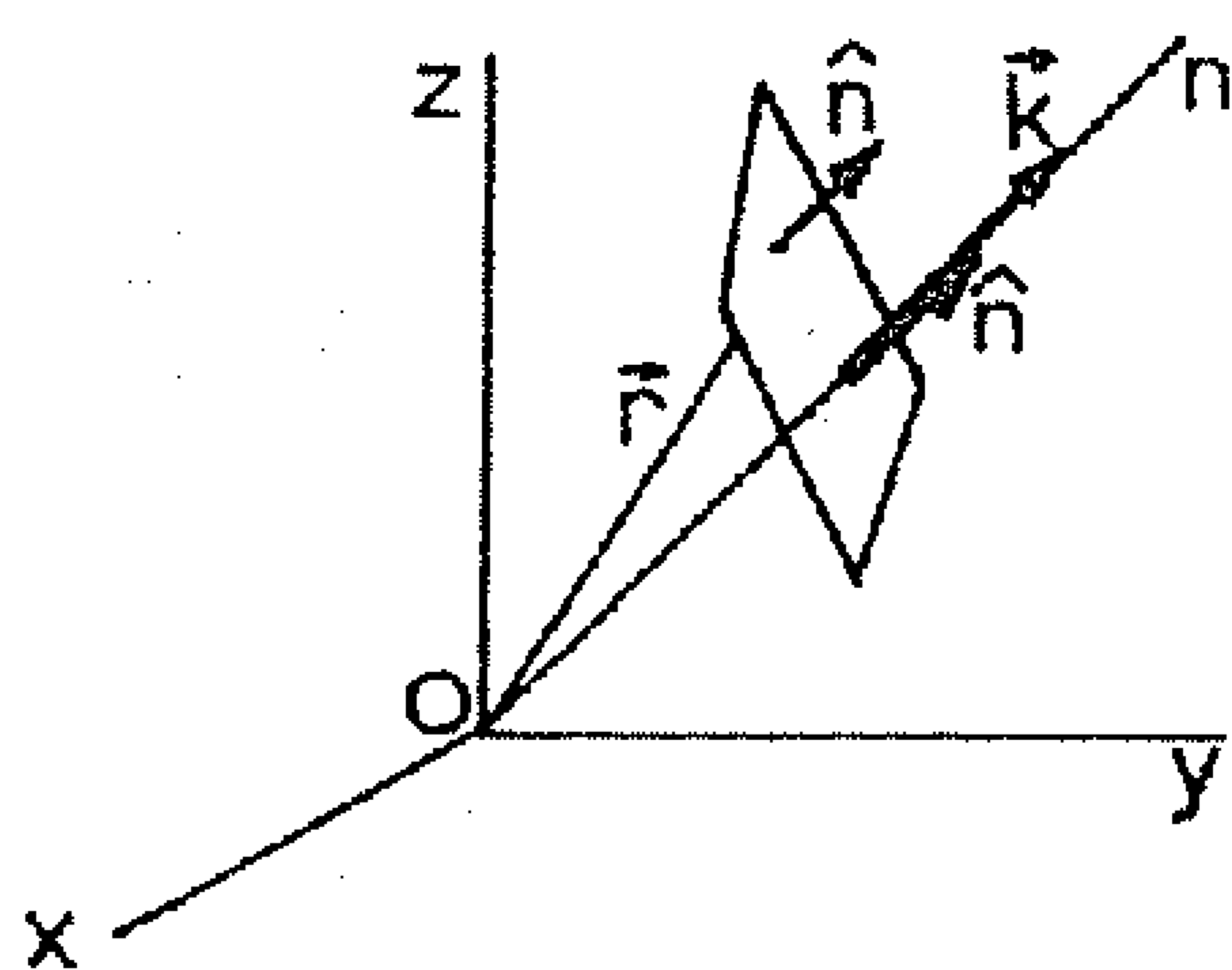
Έχουμε:

$$\beta = \frac{2\pi}{\lambda} = \omega \sqrt{\epsilon \mu} \quad (3-73)$$

Η σταθερά της φάσης,  $\beta$ , λέγεται καί **κυματαριθμός**.

### 3.6. Γενίκευση τής Λύσης Έπίπεδου Κύματος.

Μέ στροφή τῶν ἁξόνων μπορούμε νά κάνουμε τή λύση, πού μᾶς



ἀπασχόλησε στήν προηγούμενη παράγραφο, νά παριστάνει ἕνα ἐπίπεδο κύμα πού διαδίδεται κατὰ τή διεύθυνση  $\hat{n}$  (ὁ ἄξονας  $x$  δηλ. θά συμπίσει μέ τόν ἄξονα  $n$  (βλ. σχῆμα) ).

Γιά τόν κυματαριθμό τοῦ κύματος ἀντί τοῦ  $\beta$  χρησιμοποιοῦμε τό σύμβολο  $k$ .

Σχ. 3-2 Ἡ Γεωμετρία ἐπίπεδου κύματος πού διαδίδεται κατὰ τή διεύθυνση  $\hat{n}$ . Οἱ ἰσοφασικές ἐπιφάνειες εἶναι ἐπίπεδα κάθετα στό  $\hat{n}$  καί τό κυματάνυσμα εἶναι  $\vec{k} = \frac{2\pi}{\lambda} \hat{n}$ .

$$k = \frac{2\pi}{\lambda} \quad (3-74)$$

θεωροῦμε ὅτι τό πεδίο ἔχει τυχαία κατεύθυνση καί ὅτι γιά κάθε συνιστώ-

σα τοῦ  $\vec{E}_i$  ( $i=x,y,z$ ) ἰσχύει ἡ λύση (3-57). Ἄν περιοριστοῦμε στό ἕνα ἀπό τά δύο κύματα τῆς (3-57) καί μάλιστα σ' αὐτό πού διαδίδεται κατὰ τό θετικό  $\hat{n}$ , θά εἶναι :

$$\vec{E}_i(\vec{r}, t) = \vec{E}_i(\vec{r}) e^{j(\omega t - k\hat{n} \cdot \vec{r})} \quad (3-75)$$

ὅπου

$$\vec{k} = k\hat{n} = k n_x \hat{x} + k n_y \hat{y} + k n_z \hat{z} \quad (3-76)$$

εἶναι τό λεγόμενο **κυματάνυσμα** καί ἔχει προβολές :

$$k_x = k n_x, \quad k_y = k n_y, \quad k_z = k n_z \quad (3-77)$$

"Αν θεωρήσουμε ότι τά  $\omega$  και  $\vec{k}$  στην (3-75) υπορούν νά πάρουν όλες τίσ τιμές,  $\omega \in (0, \infty)$ ,  $k_x, k_y, k_z \in (-\infty, +\infty)$ , τότε γιά κάθε ζευγάρι  $\omega$  και  $\vec{k}$  θά ἔχω και μία λύση τῆς διαφορικῆς ἐξίσωσης τοῦ  $\vec{E}$  ἀνεξάρτητη ἀπό τίσ ἄλλες.

Ὁ phasor τοῦ πλάτους  $\vec{E}(\vec{r})$  καθεμιᾶς τέτοιας λύσης θά ἐξαρτᾶται ἀπό τά ἀντίστοιχα  $\vec{k}$  και  $\omega$ .

Ἡ περιγραφή ὁποιουδήποτε κύματος (μή ἐπίπεδου και μή μονοχρωματικοῦ) στό  $\chi\omega\rho o (\omega, \vec{k})$  γίνεται χρονικά μέ ἕνα φάσμα συχνοτήτων  $\Sigma\omega$ , γεωμετρικά δέ μέ ἕνα φάσμα κυματανυσμάτων  $\Sigma\vec{k}$ .

"Αν λοιπόν ἀθροίσουμε όλες αὐτές τίσ μερικῆς λύσεις θά ἔχουμε τή λεγόμενη γενική λύση μέ ἐπαλληλῶς ἐπίπεδων κυμάτων. "Ετσι θά ἔχουμε γιά κάθε συνιστώσα  $E_i$  (ὅπως μπορεῖ νά ἀποδειχτεῖ) :

$$E_i(\vec{r}, t) = \frac{1}{(2\pi)^4} \int_0^\infty d\omega \int_{-\infty}^\infty E_i(\vec{k}, \omega) e^{j(\omega t - \vec{k} \cdot \vec{r})} dk_x dk_y dk_z \quad (3-78)$$

Ἡ (3-78) δείχνει ὅτι ἡ γενική λύση προκύπτει ἀπό τήν ἐφαρμογή ἐπάνω στό  $E_i(\vec{k}, \omega)$  ἐνός ολοκληρωτικοῦ μετασχηματισμοῦ ποῦ δέν εἶναι ἄλλος ἀπό τό Μετασχηματισμό Fourier.

Ὁ ἀντίστροφος Μετασχηματισμός τῆς (3-78) μπορεῖ νά μᾶς μεταφέρει στό  $\chi\omega\rho o (\vec{k}, \omega)$  ἀπό τό  $\chi\omega\rho o (\vec{r}, t)$ .

$$E_i(\vec{k}, \omega) = \int_0^\infty dt \int_{-\infty}^\infty E_i(\vec{r}, t) e^{-j(\omega t - \vec{k} \cdot \vec{r})} dx dy dz \quad (3-79)$$

"Ωστε οἱ (3-78) και (3-79) ἀποτελοῦν ἕνα ζεῦγος μετασχηματισμοῦ Fourier και δύνουν τή γενική λύση τῆς κυματικῆς διαφορικῆς ἐξίσωσης μέ προσέγγιση ἐπίπεδου κύματος.

Σημειώνουμε ὅτι τά  $\omega$  και  $\vec{k}$  ἔχουν οὐσιαστική φυσική σημασία, γιὰτί τό πρῶτο ἀντιπροσωπεύει τήν ἐνέργεια ( $\hbar\omega$ ) και τό δεύτερο

τήν όρμή ( $\hbar\vec{k}$ ) τοῦ quantum τοῦ κύματος.

Στήν περίπτωση μ ο ν ο χ ρ ω μ α τ ι κ ο ὕ έ π ί π ε -  
δ ο υ κύματος ἰσχύουν οἱ τελεστικές ἀντιστοιχίες:

$$\frac{\partial}{\partial t} \Leftrightarrow j\omega \quad \text{καί} \quad \vec{\nabla} \Leftrightarrow -j\vec{k} \quad (3-80)$$

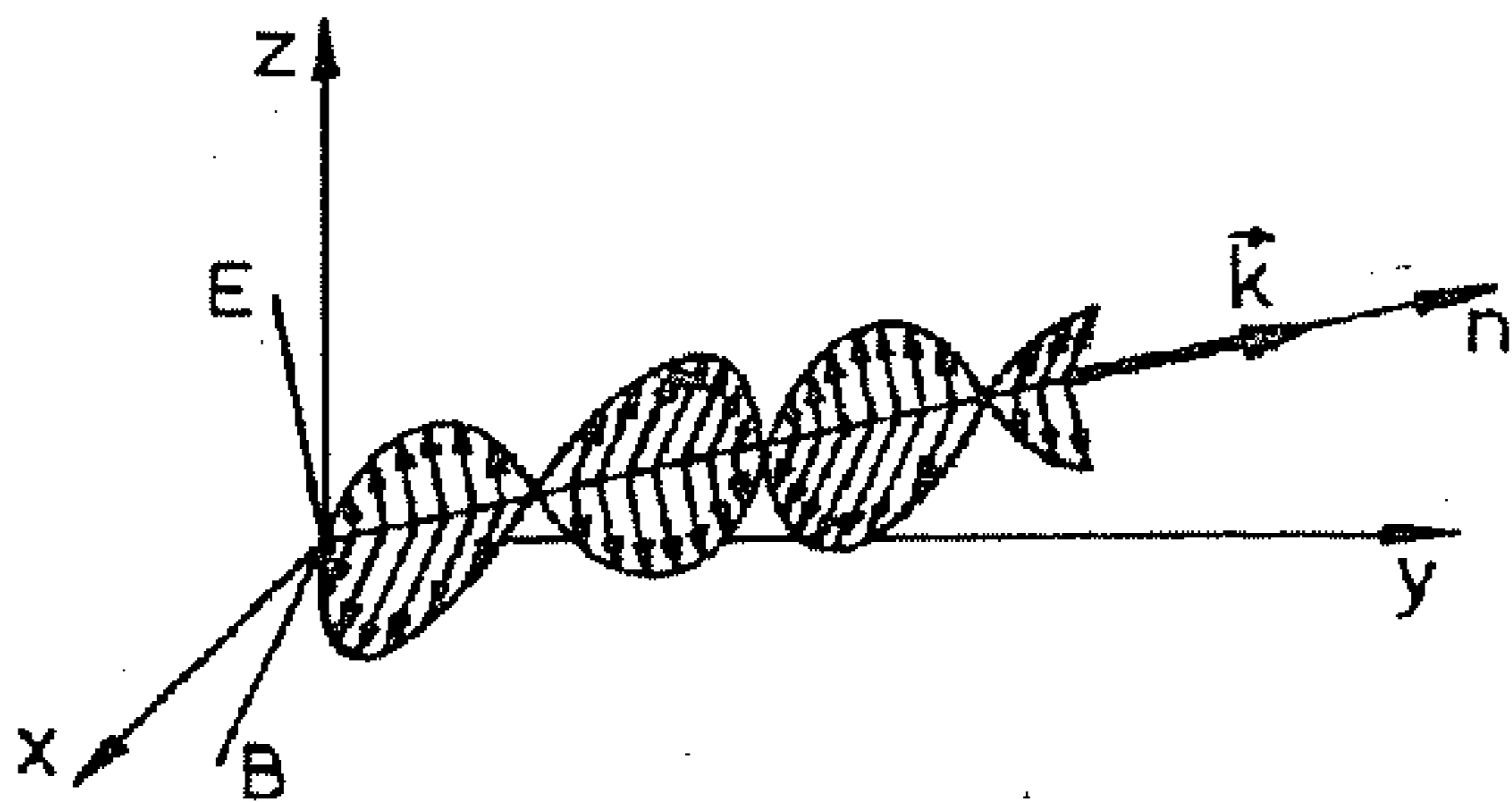
πού μετασχηματίζουν τίς ἐξισώσεις ἀπό τόν ἕνα χῶρο  $(\vec{r}, t)$  στόν ἄλλο  $(\omega, \vec{k})$  (γιά  $\sigma = 0$  ἢ  $\sigma \ll \omega\epsilon$ ).

Χρησιμοποιώντας τούς τελεστές (3-80) γράφουμε τήν 1<sup>η</sup> καί τή 2<sup>η</sup> ἐξίσωση τοῦ Maxwell ἔτσι :

$$\vec{k} \times \vec{H} = -\omega\epsilon\vec{E} \quad (3-81)$$

$$\vec{k} \times \vec{E} = \omega\vec{B} \quad (3-82)$$

Ἀπό τήν (3-82) προκύπτει ὅτι στήν περίπτωση τοῦ μονοχρωματικοῦ ἐπίπεδου κύματος  $(\omega, \vec{k})$  εἶναι :



$$\vec{B} = \frac{1}{\omega} \vec{k} \times \vec{E} \quad (3-83)$$

δηλαδή εἶναι

$$\vec{B} \perp \vec{k} \quad \text{καί} \quad \vec{B} \perp \vec{E} \quad (3-84)$$

Σχ. 3-3 Ἐπίπεδο ἠλεκτρομαγνητικό κύμα, πού διαδίδεται κατ' τή διεύθυνση  $\vec{n}$ . Τό ἠλεκτρικό πεδίο  $\vec{E}$ , τό μαγνητικό πεδίο  $\vec{B}$  καί τό κυματάνυσμα  $\vec{k}$  ἀποτελοῦν τρισηρθγώνιο σύστημα.

Ἀπό τήν (3-81) προκύπτει ὅτι

$$\vec{E} \perp \vec{k} \quad \text{καί} \quad \vec{E} \perp \vec{B} \quad (3-85)$$

Ὡστε, λοιπόν, στήν περι-

πτωση πού ἔχουμε μ ο ν ο χ ρ ω μ α τ ι κ ὀ έ π ί π ε δ ο  
κύμα  $(\omega, \vec{k})$ , μέσα σέ ὕλινό χωρίς ἀπωλείες, τά δύο κύματα  $\vec{E}$  καί  $\vec{B}$  εἶναι:

α. συμφασικά

β. κάθετα στό  $\vec{k}$  καί μεταξύ τους καί ἐπομένως συνλιστοῦν ἕνα ἐγκάρσιο ἠλεκτρομαγνητικό κύμα (TEM-transverse electromagnetic).

## 3.7 Διατήρηση τῆς Ἑνέργειας - Θεώρημα τοῦ Poynting.

### 3.7.1. Γενική Περίπτωση.

Θά ἐξετάσουμε παρακάτω ἓνα χρονικά μεταβαλλόμενο ἡλεκτρομαγνητικό πεδίο ἀπό ἐνεργειακή ἄποψη. Θεωροῦμε ὅτι ἡ ὅλική πυκνότητα ρεύματος  $\vec{J}$  ἀποτελεῖται ἀπό τὶς δύο συνιστώσες  $\vec{J}_i$  καὶ  $\vec{J}_r$  τοῦ ρεύματος ἐπιβολῆς καὶ τοῦ ρεύματος ἀπόκρισης :

$$\vec{J} = \vec{J}_i + \vec{J}_r \quad (3-86)$$

Ἀπὸ τὶς δύο συνιστώσες ἡ  $\vec{J}_i$  παρέχει ἐνέργεια ἐνῶ ἡ  $\vec{J}_r$  καταναλώνει .

Θά ὑπολογίσουμε τὸ ρυθμό, μέ τὸν ὁποῖο παρέχεται ἐνέργεια ἀπὸ τὴν  $\vec{J}_i$  στό ἡλεκτρομαγνητικό πεδίο.

Ἐστω  $dq_i$  τὸ φορτίο πού βρίσκεται στὸν ὄγκο  $dV$  καὶ συμμετέχει στό σχηματισμὸ τοῦ  $\vec{J}_i$  κινούμενο μέ ταχύτητα  $\vec{v}_i$  . Τὸ φορτίο αὐτὸ ἀλληλεπιδρᾷ μέ τὸ ὅλικό ἡλεκτρομαγνητικό πεδίο καὶ δέχεται δύναμη :

$$d\vec{F} = dq_i (\vec{E} + \vec{v}_i \times \vec{B}) \quad (3-87)$$

Ἡ ἰσχύς πού προσφέρει ἡ  $\vec{J}_i$  στό πεδίο, μέσα στὸν ὄγκο  $dV$ , εἶναι :

$$dN = -d\vec{F} \cdot \vec{v}_i \quad (3-88)$$

$$\text{ἢ} \quad dN = -dq_i (\vec{E} + \vec{v}_i \times \vec{B}) \cdot \vec{v}_i = -\frac{dq_i}{dV} \vec{v}_i \cdot \vec{E} dV = -\rho_i \vec{v}_i \cdot \vec{E} dV \quad (3-89)$$

ἢ ἀπὸ τὴν (2-45)

$$dN = -\vec{J}_i \cdot \vec{E} dV \quad (3-90)$$

Υπολογίζουμε την έκφραση του  $\vec{J}_i$  από την 1<sup>η</sup> εξίσωση του Maxwell:

$$\vec{\nabla} \times \vec{H} = \vec{J} + \frac{\partial \vec{D}}{\partial t}$$

καί από την (3-86) :

$$\vec{J}_i = \vec{\nabla} \times \vec{H} - \frac{\partial \vec{D}}{\partial t} = \vec{J}_r \quad (3-91)$$

Οπότε η (3-90) γίνεται :

$$dN = \left[ -\vec{E} \cdot \vec{\nabla} \times \vec{H} + \frac{\partial}{\partial t} \left( \frac{1}{2} \epsilon E^2 \right) + \vec{E} \cdot \vec{J}_r \right] dv \quad (3-92)$$

Αλλά, γενικά, ισχύει :

$$\vec{\nabla} \cdot (\vec{A} \times \vec{B}) = \vec{B} \cdot \vec{\nabla} \times \vec{A} - \vec{A} \cdot \vec{\nabla} \times \vec{B} \quad (3-93)$$

οπότε:

$$\vec{\nabla} \cdot (\vec{E} \times \vec{H}) = \vec{H} \cdot \vec{\nabla} \times \vec{E} - \vec{E} \cdot \vec{\nabla} \times \vec{H} \quad (3-94)$$

καί

$$-\vec{E} \cdot \vec{\nabla} \times \vec{H} = \vec{\nabla} \cdot (\vec{E} \times \vec{H}) - \vec{H} \cdot \vec{\nabla} \times \vec{E} \quad (3-95)$$

καί έπειδή σύμφωνα μέ τη 2<sup>η</sup> εξίσωση του Maxwell είναι :

$$\vec{\nabla} \times \vec{E} = - \frac{\partial \vec{B}}{\partial t} \quad (3-96)$$

έχουμε :

$$-\vec{E} \cdot \vec{\nabla} \times \vec{H} = \vec{\nabla} \cdot (\vec{E} \times \vec{H}) + \vec{H} \cdot \frac{\partial \vec{B}}{\partial t} \quad (3-97)$$

ή

$$-\vec{E} \cdot \vec{\nabla} \times \vec{H} = \vec{\nabla} \cdot (\vec{E} \times \vec{H}) + \frac{\partial}{\partial t} \left( \frac{1}{2} \mu^{-1} B^2 \right) \quad (3-98)$$

Ωστε η (3-92) γράφεται :

$$dN = \left[ \frac{\partial}{\partial t} \left( \frac{1}{2} \epsilon E^2 + \frac{1}{2} \mu^{-1} B^2 \right) + \vec{E} \cdot \vec{J}_r + \vec{\nabla} \cdot (\vec{E} \times \vec{H}) \right] dv \quad (3-99)$$



Ἡ φυσική σημασία τῶν ὄρων τῆς (3-99) εἶναι :

- Τό ἀριστερό μέλος τῆς (3-99) εἶναι ἡ στιγμιαία ἰσχύς πού παρέχουν οἱ πηγές στό πεδίο μέσα στόν ὄγκο  $dV$ .

- Τό ἄθροισμα  $\frac{1}{2}\epsilon E^2 + \frac{1}{2}\mu^{-1}B^2$  παριστάνει τήν πυκνότητα τῆς ἀποθηκευμένης ἐνέργειας ἡλεκτρικοῦ καί μαγνητικοῦ πεδίου καί ἡ παράγωγος τοῦ ἀθροίσματος αὐτοῦ ἐκφράζει τό ρυθμό μεταβολῆς τῆς ἀποθηκευμένης ἡλεκτρομαγνητικῆς ἐνέργειας.

- Ὁ ὅρος  $\vec{E} \cdot \vec{J}_r$  ἐκφράζει τήν πυκνότητα ἰσχύος, πού ἀπορροφᾷ τό ρεῦμα ἀπόκρισης  $\vec{J}_r$ . Π.χ. ἂν τό ρεῦμα ἀπόκρισης διαρρέει ἕναν ἄγωγό, ἡ ἰσχύς αὐτή εἶναι ἡ θερμική ἰσχύς Joule, ἐνῶ ἂν τό ρεῦμα  $\vec{J}_r$  ἀποτελεῖται ἀπό ἐλεύθερα φορτία ἡ ἰσχύς  $\vec{E} \cdot \vec{J}_r$  ἀντιπροσωπεύει αὔξηση τῆς κινητικῆς ἐνέργειας τῶν φορτίων, ἀνά μονάδα ὀγκοῦ (αὔξηση τῆς θερμοκρασίας).

Λαβαίνοντας ὑπόψη τήν ἀρχή τῆς διατήρησης τῆς ἐνέργειας, βγάζουμε τό συμπέρασμα ὅτι ὁ ὅρος  $\vec{\nabla} \cdot (\vec{E} \times \vec{H})$  ἐκφράζει τήν ἰσχύ, πού ἐκρέει ἀπό τόν ὄγκο  $dV$  ὡς ἀκτινοβολία.

Ἡ (3-99) γράφεται μέ τή μορφή:

$$\frac{dN}{dV} = \frac{\partial}{\partial t} \left( \frac{1}{2} \epsilon E^2 + \frac{1}{2} \mu^{-1} B^2 \right) + \vec{E} \cdot \vec{J}_r + \vec{\nabla} \cdot (\vec{E} \times \vec{H}) \quad (3-100)$$

καί ἐκφράζει τήν ἰσότητα :

$$\left\{ \begin{array}{l} \text{πυκνότητα} \\ \text{ἰσχύος πού} \\ \text{προσφέρουν} \\ \text{οἱ πηγές } \vec{J}_i \end{array} \right\} = \left\{ \begin{array}{l} \text{ρυθμός αὔξη-} \\ \text{σης τῆς πυκ-} \\ \text{νότητας τῆς} \\ \text{ἀποθηκευμένης} \\ \text{HM ἐνέργειας} \end{array} \right\} + \left\{ \begin{array}{l} \text{πυκνότητα} \\ \text{ἰσχύος} \\ \text{πού κατα-} \\ \text{ναλώνουν} \\ \text{τά ρεύμα-} \\ \text{τα ἀποκρι-} \\ \text{σης} \end{array} \right\} + \left\{ \begin{array}{l} \text{πυκνότητα} \\ \text{τῆς στιγμι-} \\ \text{αίας ἀκτινο-} \\ \text{βολούμενης} \\ \text{ἰσχύος} \end{array} \right\} \quad (3-101)$$

Ολοκληρώνοντας τήν (3-99) σέ ὄγκο  $V$ , πού. περιορίζεται ἀπό κλειστή ἐπιφάνεια  $S$ , ἔχουμε :

$$N = \frac{d}{dt} \left[ \int_V \left( \frac{1}{2} \epsilon E^2 + \frac{1}{2} \mu^{-1} B^2 \right) dv \right] + \int_V \vec{E} \cdot \vec{J}_r dv + \int_V \vec{\nabla} \cdot (\vec{E} \times \vec{H}) dv \quad (3-102)$$

Χρησιμοποιώντας τό θεώρημα τοῦ Gauss ἔχουμε τό λεγόμενο  
θεώρημα τοῦ P o y n t i n g :

$$N = \frac{d}{dt} \int_V \left( \frac{1}{2} \epsilon E^2 + \frac{1}{2} \mu^{-1} B^2 \right) dv + \int_V \vec{E} \cdot \vec{J}_r dv + \oint_S (\vec{E} \times \vec{H}) \cdot d\vec{S} \quad (3-103)$$

Δηλαδή :

$$\left\{ \begin{array}{l} \text{ὀλική ἰσχύς} \\ \text{πού προσφέ-} \\ \text{ρουν οἱ πη-} \\ \text{γές μέσα} \\ \text{στόν ὄγκο } V \end{array} \right\} = \left\{ \begin{array}{l} \text{ρυθμός αὔ-} \\ \text{ξησης τῆς} \\ \text{ἀποθηκευ-} \\ \text{μένης ἐνέρ-} \\ \text{γειας στόν} \\ \text{ὄγκο } V \end{array} \right\} + \left\{ \begin{array}{l} \text{ἰσχύς πού} \\ \text{καταναλώ-} \\ \text{νουν τά} \\ \text{ρεύματα} \\ \text{ἀπόκρισης} \end{array} \right\} + \left\{ \begin{array}{l} \text{στιγμιαία} \\ \text{ἰσχύς πού} \\ \text{ἀκτινοβο-} \\ \text{λεῖται} \\ \text{ἀπό τόν} \\ \text{ὄγκο } V \text{ μέ-} \\ \text{σω τῆς } S \end{array} \right\} \quad (3-104)$$

Ὅπως φαίνεται καί ἀπό τήν (3-103) μπορούμε νά ὀρίσουμε τό δ ι -  
ά ν υ σ τ ῆ α P o y n t i n g :

$$\vec{P} = \vec{E} \times \vec{H} \quad (3-105)$$

πού ἐκφράζει, κατά μέτρο, διεύθυνση καί φορά τή στιγμιαία ἰσχύ,  
πού ρέει ἀπό τή μονάδα ἐπιφάνειας μέ μορφή ἀκτινοβολίας. Δεδο-  
μένου ὅτι ἡ ἰσχύς αὕτη ἐξέρχεται μέ τή μορφή ἡλεκτρομαγνητικοῦ  
κύματος, τό μέτρο  $P$  τοῦ  $\vec{P}$  (ἰσχύς ἀνά μονάδα ἐπιφάνειας) ἐκφράζει  
τήν " ἔνταση " τοῦ κύματος.

Ὡστε ἡ σ τ ι γ μ ι α ῖ α ἀ κ τ ι ν ο β ο λ ο ὗ μ ε ν η ἰ-  
σχύς ἀπό ἕναν ὄγκο  $V$  πρὸς τά ἔξω εἶναι:

$$N_{\text{rad}} = \int_V \vec{\nabla} \cdot \vec{P} dv = \oint_S \vec{P} \cdot d\vec{S} \quad (3-106)$$

### 3.7.2. Περίπτωση Ἀρμονικῶν Πηγῶν καί Πεδίων.

Ὅταν οἱ πηγές καί τά πεδία εἶναι ἀρμονικά, τότε ἔχουμε :

$$\vec{P} = \vec{E} \times \vec{H} = \text{Re} \left[ \vec{E} e^{j\omega t} \right] \times \text{Re} \left[ \vec{H} e^{j\omega t} \right]$$

ἢ (βλ. καί παρατήρηση τῆς παρ. 1.8) :

$$\vec{P} = \frac{1}{2} \text{Re} \left( \vec{E} \times \vec{H}^* \right) + \frac{1}{2} \text{Re} \left( \vec{E} \times \vec{H} e^{j2\omega t} \right) \quad (3-107)$$

Ἡ (3-107) δίνει τό (πραγματικό) διάνυσμα Poynting ἂν ξέρουμε τά φασικά διανύσματα  $\vec{E}$  καί  $\vec{H}$  τῶν πεδίων  $\vec{E}$  καί  $\vec{H}$ .

Ὁ πρῶτος ὅρος τοῦ β' μέλους τῆς (3-107) εἶναι ἀνεξάρτητος ἀπό τό χρόνο καί ἀποτελεῖ τή συνεχῆ ἡ συνελιστώσα  $\bar{P}$  (μέση χρονική τιμή) τοῦ διανύσματος Poynting :

$$\bar{P} = \frac{1}{2} \text{Re} \left( \vec{E} \times \vec{H}^* \right) \quad (3-108)$$

Ὁ ἄλλος ὅρος εἶναι ἡ ἐναλλασσόμενη συνελιστώσα τοῦ  $\vec{P}$  (σέ συχνότητα  $2\omega$ ) :

$$\tilde{P}(2\omega) = \frac{1}{2} \text{Re} \left( \vec{E} \times \vec{H} e^{j2\omega t} \right) \quad (3-109)$$

Ἀπό τήν (3-106) καί τήν

$$\vec{P} = \bar{P} + \tilde{P}(2\omega) \quad (3-110)$$

ἔχουμε :

$$N_{\text{rad}} = \int_V \vec{\nabla} \cdot \vec{P} dV = \int_V \vec{\nabla} \cdot \bar{P} dV + \int_V \vec{\nabla} \cdot \tilde{P} dV = \oint_S \bar{P} \cdot \hat{n} ds + \oint_S \tilde{P} \cdot \hat{n} ds \quad (3-111)$$

Ωστε ἡ στιγμιαία ἀκτινοβολούμενη ἰσχύς εἶναι :

$$N_{\text{rad}} = \bar{N}_{\text{rad}} + \tilde{N}_{\text{rad}} (2\omega) \quad (3-112)$$

ὅπου

$$\bar{N}_{\text{rad}} = \int_V \vec{\nabla} \cdot \vec{P} dV = \oint_S \vec{P} \cdot \hat{n} dS \quad (3-113)$$

καὶ

$$\tilde{N}_{\text{rad}} = \int_V \vec{\nabla} \cdot \vec{\tilde{P}} dV = \oint_S \vec{\tilde{P}} \cdot \hat{n} dS \quad (3-114)$$

Ωστε ἓνα μέρος τῆς ἰσχύος (ἡ συνεχῆς συνιστώσα  $\bar{N}_{\text{rad}}$ ) ἐκρέει συνεχῶς ἀπὸ τὸν ὄγκο  $V$ , κατὰ τὴ διεύθυνση τοῦ  $\vec{P}$  σέ κάθε σημεῖο τῆς  $S$ , ἐνῶ ἓνα ἄλλο μέρος ( $\tilde{N}_{\text{rad}}$ ) "παλινδρομεῖ" μέσα καὶ ἔξω ἀπὸ τὸν  $V$  μέ κυκλική συχνότητα  $2\omega$ .

Συνεχὴ καὶ ἐναλλασσόμενη συνιστώσα ἐμφανίζουν καὶ ἡ ἀποθη-  
κευμένη ἠλεκτρομαγνητικὴ ἐνέργεια, καθὼς καὶ ἡ ἐνέργεια, ποὺ  
ἀπορροφῶν τὰ ρεύματα ἀπόκρισης.

Εὐκόλα ἀποδείχνεται ὅτι :

$$w_e = \frac{1}{2} \epsilon \vec{E} \cdot \vec{E} = \frac{1}{4} \epsilon (\vec{E} \cdot \vec{E}^*) + \frac{1}{4} \epsilon \operatorname{Re}(\vec{E} \cdot \vec{E} e^{j2\omega t}) \quad (3-115)$$

καὶ

$$w_m = \frac{1}{2} \mu^{-1} \vec{B} \cdot \vec{B} = \frac{1}{4} \mu^{-1} (\vec{B} \cdot \vec{B}^*) + \frac{1}{4} \mu^{-1} \operatorname{Re}(\vec{B} \cdot \vec{B} e^{j2\omega t}) \quad (3-116)$$

καὶ

$$\vec{E} \cdot \vec{J}_r = \frac{1}{2} \operatorname{Re}(\vec{E} \cdot \vec{J}_r^*) + \frac{1}{2} \operatorname{Re}(\vec{E} \cdot \vec{J}_r e^{j2\omega t}) \quad (3-117)$$

όπου  $w_e$  και  $w_m$  ή πυκνότητα ηλεκτρικής και μαγνητικής ενέργειας και  $\vec{E} \cdot \vec{J}_r$  ή πυκνότητα ενέργειας που καταναλώνουν τα ρεύματα απόκρισης.

Από την (3-117) συμπεραίνουμε ότι κατά μέσο όρο, χρονικά, οι πηγές παρέχουν ισχύ μόνο στη συνιστώσα εκείνη των ρευμάτων απόκρισης, που είναι παράλληλη με το ηλεκτρικό πεδίο.

Από τα παραπάνω βγάζουμε το συμπέρασμα ότι και το θεώρημα του Poynting (σχέση (3-103)) θα γράφεται :

$$N = \bar{N} + \tilde{N}(2\omega) \quad (3-118)$$

όπου

$$\bar{N} = \frac{d}{dt} \int_V \frac{1}{4} (\epsilon \vec{E} \cdot \vec{E}^* + \mu^{-1} \vec{B} \cdot \vec{B}^*) dV + \frac{1}{2} \operatorname{Re} \int_V (\vec{E} \cdot \vec{J}_r^*) dV + \bar{N}_{\text{rad}} =$$

$$= 0 + \frac{1}{2} \operatorname{Re} \int_V (\vec{E} \cdot \vec{J}_r^*) dV + \bar{N}_{\text{rad}}$$

ή

$$\bar{N} = \frac{1}{2} \operatorname{Re} \int_V (\vec{E} \cdot \vec{J}_r^*) dV + \bar{N}_{\text{rad}} \quad (3-119)$$

και

$$\begin{aligned} \tilde{N} = & \frac{d}{dt} \int_V \frac{1}{4} \left[ \operatorname{Re}(\vec{E} \cdot \vec{E} e^{j2\omega t}) + \operatorname{Re}(\vec{B} \cdot \vec{B} e^{j2\omega t}) \right] dV + \\ & + \frac{1}{2} \operatorname{Re} \int_V (\vec{E} \cdot \vec{J}_r e^{j2\omega t}) dV + \tilde{N}_{\text{rad}} \end{aligned} \quad (3-120)$$

Γενικά οι τρεις προσθετέοι, που προκύπτουν από τα ολοκληρώματα της (3-120) δεν είναι σε φάση.



Σέ πολλές, μάλιστα, πρακτικές περιπτώσεις γίνεται σκόπιμη αλληλο-εξουδετέρωσή τους. Μιλᾶμε, τότε, γιά π ρ ο σ α ρ μ ο γ ή τῆς πη-γῆς, ὅποτε ἔχουμε καί τή μεγαλύτερη ἀπόδοση συνεχῶς ἀκτινοβο-λούμενης ἰσχύος στό γύρω χῶρο .

### 3.7.3. Μιγαδική Ἰσχύς - Μιγαδικό Διάνυσμα Poynting.

Ὅρίζοντας τό μέγεθος μ ι γ α δ ι κ ῆ ἰ σ χ ύ

$$\mathcal{N} = - \int_V \vec{\mathcal{J}}_i^* \cdot \vec{\mathcal{E}} \, dV \quad (3-121)$$

πού προσφέρουν οἱ πηγές στό πεδίο μπορούμε νά ἀποδείξουμε ὅτι τό μέγεθος  $\bar{N}$  τῆς (3-119) εἶναι

$$\boxed{\bar{N} = \frac{1}{2} \operatorname{Re} \mathcal{N}} \quad (3-122)$$

Ὅρίζοντας τό μ ι γ α δ ι κ ὸ δ ι ἄ ν υ σ μ α Poynting:

$$\vec{\mathcal{P}} = \vec{\mathcal{E}} \times \vec{\mathcal{H}}^* \quad (3-123)$$

ἔχουμε :

$$\boxed{\bar{\vec{P}} = \frac{1}{2} \operatorname{Re} \vec{\mathcal{P}}} \quad (3-124)$$

καί

$$\bar{N}_{\text{rad}} = \oint_S \bar{\vec{P}} \cdot \hat{n} \, dS = \frac{1}{2} \operatorname{Re} \oint_S \vec{\mathcal{P}} \cdot \hat{n} \, dS \quad (3-125)$$

Ὅποτε ἡ συνεχής ἰσχύς πού καταναλώνουν τά ρεύματα ἀπόκρισης εἶ-ναι (σχέση (3-119), ἔση μέ τή διαφορά τῶν  $\bar{N}$  καί  $\bar{N}_{\text{rad}}$ , πού τίς παίρνουμε ἀπό τίς (3-122) καί (3-125).

Ὡστε ἀπό τή μιγαδική ἰσχύ  $\mathcal{N}$  καί τό μιγαδικό διάνυσμα Poynting  $\vec{\mathcal{P}}$  μπορούμε νά ὑπολογίσουμε τά οὐσιώδη μεγέθη  $\bar{N}$ ,  $\bar{N}_{\text{rad}}$  καί  $\bar{N} - \bar{N}_{\text{rad}}$ .

### 3.8. Λύση τῶν μὴ Ὁμογενῶν Ἐξισώσεων.

#### 3.8.1. Στατικά Δυναμικά.

##### α. Στατικό μονόμετρο δυναμικό.

Ἀπό τὴ σχέση

$$\vec{E} = -\vec{\nabla} \Phi - \frac{\partial \vec{A}}{\partial t}$$

ὅταν τὰ πεδία καὶ τὰ δυναμικά δέν ἐξαρτώνται ἀπὸ τὸ χρόνο (ἤλεκτροστατική, μαγνητοστατική), ἔχουμε :

$$\vec{E} = -\vec{\nabla} \Phi(\vec{r}) \quad (3-126)$$

Ἐστω ὅτι θέλουμε νὰ προσδιορίσουμε τὸ ἠλεκτρικὸ πεδίο στὴ θέση  $\vec{r}$ , πού δημιουργεῖ ἓνα σύστημα στατικῶν φορτίων (ἠλεκτροστατικὸ πεδίο).

Τὸ πεδίο αὐτό θά εἶναι ἐπαλληλία τῶν πεδίων, πού δημιουργοῦν τὰ φορτία, πού ὑπάρχουν σ' ὅλες τὲς θέσεις  $\vec{r}'$  τοῦ μελετώμενου χώρου.

Τὸ φορτίο

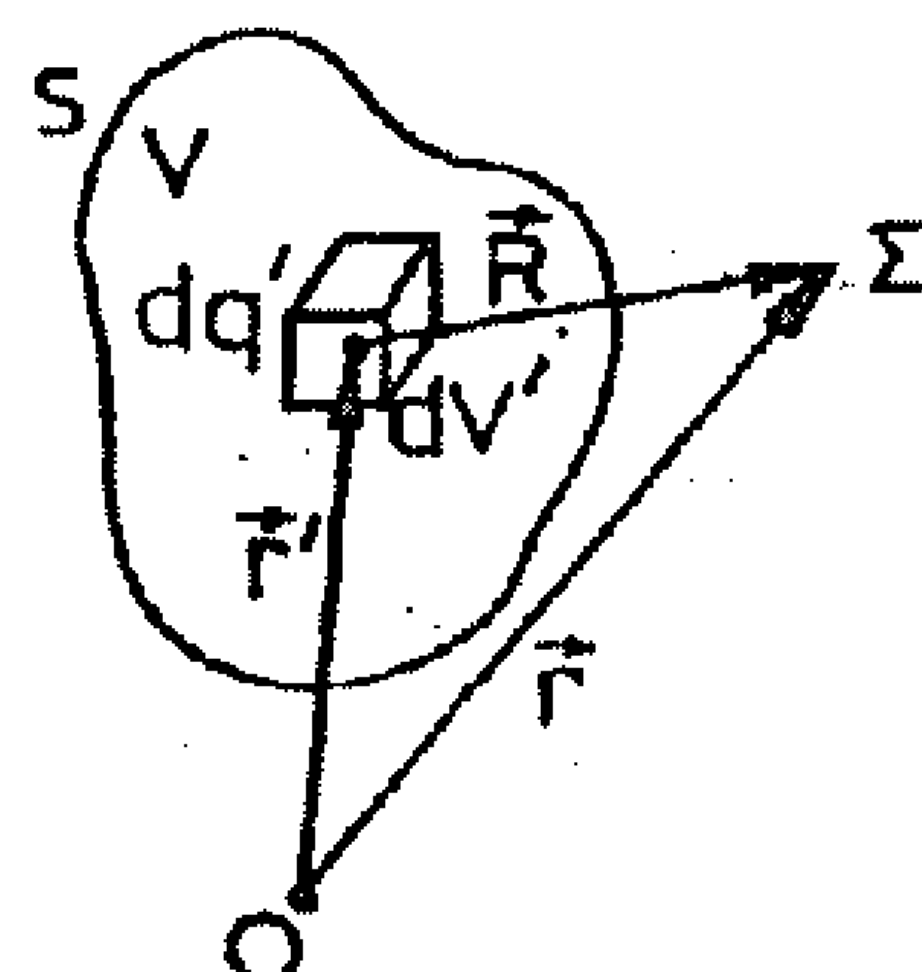
$$dq' = \rho(\vec{r}') dV' \quad (3-127)$$

πού ὑπάρχει μέσα στό στοιχειώδη ὄγκο  $dV'$  δημιουργεῖ στὴ θέση  $\vec{r}$  τὸ πεδίο Coulomb:

$$d\vec{E}(\vec{r}) = \frac{dq'(\vec{r} - \vec{r}')}{4\pi\epsilon|\vec{r} - \vec{r}'|^3} = \frac{\rho(\vec{r}')\vec{R}}{4\pi\epsilon R^3} dV'$$

ἢ

$$d\vec{E}(\vec{r}) = -\frac{\rho(\vec{r}') dV'}{4\pi\epsilon} \left( -\frac{\vec{R}}{R^3} \right)$$



Σκ. 3-4 Τὸ στατικὸ δυναμικὸ  $\Phi$  σὲν σημείο  $\Sigma(\vec{r})$  εἶναι ἐπαλληλία τῶν δυναμικῶν, πού δημιουργοῦν ὅλα τὰ στοιχειώδη φορτία  $dq$  πού βρίσκονται στὲς διάφορες θέσεις  $\vec{r}'$  τοῦ χώρου.

άλλα

$$-\frac{\vec{R}}{R^3} = \vec{\nabla} \left( \frac{1}{R} \right)$$

ώστε :

$$d\vec{E}(\vec{r}) = -\vec{\nabla} \left( \frac{\rho(\vec{r}') dV'}{4\pi\epsilon R} \right)$$

Όστε η συμβολή όλων των  $dq'$  στο πεδίο της θέσης  $\vec{r}$  δίνει :

$$\vec{E}(\vec{r}) = -\vec{\nabla} \int_V \frac{\rho(\vec{r}') dV'}{4\pi\epsilon R} \quad (3-128)$$

Από τις (3-126) και (3-128) προκύπτει ότι :

$$\Phi(\vec{r}) = \int_V \frac{\rho(\vec{r}') dV'}{4\pi\epsilon R} \quad (3-129)$$

### β. Στατικό διανυσματικό δυναμικό.

Έστω μία χωρική κατανομή χρονικά σταθερής πυκνότητας ρεύματος  $\vec{J}(\vec{r}')$ . Σε κάθε θέση  $\vec{r}'$ , τότε, υπάρχει ένα ρεύμα :

$$I d\vec{l}' = \frac{I}{S} \frac{d\vec{l}'}{dl'} dV' = \vec{J}(\vec{r}') dV' \quad (3-130)$$

Τό μαγνητικό πεδίο, που δημιουργεί στη θέση  $\vec{r}$ , τό στοιχειώδες αυτό ρεύμα, είναι, σύμφωνα με τό νόμο των Biot-Savart:

$$d\vec{B}(\vec{r}) = \frac{\vec{J}(\vec{r}') \times (\vec{r} - \vec{r}')}{4\pi\mu^{-1} |\vec{r} - \vec{r}'|^3} dV'$$

ή

$$d\vec{B}(\vec{r}) = \frac{\vec{J}(\vec{r}') \times \vec{R}}{4\pi\mu^{-1} R^3} dV' \quad (3-131)$$

Ολοκληρώνοντας για όλα τα  $\vec{J}(\vec{r}')$  έχουμε:

$$\vec{B}(\vec{r}) = \int_V \frac{\vec{J}(\vec{r}') \times \vec{R}}{4\pi\mu^{-1}R^3} dV' \quad (3-132)$$

$$\vec{B}(\vec{r}) = - \int_V \frac{\vec{J}(\vec{r}')}{4\pi\mu^{-1}} \times \vec{\nabla} \left( \frac{1}{R} \right) dV' = \int_V \frac{1}{4\pi\mu^{-1}} \vec{\nabla} \left( \frac{1}{R} \right) \times \vec{J}(\vec{r}') dV' \quad (3-133)$$

Γενικά, αν  $\vec{C}$  ένα διανυσματικό και  $\lambda$  ένα μονόμετρο πεδίο ισχύει:

$$\vec{\nabla} \times \lambda \vec{C} = \vec{\nabla} \lambda \times \vec{C} + \lambda \vec{\nabla} \times \vec{C} \quad (3-134)$$

Εφαρμόζοντας την (3-134) στην (3-133) έχουμε :

$$\vec{\nabla} \times \left( \frac{1}{R} \vec{J}(\vec{r}') \right) = \vec{\nabla} \left( \frac{1}{R} \right) \times \vec{J}(\vec{r}') + \frac{1}{R} \vec{\nabla} \times \vec{J}(\vec{r}') \quad (3-135)$$

Αλλά

$$\vec{\nabla} \times \vec{J}(\vec{r}') = 0 \quad (3-136)$$

γιατί το  $\vec{J}(\vec{r}')$  δεν εξαρτάται από το  $\vec{r}$ . Επομένως

$$\vec{\nabla} \times \left( \frac{\vec{J}(\vec{r}')}{R} \right) = \vec{\nabla} \left( \frac{1}{R} \right) \times \vec{J}(\vec{r}') \quad (3-137)$$

Ωστε:

$$\vec{B}(\vec{r}) = \int_V \frac{1}{4\pi\mu^{-1}} \vec{\nabla} \times \frac{\vec{J}(\vec{r}')}{R} dV' = \vec{\nabla} \times \int_V \frac{\vec{J}(\vec{r}')}{4\pi\mu^{-1}R} dV' \quad (3-138)$$

Από τον όρισμό του διανυσματικού δυναμικού  $\vec{A}$  :

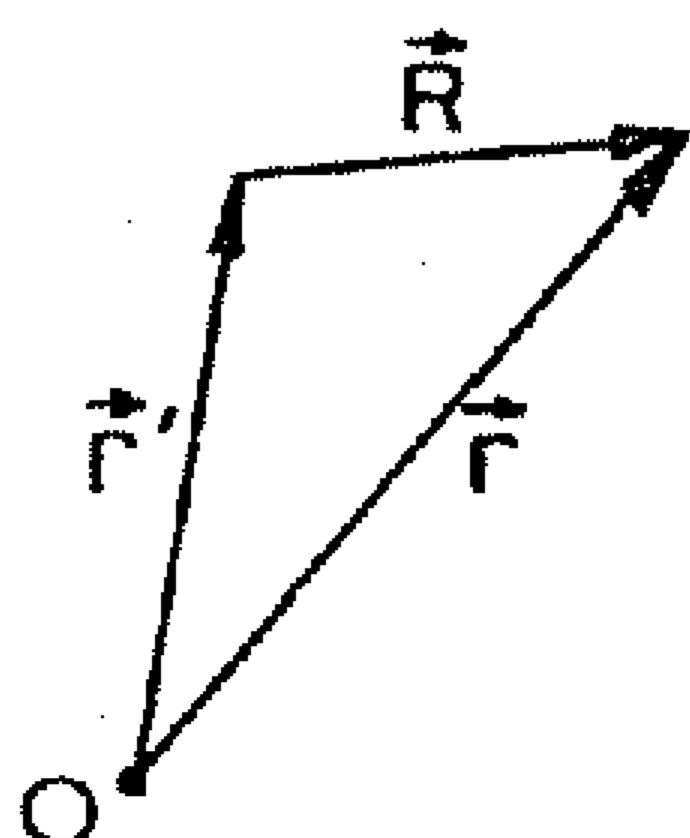
$$\vec{B}(\vec{r}) = \vec{\nabla} \times \vec{A}(\vec{r}) \quad (3-139)$$

καί από τήν (3-138) προκύπτει ὅτι :

$$\vec{A}(\vec{r}) = \int_V \frac{\vec{J}(\vec{r}')}{4\pi\mu^{-1}R} dV' \quad (3-140)$$

Εἶναι φανερό ἡ ἀναλογία τῶν σχέσεων (3-129) καί (3-140), πού συνδέουν τά δυναμικά  $\Phi(\vec{r})$  καί  $\vec{A}(\vec{r})$  μέ τίς πηγές τους  $\rho(\vec{r}')$  καί  $\vec{J}(\vec{r}')$ , πού στήν περίπτωση πού ἐξετάζουμε εἶναι "στατικές", δηλαδή συναρτήσεις μόνο τοῦ χώρου.

### 3.8.2. Χρονικά Μεταβαλλόμενα Δυναμικά - Καθυστερημένα Δυναμικά (Retarded Potentials).



Σχ.3-5 Στό σημεῖο  $\vec{r}$  καί τή χρονική στιγμή  $t$  τά πεδία, ἢ τά δυναμικά, ἔχουν τιμή, πού εἶναι ἐπαλληλία τῶν τιμῶν πού εἶχαν τά πεδία ἢ τά δυναμικά, σ' ὅλες τίς θέσεις  $\vec{r}'$  πρὶν ἀπό χρόνο  $R/u$  ἢ καθυστερημένα.

Στή γενική περίπτωση, πού τά μεγέθη  $\rho$  καί  $\vec{J}$  εἶναι καί συναρτήσεις τοῦ χρόνου  $t$ , τότε καί τά δυναμικά  $\Phi$  καί  $\vec{A}$  εἶναι καί αὐτά συναρτήσεις τοῦ  $t$ , τό ὕψος καί τά πεδία  $\vec{E}$  καί  $\vec{B}$ , καί ἐκανοποιοῦν τή γενική διαφορική ἐξίσωση κύματος, πού διαδίδεται στό χώρο μέ ταχύτητα

$$u = \frac{1}{\sqrt{\epsilon\mu}} \quad (3-141)$$

Αὐτό σημαίνει ὅτι ἂν συμβεῖ μιά μεταβολή, στίς πηγές ἢ στά πεδία ἢ στά δυναμικά, στή θέση  $\vec{r}'$ , ἡ μεταβολή αὐτή " γίνεταί αἰσθητή " στή θέση  $\vec{r}$  ὕστερα ἀπό χρόνο  $R/u$ . Ὡστε τό δυναμικό  $\Phi(\vec{r}, t)$  στή θέση  $\vec{r}$  καί τή χρονική στιγμή  $t$  προσδιορίζεται ἀπό τή διάταξη, πού εἶχαν στίς διάφορες θέσεις  $\vec{r}'$ , τά φορτία πρὶν ἀπό χρόνους  $R/u$  δηλ. τίς χρονικές στιγμές  $t - \frac{R}{u}$ .



Μέ βάση τήν (3-129) θά ἔχουμε λοιπόν :

$$\Phi(\vec{r}, t) = \int_V \frac{\rho(\vec{r}', t - \frac{R}{U})}{4\pi\epsilon R} dV' \quad (3-142)$$

Μέ ανάλογο συλλογισμό θά ἔχουμε καί γιά τό διανυσματικό δυναμικό :

$$\vec{A}(\vec{r}, t) = \int_V \frac{\vec{J}(\vec{r}', t - \frac{R}{U})}{4\pi\mu^{-1}R} dV' \quad (3-143)$$

Οἱ σχέσεις (3-142), (3-143) δύνουν, ὅπως λέμε, τά καθυστέρημένα δυναμικά καί ἀποτελοῦν τίς γενικές λύσεις τῶν διαφορικῶν ἐξισώσεων τῶν δυναμικῶν, στήν περίπτωση πού δέν ὑπάρχουν ὁριακές ἐπιφάνειες πού νά ἐπιβάλλουν ὁρισμένες συνθήκες. Ἀπό αὐτές, καί μέ τίς σχέσεις

$$\vec{B} = \vec{\nabla} \times \vec{A} \quad (3-144)$$

$$\vec{E} = -\vec{\nabla} \Phi - \frac{\partial \vec{A}}{\partial t} \quad (3-145)$$

προσδιορίζονται τά πεδία  $\vec{E}(\vec{r}, t)$  καί  $\vec{B}(\vec{r}, t)$

**Περίπτωση ἁρμονικῶν πηγῶν.** Ὄταν οἱ πηγές εἶναι ἁρμονικές χρησιμοποιώντας τή φασική ἔκφρασή τους (phasors), ἔχουμε :

$$\rho(\vec{r}', t) = \text{Re} [\rho(\vec{r}') e^{j\omega t}] \quad (3-146)$$

$$\vec{J}(\vec{r}', t) = \text{Re} [\vec{J}(\vec{r}') e^{j\omega t}] \quad (3-147)$$

Ἐπιπλέον εἶναι :

$$\frac{\omega}{U} = k \quad (3-148)$$

Τά καθυστερημένα δυναμικά, τώρα, σύμφωνα με τις (3-142), (3-143) είναι:

$$\text{όπου} \quad \Phi(\vec{r}, t) = \text{Re} \int_V \frac{\rho(\vec{r}') e^{j(\omega t - kR)}}{4\pi\epsilon R} dV' \quad (3-149)$$

$$\text{και} \quad \vec{A}(\vec{r}, t) = \text{Re} \int_V \frac{\vec{\mathcal{J}}(\vec{r}') e^{j(\omega t - kR)}}{4\pi\mu^{-1}R} dV' \quad (3-150)$$

Αν  $\Phi(\vec{r})$  και  $\vec{A}(\vec{r})$  οι phasors των δυναμικών, από τις (3-149), (3-150) προκύπτει ότι :

$$\Phi(\vec{r}) = \int_V \frac{\rho(\vec{r}') e^{-jkR}}{4\pi\epsilon R} dV' \quad (3-151)$$

$$\vec{A}(\vec{r}) = \int_V \frac{\vec{\mathcal{J}}(\vec{r}') e^{-jkR}}{4\pi\mu^{-1}R} dV'$$

Οι (3-151) εκφράζουν τους phasors των καθυστερημένων δυναμικών σε συνάρτηση με τους phasors των πηγών τους.

### 3.9. Ακτινοβολία Στοιχειώδους Ηλεκτρικού Διπόλου.

Ας θεωρήσουμε ένα στοιχειώδες ηλεκτρικό δίπολο (βλ. σχ 3-6) μέσα σε όμογενές και ισότροπο μέσο. Υποθέτουμε ότι το δίπολο αποτελείται από τρία φορτία  $+q$ ,  $-q$ , που αναπτύσσονται στα άκρα ενός πολύ μικρού αγωγού μήκους  $l$ , ο οποίος επιτρέπει τη δημιουργία ρεύματος

$$I = \frac{dq}{dt} \quad (3-152)$$

Ωστε στην τυχαία χρονική στιγμή  $t$  το φορτίο στα άκρα του διπόλου είναι γενικά :

$$q = q(t) \quad (3-153)$$

Ἡ ἡλεκτρικὴ ροπή τοῦ διπόλου εἶναι:

$$\vec{p}(t) = q(t)\vec{l}$$

καὶ ὁ ρυθμὸς μεταβολῆς τῆς ὀρίζου-  
τὸ διάνυσμα :

$$\vec{M} = \frac{d\vec{p}}{dt} = \frac{dq}{dt} \vec{l} = I\vec{l} = \vec{I}l \quad (3-154)$$

(ἔχουμε θεωρήσει ὡς φορά τοῦ ρεύ-  
ματος τὴ φορά τοῦ  $\vec{l}$  δηλ. ἀπὸ τὸ  
-q πρὸς τὸ +q ).

Τὸ διανυσματικὸ δυναμικὸ  $\vec{A}(\vec{r}, t)$

στὴ θέση  $\vec{r}$  καὶ τὴ χρονικὴ στιγμή  $t$  (σχέση (3-143)) , εἶναι:

$$\vec{A}(\vec{r}, t) = \int_V \frac{\vec{J}(\vec{r}', t - \frac{R}{v})}{4\pi\mu^{-1}R} dV' \quad (3-155)$$

Ἐπειδὴ τὸ στοιχειώδες δῦπολο εἶναι πρακτικὰ σημειακό ( $l \rightarrow 0$ )

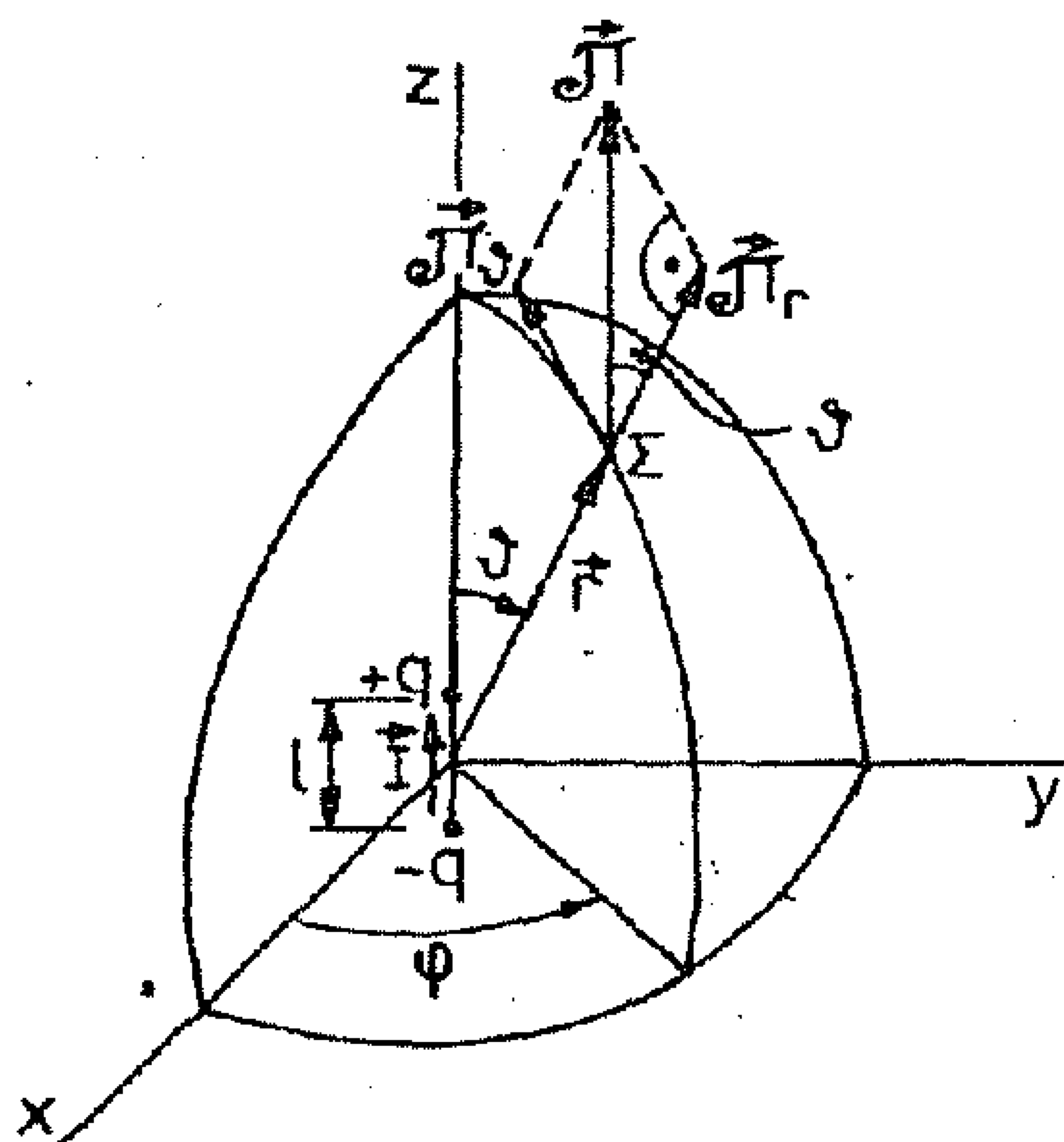
ἔχουμε  $\vec{r}' = 0$  καὶ  $R = |\vec{r} - \vec{r}'| = r$  . Ὡστε ἡ (3-155) γίνεται :

$$\vec{A}(\vec{r}, t) = \int_V \frac{\vec{J}(t - \frac{r}{v})}{4\pi\mu^{-1}r} dV' \quad (3-156)$$

$$\text{Ἀλλὰ :} \quad \vec{J} dV' = I d\vec{z}' = \vec{I} dz' \quad (3-157)$$

καὶ ἡ (3-156) γράφεται :

$$\vec{A}(\vec{r}, t) = \int_0^l \frac{\vec{I}(t - \frac{r}{v})}{4\pi\mu^{-1}r} dz' = \frac{\vec{I}(t - \frac{r}{v})l}{4\pi\mu^{-1}r} \quad (3-158)$$



Σχ. 3-6. Γεωμετρία γιὰ τὴ μελέτη τῆς ἀκτινοβολίας ἑνὸς στοιχειώδους ἡ-  
λεκτρικοῦ διπόλου .

καί από τή (3-154) προκύπτει:

$$\vec{A}(\vec{r}, t) = \frac{\vec{M}\left(t - \frac{r}{v}\right)}{4\pi\mu^{-1}r} \quad (3-159)$$

Ὡστε τό δυναμικό  $\vec{A}(\vec{r}, t)$  στή θέση  $\vec{r}$  καί τή χρονική στιγμή  $t$  καθορίζεται από τό ρυθμό μεταβολῆς  $\vec{M}$  τῆς διπολικῆς ροπῆς κατά τή χρονική στιγμή  $t - \frac{r}{v}$  (ὅπου  $\frac{r}{v}$  εἶναι ὁ χρόνος, πού χρειάζεται ἡ διαταραχή γιά νά φτάσει στή θέση  $\vec{r}$ ) καί ἐξαρτᾶται ἀντίστροφα ἀνάλογα ἀπό τήν ἀπόσταση  $r$ .

ὑποθέτουμε τώρα ὅτι ἡ μεταβολή εἶναι ἀρμονική.  
Δηλαδή ἡ (3-153) εἶναι :

$$q = \text{Re}(q e^{j\omega t}) \quad (3-160)$$

ὅπου  $q$  ὁ phasor τοῦ φορτίου. Ὁ Phasor  $\vec{I}$  τοῦ ἡλεκτρικοῦ ρεύματος εἶναι :

$$\vec{I} = j\omega q \hat{z} \quad (3-161)$$

ἐνῶ ὁ phasor  $\vec{M}$  τοῦ ρυθμοῦ μεταβολῆς τῆς ἡλεκτρικῆς ροπῆς εἶναι

$$\vec{M} = \vec{I} l = j\omega q l \hat{z} \quad (3-162)$$

Ἀπό τή (3-159) ἔχουμε :

$$\vec{A}(\vec{r}) e^{j\omega t} = \frac{\vec{M} e^{j\omega\left(t - \frac{r}{v}\right)}}{4\pi\mu^{-1}r} \quad (3-163)$$

$$\vec{A}(\vec{r}) e^{j\omega t} = \frac{\vec{M} e^{j(\omega t - kr)}}{4\pi\mu^{-1}r} \quad (3-164)$$

και

$$\vec{A}(\vec{r}) = \frac{\vec{M}}{4\pi\mu^{-1}} \frac{e^{-jkr}}{r} \quad (3-165)$$

θετουμε :

$$\vec{J} = \vec{M} \frac{e^{-jkr}}{4\pi r} \quad (3-166)$$

Ωστε :

$$\vec{A} = \mu \vec{J} \quad (3-167)$$

και

$$\vec{B} = \vec{\nabla} \times \vec{A} = \mu \vec{\nabla} \times \vec{J} \quad (3-168)$$

Από την πρώτη εξίσωση του Maxwell έχουμε (θεωρώντας  $\sigma=0$ ) :

$$\vec{\nabla} \times \vec{B} = j\omega\epsilon\mu\vec{E} \quad (3-169)$$

και

$$\vec{E} = -\frac{j}{\omega\epsilon\mu} \vec{\nabla} \times \vec{B} \quad (3-170)$$

Θα χρησιμοποιήσουμε σφαιρικές συντεταγμένες όπου :

$$h_1 = 1$$

$$h_2 = r$$

$$h_3 = r \sin\theta$$

Οι συνιστώσες του  $\vec{J}$  είναι :

$$J_r = J \cos\theta$$

$$J_\theta = -J \sin\theta \quad (3-171)$$

$$J_\phi = 0$$

Εφαρμόζοντας την (3-168) έχουμε :

$$\vec{B} = \frac{\mu}{r^2 \sin \vartheta} \begin{vmatrix} \hat{r} & r\hat{\vartheta} & r\sin\vartheta\hat{\varphi} \\ \frac{\partial}{\partial r} & \frac{\partial}{\partial \vartheta} & \frac{\partial}{\partial \varphi} \\ \pi_r & r\pi_\vartheta & 0 \end{vmatrix} \quad (3-172)$$

Αναπτύσσοντας τη (3-172) έχουμε :

$$B_r = \frac{\mu}{r^2 \sin \vartheta} \left( -r \frac{\partial \pi_\vartheta}{\partial \varphi} \right) = \frac{-\mu}{r \sin \vartheta} \frac{\partial}{\partial \varphi} \left( -\mathcal{M} \frac{e^{-jkr}}{4\pi r} \sin \vartheta \right) = 0$$

$$B_\vartheta = \frac{\mu}{r^2 \sin \vartheta} \left( r \frac{\partial \pi_r}{\partial \varphi} \right) = \frac{\mu}{r \sin \vartheta} \frac{\partial}{\partial \varphi} \left( -\mathcal{M} \frac{e^{-jkr}}{4\pi r} \cos \vartheta \right) = 0$$

$$\begin{aligned} B_\varphi &= \frac{\mu}{r^2 \sin \vartheta} \left[ r \sin \vartheta \left( \frac{\partial (r \pi_\vartheta)}{\partial r} - \frac{\partial \pi_r}{\partial \vartheta} \right) \right] = \\ &= \frac{\mu}{r} \left[ \frac{\partial}{\partial r} \left( -r \sin \vartheta \mathcal{M} \frac{e^{-jkr}}{4\pi r} \right) - \frac{\partial}{\partial \vartheta} \left( \cos \vartheta \mathcal{M} \frac{e^{-jkr}}{4\pi r} \right) \right] = \\ &= \frac{\mu}{r} \left[ jk \sin \vartheta \frac{\mathcal{M}}{4\pi} e^{-jkr} + \sin \vartheta \mathcal{M} \frac{e^{-jkr}}{4\pi r} \right] \end{aligned}$$

ή τελικά :

$$B_\varphi = \frac{\mathcal{M}}{4\pi \mu^{-1}} \left( \frac{jk}{r} + \frac{1}{r^2} \right) \sin \vartheta \cdot e^{-jkr} \quad (3-173)$$

Από τη (3-170) έχουμε :

$$\vec{E} = -\frac{j}{\omega \epsilon \mu r^2 \sin \vartheta} \begin{vmatrix} \hat{r} & r\hat{\vartheta} & r\sin\vartheta\hat{\varphi} \\ \frac{\partial}{\partial r} & \frac{\partial}{\partial \vartheta} & \frac{\partial}{\partial \varphi} \\ 0 & 0 & r\sin\vartheta B_\varphi \end{vmatrix} \quad (3-174)$$



Αναπτύσσοντας τη (3-174) βρίσκουμε :

$$\mathcal{E}_r = \frac{\mathcal{M}}{2\pi\epsilon} \left( \frac{1}{\nu r^2} + \frac{1}{j\omega r^3} \right) \cos\vartheta e^{-jkr} \quad (3-175)$$

$$\mathcal{E}_\vartheta = \frac{\mathcal{M}}{4\pi\epsilon} \left( \frac{jk^2}{\omega r} + \frac{1}{\nu r^2} + \frac{1}{j\omega r^3} \right) \sin\vartheta e^{-jkr} \quad (3-176)$$

καί  $\mathcal{E}_\varphi = 0 \quad (3-177)$

Πολλάπλασιάζοντας επί  $e^{j\omega t}$ , καί παίρνοντας τά πραγματικά μέρη

Έχουμε τίς συνιστώσες τοῦ πραγματικοῦ πεδίου  $\vec{E}$ ,  $\vec{B}$ .

Συνοψίζοντας έχουμε :

$$\mathcal{E}_r(\vec{r}, t) = \frac{\mathcal{M}}{2\pi\epsilon} \left( \frac{1}{\nu r^2} + \frac{1}{j\omega r^3} \right) \cos\vartheta e^{j(\omega t - kr)}$$

$$\mathcal{E}_\vartheta(\vec{r}, t) = \frac{\mathcal{M}}{4\pi\epsilon} \left( \frac{jk^2}{\omega r} + \frac{1}{\nu r^2} + \frac{1}{j\omega r^3} \right) \sin\vartheta e^{j(\omega t - kr)}$$

$$\mathcal{E}_\varphi(\vec{r}, t) = 0$$

(3-178)

$$\mathcal{B}_r(\vec{r}, t) = 0$$

$$\mathcal{B}_\vartheta(\vec{r}, t) = 0$$

$$\mathcal{B}_\varphi(\vec{r}, t) = \frac{\mathcal{M}}{4\pi\mu^{-1}} \left( \frac{jk}{r} + \frac{1}{r^2} \right) \sin\vartheta e^{j(\omega t - kr)}$$

ὅπου :

$$\mathcal{M} = I l$$

## Σ υ μ π ε ρ ά σ μ α τ α

• Ο παράγοντας  $e^{j(\omega t - kr)}$ , σ' όλες τις συνιστώσες του πεδίου, δείχνει ότι η ηλεκτρομαγνητική διαταραχή γύρω από ένα στοιχειώδες ηλεκτρικό δίπολο έχει τη μορφή σφαιρικού κύματος, που διαδίδεται με ταχύτητα  $u = \frac{1}{\sqrt{\epsilon\mu}}$ .

Τό πλάτος του κύματος, φθίνει όσο μεγαλώνει τό  $r$ , αλλά μέ διαφορετικό ρυθμό γιά τις διάφορες συνιστώσες.

• Όλοι οι όροι που εξαρτώνται από τό  $\frac{1}{r^2}$  και από τό  $\frac{1}{r^3}$  εξασθενούν πολύ γρήγορα όσο απομακρυνόμαστε από τό δίπολο. Έτσι, ενώ σέ κοντινές απόστάσεις επικρατεί τό πεδίο (3-178), που λέγεται και "πεδίο επαγωγής", σέ μακρινές απόστάσεις επικρατούν μόνο οι όροι, που εξαρτώνται από τό  $\frac{1}{r}$  και συνιστούν τό λεγόμενο "πεδίο ακτινοβολίας". Ωστε τό πεδίο ακτινοβολίας εκφράζεται από τις σχέσεις :

$$\mathcal{E}_r = \mathcal{E}_\varphi = \mathcal{B}_r = \mathcal{B}_\vartheta = 0$$

$$\mathcal{E}_\vartheta = \frac{jk^2 M}{4\pi\epsilon\omega r} \sin\vartheta e^{j(\omega t - kr)} \quad (3-179)$$

$$\mathcal{B}_\varphi = \frac{jk M}{4\pi\mu^{-1}r} \sin\vartheta e^{j(\omega t - kr)}$$

Στήν περίπτωση του κενού, όπου :

$$c = \frac{1}{\sqrt{\epsilon_0 \mu_0}} = 3 \cdot 10^8 \text{ m/sec}$$

$$\epsilon_0 = 8,854 \cdot 10^{-12} \text{ F/m}$$

$$\mu_0 = 4\pi \cdot 10^{-7} \text{ H/m}$$

οι (3-179) γίνονται :

$$\begin{aligned} E_r &= E_\varphi = B_r = B_\vartheta = 0 \\ E_\vartheta &= \frac{j 60\pi I l}{\lambda r} \sin\vartheta e^{j(\omega t - kr)} \\ B_\varphi &= \frac{j I l}{2 \lambda r \mu_0^{-1}} \sin\vartheta e^{j(\omega t - kr)} \end{aligned} \quad (3-180)$$

όπου  $\lambda = \frac{2\pi}{k} = \frac{c}{f}$  τό μήκος κύματος της ακτινοβολίας.

Τό πηλίκο των συνιστωσών  $E_\vartheta$ ,  $H_\varphi$  της ακτινοβολίας είναι:

$$Z = \frac{E_\vartheta}{H_\varphi} = \frac{\mu E_\vartheta}{B_\varphi} = \frac{k}{\epsilon \omega} = \frac{1}{v \epsilon} = \frac{\sqrt{\mu \epsilon}}{\epsilon} = \sqrt{\frac{\mu}{\epsilon}}$$

$$Z = \sqrt{\frac{\mu}{\epsilon}} \quad (3-181)$$

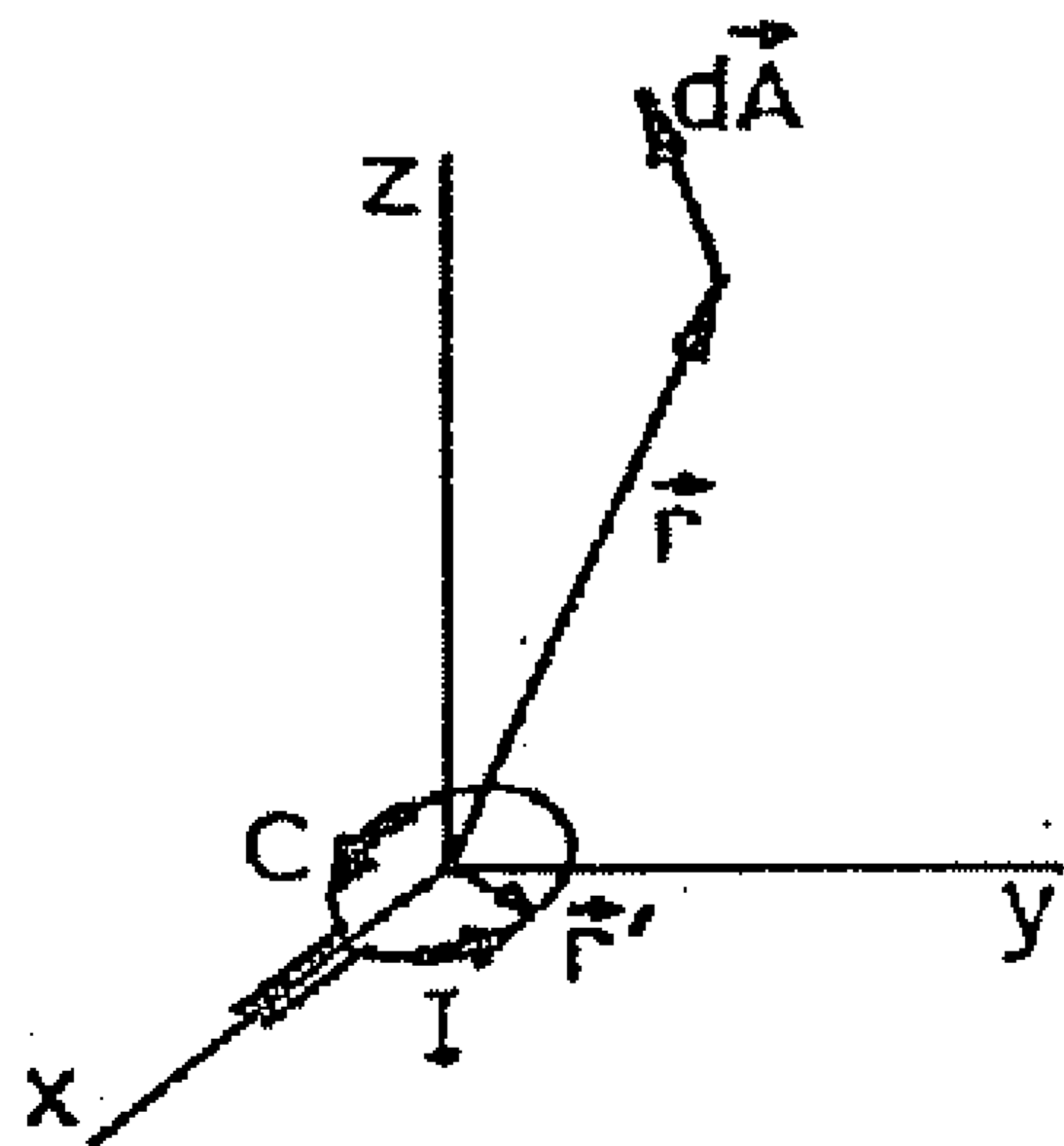
έξαρτάται μόνο από τό μέσο, καί λέγεται " κυματική αντίσταση" ή "έσωτερική αντίσταση" του μέσου.

Εύκολα προκύπτει ότι για τό κενό είναι:

$$Z_0 = \sqrt{\frac{\mu_0}{\epsilon_0}} = 120 \pi \Omega = 377 \Omega \quad (3-182)$$

### 3.10. Ακτινοβολία Στοιχειώδους Μαγνητικού Διπόλου.

Έστω τό στοιχειώδες μαγνητικό δίπολο του σχ. 3-7 (μικρός κυκλικός βρόχος μέ ακτίνα  $a$ ), πού διαρρέεται από ρεύμα  $I(\vec{r}', t)$ .



Σχ. 3-7 Γεωμετρία για τή μελέτη τής ακτινοβολίας ενός μαγνητικού διπόλου.

Στή θέση  $\vec{r}$  καί τή χρονική στιγμή  $t$  τό στοιχείο  $d\vec{l}'$  του βρόχου δημιουργεί καθυστερημένο διανυσματικό δυναμικό :

$$d\vec{A}(\vec{r}, t) = \frac{1}{4\pi\mu^{-1}} \frac{\vec{J}(\vec{r}', t - \frac{R}{U})}{R} dV' \quad (3-183)$$

ή έπειδή

$$\vec{J} dV' = I d\vec{l}' = I a d\varphi' \hat{\varphi}' \quad (3-184)$$

είναι :

$$d\vec{A}(\vec{r}, t) = \frac{I(\vec{r}', t - \frac{R}{U})}{4\pi\mu^{-1}R} a d\varphi' \hat{\varphi}' \quad (3-185)$$

$$\text{όπου} \quad \vec{R} = \vec{r} - \vec{r}' \quad \text{καί} \quad R = |\vec{r} - \vec{r}'| \quad (3-186)$$

Εξετάζουμε στά παρακάτω τήν περίπτωση πού

$$r \gg a \quad (3-187)$$

όότε είναι :

$$I(\vec{r}', t - \frac{R}{U}) = I(t - \frac{R}{U}) \quad (3-188)$$

καί

$$d\vec{A}(\vec{r}, t) = \frac{a I(t - \frac{R}{U})}{4\pi\mu^{-1}R} d\varphi' \hat{\varphi}' \quad (3-189)$$

Έστω, τώρα, ότι το ρεύμα είναι αρμονική συνάρτηση του χρόνου ,  
δηλαδή

$$I = \text{Re} \{ I e^{j\omega t} \} \quad (3-190)$$

τότε

$$d\vec{A}(\vec{r}) = \text{Re} \left[ \frac{\alpha I e^{j\omega(t - \frac{R}{v})}}{4\pi\mu^{-1}R} d\varphi' \hat{\varphi}' \right] \quad (3-191)$$

ή

$$d\vec{A}(\vec{r}) = \text{Re} \left[ \frac{\alpha I e^{-jkR}}{4\pi\mu^{-1}R} d\varphi' \hat{\varphi}' e^{j\omega t} \right] \quad (3-192)$$

Από τη (3-192) έχουμε το φασικό διανυσματικό δυναμικό :

$$d\vec{A}(\vec{r}) = \frac{\alpha I e^{-jkR}}{4\pi\mu^{-1}R} d\varphi' \hat{\varphi}' \quad (3-193)$$

πού δημιουργεί το στοιχείο  $d\vec{l}'$  του βρόχου στη θέση  $\vec{r}'$  ( $r \gg a$ )

Θά υπολογίσουμε στη περίπτωση αυτή το πηλίκο  $\frac{e^{-jkR}}{R}$  :

Με την υπόθεση, ότι  $r \gg a$  είναι

$$\frac{\vec{r} \cdot \vec{r}'}{r^2} \ll 1 \quad (3-194)$$

και

$$\begin{aligned} R &= \sqrt{(\vec{r} - \vec{r}') \cdot (\vec{r} - \vec{r}')} = \sqrt{r^2 + r'^2 - 2\vec{r} \cdot \vec{r}'} \simeq \sqrt{r^2 - 2\vec{r} \cdot \vec{r}'} = \\ &= r \left( 1 - 2 \frac{\vec{r} \cdot \vec{r}'}{r^2} \right)^{1/2} \simeq r \left( 1 - \frac{\vec{r} \cdot \vec{r}'}{r^2} \right) \end{aligned} \quad (3-195)$$

επομένως :

$$\frac{1}{R} = \frac{1}{r} \left( 1 - 2 \frac{\vec{r} \cdot \vec{r}'}{r^2} \right)^{1/2} \simeq \frac{1}{r} \left( 1 + \frac{\vec{r} \cdot \vec{r}'}{r^2} \right) \quad (3-196)$$

και 
$$e^{-jkR} \simeq e^{-jkr} e^{jk \frac{\vec{r} \cdot \vec{r}'}{r}} \simeq e^{-jkr} \left[ 1 + \frac{jk}{r} (\vec{r} \cdot \vec{r}') \right] \quad (3-197)$$

και 
$$\frac{e^{-jkR}}{R} = \frac{e^{-jkr}}{r} \left[ 1 + \left( \frac{jk}{r} + \frac{1}{r^2} \right) (\vec{r} \cdot \vec{r}') + jk \frac{(\vec{r} \cdot \vec{r}')^2}{r^3} \right] \quad (3-198)$$

η τελικά :

$$\frac{e^{-jkR}}{R} \simeq \frac{e^{-jkr}}{r} \left[ 1 + \left( \frac{jk}{r} + \frac{1}{r^2} \right) (\vec{r} \cdot \vec{r}') \right] \quad (3-199)$$

Η (3-193) με την (3-199) δύνουν :

$$d\vec{A}(\vec{r}) = \frac{\alpha I e^{-jkr}}{4\pi \mu^{-1} r} \left[ 1 + \left( \frac{jk}{r} + \frac{1}{r^2} \right) (\vec{r} \cdot \vec{r}') \right] d\varphi' \hat{\varphi}' \quad (3-200)$$

Θα ολοκληρώσουμε την (3-200) σ' όλο τό βρόχο C .

Χρησιμοποιώντας τις σχέσεις :

$$\hat{\varphi}' = -\sin \varphi' \hat{x} + \cos \varphi' \hat{y} \quad (3-201)$$

$$\vec{r} \cdot \vec{r}' = x x' + y y' = \alpha x \cos \varphi' + \alpha y \sin \varphi' \quad (3-202)$$

$$x = \rho \cos \varphi = r \sin \vartheta \cos \varphi \quad (3-203)$$

$$y = \rho \sin \varphi = r \sin \vartheta \sin \varphi$$

και 
$$\hat{\varphi} = -\sin \varphi \hat{x} + \cos \varphi \hat{y} \quad (3-204)$$

εύκολα αποδειχνουμε ότι :

$$\oint_C \hat{\varphi}' d\varphi' = 0 \quad (3-205)$$

και 
$$\oint_C (\vec{r} \cdot \vec{r}') \hat{\varphi}' d\varphi' = \pi \alpha r \sin \vartheta \hat{\varphi} \quad (3-206)$$

όπου C ο κυκλικός βρόχος.



Όστε η ολοκλήρωση της (3-200) σ' όλο τό βρόχο δίνει:

$$\vec{A}(\vec{r}) = \frac{\pi \alpha^2 \mathcal{I} e^{-jk r}}{4\pi\mu^{-1}} \left( \frac{jk}{r} + \frac{1}{r^2} \right) \sin\vartheta \hat{\varphi} \quad (3-207)$$

άλλά

$$\vec{m}_0 = \mathcal{I} \pi \alpha^2 \hat{z} = m_0 \hat{z} \quad (3-208)$$

είναι ο phasor της μαγνητικής ροπής του διπόλου.

Όστε :

$$\vec{A}(\vec{r}) = \frac{m_0 e^{-jk r}}{4\pi\mu^{-1}} \left( \frac{jk}{r} + \frac{1}{r^2} \right) \sin\vartheta \hat{\varphi} \quad (3-209)$$

Επειδή δεν υπάρχει συσσώρευση φορτίου τό μονόμετρο δυναμικό στή θέση  $\vec{r}$  είναι μηδέν και

$$\vec{E} = -j\omega \vec{A} \quad (3-210)$$

ή

$$\vec{E} = -\frac{j\omega m_0}{4\pi\mu^{-1}} \left( \frac{jk}{r} + \frac{1}{r^2} \right) \sin\vartheta e^{-jk r} \hat{\varphi} \quad (3-211)$$

Όστε τό  $\vec{E}$  έχει μόνο φ-συνιστώσα.

Είναι :

$$\vec{B} = \vec{\nabla} \times \vec{A} \quad (3-212)$$

$$\vec{B} = \frac{1}{r^2 \sin\vartheta} \begin{vmatrix} \hat{r} & r\hat{\vartheta} & r\sin\vartheta \hat{\varphi} \\ \frac{\partial}{\partial r} & \frac{\partial}{\partial \vartheta} & \frac{\partial}{\partial \varphi} \\ 0 & 0 & r\sin\vartheta A_\varphi \end{vmatrix} \quad (3-213)$$

Από τη (3-213) προκύπτει :

$$\begin{aligned} \mathcal{B}_r &= \frac{m_0}{2\pi\mu^{-1}} \left( \frac{jk}{r^2} + \frac{1}{r^3} \right) \cos\vartheta e^{-jkr} = \\ &= \frac{j\omega m_0}{2\pi\mu^{-1}} \left( \frac{1}{\omega r^2} + \frac{1}{j\omega r^3} \right) \cos\vartheta e^{-jkr} \end{aligned} \quad (3-214)$$

Από τήν  $\vec{m} = \text{Re}[\vec{m}_0 e^{j\omega t}]$  (3-215)

Προκύπτει ὅτι :  $\vec{M} = \frac{d\vec{m}}{dt} = \text{Re}[j\omega \vec{m}_0 e^{j\omega t}]$  (3-216)

Τό διάνυσμα  $\vec{M} = j\omega \vec{m}_0$  (3-217)

εἶναι ὁ phasor τοῦ ρυθμοῦ μεταβολῆς τῆς μαγνητικῆς ροπῆς τοῦ διπόλου. Ὡστε ἡ (3-214) γράφεται :

$$\mathcal{B}_r = \frac{\mathcal{M}}{2\pi\mu^{-1}} \left( \frac{1}{\omega r^2} + \frac{1}{j\omega r^3} \right) \cos\vartheta e^{-jkr} \quad (3-218)$$

Παρατηροῦμε ὅτι ἡ (3-218) εἶναι ἐντελῶς ἀνάλογη μέ τήν (3-175)

Ἀνάλογα ἀπό τήν (3-213) βρῖσκουμε :

$$\mathcal{B}_\vartheta = \frac{\mathcal{M}}{4\pi\mu^{-1}} \left( \frac{jk^2}{\omega r} + \frac{1}{\omega r^2} + \frac{1}{j\omega r^3} \right) \sin\vartheta e^{-jkr} \quad (3-219)$$

Ἡ (3-219) εἶναι ἐντελῶς ἀνάλογη πρὸς τή (3-176)

Τέλος ἀπό τή (3-213) ἔχουμε :

$$B_\varphi = 0 \quad (3-220)$$

Πολλαπλασιάζοντας τίς συνιστώσες ἐπὶ  $e^{j\omega t}$  καί παίρνοντας τά πραγματικά μέρη ἔχουμε τίς συνιστώσες τοῦ πραγματικοῦ ἠλεκτρομαγνητικοῦ πεδίου .

Συνοψίζοντας έχουμε :

$$E_r(\vec{r}, t) = 0$$

$$E_\theta(\vec{r}, t) = 0$$

$$E_\phi(\vec{r}, t) = -\frac{eM}{4\pi\mu^{-1}} \left( \frac{jk}{r} + \frac{1}{r^2} \right) \sin\vartheta e^{j(\omega t - kr)}$$

$$B_r(\vec{r}, t) = \frac{eM}{2\pi\mu^{-1}} \left( \frac{1}{\omega r^2} + \frac{1}{j\omega r^3} \right) \cos\vartheta e^{j(\omega t - kr)} \quad (3.221)$$

$$B_\theta(\vec{r}, t) = \frac{eM}{4\pi\mu^{-1}} \left( \frac{jk^2}{\omega r} + \frac{1}{\omega r^2} + \frac{1}{j\omega r^3} \right) \sin\vartheta e^{j(\omega t - kr)}$$

$$B_\phi = 0$$

$$\text{όπου } eM = j\omega I \pi a^2$$

Οί (3-221) είναι έντελώς αναλογες προς τίς (3-178) του ηλεκτρικού διπόλου, με μόνη τή διαφορά ότι οί ρόλοι τών  $\vec{E}$  και  $\vec{B}$  έχουν éναλλαγεῖ.

Καί στήν περίπτωση αὐτή τό πεδίο ἀκτινοβολίας ἀποτελεῖται μόνο ἀπό τούς ὅρους πού περιέχουν τό  $\frac{1}{r}$  ἐνῶ οί ὅροι τών  $\frac{1}{r^2}$  καί  $\frac{1}{r^3}$  παραλείπονται . Δηλαδή :

$$E_r = E_\theta = B_r = B_\phi = 0$$

$$E_\phi = -\frac{jk eM}{4\pi\mu^{-1}r} \sin\vartheta e^{j(\omega t - kr)} \quad (3-222)$$

$$B_\theta = \frac{jk^2 eM}{4\pi\mu^{-1}\omega r} \sin\vartheta e^{j(\omega t - kr)}$$

Καί πάλι τό πηλύκο :

$$Z = \frac{E_{\varphi}}{H_{\varphi}} = \frac{\mu E_{\varphi}}{B_{\varphi}} = \frac{\omega}{k\mu^{-1}} = \frac{2\pi\nu\mu}{\lambda \frac{2\pi}{\lambda}} = \frac{\mu}{\sqrt{\epsilon\mu}} = \sqrt{\frac{\mu}{\epsilon}}$$

είναι ὅσο μέ τήν κυματική ἀντίσταση τοῦ μέσου.

## 4. ΟΡΙΑΚΕΣ ΣΥΝΘΗΚΕΣ

Όταν λύνουμε τις ηλεκτρομαγνητικές διαφορικές εξισώσεις σε χώρους, που περιορίζονται με όριακές επιφάνειες, στις οποίες γίνεται απότομη αλλαγή των ιδιοτήτων του υλικού μέσου ( $\epsilon, \mu, \sigma$ ), πρέπει να έχουμε υπόψη όρισμένες συνθήκες (όριακές συνθήκες), τις οποίες πρέπει να ικανοποιούν πάνω στις όριακές επιφάνειες τα πεδία  $\vec{E}$ ,  $\vec{B}$ ,  $\vec{D}$  και  $\vec{H}$ .

### 4.1. Κάθετες συνιστώσες των $\vec{D}, \vec{E}, \vec{H}$ και $\vec{B}$ .

Ολοκληρώνοντας τη 3<sup>η</sup> εξίσωση του Maxwell :

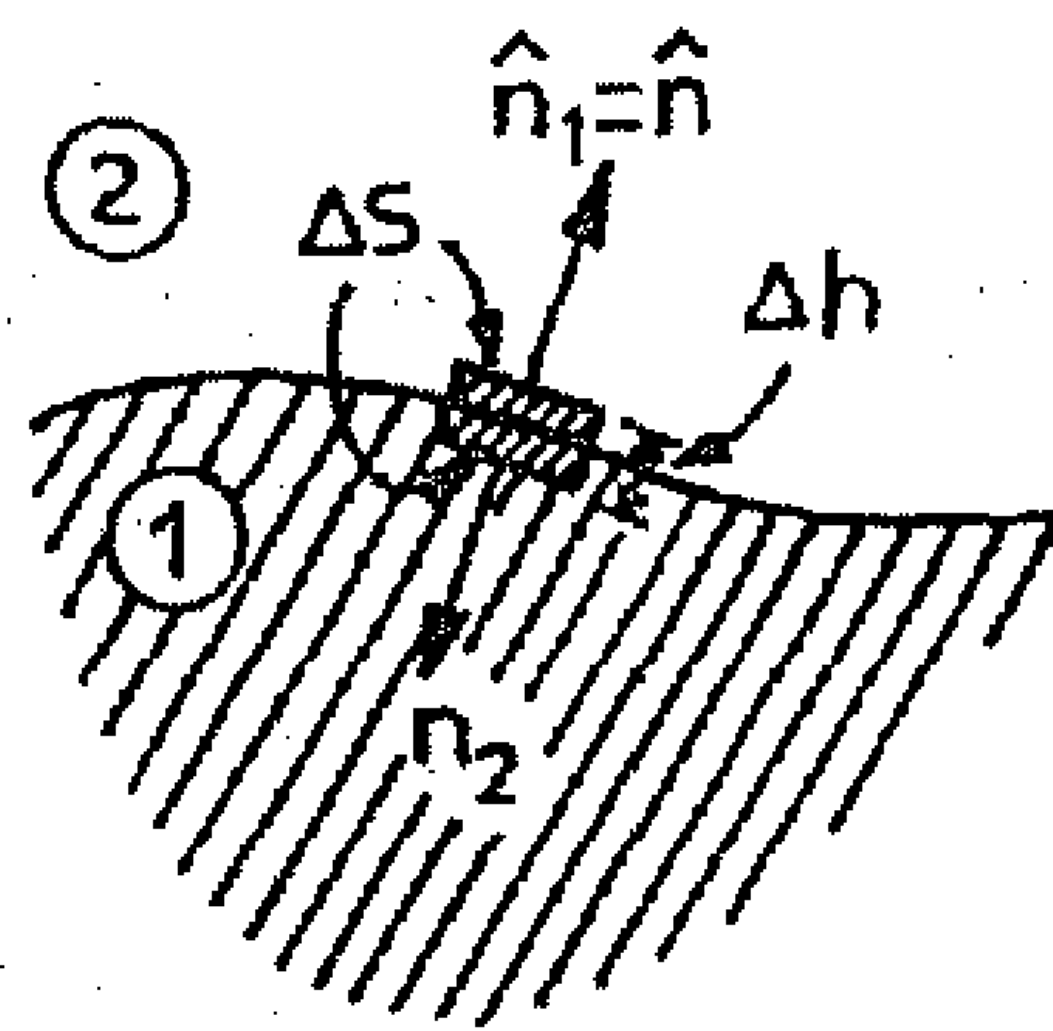
$$\vec{\nabla} \cdot \vec{D} = \rho \quad (4-1)$$

στο στοιχειώδη όγκο ενός όρθου πρίσματος (βλ. σχ. 4-1) :

$$\nabla V = \Delta S \cdot \Delta h \quad (4-2)$$

έχουμε :

$$\int_{\Delta V} \vec{\nabla} \cdot \vec{D} dV = \int_{\Delta V} \rho dV \quad (4-3)$$



Σχ.4-1 Για την απόδειξη της συνθήκης της κάθετης συνιστώσας της ηλεκτρικής διέγερσης, σε μία όριακή επιφάνεια.

Εφαρμόζοντας το θεώρημα του Gauss γράφουμε :

$$\oint_S \vec{D} \cdot \hat{n} dS = \Delta Q \quad (4-4)$$

όπου  $\Delta Q$  τό συνολικό φορτίο, που περιέχει ο όγκος  $\Delta V$  και  $S$  ή συνολική όριακή επιφάνεια που περιορίζει τον όγκο  $\Delta V$ .

Θεωρώντας ότι  $\Delta h \rightarrow 0$  γράφουμε τη (4-4) έτσι :

$$\vec{D}_1 \cdot \hat{n}_2 \Delta S + \vec{D}_2 \cdot \hat{n}_1 \Delta S = \Delta Q \quad (4-5)$$

"Αν λάβουμε υπόψη ότι :

$$\hat{n} = \hat{n}_1 = -\hat{n}_2 \quad (4-6)$$

ή (4-5) γράφεται :

$$\vec{D}_2 \cdot \hat{n} - \vec{D}_1 \cdot \hat{n} = \frac{\Delta Q}{\Delta S} \quad (4-7)$$

"Αν πάρουμε καί  $\Delta S \rightarrow 0$  τότε τό όριο τοῦ δεξιού μέλους γίνεται :

$$\lim_{\Delta S \rightarrow 0} \frac{\Delta Q}{\Delta S} = \rho_s \quad (4-8)$$

όπου  $\rho_s$  ή λεγόμενη "έπιφανειακή πυκνότητα φορτίου" στό σημείο έκεῖνο τῆς έπιφάνειας. Δηλαδή:

$$\hat{n} \cdot (\vec{D}_2 - \vec{D}_1) = \rho_s \quad (4-9)$$

"Ωστε, όταν διασχίζουμε μιά όριακή έπιφάνεια από τό μέσο(1) πρὸς τό μέσο (2) συναντοῦμε άσυνέχεια στήν κάθετη συνιστώσα τῆς ηλεκτρικῆς διέγερσης  $\vec{D}$ , ὅση μέ τήν έπιφανειακή πυκνότητα φορτίου  $\rho_s$  στό σημείο έκεῖνο τῆς έπιφάνειας. Στήν έφαρμογή τῆς (4-9) τό  $\hat{n}$  τό παίρνουμε μέ κατεύθυνση από τό μέσο (1) πρὸς τό μέσο (2).

Από τή σχέση

$$\vec{D} = \epsilon \vec{E} \quad (4-10)$$

καί τή (4-9) προκύπτει :

$$\hat{n} \cdot (\epsilon_2 \vec{E}_2 - \epsilon_1 \vec{E}_1) = \rho_s \quad (4-11)$$

Μέ ανάλογη εργασία, ξεκινώντας από τήν τέταρτη εξίσωση τοῦ Maxwell, ἔχουμε :

$$\hat{n} \cdot (\vec{B}_2 - \vec{B}_1) = 0 \quad (4-12)$$

καί από αὐτήν :

$$\hat{n} \cdot (\mu_2 \vec{H}_2 - \mu_1 \vec{H}_1) = 0 \quad (4-13)$$



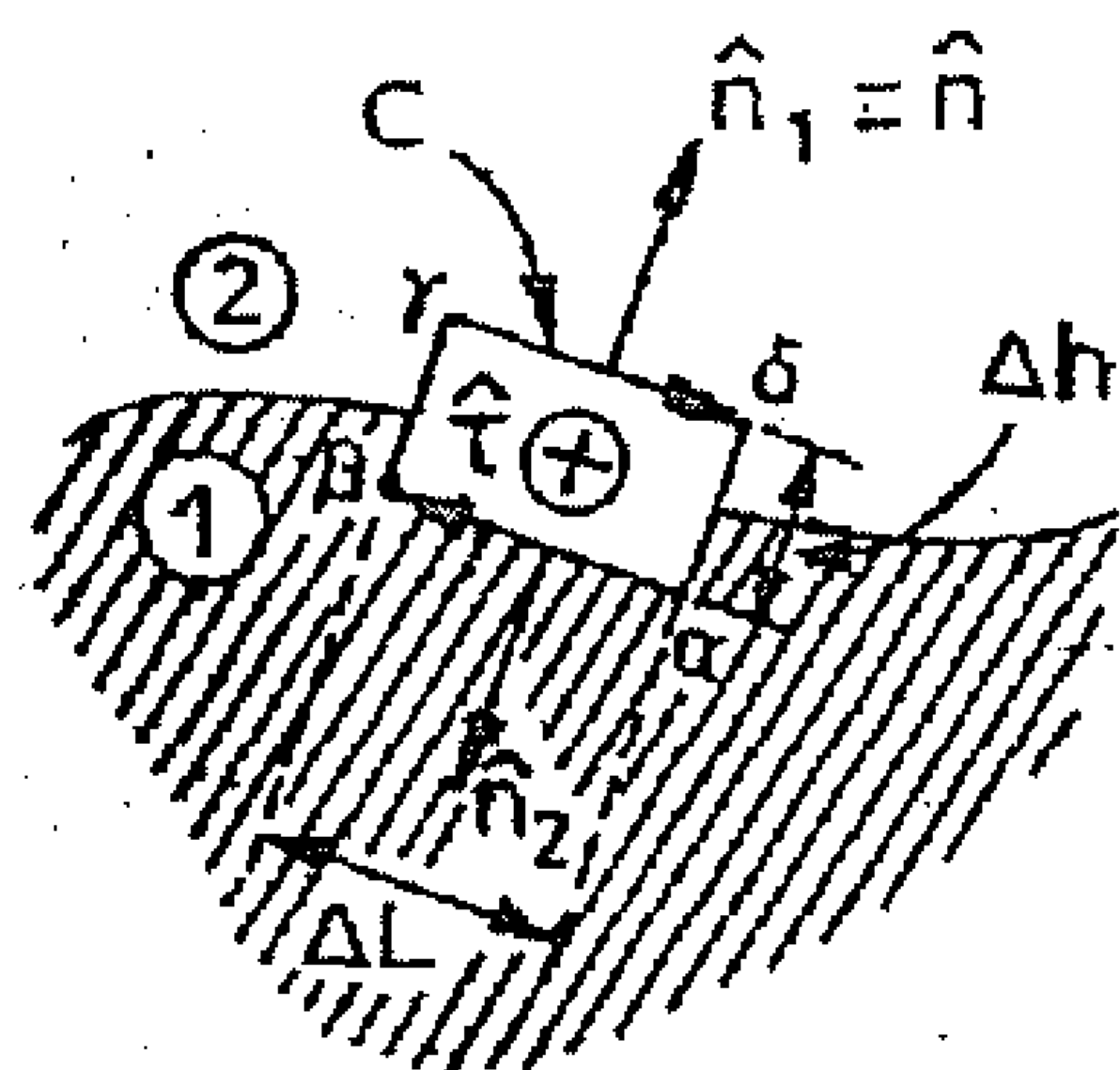
Ωστε, οι κάθετες συνιστώσες του  $\vec{B}$  εμφανίζουν συνέχεια όταν διασχίζουμε την όριακή επιφάνεια από το (1) στο (2), ενώ οι κάθετες συνιστώσες του  $\vec{H}$  εμφανίζουν ασυνέχεια, που εξαρτάται από τις μαγνητικές διαπερατότητες των δύο πλευρών.

## 4.2. Έφαπτομενικές συνιστώσες των $\vec{H}$ , $\vec{B}$ , $\vec{E}$ και $\vec{D}$

Θεωρούμε στο επίπεδο του χαρτιού το ορθογώνιο  $C$  με βάση  $\Delta L$  και ύψος  $\Delta h \rightarrow 0$ . Από την 1<sup>η</sup> εξίσωση του Maxwell έχουμε :

$$\vec{\nabla} \times \vec{H} = \vec{J} + \frac{\partial \vec{D}}{\partial t} \quad (4-14)$$

Ολοκληρώνοντας τη σχέση αυτή πάνω στην επιφάνεια  $\Delta S = \Delta L \Delta h$  έχουμε :



Σχ. 4-2 Για την απόδειξη της ασυνέχειας της εφαπτομένης συνιστώσας της μαγνητικής διέγερσης  $\vec{H}$ .

$$\int_{\Delta S} (\vec{\nabla} \times \vec{H}) \cdot \hat{t} dS = \int_{\Delta S} \vec{J} \cdot \hat{t} dS + \int_{\Delta S} \frac{\partial \vec{D}}{\partial t} \cdot \hat{t} dS \quad (4-15)$$

όπου  $\hat{t}$  το κάθετο μοναδιαίο διάνυσμα πάνω στην  $\Delta S$ .

Με το θεώρημα του Stokes, όταν επιπλέον  $\Delta h \rightarrow 0$ , η (4-15) γίνεται :

$$\oint_C \vec{H} \cdot d\vec{l} = \int_a^b \vec{H}_1 \cdot d\vec{l}_1 + \int_\gamma^\delta \vec{H}_2 \cdot d\vec{l}_2 = \vec{J} \cdot \hat{t} \Delta S + \frac{\partial \vec{D}}{\partial t} \cdot \hat{t} \Delta S \quad (4-16)$$

Αλλά είναι :

$$d\vec{l}_1 = dl \hat{n} \times \hat{t} \quad (4-17)$$

$$d\vec{l}_2 = -dl \hat{n} \times \hat{t} \quad (4-18)$$

Ωστε :

$$\vec{H}_1 \cdot (\hat{n} \times \hat{t}) \Delta L - \vec{H}_2 \cdot (\hat{n} \times \hat{t}) \Delta L = \vec{J} \cdot \hat{t} \Delta S + \frac{\partial \vec{D}}{\partial t} \cdot \hat{t} \Delta S$$

$$\text{ή} \quad (\vec{H}_1 - \vec{H}_2) \cdot (\hat{n} \times \hat{t}) = \vec{J} \cdot \hat{t} \frac{\Delta S}{\Delta L} + \frac{\partial \vec{D}}{\partial t} \cdot \hat{t} \frac{\Delta S}{\Delta L} \quad (4-19)$$

Υπάρχει, όμως, περίπτωση τό παρακάτω όριο νά μή μηδενίζεται, αλλά νά έχουμε:

$$\lim_{\Delta h \rightarrow 0} \frac{\vec{J} \Delta S}{\Delta L} = \lim_{\Delta h \rightarrow 0} \vec{J} \cdot \Delta h = \vec{J}_S \quad (4-20)$$

όπου  $\vec{J}_S$  ή λεγόμενη "έπιφανειακή πυκνότητα ρεύματος" (δηλ.  $\vec{J} \rightarrow \infty$ , όταν  $\Delta h \rightarrow 0$ ), ενώ πάντοτε

$$\lim_{\Delta h \rightarrow 0} \frac{\partial \vec{D}}{\partial t} \cdot \frac{\Delta S}{\Delta L} = 0 \quad (4-21)$$

γιατί τό  $\partial \vec{D} / \partial t$  παραμένει πεπερασμένο. "Ωστε :

$$(\vec{H}_1 - \vec{H}_2) \cdot (\hat{n} \times \hat{t}) = \vec{J}_S \cdot \hat{t} \quad (4-22)$$

Αλλά από τή διανυσματική ταυτότητα:

$$\vec{A} \cdot \vec{B} \times \vec{C} = \vec{B} \cdot \vec{C} \times \vec{A} = \vec{C} \cdot \vec{A} \times \vec{B}$$

ή (4-22) γίνεται:

$$\hat{t} \cdot (\vec{H}_1 - \vec{H}_2) \times \hat{n} = \vec{J}_S \cdot \hat{t} \quad (4-23)$$

$$\text{ή} \quad \hat{t} \cdot [(\vec{H}_1 - \vec{H}_2) \times \hat{n} - \vec{J}_S] = 0 \quad (4-24)$$

Τό  $\hat{t}$  όμως είναι ένα αούθαίρετο έφαπτομενικό διάνυσμα τής όριακής έπιφάνειας. Γι αυτό από τήν (4-24) προκύπτει:

$$\hat{n} \times (\vec{H}_2 - \vec{H}_1) = \vec{J}_S \quad (4-25)$$

"Αν  $\vec{H}_n$  καί  $\vec{H}_t$  είναι ή κάθετη συνιστώσα καί ή έφαπτομενική συνιστώσα τοῦ  $\vec{H}$ , θά είναι :

$$\vec{H}_1 = \vec{H}_{1n} + \vec{H}_{1t} \quad (4-26)$$

$$\vec{H}_2 = \vec{H}_{2n} + \vec{H}_{2t} \quad (4-27)$$

άλλά  $\vec{H}_{1n} = (\hat{n} \cdot \vec{H}_1) \hat{n} \quad (4-28)$

$$\vec{H}_{2n} = (\hat{n} \cdot \vec{H}_2) \hat{n} \quad (4-29)$$

και  $\vec{H}_{1t} = \vec{H}_1 - \vec{H}_{1n} \quad (4-30)$

$$\vec{H}_{2t} = \vec{H}_2 - \vec{H}_{2n} \quad (4-31)$$

πολλαπλασιάζοντας από αριστερά τα μέλη της (4-25) έξωτερικά επί  $\hat{n}$  και χρησιμοποιώντας την ταυτότητα :

$$\vec{A} \times (\vec{B} \times \vec{C}) = (\vec{A} \cdot \vec{C}) \vec{B} - (\vec{A} \cdot \vec{B}) \vec{C}$$

έχουμε :

$$\hat{n} \times [\hat{n} \times (\vec{H}_2 - \vec{H}_1)] = [\hat{n} \cdot (\vec{H}_2 - \vec{H}_1)] \hat{n} - (\hat{n} \cdot \hat{n}) (\vec{H}_2 - \vec{H}_1) = \hat{n} \times \vec{J}_S$$

ή  $(\hat{n} \cdot \vec{H}_1) \hat{n} - (\hat{n} \cdot \vec{H}_2) \hat{n} + \vec{H}_2 - \vec{H}_1 = -\hat{n} \times \vec{J}_S = \vec{J}_S \times \hat{n}$

ή  $(\vec{H}_2 - \vec{H}_{2n}) - (\vec{H}_1 - \vec{H}_{1n}) = \vec{J}_S \times \hat{n}$

και τελικά :

$$\vec{H}_{2t} - \vec{H}_{1t} = \vec{J}_S \times \hat{n} \quad (4-32)$$

Η (4-32) είναι άλλη έκφραση της (4-25) . Τό διάνυσμα  $\vec{J}_S \times \hat{n}$  έχει μέτρο  $J_S$  και διεύθυνση κάθετη στα  $\hat{n}$  και  $\vec{J}_S$  . Από την (4-32) φαίνεται η ασυνέχεια της εφαπτομενικής συνιστώσας της μαγνητικής διέγερσης  $\vec{H}$  όταν υπάρχει επιφανειακή πυκνότητα ρεύματος ( $\vec{J}_S \neq 0$ ).

Μέ ανάλογη εργασία, ξεκινώντας από τη 2<sup>η</sup> εξίσωση του Maxwell καταλήγουμε στην :

$$\hat{n} \times (\vec{E}_2 - \vec{E}_1) = 0 \quad (4-33)$$

ή 
$$\vec{E}_{2t} - \vec{E}_{1t} = 0 \quad (4-34)$$

Ωστε, η εφαπτομενική συνιστώσα του πεδίου  $\vec{E}$  εμφανίζεται πάντοτε συνέχεια κατά τη μετάβαση από το μέσο (1) στο μέσο (2)

Από την 
$$\vec{H} = \mu^{-1} \vec{B}$$

η (4-25) δίνει: 
$$\hat{n} \times \left( \frac{\vec{B}_2}{\mu_2} - \frac{\vec{B}_1}{\mu_1} \right) = \vec{J}_s \quad (4-35)$$

και η (4-32) 
$$\frac{\vec{B}_{2t}}{\mu_2} - \frac{\vec{B}_{1t}}{\mu_1} = \vec{J}_s \times \hat{n} \quad (4-36)$$

Από την 
$$\vec{D} = \epsilon \vec{E}$$

η (4-33) γίνεται:

$$\hat{n} \times \left( \frac{\vec{D}_2}{\epsilon_2} - \frac{\vec{D}_1}{\epsilon_1} \right) = 0 \quad (4-37)$$

ή αλλιώς :

$$\frac{\vec{D}_{2t}}{\epsilon_2} - \frac{\vec{D}_{1t}}{\epsilon_1} = 0 \quad (4-38)$$

### 4.3. Ειδικές Περιπτώσεις.

#### 4.3.1. Όριακές συνθήκες στην επιφάνεια μεταξύ δύο καλών διηλεκτρικών.

Στις όριακές επιφάνειες μεταξύ δύο καλών διηλεκτρικών είναι  $\rho_s = 0$  και  $\vec{J}_s = 0$ . Επομένως οι βασικές σχέσεις (4-9), (4-14) (4-25) και (4-33) γίνονται :

$$\left. \begin{aligned} \hat{n} \cdot (\vec{D}_2 - \vec{D}_1) &= 0 \\ \hat{n} \cdot (\vec{B}_2 - \vec{B}_1) &= 0 \\ \hat{n} \times (\vec{H}_2 - \vec{H}_1) &= 0 \quad \text{ή} \quad \vec{H}_{2t} - \vec{H}_{1t} = 0 \\ \hat{n} \times (\vec{E}_2 - \vec{E}_1) &= 0 \quad \text{ή} \quad \vec{E}_{2t} - \vec{E}_{1t} = 0 \end{aligned} \right\} \quad (4-39)$$

Στις σχέσεις (4-39) πρέπει να προστεθούν και οι σχέσεις που θα προκύψουν από τις (4-39) και τις :

$$\vec{H} = \mu^{-1} \vec{B} \quad \text{και} \quad \vec{D} = \epsilon \vec{E}$$

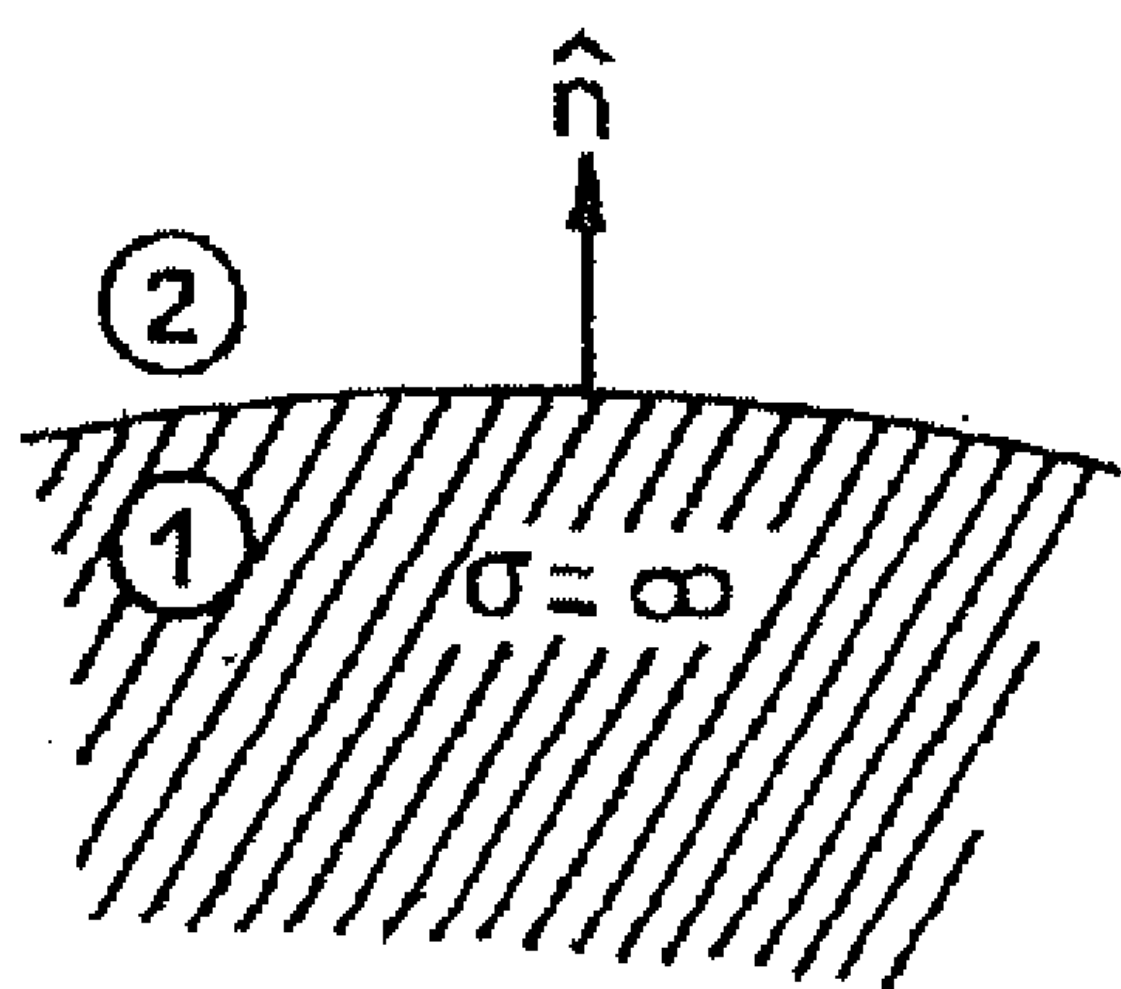
Ωστε, στην περίπτωση αυτή εμφανίζονται συνέχεια οι κάθετες συνιστώσες των  $\vec{D}$  και  $\vec{B}$  και οι εφαπτομενικές των  $\vec{H}$  και  $\vec{E}$ .

#### 4.3.2. Όριακές συνθήκες στην επιφάνεια τέλειων αγωγών.

Στην ηλεκτροστατική περίπτωση (HΣ) γενικά, σ' έναν τέλειο αγωγό ( $\sigma = \infty$ ), είναι :

$$\rho_s \neq 0, \quad \vec{J}_s = 0, \quad \vec{E}_1 = 0, \quad \vec{D}_1 = 0, \quad \vec{B}_1 \neq 0, \quad \vec{H}_1 \neq 0 \quad (4-40)$$

γιατί τό  $\vec{B}_1$  δέν σχετίζεται κατ' ανάγκη μέ τό  $\vec{E}_1$ , ὅπως στή δυναμική περίπτωση. Ἐτσι ἐνῶ τό  $\vec{E}_1$  μηδενίζεται μέσα σ' ἓναν ἄγωγο, γιατί ἀναγκάζει τά φορτία ἀγωγιμότητας νά κινηθοῦν ἔτσι ὥστε νά τό ἐξουδετερώσουν, τό  $\vec{B}_1$  δέν ἐξασκεῖ πάνω τους καμιά δύναμη, ἀφοῦ ἡ ταχύτητά τους εἶναι μηδέν, κι ἔτσι δέν ἀναγκάζει τά ἐλεύθερα στατικά φορτία νά διαγράψουν κυκλικές τροχιές, ὥστε νά τό ἐξουδετερώσουν.



Σχ.4-3 Γιά τίς ὁριακές συνθήκες στήν ἐπιφάνεια ἄγωγου.

Ὡστε, στήν ἡλεκτροστατική περίπτωση οἱ ὁριακές συνθήκες γιά ἓναν καλό ἄγωγο εἶναι :

$$\left. \begin{aligned} \vec{D}_2 \cdot \hat{n} &= \rho_s \\ \vec{B}_2 \cdot \hat{n} &= \vec{B}_1 \cdot \hat{n} \\ \hat{n} \times \vec{H}_2 &= \hat{n} \times \vec{H}_1 \\ \hat{n} \times \vec{E}_2 &= 0 \end{aligned} \right\} \quad (4-41)$$

Στήν ἡλεκτροδυναμική περίπτωση (ΗΔ) μέσα στόν τέλειο ἄγωγο εἶναι:

$$\vec{E}_1 = 0, \quad \vec{B}_1 = 0, \quad \vec{D}_1 = 0, \quad \vec{H}_1 = 0 \quad (4-42)$$

ἐνῶ στήν ἐπιφάνειά του :

$$\rho_s \neq 0, \quad \vec{J}_s \neq 0 \quad (4-43)$$

Στήν περίπτωση αὐτή οἱ ὁριακές συνθήκες γίνονται:

$$\left. \begin{aligned} \vec{D}_2 \cdot \hat{n} &= \rho_s \\ \vec{B}_2 \cdot \hat{n} &= 0 \\ \hat{n} \times \vec{H}_2 &= \vec{J}_s \\ \hat{n} \times \vec{E}_2 &= 0 \end{aligned} \right\} \quad (4-44)$$



Οι συνθήκες (4-44), που ισχύουν για τέλειους άγωγούς, εφαρμόζονται και στους πραγματικούς άγωγούς όταν η συχνότητα είναι πολύ ύψηλή, όποτε τό βάθος διεισδύσεως  $x_0 = \sqrt{\frac{2}{\mu\omega\sigma}}$  είναι πάρα πολύ μικρό (π.χ. για τό χαλκό και όταν  $f=1 \text{ GHz}$  είναι  $x_0 = 2 \cdot 10^{-3} \text{ mm}$ ).

#### 4.4. Συνοπτικός Πίνακας Όριακων Συνθηκών.

ΣΥΝΙΣΤΩΣΑ <sup>*)</sup>	ΓΕΝΙΚΗ ΠΕΡΙΠΤΩΣΗ ΟΡΙΑΚΗΣ ΕΠΙΦΑ- ΝΕΙΑΣ ΔΥΟ ΜΕΣΩΝ	ΠΕΡΙΠΤΩΣΗ ΕΠΙΦΑΝΕΙΑΣ ΤΕΛΕΙΩΝ ΔΙΗΛΕΚΤΡΙΚΩΝ	ΠΕΡΙΠΤΩΣΗ ΠΟΥ ΤΟ ΜΕΣΟ (1) ΕΙΝΑΙ ΤΕ- ΛΕΙΟΣ ΑΓΩΓΟΣ
ΚΑΘΕΤΗ	$\hat{n} \cdot (\vec{D}_2 - \vec{D}_1) = \rho_s$	$\hat{n} \cdot (\vec{D}_2 - \vec{D}_1) = 0$	$\hat{n} \cdot \vec{D}_2 = \rho_s$
	$\hat{n} \cdot (\vec{B}_2 - \vec{B}_1) = 0$	$\hat{n} \cdot (\vec{B}_2 - \vec{B}_1) = 0$	$\hat{n} \cdot (\vec{B}_2 - \vec{B}_1) = 0 \quad (\text{H}\Sigma)$ $\hat{n} \cdot \vec{B}_2 = 0 \quad (\text{H}\Delta)$
ΕΦΑΠΤΟΜΕΝΙΚΗ	$\hat{n} \times (\vec{H}_2 - \vec{H}_1) = \vec{J}_s$ ἢ $\vec{H}_{2t} - \vec{H}_{1t} = \vec{J}_s \times \hat{n}$	$\hat{n} \times (\vec{H}_2 - \vec{H}_1) = 0$ ἢ $\vec{H}_{2t} - \vec{H}_{1t} = 0$	$\hat{n} \times (\vec{H}_2 - \vec{H}_1) = 0 \quad (\text{H}\Sigma)$ $\vec{H}_{2t} - \vec{H}_{1t} = 0 \quad (\text{H}\Sigma)$ καί $\hat{n} \times \vec{H}_2 = \vec{J}_s \quad (\text{H}\Delta)$ $\vec{H}_{2t} = \vec{J}_s \times \hat{n} \quad (\text{H}\Delta)$
	$\hat{n} \times (\vec{E}_2 - \vec{E}_1) = 0$ ἢ $\vec{E}_{2t} - \vec{E}_{1t} = 0$	$\hat{n} \times (\vec{E}_2 - \vec{E}_1) = 0$ ἢ $\vec{E}_{2t} - \vec{E}_{1t} = 0$	$\hat{n} \times \vec{E}_2 = 0$ ἢ $\vec{E}_{2t} = 0$

\*) Στόν πίνακα περιλαμβάνονται οι συνθήκες, που απομνημονεύονται εύκολα. Οι υπόλοιπες προκύπτουν από αυτές αν χρησιμοποιηθοῦν οι σχέσεις  $\vec{D} = \epsilon \vec{E}$  και  $\vec{H} = \mu^{-1} \vec{B}$ .

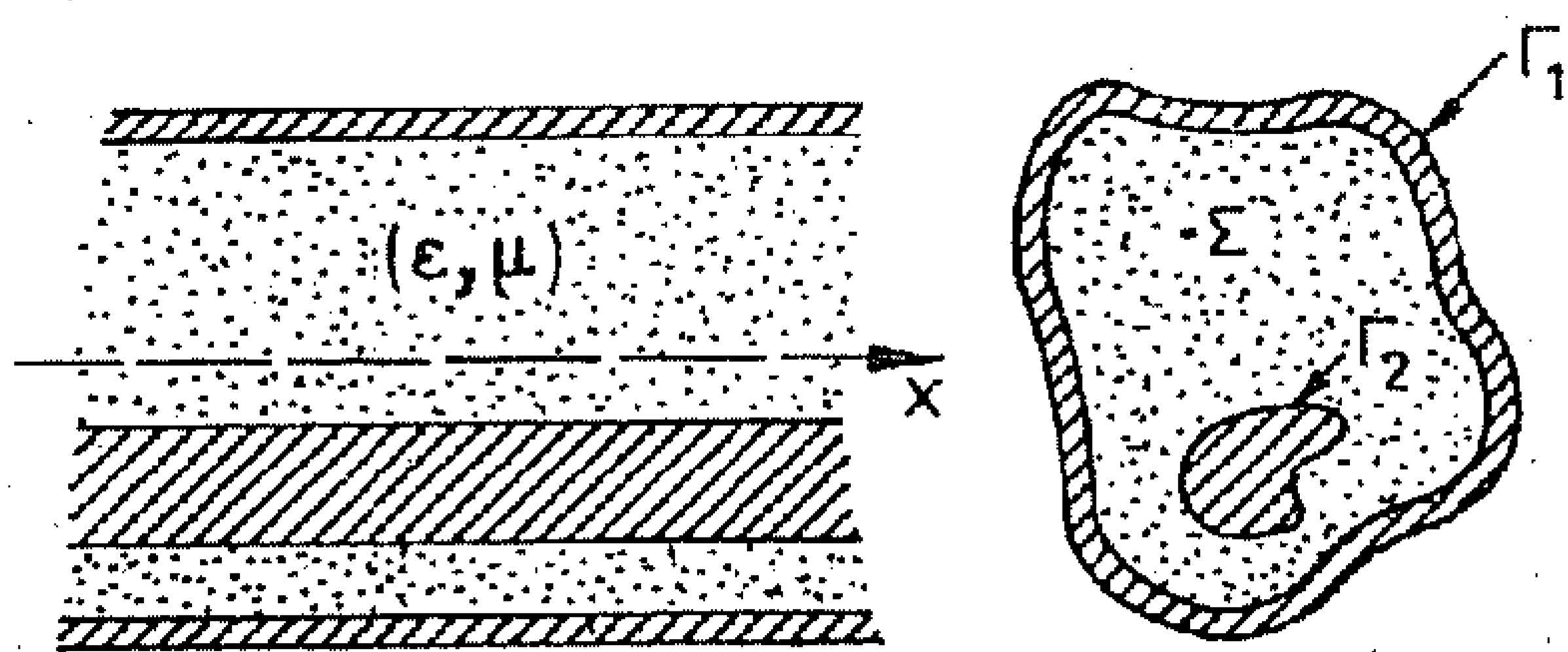


## 5. ΘΕΩΡΙΑ ΤΩΝ ΚΥΜΑΤΟΔΗΓΩΝ

### 5.1. Είσαγωγή.

Οι κυματοδηγοί είναι φυσικά συστήματα, που τά χρησιμοποιούμε στην πράξη σαν φορείς "καθοδηγημένης" διάδοσης ηλεκτρομαγνητικών κυμάτων. Έδω υποθέτουμε ότι το σύστημα είναι "εύθύγραμμο" δηλ. ότι ορίζεται από μία επιφάνεια (ή και πολλές) οποιασδήποτε μορφής, που ή μία της διαστάση, όμως, θεωρείται άπεριόριστη ("άξονας" του κυματοδηγού).

Ανάμεσα στα διάφορα τέτοια φυσικά συστήματα (γραμμές μεταφοράς, όμοαξονικές ή διπλές, κυματοδηγού μεταλλικού σωλήνα, διηλεκτρικού κυματοδηγού, κυματοδηγού πλακών) ενδιαφέρον παρουσιάζουν κυρίως οι όμοαξονικές γραμμές και οι κοίλοι κυματοδηγοί με μεταλλικά τοιχώματα.



Σχ. 5-1 Ο κυματοδηγός είναι σύστημα που καθοδηγεί τη διάδοση των ηλεκτρομαγνητικών κυμάτων. Οι επιφάνειες  $\Gamma_1, \Gamma_2$ , είναι αγωγιμες ενώ ο χώρος ανάμεσά τους είναι γεμάτος με ισότροπο και όμογενές διηλεκτρικό υλικό. Η διάδοση γίνεται κατά τον άξονα  $x$ .

Σε όλες τις περιπτώσεις το υλικό, που περιλαμβάνουν οι χαρακτηριστικές επιφάνειες  $\Gamma_1, \Gamma_2, \dots$  του κυματοδηγού, θεωρείται ισότροπο και όμογενές  $(\epsilon, \mu)$ . Κάθε φορά, ανάλογα με τη γεωμετρική μορφή των επιφανειών  $\Gamma$ , μεταχειρισόμαστε και το κατάλληλο σύστη-

μα συντεταγμένων για τη μελέτη του κυματοδηγού.

Στό εξής θα φανταζόμαστε μονοχρωματικά αρμονικά κύματα ( $\omega$ ).

Συνήθως αναλύουμε τα πεδία  $\vec{E}$  και  $\vec{H}$ , σε κάθε σημείο  $\Sigma$  μέσα στον κυματοδηγό, σε μία συνιστώσα κατά τη διεύθυνση του άξονα  $x$  και σε μία συνιστώσα κάθετη πάνω στην προηγούμενη (μέ δεικνη  $T$  από τη λέξη transverse-έγκάρσιος) δηλαδή:

$$\vec{E} = \vec{E}_x + \vec{E}_T, \quad \vec{H} = \vec{H}_x + \vec{H}_T \quad (5-1)$$

Με βάση την ανάλυση αυτή μπορούμε από πριν να ταξινομήσουμε τις διάφορες δυνατές λύσεις του συστήματος των εξισώσεων του Maxwell μέσα στον κυματοδηγό σε τρεις κύριες κατηγορίες (πού τις λέμε "κυματικούς τύπους" ή "ρυθμούς διάδοσης" -transmission modes):

Κυματικός τύπος TM (transverse magnetic) ή τύπος (E). Στόν τύπο αυτό υπάρχει μόνο η έγκάρσια μαγνητική συνιστώσα  $\vec{H}_T$ , δηλαδή :

$$\vec{H}_x = 0 \quad \text{καί} \quad \vec{E}_x \neq 0 \quad (5-2)$$

Κυματικός τύπος TE (transverse electric) ή τύπος (H) όταν :

$$\vec{E}_x = 0 \quad \text{καί} \quad \vec{H}_x \neq 0 \quad (5-3)$$

Κυματικός τύπος TEM (transverse electromagnetic) όταν :

$$\vec{E}_x = 0 \quad \text{καί} \quad \vec{H}_x = 0 \quad (5-4)$$

Μπορεί να αποδειχτεί ότι οι τρεις παραπάνω κυματικοί τύποι παρουσιάζονται σε κυματοδηγούς με πολλαπλές επιφάνειες  $\Gamma$ , ενώ σε κοίλους κυματοδηγούς εμφανίζονται μόνο οι δύο πρώτοι τύποι (E) και (H).

Όταν τά τοιχώματα των κυματοδηγών δεν είναι αρκετά καλού άγωγού, τότε εκτός από τους τύπους TM, TE και TEM μπορούν να έμ-

φανιστοῦν καὶ σύμπλοκοι "ὕβριδικοὶ κυματικοὶ τύποι" (E-H) .

Χάρη στή γραμμικότητα τῶν ἐξισώσεων τοῦ Maxwell τὰ κύματα , πού διαδίδονται μέσα στὸν κυματοδηγὸ μποροῦν νὰ εἶναι ὅποιοσδήποτε γραμμικὸς συνδυασμὸς κυματικῶν τύπων TEM, E καὶ H. Στὴν πράξη, ὅμως, ἐπιδιώκουμε νὰ εὐνοήσουμε τὴν κυματοδηγήση ἑνὸς μόνο κυματικοῦ τύπου (ὥστε νὰ ἐλέγχουμε τὴν "προσαρμογὴ" στὶς τροφοδοτήσεις συστημάτων ἀκτινοβολίας καὶ λήψης καὶ τὸ γενικότερο χειρισμὸ τοῦ κύματος). Τὰ παραπάνω τὰ πετυχαίνουμε δι-εγείροντας κατάλληλα τὸν κυματοδηγὸ καὶ διαλέγοντας κατάλληλα τίς διαστάσεις καὶ τὴ μορφή του.

Μιὰ ἄλλη συνέπεια τῆς γραμμικότητας τῶν ἐξισώσεων τοῦ Maxwell εἶναι, ὅπως διαπιστώσαμε στὰ προηγούμενα, ὅτι ἡ διάδοση κατὰ τὸν ἄξονα  $+x$  μπορεῖ νὰ περιγραφεῖ, γιὰ ἕναν ὁρισμένο κυματικό τύπο, μὲ ἕναν ἐκθετικὸ "χωρικό" παράγοντα

$$e^{-\gamma x}$$

κοινὸ γιὰ ὅλες τίς συνιστώσες τῶν πεδίων. Ἡ σταθερὰ  $\gamma$  εἶναι ἡ σταθερὰ τῆς διάδοσης καὶ ἔχει τὴ μορφή

$$\gamma = \alpha + j\beta \quad (5-5)$$

ὅπου  $\alpha$  ἡ σταθερὰ τῆς ἐξασθένησης καὶ  $\beta$  ἡ σταθερὰ τῆς φάσης.

Τὰ φασικά διανύσματα (phasors), λοιπόν, τῶν πεδίων γράφονται :

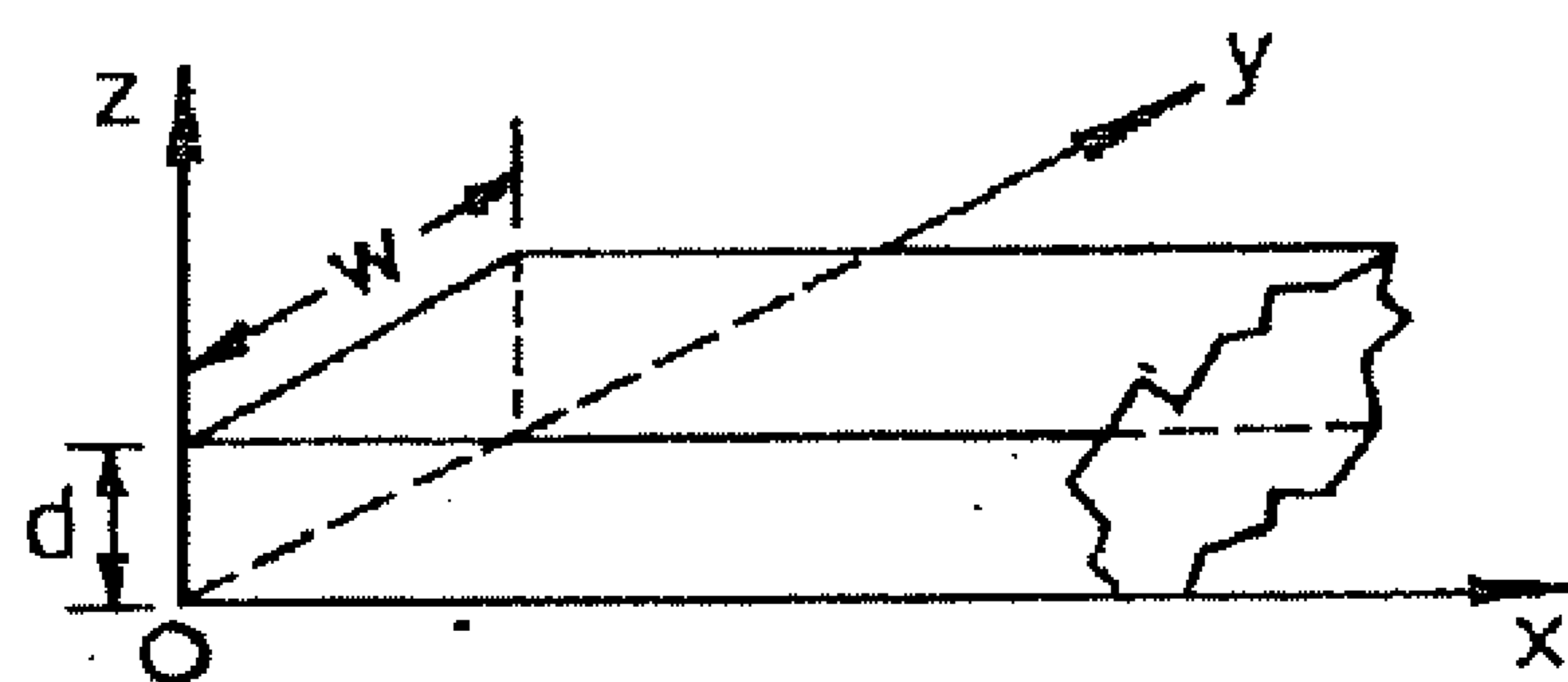
$$\left. \begin{aligned} \vec{E}(\vec{r}) &= \vec{E}(x, u, v) = \vec{E}(u, v) e^{-\gamma x} \\ \vec{H}(\vec{r}) &= \vec{H}(x, u, v) = \vec{H}(u, v) e^{-\gamma x} \end{aligned} \right\} \quad (5-6)$$

ὅπου  $u$  καὶ  $v$  εἶναι οἱ ἐγκάρσιες συντεταγμένες τοῦ σημείου  $\Sigma(\vec{r})$ . Ἔτσι ὁδηγούμεστε στὴ λύση ἑνὸς "ἐπίπεδου προβλήματος" (δύο διαστάσεων) .

## 5.2. Μελέτη Όρθογώνιου Κυματοδηγού.

"Εστω ένας όρθογώνιος κοίλος κυματοδηγός, που περιορίζεται από μία τέλεια μεταλλική επιφάνεια και είναι γεμάτος με όμογε - νές ισότροπο διηλεκτρικό υλικό χωρίς απώλειες ( $\epsilon, \mu$  πραγματι - κές σταθερές και  $\sigma = 0$ )

Οι εξισώσεις του Maxwell για το έσωτερικό του κυματοδη - γού γράφονται :



Σχ. 5-2 Γεωμετρία όρθογώνιου κυματοδηγού

$$\left. \begin{aligned} \vec{\nabla} \times \vec{H} &= \epsilon \frac{\partial \vec{E}}{\partial t} \\ \vec{\nabla} \times \vec{E} &= -\mu \frac{\partial \vec{H}}{\partial t} \\ \vec{\nabla} \cdot \vec{E} &= 0 \\ \vec{\nabla} \cdot \vec{H} &= 0 \end{aligned} \right\} \quad (5-7)$$

"Αν περιοριστούμε στο άρμονικό κύμα

$$\vec{E}(\vec{r}, t) = \vec{E}(\vec{r}) \cdot e^{j\omega t} = \vec{E}(y, z) e^{j\omega t - \gamma x} \quad (5-8)$$

τότε οι (5-7) γίνονται :

$$\left. \begin{aligned} \frac{\partial H_z}{\partial y} - \frac{\partial H_y}{\partial z} &= j\omega \epsilon E_x \\ \frac{\partial H_x}{\partial z} + \gamma H_z &= j\omega \epsilon E_y \\ -\gamma H_y - \frac{\partial H_x}{\partial y} &= j\omega \epsilon E_z \end{aligned} \right\} \quad (5-9)$$

$$\left. \begin{aligned} \frac{\partial E_z}{\partial y} - \frac{\partial E_y}{\partial z} &= -j\omega \mu H_x \\ \frac{\partial E_x}{\partial z} + \gamma E_z &= -j\omega \mu H_y \\ -\gamma E_y - \frac{\partial E_x}{\partial y} &= -j\omega \mu H_z \end{aligned} \right\} \quad (5-10)$$

$$-\gamma E_x + \frac{\partial E_y}{\partial y} + \frac{\partial E_z}{\partial z} = 0 \quad (5-11)$$

$$-\gamma H_x + \frac{\partial H_y}{\partial y} + \frac{\partial H_z}{\partial z} = 0 \quad (5-12)$$

Στις εξισώσεις (5-9) έως (5-12) θεωρούμε γνωστές τις συνιστώσες  $E_x$  και  $H_x$  και τις παραγώγους τους και τις μεταφέρουμε στα δεύτερα μέλη. Έτσι έχουμε :

$$\frac{\partial H_z}{\partial y} - \frac{\partial H_y}{\partial z} = j\omega\epsilon E_x \quad (5-13)$$

$$\gamma H_z - j\omega\epsilon E_y = -\frac{\partial H_x}{\partial z} \quad (5-14)$$

$$-\gamma E_y - j\omega\epsilon E_z = \frac{\partial H_x}{\partial y} \quad (5-15)$$

$$\frac{\partial E_z}{\partial y} - \frac{\partial E_y}{\partial z} = -j\omega\mu H_x \quad (5-16)$$

$$\gamma E_z + j\omega\mu H_y = -\frac{\partial E_x}{\partial z} \quad (5-17)$$

$$-\gamma E_y + j\omega\mu H_z = \frac{\partial E_x}{\partial y} \quad (5-18)$$

$$\frac{\partial E_y}{\partial y} + \frac{\partial E_z}{\partial z} = \gamma E_x \quad (5-19)$$

$$\frac{\partial H_y}{\partial y} + \frac{\partial H_z}{\partial z} = \gamma H_x \quad (5-20)$$

Από τις παραπάνω εξισώσεις ξεχωρίζουμε το σύστημα των (5-14) και (5-18) :



$$\left. \begin{aligned} \gamma H_z - j\omega \epsilon E_y &= -\frac{\partial H_x}{\partial z} \\ j\omega \mu H_z - \gamma E_y &= \frac{\partial E_x}{\partial y} \end{aligned} \right\} \quad (5-21)$$

καί τό σύστημα τῶν (5-15) καί (5-17) :

$$\left. \begin{aligned} -\gamma H_y - j\omega \epsilon E_z &= \frac{\partial H_x}{\partial y} \\ j\omega \mu H_y + \gamma E_z &= -\frac{\partial E_x}{\partial z} \end{aligned} \right\} \quad (5-22)$$

Ἡ ὁρίζουσα τῶν συντελεστῶν καί τῶν δύο αὐτῶν συστημάτων εἶναι :

$$\begin{vmatrix} \pm \gamma & -j\omega \epsilon \\ j\omega \mu & \mp \gamma \end{vmatrix} = -\gamma^2 - \omega^2 \epsilon \mu = -k_c^2 \quad (5-23)$$

ὅπου

$$k_c^2 \equiv \gamma^2 + \omega^2 \epsilon \mu = \gamma^2 + \left(\frac{\omega}{v}\right)^2 = \gamma^2 + \left(\frac{2\pi}{\lambda}\right)^2 \neq 0 \quad (5-24)$$

καί  $\frac{\omega}{v}$  ὁ κυματαριθμός τοῦ ἀρμονικοῦ κύματος ὅταν αὐτό διαδίδεται ἐλεύθερα μέσα στό ὕλικο.

Ἡ λύση τοῦ (5-21) εἶναι :

$$H_z = -\frac{1}{k_c^2} \begin{vmatrix} -\frac{\partial H_x}{\partial z} & -j\omega \epsilon \\ \frac{\partial E_x}{\partial y} & -\gamma \end{vmatrix} = -\frac{1}{k_c^2} \left( \gamma \frac{\partial H_x}{\partial z} + j\omega \epsilon \frac{\partial E_x}{\partial y} \right) \quad (5-25)$$

$$\mathcal{E}_y = -\frac{1}{k_c^2} \begin{vmatrix} \gamma & -\frac{\partial \mathcal{H}_x}{\partial z} \\ j\omega\mu & \frac{\partial \mathcal{E}_x}{\partial y} \end{vmatrix} = -\frac{1}{k_c^2} \left( \gamma \frac{\partial \mathcal{E}_x}{\partial y} + j\omega\mu \frac{\partial \mathcal{H}_x}{\partial z} \right) \quad (5-26)$$

Ἡ λύση τοῦ (5-22) εἶναι:

$$\mathcal{H}_y = -\frac{1}{k_c^2} \begin{vmatrix} \frac{\partial \mathcal{H}_x}{\partial y} & -j\omega\epsilon \\ -\frac{\partial \mathcal{E}_x}{\partial z} & \gamma \end{vmatrix} = -\frac{1}{k_c^2} \left( \gamma \frac{\partial \mathcal{H}_x}{\partial y} - j\omega\epsilon \frac{\partial \mathcal{E}_x}{\partial z} \right) \quad (5-27)$$

$$\mathcal{E}_z = -\frac{1}{k_c^2} \begin{vmatrix} -\gamma & \frac{\partial \mathcal{H}_x}{\partial y} \\ j\omega\mu & -\frac{\partial \mathcal{E}_x}{\partial z} \end{vmatrix} = -\frac{1}{k_c^2} \left( \gamma \frac{\partial \mathcal{E}_x}{\partial z} - j\omega\mu \frac{\partial \mathcal{H}_x}{\partial y} \right) \quad (5-28)$$

Οἱ σχέσεις (5-25) ἕως (5-28) δύνουν τίς συνιστώσες  $\mathcal{E}_y$ ,  $\mathcal{E}_z$ ,  $\mathcal{H}_y$ ,  $\mathcal{H}_z$  σάν συναρτήσεις τῶν παραγώγων τῶν  $\mathcal{E}_x$  καὶ  $\mathcal{H}_x$ . Ἄν τίς ἐκφράσεις αὐτές τίς πολλαπλασιάσουμε ἐπὶ τὸν παράγοντα  $e^{j\omega t - \gamma x}$  καὶ πάρουμε τὸ πραγματικὸ μέρος θά ἔχουμε τίς ἀντίστοιχες συνιστώσες τῶν πραγματικῶν πεδίων  $\vec{E}$  καὶ  $\vec{H}$ .

Τίς παραπάνω σχέσεις τίς συνοψίζουμε :

$$\mathcal{E}_y = -\frac{1}{k_c^2} \left[ \gamma \frac{\partial \mathcal{E}_x}{\partial y} + j\omega\mu \frac{\partial \mathcal{H}_x}{\partial z} \right]$$

$$\mathcal{E}_z = -\frac{1}{k_c^2} \left[ \gamma \frac{\partial \mathcal{E}_x}{\partial z} - j\omega\mu \frac{\partial \mathcal{H}_x}{\partial y} \right]$$

$$\mathcal{H}_y = -\frac{1}{k_c^2} \left[ -j\omega\epsilon \frac{\partial \mathcal{E}_x}{\partial z} + \gamma \frac{\partial \mathcal{H}_x}{\partial y} \right]$$

$$\mathcal{H}_z = -\frac{1}{k_c^2} \left[ j\omega\epsilon \frac{\partial \mathcal{E}_x}{\partial y} + \gamma \frac{\partial \mathcal{H}_x}{\partial z} \right]$$

(5-29)

### 5.2.1 Έγκάρσιος ηλεκτρικός κυματικός τύπος (TE)

Στόν τύπο αυτόν είναι :

$$E_x = 0 \quad (5-30)$$

καί οι (5-29) παίρνουν τή μορφή :

$$\left. \begin{aligned} E_y &= -\frac{j\omega\mu}{k_c^2} \frac{\partial H_x}{\partial z} \\ E_z &= \frac{j\omega\mu}{k_c^2} \frac{\partial H_x}{\partial y} \\ H_y &= -\frac{\gamma}{k_c^2} \frac{\partial H_x}{\partial y} \\ H_z &= -\frac{\gamma}{k_c^2} \frac{\partial H_x}{\partial z} \end{aligned} \right\} \quad (5-31)$$

Οι (5-31) δύνουν όλες τις συνιστώσες του ηλεκτρομαγνητικού πεδίου σε συνάρτηση με μιά μόνο, τήν  $H_x$ , που είναι ή μόνη άγνωστη. Η μορφή, επομένως της  $H_x$  θα καθορίσει τήν ακριβή μορφή του ηλεκτρομαγνητικού κύματος.

Χρησιμοποιώντας τις δύο τελευταίες σχέσεις των (5-31) καί τήν (5-20) έχουμε :

$$\frac{\partial^2 H_x}{\partial y^2} + \frac{\partial^2 H_x}{\partial z^2} = -k_c^2 H_x$$

$$\nabla_T^2 H_x + k_c^2 H_x = 0 \quad (5-32)$$

Αν λύσουμε τήν (5-32) καί προσδιορίσουμε τήν  $H_x$  τότε από τις (5-31) θα προσδιορίσουμε καί τις άλλες συνιστώσες καί θα έχουμε

λύσει τό πρόβλημα τοῦ κυματικοῦ τύπου TE στόν ὀρθογώνιο κυματο-  
δηγό.

Ἡ (5-32) μάς ἐπιτρέπει νά θεωρήσουμε ὅτι :

$$H_x = H'_0 U(y, z) \quad (5-33)$$

ὅπου ἡ συνάρτηση  $U$  ὑπακούει στή διαφορική ἐξίσωση κύματος:

$$\nabla_T^2 U + k_c^2 U = 0 \quad (5-34)$$

Γιά νά λύσουμε τήν (5-34) θεωροῦμε ὅτι ἡ λύση εἶναι συνάρτηση μέ  
χωριζόμενες μεταβλητές, δηλαδή :

$$U(y, z) = f_1(y) f_2(z) \quad (5-35)$$

ὅποτε ἀντικαθιστώντας στήν (5-34) ἔχουμε :

$$\frac{1}{f_1} \frac{d^2 f_1}{dy^2} + \frac{1}{f_2} \frac{d^2 f_2}{dz^2} = -k_c^2$$

Γιά νά ἀληθεύει ὅμως αὕτη μέ τυχαῖα  $y$  καί  $z$  πρέπει κάθε προσθε-  
τέος τοῦ πρώτου μέλους της νά εἶναι σταθερός, δηλαδή :

$$\left. \begin{aligned} \frac{1}{f_1} \frac{d^2 f_1}{dy^2} &= -k_y^2 \\ \frac{1}{f_2} \frac{d^2 f_2}{dz^2} &= -k_z^2 \end{aligned} \right\} \quad (5-36)$$

καί

$$k_y^2 + k_z^2 = k_c^2$$

καί

$$\frac{d^2 f_1}{dy^2} + k_y^2 f_1 = 0$$

$$\frac{d^2 f_2}{dz^2} + k_z^2 f_2 = 0$$

(5-37)

Οι (5-37) έχουν τρεις λύσεις :

$$f_1(y) = C_1 \cos k_y y + C_2 \sin k_y y \quad (5-38)$$

$$f_2(z) = C_3 \cos k_z z + C_4 \sin k_z z$$

όπου  $C_1, C_2, C_3, C_4$  σταθερές της ολοκλήρωσης.

Όστε :

$$U = (C_1 \cos k_y y + C_2 \sin k_y y) (C_3 \cos k_z z + C_4 \sin k_z z) \quad (5-39)$$

και  $\mathcal{H}_x = \mathcal{H}_0' (C_1 \cos k_y y + C_2 \sin k_y y) (C_3 \cos k_z z + C_4 \sin k_z z) \quad (5-40)$

και

$$\mathcal{H}_x(\vec{r}, t) = \mathcal{H}_0' (C_1 \cos k_y y + C_2 \sin k_y y) (C_3 \cos k_z z + C_4 \sin k_z z) e^{j\omega t - \gamma x} \quad (5-41)$$

όπου (βλ. σχέση (5-24)) :

$$\gamma^2 = k_c^2 - \left(\frac{2\pi}{\lambda}\right)^2 \quad (5-42)$$

Πρὶν ἀκόμα προσδιορίσουμε τὶς σταθερές  $C_1, C_2, C_3, C_4$  μπο-  
ροῦμε νὰ κάνουμε τὴν ἀκόλουθη διερεύνηση τῆς (5-41) :

I. "Αν  $\lambda = \frac{2\pi}{k_c}$

Τότε  $\gamma = 0$  καὶ τότε δὲν ὑπάρχει καμιά δυνατότητα διά-  
δοσης ("συνθήκη ἀποκοπῆς"). Τό ἀντίστοιχο μῆκος κύματος λέγε-  
ται ὀριζό μῆκος κύματος :

$$\lambda_{op} = \frac{2\pi}{k_c}$$

II. "Αν  $\lambda > \frac{2\pi}{k_c}$  (δηλ.  $\lambda > \lambda_{op}$ )

Τότε τὸ  $\gamma$  εἶναι πραγματικό καὶ ὁ παράγοντας  $e^{-\gamma x}$  εἶναι

άπλά ένας παράγοντας εξασθένισης όσο αυξάνεται τό  $x$ , καί ή (5-41) εκφράζει μιá αρμονική ταλάντωση ( $e^{j\omega t}$ ), πού όσο μεγαλώνει τό  $x$ , τό πλάτος της μικραίνει ενώ ή φάση της μένει άμετάβλητη. Ή διάδοση δέν είναι δυνατή παρά σέ πολύ μικρές μόνο άποστάσεις.

III. "Αν  $\lambda < \frac{2\pi}{k_c}$  (δηλ.  $\lambda < \lambda_{op}$ )

Τότε τό  $\gamma$  είναι φανταστικό,  $\gamma = j\beta$ , καί ο παράγοντας  $e^{-\gamma x} = e^{-j\beta x}$  δέν προκαλεί εξασθένιση αλλά μόνο άλλαγή φάσης, πού μέ τόν παράγοντα  $e^{j\omega t}$  δύνουν τόν παράγοντα  $e^{j(\omega t - \beta x)}$  τοῦ διαδόμενου κύματος κατά τόν άξονα  $+x$ .

Στά παρακάτω θά εργαστοῦμε γιά τήν περίπτωση (III) όταν δηλαδή  $\lambda < \lambda_{op}$  όποτε

$$\gamma = j\beta = j \frac{2\pi}{\lambda_k} \quad (5-43)$$

όπου  $\lambda_k$  τό μήκος τοῦ κύματος πού διαδίδεται μέσα στόν κυματοδηγό. Από τήν (5-42) έχουμε :

$$\beta^2 = \left( \frac{2\pi}{\lambda} \right)^2 - k_c^2 \quad (5-44)$$

$$\eta \quad \left( \frac{2\pi}{\lambda_k} \right)^2 = \left( \frac{2\pi}{\lambda} \right)^2 - k_c^2$$

$$\eta \quad \frac{1}{\lambda_k^2} = \frac{1}{\lambda^2} - \frac{1}{\lambda_{op}^2} \quad (5-45)$$

Ωστε τό μήκος κύματος  $\lambda_k$  μέσα στόν κυματοδηγό είναι μεγαλύτερο από τό μήκος κύματος στό άπεριόριστο διηλεκτρικό μέσο .

### Προσδιορισμός των σταθερών $C_1, C_2, C_3, C_4$ της (5-40)

Δεδομένου ότι τα τοιχώματα του κυματοδηγού είναι έντελως αγωγίμα, πρέπει η εφαπτομενική συνιστώσα του ηλεκτρικού πεδίου να είναι ίση με μηδέν. Θα πρέπει δηλαδή (βλ. σχ.5-2) για  $y = 0$  και  $y = w$  να είναι  $E_z = 0$  και για  $z = 0$  και  $z = d$  να είναι  $E_y = 0$ .

Από τις (5-31) για  $y = 0$  ή  $y = w$ , έχουμε :

$$\left. \frac{\partial H_x}{\partial y} \right|_{y=0}^{y=w} = 0 \quad (5-46)$$

και για  $z = 0$ , ή  $z = d$  έχουμε :

$$\left. \frac{\partial H_x}{\partial z} \right|_{z=0}^{z=d} = 0 \quad (5-47)$$

Από την (5-40) έχουμε :

$$\frac{\partial H_x}{\partial y} = H'_0 (-k_y C_1 \sin k_y y + k_y C_2 \cos k_y y) (C_3 \cos k_z z + C_4 \sin k_z z) \quad (5-48)$$

και

$$\frac{\partial H_x}{\partial z} = H'_0 (C_1 \cos k_y y + C_2 \sin k_y y) (-k_z C_3 \sin k_z z + k_z C_4 \cos k_z z) \quad (5-49)$$

Εφαρμόζοντας την (5-46) στην (5-48) έχουμε :

$$\begin{aligned} C_1 \sin k_y w &= 0 \\ C_2 &= 0 \end{aligned} \quad (5-50)$$

και την (5-47) στην (5-49) έχουμε :

$$\begin{aligned} C_3 \sin k_z d &= 0 \\ C_4 &= 0 \end{aligned} \quad (5-51)$$

Συνοψίζοντας, για να έχουμε κύμα μέσα στον κυματοδηγό, σύμφωνα με τις (5-50) και (5-51), πρέπει :



$$C_1, C_3 \neq 0$$

$$C_2, C_4 = 0$$

$$\sin k_y w = 0$$

$$\eta \quad k_y w = 0, \pi, 2\pi, \dots, m\pi$$

$$\sin k_z d = 0$$

$$\eta \quad k_z d = 0, \pi, 2\pi, \dots, n\pi$$

$$\left. \begin{array}{l} C_1, C_3 \neq 0 \\ C_2, C_4 = 0 \\ \sin k_y w = 0 \\ \sin k_z d = 0 \end{array} \right\} (5-52)$$

όπου  $m$  και  $n$  ακέραιοι θετικοί ή μηδέν.

Όποτε οι (5-40), (5-48), (5-49) γίνονται :

$$\mathcal{H}_x = \mathcal{H}_0 \cos k_y y \cos k_z z \quad (5-53)$$

$$\frac{\partial \mathcal{H}_x}{\partial y} = -\mathcal{H}_0 k_y \sin k_y y \cos k_z z \quad (5-54)$$

$$\frac{\partial \mathcal{H}_x}{\partial z} = -\mathcal{H}_0 k_z \cos k_y y \sin k_z z \quad (5-55)$$

όπου

$$\mathcal{H}_0 = \mathcal{H}'_0 C_1 C_3 \quad (5-56)$$

Χρησιμοποιώντας στις (5-31) τις (5-8), (5-43), (5-54) και (5-55) έχουμε τελικά :

$$\mathcal{H}_x = \mathcal{H}_0 \cos k_y y \cos k_z z e^{j(\omega t - \beta x)}$$

$$\mathcal{H}_y = \frac{j\beta k_y}{k_c^2} \mathcal{H}_0 \sin k_y y \cos k_z z e^{j(\omega t - \beta x)}$$

$$\mathcal{H}_z = \frac{j\beta k_z}{k_c^2} \mathcal{H}_0 \cos k_y y \sin k_z z e^{j(\omega t - \beta x)}$$

$$\mathcal{E}_x = 0$$

$$\left. \begin{array}{l} \mathcal{H}_x = \mathcal{H}_0 \cos k_y y \cos k_z z e^{j(\omega t - \beta x)} \\ \mathcal{H}_y = \frac{j\beta k_y}{k_c^2} \mathcal{H}_0 \sin k_y y \cos k_z z e^{j(\omega t - \beta x)} \\ \mathcal{H}_z = \frac{j\beta k_z}{k_c^2} \mathcal{H}_0 \cos k_y y \sin k_z z e^{j(\omega t - \beta x)} \end{array} \right\} (5-57)$$

$$E_y = \frac{j\omega\mu k_z}{k_c^2} H_0 \cos k_y y \sin k_z z e^{j(\omega t - \beta x)} \quad (5-57)$$

$$E_z = \frac{-j\omega\mu k_y}{k_c^2} H_0 \sin k_y y \cos k_z z e^{j(\omega t - \beta x)}$$

$$\text{όπου } k_y = \frac{m\pi}{w}, \quad k_z = \frac{n\pi}{d}, \quad (5-58)$$

$$m = 0, 1, 2, \dots \text{ και } n = 0, 1, 2, \dots$$

$$\text{άλλα } (m, n) \neq (0, 0) \quad (5-59)$$

$$\text{και } k_c^2 = k_y^2 + k_z^2 = \pi^2 \left( \frac{m^2}{w^2} + \frac{n^2}{d^2} \right) \quad (5-60)$$

Από την τελευταία και έπειδή

$$k_c = \frac{2\pi}{\lambda_{op}} \quad (5-61)$$

έχουμε :

$$\boxed{\frac{1}{\lambda_{op}} = \frac{1}{2} \sqrt{\frac{m^2}{w^2} + \frac{n^2}{d^2}}} \quad (5-62)$$

όπου  $\lambda_{op}$  τό όρικό μήκος κύματος, πού καθορίζεται από τό ζευγάρι των άκεραίων  $(m, n)$ . Από τις (5-44), (5-60), (5-62) έχουμε :

$$\beta^2 = \left( \frac{2\pi}{\lambda_k} \right)^2 = \left( \frac{2\pi}{\lambda} \right)^2 - \pi^2 \left( \frac{m^2}{w^2} + \frac{n^2}{d^2} \right) = 4\pi^2 \left( \frac{1}{\lambda^2} - \frac{1}{\lambda_{op}^2} \right) \quad (5-63)$$

Όστε, φάχνοντας για λύσεις στόν κυματικό τύπο TE καταλήξαμε στις (5-57), πού περιγράφουν την πεδιακή κατανομή μέσα στόν κυματοδηγό. Για κάθε ζευγάρι  $(m, n)$  έχουμε και μία συγκεκριμένη πεδιακή κατανομή, πού χαρακτηρίζεται ως  $TE_{mn}$  και έχει τό όρικό μήκος κύματος της (5-62) (συνάρτηση των εγκάρσιων διαστάσεων του κυ-

κυματοδηγοῦ ( $d, w$ ), καὶ σταθερά φάσης, αὐτὴν ποὺ δύνει ἡ ( 5-63 ) .

**Π α ρ ᾱ δ ε ι γ μ α ὁ τύπος  $TE_{10}$ .** Στόν τύπο αὐτό ἔχουμε  $m=1$  ,

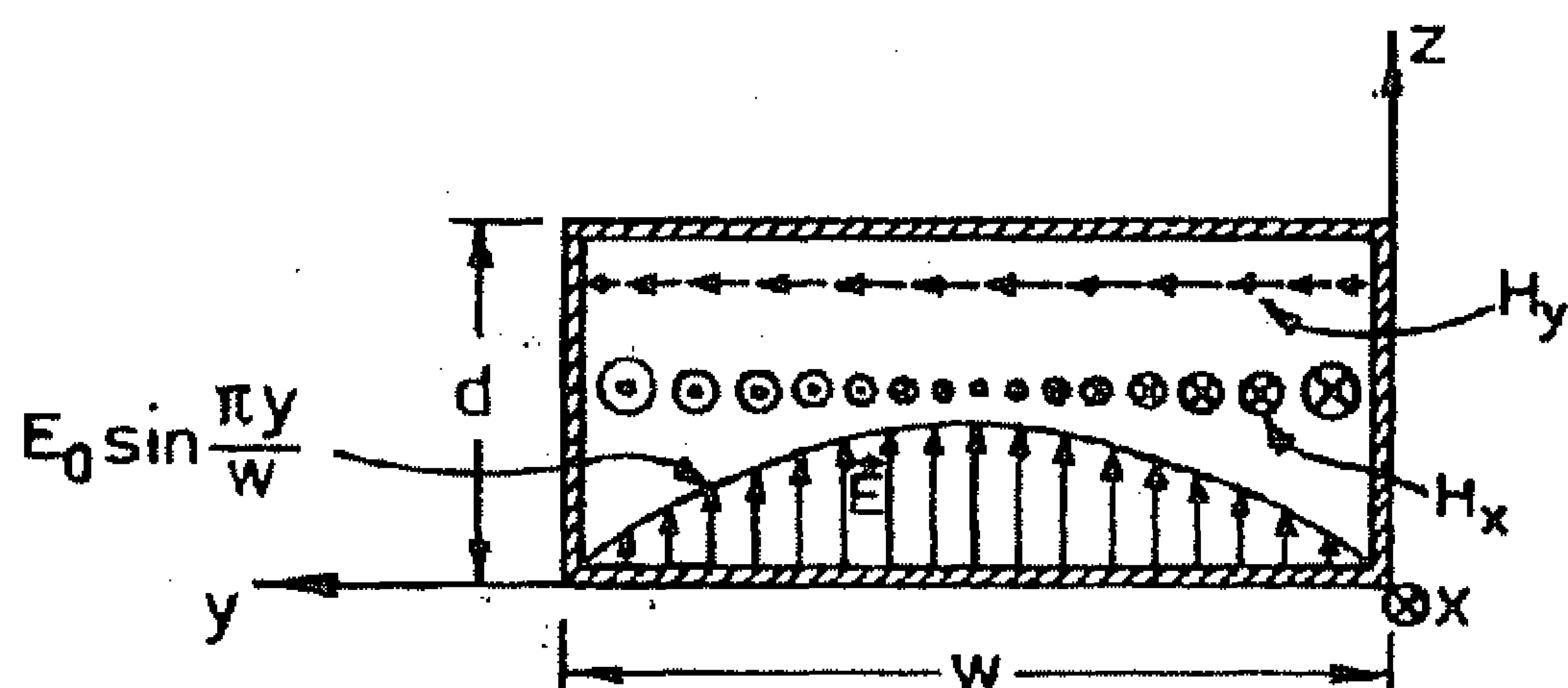
$n=0$  καὶ ἐπομένως ὁριζό μῆκος κύματος:

$$\frac{1}{\lambda_{10,op}} = \frac{1}{2} \sqrt{\frac{1}{w^2}} = \frac{1}{2w} \quad (5-64)$$

καὶ 
$$k_y = \frac{\pi}{w} , \quad k_z = 0 , \quad \beta_{10}^2 = \left(\frac{2\pi}{\lambda}\right)^2 - \frac{\pi^2}{w^2} \quad (5-65)$$

Ἡ ἀντίστοιχη πεδιακὴ κατανομὴ εἶναι:

$$\begin{aligned} \mathcal{H}_x &= \mathcal{H}_0 \cos \frac{\pi y}{w} e^{j(\omega t - \beta_{10} x)} \\ \mathcal{H}_y &= \frac{j\beta_{10} w}{\pi} \mathcal{H}_0 \sin \frac{\pi y}{w} e^{j(\omega t - \beta_{10} x)} \\ \mathcal{H}_z &= 0 \\ \mathcal{E}_x &= 0 \\ \mathcal{E}_y &= 0 \\ \mathcal{E}_z &= \frac{-j\omega \mu w}{\pi} \mathcal{H}_0 \sin \frac{\pi y}{w} e^{j(\omega t - \beta_{10} x)} \end{aligned} \quad (5-66)$$



Σχ. 5-3 Μία πρώτη παραστατική περιγραφή τῆς πεδιακῆς κατανομῆς τοῦ τύπου  $TE_{10}$  (βλ. καὶ σχ. 5-4)

Στό σχῆμα 5-3 δύνεται μιά παραστατικὴ περιγραφή τῆς πεδιακῆς κατανομῆς σέ μιά ἐγκάρσια διατομὴ τοῦ κυματοδηγοῦ, ἀνεξάρτητα γιὰ τὴ κάθε συνιστώσα.

Μέ τη βοήθεια της κυματικής αντίστασης του κυματοδηγού για τον τύπο TE, που ορίζεται από την:

$$Z_{TE} = \frac{Z}{\sqrt{1 - \left(\frac{f_{op}}{f}\right)^2}} = \frac{Z}{\sqrt{1 - \left(\frac{\lambda}{\lambda_{op}}\right)^2}} \quad (5-67)$$

όπου  $Z = \sqrt{\frac{\mu}{\epsilon}}$  (5-68)

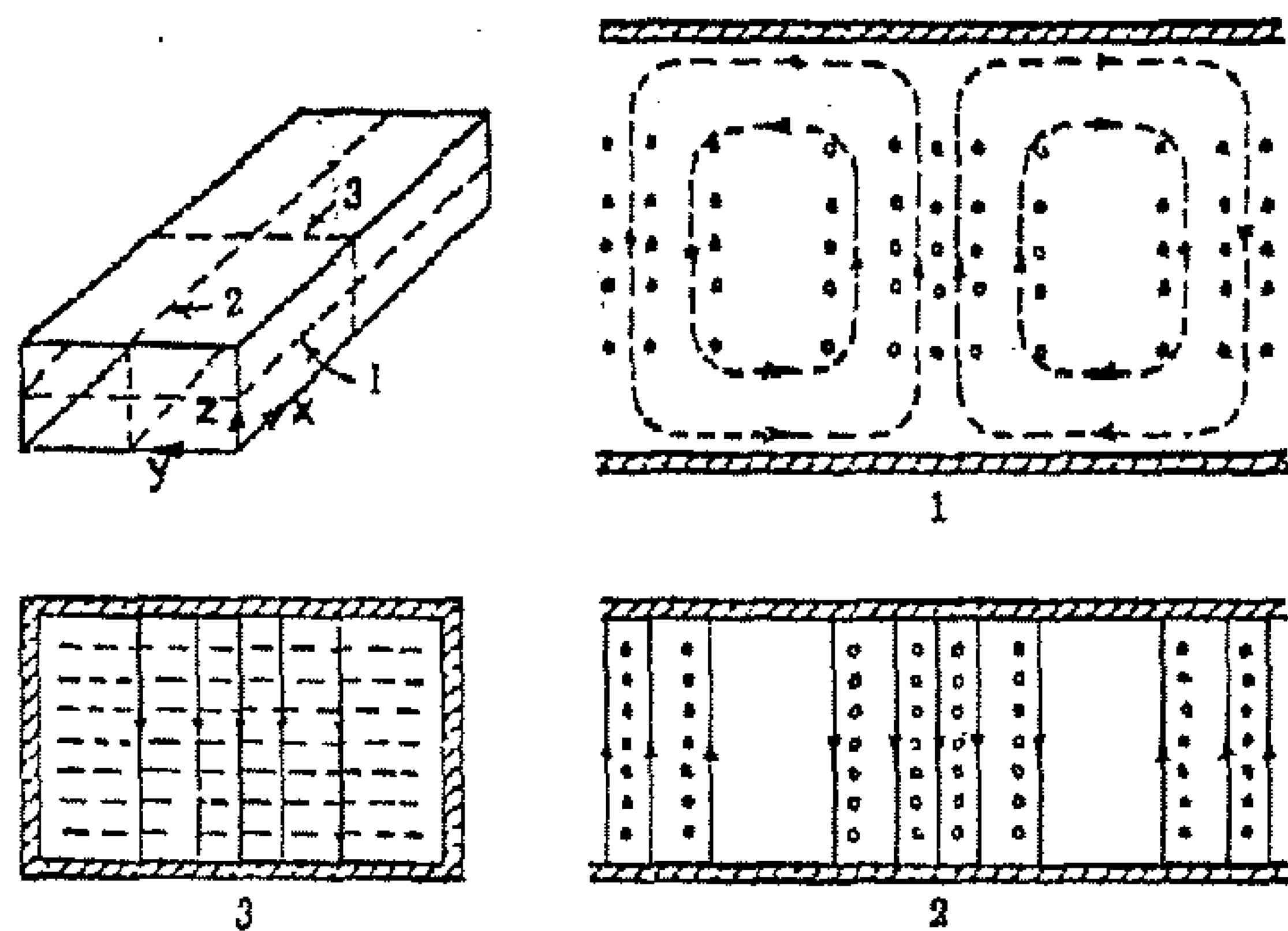
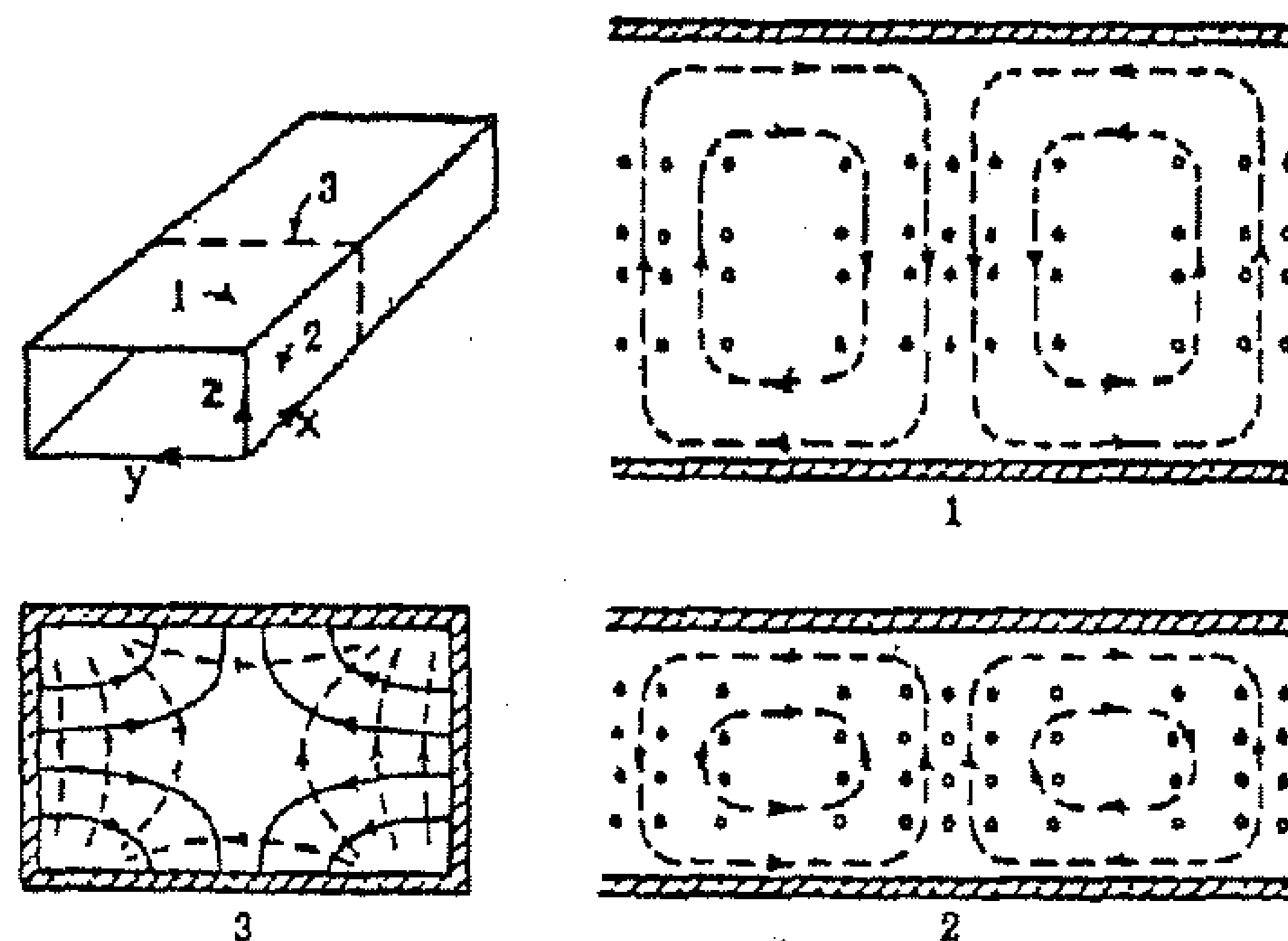
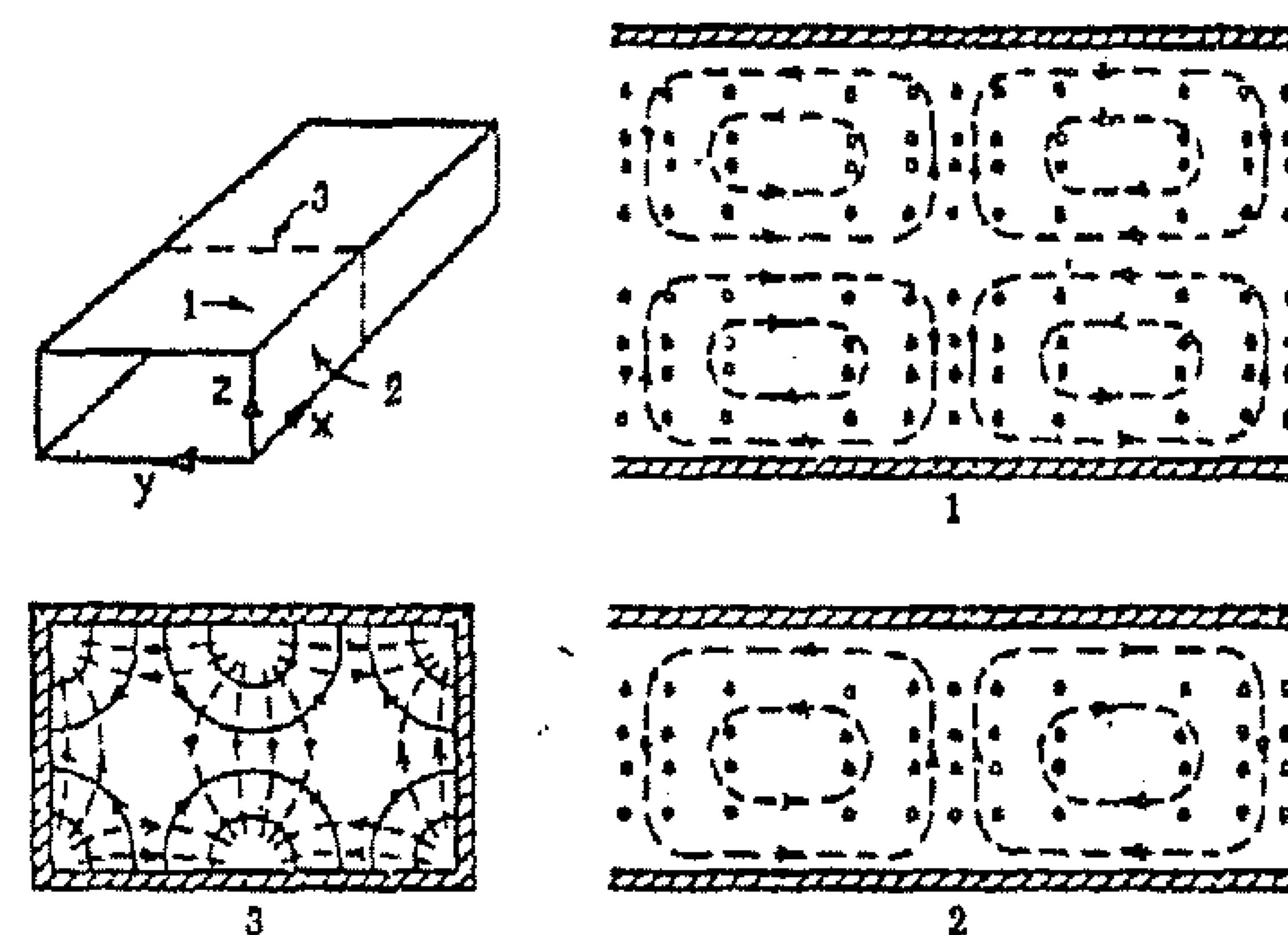
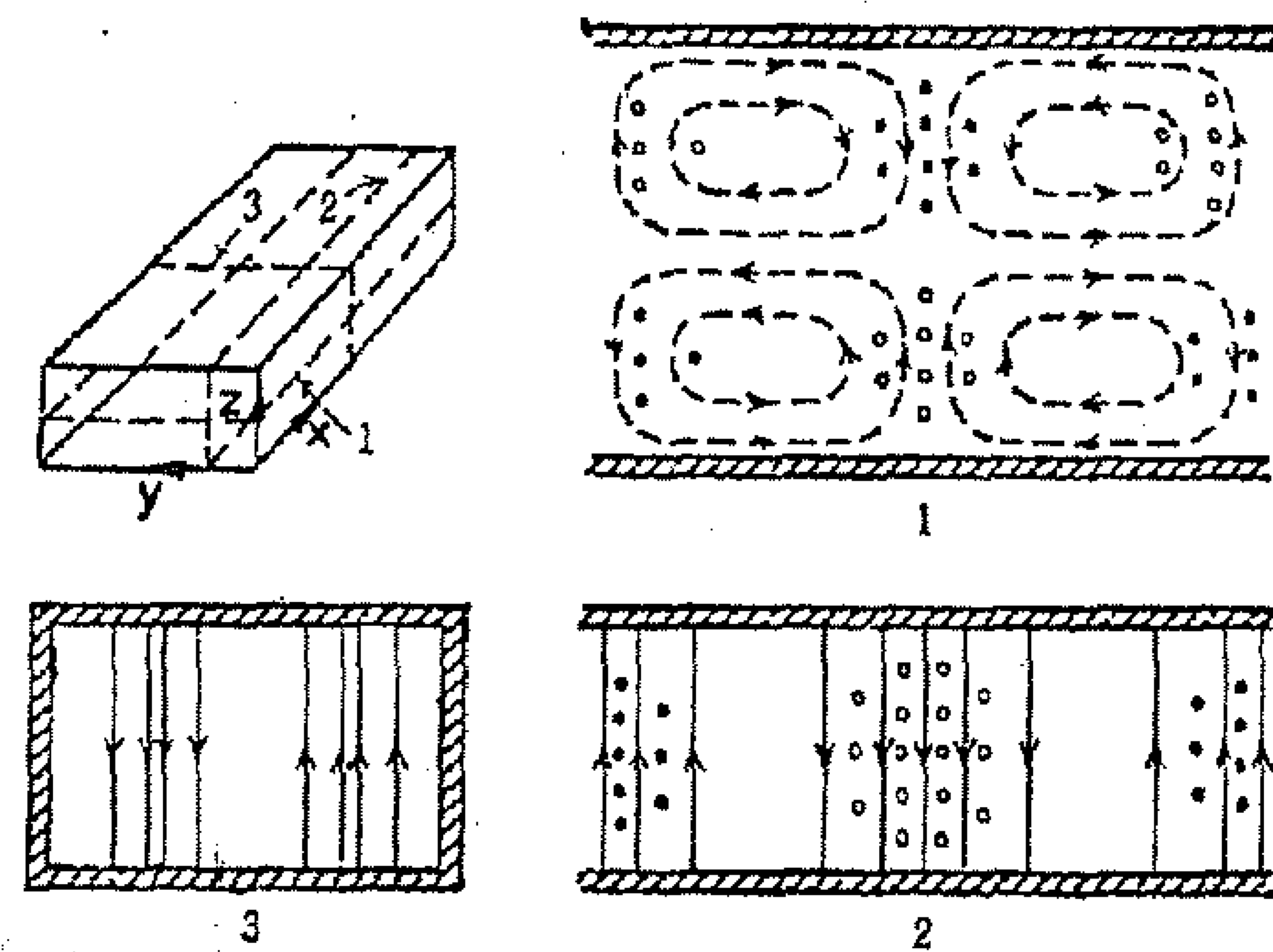
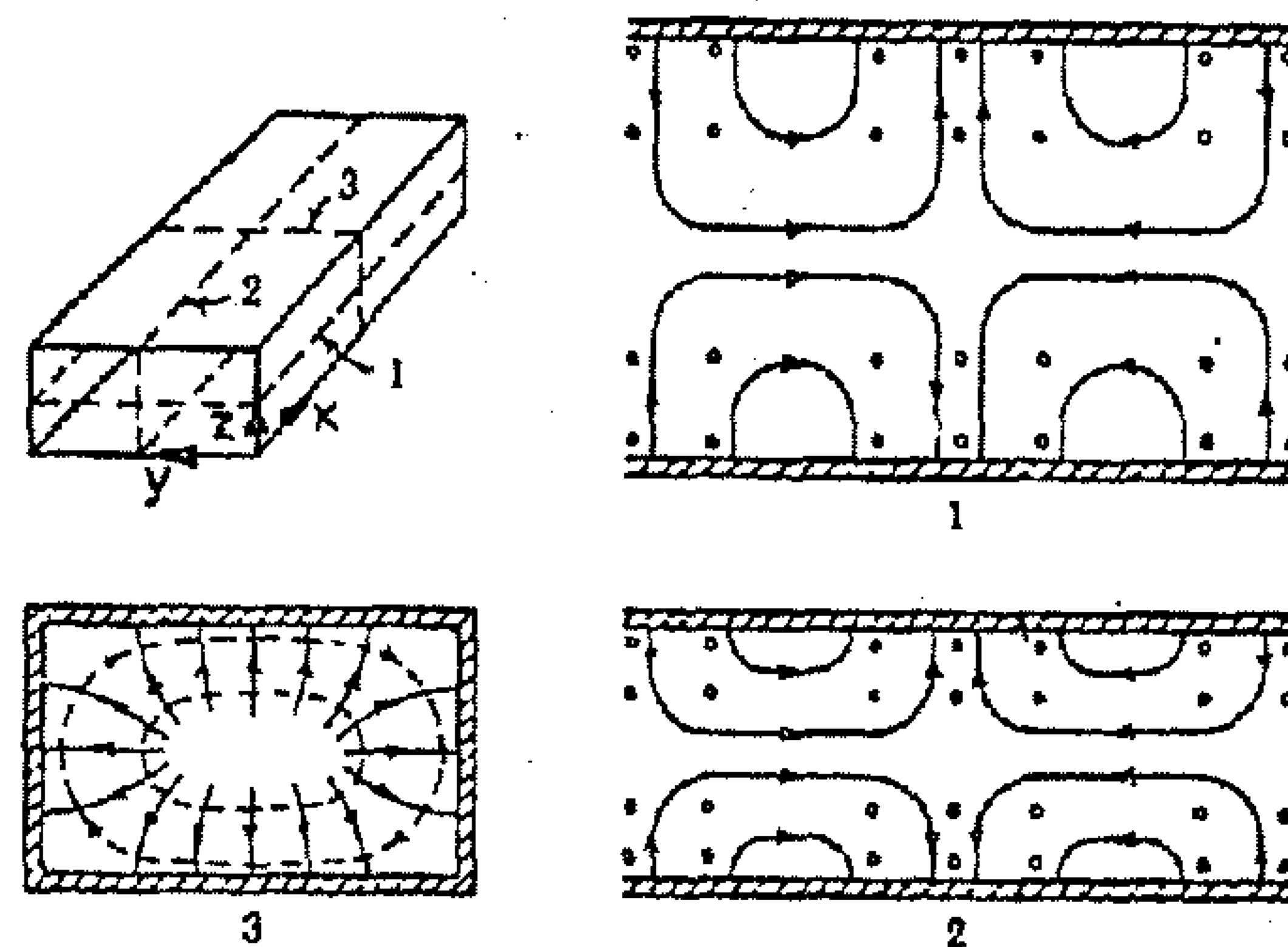
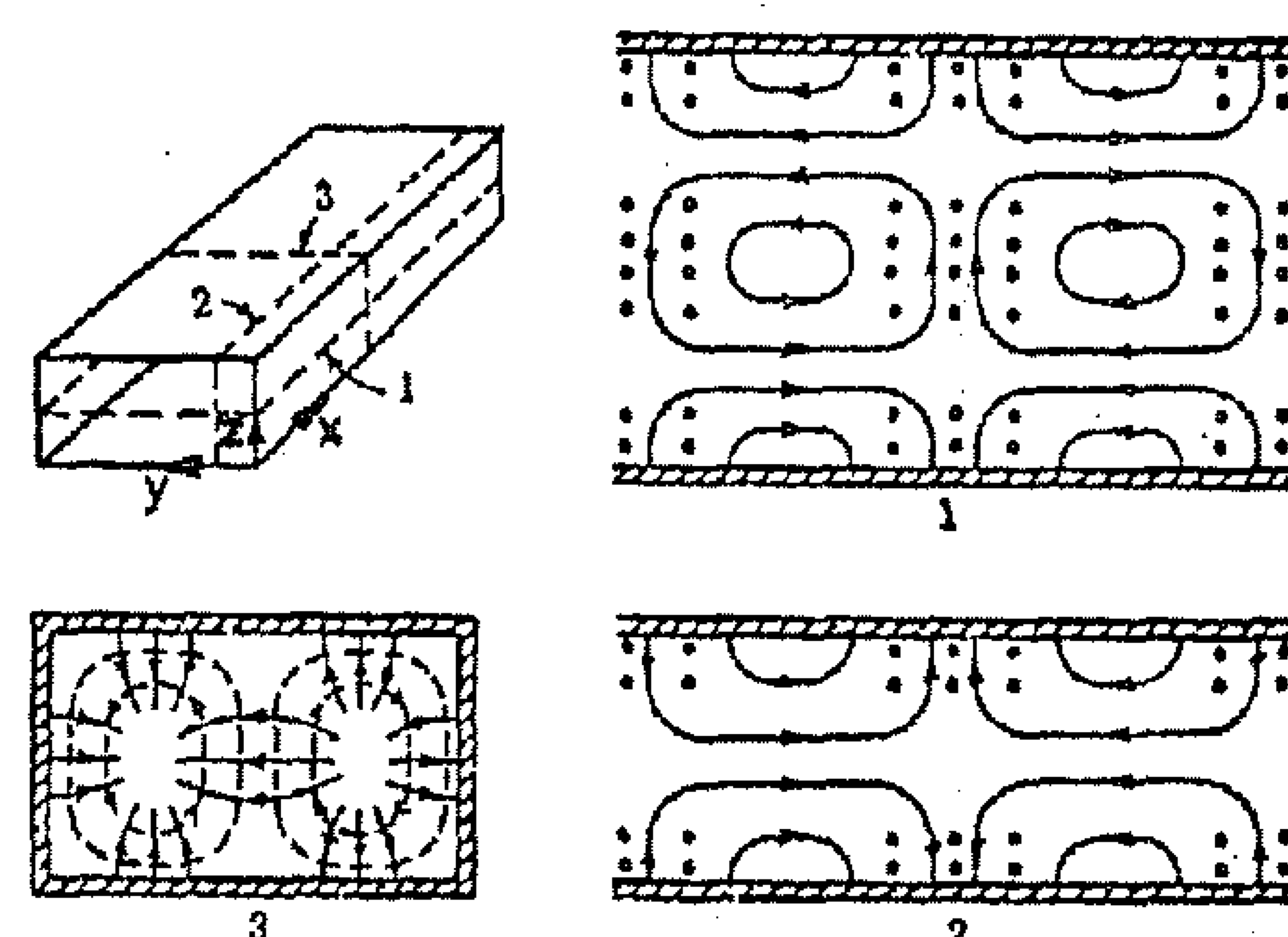
ή γνωστή μας κυματική αντίσταση του μέσου, μπορούμε να γράψουμε τις (5-57) έτσι<sup>\*)</sup>:

	$E_x = 0$	
Τ	$E_y = jZ \frac{k_z}{k_c} \frac{\lambda_{op}}{\lambda} H_0 \cos k_y y \sin k_z z e^{j(\omega t - \beta x)}$	
Υ		
Π	$E_z = -jZ \frac{k_y}{k_c} \frac{\lambda_{op}}{\lambda} H_0 \sin k_y y \cos k_z z e^{j(\omega t - \beta x)}$	
Ο		
Σ	$H_x = H_0 \cos k_y y \cos k_z z e^{j(\omega t - \beta x)}$	
ΤΕ	$H_y = -\frac{E_z}{Z_{TE}}$	
	$H_z = \frac{E_y}{Z_{TE}}$	(5-69)

Στό σχ. 5-4 δίνεται η πεδιακή κατανομή διαφόρων κυματικών τύπων σε ορθογώνιο κυματοδηγό.

\*)

Για κύματα που τρέχουν προς τό  $-x$  ( $e^{j(\omega t + \beta x)}$ ), αλλάζουν πρόσημο οι όροι που περιέχουν τό  $Z_{TE}$ .

$TE_{10}$  $TE_{11}$  $TE_{21}$  $TE_{20}$  $TM_{11}$  $TM_{21}$ 

Σχ. 5-4 Πεδιακή κατανομή διαφόρων κυματικών τύπων σε ορθογώνιο κυματοδηγό

### 5.2.2. Έγκάρσιος μαγνητικός κυματικός τύπος (TM):

Όπως στον κυματικό τύπο TE, έτσι και στον τύπο TM, ξεκινώντας από τις (5-29), απαλείφοντας

$$\mathcal{H}_x = 0 \quad (5-70)$$

και υποθέτοντας ότι :

$$\mathcal{E}_x = \mathcal{E}'_0 U(y, z) \quad (5-71)$$

καταλήγουμε στην ίδια διαφορική εξίσωση της  $U$  δηλ. την (5-34), που έχει λύση την (5-39). Από αυτήν και από την (5-71), με εφαρμογή των κατάλληλων οριακών συνθηκών προσδιορίζουμε τις εξισώσεις του πεδίου.

Και πάλι με την βοήθεια της κυματικής αντιστάσης του κυματοδηγού για τον κυματικό τύπο TM :

$$Z_{TM} = Z \sqrt{1 - \left(\frac{\lambda}{\lambda_{op}}\right)^2} = Z \sqrt{1 - \left(\frac{f_{op}}{f}\right)^2} \quad (5-72)$$

μπορούμε να εκφράσουμε τις συνιστώσες του πεδίου, ανάλογα με τις (5-69)\*)

Τ Υ Π Ο Σ  TM	$\mathcal{E}_x = \mathcal{E}_0 \sin k_y y \sin k_z z e^{j(\omega t - \beta x)}$	(5-73)
	$\mathcal{H}_y = \frac{j}{Z} \frac{k_z}{k_c} \frac{\lambda_{op}}{\lambda} \mathcal{E}_0 \sin k_y y \cos k_z z e^{j(\omega t - \beta x)}$	
	$\mathcal{H}_z = \frac{-j}{Z} \frac{k_y}{k_c} \frac{\lambda_{op}}{\lambda} \mathcal{E}_0 \cos k_y y \sin k_z z e^{j(\omega t - \beta x)}$	
	$\mathcal{E}_y = Z_{TM} \mathcal{H}_z$	
	$\mathcal{E}_z = -Z_{TM} \mathcal{H}_y$	
	$\mathcal{H}_x = 0$	

\*) Για κύματα, που τρέχουν προς το  $-x$  ( $e^{j(\omega t + \beta x)}$ ), αλλάζουν πρόσημο οι όροι που περιέχουν το  $Z_{TM}$ .

όπου

$$k_y = \frac{m\pi}{w}, \quad k_z = \frac{n\pi}{d}, \quad k_c^2 = k_y^2 + k_z^2 \quad (5-74)$$

μέ  $m = 1, 2, 3, \dots$  και  $n = 1, 2, 3, \dots$

$$\lambda_{op} = \frac{2\pi}{k_c} \quad (5-75)$$

$$\beta^2 = \left(\frac{2\pi}{\lambda}\right)^2 - k_c^2 \quad (5-76)$$

$$\beta = \frac{2\pi}{\lambda_k} \quad (5-77)$$

και 
$$\frac{1}{\lambda_k^2} = \frac{1}{\lambda^2} - \frac{1}{\lambda_{op}^2} \quad (5-78)$$

Π α ρ α τ ή ρ η σ η . Όπως φαίνεται από τις (5-69) δεν υπάρχει κυματικός τύπος  $TE_{00}$ , ενώ από τις (5-73) φαίνεται ότι δεν υπάρχουν οι κυματικοί τύποι  $TM_{on}$  ή  $TM_{mo}$ , δηλ. τα  $m$  και  $n$  δεν παίρνουν τιμή μηδέν.

### 5.2.3. Μερικά πρακτικά συμπεράσματα.

Από τα πιο πάνω βλέπουμε ότι για κάθε ορθογώνιο κυματοδηγό με ορισμένες εγkάρσιες διαστάσεις ( $w, d$ ), γεμάτο με διηλεκτρικό υλικό ( $\mu, \epsilon$ ), και για κάθε επιθυμητό κυματικό τύπο ( $TE_{mn}$ ,  $TM_{mn}$ ) υπάρχει ένα ό ρ ι κ ό μ η κ ο ς κύματος  $\lambda_{op}$ :

$$\frac{1}{\lambda_{op}} = \frac{1}{2} \sqrt{\left(\frac{m}{w}\right)^2 + \left(\frac{n}{d}\right)^2} \quad (5-79)$$

πού αντιστοιχεί σε μία ε λ ά χ ι σ τ η ό ρ ι κ ή σ υ χ ν ό τ η τ α  $f_{op}$ :



$$f_{op} = \frac{v}{\lambda_{op}} = \frac{1}{\lambda_{op} \sqrt{\epsilon \mu}} \quad (5-80)$$

όπου  $v$  ή ταχύτητα του κύματος στο ελεύθερο διηλεκτρικό .  
Κάτω από τη συχνότητα αυτή η διάδοση ηλεκτρομαγνητικού κύματος  
είναι αδύνατη επειδή υπάρχει πολύ μεγάλη εξασθένιση.

Η σταθερά της διάδοσης που αντιστοιχεί σε κάθε τύπο  $(m, n)$   
είναι φανταστική :

$$\gamma = j\beta \quad (5-81)$$

$$\text{όπου} \quad \beta = \frac{2\pi}{\lambda_k} \quad (5-82)$$

η σταθερά φάσης του τύπου  $(m, n)$  και  $\lambda_k$  το μήκος κύματος του τύ-  
που αυτού μέσα στον κυματοδηγό :

$$\frac{1}{\lambda_k^2} = \frac{1}{\lambda^2} - \frac{1}{\lambda_{op}^2} \quad (5-83)$$

$$\text{ή} \quad \lambda_k = \frac{\lambda}{\sqrt{1 - \left(\frac{\lambda}{\lambda_{op}}\right)^2}} = \frac{\lambda}{\sqrt{1 - \left(\frac{f_{op}}{f}\right)^2}} \quad (5-84)$$

$$\text{όπου} \quad \lambda = \frac{v}{f} = \frac{1}{f \sqrt{\epsilon \mu}} \quad (5-85)$$

το μήκος κύματος στο ελεύθερο διηλεκτρικό . Δηλαδή :

$$\lambda_k > \lambda \quad (5-86)$$

Η σταθερά φάσης γράφεται :

$$\beta = 2\pi \sqrt{\frac{1}{\lambda^2} - \frac{1}{\lambda_{op}^2}} \quad (5-87)$$

Ἡ " ταχύτητα φάσης "  $u_p$ , μέ τήν ὁποία διαδίδεται ἡ ἰσοφασική ἐπιφάνεια μέσα στόν κυματοδηγό εἶναι:

$$u_p = f \lambda_k = u \frac{\lambda_k}{\lambda} \quad (5-88)$$

$$u_p = \frac{u}{\sqrt{1 - \left(\frac{\lambda}{\lambda_{op}}\right)^2}} = \frac{u}{\sqrt{1 - \left(\frac{f_{op}}{f}\right)^2}} \quad (5-89)$$

Ἡ ταχύτητα μέ τήν ὁποία διαδίδεται ἡ ἐνέργεια μέσα στόν κυματοδηγό καί μέ τήν ὁποία διαδίδεται καί κάθε σῆμα διαμορφώσεως τοῦ ΗΜ κύματος λέγεται " ταχύτητα ομάδας " ( $u_g$ ) καί ἀποδείχνεται ὅτι:

$$u_g = \frac{d\omega}{d\beta} \quad (5-90)$$

Τήν (5-87) τή γράφουμε ὥς ἑξῆς :

$$\beta^2 = \frac{4\pi^2}{\lambda^2} - \frac{4\pi^2}{\lambda_{op}^2} = \frac{\omega^2}{u^2} - \frac{4\pi^2}{\lambda_{op}^2} \quad (5-91)$$

Ἀπό αὐτήν ἔχουμε :

$$2\beta d\beta = \frac{1}{u^2} 2\omega d\omega \quad (5-92)$$

καί

$$u_g = \frac{d\omega}{d\beta} = \beta \left( \frac{u}{\omega} \right) u = \frac{2\pi}{\lambda_k} \frac{\lambda}{2\pi} u$$

ἢ

$$u_g = u \cdot \frac{\lambda}{\lambda_k} \quad (5-93)$$

ή

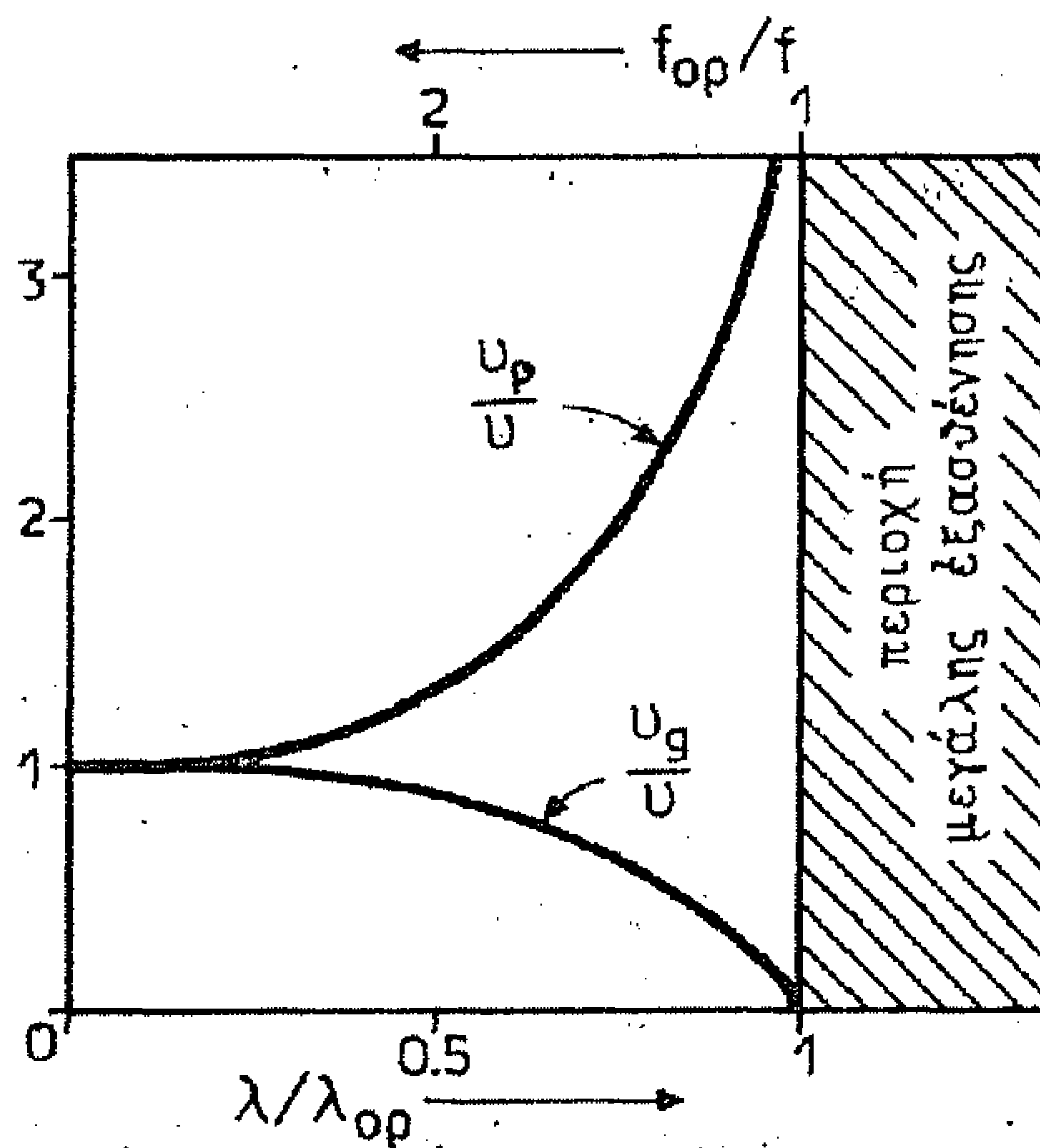
$$v_g = v \sqrt{1 - \left(\frac{\lambda}{\lambda_{op}}\right)^2} = v \sqrt{1 - \left(\frac{f_{op}}{f}\right)^2} \quad (5-94)$$

Από τις (5-88) και (5-93) προκύπτει:

$$v_p v_g = v^2 \quad (5-95)$$

Στό διάγραμμα του σχ.5-5 παριστάνεται ή μεταβολή των σχετικών ταχυτήτων  $v_p/v$  και  $v_g/v$  σαν συνάρτηση των  $\lambda/\lambda_{op}$  ή  $f_{op}/f$ .

Παρατήρηση. Στόν κυματικό τύπο  $m, n$  ( $TE_{mn}$  ή  $TM_{mn}$ ) ο δείκτης  $m$  εκφράζει τόν αριθμό των "μίσων" ήμυτονοειδών διακυμάνσεων πλάτους της αντίστοιχης συνιστώσας κατά τή διεύθυνση  $y$  και σ' όλο τό πλάτος



Σχ. 5-5 Σχετικές τιμές της ταχύτητας φάσης  $v_p$  και της ταχύτητας ομάδας  $v_g$ , μέσα σ' έναν ορθογώνιο κυματοδηγό, ως προς τήν ταχύτητα  $v$  στο έλεύθερο διηλεκτρικό.

$w$  της διατομής του ορθογώνιου κυματοδηγού, ενώ ο δείκτης  $n$  τόν αντίστοιχο αριθμό κατά τή διεύθυνση του άξονα  $z$  και σ' όλο τό ύψος  $d$  της διατομής. Π.Χ. ο  $TE_{10}$  σ' όλο τό πλάτος  $w$  εμφανίζει μισή ήμυτονοειδή διακύμανση (τό όρισμα  $\frac{\pi y}{w}$  μεταβάλλεται από 0 έως  $\pi$ ), γιά κάθε συνιστώσα, ενώ σ' όλο τό ύψος  $d$  δέν εμφανίζεται καμιά διακύμανση. 'Ο  $TE_{22}$  εμφανίζει σ' όλο τό  $w$  και σ' όλο τό  $d$  μιά ολόκληρη ήμυτονοειδή διακύμανση.

#### 5.2.4. Έξασθενήση του κύματος κατά τή διάδοση μέσα σέ ὀρθογώνιο κυματοδηγό (Οἱ βασικές σχέσεις).

Μέχρι τώρα θεωρήσαμε ὅτι τό κύμα, καθώς διαδύδεται μέσα στόν κυματοδηγό, δέν παθαίνει ἐξασθενήση. Στήν πράξη, ὅμως, δέν συμβαίνει αὐτό, γιατί καί τά τοιχώματα τοῦ κυματοδηγοῦ δέν ἔχουν ἄπειρη ἀγωγιμότητα ( $\sigma_c < \infty$ ) καί τό διηλεκτρικό δέν ἔχει μηδενική ἀγωγιμότητα ( $\sigma_d \neq 0$ ). Ὡστε, ἡ μεταδιδόμενη ἰσχύς πολλαπλασιάζεται ἐπὶ τόν παράγοντα  $e^{-2\alpha_t x}$ , ὅπου  $\alpha_t$  ἡ τιμή τοῦ ὁλικοῦ συντελεστῆ ἐξασθενήσης. Δηλαδή :

$$P = P_0 e^{-2\alpha_t x} \quad (5-96)$$

Ἡ ἐξασθενήση  $\Delta L$ , στή δοσμένη ἀπόσταση  $\Delta x$ , σέ decibel (dB) εἶναι :

$$\Delta L = 10 \log \frac{P_0}{P} = 10 \frac{1}{\ln 10} \cdot \ln \frac{P_0}{P} = 8,686 \alpha_t \Delta x = A_t \Delta x \quad (5-97)$$

ἀπό ὅπου προκύπτει ἡ ἐξασθενήση ἀνά μονάδα μήκους :

$$A_t = \frac{\Delta L}{\Delta x} = 8,686 \alpha_t \left( \frac{\text{dB}}{\text{m}} \right) \quad (5-98)$$

Ὁ ὁλικός συντελεστής ἐξασθενήσης  $\alpha_t$  γράφεται σάν ἄθροισμα δύο ὅρων :

$$\left. \begin{aligned} \alpha_t &= \alpha_c + \alpha_d \\ \text{καί ἄρα} \quad A_t &= A_c + A_d \end{aligned} \right\} \quad (5-99)$$

ὅπου ὁ  $\alpha_c$  ἀφορᾷ τήν ἐξασθενήση λόγω τῆς μή τέλει ἀγωγιμότητας τῶν τοιχωμάτων καί ὁ  $\alpha_d$  τήν ἐξασθενήση λόγω κακῆς ποιότητος τοῦ διηλεκτρικοῦ.

Σέ ὀρθογώνιο κυματοδηγό (w,d) καί γιά τόν κυματικό τύπο  $TE_{mn}$  ἀποδείχνεται ὅτι εἶναι :

$$(\alpha_c)_{TE_{mn}} = \frac{2R_s}{dz_d \sqrt{1 - \left(\frac{f_{op}}{f}\right)^2}} \left\{ \left(1 + \frac{d}{w}\right) \left(\frac{f_{op}}{f}\right)^2 + \left[1 - \left(\frac{f_{op}}{f}\right)^2\right] \left[ \frac{\frac{d}{w} \left(\frac{d}{w} m^2 + n^2\right)}{\frac{d^2 m^2}{w^2} + n^2} \right] \right\} \quad (5-100)$$

ὅπου  $R_s$  ἡ λεγόμενη ἐπιδερμική ἀντίσταση τῶν τοιχωμάτων :

$$R_s = \frac{1}{\sigma_c x_0} = \sqrt{\frac{\pi f \mu_c}{\sigma_c}} \quad (5-101)$$

( $x_0$  τό βάθος διείσδυσης), καί

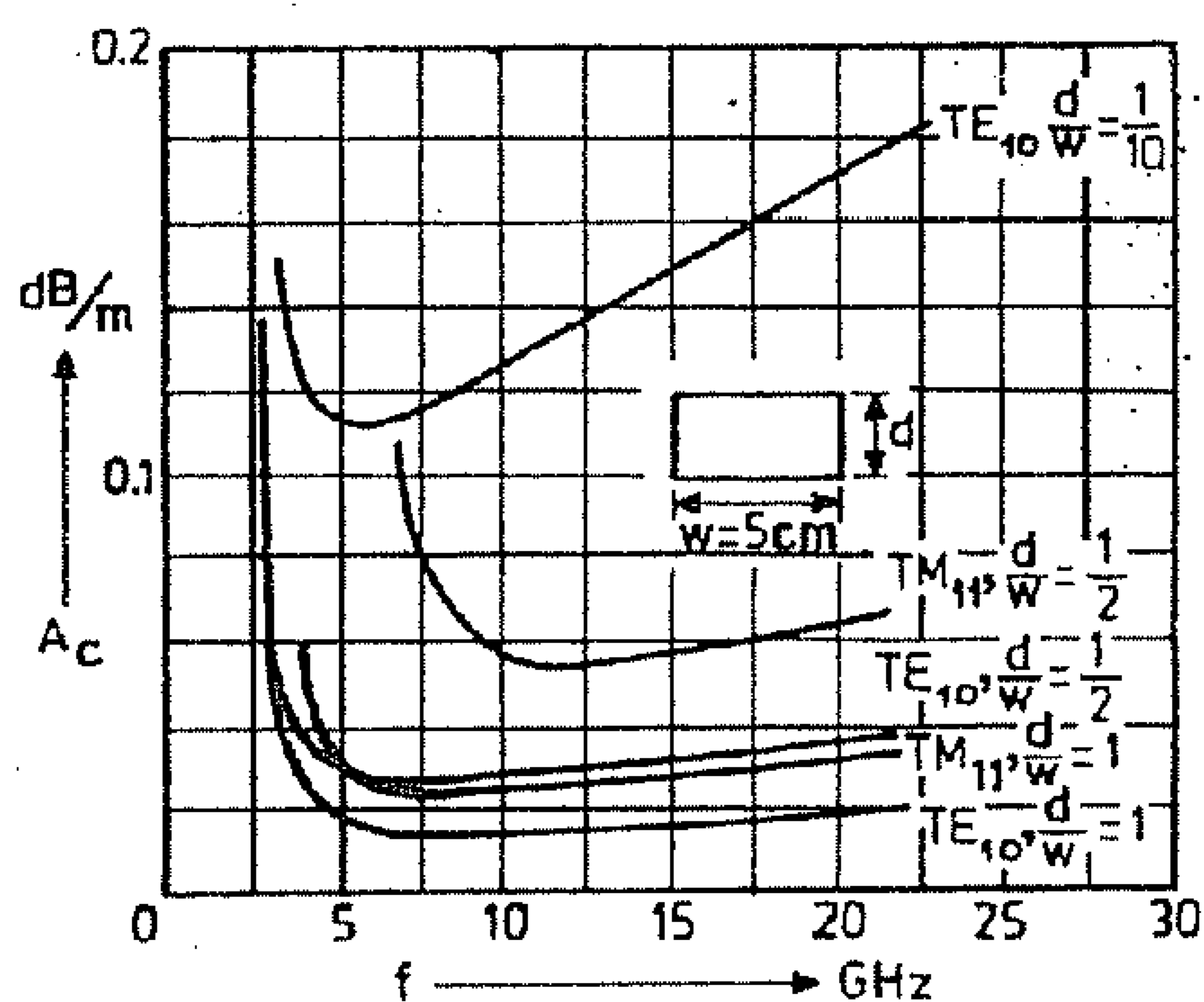
$$Z_d = \sqrt{\frac{\mu_d}{\epsilon_d}} \quad (5-102)$$

ἡ κυματική ἀντίσταση τοῦ διηλεκτρικοῦ.

Ὁ συντελεστής ἐξασθένησης  $\alpha_d$  ἀποδείχνεται ὅτι γιά κάθε τύπο κυματοδηγοῦ εἶναι :

$$\alpha_d = \frac{\sigma_d Z_d}{2 \sqrt{1 - \left(\frac{f_{op}}{f}\right)^2}} \quad (5-103)$$

Μερικά παραδείγματα ἐξασθένησης μέσα σέ ὀρθογώνιο κυματοδηγό φαίνονται στό διάγραμμα τοῦ σχ. 5-6 .



Σχ. 5-6 Διαγράμματα τῆς ἐξασθένησης ἀνά μονάδα μήκους,  $\alpha_c$  (dB/m) μερικῶν κυματικῶν τύπων ἑνός ὀρθογώνιου κυματοδηγοῦ, μέ  $w=5\text{cm}$ , γιά διάφορα  $d$ , σέ συνάρτηση μέ τή συχνότητα. Ὁ κυματοδηγός αὐτός εἶναι ἀπό χαλκό .

### 5.3. Μελέτη Κυκλικού Κυλινδρικού Κυματοδηγού.

Στόν κυκλικό κυλινδρικό κυματοδηγό, μέ έργασία ανάλογη μέ εκείνη , πού κάμαμε στή μελέτη του όρθογώνιου κυματοδηγού, καταλήγουμε στό ότι γιά τόν έγκάρσιο ήλεκτρικό κυματικό τύπο (TE) , όλες οί συνιστώσες του πεδίου μπορούν νά έκφραστούν σέ συνάρτηση μέ τήν  $H_z$  , πού ίκανοποιεῖ τήν εξίσωση :

$$\nabla_T^2 H_z + k_c^2 H_z = 0 \quad (5-104)$$

ένω γιά τόν κυματικό τύπο TM όλες οί συνιστώσες μπορούν νά έκφραστούν σέ συνάρτηση μέ τήν  $E_z$  , πού πρέπει νά ίκανοποιεῖ τήν εξίσωση :

$$\nabla_T^2 E_z + k_c^2 E_z = 0 \quad (5-105)$$

$$\text{όπου εἶναι :} \quad H_z = H'_0 \cdot U(\rho, \psi) \quad (5-106)$$

$$E_z = E'_0 \cdot U(\rho, \psi) \quad (5-107)$$

"Αν οἱ προβολές αὐτές πολλαπλασιαστούν ἐπύ τόν παράγοντα  $e^{-\gamma z}$  δύνουν τίς φασικές συνιστώσες τῶν πεδίων κατά τόν ἄξονα  $z$  τῆς διάδοσης. Ἡ σταθερά τῆς διάδοσης εἶναι :

$$\gamma = j\beta \quad (5-108)$$

"Ωστε, γενικά, κι ἐδῶ καταλήγουμε στή λύση τῆς διαφορικῆς εξίσωσης :

$$\nabla_T^2 U + k_c^2 U = 0 \quad (5-109)$$

όπου

$$k_c^2 = \frac{\omega^2}{U^2} + \gamma^2 = \frac{\omega^2}{U^2} - \beta^2 \quad (5-110)$$

Στις κυλινδρικές συντεταγμένες είναι :

$$\nabla_T^2 U = \frac{\partial^2 U}{\partial \rho^2} + \frac{1}{\rho} \frac{\partial U}{\partial \rho} + \frac{1}{\rho^2} \frac{\partial^2 U}{\partial \varphi^2} \quad (5-111)$$

Ωστε η (5-109) γράφεται:

$$\frac{\partial^2 U}{\partial \rho^2} + \frac{1}{\rho} \frac{\partial U}{\partial \rho} + \frac{1}{\rho^2} \frac{\partial^2 U}{\partial \varphi^2} + k_c^2 U = 0 \quad (5-112)$$

Λύνουμε την (5-112) (βλ. παράρτημα I) και από τις (5-106), (5-107) προσδιορίζουμε την  $H_z$  ή την  $E_z$ . Οι υπόλοιπες συνιστώσες προσδιορίζονται από αυτές αν χρησιμοποιηθούν οι σχέσεις :

$$E_\rho = -\frac{1}{k_c^2} \left[ \gamma \frac{\partial E_z}{\partial \rho} + \frac{j\omega\mu}{\rho} \frac{\partial H_z}{\partial \varphi} \right]$$

$$E_\varphi = \frac{1}{k_c^2} \left[ -\gamma \frac{\partial E_z}{\partial \varphi} + j\omega\mu \frac{\partial H_z}{\partial \rho} \right]$$

$$H_\rho = \frac{1}{k_c^2} \left[ \frac{j\omega\varepsilon}{\rho} \frac{\partial E_z}{\partial \varphi} - \gamma \frac{\partial H_z}{\partial \rho} \right]$$

$$H_\varphi = -\frac{1}{k_c^2} \left[ j\omega\varepsilon \frac{\partial E_z}{\partial \rho} + \gamma \frac{\partial H_z}{\partial \varphi} \right]$$

(5-113)

πού είναι η λύση των εξισώσεων του Maxwell στις κυλινδρικές συντεταγμένες και είναι ανάλογες με τις (5-29) των καρτεσιανών συντεταγμένων.

Όπως αναφέρεται στο παράρτημα I η λύση της (5-112) για κάθε τιμή του  $n$  είναι :



$$\boxed{U_n = U_0 J_n(k_c \rho) \cos n \varphi} \quad (5-114)$$

Ανατρέχοντας στις (5-106), (5-107) ενσωματώνουμε τη σταθερά  $U_0$  στις  $H'_0$ ,  $E'_0$  και έχουμε :

$$\mathcal{H}_z = \mathcal{H}_0 J_n(k_c \rho) \cos n \varphi \quad (5-115)$$

$$\mathcal{E}_z = \mathcal{E}_0 J_n(k_c \rho) \cos n \varphi \quad (5-116)$$

Από τις (5-115) και (5-116) και χρησιμοποιώντας και τις (5-113) προσδιορίζουμε και τις υπόλοιπες συνιστώσες.

Τά αποτελέσματα γιὰ τόν κάθε κυματικό τύπο (TM) και (TE) φαίνονται στόν παρακάτω πύνακα 5-I .

### ΠΙΝΑΚΑΣ 5-I

ΚΥΜΑΤΙΚΟΣ ΤΥΠΟΣ TM	ΚΥΜΑΤΙΚΟΣ ΤΥΠΟΣ TE
$\mathcal{H}_\rho = -j \frac{n \lambda_{op}}{k_c Z \rho \lambda} \mathcal{E}_0 J_n(k_c \rho) \sin n \varphi e^{j(\omega t - \beta z)}$	$\mathcal{E}_\rho = j \frac{n Z \lambda_{op}}{k_c \rho \lambda} \mathcal{H}_0 J_n(k_c \rho) \sin n \varphi e^{j(\omega t - \beta z)}$
$\mathcal{H}_\varphi = -j \frac{\lambda_{op}}{\lambda Z} \mathcal{E}_0 J'_n(k_c \rho) \cos n \varphi e^{j(\omega t - \beta z)}$	$\mathcal{E}_\varphi = j Z \frac{\lambda_{op}}{\lambda} \mathcal{H}_0 J'_n(k_c \rho) \cos n \varphi e^{j(\omega t - \beta z)}$
$\mathcal{H}_z = 0$	$\mathcal{E}_z = 0$
$\mathcal{E}_\rho = \mathcal{H}_\varphi Z_{TM}$	$\mathcal{H}_\rho = -\frac{\mathcal{E}_\varphi}{Z_{TE}}$
$\mathcal{E}_\varphi = -\mathcal{H}_\rho Z_{TM}$	$\mathcal{H}_\varphi = \frac{\mathcal{E}_\rho}{Z_{TE}}$
$\mathcal{E}_z = \mathcal{E}_0 J_n(k_c \rho) \cos n \varphi e^{j(\omega t - \beta z)}$	$\mathcal{H}_z = \mathcal{H}_0 J_n(k_c \rho) \cos n \varphi e^{j(\omega t - \beta z)}$

όπου

$$Z = \sqrt{\frac{\mu}{\epsilon}} \quad (5-117)$$

ή κυματική αντίσταση του διηλεκτρικού,

$$\gamma = j\beta = j\sqrt{\frac{\omega^2}{u^2} - k_c^2} \quad (5-118)$$

ή σταθερά της διάδοσης,

$$\lambda_k = \frac{2\pi}{\beta} \quad (5-119)$$

τό μήκος κύματος μέσα στον κυματοδηγό,

$$\frac{1}{\lambda_k^2} = \frac{1}{\lambda^2} - \frac{1}{\lambda_{op}^2} \quad (5-120)$$

$\lambda_{op}$  τό όρικό μήκος κύματος

$$\lambda_{op} = \frac{2\pi}{k_c} \quad (5-121)$$

καί

$$Z_{TM} = Z \sqrt{1 - \left(\frac{\lambda}{\lambda_{op}}\right)^2} \quad (5-122)$$

$$Z_{TE} = \frac{Z}{\sqrt{1 - \left(\frac{\lambda}{\lambda_{op}}\right)^2}} \quad (5-123)$$

ή κυματική αντίσταση του κυματοδηγού στην κάθε περίπτωση.

Θά προσδιορίσουμε τώρα τό  $k_c$  στην περίπτωση του κυματικού τύπου TM καί του κυματικού τύπου TE .

### 5.3.1. Κυματικός τύπος TM.

Γι' αυτόν τον κυματικό τύπο ή όριακή συνθήκη του ηλεκτρικού πεδίου είναι :

$$E_\varphi = 0, E_z = 0 \quad \text{γιά } \rho = a \quad (5-124)$$

όπου  $a$  ή ακτίνα του κυλινδρικού κυματοδηγού, ενώ του μαγνητικού πεδίου :

$$H_\rho = 0 \quad \text{γιά } \rho = a \quad (5-125)$$

Εφαρμόζοντας τις συνθήκες (5-124) και (5-125) στις κατάλληλες σχέσεις του πίνακα 5-I οδηγούμαστε στη συνθήκη :

$$J_n(k_c \alpha) = 0$$

Αρα το γινόμενο  $k_c \alpha$  πρέπει να είναι ρίζα της  $J_n(u)$ . Η  $J_n(u)$  όμως έχει άπειρο αριθμό ριζών. Έστω  $p_{nl}$  ή 1 τάξης ρίζα της  $J_n(u)$  τότε το αντίστοιχο  $k_c$  είναι :

$$(k_c)_{TMnl} = \frac{p_{nl}}{\alpha} \quad (5-126)$$

Για κάθε ζευγάρι  $n, l$  αντιστοιχεί και ένα  $(k_c)_{nl}$  και επομένως και ένα όρικό μήκος κύματος:

$$\lambda_{TMnl,op} = \frac{2\pi}{(k_c)_{nl}} \quad (5-127)$$

Οι διάφοροι αυτού κυματικοί τύποι χαρακτηρίζονται ως  $TM_{nl}$  (ή  $E_{nl}$ ). Ωστε για τον κυματικό τύπο  $TM_{nl}$  είναι:

$$\lambda_{TMnl,op} = \frac{2\pi\alpha}{p_{nl}} \quad (5-128)$$

Η όρική συχνότητα του τύπου αυτού είναι :

$$f_{TMnl,op} = \frac{p_{nl}}{2\pi\alpha \sqrt{\epsilon\mu}} \quad (5-129)$$

Μελετώντας τις σχέσεις του πίνακα 5-I καταλαβαίνουμε τη σημασία των άκεραίων  $n$  και  $l$ . Ο αριθμός  $n$  εκφράζει πόσες πλήρεις διακυμάνσεις του πεδίου συμβαίνουν αν ακολουθήσουμε έναν κύκλο (μέ τυχαία ακτίνα) της διατομής του κυματοδηγού, ενώ ο  $l$  εκφράζει πόσες πλήρεις διακυμάνσεις του πεδίου συμβαίνουν αν ακολουθήσουμε μία οποιαδήποτε διάμετρο της διατομής του κυματοδηγού.

Μερικές ρίζες της συνάρτησης Bessel  $J_n(u)$  καθώς και της πρώτης παραγώγου της  $J'_n(u)$  δίνονται στον πίνακα III του Παραρτήματος .

### 5.3.2. Κυματικός τύπος ΤΕ.

Η όριακή συνθήκη γι' αυτόν τόν κυματικό τύπο είναι, για τό ηλεκτρικό πεδίο :

$$\left[ E_{\varphi} \right]_{\rho=a} = 0 \quad (5-130)$$

ένω για τό μαγνητικό πεδίο:

$$\left[ H_{\rho} \right]_{\rho=a} = 0 \quad (5-131)$$

Εφαρμόζοντας τίς (5-130) , (5-131) στίς κατάλληλες σχέσεις του πίνακα 5-I οδηγούμαστε στή συνθήκη:

$$J_n'(k_c a) = 0$$

Ωστε τό γινόμενο  $k_c a$  πρέπει νά είναι ρίζα τής παραγώγου τής συνάρτησης Bessel πρώτου είδους ( $J_n'(u)$ ). Στόν πίνακα III του Παραρτήματος . Περιλαμβάνονται μερικές ρίζες τής  $J_n'(u)$ , από τόν άπειρο άριθμό ριζών πού διαθέτει. Έστω  $p_{nl}'$  ή 1-τάξης ρίζα τής  $J_n'(u)$ . Τότε τό αντίστοιχο  $k_c$  είναι :

$$(k_c)_{TE_{nl}} = \frac{p_{nl}'}{a} \quad (5-132)$$

Γιά κάθε ζευγάρι, λοιπόν, άκεραίων  $n, l$  αντιστοιχεῖ κι ένας έγkάρσιος ηλεκτρικός κυματικός τύπος  $TE_{nl}(H_{nl})$  μέ όρισκό μήκος κύματος :

$$\lambda_{TE_{nl}, op} = \frac{2\pi}{(k_c)_{nl}} = \frac{2\pi a}{p_{nl}'} \quad (5-133)$$

οί άριθμοί  $n$  καί  $l$  έχουν τήν ἴδια φυσική σημασία πού αναφέραμε στό  $a$  προηγουμένως.

Η όριση συχνότητα του τύπου αυτού είναι:

$$f_{TE_{n1},or} = \frac{p'_{n1}}{2\pi a \sqrt{\epsilon\mu}} \quad (5-134)$$

Στόν πίνακα 5-II δίνονται οι πεδιακές κατανομές και όρισμένα βασικά στοιχεία μερικών κυματικών τύπων του κυκλικού κυματοδηγού.

### 5.3.3. Ξεασθένιση του κύματος κατά τη διάδοση μέσα από κυκλικό κυλινδρικό κυματοδηγό.

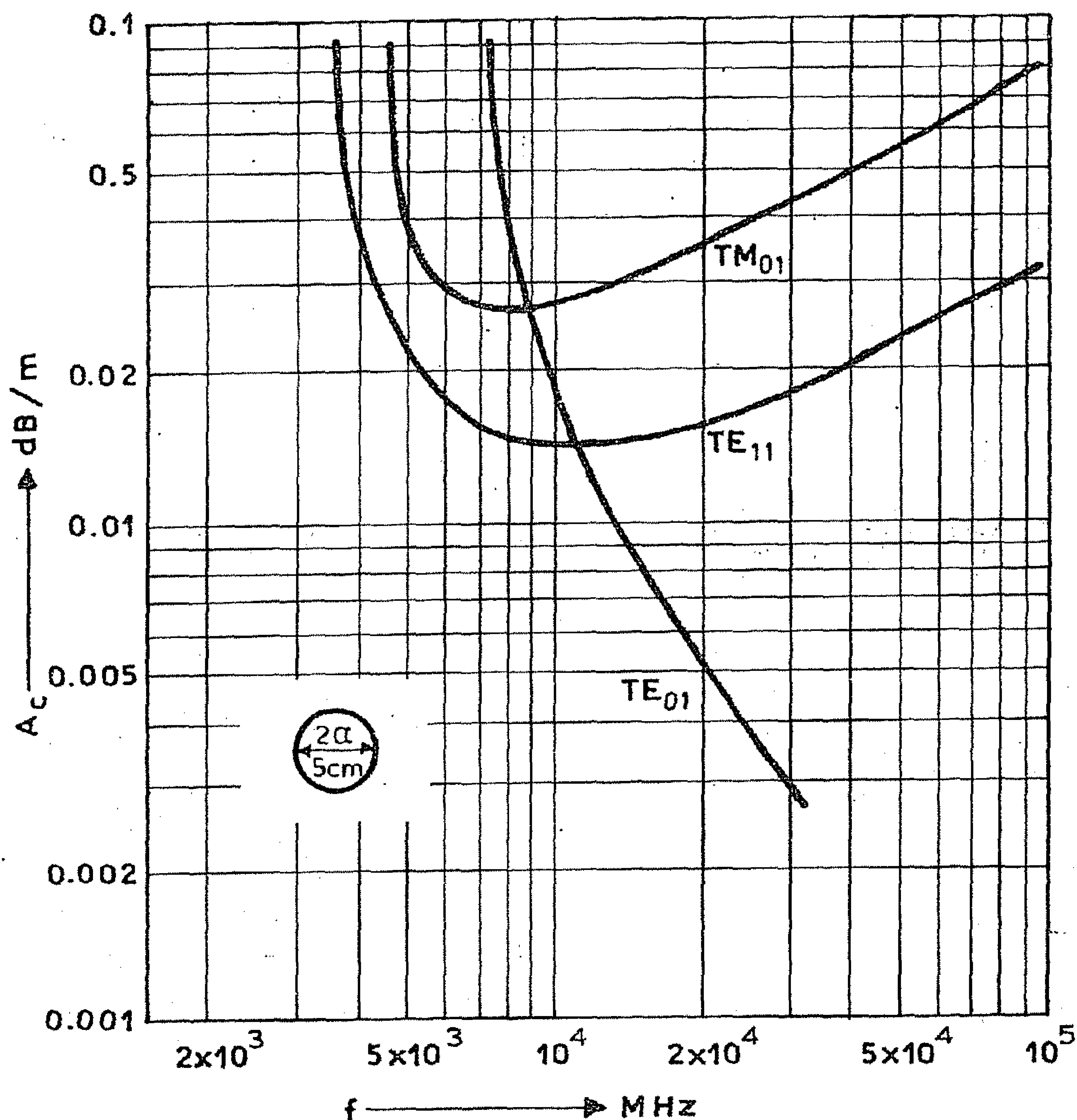
Όπως στον ορθογώνιο κυματοδηγό έτσι και στον κυκλικό η ξεασθένιση κατά τη διάδοση οφείλεται στην πεπερασμένη τιμή της ειδικής αγωγιμότητας του μετάλλου των τοιχωμάτων και στην κακή ποιότητα του διηλεκτρικού (μή τέλειο διηλεκτρικό). Ο συντελεστής ξεασθένισης  $\alpha_d$ , που οφείλεται στο δεύτερο παράγοντα, δίνεται κι' εδώ από τη σχέση (5-103):

$$\alpha_d = \frac{\sigma_d Z_d}{2\sqrt{1 - \left(\frac{f_{op}}{f}\right)^2}} \quad (5-103)$$

πού είναι κοινή για όλους τους κυματοδηγούς και όλους τους κυματικούς τύπους. Ο συντελεστής ξεασθένισης  $\alpha_c$  που οφείλεται στην πεπερασμένη αγωγιμότητα των τοιχωμάτων είναι για τους τύπους  $TM_{n1}$  και  $TE_{n1}$ , αντίστοιχα:

$$\alpha_{TM_{n1}} = \frac{R_s}{\alpha Z_d \sqrt{1 - \left(\frac{f_{op}}{f}\right)^2}} \quad (5-135)$$

$$\alpha_{TE_{n1}} = \frac{R_s}{\alpha Z_d \sqrt{1 - \left(\frac{f_{op}}{f}\right)^2}} \left[ \left(\frac{f_{op}}{f}\right)^2 + \frac{n^2}{p_{n1}^2 - n^2} \right] \quad (5-136)$$



Σχ. 5-7 Διάγραμμα της εξασθένησης ανά μονάδα μήκους  $A_c$  (dB/m) τριών κυματικών τύπων ενός κενού χάλκινου κυκλικού κυματοδηγού με διάμετρο 5 cm .

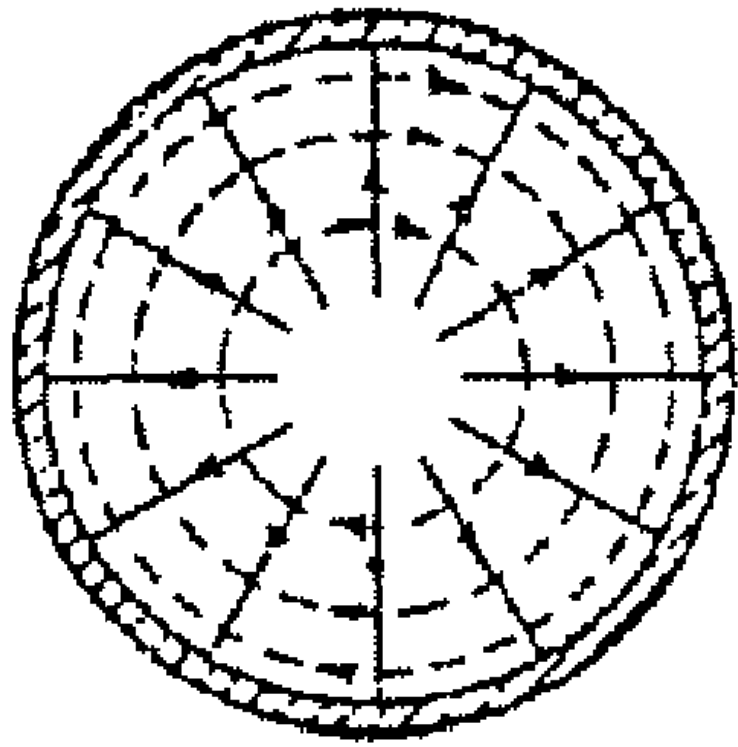
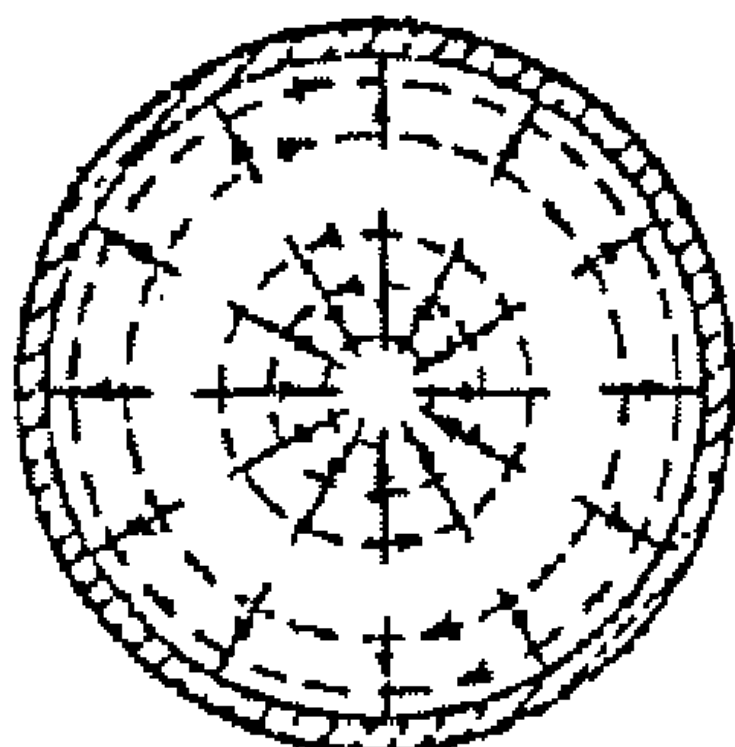
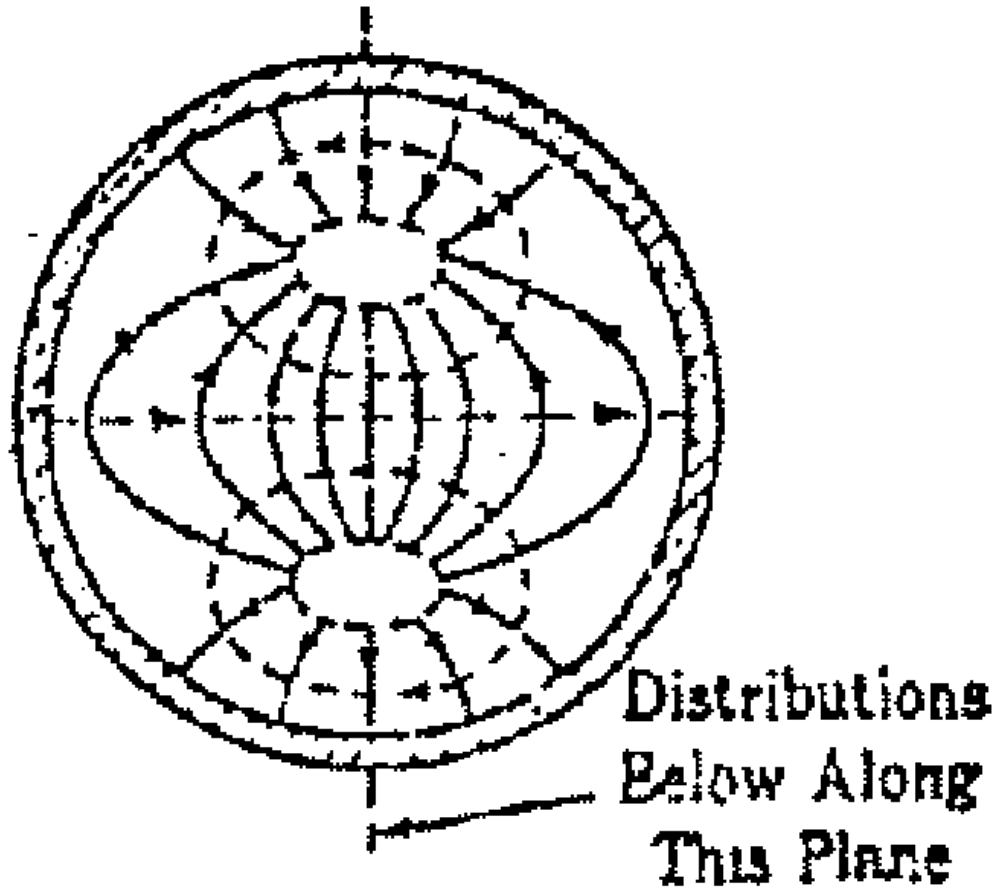
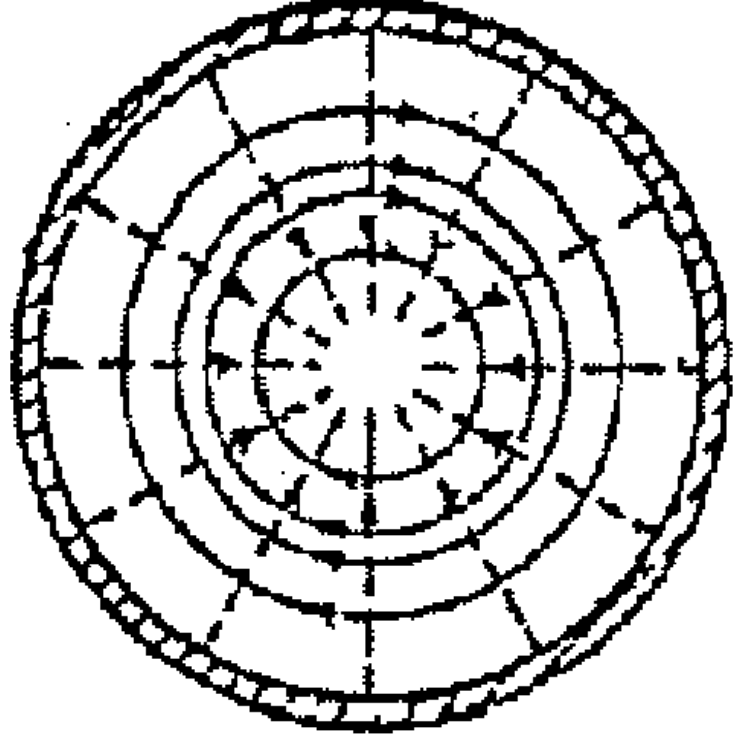
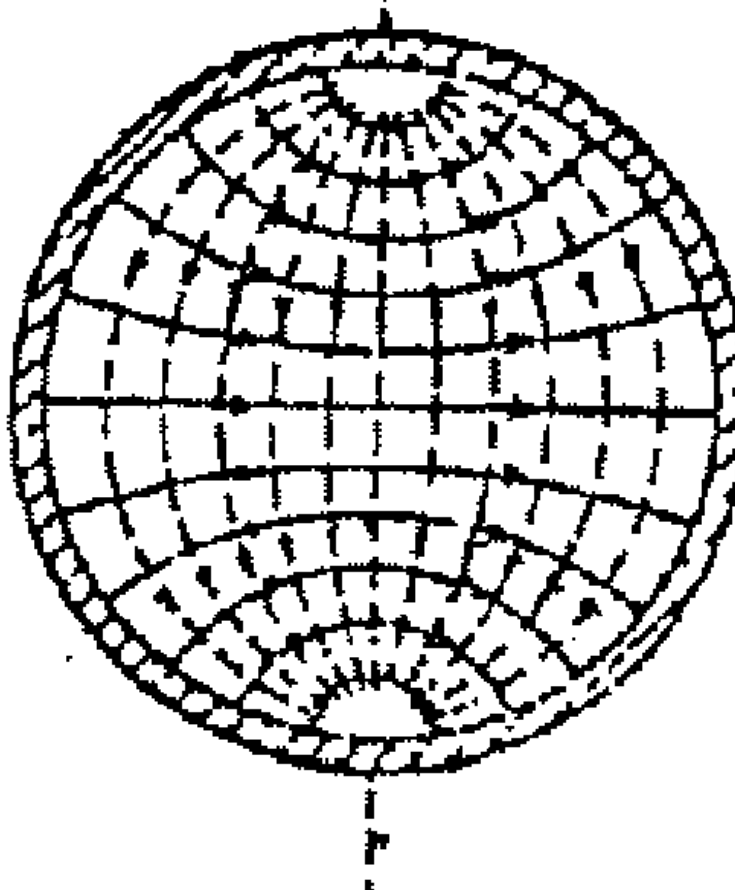
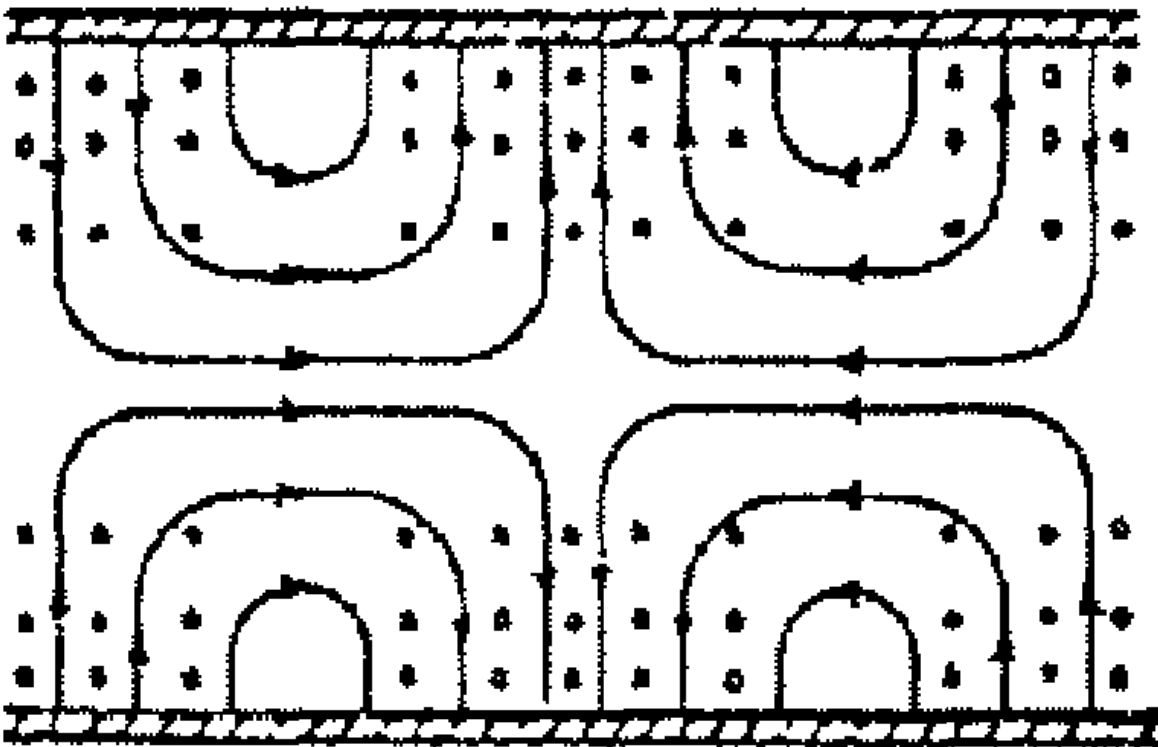
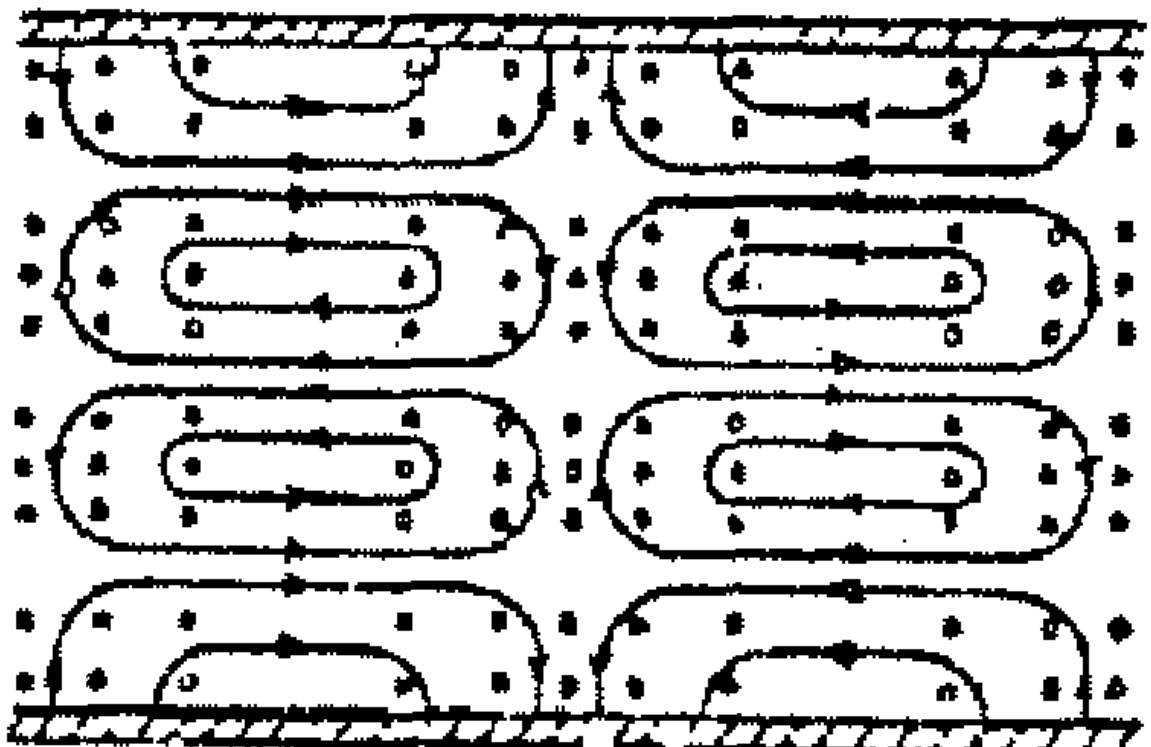
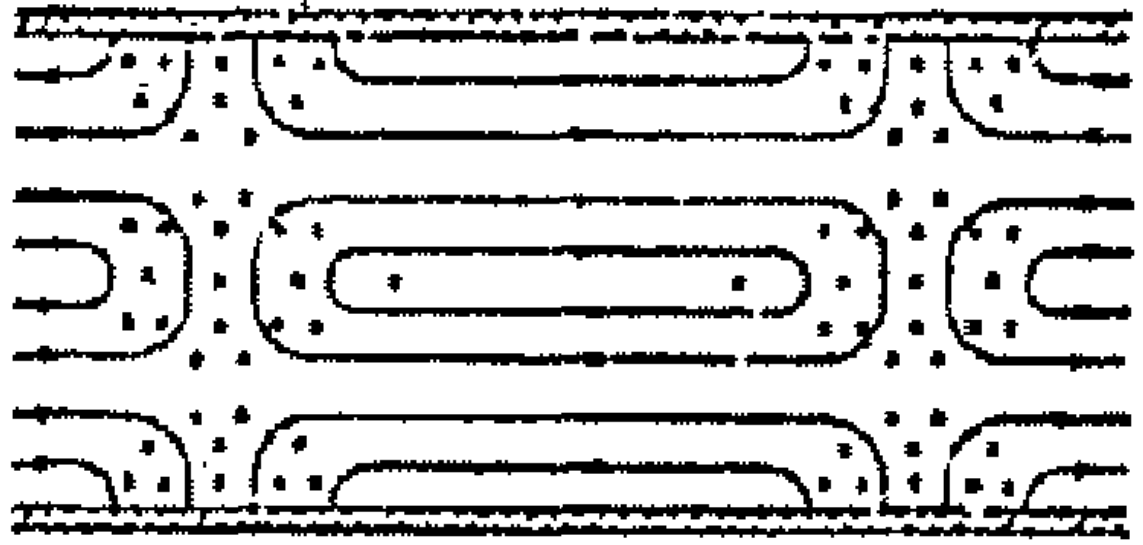
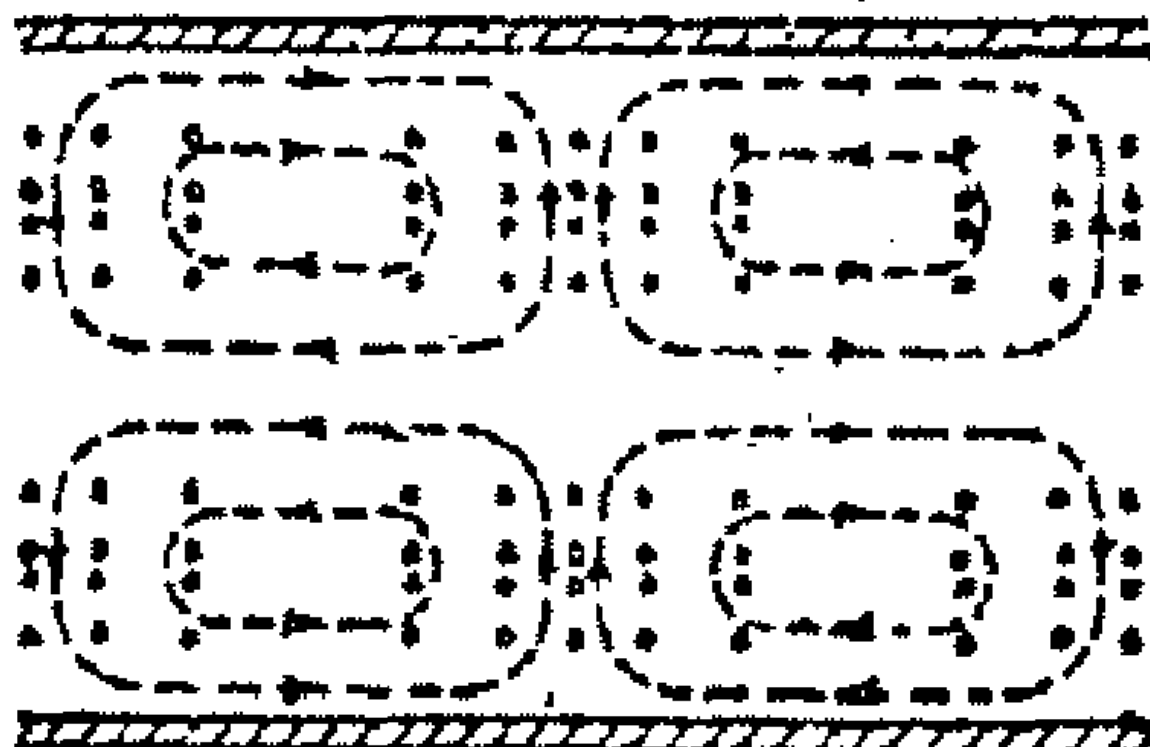
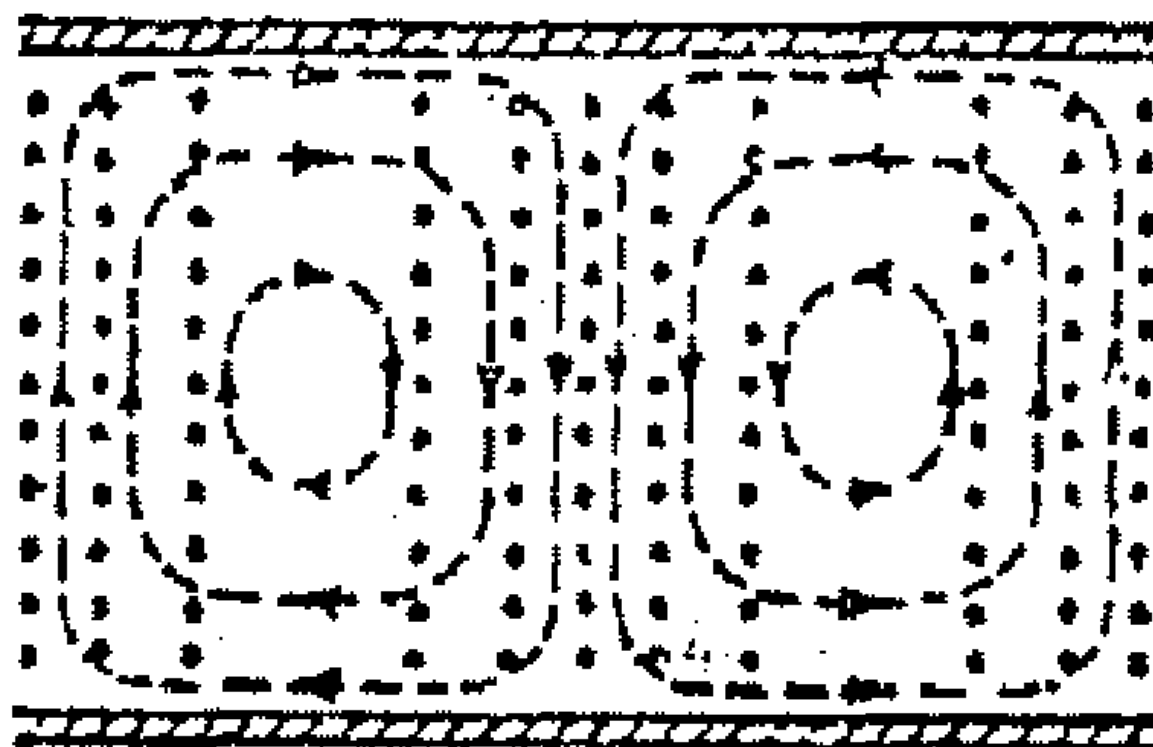
Στό σχήμα 5-7 δίνουμε τό διάγραμμα της εξασθένησης ανά μονάδα μήκους ( $A_c$ ) σέ συνάρτηση μέ τή συχνότητα ( $f$ ) γιά τούς τρεῖς πρώτους κυματικούς τύπους ενός κενού χάλκινου κυκλικού κυματοδηγού μέ διάμετρο 5 cm .

Παρατηροῦμε ὅτι ὁ  $TE_{01}$  , πάνω ἀπό 11 GHz (περίπου), ἐμφανίζει τή μικρότερη ἐξασθένηση, πού μάλιστα μικραίνει ὅσο μεγαλώνει ἡ συχνότητα. Αὐτός εἶναι ὁ λόγος, πού ὁ κυματικός αὐτός τύπος χρησιμοποιεῖται συχνά στήν πράξη.

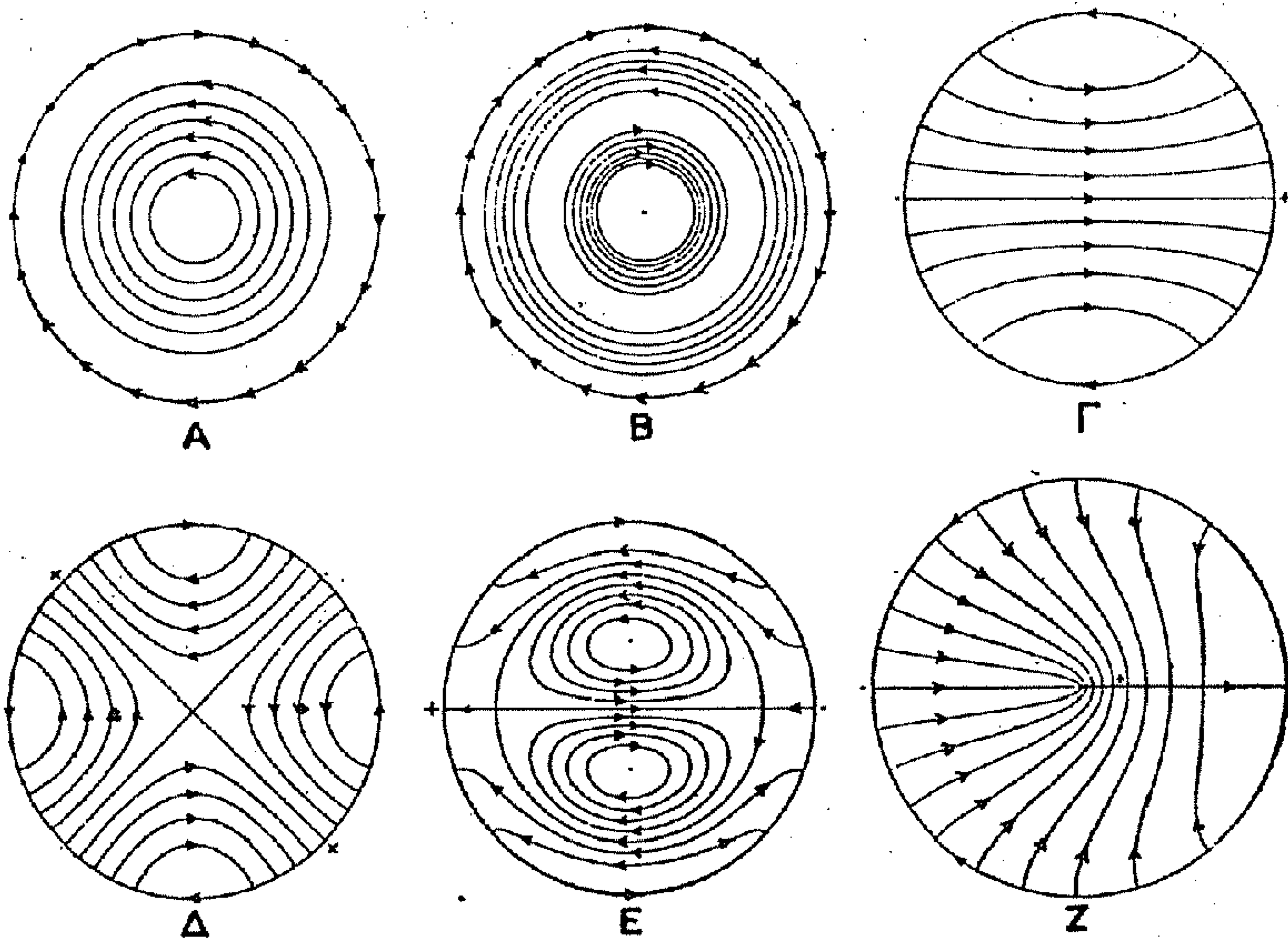


# ΠΙΝΑΚΑΣ 5-Π

Πεδιακή Κατανομή και Βασικά Στοιχεία  
μερικῶν Κυματικῶν Τύπων τοῦ Κυκλικοῦ Κυματοδηγοῦ

$TM_{01}$	$TM_{02}$	$TM_{11}$	$TE_{01}$	$TE_{11}$
				
				
$E_z, E_r, H_\phi \neq 0$	$E_z, E_r, H_\phi \neq 0$	$E_z, E_r, E_\phi, H_r, H_\phi \neq 0$	$H_z, H_r, E_\phi \neq 0$	$H_z, H_r, H_\phi, E_r, E_\phi \neq 0$
$p_{01} = 2,405$	$p_{02} = 5,52$	$p_{11} = 3,83$	$p'_{01} = 3,83$	$p'_{11} = 1,84$
$k_c = \frac{2,405}{a}$	$k_c = \frac{5,52}{a}$	$k_c = \frac{3,83}{a}$	$k_c = \frac{3,83}{a}$	$k_c = \frac{1,84}{a}$
$\lambda_{op} = 2,61a$	$\lambda_{op} = 1,14a$	$\lambda_{op} = 1,64a$	$\lambda_{op} = 1,64a$	$\lambda_{op} = 3,41a$
$f_{op} = \frac{0,383}{a\sqrt{\mu\epsilon}}$	$f_{op} = \frac{0,877}{a\sqrt{\mu\epsilon}}$	$f_{op} = \frac{0,609}{a\sqrt{\mu\epsilon}}$	$f_{op} = \frac{0,609}{a\sqrt{\mu\epsilon}}$	$f_{op} = \frac{0,293}{a\sqrt{\mu\epsilon}}$





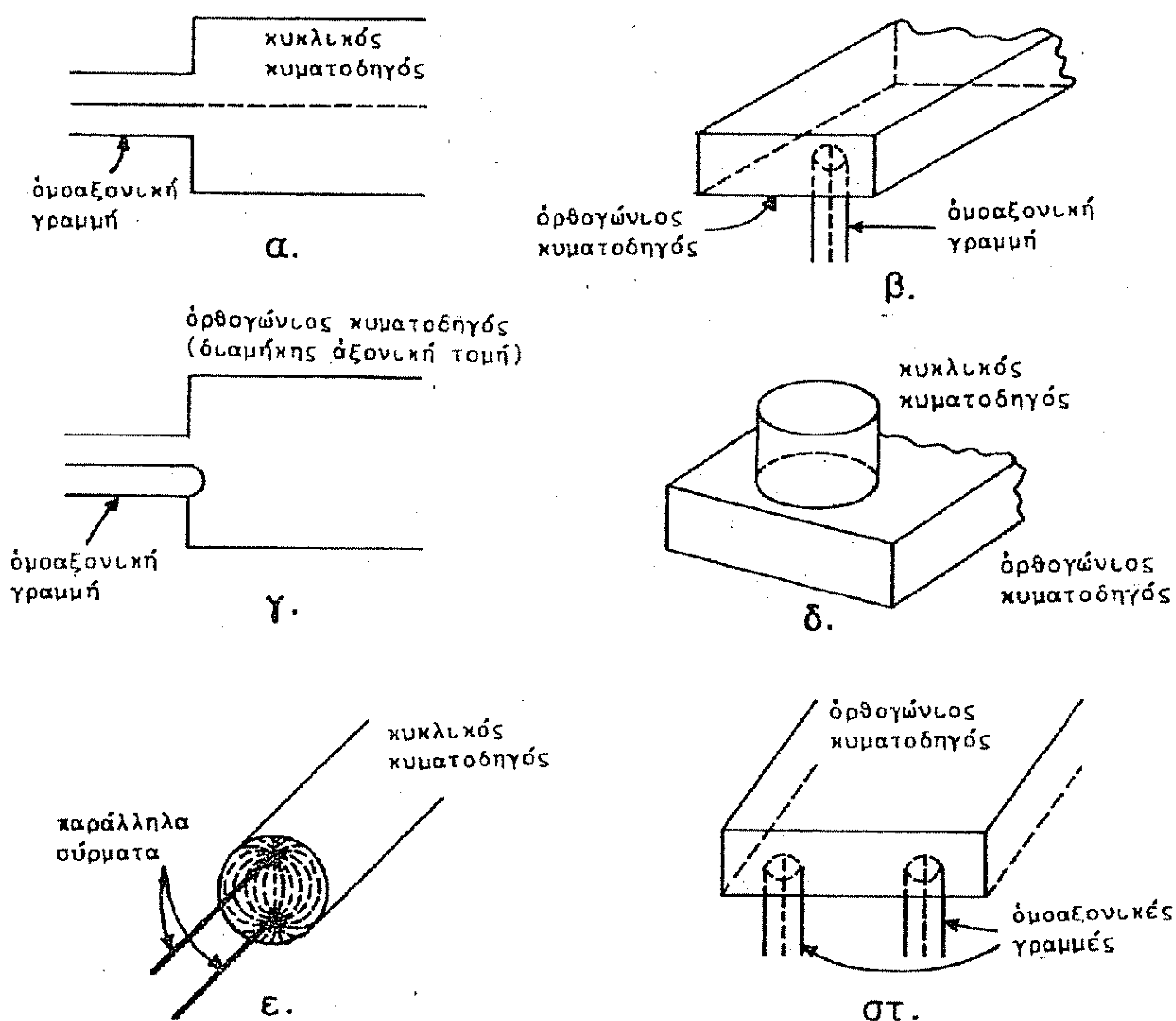
Κατανομή του ηλεκτρικού πεδίου σε όρισμένους κυματικούς τύπους TE κυκλικού κυματοδηγού. Η πυκνότητα των δυναμικών γραμμών δείχνει το πλάτος του ηλεκτρικού πεδίου.

A:	κυματικός τύπος	$TE_{01}$
B:	"	" $TE_{02}$
Γ:	"	" $TE_{11}$
Δ:	"	" $TE_{21}$
Ε:	"	" $TE_{12}$
Ζ:	"	" $TE_{1/2,1}$

έπισημαίνεται ότι η περίπτωση Ζ αντιστοιχεί στον " κλασματικό " κυματικό τύπο  $TE_{1/2,1}$

## 5.4. Τρόποι Διέγερσης και Λήψης του Σήματος στους Κυματοδηγούς.

Στό παρακάτω σχήμα δύνονται μερικοί τρόποι "διέγερσης" του κυματοδηγού, εισαγωγής δηλαδή του σήματος, που θέλουμε να κυματοδηγηθεῖ. Οι ἔδωτοι τρόποι ισχύουν αντίστροφα γιὰ τή λήψη του σήματος στό τέρμα του κυματοδηγού.



Σχ. 5-8

- α. Διέγερση του τύπου  $TM_{01}$  σέ κύκλικό κυματοδηγό  
 β. " " "  $TE_{10}$  σέ όρθογώνιο "  
 γ. " " "  $TE_{10}$  σέ " "  
 δ. Σύζευξη κυκλικού ( $TM_{01}$ ) καί όρθογώνιου ( $TE_{10}$ ) κυματ/γοῦ.  
 ε. Διέγερση του τύπου  $TM_{11}$  σέ κύκλικό κυματοδηγό  
 στ. " " "  $TE_{20}$  σέ όρθογώνιο "

## 5.5. Ήλεκτρομαγνητικά Άντηχεΐα.

Τά ήλεκτρομαγνητικά άντηχεΐα (resonant cavities ή cavity resonators) εΐναι επέκταση τών συντονιζόμενων κυκλωμάτων  $L - C$  στΐς πολύ ύψηλές ήλεκτρομαγνητικές συχνότητες καΐ εΐναι κλειστές κοιλότητες μέ άγώγιμα τοιχώματα.

Τά συνηθισμένα συντονιζόμενα κυκλώματα, μέ έντοπισμένες σταθερές  $L$  καΐ  $C$ , εΐναι άκατάλληλα γιά τΐς πολύ ύψηλές συχνότητες (π.χ. γιά μήκη κύματος  $\lambda < 1m$ ) έπειδή έχουν μεγάλες άπώλειες γιατί άκτινοβολοϋν ένέργεια στό γύρω χώρο καΐ γιατί ή άντιστάσή τους, λόγω τοϋ έπιδερμικοϋ φαινομένου, εΐναι πολύ μεγάλη, παράγοντες ποϋ όδηγοϋν στή μείωση τοϋ συντελεστή ποιότητας  $Q$ .

Μέ κατάλληλη διέγερση, μέσα στά ήλεκτρομαγνητικά άντηχεΐα αναπτύσσονται σ τ ά σ ι μ ο ι <sup>\*)</sup> κυματικ ο ύ τύποι (resonant modes), ποϋ εΐναι ανάλογοι μέ τά στάσιμα ήχητικά κύματα στά άκουστικά άντηχεΐα.

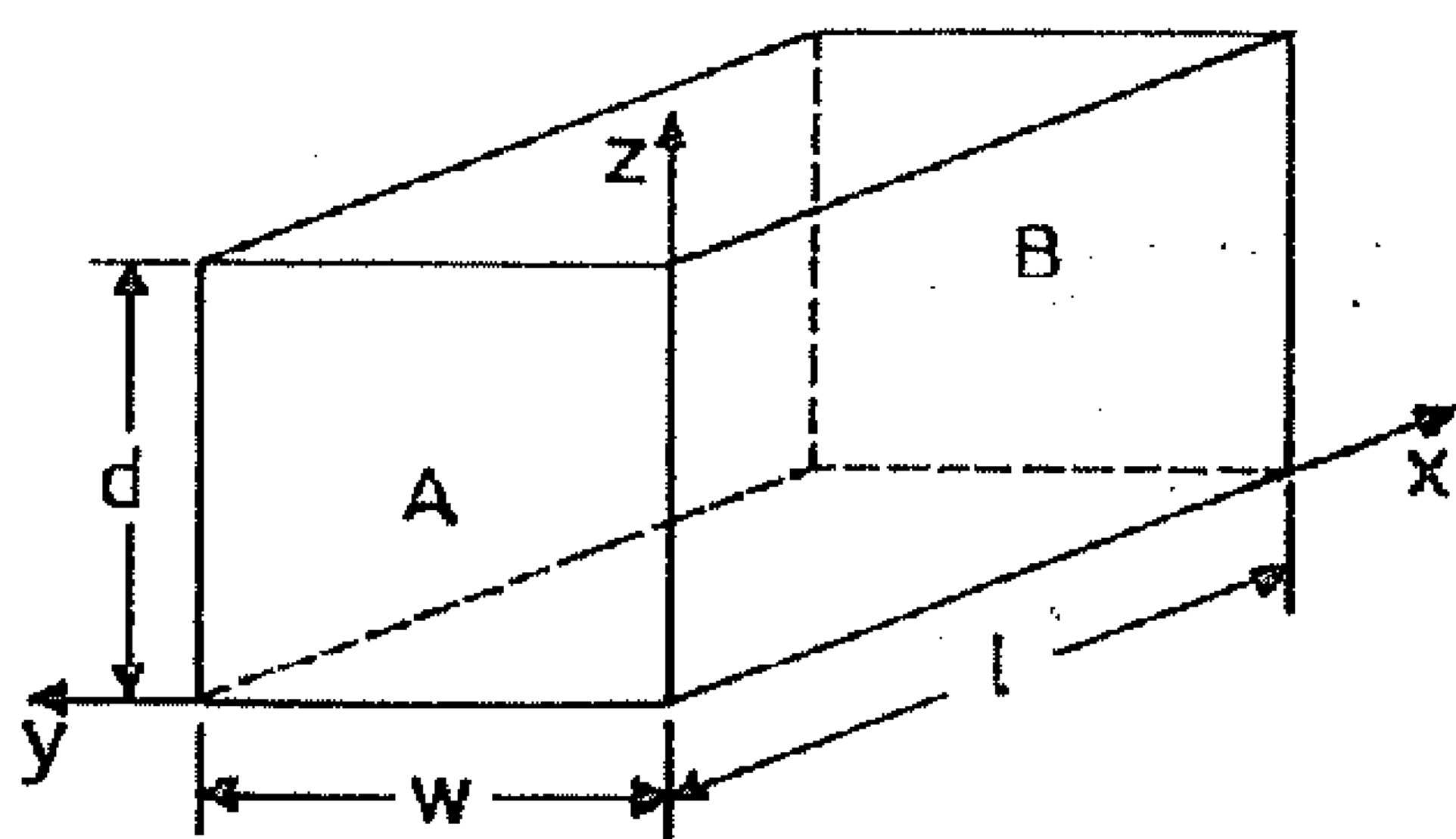
Παρακάτω θά μελετήσουμε τΐς πεδιακές κατανομές τών στάσιμων κυματικών τύπων μέσα στό όρθογώνιο ήλεκτρομαγνητικό άντηχεΐο καΐ στό κυκλικό κυλινδρικό άντηχεΐο.

### 5.5.1. Τό όρθογώνιο ήλεκτρομαγνητικό άντηχεΐο.

Θά μελετήσουμε τό όρθογώνιο ήλεκτρομαγνητικό άντηχεΐο σάν ένα κομμάτι όρθογώνιου κυματοδηγοϋ μέ μήκος  $l$ , ποϋ τό κλείνουμε στΐς δύο του άκρες μέ έπίπεδες άγώγιμες έδρες (βλ. σχ. 5-9)

Άς φανταστοϋμε , τώρα, έναν κυματικό τύπο ( $TE$  ή  $TM$ ), ποϋ δημιουργήθηκε μέ κάποιο τρόπο καΐ διαδύδεται κατά τή διεύθυνση  $+x$

<sup>\*)</sup> Σέ άντίθεση μέ τούς τ ρ έ χ ο ν τ ε ς κυματικούς τύπους, μέσα στους κυματοδηγούς.



Σκ. 5-9 Τό όρθογώνιο ήλεκτρομαγνητικό άν-  
τηχεύο είναι ένα κομμάτι από όρθογώνιο  
κυματοδηγό κλεισμένο στύς δύο του άκρες  
μέ δύο έπίκεδρες άγώγιμες έδρες Α και Β .

μέσα στό άντηχεύο. Τό κύμα αύ-  
τό, όταν φτάσει στην έδρα Β ,  
θά ύποστεϊ ανάκλαση. Τό προσ-  
πίπτον κύμα και τό άνακλώμενο  
συμβάλλουν και άν τό μήκος  $l$   
του άντηχεύου βρύσκεται σέ ό-  
ρισμένη σχέση μέ τό μήκος κύ-  
ματος  $\lambda_k$ , δημιουργοϋν στάσιμα  
κύματα.

### Στάσιμος κυματικός τύπος $TE_{mnp}$

"Ας ύποθέσουμε ότι τό άρχικό τρέχον κύμα είναι τοϋ τύπου  $TE_{mn}$   
δηλαδή περιγράφεται από τίς σχέσεις (5-57) ή τίς (5-69).

"Ωστε, μέσα στό όρθογώνιο άντηχεύο κάθε πεδιακή συνιστώσα θά εί-  
ναι ίση μέ τό άθροισμα μιās συνιστώσας, πού τρέχει πρός τό  $+x$   
και μιās άλλης, πού τρέχει πρός τό  $-x$ .

Από την πρώτη των (5-57), προκύπτει ότι ή συνιστώσα  $H_x$  τοϋ  
συνολικοϋ πεδίου θά είναι :

$$H_x = H_{xi} + H_{xr} \quad (5-137)$$

όπου  $H_{xi}$  και  $H_{xr}$  τό προσπίπτον και τό άνακλώμενο κύμα, άντίστοι-  
χα, και είναι :

$$H_{xi} = H_{oi} \cos k_y y \cos k_z z e^{j(\omega t - \beta x)} \quad (5-138)$$

$$H_{xr} = H_{or} \cos k_y y \cos k_z z e^{j(\omega t + \beta x)} \quad (5-139)$$

και  $k_y$  και  $k_z$  τά γνωστά μεγέθη . "Ωστε :

$$H_x = (H_{oi} e^{-j\beta x} + H_{or} e^{j\beta x}) \cos k_y y \cos k_z z e^{j\omega t} \quad (5-140)$$

Εφαρμόζοντας τήν όριακή συνθήκη  $H_x=0$  στις έδρες A και B, έχουμε:

$$H_x = H_0 \cos k_y y \cos k_z z \sin k_x x e^{j\omega t} \quad (5-141)$$

όπου ή  $H_0$  είναι μία μιγαδική, έν γένει, σταθερά και

$$k_x \equiv \beta = \frac{p\pi}{l}, \quad p = 0, 1, 2, \dots \quad (5-142)$$

Η (5-141) περιγράφει ένα στάσιμο κύμα, δηλ. μία άρμονική ταλάντωση, μέ χωρική κατανομή πλάτους, πού έξαρτάται από τά  $k_y$ ,  $k_z$  και  $k_x$  δηλ. από τήν τριάδα τών άκεραίων (m,n,p).

Μέ παρόμοια έργασία προσδιορίζουμε και τίς άλλες συνιστώσες, πού μαζί μέ τήν  $H_x$  περιγράφουν έντελώς τό ήλεκτρομαγνητικό πεδίο μέσα στό άντηχεύο, τό όποιο στήν περίπτωση αύτή λέγεται έγκάρσιος ή ηλεκτρικός στάσιμος κυματικός τύπος ( $TE_{mnp}$ ). Όλες οί συνιστώσες τοῦ τύπου αύτοῦ είναι :

$$\left. \begin{aligned} H_x &= H_0 \cos k_y y \cos k_z z \sin k_x x e^{j\omega t} \\ H_y &= -\frac{k_x k_y}{k_c^2} H_0 \sin k_y y \cos k_z z \cos k_x x e^{j\omega t} \\ H_z &= -\frac{k_x k_z}{k_c^2} H_0 \cos k_y y \sin k_z z \cos k_x x e^{j\omega t} \\ E_x &= 0 \\ E_y &= \frac{j\omega\mu k_z}{k_c^2} H_0 \cos k_y y \sin k_z z \sin k_x x e^{j\omega t} \\ E_z &= -\frac{j\omega\mu k_y}{k_c^2} H_0 \sin k_y y \cos k_z z \sin k_x x e^{j\omega t} \end{aligned} \right\} \quad (5-143)$$

όπου

$$k_y = \frac{m\pi}{w}, \quad m = 0, 1, 2, \dots \quad (5-144)$$

$$k_z = \frac{n\pi}{d}, \quad n = 0, 1, 2, \dots \quad (5-145)$$

$$k_x = \frac{p\pi}{l}, \quad p = 0, 1, 2, \dots \quad (5-146)$$

$$k_c^2 = k_y^2 + k_z^2 \quad (5-147)$$

και

$$\left(\frac{\omega}{U}\right)^2 = \left(\frac{2\pi}{\lambda}\right)^2 = k_y^2 + k_z^2 + k_x^2 \quad (5-148)$$

### Στάσιμος κυματικός τύπος $TM_{mnp}$

Μέ παρόμοιο τρόπο, συνθέτοντας δύο τρέχοντα κύματα τύπου  $TM_{mn}$ , μπορούμε να προσδιορίσουμε τις συνιστώσες του έ γ κ ά ρ-  
σ ι ο υ μ α γ ν η τ ι κ ο ũ κ υ μ α τ ι κ ο ũ τύπου ( $TM_{mnp}$ )  
Οι συνιστώσες αυτές είναι :

$$\left. \begin{aligned} E_x &= E_0 \sin k_y y \sin k_z z \cos k_x x e^{j\omega t} \\ E_y &= -\frac{k_x k_y}{k_c^2} E_0 \cos k_y y \sin k_z z \sin k_x x e^{j\omega t} \\ E_z &= -\frac{k_x k_z}{k_c^2} E_0 \sin k_y y \cos k_z z \sin k_x x e^{j\omega t} \\ H_x &= 0 \\ H_y &= \frac{j\omega \epsilon k_z}{k_c^2} E_0 \sin k_y y \cos k_z z \cos k_x x e^{j\omega t} \\ H_z &= -\frac{j\omega \epsilon k_y}{k_c^2} E_0 \cos k_y y \sin k_z z \cos k_x x e^{j\omega t} \end{aligned} \right\} \quad (5-149)$$

όπου τά  $k_x$ ,  $k_y$ ,  $k_z$  καί  $k_c$  είναι τά μεγέθη τῶν σχέσεων (5-144) ἔως (5-148) .

### Π α ρ α τ η ρ ῆ σ ε ι ς

• Όπως είναι γνωστό, ἂν  $\lambda_k$  είναι τό μήκος τοῦ τρέχοντος κύματος μέσα στόν κυματοδηγό ἰσχύει ἡ σχέση :

$$\beta = \frac{2\pi}{\lambda_k} \quad \text{ἢ} \quad k_x = \frac{2\pi}{\lambda_k} \quad (5-150)$$

Ὡστε, ἐξαιτίας καί τῆς (5-146), είναι:

$$\frac{2\pi}{\lambda_k} = \frac{p\pi}{l}$$

ἢ

$$l = p \frac{\lambda_k}{2}$$

(5-151)

Ἡ σχέση αὐτή, ὅπως βλέπουμε, είναι ἴδια μέ τή συνθήκη στάσιμων κυμάτων σέ κλειστό ἡχητικό σωλήνα.

• Οἱ σχέσεις (5-143) καί (5-149) περιγράφουν στάσιμα ἠλεκτρομαγνητικά κύματα . Ἡ κυκλική τους συχνότητα  $\omega$  καθορίζεται ἀπό τήν ἐξίσωση (5-148) πού γράφεται :

$$\frac{\omega^2}{v^2} = \left(\frac{m\pi}{w}\right)^2 + \left(\frac{n\pi}{d}\right)^2 + \left(\frac{p\pi}{l}\right)^2 \quad (5-152)$$

δηλαδή ἀπό τίς διαστάσεις τοῦ ὀρθογώνιου ἀντηχείου καί ἀπό τοὺς ἀκεραίους  $m, n, p$ , πού καθορίζουν τήν τάξη τοῦ στάσιμου κυματικοῦ τύπου. Οἱ κυματικοί τύποι μέ μεγαλύτερη τάξη ἔχουν καί μεγαλύτερες συχνότητες συντονισμοῦ. Ἡ (5-152) ὁδηγεῖ στό μήκος κύματος συντονισμοῦ ἢ στή συχνότητα συντονισμοῦ:

$$\frac{1}{\lambda_{mnp}} = \sqrt{\left(\frac{m}{2w}\right)^2 + \left(\frac{n}{2d}\right)^2 + \left(\frac{p}{2l}\right)^2}$$



$$f_{mnp} = \frac{1}{2\pi} \sqrt{\frac{\left(\frac{m\pi}{w}\right)^2 + \left(\frac{n\pi}{d}\right)^2 + \left(\frac{p\pi}{l}\right)^2}{\epsilon\mu}} \quad (5-153)$$

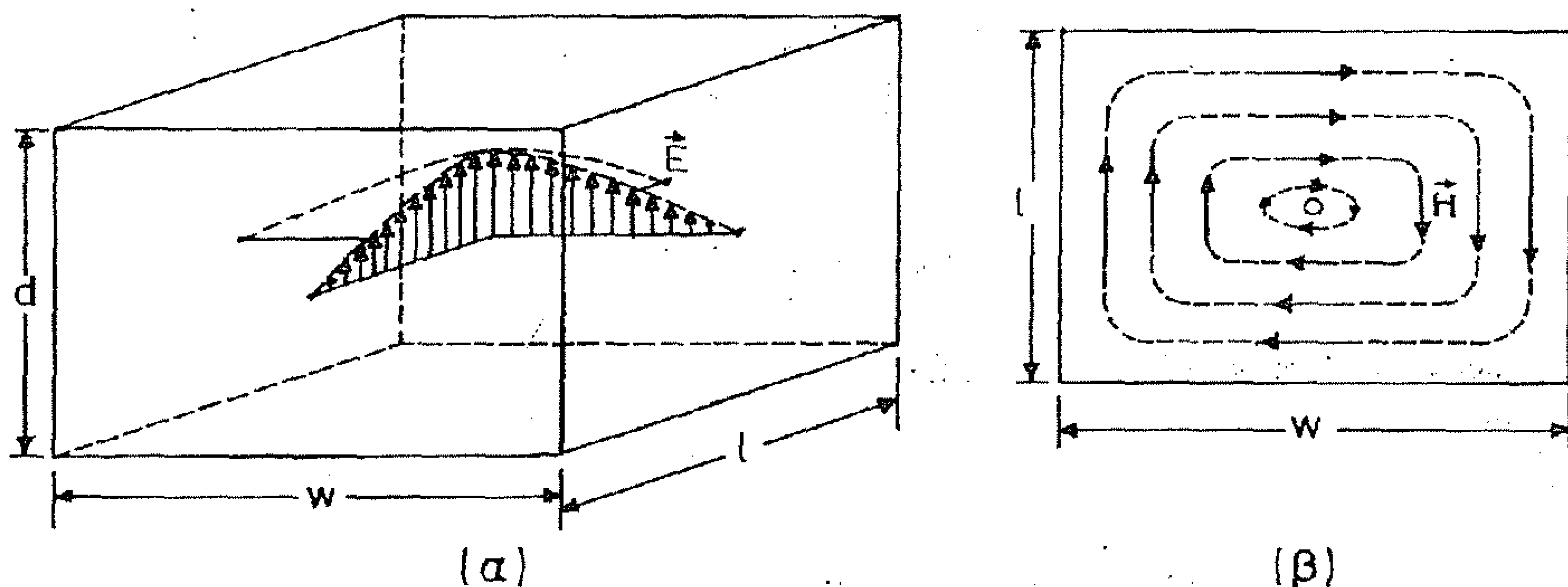
• Οἱ κυματικοὶ τύποι  $TE_{mnp}$  καὶ  $TM_{mnp}$ , μέ τις ἕδρες τιμές ἀκεραίων  $m, n$  καὶ  $p$ , παρόλο πού ἔχουν διαφορετικές πεδιακές κατανομές ἔχουν τις ἕδρες συχνότητες συντονισμοῦ. Τέτοιοι κυματικοὶ τύποι, λέγονται ἐκφυλισμένοι τύποι (degenerate modes). Ἐκφυλισμός συμβαίνει καὶ μέσα στήν ἕδρα κατηγορία, λόγου χάρη τήν  $TE$ , ὅταν δύο ἢ καὶ ὅλες οἱ διαστάσεις τοῦ ἀντηχείου εἶναι ἴσες.

Ὁ στάσιμος κυματικός τύπος  $TE_{101}$  σέ ὀρθογώνιο ἀντηχεῖο

Ὁ τύπος αὐτός, εἶναι ὁ ἀπλούστερος στάσιμος κυματικός τύπος τοῦ ὀρθογώνιου ἀντηχείου καὶ περιγράφεται ἀπό τις παρακάτω ἐξισώσεις, πού εἶναι μερική περίπτωση τῶν (5-143) γιά  $m=1$ ,  $n=0$  καὶ  $p=1$ :

$$\left. \begin{aligned} H_x &= H_0 \cos \frac{\pi y}{w} \sin \frac{\pi x}{l} e^{j\omega t} \\ H_y &= -\frac{w}{l} H_0 \sin \frac{\pi y}{w} \cos \frac{\pi x}{l} e^{j\omega t} \\ H_z &= 0 \\ E_x &= E_y = 0 \\ E_z &= -\frac{j\omega\mu w H_0}{\pi} \sin \frac{\pi y}{w} \sin \frac{\pi x}{l} e^{j\omega t} \end{aligned} \right\} \quad (5-154)$$

Στό σχ. 5-10 φαίνονται δύο παραστατικές όψεις της πεδιακής κατανόμης του στάσιμου κυματικού τύπου  $TE_{101}$  μέσα στο όρθογώνιο ηλεκτρομαγνητικό άντηχεῖο.



Σχ. 5-10 Τό ηλεκτρικό (α) καὶ τό μαγνητικό (β) πεδίο τοῦ στάσιμου κυματικοῦ τύπου  $TE_{101}$  στό ὀρθογώνιο ηλεκτρομαγνητικό άντηχεῖο.

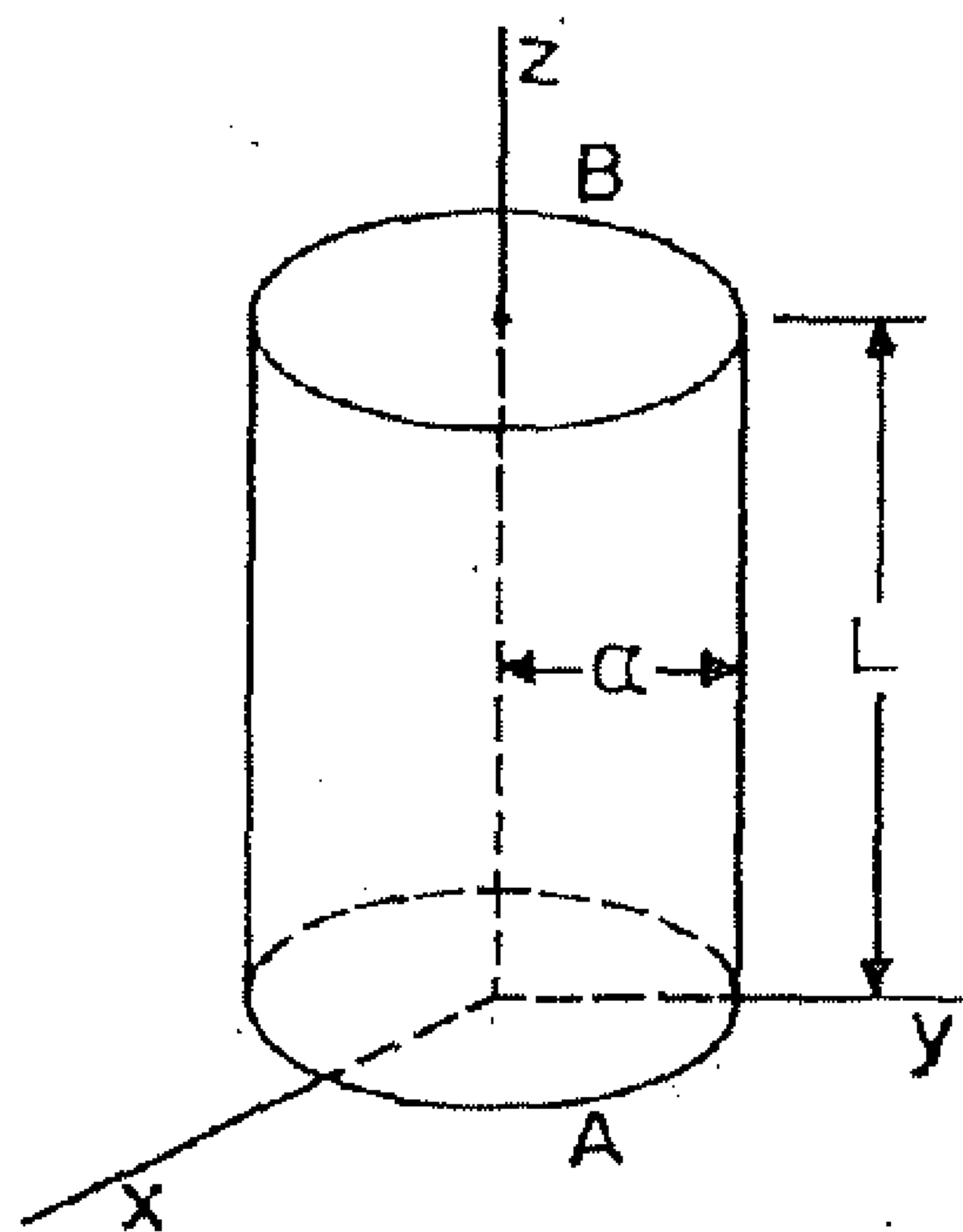
### 5.5.2. Τό κυκλικό κυλινδρικό ηλεκτρομαγνητικό άντηχεῖο.

Θά μελετήσουμε καὶ τό κυκλικό κυλινδρικό ηλεκτρομαγνητικό άντηχεῖο, σάν ἓνα κομμάτι ἀπό κυκλικό κυλινδρικό κυματοδηγό, πού τό ἔχουμε σφραγίσει στίς δύο τοῦ ἄκρες μέ ἐπίπεδες ἀγωγίμες βάσεις (βλ.σχ. 5-11) .

#### Στάσιμος κυματικός τύπος $TE_{n1q}$

Ἄς φανταστοῦμε μέσα στό άντηχεῖο ἓνα τρέχον κύμα τοῦ τύπου  $TE_{n1}$  ,

ἓνα κύμα δηλαδή, πού περιγράφεται ἀπό τίς ἐξισώσεις τῆς δεξιάς στήλης τοῦ πύνακα 5-Ι .



Σχ. 5-11 Τό κυκλικό κυλινδρικό ηλεκτρομαγνητικό άντηχεῖο εἶναι ἓνα κομμάτι ἀπό κυκλικό κυλινδρικό κυματοδηγό κλεισμένο στίς δύο τοῦ ἄκρες μέ δύο ἐπίπεδες ἀγωγίμες ἑδρες Α καὶ Β.

Τό ανακλώμενο στη βάση Β κύμα συμβάλλει με τό άρχικό καί σχηματίζει στάσιμο κύμα. Έτσι για τή συνιστώσα  $H_z$  θα έχουμε:

$$H_z = H_{zi} + H_{zr} \quad (5-155)$$

όπου

$$H_{zi} = H_{oi} J_n(k_c \rho) \cos n\varphi e^{j(\omega t - \beta z)} \quad (5-156)$$

$$H_{zr} = H_{or} J_n(k_c \rho) \cos n\varphi e^{j(\omega t + \beta z)} \quad (5-157)$$

τό προσπίπτον καί τό ανακλώμενο κύμα, αντίστοιχα.

Άστε :

$$H_z = (H_{oi} e^{-j\beta z} + H_{or} e^{j\beta z}) J_n(k_c \rho) \cos n\varphi e^{j\omega t} \quad (5-158)$$

Εφαρμόζοντας στην (5-158) τήν όριακή συνθήκη  $H_z = 0$  πάνω στις έδρες Α καί Β καταλήγουμε στη σχέση :

$$H_z = H_o J_n(k_c \rho) \cos n\varphi \sin k_z z e^{j\omega t} \quad (5-159)$$

όπου ή  $H_o$  είναι μία μιγαδική, έν γένει, σταθερά καί

$$k_z \equiv \beta = \frac{q\pi}{L}, \quad q = 0, 1, 2, \dots \quad (5-160)$$

Μεί παρόμοια έργασία προσδιορίζονται καί οι υπόλοιπες συνιστώσες τοῦ στάσιμου κυματικού τύπου  $TE_{n1q}$ . Όλες οι συνιστώσες τοῦ τύπου αὐτοῦ είναι:

$$\left. \begin{aligned} H_\rho &= \frac{-jk_z H_o}{k_c} J_n'(k_c \rho) \cos n\varphi \sin k_z z e^{j\omega t} \\ H_\varphi &= -\frac{nk_z}{k_c^2 \rho} H_o J_n(k_c \rho) \sin n\varphi \cos k_z z e^{j\omega t} \end{aligned} \right\} \quad (5-161)$$

$$\begin{aligned}
 H_z &= H_0 J_n(k_c \rho) \cos n\varphi \sin k_z z e^{j\omega t} \\
 E_\rho &= \frac{j\omega\mu n}{k_c^2 \rho} H_0 J_n(k_c \rho) \sin n\varphi \sin k_z z e^{j\omega t} \\
 E_\varphi &= \frac{j\omega\mu}{k_c} H_0 J_n'(k_c \rho) \cos n\varphi \sin k_z z e^{j\omega t} \\
 E_z &= 0
 \end{aligned}
 \tag{5-161}$$

όπου  $k_c = \frac{p'_{nl}}{\alpha}$ ,  $p'_{nl}$  ή 1 τάξης ρίζα της  $J'_n(u)$  (5-162)

$k_z = \frac{q\pi}{L}$ ,  $q = 0, 1, 2, \dots$  (5-163)

καί

$$\left(\frac{\omega}{v}\right)^2 = \left(\frac{2\pi}{\lambda}\right)^2 = k_c^2 + k_z^2 \tag{5-164}$$

Οι σχέσεις (5-161) περιγράφουν στάσιμα ηλεκτρομαγνητικά κύματα, πού ή κυκλική τους συχνότητα  $\omega$  καθορίζεται από την (5-164) δηλ. από τις διαστάσεις του άντηχείου καί από τούς άκεραίους  $n$ ,  $l$ , καί  $q$ , πού καθορίζουν την τάξη του στάσιμου κυματικού τύπου. Η (5-164) οδηγεί στό μήκος κύματος συντονισμού καί ή συχνότητα συντονισμού :

$$\frac{1}{\lambda'_{nlq}} = \sqrt{\left(\frac{p'_{nl}}{2\pi\alpha}\right)^2 + \left(\frac{q}{2L}\right)^2} \quad \eta \quad f'_{nlq} = \frac{1}{2\pi} \sqrt{\frac{\left(\frac{p'_{nl}}{\alpha}\right)^2 + \left(\frac{q\pi}{L}\right)^2}{\epsilon\mu}} \tag{5-165}$$

### Στάσιμος κυματικός τύπος $TM_{nlq}$

Μέ παρόμοιο τρόπο, συνθέτοντας δύο τρέχοντα κύματα του τύπου  $TM_{nl}$ , μπορούμε νά προσδιορίσουμε τις συνιστώσες του στάσιμου κυματικού τύπου  $TM_{nlq}$ . Οι συνιστώσες αυτές είναι :

$$\left. \begin{aligned}
 E_\rho &= -\frac{k_z}{k_c} E_0 J_n'(k_c \rho) \cos n\varphi \sin k_z z e^{j\omega t} \\
 E_\varphi &= \frac{nk_z}{k_c^2 \rho} E_0 J_n(k_c \rho) \sin n\varphi \sin k_z z e^{j\omega t} \\
 E_z &= E_0 J_n(k_c \rho) \cos n\varphi \cos k_z z e^{j\omega t} \\
 H_\rho &= -\frac{j\omega \epsilon n}{k_c^2 \rho} E_0 J_n(k_c \rho) \sin n\varphi \cos k_z z e^{j\omega t} \\
 H_\varphi &= -\frac{j\omega \epsilon}{k_c} E_0 J_n'(k_c \rho) \cos n\varphi \cos k_z z e^{j\omega t} \\
 H_z &= 0
 \end{aligned} \right\} \quad (5-166)$$

$$\text{όπου} \quad k_c = \frac{p_{nl}}{\alpha}, \quad p_{nl} \text{ ή } l \text{ τάξης ρίζα της } J_n(u) \quad (5-167)$$

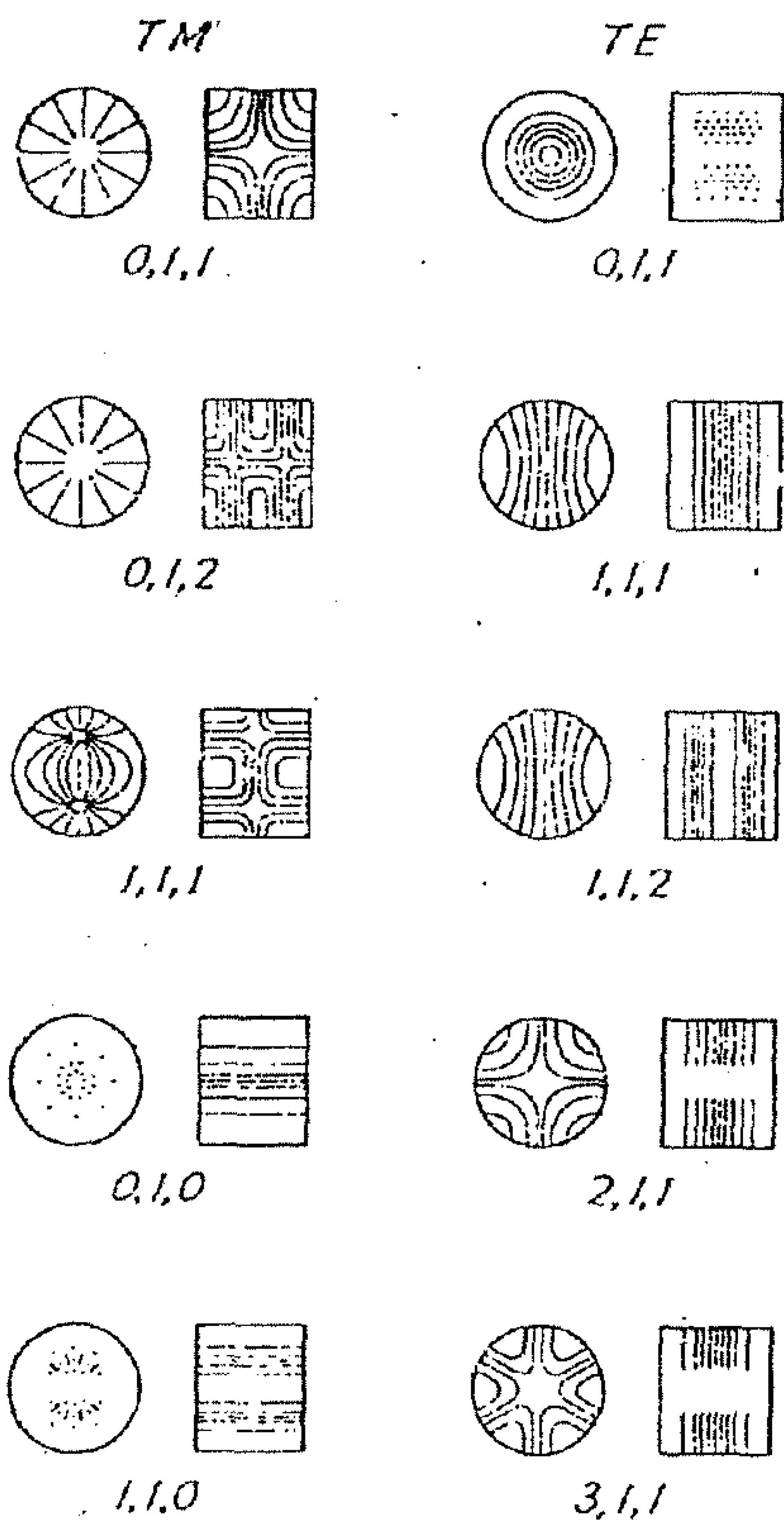
$$k_z = \frac{q\pi}{L}, \quad q = 0, 1, 2, \dots \quad (5-168)$$

$$\text{καί} \quad \left(\frac{\omega}{u}\right)^2 = \left(\frac{2\pi}{\lambda}\right)^2 = k_c^2 + k_z^2 \quad (5-169)$$

Οι σχέσεις (5-166) περιγράφουν στάσιμα ηλεκτρομαγνητικά κύματα, πού η κυκλική τους συχνότητα  $\omega$  καθορίζεται από την (5-169) δηλ. από τις διαστάσεις του άντηχέου και από την τριάδα των άκεραίων  $(n, l, q)$  πού καθορίζουν την τάξη του στάσιμου κυματικού τύπου. Η (5-169) οδηγεί στο μήκος κύματος συντονισμού και στη συχνότητα συντονισμού :

$$\frac{1}{\lambda_{nlq}} = \sqrt{\left(\frac{p_{nl}}{2\pi\alpha}\right)^2 + \left(\frac{q}{2L}\right)^2} \quad \text{ή} \quad f_{nlq} = \frac{1}{2\pi} \sqrt{\frac{\left(\frac{p_{nl}}{\alpha}\right)^2 + \left(\frac{q\pi}{L}\right)^2}{\epsilon\mu}} \quad (5-170)$$

Στό σχ. 5-12 φαίνεται ή κατανομή τοῦ ήλεκτρικοῦ πεδίου για όρισμένους κυματικούς τύπους  $TM_{n1q}$  καί  $TE_{n1q}$  τοῦ κυλινδρικοῦ ἀντηχεῖου.

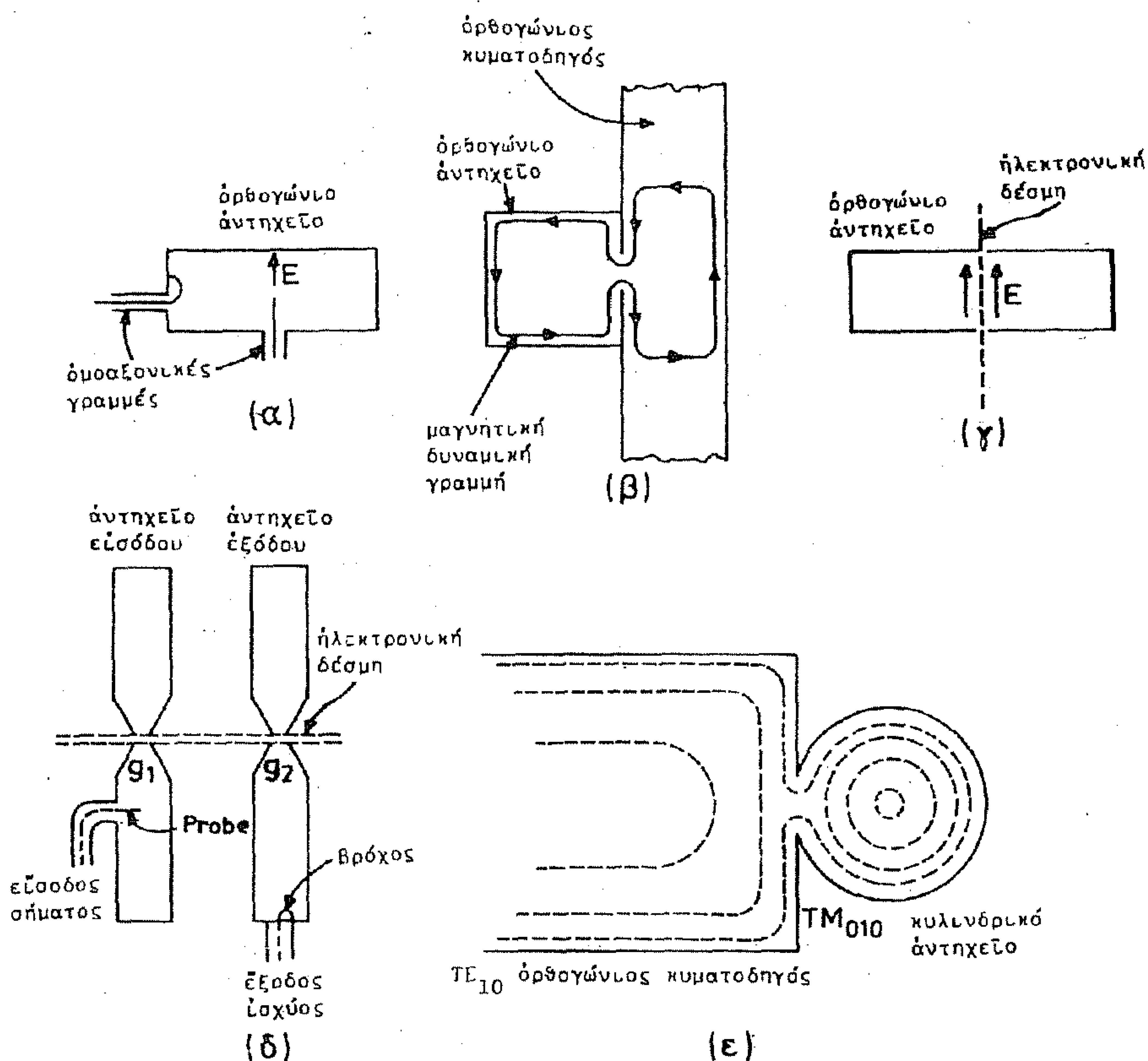


Σχ. 5-12 Κατανομή τοῦ ήλεκτρικοῦ πεδίου για όρισμένους κυματικούς τύπους  $TM_{n1q}$  καί  $TE_{n1q}$  σέ ένα κυλινδρικό ήλεκτρομαγνητικό ἀντηχεῖο .

### 5.5.3. Σύζευξη άντηχείου με γραμμή μεταφοράς.

Ένα σοβαρό πρακτικό πρόβλημα είναι η προσφορά ή η άπαγωγή ενέργειας από ένα ηλεκτρομαγνητικό άντηχεύο.

Στό σχ. 5-13 φαίνονται μερικοί τρόποι συζεύξεως όρθογώνιων καύ κυλινδρικών άντηχείων με όμοαξονική γραμμή, με κυματοδηγό καύ με ηλεκτρονική δέσμη.



Σχ. 5-13 Τυπικές περιπτώσεις συζεύξεως άντηχείου με όμοαξονική γραμμή, με κυματοδηγό καύ με ηλεκτρονική δέσμη.

Ειδικότερα φαίνεται η σύζευξη όρθογώνιου ηλεκτρομαγνητικού άντηχείου με όμοαξονική γραμμή (σχ. 5-13α), με όρθογώνιο κυλινδρικό άντηχεύο με όμοαξονική γραμμή (σχ. 5-13β), με ηλεκτρονική δέσμη (σχ. 5-13γ), με ηλεκτρονική δέσμη (σχ. 5-13δ), με ηλεκτρονική δέσμη (σχ. 5-13ε).



τοδηγό (σχ. 5-13β) και μέ ηλεκτρονική δέσμη (σχ. 5-13γ).

Στό σχ. 5-13δ φαίνεται, εξάλλου, ή σύζευξη τών άντηχείων ένισχύ-  
τριας λυχνίας Klystron μέ τήν ηλεκτρονική δέσμη και μέ τίσ όμο-  
αξονικές γραμμές είσόδου και έξόδου.

Τέλος στό σχ. 5-13ε ύποδείχνεται ό τρόπος προσαρμογής τοϋ  
τύπου  $TE_{10}$  όρθογώνιου κυματοδηγοϋ μέ τόν τύπο  $TM_{010}$  ενός κυλιν-  
δρικοϋ άντηχείου .

## 6. ΔΙΑΔΟΣΗ ΜΕΣΑ ΣΕ ΙΟΝΙΣΜΕΝΟ ΜΕΣΟ.

### (Μελέτη Επίπεδου Κύματος σέ Ίονισμένο Μέσο)

Στά προηγούμενα (Κεφ. 3.5) μελετήσαμε τή διάδοση επίπεδου κύματος σέ άγώγιμο μέσο. Στο κεφάλαιο αυτό θά εξετάσουμε τή διάδοση μέσα σέ ίονισμένο μέσο (π.χ. άέριο πλάσμα). Παρά τό ότι τό ίονισμένο μέσο μπορεί νά καταταγεϊ στους καλούς άγωγούς, δέν είναι δυνατή ή παραδοχή ότι σ >> ωε, καί έπομένως ή προηγούμενη μελέτη δέν εφαρμόζεται. Έπιπλέον, τό ίονισμένο μέσο γίνεται ά ν ι σ ό τ ρ ο π ο όταν υπάρχει έξωτερικό μαγνητικό πεδίο  $\vec{B}$ , γιατί τότε τό ύλικό αποκτά μία "προεξάρχουσα" κατεύθυνση καί έμφανίζει διαφορετικά χαρακτηριστικά διάδοσης πρός διαφορετικές διευθύνσεις.

Έπομένως είναι αναγκαία μία πιο γενική μελέτη τής διάδοσης του έπίπεδου κύματος σέ ένα τέτοιο μέσο παρουσία μαγνητικού πεδίου.

#### 6.1. Τανυστές τής Εύκνησίας καί τής Ειδικής Άγωγιμότητας του Ίονισμένου Μέσου Παρουσία Μαγν. Πεδίου.

"Ένα " ούδέτερο " άέριο πλάσμα αποτελείται από θετικά καί άρνητικά ιόντα μέ ίσα όλικά φορτία. Για τήν απλότητα θά τό θεωρήσουμε ότι αποτελείται από ήλεκτρόνια καί θετικά ιόντα μέ πολύ μικρή θερμική διαταραχή (ψυχρό πλάσμα) καί χωρίς σημαντικές αλληλεπιδράσεις μεταξύ των ιόντων (άραιό πλάσμα).

Έπειδή τά θετικά ιόντα είναι δυσκίνητα σέ σύγκριση μέ τά ήλεκτρόνια μπορούμε νά θεωρήσουμε τελικά τό μέσο σαν ά έ ρ ι ο ή λ ε κ τ ρ ο ν ί ω ν, πού δέν συγκρούονται μεταξύ τους.

Στό σχ. 6-1 διαλέγουμε τό καρτεσιανό σύστημα, πού έχει τόν άξονα z παράλληλο μέ τό έξωτερικό μαγνητικό πεδίο  $\vec{B}_{εξ}$ , πού θεω-

ροῦμε ὅτι ἔχει σταθερή τιμή :

$$\vec{B}_{ex} = \vec{B}_0 \quad (6-1)$$

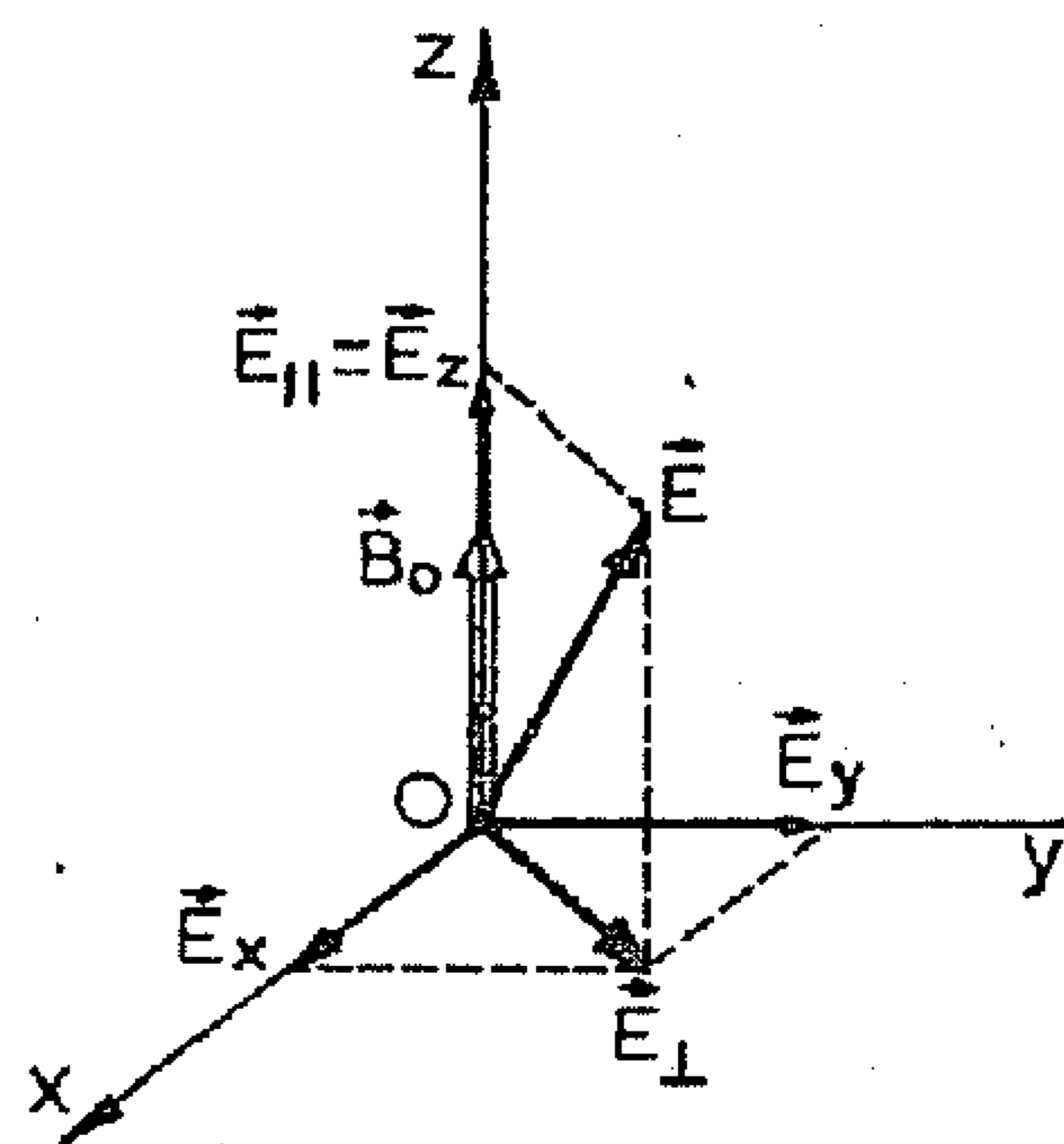
"Εστω  $\vec{E}$  τὸ ἠλεκτρικὸ πεδίο ἐνός ἠλεκτρομαγνητικοῦ κύματος πού διαδύεται μέσα στό μέσο, καί  $\vec{B}$  τὸ μαγνητικὸ πεδίο. Ἐδῶ ὑποθέτουμε ὅτι

$$B \ll B_0 \quad (6-2)$$

ὥστε, πρακτικά, μέσα στό μέσο ἐπικρατεῖ τὸ σταθερὸ μαγνητικὸ πεδίο

$\vec{B}_0$ . Τὸ διάνυσμα  $\vec{E}$  ἔχει τυχαῖο προσανατολισμὸ καί ἀναλύεται σέ μιὰ συνιστώσα παράλληλη μέ τὸ μαγνητι-

κὸ πεδίο ( $\vec{E}_{||} = \vec{E}_z$  καί μιὰ κάθετη ( $\vec{E}_{\perp}$ ), πού ἀναλύεται παραπέρα στίς  $\vec{E}_x$  καί  $\vec{E}_y$ .



Σχ. 6-1. Σύστημα συντεταγμένων γιὰ τὴ μελέτη ἐπίπεδου κύματος μέσα σέ μαγνητόπλασμα.

Γιὰ συνηθισμένες ταχύτητες τῶν ἠλεκτρονίων ( $v \ll c$ ) ἡ θερμολιώδης ἐξίσωση τῆς δυναμικῆς γράφεται γιὰ κάθε ἠλεκτρόνιο :

$$m \frac{d\vec{u}}{dt} = e (\vec{E} + \vec{u} \times \vec{B}_0) \quad (6-3)$$

Προβάλλοντας τὴν (6-3) στοὺς τρεῖς ἄξονες  $x, y, z$  ἔχουμε :

$$E_x + v_y B_0 = \frac{m}{e} \frac{dv_x}{dt} \quad (6-4)$$

$$E_y - v_x B_0 = \frac{m}{e} \frac{dv_y}{dt} \quad (6-5)$$

$$E_z = \frac{m}{e} \frac{dv_z}{dt} \quad (6-6)$$

Θεωρούμε τώρα ότι το ηλεκτρομαγνητικό κύμα είναι μονοχρωματικό (άρμονικό) με κυκλική συχνότητα  $\omega$ . Τα ηλεκτρόνια τότε θα εκτελούν εξαναγκασμένη κίνηση με κυκλική συχνότητα  $\omega$  και η ταχύτητά τους θα μπορεί να περιγραφεί με μία εξίσωση της μορφής :

$$\vec{v}(\vec{r}, t) = \vec{v}(\vec{r}) e^{j\omega t} \quad (6-7)$$

$$\text{όπου} \quad \vec{v} = \vec{v}(\vec{r}) \quad (6-8)$$

τό φασικό διάνυσμα (phasor) της ταχύτητας.

Χρησιμοποιώντας τους phasors των πεδίων και της ταχύτητας στις (6-4), (6-5), (6-6) τις ξαναγράφουμε έτσι :

$$\left. \begin{aligned} E_x + v_y B_0 &= j\omega \frac{m}{e} v_x \\ E_y - v_x B_0 &= j\omega \frac{m}{e} v_y \\ E_z &= j\omega \frac{m}{e} v_z \end{aligned} \right\}$$

ή

$$\left. \begin{aligned} j\omega m v_x - e B_0 v_y &= e E_x \\ e B_0 v_x + j\omega m v_y &= e E_y \\ j\omega m v_z &= e E_z \end{aligned} \right\} \quad (6-9)$$

Η τρίτη εξίσωση από τις (6-9) δίνει :

$$v_z = \frac{e}{m} \frac{-j E_z}{\omega} \quad (6-10)$$

Από τη λύση του συστήματος των δύο πρώτων από τις (6-9) έχουμε :

$$v_x = \frac{e}{m} \frac{j\omega E_x + \frac{e}{m} B_0 E_y}{\frac{e^2}{m^2} B_0^2 - \omega^2} \quad (6-11)$$

$$v_y = \frac{e}{m} \frac{j\omega E_y - \frac{e}{m} B_0 E_x}{\frac{e^2}{m^2} B_0^2 - \omega^2} \quad (6-12)$$

Εισάγοντας τή γυρομαγνητική συχνότητα<sup>\*)</sup>.

$$\omega_g \equiv \frac{e}{m} B_0 \quad (6-13)$$

Ξαναγράφουμε τίσ εξισώσεις, πού δύνουν τίσ προβολές τής ταχύτητας, ἔτσι:

$$\left. \begin{aligned} v_x &= \frac{e}{m} \frac{j\omega E_x + \omega_g E_y}{\omega_g^2 - \omega^2} \\ v_y &= \frac{e}{m} \frac{-\omega_g E_x + j\omega E_y}{\omega_g^2 - \omega^2} \\ v_z &= \frac{e}{m} \frac{-jE_z}{\omega} \end{aligned} \right\} \quad (6-14)$$

πού μποροῦν νά γραφοῦν καί

$$\left. \begin{aligned} v_x &= j \frac{e}{m} \frac{\omega}{\omega_g^2 - \omega^2} E_x + \frac{e}{m} \frac{\omega_g}{\omega_g^2 - \omega^2} E_y + 0 \cdot E_z \\ v_y &= -\frac{e}{m} \frac{\omega_g}{\omega_g^2 - \omega^2} E_x + j \frac{e}{m} \frac{\omega}{\omega_g^2 - \omega^2} E_y + 0 \cdot E_z \\ v_z &= 0 \cdot E_x + 0 \cdot E_y - j \frac{e}{m\omega} E_z \end{aligned} \right\} \quad (6-15)$$

<sup>\*)</sup> Η  $\omega_g$  εἶναι ἡ κυκλική συχνότητα, μέ τήν ὁποία περιφέρεται σέ κυκλική τροχιά ἓνα ἠλεκτρόνιο ὅταν ἐξαπολυθεῖ μέσα σ' ἓνα ὁμογενές μαγνητικό πεδίο  $B_0$  μέ ταχύτητα κάθετη σ' αὐτό.

Μπορούμε νά συμπτύξουμε τὴν (6-15) ὡς ἑξῆς :

$$\boxed{\vec{U} = \vec{\tau} \cdot \vec{E}} \quad (6-16)$$

ἢ

$$[\vec{U}] = \begin{bmatrix} \tau_{11} & \tau_{12} & 0 \\ \tau_{21} & \tau_{22} & 0 \\ 0 & 0 & \tau_{33} \end{bmatrix} \cdot [\vec{E}] \quad (6-17)$$

ὅπου

$$\vec{\tau} = \begin{bmatrix} \tau_{11} & \tau_{12} & 0 \\ \tau_{21} = -\tau_{12} & \tau_{22} = \tau_{11} & 0 \\ 0 & 0 & \tau_{33} \end{bmatrix} \equiv \begin{bmatrix} j \frac{e}{m} \frac{\omega}{\omega_g^2 - \omega^2} & \frac{e}{m} \cdot \frac{\omega_g}{\omega_g^2 - \omega^2} & 0 \\ -\frac{e}{m} \cdot \frac{\omega_g}{\omega_g^2 - \omega^2} & j \frac{e}{m} \frac{\omega}{\omega_g^2 - \omega^2} & 0 \\ 0 & 0 & -j \frac{e}{m\omega} \end{bmatrix} \quad (6-18)$$

εἶναι ὁ λεγόμενος τανυστὴς τῆς ἐκκίνησης .

Στὴν περίπτωση τοῦ μέσου, πού ἐξετάζουμε, τὰ ρεύματα εἶναι ρεύματα μεταφορᾶς εἶναι δηλαδή :

$$\vec{J} = \rho \vec{U} = Ne \vec{U} = Ne \vec{\tau} \vec{E} \quad (6-19)$$

Ἀπὸ τὴν (6-19) μποροῦμε νά ὀρίσουμε ἕναν τανυστὴ ἐκκίνησης ἀγωγιμότητας :

$$\vec{\sigma} = Ne \vec{\tau} \quad (6-20)$$

ὅπου N ἡ πυκνότητα τῶν ἠλεκτρονίων καὶ νά γράψουμε

$$\vec{J} = \vec{\sigma} \vec{E} \quad (6-21)$$

καὶ

$$\bar{\sigma} = \sigma_0 \begin{bmatrix} \frac{\omega^2}{\omega^2 - \omega_g^2} & \frac{-j\omega\omega_g}{\omega^2 - \omega_g^2} & 0 \\ \frac{j\omega\omega_g}{\omega^2 - \omega_g^2} & \frac{\omega^2}{\omega^2 - \omega_g^2} & 0 \\ 0 & 0 & 1 \end{bmatrix} \quad (6-22)$$

μέ  $\sigma_0 = -j \frac{Ne^2}{\omega m} \quad (6-23)$

### Συμπεράσματα

α. Όταν  $\omega \neq \omega_g$  θα είναι πεπερασμένα τά  $v_x$  και  $v_y$  και τά ηλεκτρόνια θα διαγράφουν, γενικά, έλλειπτικές έλικοειδείς τροχιές μέ άξονα τόν άξονα  $z$ , πού ή μορφή τους εξαρτάται από τά πλάτη τών προβολών  $E_x$ ,  $E_y$  και τήν τιμή της  $\omega_g$  (δηλ. του μαγνητικού πεδίου) και από τήν κυκλική συχνότητα  $\omega$ . Κατά τόν άξονα  $z$  ή κίνηση είναι παλινδρομική.

β. Η παρουσία του έξωτερικού μαγνητικού πεδίου  $\vec{B}_0$ , επηρεάζει μόνο τις κάθετες πρός τό πεδίο αυτό συνιστώσες της ειδικής άγωγιμότητας.

γ. Όταν  $\omega \rightarrow \omega_g$  οι ταχύτητες  $v_x, v_y \rightarrow \infty$ . Τότε έχουμε τό λεγόμενο "γυρομαγνητικό συντονισμό", δηλαδή μία έντονη άλληλεπίδραση του κύματος μέ τά ηλεκτρόνια. Στην πράξη δέν γίνεται  $v_x = v_y = \infty$  γιατί αναπτύσσονται συγκρούσεις, πού συνεχώς αύξάνουν, μέ αποτέλεσμα οι  $v_x, v_y$  νά φτάνουν σέ μεγάλες, αλλά πεπερασμένες τιμές.

δ. Όταν  $\omega \gg \omega_g$  τότε

$$\frac{\omega^2}{\omega^2 - \omega_g^2} = \frac{1}{1 - \left(\frac{\omega_g}{\omega}\right)^2} = \left(1 - \frac{\omega_g^2}{\omega^2}\right)^{-1} \simeq 1 + \frac{\omega_g^2}{\omega^2} = 1 + \epsilon \quad (6-24)$$



όπου

$$\epsilon = \frac{\omega_g^2}{\omega^2} \quad (6-25)$$

Όστε

$$\frac{\bar{\sigma}}{\sigma_0} = \begin{bmatrix} 1+\epsilon & 0 & 0 \\ 0 & 1+\epsilon & 0 \\ 0 & 0 & 1 \end{bmatrix} + \begin{bmatrix} 0 & j\frac{\omega_g}{\omega} & 0 \\ -j\frac{\omega_g}{\omega} & 0 & 0 \\ 0 & 0 & 0 \end{bmatrix} \quad (6-26)$$

Από την έκφραση αυτή μπορούμε να βγάλουμε χρήσιμα συμπεράσματα:

- δ1. Η αγωγιμότητα διατηρεί την τιμή  $\sigma_0$  που είχε χωρίς μαγνητικό πεδίο  $\vec{B}_0$  μόνο κατά τη διεύθυνση του  $\vec{B}_0$  (άξονας z) .
- δ2. Οι δύο πρώτοι όροι της διαγωνίου της πραγματικής μήτρας διαφέρουν από τον τρίτο (μονάδα) κατά το ποσό  $\epsilon = \omega_g^2 / \omega^2$  δεύτερου βαθμού ως προς  $\omega_g / \omega$  . Η μικρή αυτή μεταβολή της αγωγιμότητας κατά τις διευθύνσεις τις κάθετες προς το  $\vec{B}_0$  είναι ή λεγόμενη " μα γ ν η τ ο α ν τ ί σ τ α σ η <sup>\*)</sup> " .
- δ3. Ο δεύτερος προσθετέος της μήτρας  $\bar{\sigma} / \sigma_0$  εκφράζει το γνωστό " φ α ν ό μ ε ν ο H a l l " , που είναι φαινόμενο πρώτου βαθμού του  $\omega_g / \omega$  και εκδηλώνεται κατά τις κάθετες προς το  $\vec{B}_0$  και προς το  $\vec{E}$  διευθύνσεις.
- ε. "Αν  $\omega_g \gg \omega$  οι όροι της μαγνητοαντίστασης και του φαινομένου Hall τείνουν να μηδενιστούν.

---

\*) "Ας θυμηθούμε από τη Γενική Φυσική ότι μαγνητοαντίσταση είναι ή ανηγμένη μεταβολή της είδ. αντίστασης ή της ειδικής αγωγιμότητας, λόγω του μαγνητικού πεδίου κατά τις διευθύνσεις τις εγκάρσιες προς το πεδίο αυτό..

## 6.2. Ο Τανυστής της Διηλεκτρικής Σταθεράς.

Στήν ανάλυσή μας θεωρούμε μεταξύ των ηλεκτρονίων ότι υπάρχει κενό (δηλ.  $\epsilon = \epsilon_0$  ή διηλεκτρική σταθερά του κενού). Μακροσκοπικά όμως, η ενεργός διηλεκτρική σταθερά είναι τανυστής που περιέχει τον τανυστή της αγωγιμότητας και προκύπτει από την πρώτη εξίσωση του Maxwell :

$$\vec{\nabla} \times \vec{H} = \vec{J} + j\omega\epsilon_0\vec{E} = (\vec{\sigma} + j\omega\epsilon_0)\vec{E} \quad (6-27)$$

Γράφοντας  $\vec{\nabla} \times \vec{H} = j\omega\bar{\epsilon}\vec{E} \quad (6-28)$

ορίζουμε την " ενεργό διηλεκτρική σταθερά " .

$$\boxed{\bar{\epsilon} = \epsilon_0 \left( 1 + \frac{\vec{\sigma}}{j\omega\epsilon_0} \right)} \quad (6-29)$$

Ορίζοντας τη συχνότητα πλάσματος  $\omega_p^{**})$  με τη σχέση:

$$\omega_p^2 = \frac{Ne^2}{\epsilon_0 m} \quad (6-30)$$

και γράφοντας:

$$\frac{\vec{\sigma}}{j\omega\epsilon_0} = \frac{-j \frac{Ne^2}{m\omega}}{j\omega\epsilon_0} = \frac{-Ne^2}{m\omega^2\epsilon_0} = \frac{-\frac{Ne^2}{\epsilon_0 m}}{\omega^2} = -\frac{\omega_p^2}{\omega^2} \quad (6-31)$$

έχουμε :

---

\*) "Αν ένα ούδέτερο νέφος φορτίων (πλάσμα) διαταραχθεί, αποδειχνεται ότι μπορεί να τεθεί σε ταλάντωση στη συχνότητα  $\omega_p$ . Στήν ταλάντωση του πλάσματος της ηλιακής ατμόσφαιρας οφείλονται όρισμένοι τύποι ακτινοβολίας που δέχεται η γη από τον ήλιο.

$$\bar{\bar{\epsilon}} = \epsilon_0 \begin{bmatrix} 1 + \frac{\omega_p^2}{\omega_g^2 - \omega^2} & \frac{-j\omega_p^2 \omega_g}{\omega(\omega_g^2 - \omega^2)} & 0 \\ \frac{j\omega_p^2 \omega_g}{\omega(\omega_g^2 - \omega^2)} & 1 + \frac{\omega_p^2}{\omega_g^2 - \omega^2} & 0 \\ 0 & 0 & 1 - \frac{\omega_p^2}{\omega^2} \end{bmatrix} = \epsilon_0 \begin{bmatrix} \epsilon_{11} & -j\epsilon_{12} & 0 \\ j\epsilon_{21} & \epsilon_{22} & 0 \\ 0 & 0 & \epsilon_{33} \end{bmatrix} \quad (6-32)$$

$$\text{όπου} \quad \epsilon_{11} = \epsilon_{22} \quad (6-33)$$

$$\text{και} \quad \epsilon_{21} = \epsilon_{12} \quad (6-34)$$

Από την (6-32) προκύπτει η μήτρα της "σχετικής διηλεκτρικής σταθεράς"

$$\bar{\bar{\epsilon}}_r \equiv \frac{\bar{\bar{\epsilon}}}{\epsilon_0} \quad (6-35)$$

Μερικά Συμπεράσματα για την περίπτωση  $B_0 \rightarrow 0$   
(δηλ.  $\frac{\omega_g}{\omega} \rightarrow 0$ ).

α. Η (6-32) απλοστεύεται στην :

$$\bar{\bar{\epsilon}} = \epsilon_0 \left(1 - \frac{\omega_p^2}{\omega^2}\right) \begin{bmatrix} 1 & 0 & 0 \\ 0 & 1 & 0 \\ 0 & 0 & 1 \end{bmatrix} \quad (6-36)$$

Δηλαδή το μέσο είναι ισότροπο με  $\epsilon = \epsilon_0 \left(1 - \frac{\omega_p^2}{\omega^2}\right)$  και στην περίπτωση αυτή περίπτωση ο δείκτης της διάθλασης του μέσου θα είναι :

$$\eta \equiv \frac{c}{v} = \sqrt{\frac{\epsilon \mu_0}{\epsilon_0 \mu_0}} = \sqrt{\frac{\epsilon}{\epsilon_0}} = \sqrt{1 - \frac{\omega_p^2}{\omega^2}} \quad (6-37)$$

β. Αν η κυκλική συχνότητα  $\omega$  τείνει προς την  $\omega_p$ , τότε

$$\epsilon \rightarrow 0 \quad \text{και} \quad \eta \rightarrow 0 \quad (6-38)$$

και παύει κάθε διάδοση.

Θά αποδείξουμε, όμως, ότι η διάδοση σταματά για όλη την περιοχή συχνοτήτων  $\omega \leq \omega_p$ , όπου  $\epsilon$  και  $\eta$  είναι φανταστικά.

Η σταθερά διαδόσεως  $\gamma$  ενός επίπεδου ηλεκτρομαγνητικού κύματος που τρέχει μέσα σε πλάσμα χωρίς μαγνητικό πεδίο (βλ. κεφ. 3.5) είναι :

$$\gamma = \sqrt{\omega^2 \mu_0 \epsilon_0 \left( \frac{\omega_p^2}{\omega^2} - 1 \right)} \quad (6-39)$$

Διακρίνουμε τρεις περιπτώσεις :

$\beta_1$ . Για  $\omega = \omega_p$  είναι :

$$\gamma = 0 \quad (6-40)$$

δηλ. τό επίπεδο κύμα δεν διαδύδεται.

$\beta_2$ . Για  $\omega < \omega_p$  είναι :

$$\gamma = \alpha > 0 \quad (6-41)$$

τό κύμα δεν είναι τρέχον αλλά μιá τάλάντωση με πλάτος που φθίνει με την απόσταση.

$\beta_3$ . Για  $\omega > \omega_p$  είναι :

$$\gamma = j\beta = j\omega \sqrt{\epsilon_0 \mu_0 \left( 1 - \frac{\omega_p^2}{\omega^2} \right)} \quad (6-42)$$

τιμή που αντιστοιχεί σε τρέχον κύμα με αμείωτο πλάτος.

Τό πλάσμα, λοιπόν, εμφανίζει μιá κρίσιμη συχνότητα  $f_p$  :

$$f_p = \frac{\omega_p}{2\pi} = \frac{e}{2\pi} \sqrt{\frac{N}{\epsilon_0 m}} \quad (6-43)$$

κάτω από την οποία δεν γίνεται διάδοση .

Αν αντικαταστήσουμε τις τιμές των  $e, \epsilon_0$  και  $m$  στην (6-43)

βρίσκουμε τη σχέση :

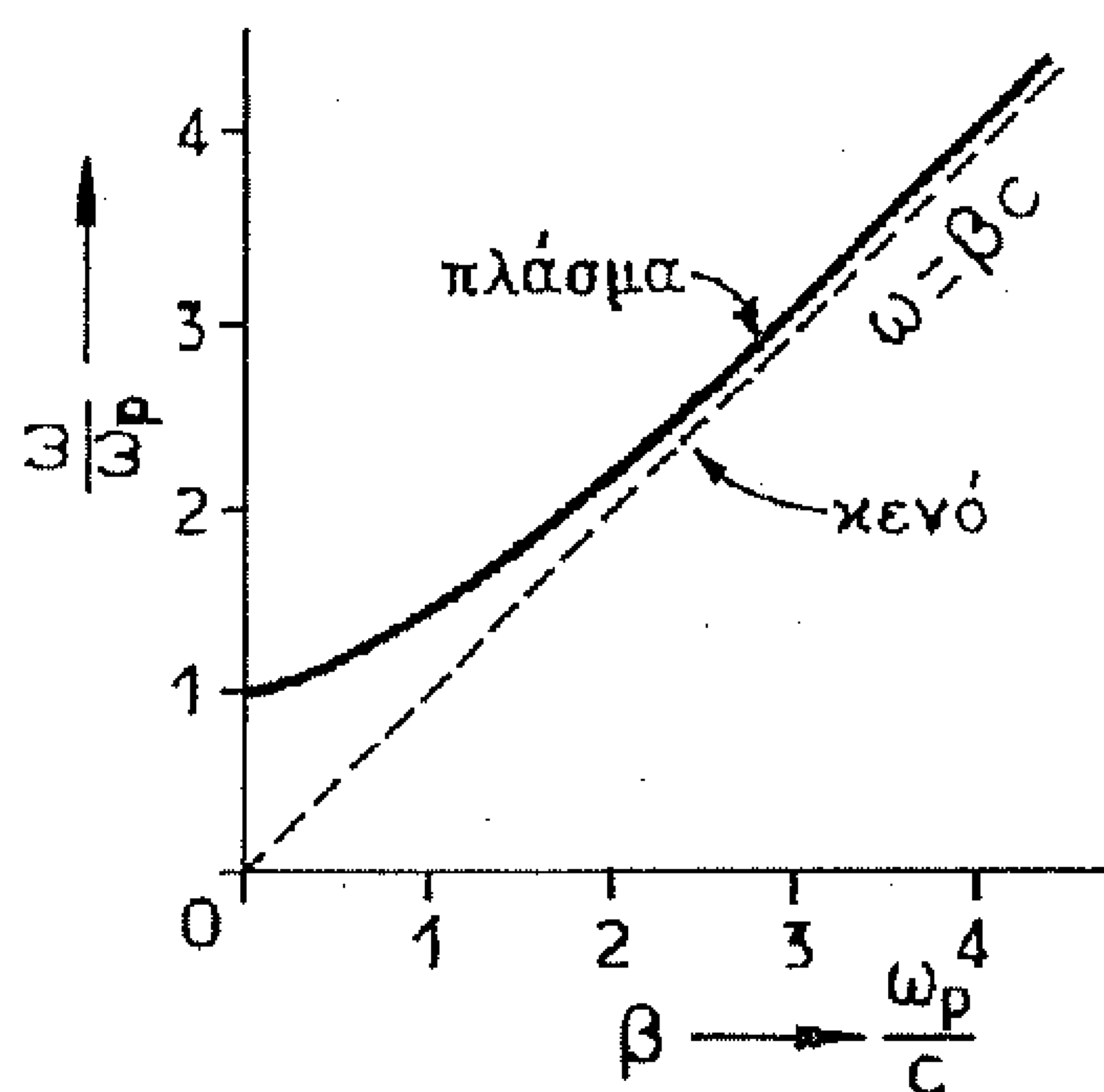
$$f_p = 9 \sqrt{N} \quad (6-44)$$

πού δίνει την  $f_p$  σε  $H_z$  αν η  $N$  είναι σε ηλεκτρόνια/ $m^3$ .

Σάν παράδειγμα αναφέρουμε ότι η ηλεκτρονική πυκνότητα  $N$  του πλάσματος της γήινης ιονόσφαιρας παίρνει συχνά τιμές της τάξης  $10^{12}$  ηλ/ $m^3$ , που αντιστοιχεί σε κρίσιμη συχνότητα  $f_p = 9 \text{ MHz}$ .

Γι' αυτό, λοιπόν, η περιοχή συχνοτήτων, που χρησιμοποιούν τά γήινα ραδιοτηλεσκόπια περιορίζεται πάνω από τη συχνότητα  $10 \text{ MHz}$ , εξαιτίας ακριβώς της ιονοσφαιρικής αποκοπής.

"Αν βγούμε έξω από τη μαγνητόσφαιρα (μέ πυράύλους, δορυφόρους ή άλλα διαστημικά όχηματα) μπορούμε να υποβιβάσουμε τη συχνότητα



Σχ. 6-2. Σχέση  $\beta$  και  $\omega$  στο πλάσμα άπουσία εξωτερικού μαγνητικού πεδίου.

τα παρατήρησης μέχρι  $\approx 30 \text{ kHz}$  γιατί ως εκεί επιτρέπει η συχνότητα  $f_p$  του διαπλανητικού πλάσματος ( $N = 10$  ηλ/ $cm^3$ )

"Εξίσωση διασποράς". Για  $\omega > \omega_p$ , όπως είδαμε ισχύει η (6-42) που μπορεί να πάρει την τελική μορφή:

$$\omega^2 = c^2 \beta^2 + \omega_p^2 \quad (6-45)$$

Από την (6-45) προκύπτει η εξίσωση της διασποράς  $\omega = \sigma(\beta)$  του πλάσματος χωρίς μαγνητικό πεδίο.

Η γραφική παράσταση της  $\omega = \sigma(\beta)$  δίνεται στο σχήμα 6.2.

### 6.3. Σταθερά της Διάδοσης και Δείκτης Διάθλασης.

"Ας διατυπώσουμε τη διανυσματική διαφορική εξίσωση του ηλεκτρικού πεδίου  $\vec{E}$  μέσα στο πλάσμα .

Από τη δεύτερη εξίσωση του Maxwell

$$\vec{\nabla} \times \vec{E} = -j\omega\mu_0\vec{H} \quad (6-46)$$

Έχουμε:

$$\vec{\nabla} \times \vec{\nabla} \times \vec{E} = -j\omega\mu_0 \vec{\nabla} \times \vec{H} \quad (6-47)$$

Από τη σχέση (6-28) όμως έχουμε:

$$\vec{\nabla} \times \vec{H} = j\omega\bar{\epsilon}\vec{E} \quad (6-48)$$

ώστε η (6-47) γίνεται:

$$\vec{\nabla} \times \vec{\nabla} \times \vec{E} = \omega^2\mu_0\bar{\epsilon}\vec{E} \quad (6-49)$$

Ζητούμε μία γενική επίπεδη λύση της μορφής :

$$\vec{E}(\vec{r}, t) = \vec{E} e^{j\omega t} = \vec{E}_0 e^{j(\omega t - \vec{k} \cdot \vec{r})} \quad (6-50)$$

χρησιμοποιώντας, την τελεστική αντιστοίχια

$$\vec{\nabla} \leftrightarrow -j\vec{k} \quad (6-51)$$

στην (6-49) έχουμε :

$$-j\vec{k} \times (-j\vec{k}) \times \vec{E} - \omega^2\mu_0\bar{\epsilon}\vec{E} = 0 \quad (6-52)$$

ή έπειδή

$$\bar{\epsilon} = \epsilon_0 \bar{\epsilon}_r \quad \text{και} \quad \mu_0 \epsilon_0 = \frac{1}{c^2} \quad (6-53)$$

είναι:

$$\vec{k} \times (\vec{k} \times \vec{E}) + \left(\frac{\omega}{c}\right)^2 \bar{\epsilon}_r \vec{E} = 0 \quad (6-54)$$

Χρησιμοποιώντας τη διανυσματική ταυτότητα

$$\vec{A} \times (\vec{B} \times \vec{C}) = (\vec{A} \cdot \vec{C}) \vec{B} - (\vec{A} \cdot \vec{B}) \vec{C} \quad (6-55)$$

γράφουμε την (6-54) έτσι :

$$(\vec{k} \cdot \vec{\mathcal{E}}) \vec{k} - k^2 \vec{\mathcal{E}} + \frac{\omega^2}{c^2} \vec{\epsilon}_r \vec{\mathcal{E}} = 0 \quad (6-56)$$

Ορίζοντας τον ταυυστή

$$\overline{\overline{k}} = \begin{bmatrix} k_x k_x & k_x k_y & k_x k_z \\ k_y k_x & k_y k_y & k_y k_z \\ k_z k_x & k_z k_y & k_z k_z \end{bmatrix} \quad (6-57)$$

γράφουμε την (6-56) με τη μορφή :

$$\left[ \overline{\overline{k}} - k^2 \overline{\overline{I}} + \left( \frac{\omega}{c} \right)^2 \vec{\epsilon}_r \right] \vec{\mathcal{E}} = 0 \quad *) \quad (6-58)$$

θέτοντας :

$$\overline{\overline{D}} \equiv \left[ \vec{\epsilon}_r - \left( \frac{c}{\omega} \right)^2 k^2 \overline{\overline{I}} + \left( \frac{c}{\omega} \right)^2 \overline{\overline{k}} \right] \quad (6-59)$$

γράφουμε :

$$\overline{\overline{D}} \cdot \vec{\mathcal{E}} = 0 \quad (6-60)$$

Η σχέση αυτή δίνει τρεις γραμμικές ομογενείς εξισώσεις ως προς τις τρεις συνιστώσες του  $\vec{\mathcal{E}}$ . Για να είναι το σύστημα αυτό επιλύσιμο θα πρέπει η ορίζουσα D της μήτρας  $\overline{\overline{D}}$  να είναι μηδέν.

Δηλαδή :

$$D(\vec{k}, \omega) = 0 \quad (6-61)$$

\*) Μέ  $\overline{\overline{I}}$  συμβολίζουμε τη μοναδιαία μήτρα  $\begin{bmatrix} 1 & 0 & 0 \\ 0 & 1 & 0 \\ 0 & 0 & 1 \end{bmatrix}$

Η (6-58) με τη μορφή δεικτών γράφεται :

$$\left[ k_i k_j - k^2 \delta_{ij} + \left( \frac{\omega}{c} \right)^2 \epsilon_{ij} \right] \mathcal{E}_j = 0 \quad i, j = x, y, z$$

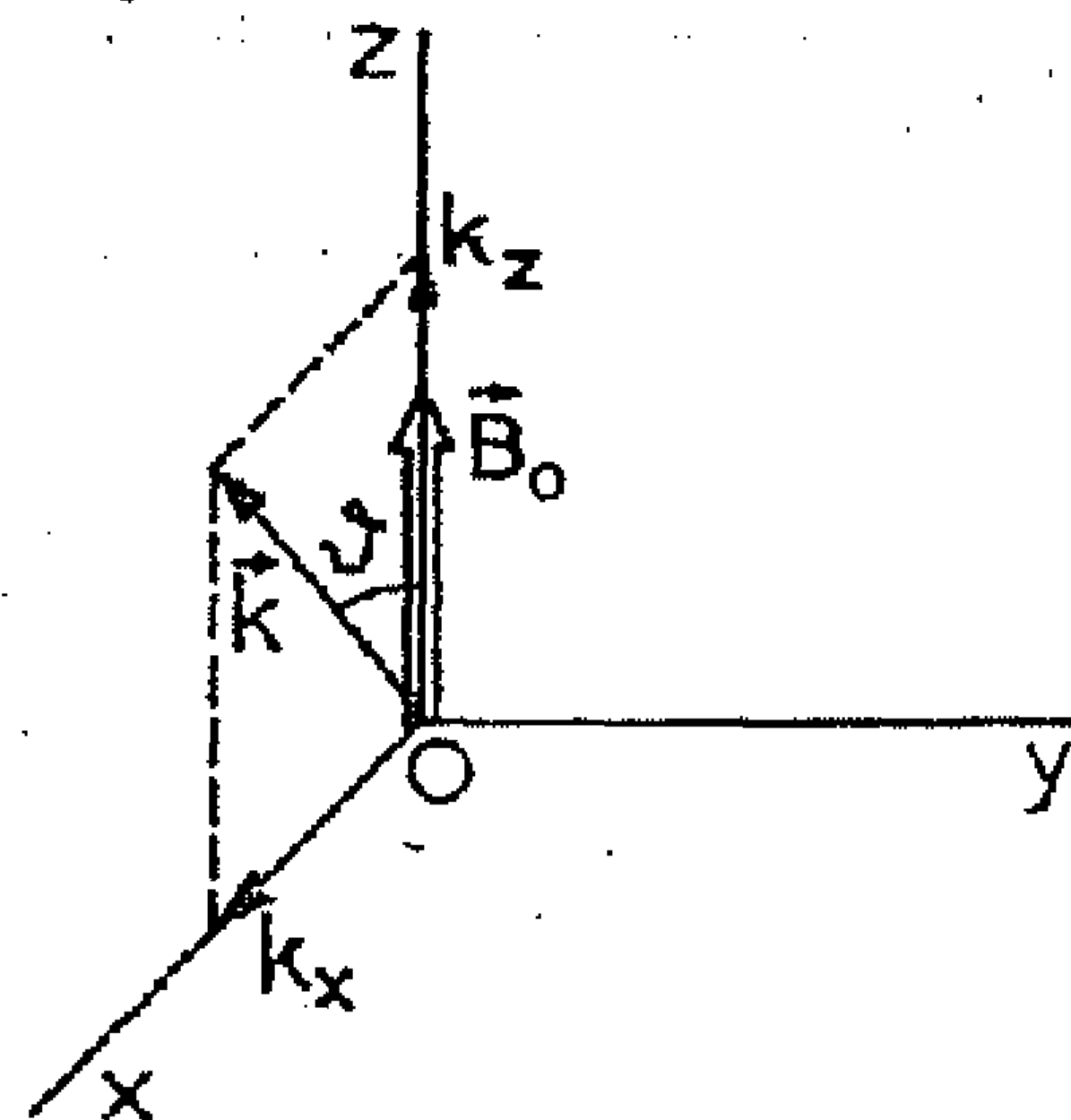
όπου  $\delta_{ij}$  τό δέλτα του Kronecker .



Ἡ (6-61) εἶναι ἡ λεγόμενη ἐξίσωσις τῆς διασπο-  
ρᾶς (dispersion equation). Οἱ λύσεις τῆς δύνουν τοὺς διάφο-  
ρους κυματικούς τύπους ποὺ μποροῦν  
νά διαδοθοῦν στὸ μαγνητόπλάσμα.

Ἄν πάρουμε τὸ σύστημα τῶν καρτεσια-  
νῶν συντεταγμένων ὅπως δείχνει τὸ  
σχ. 6-3 ἔχουμε :

$$\overline{\overline{k}} = \begin{bmatrix} k^2 \sin^2 \vartheta & 0 & k^2 \sin \vartheta \cos \vartheta \\ 0 & 0 & 0 \\ k^2 \sin \vartheta \cos \vartheta & 0 & k^2 \cos^2 \vartheta \end{bmatrix}$$



Σχ. 6-3

καὶ

$$\overline{\overline{D}} = \begin{bmatrix} \epsilon_{11} - \left(\frac{c}{\omega}\right)^2 k^2 \cos^2 \vartheta & -j\epsilon_{12} & \left(\frac{c}{\omega}\right)^2 k^2 \sin \vartheta \cos \vartheta \\ j\epsilon_{12} & \epsilon_{11} - \left(\frac{c}{\omega}\right)^2 k^2 & 0 \\ \left(\frac{c}{\omega}\right)^2 k^2 \sin \vartheta \cos \vartheta & 0 & \epsilon_{33} - \left(\frac{c}{\omega}\right)^2 k^2 \sin^2 \vartheta \end{bmatrix} \quad (6-62)$$

Ἡ ἐξίσωσις διασπορᾶς (6-61) γράφεται :

$$\begin{vmatrix} \epsilon_{11} - \left(\frac{c}{\omega}\right)^2 k^2 \cos^2 \vartheta & -j\epsilon_{12} & \left(\frac{c}{\omega}\right)^2 k^2 \sin \vartheta \cos \vartheta \\ j\epsilon_{12} & \epsilon_{11} - \left(\frac{c}{\omega}\right)^2 k^2 & 0 \\ \left(\frac{c}{\omega}\right)^2 k^2 \sin \vartheta \cos \vartheta & 0 & \epsilon_{33} - \left(\frac{c}{\omega}\right)^2 k^2 \sin^2 \vartheta \end{vmatrix} = 0 \quad (6-63)$$

Γιὰ τὴν ἐπιλυσὴ τῆς θέτουμε :

$$\xi \equiv \left(\frac{c}{\omega}\right)^2 k^2 \quad (6-64)$$

καὶ καταλήγουμε στὴ δευτεροβάθμια ἐξίσωσις :

$$(\epsilon_{11} \sin^2 \vartheta + \epsilon_{33} \cos^2 \vartheta) \xi^2 - [2\epsilon_{11} \epsilon_{33} + (\epsilon_{11}^2 - \epsilon_{12}^2 - \epsilon_{11} \epsilon_{33}) \sin^2 \vartheta] \xi + \epsilon_{33} (\epsilon_{11}^2 - \epsilon_{12}^2) = 0 \quad (6-65)$$

Από τή λύση τῆς τελευταίας προκύπτει:

$$k^2 = \left(\frac{\omega}{c}\right)^2 \frac{(\epsilon_{11}^2 - \epsilon_{12}^2 - \epsilon_{11}\epsilon_{33})\sin^2\vartheta + 2\epsilon_{11}\epsilon_{33} \pm \sqrt{(\epsilon_{11}^2 - \epsilon_{12}^2 - \epsilon_{11}\epsilon_{33})^2 \sin^4\vartheta + 4\epsilon_{12}^2 \epsilon_{33}^2 \cos^2\vartheta}}{2[(\epsilon_{11} - \epsilon_{33})\sin^2\vartheta + \epsilon_{33}]} \quad (6-66)$$

Γιά νά διαδοθεῖ λοιπόν μέσα στό μαγνητόπλάσμα ἓνα ἡλεκτρομαγνητικό κύμα, μέ κυκλική συχνότητα  $\omega$ , κατά μιά ὀρισμένη διεύθυνση  $\vartheta$  ὡς πρὸς τό ἐξωτερικό πεδίο  $\vec{B}_0$ , θά πρέπει τό κυματάνυσμά του  $\vec{k}$  νά ἱκανοποιεῖ τή σχέση (6-66).

Ἐχοντας τό  $\vec{k}$  μποροῦμε νά προσδιορίσουμε τό δείκτη τῆς διάθλασης  $\vec{n}$  γιατί εἶναι :

$$\vec{n} = \frac{c}{\omega} \vec{k} \quad (6-67)$$

### Συμπεράσματα .

α. Ὡς τώρα ἔχουμε ὑποθέσει ὅτι τό πλάσμα εἶναι ἄραιό καί ψυχρό (χωρίς δηλ. συγκρούσεις τῶν φορέων μεταξύ τους). Στήν περίπτωση αὐτή ἡ ἐξασθένιση τοῦ κύματος θά εἶναι μηδαμινή καί τό  $k$  θά εἶναι πραγματικό, θά εἶναι δηλαδή μιά σταθερά φάσης  $\beta$ .

β. Ἄν τό  $\omega$  εἶναι ἀρκετά μεγαλύτερο ἀπό τό  $\omega_g$ , ὥστε νά ἔχουμε:

$$\epsilon_{11} = \epsilon_{22} \simeq \epsilon_{33} = 1 - \frac{\omega_p^2}{\omega^2} \quad (6-68)$$

ἀλλά ὅχι τόσο μεγάλο ὥστε τό  $\epsilon_{12}$  νά θεωρηθεῖ μηδέν, ἀλλά

$$\epsilon_{12} = \epsilon_{21} \simeq \frac{-\omega_p^2 \omega_g}{\omega^3} \quad (6-69)$$

τότε ἡ (6-66) ἀπλουστεύεται :

$$k^2 = \beta^2 = \left(\frac{\omega}{c}\right)^2 \epsilon_{11} \left\{ 1 - \frac{\epsilon_{12}^2}{2\epsilon_{11}^2} \left( \sin^2\vartheta \pm \sqrt{\sin^4\vartheta + \left(\frac{2\epsilon_{11}\cos\vartheta}{\epsilon_{12}}\right)^2} \right) \right\} \quad (6-70)$$

- γ. "Αν τό κύμα διαδίδεται παράλληλα πρὸς τό πεδίο  $\vec{B}_0$  ( $\vartheta = 0$ ) , (" δ ι α μ ή κ η ς " δ ι ά δ ο σ η -longitudinal propagation), ἡ (6-70) δύνει :

$$\beta = \frac{\omega}{c} \sqrt{\epsilon_{11} \pm \epsilon_{12}} \quad (6-71)$$

Χρησιμοποιώντας τήν (6-71) , (6-62) καί (6-60) μπορούμε νά δείξουμε ὅτι ἡ πόλωση τῶν κυμάτων, πού εἶναι δυνατό νά διαδοθοῦν, θά εἶναι κυκλική, δεξιόστροφη ἢ ἀριστερόστροφη. Στή γενική περίπτωση ἀποδείχνεται ὅτι τό κύμα ἀναλύεται σέ δύο τέτοια κύματα.

- δ. "Ας ζητήσουμε τώρα λύσεις, γιά κύμα πού διαδίδεται κάθετα πρὸς τό  $\vec{B}_0$  ( $\vartheta = 90^\circ$ ) (" ε γ κ ά ρ σ ι α " δ ι ά δ ο σ η -transverse propagation). Στήν περίπτωση αὐτή ἡ (6-70) δύνει δύο τιμές τοῦ  $\beta$  :

$$\beta_1 = \frac{\omega}{c} \sqrt{\epsilon_{11}} = \frac{\omega}{c} \sqrt{\epsilon_{33}} \quad (6-72)$$

καί 
$$\beta_2 = \frac{\omega}{c} \sqrt{\frac{\epsilon_{11}^2 - \epsilon_{12}^2}{\epsilon_{11}}} \quad (6-73)$$

Μπορεῖ νά ἀποδειχτεῖ ὅτι στήν πρώτη περίπτωση (6-72) τό  $\vec{E}$  εἶναι γραμμικά πολωμένο παράλληλα πρὸς τό  $\vec{B}_0$  ὅποτε, ὅπως φαίνεται ἀπό τήν (6-72) ἡ διάδοση γίνεται σάν νά μήν ὑπῆρχε τό μαγνητικό πεδίο.

Τό κύμα τότε λέγεται *τ α κ τ ι κ ή ἀ κ τ ῖ ν α* (ordinary ray).

Στή δεύτερη περίπτωση, τό κύμα εἶναι γραμμικά πολωμένο κάθετα πρὸ ἐξωτερικό πεδίο  $\vec{B}_0$  καί λέγεται *ἐ κ τ α κ τ η ἀ κ τ ῖ ν α* (extraordinary ray)

Από τὰ προηγούμενα βγάζουμε τό συμπέρασμα ὅτι στή γενική περίπτωση γραμμικά πολωμένου κύματος κατά γωνία  $\alpha$  ὡς πρὸς τό  $\vec{B}_0$  μπορούμε νά ἀναλύσουμε τό διάνυσμα τοῦ ἡλεκτρικοῦ πεδίου σέ δύο συνιστώσες: μιά παράλληλη καί μιά κάθετη πρὸς τό  $\vec{B}_0$ . Δηλαδή τό γραμμικά πολωμένο κύμα ἀποτελεῖται ἀπὸ μιά τακτική ἀκτίνα καί μιά ἑκτακτη ἀκτίνα.

Στήν περίπτωση τῆς ἑκτακτης ἀκτίνας ἀποδεδείχνεται ὅτι ὑπάρχει καί συνιστώσα διαμήκης τοῦ ἡλεκτρικοῦ πεδίου ( $E_x \neq 0$ ).

Γιὰ τήν τακτική ἀκτίνα βλέπουμε ὅτι ὁ δείκτης τῆς διάθλασης ἡ εἶναι :

$$n = \left(\frac{c}{\omega}\right) \beta_1 = \sqrt{\epsilon_{33}} = \sqrt{1 - \frac{\omega_p^2}{\omega^2}} \quad (6-74)$$

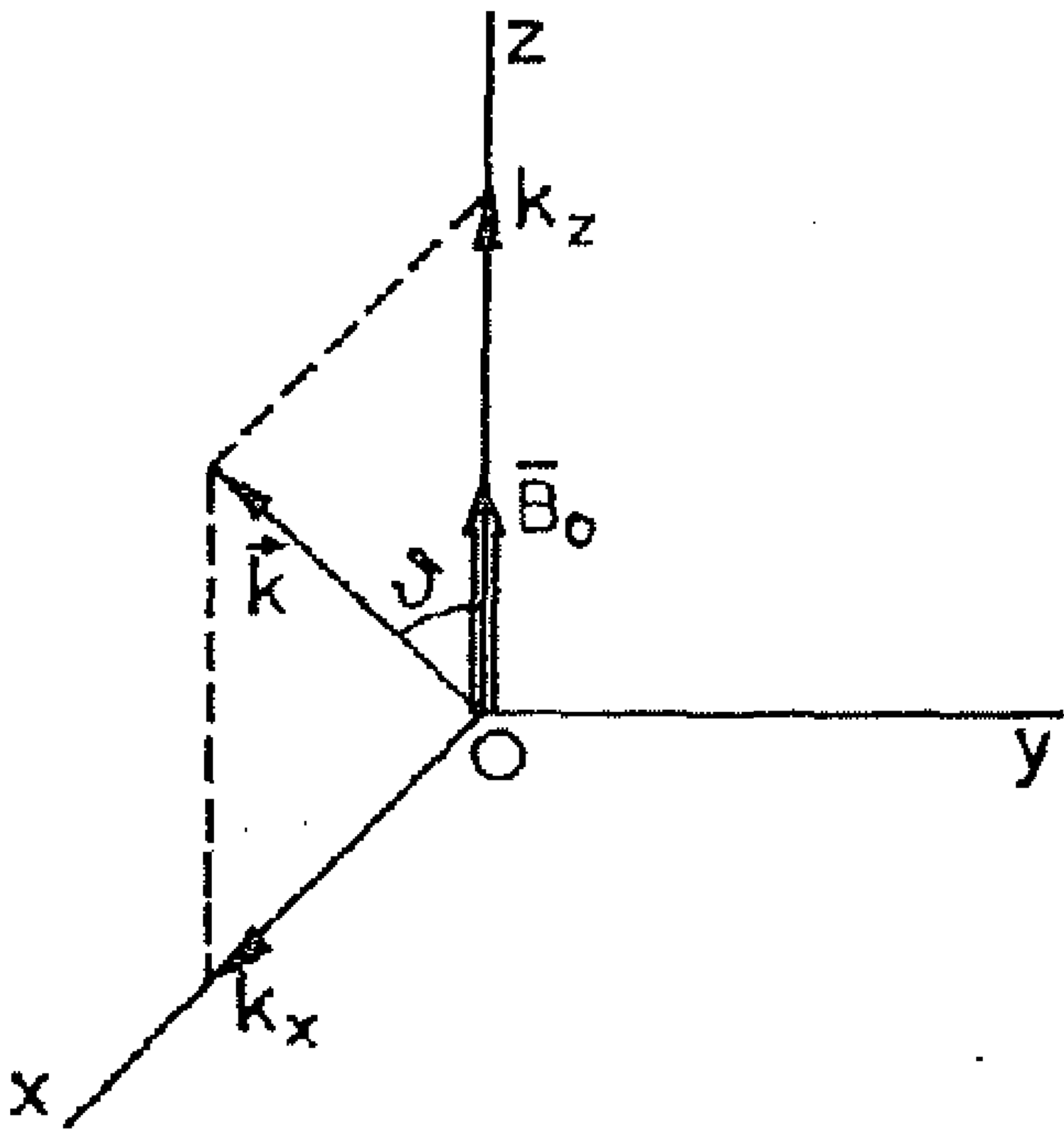
δηλαδή βρίσκουμε τή σχέση διάδοσης χωρὶς μαγνητικό πεδίο  $\vec{B}_0$ , (ἀπὸ ὅπου καί τό ὄνομα τακτική).

ε. Λύγο πλεό γενικές εἶναι οἱ ἐνδιάμεσες περιπτώσεις ὅπου τό  $\theta$  εἶναι μικρό (σχεδόν διαμήκης διάδοση - quasi-longitudinal) ἢ εἶναι  $\theta = 90^\circ$  (σχεδόν ἐγκάρσια διάδοση - quasi-transverse).

Στόν πύνακα τῆς ἐπόμενης σελίδας συνοψίζονται οἱ σταθερές τῆς διάδοσης γιὰ τήν κάθε περίπτωση.

## ΠΙΝΑΚΑΣ 6-I

## Σταθερές Διάδοσης στο Μαγνητόπλάσμα

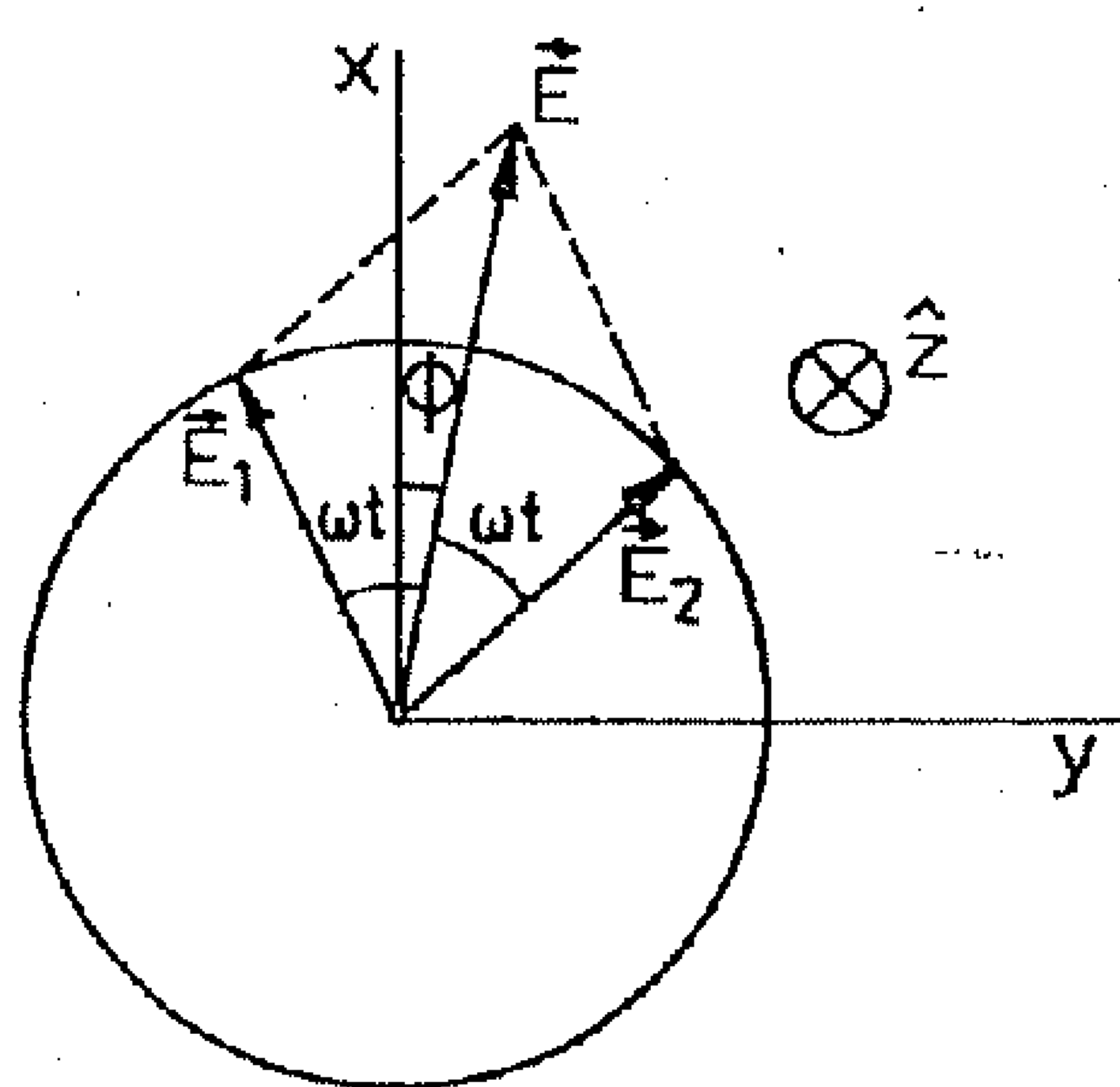
Σχεδόν διαμήκης διάδοση ( $\vartheta \simeq 0^\circ$ ) (ή $\vartheta \simeq 180^\circ$ )	$\beta = \frac{\omega}{c} \sqrt{\epsilon_{11} \pm \epsilon_{12} \cos \vartheta}$
Σχεδόν εγκάρσια " ( $\vartheta \simeq 90^\circ$ )	$\beta = \frac{\omega}{c} \sqrt{\epsilon_{11} - (1 \pm 1) \frac{\epsilon_{12}^2}{2\epsilon_{11}} \sin^2 \vartheta}$
Διαμήκης " ( $\parallel \vec{B}_0, \vartheta = 0^\circ$ )	$\beta = \frac{\omega}{c} \sqrt{\epsilon_{11} \pm \epsilon_{12}}$
Εγκάρσια " ( $\perp \vec{B}_0, \vartheta = 90^\circ$ ) — Τακτική ακτίνα : $\vec{E} \parallel \vec{B}_0$ — Έκτακτη ακτίνα : $\vec{E} \perp \vec{B}_0$	$\beta = \frac{\omega}{c} \sqrt{\epsilon_{33}}$ $\beta = \frac{\omega}{c} \sqrt{\frac{\epsilon_{11}^2 - \epsilon_{12}^2}{\epsilon_{11}}}$
Για $\omega$ αρκετά μεγαλύτερο από το $\omega_g$ και : $\epsilon_{11} = \epsilon_{33} = 1 - \frac{\omega_p^2}{\omega^2}$ και $\epsilon_{12} = \frac{\omega_p^2 \omega_g}{\omega(\omega_g^2 - \omega^2)} \simeq -\frac{\omega_p^2 \omega_g}{\omega^3}$	
	

## 6.4. Στροφή Faraday.

Τό 1845 ό Faraday ανακάλυψε ότι όρισμένες ούσίες γίνονται όπτικά "ένεργές" όταν τοποθετηθοϋν σέ μαγνητικό πεδίο παράλληλο μέ τή διεύθυνση τής διάδοσης τοϋ φωτός.

"Όταν δηλ. διαδίδεται μέσα τους γραμμικά πολωμένο φως, τό επίπεδο πόλωσης του στρέφεται σέ γωνία ανάλογη πρός τήν ένταση τοϋ μαγνητικού πεδίου καί ανάλογη πρός τό μήκος τής διαδρομής μέσα στήν ούσία. Τό φαινόμενο αυτό παρατηρεΐται καί στό μαγνητόπλασμα καί τό μελετᾶμε παρακάτω.

"Όπως εΐδαμε στήν προηγούμενη παράγραφο, σχεδόν διαμήκης, ή



Σχ. 6-4.

διαμήκης, διάδοση μέσα στό μαγνητόπλασμα εΐναι δυνατό νά γύνει όταν τό κύμα εΐναι δεξιόστροφα ή άριστερόστροφα κυκλικά πολωμένο καί στήν κάθε περίπτωση ή σταθερά τής διάδοσης δύνεται στόν Πύνακα 6-1

"Ένα γραμμικά πολωμένο κύμα, όμως, μπορεΐ νά αναλυθεΐ σέ δύο κυκλικά πολωμένα μέ αντίρροπη πόλωση-δεξιόστροφο καί άριστερόστροφο.

Τό σχ. 6-4 δείχνει πώς δύο κυκλικά πολωμένα κύματα  $\vec{E}_1$  καί  $\vec{E}_2$  μέ ΐσα πλάτη καί αντίρροπη πόλωση συνθέτουν ένα γραμμικά πολωμένο κύμα, πού σχηματίζει γωνία  $\Phi$  μέ τόν άξονα  $x$ .

Κάθε ένα από αυτά τά δύο κυκλικά πολωμένα κύματα μπορεΐ νά διαδοθεΐ καί μέσα στό μαγνητόπλασμα καί μάλιστα μέ τή δική του σταθερά φάσης.

Στήν περίπτωση τής "σχεδόν διαμήκους" διάδοσης ή σταθερά φάσης γιά τό κάθε κύμα εΐναι :

$$\beta^{\pm} = \frac{\omega}{c} \sqrt{\epsilon_{11} \pm \epsilon_{12} \cos \vartheta} \quad (6-75)$$

Οι στοιχειώδεις μεταβολές φάσης των δύο κυμάτων για μία στοιχειώδη μετακίνηση  $dl$  θα δύνονται από τις :

$$d\Phi_1 = \beta^- dl \quad (6-76)$$

$$d\Phi_2 = \beta^+ dl \quad (6-77)$$

Λόγω της ανισότητας των σταθερών  $\beta$  για τα δύο κύματα, το επίπεδο πολώσεως του ολικού πεδίου θα υποστεί μία στοιχειώδη στροφή:

$$d\Phi = \frac{\beta^- - \beta^+}{2} dl \quad (6-78)$$

Για τη σχεδόν διαμήκη διάδοση ( $q \parallel$ ) ο άξονας της διάδοσης σχηματίζεται με τον άξονα  $z$  του μαγνητικού πεδίου μικρή γωνία  $\theta \approx 0$ . Υποθέτοντας ότι  $\omega \gg \omega_g$  και  $\omega \gg \omega_p$  μπορεί ν' αποδείξει κανείς ότι <sup>\*)</sup> :

$$\frac{\beta^- - \beta^+}{2} \approx \frac{1}{2c} \frac{\omega_p^2 \omega_g}{\omega^2} \cos \vartheta \quad (6-79)$$

<sup>\*)</sup> Είναι  $\beta^- = \frac{\omega}{c} \sqrt{1 - \frac{\omega_p^2}{\omega^2} + \frac{\omega_p^2 \omega_g}{\omega^3} \cos \vartheta} = \frac{\omega}{c} (1-x)^{\frac{1}{2}} \approx \frac{\omega}{c} \left(1 - \frac{x}{2}\right)$  όπου

$$x = \frac{\omega_p^2}{\omega^2} - \frac{\omega_p^2 \omega_g}{\omega^3} \cos \vartheta = \frac{\omega_p^2}{\omega^2} \left(1 - \frac{\omega_g}{\omega} \cos \vartheta\right) \ll 1$$

Με τον ίδιο τρόπο  $\beta^+ = \frac{\omega}{c} (1-x')^{\frac{1}{2}} \approx \frac{\omega}{c} \left(1 - \frac{x'}{2}\right)$  όπου

$$x' = \frac{\omega_p^2}{\omega^2} + \frac{\omega_p^2 \omega_g}{\omega^3} \cos \vartheta \ll 1$$

Άρα:  $\frac{\beta^- - \beta^+}{2} = \frac{\omega}{2c} \left(\frac{x' - x}{2}\right) = \frac{1}{2c} \frac{\omega_p^2 \omega_g}{\omega^2} \cos \vartheta$

Θέτοντας

$$\omega_g = \frac{e B_0}{m}, \quad \omega = 2\pi f \quad \text{και} \quad \omega_p^2 = \frac{N e^2}{\epsilon_0 m} \quad \text{έχουμε:}$$

$$\frac{\beta^- - \beta^+}{2} = \frac{N e^3 B_0 \cos \vartheta}{8\pi^2 c \epsilon_0 m^2 f^2}$$



$$\eta \quad \frac{\beta_- - \beta_+}{2} = \frac{Ne^3 B_0 \cos \vartheta}{8\pi^2 c \epsilon_0 m^2 f^2} \quad (6-80)$$

"Ωστε η στοιχειώδης "στροφή Faraday"  $d\Phi_{ql}$  για τη σχεδόν διαμήκη διάδοση είναι :

$$d\Phi_{ql} = \frac{Ne^3 B_0 \cos \vartheta}{8\pi^2 c \epsilon_0 m^2 f^2} dl \quad (6-81)$$

"Αν τ είναι το όλικό μήκος της διαδρομής μέσα στο μαγνητόπλάσμα, τότε η "όλική στροφή Faraday" για τη σχεδόν διαμήκη διάδοση είναι :

$$\Phi_{ql} = \frac{e^3}{8\pi^2 c \epsilon_0 m^2 f^2} \int_0^{\tau} N B_0 \cos \vartheta dl \quad (6-82)$$

"Αν τά  $B_0$  και  $\vartheta$  είναι σταθερά τότε έχουμε :

$$\Phi_{ql} = \frac{e^3 B_0 \cos \vartheta}{8\pi^2 c \epsilon_0 m^2 f^2} \int_0^{\tau} N dl \quad (6-83)$$

η σε πρακτική μορφή :

$$\Phi_{ql} (\text{ακτίνια}) = \frac{2,36 \cdot 10^{-3}}{f^2 (\text{MHz})} \int_0^{\tau} N \left( \frac{\eta \lambda}{\text{cm}^3} \right) B_{(\text{Gauss})} dl \quad (6-84)$$

Η (6-83) μάς επιτρέπει να υπολογίσουμε το μέγεθος :

$$N_T = \int_0^{\tau} N dl \quad (6-85)$$

δηλ. τον όλικό αριθμό ηλεκτρονίων, που υπάρχουν σε μία στήλη από το ύλικό με μήκος τ και μοναδιαία διατομή, αν ξέρουμε τά  $B_0$  και  $\vartheta$  και μετρήσουμε την  $\Phi_{ql}$  σε κάποια συχνότητα f .

Ανάλογα για την "σχεδόν εγκάρσια" διάδοση (quasi-transverse) όταν  $\theta = 90^\circ$ , βρίσκουμε :

$$d\Phi_{qt} = \frac{Ne^4 B_0^2 \sin^2 \theta}{32\pi^3 c f^3 m^3 \epsilon_0} dl \quad (6-86)$$

$$\Phi_{qt} = \frac{e^4}{32\pi^3 c f^3 m^3 \epsilon_0} \int_0^T NB_0^2 \sin^2 \theta dl \quad (6-87)$$

Για τις ειδικές περιπτώσεις longitudinal ( $\theta = 0$ ) και transverse ( $\theta = 90$ ) η (6-81) και η (6-86) δίνουν :

$$d\Phi_l = \frac{Ne^3 B_0}{8\pi^2 c \epsilon_0 m^2 f^2} dl \quad (6-88)$$

$$d\Phi_t = \frac{Ne^4 B_0^2}{32\pi^3 c f^3 m^3 \epsilon_0} dl \quad (6-89)$$

Από τις σχέσεις αυτές προκύπτει :

$$\frac{d\Phi_l}{d\Phi_t} = \frac{4\pi f m}{e B_0} = \frac{2m\omega}{e B_0} \quad (6-90)$$

Στην περίπτωση της γήινης ιονόσφαιρας, για μία συχνότητα  $f=100$  MHz και με  $B_0 = 0,5$  Gauss  $= 5 \times 10^{-5}$  Tesla, ο λόγος αυτός είναι περίπου 100.

## Παρατηρήσεις

• Όταν στο σημείο της λήψης φτάνουν "ακτίνες" από διαφορετικές τροχιές (multipath) τότε το ολοκλήρωμα  $\int_0^T NB_0 \cos \theta dl$  έχει διαφορετική τιμή για καθεμιά από αυτές.

Οι διαφορές αυτές στη στροφή Faraday τείνουν να "αποπολώσουν"

τό αρχικό κύμα, να μειώσουν δηλ. τό βαθμό πόλωσης του.

• Η στροφή Faraday είναι αντίστροφα ανάλογη μέ τό τετράγωνό της συχνότητας. Έτσι ένα κύμα πού δέν είναι μονοχρωματικό τείνει να αποπολωθεῖ.

• Οἱ δύο παραπάνω λόγοι αποπόλωσης α) από διάδοση σε άνομοιόγενές μέσο καί β) από " διαφορική στροφή Faraday " για τίς διάφορες συχνότητες ενός εύρους φάσματος, είναι ιδιαίτερα δραστικοῦ στή λήψη σημάτων τῆς Ραδιοαστρονομίας.

Για να παρατηρήσουμε ἔστω καί μικρό βαθμό γραμμικῆς πόλωσης από πηγές μέ περιορισμένες γωνιακές διαστάσεις χρειάζονται δύο φροντίδες στά πειραματικά μέσα.

α) Μεγάλη αύξηση τῆς κατευθυντικότητας τῆς κεραίας, δηλ. περιορισμός τῆς γωνιακῆς διασποράς τῶν "άκτύνων" πού συγκεντρώνουμε καί

β) Μικρό εύρος ζώνης συχνοτήτων τοῦ δέκτη.

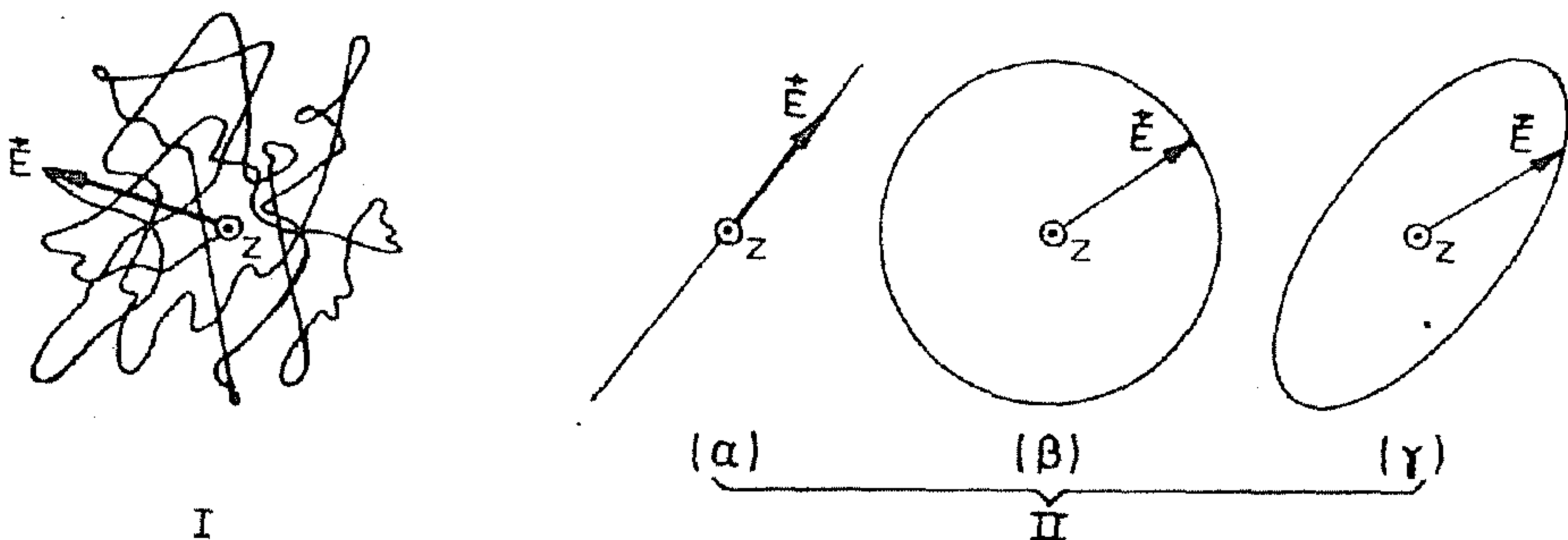


## 7. ΠΟΛΩΣΗ ΤΟΥ ΗΛΕΚΤΡΟΜΑΓΝΗΤΙΚΟΥ ΚΥΜΑΤΟΣ.

Στό Κεφάλαιο αυτό, ἀφοῦ εἰσαχθεῖ ἡ ἔννοια τῆς πόλωσης, περιγράφεται τό ὅλικά πολωμένο Η.Μ. κύμα σάν ἐπαλληλῶς δύο γραμμικά πολωμένων κυμάτων, κάθετων μεταξύ τους, ἢ δύο κυκλικά πολωμένων κυμάτων μέ ἀντίστροφη πόλωση. Δύνονται οἱ παράμετροι τῆς πόλωσης, εἰσάγεται ἡ ἔννοια τοῦ μερικῶς πολωμένου κύματος καί ὁρίζονται οἱ παράμετροι τοῦ Stokes καί ἡ μήτρα συνεκτικότητας.

### 7.1. Ὅλικά Πολωμένο Κύμα.

Ἄς θεωρήσουμε ἓνα ἐπίπεδο ἡλεκτρομαγνητικό κύμα μέ διεύθυνση διαδόσεως κατά τόν ἄξονα  $Oz$  κάθετο στό ἐπίπεδο τοῦ χαρτιοῦ καί ἄς ἀσχοληθοῦμε μέ τήν ἡλεκτρική συνιστώσα του σ' ἓνα ὀρισμένο σημείο  $z$  (βλ. σχ. 7.1). Τό διάνυσμα  $\vec{E}$  θά βρῆσκειται κάθε χρονική στιγμή στό ἐπίπεδο τοῦ σχήματος καί τό ζήτημα πού μπαίνει εἶναι τί εἴδους γραμμή διαγράφει τό ἄκρο τοῦ  $\vec{E}$  στίς διάφορες χρονικές στιγμές.



Σχ. 7-1. I. Ἀπόλωτο κύμα, II. (α) Γραμμικά, (β) Κυκλικά, ἢ (γ) ἑλλειπτικά πολωμένο κύμα.



θά παραλείψουμε τόν ὅρο βz τῆς φασικῆς ἐξέλιξης τοῦ κύματος κατὰ τόν ἄξονα z (πού εἶναι κάθετος στό ἐπίπεδο τοῦ χαρτιοῦ μας) καί θά θεωρήσουμε τή διάδοση τοῦ κύματος κατὰ τόν ἄξονα z, ὅποτε ἡ ἠλεκτρική συνιστώσα  $\vec{E}$  βρίσκεται στό ἐπίπεδο xy (βλ.σχ.7-2)

### α. Περιγραφή μέ ἑπαλληλία "γραμμικά πολωμένων κυμάτων".

Οἱ συνιστώσες τοῦ ἠλεκτρικοῦ πεδίου στίς διευθύνσεις x , y εἶναι, ἀντίστοιχα :

$$\left. \begin{aligned} E_x &= E_{x0} \cos \omega t \\ E_y &= E_{y0} \cos(\omega t + \delta) \end{aligned} \right\} \quad (7-1)$$

ὅπου δ εἶναι ἡ διαφορά φάσης τῶν δύο συνιστωσῶν.

Ὡστε εἶναι :

$$\vec{E} = \hat{x} E_x + \hat{y} E_y \quad (7-2)$$

"Αν OA εἶναι τό μήκος τοῦ μεγάλου ἡμιάξονα τῆς ἑλλειψης καί OB τό μήκος τοῦ μικροῦ, ὀρίζεται τό ἀξονικό πηλίκιο (ΑΠ) :

$$ΑΠ = \frac{OA}{OB}, \quad 1 \leq ΑΠ \leq \infty \quad (7-3)$$

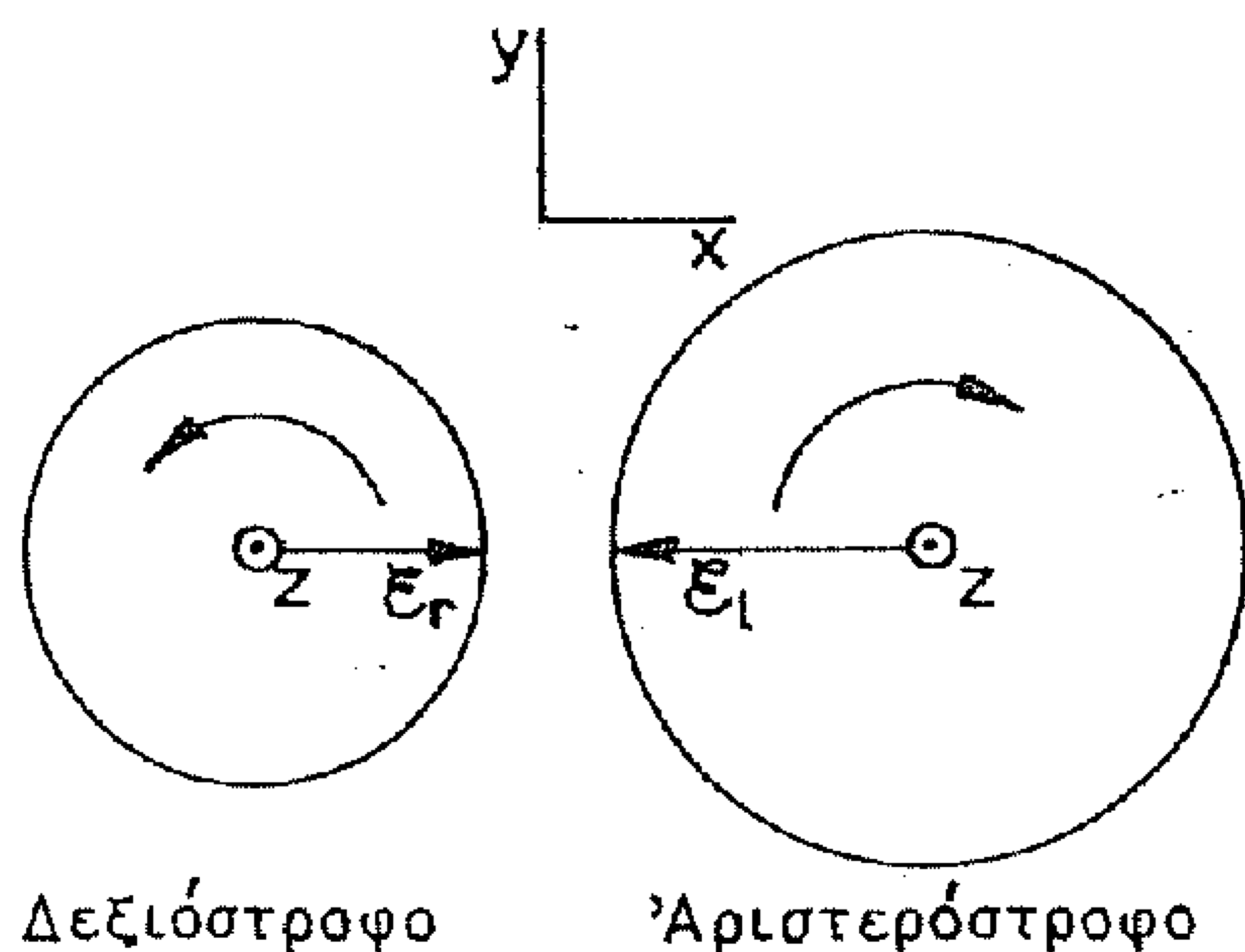
### β. Περιγραφή μέ ἑπαλληλία "κυκλικά πολωμένων κυμάτων".

Ἰσχύουν οἱ σχέσεις :

$$\left. \begin{aligned} E_R &= E_R e^{j\omega t} \\ E_L &= E_L e^{-j(\omega t + \delta')} \end{aligned} \right\} \quad (7-4)$$

Οἱ δύο προηγούμενες περιγραφές συνδέονται μεταξύ τους μέ τίς σχέσεις :





Σχ. 7-3. Δεξιόστροφο και Αριστερόστροφο κυκλικά πολωμένο κύμα.

$$\left. \begin{aligned} E_x &= \operatorname{Re} [E_r + E_l] \\ E_y &= \operatorname{Im} [E_r + E_l] \end{aligned} \right\} \quad (7-5)$$

ή ακόμα :

$$\left. \begin{aligned} E_x &= E_R \cos \omega t + E_L \cos(\omega t + \delta') \\ E_y &= E_R \sin \omega t - E_L \sin(\omega t + \delta') \end{aligned} \right\} \quad (7-6)$$

Στό πύνακα της επόμενης σελίδας δίνονται οι παράμετροι  $\gamma, \delta, \epsilon$  και  $\tau$  που εικονίζονται στο σχ. 7-2, οι σχέσεις που τις ορίζουν καθώς και οι τιμές που παίρνουν οι παράμετροι αυτές στις ειδικές περιπτώσεις της γραμμικής και της κυκλικής πόλωσης.

## 7.2. Η Σφαίρα του Poincaré.

Οι παράμετροι  $\gamma, \delta, \epsilon$  και  $\tau$ , που ορίζονται στο πύνακα της επόμενης σελίδας συνδέονται με τις παρακάτω σχέσεις (Poincare 1892 Deschamps 1951).

$$\begin{aligned} \cos 2\gamma &= \cos 2\epsilon \cdot \cos 2\tau \\ \tan \delta &= \frac{\tan 2\epsilon}{\sin 2\tau} \end{aligned} \quad (7-7)$$

ή

$$\begin{aligned} \tan 2\tau &= \tan 2\gamma \cos \delta \\ \sin 2\epsilon &= \sin 2\gamma \sin \delta \end{aligned} \quad (7-8)$$

Οι προηγούμενες τέσσερες σχέσεις επιτρέπουν το πέρασμα :

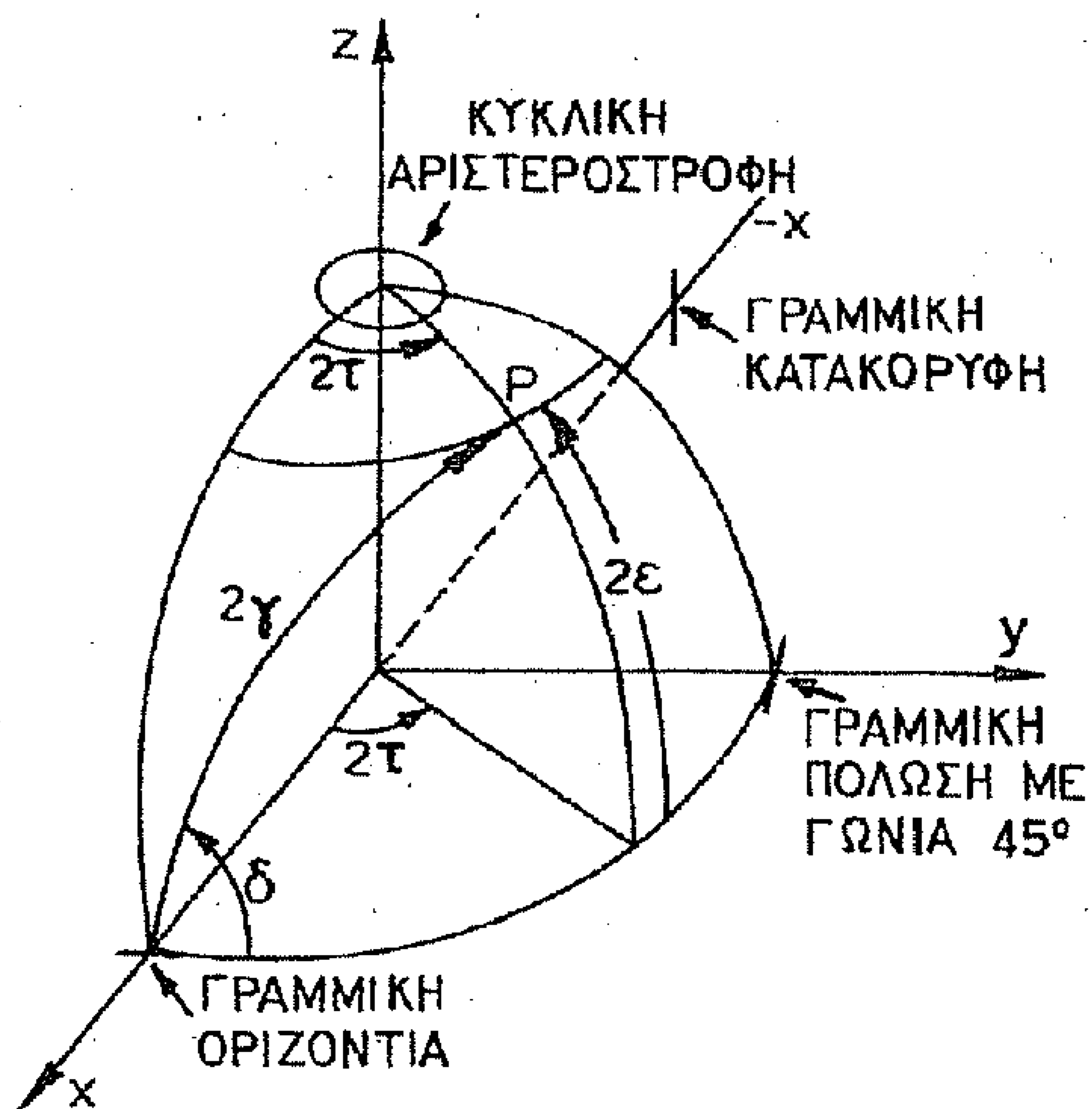
$$(\gamma, \delta) \iff (\epsilon, \tau)$$

## ΠΙΝΑΚΑΣ 7-Ι

## Παράμετροι τῆς Ἑλλειπτικῆς Πόλωσης

	ΠΑΡΑΜΕΤΡΟΣ	ΟΡΙΣΜΟΣ	ΕΙΔΙΚΕΣ ΠΕΡΙΠΤΩΣΕΙΣ
ΓΡΑΜΜΙΚΗ ΠΕΡΙΓΡΑΦΗ	$\gamma$	$\gamma = \arctan \frac{E_{y0}}{E_{x0}}$ $0 \leq \gamma < \frac{\pi}{2}$ <p>ὅπου <math>E_{x0}, E_{y0}</math> τὰ πλάτη τῆς ταλάντωσης στoύς ἄξονες <math>x</math> καί <math>y</math>.</p>	<u>γραμμική πόλωση</u> ὀριζόντια: $\gamma = 0$ κατακόρυφη: $\gamma = \frac{\pi}{2}$ μέ γωνία $\alpha$ : $\gamma = \alpha$ <u>κυκλική πόλωση</u> : $\gamma = \frac{\pi}{4}$
	$\delta$	<p>Ἡ διαφορά φάσης τῆς συνιστώσας <math>E_y</math> ὡς πρὸς τὴν <math>E_x</math>: <math>E_y = E_x \tan \gamma e^{j\delta}</math></p> $-\pi \leq \delta \leq +\pi$	<u>γραμμική πόλωση</u> : $\delta = 0$ <u>κυκλική πόλωση</u> δεξιόστροφη: $\delta = -\frac{\pi}{2}$ ἀριστερόστροφη: $\delta = \frac{\pi}{2}$
ΓΕΩΜΕΤΡΙΚΗ ΠΕΡΙΓΡΑΦΗ	$\epsilon$	$\epsilon = \operatorname{arccot}  \mp A_P $ $-\frac{\pi}{4} \leq \epsilon \leq \frac{\pi}{4}$ <p>ὅπου <math>A_P</math> τὸ ἀξονικό πηλίκο: <math>A_P = \frac{OA}{OB}</math></p>	<u>γραμμική πόλωση</u> ( $A_P = \infty$ ) $\epsilon = 0$ <u>κυκλική πόλωση</u> ( $A_P = 1$ ) δεξιόστροφη: $\epsilon = -\frac{\pi}{4}$ ἀριστερόστροφη: $\epsilon = \frac{\pi}{4}$
	$\tau$	<p>Ἡ γωνία τοῦ μεγάλου ἄξονα τῆς ἑλλειψης μέ τόν ἄξονα <math>x</math> (προσανατολισμός τῆς ἑλλειψης):</p> $0 \leq \tau \leq \pi$	γιὰ γραμμικά πολωμένο κύμα μέ γωνία πόλωσης $\alpha$ εἶναι: $\tau = \alpha = \gamma$

καὶ θυμίζουν σχέσεις τῆς σφαιρικῆς τριγωνομετρίας, ἀπὸ ὅπου καὶ



Σχ. 7-4. Ἡ σφαῖρα τοῦ Poincaré κάθε ζευγάρι  $(\delta, \gamma)$  ἢ  $(\epsilon, \tau)$  δίνει ἓνα σημεῖο καὶ ὁρίζει τελεῶς τὸ εἶδος τῆς ὁλικῆς πόλωσης.

ἡ ἰδέα τῆς κατασκευῆς τῆς σφαῖρας, πού δείχνει τὸ σχ. 7-4 καὶ πού λέγεται σφαῖρα τοῦ Poincaré.

Πάνω στὴ σφαῖρα τοῦ Poincaré κάθε σημεῖο  $P(\epsilon, \tau)$  ἢ  $P(\gamma, \delta)$  ὁρίζει τελεῶς τὰ χαρακτηριστικά τοῦ ὁλικὰ πολωμένου κύματος. Στὴ σφαῖρα τοῦ Poincaré τοῦ σχ. 7-4 εἶναι σημειωμένες μερικὲς εἰδικές περιπτώσεις κατάστασης πόλωσης. Γενικά, κάθε σημεῖο

τοῦ πάνω ἡμισφαίριου ἀντιπροσωπεύει ἀριστερόστροφη ἐλλειπτικὴ πόλωση, πού στὸν πόλο γίνεται κυκλική ἐνῶ στὸν ἑσημερινό γραμμική. Τὰ ἀντίστροφα συμβαίνουν στὸ κάτω ἡμισφαῖριο.

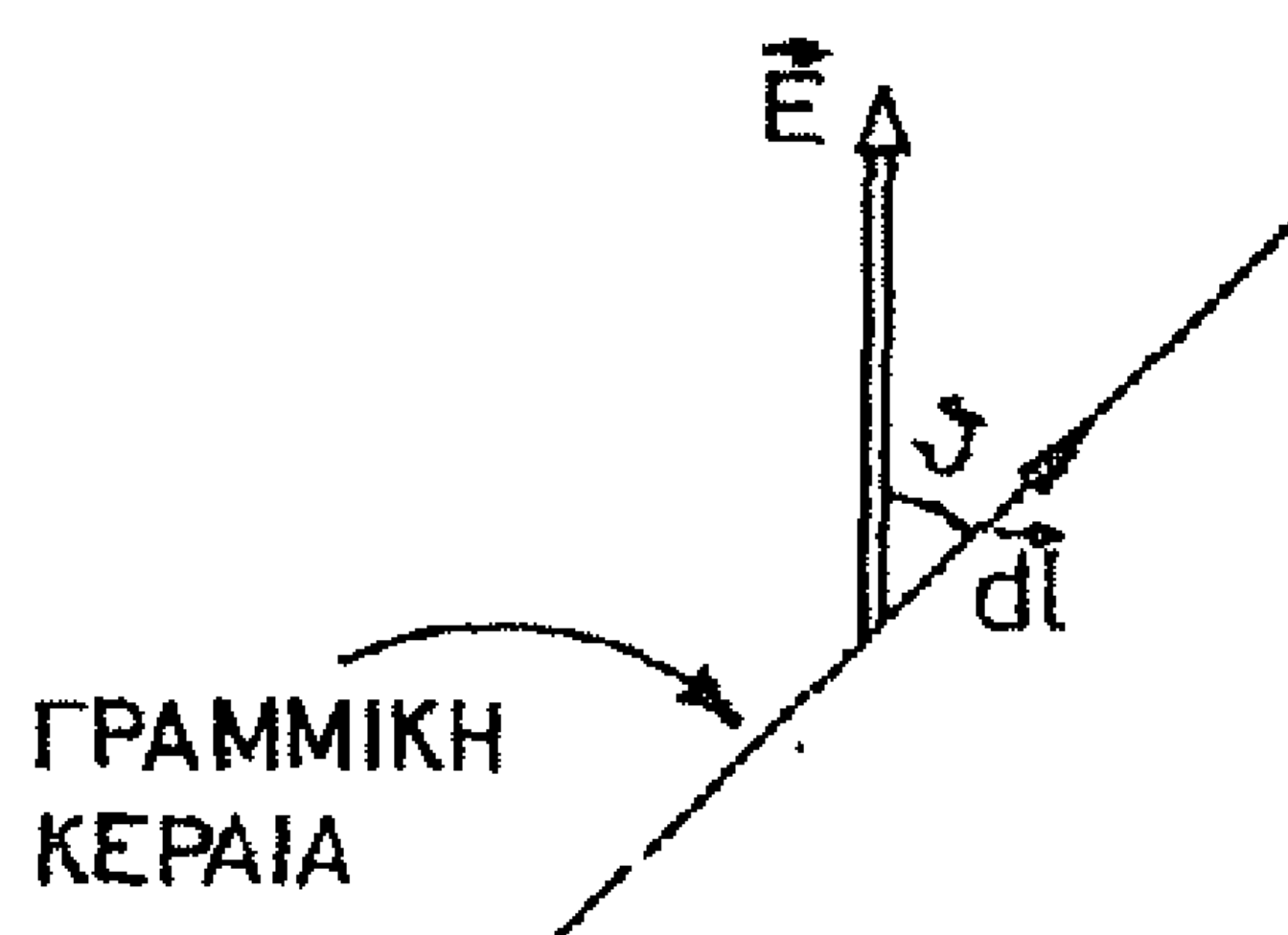
### 7.3. Ἀπόκριση Κεραίας σέ Ὅλικά Πολωμένο Κύμα.

Ἡ ἀπόκριση τῆς κεραίας ἐνὸς δέκτη δύναται ἀπὸ τὴν τάση, πού ἀναπτύσσεται σ' αὐτήν ὅταν πέσει πάνω της κύμα μέ ἔνταση  $\vec{E}$ . Στὴν περίπτωση γραμμικά πολωμένου κύματος καὶ γραμμικά πολωμένης κεραίας ἡ τάση αὐτὴ ὑπολογίζεται ἀπὸ τὴ σχέση:

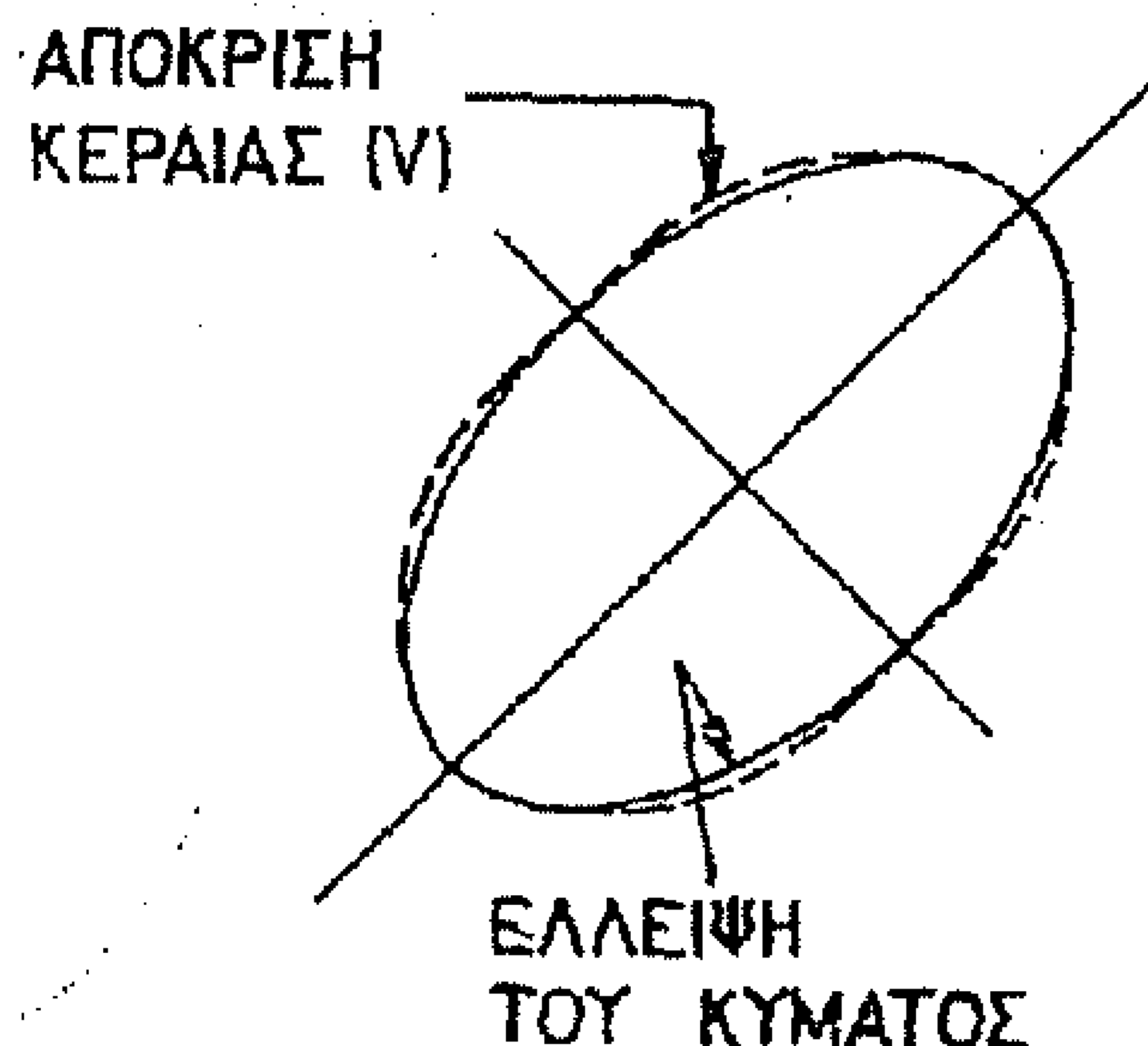
$$V = \int_0^l \vec{E} \cdot d\vec{l} \quad (7-9)$$

$$\text{ἢ} \quad V = E l \cos \vartheta \quad (7-10)$$

όπου  $l$  τό ενεργό μήκος τῆς κεραίας (βλ. σχ. 7-5)



Σχ. 7-5



Σχ. 7-6. Απόκριση γραμμικά πολωμένης κεραίας σέ έλλειπτικά πολωμένο κύμα

Στή γενική περίπτωση ενός έλλειπτικά πολωμένου κύματος τό πλάτος τοῦ  $\vec{E}$  εἶναι :

$$E_o = \sqrt{E_{xo}^2 + E_{yo}^2} \quad (7-11)$$

Αν στρέψουμε τήν κεραία ἀργά-ἀργά ἡ τάση  $V$  θά ἀλλάζει καί τελικά θά πάρουμε μιᾶ ἐξέλιξη διαφορετική ἀπό τήν ἔλλειψη τοῦ πολωμένου κύματος, ὅπως δείχνει τό σχ. 7-6 .

Αν  $M_\alpha(\epsilon, \tau)$  εἶναι τό παραστατικό σημείο τῆς πόλωσης μιᾶς κεραίας, πάνω στή σφαῖρα τοῦ Poincare καί  $M(\epsilon', \tau')$  τό ἀντίστοιχο σημείο τῆς πόλωσης τοῦ κύματος, τότε ἡ ἐπαγόμενη τάση εἶναι γενικά :

$$V = E I \cos \frac{\widehat{MM_\alpha}}{2} \quad (7-12)$$

Ἐφαρμογή :

Γιά  $\widehat{MM_\alpha} = 0^\circ$  εἶναι  $V = \max$  καί ἔχουμε προσαρμογή κεραίας-κύματος.

Γιά  $\widehat{MM_\alpha} = 180^\circ$  τό  $V = 0$  (ὅπως π.χ. συμβαίνει (i) μέ κυκλική δεξιόστροφη κεραία καί κυκλικό ἀριστερόστροφο κύμα ἢ (ii) μέ κεραία ὀριζόντιας γραμμικῆς πόλωσης καί κύμα κατακόρυφα γραμμικά πολωμένο ).

## 74. Μερικά Πολωμένο Κύμα.

### Παράμετροι Stokes.

Ως έδω έξετάσαμε τελείως (όλικά) πολωμένα Η.Μ. κύματα, δηλαδή κύματα όπου τά  $E_{x0}$ ,  $E_{y0}$  και δ είναι σταθερά (ή τουλάχιστον μεταβάλλονται αργά με τό χρόνο). Μιά τέτοια περίπτωση είναι ή άκτινοβολία ενός μονοχρωματικού πομπού. Συνήθως όμως, ή έκπομπή από μία " φυσική " πηγή εκτείνεται σε σημαντικό εύρος ζώνης συχνοτήτων και μέσα σ' αυτό κάθε μικρό εύρος ΔF συνίσταται από τήν έπαλληλία ενός μεγάλου άριθμού στατιστικά άνεξάρτητων κυμάτων με ποικιλία πολώσεων. Τό κύμα πού προκύπτει λέγεται " τ υ χ α τ α π ο λ ω μ έ ν ο κ ύ μ α " ή " τ ε λ ε ί ω ς ά π ό λ ω τ ο κ ύ μ α " .

Γιά ένα τέτοιο κύμα μπορούμε νά γράψουμε :

$$\left. \begin{aligned} E_x &= E_{x0}(t) \cos \omega t \\ E_y &= E_{y0}(t) \cos [\omega t + \delta(t)] \end{aligned} \right\} \quad (7-13)$$

όπου όλες οί χρονικές συναρτήσεις είναι άνεξάρτητες μεταξύ τους. Οί χρονικές μεταβολές  $E_{x0}(t)$ ,  $E_{y0}(t)$  και  $\delta(t)$  είναι σχετικά άργές.

Ένα τέτοιο τ ε λ ε ί ω ς ά π ό λ ω τ ο κύμα παίρνουμε όταν π.χ δύο άνεξάρτητες μεταξύ τους " γεννήτριες θορύβου " τροφοδοτούν (α) δύο κάθετα μεταξύ τους δόπολα (και δημιουργούν δύο κάθετα γραμμικά πολωμένα τυχαία πεδία) ή (β) δύο έλικοειδεύς κεραίες με άντίθετες σπεύρες (δημιουργώντας έτσι δύο άντίστροφα κυκλικά πολωμένα τυχαία κύματα). Όπως θά δοῦμε όμως, γιά νά προκύψει τελείως άπόλωτο κύμα, θά πρέπει οί δύο γεννήτριες νά άκτινοβολούν τήν ἴδια μέση ίσχύ και τά σήματά τους νά είναι τελείως άσυσχέτιστα.

Μερικά πολωμένο κύμα : 'Η πιο γενική περίπτωση κύματος είναι εκείνη όπου το κύμα είναι "μερικά" πολωμένο, δηλαδή όταν μπορεί να θεωρηθεί ότι αποτελείται από δύο μέρη, το ένα "τελείως πολωμένο" και το άλλο "τελείως άπολωτο". Για την περιγραφή ενός τέτοιου κύματος είναι αναγκαίες οι τέσσερις παράμετροι του Stokes (G. Stokes 1852, Chandrasekhar 1950)

Καταρχήν ορίζουμε τις τέσσερις παραμέτρους του Stokes για την περίπτωση τελείως πολωμένου κύματος.

#### 7.4.1. Παράμετροι Stokes για όλικά πολωμένο κύμα.

Οι εξισώσεις (7-1) γράφονται :

$$\left. \begin{aligned} E_x &= E_{x0} \cos(\omega t + \delta_1) \\ E_y &= E_{y0} \cos(\omega t + \delta_2) \end{aligned} \right\} \text{ με } \delta_2 - \delta_1 = \delta \quad (7-14)$$

Στό σύστημα των αξόνων  $x'y'$  του σχήματος 7-2 οι προβολές του  $\vec{E}$  θα είναι :

$$\left. \begin{aligned} E_{x'} &= E_0 \cos \epsilon \cos \omega t \\ E_{y'} &= E_0 \sin \epsilon \sin \omega t \end{aligned} \right\} \quad (7-15)$$

και με στροφή των αξόνων από του  $x'y'$  στους  $xy$  :

$$\left. \begin{aligned} E_x &= E_{x'} \cos \tau - E_{y'} \sin \tau \\ E_y &= E_{x'} \sin \tau + E_{y'} \cos \tau \end{aligned} \right\} \quad (7-16)$$

Από τις (7-15) και (7-16) με απαλοιφή των  $E_{x'}$  και  $E_{y'}$  προκύπτουν :

$$\left. \begin{aligned} E_x &= E_0 (\cos \epsilon \cos \tau \cos \omega t - \sin \epsilon \sin \tau \sin \omega t) \\ E_y &= E_0 (\cos \epsilon \sin \tau \cos \omega t + \sin \epsilon \cos \tau \sin \omega t) \end{aligned} \right\} \quad (7-17)$$

Απαλείφοντας τὰ  $\cos \omega t$ ,  $\sin \omega t$  από τῆς (7-14) καί (7-17) παίρνουμε :

$$\left. \begin{aligned} E_{x0} &= E_0 \sqrt{\cos^2 \epsilon \cos^2 \tau + \sin^2 \epsilon \sin^2 \tau} \\ E_{y0} &= E_0 \sqrt{\cos^2 \epsilon \sin^2 \tau + \sin^2 \epsilon \cos^2 \tau} \end{aligned} \right\} \quad (7-18)$$

Από τῆς (7-18) προκύπτει εύκολα ὅτι :

$$E_{x0}^2 + E_{y0}^2 = E_0^2 \quad (7-19)$$

"Αν  $S_x$  εἶναι τό πλάτος τοῦ διανύσματος Poynting<sup>\*)</sup> τῆς πολωμένης κατά τόν ἄξονα  $x$  συνιστώσας καί  $S_y$  τό ἀντίστοιχο πλάτος τῆς πολωμένης κατά τόν ἄξονα  $y$  συνιστώσας, ὀρίζεται τό μέγεθος:

$$S = S_x + S_y = \frac{E_{x0}^2 + E_{y0}^2}{Z} = \frac{E_0^2}{Z} \quad (7-20)$$

Από τῆς (7-18) καί (7-20) προκύπτουν :

$$\boxed{\begin{aligned} S_x &= \frac{E_{x0}^2}{Z} = S (\cos^2 \epsilon \cos^2 \tau + \sin^2 \epsilon \sin^2 \tau) \\ S_y &= \frac{E_{y0}^2}{Z} = S (\cos^2 \epsilon \sin^2 \tau + \sin^2 \epsilon \cos^2 \tau) \end{aligned}} \quad (7-21)$$

Οἱ παράμετροι  $I$ ,  $Q$ ,  $U$  καί  $V$  τοῦ Stokes γιά ἓνα ὀλικά πολωμένο κύμα μέ τά στοιχεῖα  $S_x$ ,

\*) Θυμίζουμε ὅτι ἐπειδή τό διάνυσμα Poynting εἶναι  $\vec{P} \triangleq \vec{E} \times \vec{H}$  καί ἡ κυματική ἀντίσταση τοῦ μέσου διαδόσεως εἶναι  $Z \triangleq \frac{E}{H}$  ἔχουμε ὅτι  $P = \frac{E^2}{Z}$ . Στό κεφάλαιο αὐτό ἀντί τοῦ συμβόλου  $P$  χρησιμοποιοῦμε τό σύμβολο  $S$  ὅπως συνηθίζεται στή σχετική μέ τήν πόλωση βιβλιογραφία.



$S_y$ ,  $\epsilon$ ,  $\tau$  ορίζονται ως εξής :

$$\begin{aligned}
 I &\triangleq S = S_x + S_y = \frac{E_{x0}^2}{Z} + \frac{E_{y0}^2}{Z} \\
 Q &\triangleq S_x - S_y = \frac{E_{x0}^2}{Z} - \frac{E_{y0}^2}{Z} = S \cos 2\epsilon \cos 2\tau \\
 U &\triangleq (S_x - S_y) \tan 2\tau = S \cos 2\epsilon \sin 2\tau = 2 \frac{E_{x0} E_{y0}}{Z} \cos \delta \\
 V &\triangleq (S_x - S_y) \tan 2\epsilon \sec 2\tau = S \sin 2\epsilon = 2 \frac{E_{x0} E_{y0}}{Z} \sin \delta
 \end{aligned}
 \tag{7-22}$$

όπου  $\delta = \delta_2 - \delta_1$ .

(Μιά μνημοτεχνική παρατήρηση : Οί παράμετροι του Stokes θά μπορούσαν νά θεωρηθοῦν σάν ἄθροισμα, διαφορά, βατική καί ἀβατική συνιστώσα ισχύος) .

Ἀπό τίς (7-22) προκύπτουν οἱ σχέσεις :

$$I^2 = Q^2 + U^2 + V^2 \tag{7-23}$$

$$\frac{U}{Q} = \tan 2\tau \tag{7-24}$$

$$\text{καί} \quad \frac{V}{S} = \sin 2\epsilon = \frac{V}{\sqrt{Q^2 + U^2 + V^2}} \tag{7-25}$$

Χρησιμοποιώντας τό συμβολισμό μέ μήτρα-στήλη ορίζουμε τό " διάνυσμα του Stokes " :

$$[S_i] \triangleq \begin{bmatrix} I \\ Q \\ U \\ V \end{bmatrix} = \begin{bmatrix} S \\ S \cos 2\epsilon \cos 2\tau \\ S \cos 2\epsilon \sin 2\tau \\ S \sin 2\epsilon \end{bmatrix} \tag{7-26}$$

Αν διαιρέσουμε τις παραμέτρους του Stokes, που όρισαμε, διά S προκύπτουν οι κανονικοποιημένες παράμετροι του Stokes (ή άνηγμένες, normalized) και αντίστοιχα το κανονικοποιημένο διάνυσμα του Stokes :

$$[s_i] \triangleq \begin{bmatrix} s_0 \\ s_1 \\ s_2 \\ s_3 \end{bmatrix} = \frac{1}{S} \begin{bmatrix} I \\ Q \\ U \\ V \end{bmatrix} = \frac{1}{S} [S_i] = \begin{bmatrix} 1 \\ \cos 2\epsilon \cos 2\tau \\ \cos 2\epsilon \sin 2\tau \\ \sin 2\epsilon \end{bmatrix} \quad (7-27)$$

#### Εφαρμογή σε τρεις ειδικές περιπτώσεις

- 1) Για άριστερόστροφο κυκλικά πολωμένο κύμα είναι,  $S_x = S_y$ ,  
 $AP = 1$  και  $\epsilon = 45^\circ$ ,  $\tau = \text{άπροσδιόριστο}$ .

Ωστε από τις (7-26) και (7-27) έχουμε :

$$[s_i] \triangleq \begin{bmatrix} I \\ Q \\ U \\ V \end{bmatrix} = \begin{bmatrix} S \\ 0 \\ 0 \\ S \end{bmatrix}, \quad [s_i] \equiv \frac{1}{S} \begin{bmatrix} I \\ Q \\ U \\ V \end{bmatrix} = \begin{bmatrix} 1 \\ 0 \\ 0 \\ 1 \end{bmatrix} \quad (7-28)$$

- 2) Για δεξιόστροφο κυκλικά πολωμένο κύμα, όπου είναι  $S_x = S_y$ ,  
 $AP = 1$ ,  $\epsilon = -45^\circ$  και  $\tau = \text{άπροσδιόριστο}$ . Προκύπτει:

$$[s_i] \triangleq \begin{bmatrix} I \\ Q \\ U \\ V \end{bmatrix} = \begin{bmatrix} S \\ 0 \\ 0 \\ -S \end{bmatrix}, \quad [s_i] \equiv \frac{1}{S} \begin{bmatrix} I \\ Q \\ U \\ V \end{bmatrix} = \begin{bmatrix} 1 \\ 0 \\ 0 \\ -1 \end{bmatrix} \quad (7-29)$$

3) Για γραμμικά πολωμένο κύμα, μέ γωνία πόλωσης  $\alpha$ , όπου είναι:

$\gamma = \alpha$ ,  $\delta = 0$ ,  $\tau = \alpha$ ,  $\epsilon = 0$ , προκύπτει :

$$\begin{bmatrix} S_i \end{bmatrix} = \begin{bmatrix} S \\ S \cos 2\alpha \\ S \sin 2\alpha \\ 0 \end{bmatrix}, \quad \begin{bmatrix} s_i \end{bmatrix} = \begin{bmatrix} 1 \\ \cos 2\alpha \\ \sin 2\alpha \\ 0 \end{bmatrix} \quad (7-30)$$

#### 7.4.2. Οί Παράμετροι του Stokes για μερικά πολωμένο και για τελείως απόλωτο κύμα.

Στήν περίπτωση αυτή ξαναγράφουμε τις (7-14) ως εξής :

$$\left. \begin{aligned} E_x &= E_{x0}(t) \cos [\omega t + \delta_1(t)] \\ E_y &= E_{y0}(t) \cos [\omega t + \delta_2(t)] \end{aligned} \right\} \quad (7-31)$$

$$\text{όπου} \quad \delta = \delta_2 - \delta_1 \quad (7-32)$$

Για τόν όρισμό, τώρα, των  $I, Q, U$  και  $V$  είναι ανάγκη να πάρουμε τή χρονική μέση τιμή των συναρτήσεων  $E_{x0}(t)$ ,  $E_{y0}(t)$ ,  $\delta_1(t)$  και  $\delta_2(t)$ . Συμβολίζοντας τόν τελεστή της μέσης τιμής :

$$\lim_{T \rightarrow \infty} \frac{1}{2T} \int_{-T}^{+T} \dots dt \quad \text{μέ} \quad \langle \dots \rangle \quad (7-33)$$

έντελως ανάλογα μέ τις (7-22) όρίζουμε :

$$I \triangleq S = S_x + S_y = \frac{\langle E_{x0}^2 \rangle}{Z} + \frac{\langle E_{y0}^2 \rangle}{Z}$$

$$Q \triangleq S_x - S_y = \frac{\langle E_{x0}^2 \rangle}{Z} - \frac{\langle E_{y0}^2 \rangle}{Z} = S \langle \cos 2\epsilon \cos 2\tau \rangle$$

(7-34)

$$U \triangleq S \langle \cos 2\epsilon \sin 2\tau \rangle = \frac{2}{Z} \langle E_{x0} E_{y0} \cos \delta \rangle$$

$$V \triangleq S \langle \sin 2\epsilon \rangle = \frac{2}{Z} \langle E_{x0} E_{y0} \sin \delta \rangle$$

$$\text{όπου } \delta = \delta_2 - \delta_1$$

Πρέπει νά τονιστεῖ ὅτι στίς παραπάνω σχέσεις τά  $\epsilon$ ,  $\tau$ ,  $\delta$ ,  $E_{x0}$ ,  $E_{y0}$  εἶναι τώρα συναρτήσεις τοῦ χρόνου.

Ἀπό τίς (7-34) χρησιμοποιώντας τή σχέση :

$$\langle x^2 \rangle \geq \langle x \rangle^2 \quad (7-35)$$

προκύπτει ὅτι :

$$I^2 \geq Q^2 + U^2 + V^2 \quad (7-36)$$

Ἀπό τίς (7-22) καί (7-34) φαίνεται ὅτι μόνο ἡ παράμετρος  $I$  ἐκφράζει τήν ὅλκῃ ἰσχύ, ἐνῶ οἱ παράμετροι  $Q$ ,  $U$  καί  $V$  περιέχουν χαρακτηριστικά μόνο τῆς πολωμένης ἰσχύος.

Ἐφαρμογή στό τελείως ἀπόλωτο κύμα :

Στήν εἰδική περίπτωση τοῦ τελείως ἀπόλωτου κύματος ἔχουμε  $S_x = S_y$ , ἐνῶ τά  $E_{x0}(t)$ ,  $E_{y0}(t)$  εἶναι τελείως ἀσυσχέτισ-  
τα καί ἐπομένως εἶναι  $\langle E_{x0}(t) E_{y0}(t) \cos \delta \rangle = 0$  καί  
 $\langle E_{x0}(t) E_{y0}(t) \sin \delta \rangle = 0$ . Ὡστε γιά τελείως ἀπόλωτο κύμα  
εἶναι :

$$\begin{bmatrix} S \\ s_i \end{bmatrix} = \begin{bmatrix} S \\ 0 \\ 0 \\ 0 \end{bmatrix} \quad \text{καί} \quad \begin{bmatrix} S \\ s_i \end{bmatrix} = \begin{bmatrix} 1 \\ 0 \\ 0 \\ 0 \end{bmatrix} \quad (7-37)$$

Ορίζουμε σαν βαθμό πόλωσης το πηλύκο :

$d \triangleq \frac{\text{πολωμένη ισχύς}}{\text{όλική ισχύς}} = \frac{\sqrt{Q^2 + U^2 + V^2}}{I}$	ΒΑΘΜΟΣ ΠΟΛΩΣΗΣ	(7-38)
--	-------------------	--------

καί είναι :  $0 \leq d \leq 1$  (7-39)

Διαπιστώνουμε από την (7-38) ότι αν κάποιο από τα  $Q, U$  και  $V$  είναι διάφορο από το μηδέν τότε υπάρχει πολωμένη συνιστώσα ισχύος. Ωστε η συνθήκη  $Q = U = V = 0$  είναι αναγκαία και αρκετή για να έχουμε τελείως απόλωτο κύμα. Ο βαθμός πόλωσης  $d$  είναι μηδέν για το τελείως απόλωτο κύμα και μονάδα για το τελείως πολωμένο.

Δύο βασικές προτάσεις που μπορούν ν' αποδειχτούν είναι :

- Δύο κύματα με τις ίδιες παραμέτρους Stokes "ταυτίζονται".
- Στην περίπτωση, που έχουμε έπαλληλία διάφορων ανεξάρτητων κυμάτων, οι παράμετροι Stokes του συνιστάμενου κύματος θα είναι το άθροισμα των παραμέτρων Stokes των επιμέρους κυμάτων.

Η παρουσία της απόλωτης συνιστώσας μπορεί να αναδειχτεί, αν ξαναεκφράσουμε τις παραμέτρους του Stokes με τη βοήθεια των δύο συνιστωσών: της πολωμένης  $S_p$  (polarized) και της απόλωτης  $S_u$  (unpolarized). Έτσι θα έχουμε :

$$\begin{aligned}
 I &= S_u + S_p = S_u + S_{xp} + S_{yp} \\
 Q &= S_{xp} - S_{yp} \\
 U &= (S_{xp} - S_{yp}) \tan 2\tau \\
 V &= (S_{xp} - S_{yp}) \tan 2\epsilon \sec 2\tau
 \end{aligned}
 \tag{7-40}$$

Οι κανονικοποιημένες παράμετροι Stokes του μερικά πολωμένου κύματος είναι :

$$\begin{aligned}
 s_0 &= \frac{I}{S} = 1 \\
 s_1 &= \frac{Q}{S} = \frac{S_x - S_y}{S} = \langle \cos 2\epsilon \cos 2\tau \rangle \\
 s_2 &= \frac{U}{S} = \frac{2}{Z} \frac{\langle E_{x0} E_{y0} \cos \delta \rangle}{S} = \langle \cos 2\epsilon \sin 2\tau \rangle \\
 s_3 &= \frac{V}{S} = \frac{2}{Z} \frac{\langle E_{x0} E_{y0} \sin \delta \rangle}{S} = \langle \sin 2\epsilon \rangle
 \end{aligned}
 \tag{7-41}$$

Τό διάνυσμα Stokes και τό κανονικοποιημένο διάνυσμα Stokes για τό μερικά πολωμένο κύμα είναι :

$$\begin{bmatrix} S \\ S \langle \cos 2\epsilon \cos 2\tau \rangle \\ S \langle \cos 2\epsilon \sin 2\tau \rangle \\ S \langle \sin 2\epsilon \rangle \end{bmatrix} \quad \text{και} \quad \begin{bmatrix} 1 \\ \langle \cos 2\epsilon \cos 2\tau \rangle \\ \langle \cos 2\epsilon \sin 2\tau \rangle \\ \langle \sin 2\epsilon \rangle \end{bmatrix}
 \tag{7-42}$$

"Αν  $\delta$  ο βαθμός πόλωσης και  $\epsilon$  και  $\tau$  τά χαρακτηριστικά πόλωσης της πολωμένης ισχύος μπορούν να αποδειχτούν οι σχέσεις :

$$\left. \begin{aligned} \langle \cos 2\epsilon \cos 2\tau \rangle &= d \cos 2\epsilon \cos 2\tau \\ \langle \cos 2\epsilon \sin 2\tau \rangle &= d \cos 2\epsilon \sin 2\tau \\ \langle \sin 2\epsilon \rangle &= d \sin 2\epsilon \end{aligned} \right\} \quad (7-43)$$

Ὡστε οἱ (7-42) γίνονται :

$$[S_i] = \begin{bmatrix} S \\ Sd \cos 2\epsilon \cos 2\tau \\ Sd \cos 2\epsilon \sin 2\tau \\ Sd \sin 2\epsilon \end{bmatrix} \quad \text{καί} \quad [S_i] = \begin{bmatrix} 1 \\ d \cos 2\epsilon \cos 2\tau \\ d \cos 2\epsilon \sin 2\tau \\ d \sin 2\epsilon \end{bmatrix} \quad (7-44)$$

Ἀπὸ τῆ σύγκριση τῶν (7-42) καὶ (7-44) παρατηροῦμε πὺς τῇ θέσει τοῦ τελεστή τῆς μέσης τιμῆς τῶν (7-42) τὴν παίρνει στίς (7-44) ὁ βαθμὸς πόλωσης  $d$ .

Ἀπὸ τίς (7-44) μποροῦμε νὰ γράψουμε :

$$[S_i] = S \underbrace{\begin{bmatrix} 1-d \\ 0 \\ 0 \\ 0 \end{bmatrix}}_{\text{τελείως ἀπόλωτο}} + S \underbrace{\begin{bmatrix} d \\ d \cos 2\epsilon \cos 2\tau \\ d \cos 2\epsilon \sin 2\tau \\ d \sin 2\epsilon \end{bmatrix}}_{\text{τελείως πολωμένο}} \quad (7-45)$$

$$\text{καί} \quad [S_i] = \underbrace{\begin{bmatrix} 1-d \\ 0 \\ 0 \\ 0 \end{bmatrix}}_{\text{τελείως ἀπόλωτο}} + \underbrace{\begin{bmatrix} d \\ d \cos 2\epsilon \cos 2\tau \\ d \cos 2\epsilon \sin 2\tau \\ d \sin 2\epsilon \end{bmatrix}}_{\text{τελείως πολωμένο}} \quad (7-46)$$



Ωστε, ένα μερικώς πολωμένο κύμα μπορούμε να το μεταχειριστούμε σαν άθροισμα ενός τελείως απόλωτου κι ενός τελείως πολωμένου.

Ο βαθμός πόλωσης  $d$  (βλ. σχέση (7-38)) μπορεί να προσδιοριστεί από τις κανονικοποιημένες παραμέτρους του Stokes, που τις παίρνουμε από την (7-44) :

$$d \triangleq \frac{\sqrt{Q^2 + U^2 + V^2}}{I} = \frac{S \sqrt{\left(\frac{Q}{S}\right)^2 + \left(\frac{U}{S}\right)^2 + \left(\frac{V}{S}\right)^2}}{S} = \sqrt{S_1^2 + S_2^2 + S_3^2} \quad (7-47)$$

Από όλα τα παραπάνω φτάνουμε στο συμπέρασμα ότι για να ξέρουμε τα χαρακτηριστικά ενός μερικώς πολωμένου κύματος αρκεί να δίνονται ο βαθμός πόλωσης του  $d$ , που δείχνει πόσο κλάσμα της όλικης ισχύος είναι πολωμένο και το σημείο  $(e, \tau)$  της σφαίρας του Poincaré, που περιγράφει την ολική πολωμένη συνιστώσα.

Ως εδώ όλη η περιγραφή έγινε με τις γραμμικά πολωμένες συνιστώσες. Μια ανάλογη περιγραφή με τις κυκλικά πολωμένες συνιστώσες έδωσε ο Cohen (1958), που έδειξε ότι για όλική πόλωση έχουμε :

$$A\P = \frac{E_L + E_R}{E_L - E_R} = \cot e \quad \text{και} \quad \delta' = 2\tau \quad (7-48)$$

Οι παράμετροι του Stokes για ένα μερικώς πολωμένο κύμα, στην περιγραφή αυτή, είναι :

$$\begin{aligned} I &= S_L + S_R = S = \frac{\langle E_L^2 \rangle}{Z} + \frac{\langle E_R^2 \rangle}{Z} \\ Q &= \frac{2 \langle E_L E_R \cos \delta' \rangle}{Z} \\ U &= \frac{2 \langle E_L E_R \sin \delta' \rangle}{Z} \\ V &= S_L - S_R = \frac{\langle E_L^2 \rangle}{Z} - \frac{\langle E_R^2 \rangle}{Z} \end{aligned} \quad (7-49)$$

## 7.5. Παραστατική Μήτρα Πόλωσης μιᾶς Κεραίας — Απόκριση Κεραίας σέ Μερικά ἢ Ὀλικά Πολω- μένο Κύμα.

Πρῶτος ὁ Κο (1962) πρότεινε τὴν περιγραφή τῶν χαρακτηριστι-  
κῶν πόλωσης μιᾶς κεραίας (εἴτε γιὰ λήψη εἴτε γιὰ ἐκπομπή) μέ τή  
βοήθεια μιᾶς μήτρας στήλης  $[a_i]$  ἀνάλογης μέ τή μήτρα-στήλη (διά-  
νυσμα) τοῦ Stokes  $[S_i]$ . Ἄν  $A$  εἶναι τό ἐνεργό ἄνοιγμα μιᾶς  
κεραίας λήψης τότε τά χαρακτηριστικά πόλωσής της θά δύνονται ἀ-  
πό τή μήτρα :

$$A[a_i] = A \begin{bmatrix} a_0 \\ a_1 \\ a_2 \\ a_3 \end{bmatrix} \quad (\sigma\epsilon \text{ } m^2) \quad (7-50)$$

ὅπου  $a_0$ ,  $a_1$ ,  $a_2$  καί  $a_3$  εἶναι οἱ κανονικοποιημένες παράμετροι  
τοῦ Stokes, πού θά ἀκτινοβολοῦσε ἡ κεραία σάν κεραία ἐκπομπῆς.  
Βάζοντας, λοιπόν, τό δείκτη  $t$  (transmitting), γιὰ νά δηλώσουμε  
τὴν ἐκπομπή τοῦ κύματος, θά ἔχουμε :

$$\left. \begin{aligned} a_0 &= 1 \\ a_1 &= \cos 2\epsilon_t \cos 2\tau_t \\ a_2 &= \cos 2\epsilon_t \sin 2\tau_t \\ a_3 &= \sin 2\epsilon_t \end{aligned} \right\} \quad (7-51)$$

Ὁ Κο ἀπόδειξε ἰδιαίτερα ὅτι ἡ διαθέσιμη ἰσχύς  $N$ , ὅταν μέ τὴν κε-  
ραία αὐτή ἐπιχειροῦμε τή λήψη ἐνός μερικᾶ ἢ ὀλικά πολωμένου κύ-

ματος με χαρακτηριστικά πόλωσης  $[S_i] = S [s_i]$ , δύνεται από τη σχέση:

$$N = \frac{1}{2} SA [\widetilde{\alpha_i}] [s_i] = \frac{1}{2} SA \sum_{i=0}^3 \alpha_i s_i \quad (7-52)$$

όπου  $[\widetilde{\alpha_i}]$  η ανάστροφη (ή ανάμορφη) μήτρα της  $[\alpha_i]$  (transpose) .

Έτσι λοιπόν :

$$N = \frac{1}{2} SA [\alpha_0 \alpha_1 \alpha_2 \alpha_3] \begin{bmatrix} s_0 \\ s_1 \\ s_2 \\ s_3 \end{bmatrix} = \frac{1}{2} SA (\alpha_0 s_0 + \alpha_1 s_1 + \alpha_2 s_2 + \alpha_3 s_3) \quad (7-53)$$

πού μπορεί να διατυπωθεῖ καὶ σάν :

$$N = \frac{1}{2} SA (1 + d \cos \widehat{MM}_\alpha) = \frac{1}{2} SA (1 - d) + dSA \cos^2 \frac{\widehat{MM}_\alpha}{2} \quad (7-54)$$

όπου, όπως ξέρουμε,  $\widehat{MM}_\alpha$  είναι η γωνιακή απόσταση των παραστατικών σημείων κύματος καὶ κεραίας πάνω στη σφαῖρα τοῦ Poincaré .

Στήν ειδική περίπτωση τελείως πολωμένου κύματος ( $d = 1$ ) ἡ (7-54) ταυτίζεται με τήν (7-12)-μέ μόνη τή διαφορά ὅτι ἡ (7-12) ἀφορᾷ τήν τάση καὶ ὅχι τήν ἰσχύ (γι αὐτό τό λόγο ὑπάρχει τό τετράγωνο)- .

Ἀπό τήν (7-54) προκύπτουν τά ἑξῆς σημαντικὰ συμπεράσματα :

(α) Στήν κεραία παίρνουμε μόνο τό μισό τῆς ἀπόλυτης ἰσχύος τοῦ κύματος καὶ μάλιστα ἀνεξάρτητα ἀπό τήν προσαρμογή κεραίας - κύματος .

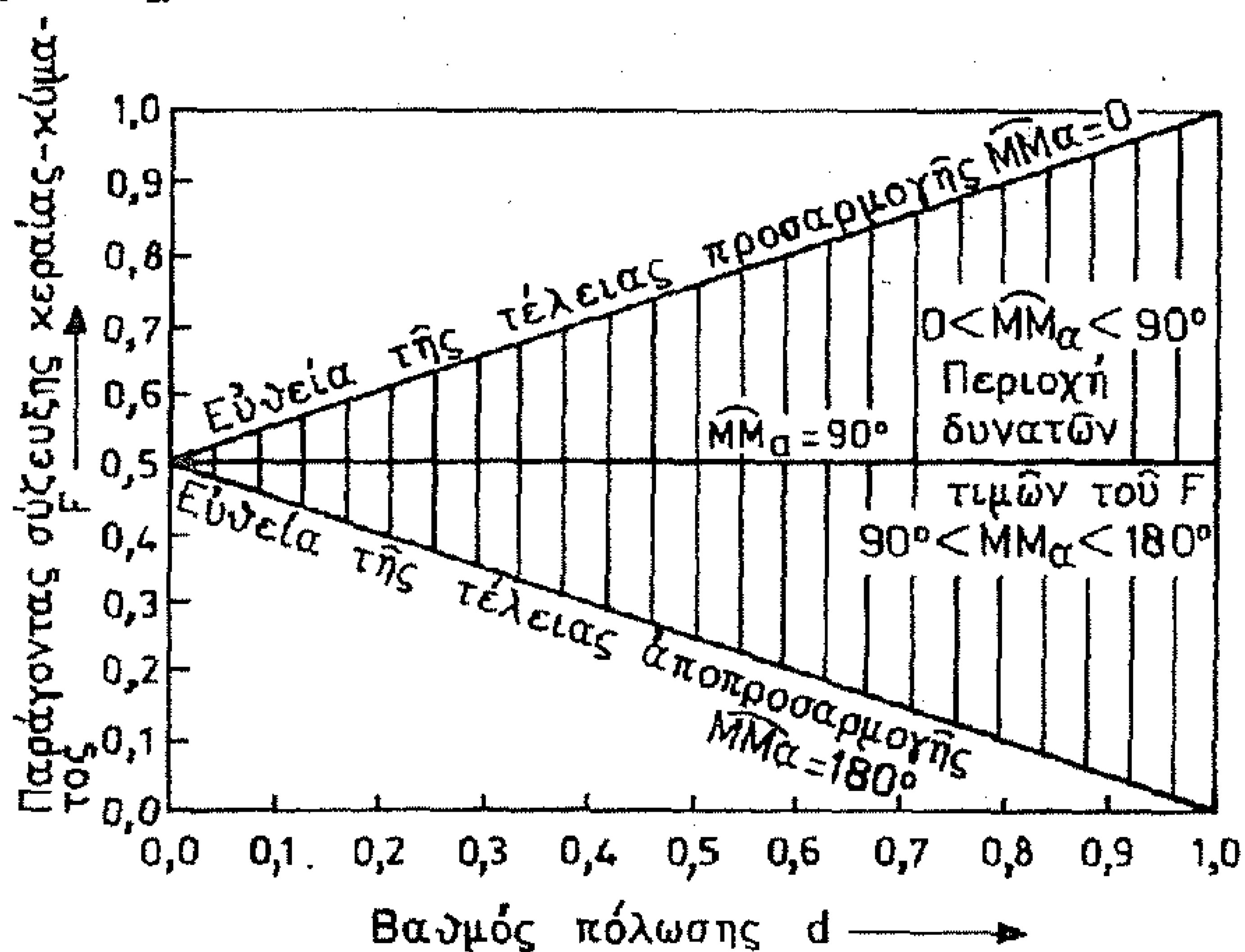
(β) Ἀντίθετα ὅλο τό πολωμένο μέρος τῆς ἰσχύος εἶναι διαθέσιμο γιὰ τήν κεραία ἡ λήψη του ὅμως ἐπιτυγχάνεται μόνο στήν περίπτωση τέλει προσαρμογῆς κεραίας-κύματος (δηλ. γιὰ  $\widehat{MM}_\alpha = 0$ )

(γ) Για τή γενικότερη διερεύνηση τής προσαρμογής κεραίας- κύματος ή (7-54) γράφεται καί :

$$P = \left( \frac{1-d}{2} + d \cos^2 \frac{\widehat{MM}_\alpha}{2} \right) AS = FAS \quad (7-55)$$

όπου  $F$  είναι ο παράγοντας, πού βρίσκεται μέσα στην παρένθεση. Ο  $F$  μπορεί νά ονομαστεί **π α ρ ά γ ο ν τ α ς σ ύ ζ ε υ ξ η ς κ ε ρ α ί α ς - κ ύ μ α τ ο ς**. Ο παράγοντας  $F$  εκφράζει πόσο κλάσμα τής μέγιστης διαθέσιμης ισχύος  $AS$  λαβαίνει ή κεραία.

Η γραφική παράσταση του παράγοντα σύζευξης κεραίας- κύματος ( $F$ ), σέ συνάρτηση μέ τό βαθμό πόλωσης ( $d$ ) είναι μία εύθεια γραμμή, για κάθε τιμή τής γωνιακής απόστασης  $\widehat{MM}_\alpha$  τών καταστάσεων πόλωσης κεραίας - κύματος (βλ. σχ. 7-7). Όλες αυτές οι εύθειες γραμμές περιέχονται μέσα στό τρίγωνο πού σχηματίζουν ή εύθεια της τέλειας προσαρμογής ( $\widehat{MM}_\alpha = 0^\circ$ ) καί ή εύθεια τής τέλειας αποπροσαρμογής ( $\widehat{MM}_\alpha = 180^\circ$ ).



Σκ. 7-7. Γραφική παράσταση τής σχέσης  $F=F(d)$ , για  $\widehat{MM}_\alpha = \text{σταθ.}$ . ή  $F(d)$  είναι εύθεια γραμμή.

## 7.6. Γενίκευση τῆς Περιγραφῆς μέ Μῆτρες.

"Αν ἀπό τὰ  $S_i$  ὀρίσουμε τέσσερις ἄλλες παραμέτρους  $S_{ij}$  ὡς ἑξῆς :

$$\left. \begin{aligned} S_{11} &= \frac{1}{2} (S_0 + S_1) \\ S_{12} &= \frac{1}{2} (S_2 + jS_3) \\ S_{21} &= \frac{1}{2} (S_2 - jS_3) \\ S_{22} &= \frac{1}{2} (S_0 - S_1) \end{aligned} \right\} \quad (7-56)$$

καί, ἀνάλογα, ἄλλες τέσσερις παραμέτρους  $\alpha_{11}$ ,  $\alpha_{12}$ ,  $\alpha_{21}$  καί  $\alpha_{22}$  γιά τήν κεραία καί χρησιμοποιήσουμε τίς νέες παραμέτρους σάν στοιχεῖα μητρῶν  $2 \times 2$ , μποροῦμε νά ἀποδείξουμε ὅτι ἡ διαθέσιμη ἰσχύς στήν κεραία, στή γενική περίπτωση πόλωσης, δίνεται ἀπό τήν σχέση :

$$N = T_r \left\{ SA \begin{bmatrix} \alpha_{11} & \alpha_{12} \\ \alpha_{21} & \alpha_{22} \end{bmatrix} \begin{bmatrix} S_{11} & S_{12} \\ S_{21} & S_{22} \end{bmatrix} \right\} \quad (7-57)$$

ὅπου μέ  $T_r$  δηλώνουμε τό ἔχνος (trace) τῆς μήτρας δηλ. τό ἄθροισμα τῶν διαγώνιων ὀρων τῆς. Ἡ (7-57) γράφεται καί :

$$N = AS (\alpha_{11}S_{11} + \alpha_{22}S_{22} + \alpha_{33}S_{33})$$

$$\text{ἢ } \boxed{N = AS T_r \{ [ \alpha_{ij} ] [ S_{ij} ] \}} = ASF \quad (7-58)$$

Σύμφωνα μέ τή σχέση αὐτή ἡ ἀπόκριση  $N$  τοῦ συστήματος δίνεται ἀπό τό ἔχνος τῆς μήτρας πού προκύπτει ὡς γινόμενο τῆς μήτρας  $A[\alpha_{ij}]$  τοῦ συστήματος λήψης (κεραία καί δέκτης) ἐπὶ τή μή-

τρα  $S[s_{ij}]$  του κύματος. Η σχέση αυτή έχει γενικότερη ισχύ σε όλη την οπτική, όπου οι μήτρες της (7-58) λέγονται *μ ή τ ρ ε ς σ υ ν ε κ τ ι κ ό τ η τ α ς* (coherency matrices).

Στόν Πίνακα που ακολουθεί δύνονται οι κανονικοποιημένες παράμετροι Stokes και οι αντίστοιχες μήτρες συνεκτικότητας για μερικές ειδικές περιπτώσεις κυμάτων.

ΠΙΝΑΚΑΣ 7-Π

Τύπος Κύματος	Κανονικοποιημένο Διάνυσμα Stokes	Μήτρα Συνεκτικότητας
Τελείως απόλωτο	$\begin{bmatrix} 1 \\ 0 \\ 0 \\ 0 \end{bmatrix}$	$\frac{1}{2} \begin{bmatrix} 1 & 0 \\ 0 & 1 \end{bmatrix}$
Δεξιόστροφο κυκλικό	$\begin{bmatrix} 1 \\ 0 \\ 0 \\ -1 \end{bmatrix}$	$\frac{1}{2} \begin{bmatrix} 1 & -j \\ j & 1 \end{bmatrix}$
Άριστερόστροφο κυκλικό	$\begin{bmatrix} 1 \\ 0 \\ 0 \\ 1 \end{bmatrix}$	$\frac{1}{2} \begin{bmatrix} 1 & j \\ -j & 1 \end{bmatrix}$
Γραμμικά πολωμένο μέ γωνία πόλωσης $\alpha$ ( $\tau=\alpha$ )	$\begin{bmatrix} 1 \\ \cos 2\alpha \\ \sin 2\alpha \\ 0 \end{bmatrix}$	$\frac{1}{2} \begin{bmatrix} 1+\cos 2\alpha & \sin 2\alpha \\ \sin 2\alpha & 1-\cos 2\alpha \end{bmatrix}$
Μερικά ( $d=\frac{1}{3}$ ) γραμμικά πολωμένο μέ $\tau=\alpha=45^\circ$	$\begin{bmatrix} 1 \\ 0 \\ 1/3 \\ 0 \end{bmatrix}$	$\frac{1}{2} \begin{bmatrix} 1 & 1/3 \\ 1/3 & 1 \end{bmatrix}$

Η μήτρα συνεκτικότητας ενός κύματος, πού προκύπτει σέ ένα σημείο από τήν έπαλληλία διάφορων ανεξάρτητων κυμάτων, πού διαδίδονται κατά τήν ίδια διεύθυνση, θά εἶναι ἴση μέ τό ἄθροισμα τῶν μητρῶν συνεκτικότητας τῶν ἐπιμέρους κυμάτων στό σημείο αὐτό. Κι ἀντίστροφα, μπορούμε νά ἀναλύσουμε ἕνα κύμα σέ ἐπιμέρους συνιστώσες μέ κατάλληλες πολώσεις. Γιά ἕνα τελείως ἀπόλωτο κύμα μπορούμε νά γράψουμε λόγου χάρη :

$$\frac{1}{2} \begin{bmatrix} 1 & 0 \\ 0 & 1 \end{bmatrix} = \frac{1}{2} \begin{bmatrix} 1 & 0 \\ 0 & 0 \end{bmatrix} + \frac{1}{2} \begin{bmatrix} 0 & 0 \\ 0 & 1 \end{bmatrix} \quad (7-59)$$

πού σημαίνει πώς μπορεῖ νά θεωρηθεῖ ὅτι προκύπτει ἀπό ἕνα γραμμικά πολωμένο κύμα μέ  $\alpha = \tau = 0^\circ$  κι ἕνα ἄλλο γραμμικά πολωμένο μέ  $\alpha = \tau = 90^\circ$ . Ἐτσι τό τελείως ἀπόλωτο κύμα μπορεῖ νά προκύψει ὡς ἄθροισμα δύο ανεξάρτητων τελείως γραμμικά πολωμένων κυμάτων ( $e=0$ ), πού ἔχουν τήν ίδια ένταση καί μέ τά χαρακτηριστικά τους ἐπίπεδα κάθετα μεταξύ τους, ὅπως ἤδη ἀναφέρθηκε.

Ἐντελῶς ἀντίστοιχα, τό ἀπόλωτο κύμα μπορεῖ νά γραφεῖ :

$$\frac{1}{2} \begin{bmatrix} 1 & 0 \\ 0 & 1 \end{bmatrix} = \frac{1}{4} \begin{bmatrix} 1 & j \\ -j & 1 \end{bmatrix} + \frac{1}{4} \begin{bmatrix} 1 & -j \\ j & 1 \end{bmatrix} \quad (7-60)$$

δηλαδή σάν ἄθροισμα δύο τελείως κυκλικά πολωμένων ανεξάρτητων κυμάτων, μέ ἀντίστροφη πολικότητα (L καί R) καί τήν ίδια ένταση.

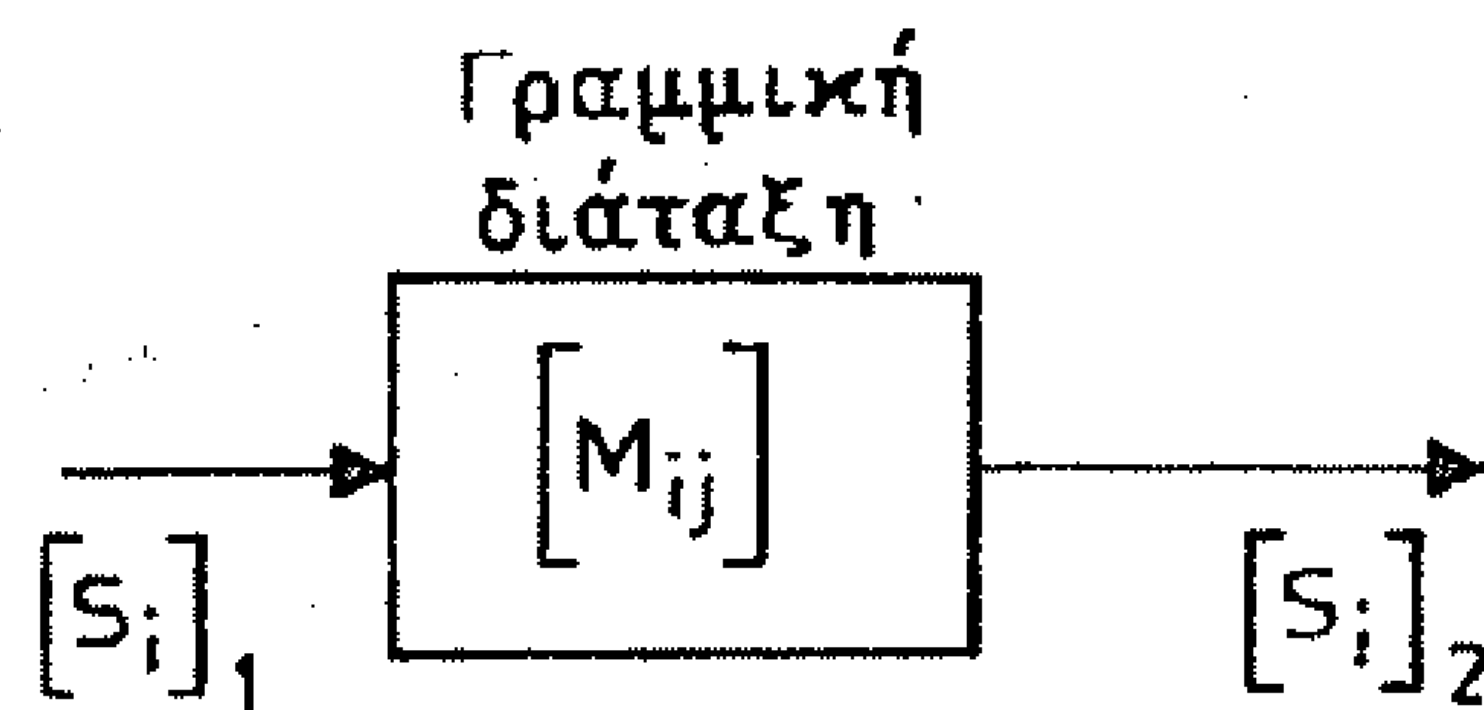
Μέ τόν ίδιο τρόπο θά μπορούσαμε νά ἐργαστοῦμε μέ τά διανύσματα τοῦ Stokes, π.χ. γιά τελείως ἀπόλωτο κύμα :

$$\begin{bmatrix} 1 \\ 0 \\ 0 \\ 0 \end{bmatrix} = \frac{1}{2} \begin{bmatrix} 1 \\ 1 \\ 0 \\ 0 \end{bmatrix} + \frac{1}{2} \begin{bmatrix} 1 \\ -1 \\ 0 \\ 0 \end{bmatrix} \quad (7-61)$$



## 7.7 Μετασχηματισμός του Διανύσματος Stokes Κύματος κατά τη Διέλευσή του μέσα από Γραμμική Διάταξη - Μήτρες Mueller.

Όταν μία ηλεκτρομαγνητική δέσμη (π.χ. μία δέσμη μικροκυμάτων ή μία δέσμη LASER) περάσει μέσα από μία διάταξη (π.χ. μέσα από έναν εξασθενητή, έναν πολωτή, έναν γραμμικό επιβραδυντή  $\lambda/2$  κ.ά.) θα πάθει μεταβολές στην έντασή της και στην κατάσταση της πόλωσής της. Θα μετασχηματιστεί δηλαδή το διάνυσμα Stokes που την χαρακτηρίζει. Στην περίπτωση που η διάταξη είναι γραμμική, οι παράμετροι Stokes της εισερχόμενης δέσμης είναι γραμμικές συναρτήσεις των παραμέτρων Stokes της εισερχόμενης δέσμης. Έτσι, αν  $[S_i]_1$  είναι το διάνυσμα Stokes της εισερχόμενης δέσμης και  $[S_i]_2$  της εξερχόμενης (βλ. σχ. 7-8) είναι :



Σχ. 7-8. Ο Μετασχηματισμός του διανύσματος Stokes ενός κύματος, όταν περνά μέσα από γραμμική διάταξη, εκφράζεται από τη μήτρα Mueller (μήτρα μεταφοράς) της διάταξης.

$$[S_i]_2 = [M_{ij}] [S_i]_1 \quad (7-62)$$

όπου  $[M_{ij}]$  είναι μία μήτρα  $4 \times 4$  που λέγεται μήτρα Mueller της διάταξης και αντιπροσωπεύει την επίδραση της διάταξης κατά τη διαβίβαση. Π.χ. η μήτρα Mueller ενός ιδανικού γραμμικού πολωτή, με το χαρακτηριστικό του επίπεδο υπό γωνία  $\theta = 45^\circ$  από τον άξονα  $x$ , είναι :

$$[M_{ij}]_p = \frac{1}{2} \begin{bmatrix} 1 & 0 & 1 & 0 \\ 0 & 0 & 0 & 0 \\ 1 & 0 & 1 & 0 \\ 0 & 0 & 0 & 0 \end{bmatrix} \quad (7-63)$$

"Αν από τόν πολωτή αυτόν περάσουμε μιὰ τελεύως απόλυτη ΗΜ δέσμη, μέ διάνυσμα Stokes :

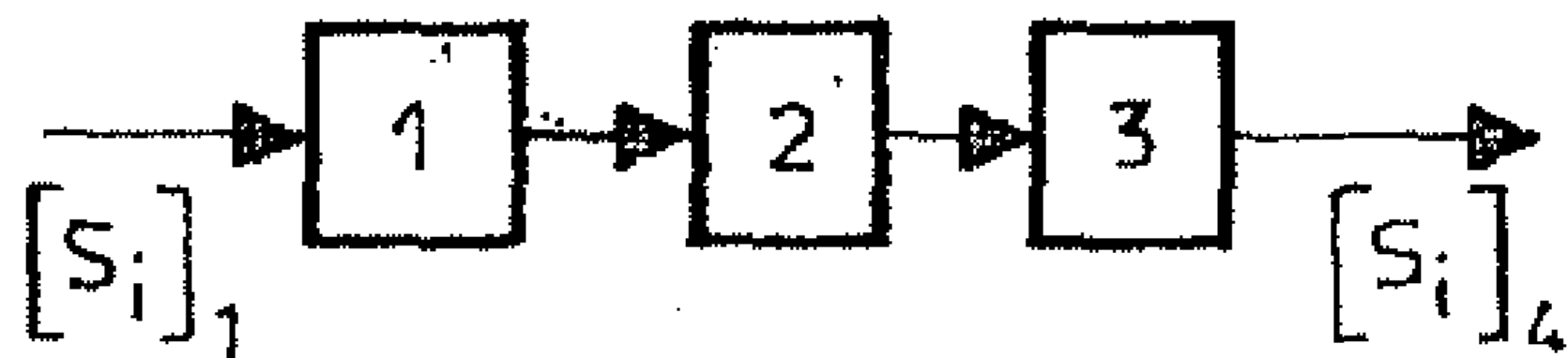
$$[S_i]_1 = \begin{bmatrix} I \\ 0 \\ 0 \\ 0 \end{bmatrix}$$

Θά ἔχουμε στήν ἔξοδο δέσμη μέ διάνυσμα Stokes :

$$[S_i]_2 = \frac{1}{2} \begin{bmatrix} 1 & 0 & 1 & 0 \\ 0 & 0 & 0 & 0 \\ 1 & 0 & 1 & 0 \\ 0 & 0 & 0 & 0 \end{bmatrix} \begin{bmatrix} I \\ 0 \\ 0 \\ 0 \end{bmatrix} = \frac{1}{2} \begin{bmatrix} I \\ 0 \\ I \\ 0 \end{bmatrix} = \frac{I}{2} \begin{bmatrix} 1 \\ 0 \\ 1 \\ 0 \end{bmatrix} \quad (7-64)$$

Δηλαδή, γραμμικά πολωμένο μέ γωνία πόλωσης  $\alpha = 45^\circ$ .

"Αν ἡ ΗΜ δέσμη περάσει διαδοχικά ἀπό ἓνα σύστημα γραμμικῶν διατάξεων (π.χ. ὅπως στό σχ. 7-9) τό σύστημα συμπεριφέρεται σάν μιὰ διάταξη μέ μήτρα Mueller ὅση μέ τό γινόμενο τῶν μητρῶν Mueller τῶν ἐπιμέρους διατάξεων. π.χ. γιά τό σύστημα τοῦ σχ. 7-9 εἶναι :



Σχ. 7-9 Ἐπίδραση γραμμικῶν διατάξεων σέ σειρά. Ἡ ὅλική μήτρα Mueller εἶναι τό γινόμενο τῶν ἐπιμέρους μητρῶν.

$$\begin{aligned} [S_i]_4 &= [M_{ij}]_3 [M_{ij}]_2 [M_{ij}]_1 [S_i]_1 = \\ &= [M_{ij}]_{321} [S_i]_1 \end{aligned} \quad (7-65)$$

Στόν πύνακα τῆς ἐπόμενης σελίδας δύνονται οἱ μήτρες Mueller ὁρισμένων διατάξεων.

# ΠΙΝΑΚΑΣ 7-III

## Πίνακας Μητρών Mueller 'Ορισμένων Γραμμικών Διατάξεων

ΤΥΠΟΣ ΔΙΑΤΑΞΗΣ	$\vartheta = 0$	$\vartheta = \pm \pi/4$	$\vartheta = \pi/2$	$-\pi \leq \vartheta \leq +\pi$	
'Ιδανικός γραμμικός πολωτής υπό γωνία $\vartheta$ .	$\frac{1}{2} \begin{bmatrix} 1 & 1 & 0 & 0 \\ 1 & 1 & 0 & 0 \\ 0 & 0 & 0 & 0 \\ 0 & 0 & 0 & 0 \end{bmatrix}$	$\frac{1}{2} \begin{bmatrix} 1 & 0 & \pm 1 & 0 \\ 0 & 0 & 0 & 0 \\ \pm 1 & 0 & 1 & 0 \\ 0 & 0 & 0 & 0 \end{bmatrix}$	$\frac{1}{2} \begin{bmatrix} 1 & -1 & 0 & 0 \\ -1 & 1 & 0 & 0 \\ 0 & 0 & 0 & 0 \\ 0 & 0 & 0 & 0 \end{bmatrix}$	$\frac{1}{2} \begin{bmatrix} 1 & C_2 & S_2 & 0 \\ C_2 & C_2^2 & C_2 S_2 & 0 \\ S_2 & C_2 S_2 & S_2^2 & 0 \\ 0 & 0 & 0 & 0 \end{bmatrix}$	$C_2 \equiv \cos 2\vartheta$ $S_2 \equiv \sin 2\vartheta$
Γραμμικός επιβραδυντής $\lambda/4$ μέ τό γρήγορο άξονα υπό γωνία $\vartheta$	$\begin{bmatrix} 1 & 0 & 0 & 0 \\ 0 & 1 & 0 & 0 \\ 0 & 0 & 0 & 1 \\ 0 & 0 & -1 & 0 \end{bmatrix}$	$\begin{bmatrix} 1 & 0 & 0 & 0 \\ 0 & 0 & 0 & \mp 1 \\ 0 & 0 & 1 & 0 \\ 0 & \pm 1 & 0 & 0 \end{bmatrix}$	$\begin{bmatrix} 1 & 0 & 0 & 0 \\ 0 & 1 & 0 & 0 \\ 0 & 0 & 0 & -1 \\ 0 & 0 & 1 & 0 \end{bmatrix}$	$\begin{bmatrix} 1 & 0 & 0 & 0 \\ 0 & C_2^2 & C_2 S_2 & -S_2 \\ 0 & C_2 S_2 & S_2^2 & C_2 \\ 0 & S_2 & -C_2 & 0 \end{bmatrix}$	
Γραμμικός επιβραδυντής $\lambda/2$ μέ τό γρήγορο άξονα υπό γωνία $\vartheta$	$\begin{bmatrix} 1 & 0 & 0 & 0 \\ 0 & 1 & 0 & 0 \\ 0 & 0 & -1 & 0 \\ 0 & 0 & 0 & -1 \end{bmatrix}$	$\begin{bmatrix} 1 & 0 & 0 & 0 \\ 0 & -1 & 0 & 0 \\ 0 & 0 & 1 & 0 \\ 0 & 0 & 0 & -1 \end{bmatrix}$	$\begin{bmatrix} 1 & 0 & 0 & 0 \\ 0 & 1 & 0 & 0 \\ 0 & 0 & -1 & 0 \\ 0 & 0 & 0 & -1 \end{bmatrix}$	$\begin{bmatrix} 1 & 0 & 0 & 0 \\ 0 & C_4 & S_4 & 0 \\ 0 & S_4 & -C_4 & 0 \\ 0 & 0 & 0 & -1 \end{bmatrix}$	$C_4 \equiv \cos 4\vartheta$ $S_4 \equiv \sin 4\vartheta$
Γραμμικός επιβραδυντής μέ επιβράδυνση $\delta$ μέ τό γρήγορο άξονα υπό γωνία $\vartheta$ .	$\begin{bmatrix} 1 & 0 & 0 & 0 \\ 0 & 1 & 0 & 0 \\ 0 & 0 & \beta & \mu \\ 0 & 0 & -\mu & \beta \end{bmatrix}$	$\begin{bmatrix} 1 & 0 & 0 & 0 \\ 0 & \beta & 0 & \mp \mu \\ 0 & 0 & 1 & 0 \\ 0 & \pm \mu & 0 & \beta \end{bmatrix}$	$\begin{bmatrix} 1 & 0 & 0 & 0 \\ 0 & 1 & 0 & 0 \\ 0 & 0 & \beta & -\mu \\ 0 & 0 & \mu & \beta \end{bmatrix}$	$\begin{bmatrix} 1 & 0 & 0 & 0 \\ 0 & C_2^2 + S_2^2 \beta & C_2 S_2 (1-\beta) & -S_2 \mu \\ 0 & C_2 S_2 (1-\beta) & S_2^2 + C_2^2 \beta & C_2 \mu \\ 0 & S_2 \mu & -C_2 \mu & \beta \end{bmatrix}$	$\beta \equiv \cos \delta$ $\mu \equiv \sin \delta$
Στροφέας του άξονα x σέ γωνία $\vartheta$ ως προς τον παλαιό άξονα x ή κυκλικός επιβραδυντής πού επιβραδύνει τήν δεξιόστροφη συνιστώσα κατά $2\vartheta$ .	$R(\vartheta) = \begin{bmatrix} 1 & 0 & 0 & 0 \\ 0 & C_2 & S_2 & 0 \\ 0 & -S_2 & C_2 & 0 \\ 0 & 0 & 0 & 1 \end{bmatrix}$				Τή μήτρα $R(\vartheta)$ μπορούμε νά τή χρησιμοποιήσουμε γιά νά μετασχηματίσουμε τή μήτρα Mueller ενός όπολουδήποτε πολωτικού συστήματος μέ άρχικό προσανατολισμό $\varphi$ στήν αντίστοιχη μήτρα του συστήματος γιά ένα νέο προσανατολισμό $(\varphi + \vartheta)$ , μέ τή σχέση: $M(\varphi + \vartheta) = R(-\vartheta) M(\varphi) R(\vartheta)$

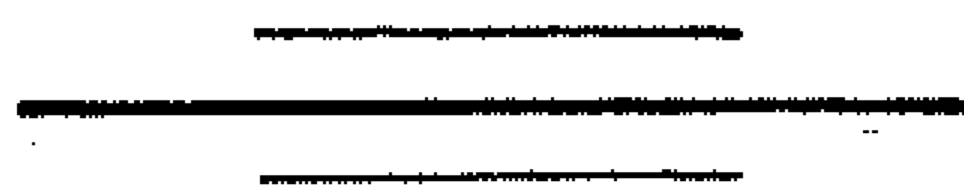
Στόν πίνακα 7-III προσθέτουμε καί τή μήτρα Mueller ενός " απορροφητή " (absorber).

$$[M_{ij}] = e^{-2\bar{n}} \begin{bmatrix} \cosh 2\varepsilon & -\sinh 2\varepsilon & 0 & 0 \\ -\sinh 2\varepsilon & \cosh 2\varepsilon & 0 & 0 \\ 0 & 0 & 1 & 0 \\ 0 & 0 & 0 & 1 \end{bmatrix} \quad (7-66)$$

όπου, αν  $n_x$  καί  $n_y$  οί συντελεστές εξασθένεισης γιά τίς διευθύνσεις  $x$  καί  $y$  αντίστοιχα, είναι :

$$\bar{n} = \frac{n_x + n_y}{2} \quad (7-67)$$

$$\text{καί} \quad \varepsilon = \frac{n_x - n_y}{2} \quad (7-68)$$



## ΠΑΡΑΡΤΗΜΑ

## Λύση τῆς Διαφορικῆς Ἐξίσωσης τοῦ Κυκλικοῦ Κυλινδρικοῦ Κυματοδηγοῦ.

Γιὰ νά λύσουμε τή διαφορική ἐξίσωση (5-117) θά χρησιμοποιοῦμε τή μέθοδο τοῦ χωρισμοῦ τῶν μεταβλητῶν.

Θεωροῦμε, λοιπόν, ὅτι ἡ (5-117) :

$$\frac{\partial^2 U}{\partial \rho^2} + \frac{1}{\rho} \frac{\partial U}{\partial \rho} + \frac{1}{\rho^2} \frac{\partial^2 U}{\partial \varphi^2} + k_c^2 U = 0 \quad (1)$$

ἔχει λύση τῆς μορφῆς :

$$U = R(\rho) F(\varphi) \quad (2)$$

Ὡστε ἡ (1) γράφεται:

$$\frac{1}{R} \frac{d^2 R}{d\rho^2} + \frac{1}{R\rho} \frac{dR}{d\rho} + \frac{1}{F\rho^2} \frac{d^2 F}{d\varphi^2} = -k_c^2 \quad (3)$$

$$\eta \quad \rho^2 \frac{1}{R} \frac{d^2 R}{d\rho^2} + \frac{\rho}{R} \frac{dR}{d\rho} + k_c^2 \rho^2 = -\frac{1}{F} \frac{d^2 F}{d\varphi^2} \quad (4)$$

Τό πρῶτο μέλος τῆς (4) εἶναι μόνο συνάρτηση τοῦ  $\rho$ , ἐνῶ τό δεύτερο εἶναι συνάρτηση μόνο τοῦ  $\varphi$ . Γιὰ νά ἰσχύει λοιπόν ἡ (5), γιὰ ὅλα τά  $\rho$  καί  $\varphi$ , πρέπει κάθε μέλος τῆς νά εἶναι σταθερό καί ἔστω ὅτι εἶναι ἴσο μέ  $k_\varphi^2$  :

$$-\frac{1}{F} \frac{d^2 F}{d\varphi^2} = k_\varphi^2 \quad (5)$$

καί

$$\frac{d^2 R}{d\rho^2} + \frac{1}{\rho} \frac{dR}{d\rho} + \left( k_c^2 - \frac{k_\varphi^2}{\rho^2} \right) R = 0 \quad (6)$$

Η (5) γράφεται:

$$\frac{d^2 F}{d\varphi^2} + k_\varphi^2 F = 0 \quad (7)$$

καί έχει γενική λύση

$$F = M \cos k_\varphi \varphi + N \sin k_\varphi \varphi \quad (8)$$

Η  $F$  πρέπει νά είναι συνεχής καί μονότιμη (θά πρέπει  $F(\varphi + 2n\pi) = F(\varphi)$ ). Τοῦτο συμβαίνει μόνο ἂν ἡ σταθερά  $k_\varphi$  είναι ἀκέραιος ἀριθμός, δηλαδή ἂν :

$$k_\varphi = n, \quad n = 0, \pm 1, \pm 2, \dots \quad (9)$$

καί :

$$F = M \cos n \varphi + N \sin n \varphi \quad (10)$$

Η (6) γράφεται:

$$\frac{d^2 R}{d\rho^2} + \frac{1}{\rho} \frac{dR}{d\rho} + \left( k_c^2 - \frac{n^2}{\rho^2} \right) R = 0 \quad (11)$$

Κάνοντας τήν ἀντικατάσταση\*)

$$u = k_c \rho \quad (12)$$

\*) Γιά νά κάνουμε τήν ἀντικατάσταση αὐτή πρέπει  $k_c \neq 0$ . Στήν περίπτωση πού  $k_c = 0$  καί  $n = 0$  εὐκόλα ἀποδεικνύεται ὅτι ἡ λύση τῆς (11) είναι :

$$R = A \ln \rho + B \quad (\alpha)$$

ἐνῶ στήν περίπτωση, πού  $k_c = 0$  καί  $n \neq 0$  ἡ λύση τῆς (11) ἔχει τή γενική μορφή:

$$R = A_n \rho^n + B_n \rho^{-n} \quad (\beta)$$

Ἐδῶ θεωροῦμε  $k_c \neq 0$ , γιατί στήν ἀντίθετη περίπτωση, πού ἰσχύουν δηλ. ἡ (α) καί ἡ (β), ἡ  $R$  στίς θέσεις  $\rho = 0$  (ἄξονας  $z$ ) ἀπειρίζεται. Τά πεδία ὅμως (ἐπομένως καί ἡ  $R$ ) πρέπει νά ἔχουν πεπερασμένη τιμή σ' ὅλο τό ἐσωτερικό τοῦ κυματοδηγοῦ.

γράφουμε τήν (11) ἔτσι :

$$\frac{d^2 R}{d u^2} + \frac{1}{u} \frac{d R}{d u} + \left(1 - \frac{n^2}{u^2}\right) R = 0 \quad (13)$$

Ἡ (13) εἶναι ἡ λεγόμενη διαφορικὴ ἐξίσωσις τοῦ Bessel, πού ἔχει δύο ἀνεξάρτητες λύσεις μέ τή μορφή σειρῶν :

$$J_n(k_c \rho) = \sum_{m=0}^{\infty} \frac{(-1)^m \left(\frac{k_c \rho}{2}\right)^{n+2m}}{m!(n+m)!} \quad (14)$$

$$\begin{aligned} \text{καί} \quad Y_n(k_c \rho) = & \frac{2}{\pi} \left( \gamma_e + \ln \frac{|k_c \rho|}{2} \right) - \frac{1}{\pi} \sum_{m=0}^{n-1} \frac{(n-m-1)!}{m!} \left(\frac{2}{k_c \rho}\right)^{n-2m} \\ & - \frac{1}{\pi} \sum_{m=0}^{\infty} \frac{(-1)^m \left(\frac{k_c \rho}{2}\right)^{n+2m}}{m!(n+m)!} \left(1 + \frac{1}{2} + \frac{1}{3} + \dots + \frac{1}{m} + 1 + \frac{1}{2} + \dots + \frac{1}{m+n}\right) \end{aligned} \quad (15)$$

$$\text{ὅπου} \quad \gamma_e = \lim_{n \rightarrow \infty} \left(1 + \frac{1}{2} + \frac{1}{3} + \dots + \frac{1}{n} - \ln n\right) = 0.5772 \quad (16)$$

ὁ λεγόμενος ἀριθμὸς τοῦ Euler.

Ἡ  $J_n(k_c \rho)$  λέγεται συνάρτησις Bessel πρώτου εἴδους, ἐνῶ ἡ  $Y_n(k_c \rho)$  συνάρτησις Bessel δευτέρου εἴδους καί τίς βρίσκει συνήθως κανένας σέ πίνακες.

Γιά  $k_c$  = πραγματικό, οἱ συναρτήσεις αὐτές ἐμφανίζουν ταλάντωση (βλ. σχῆμα 1)

$$\text{"Αν} \quad k_c \rho \gg 1, n \quad (17)$$

ἔχουμε :



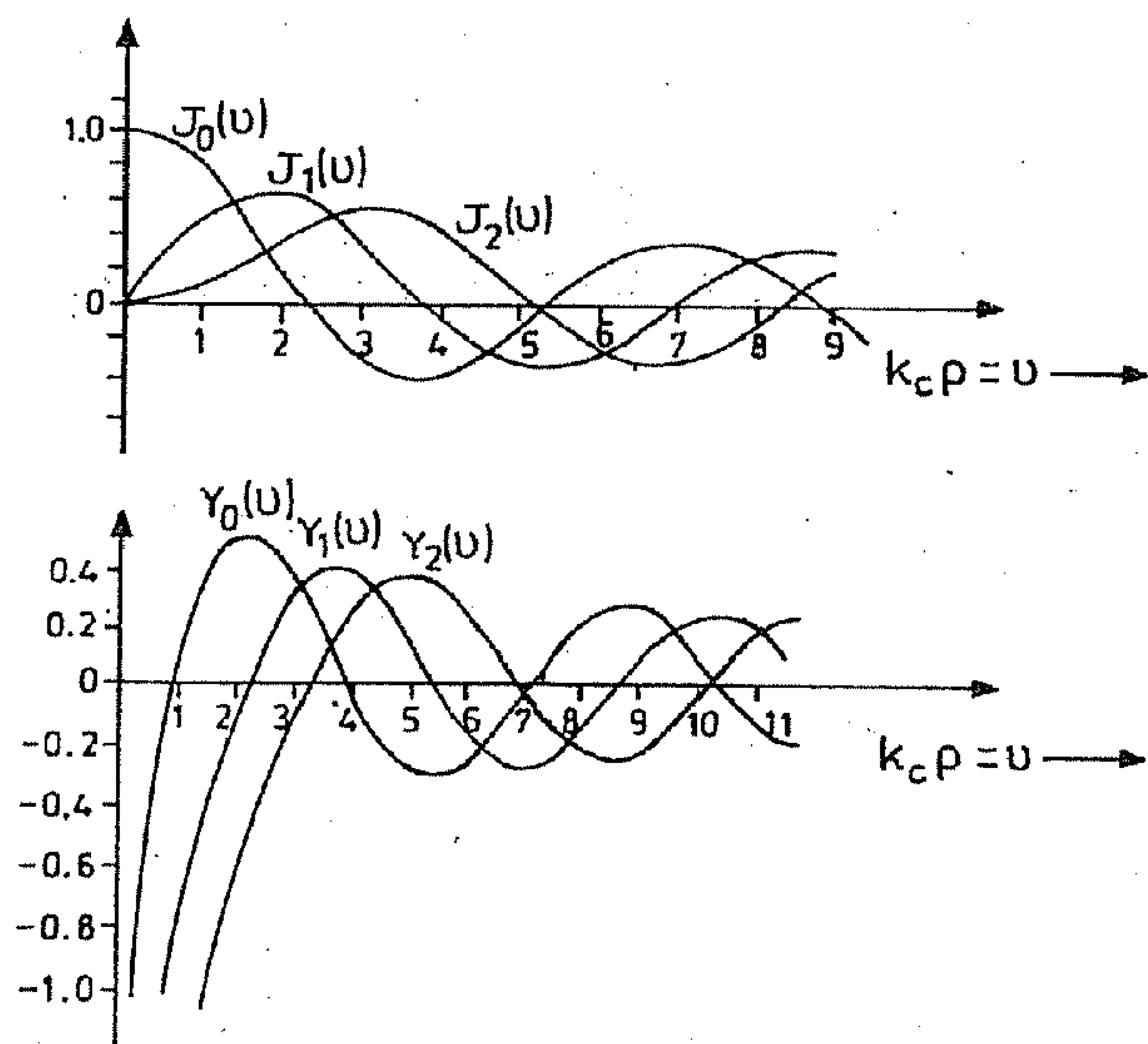
$$J_n(k_c \rho) \rightarrow \sqrt{\frac{2}{\pi k_c \rho}} \cos\left(k_c \rho - \frac{n\pi}{2} - \frac{\pi}{4}\right) \quad (18)$$

$$Y_n(k_c \rho) \rightarrow \sqrt{\frac{2}{\pi k_c \rho}} \sin\left(k_c \rho - \frac{n\pi}{2} - \frac{\pi}{4}\right) \quad (19)$$

Γιὰ τὸ λόγῳ αὐτὸ προσφέρεται ἡ εἰσαγωγή τῶν συναρτήσεων :

$$H_n^{(1)}(k_c \rho) = J_n(k_c \rho) + j Y_n(k_c \rho) \quad (20)$$

$$H_n^{(2)}(k_c \rho) = J_n(k_c \rho) - j Y_n(k_c \rho) \quad (21)$$



Σχ. 1 Οἱ συναρτήσεις τοῦ Bessel πρώτου καὶ δευτέρου εἴδους.

Οἱ συναρτήσεις  $H_n^{(1)}(k_c \rho)$  καὶ  $H_n^{(2)}(k_c \rho)$  εἶναι λύσεις τῆς ἐξίσωσης Bessel καὶ λέγονται συναρτήσεις Bessel πρώτου εἴδους ἢ συναρτήσεις Hankel.

"Όταν

$$k_c \rho \gg 1, n \quad (22)$$

είναι:

$$H_n^{(1)} \rightarrow \sqrt{\frac{2}{\pi k_c \rho}} e^{j(k_c \rho - \frac{n\pi}{2} - \frac{\pi}{4})} \quad (23)$$

$$H_n^{(2)} \rightarrow \sqrt{\frac{2}{\pi k_c \rho}} e^{-j(k_c \rho - \frac{n\pi}{2} - \frac{\pi}{4})} \quad (24)$$

Οι (23) και (24) αν πολλαπλασιασθούν επί  $e^{j\omega t}$ , παριστάνουν, αντίστοιχα, εισερχόμενα και εξερχόμενα κυλινδρικά αρμονικά κύματα.

"Αν είναι :

$$k_c \rho \ll 1 \quad (25)$$

τότε

$$J_n(k_c \rho) \rightarrow \frac{\left(\frac{k_c \rho}{2}\right)^n}{n!} \quad (26)$$

και

$$Y_n(k_c \rho) \rightarrow \begin{cases} \frac{2}{\pi} \left( \gamma_e + l_n \frac{|k_c \rho|}{2} \right), & n=0 \\ -\frac{(n-1)!}{\pi} \left( \frac{2}{k_c \rho} \right)^n, & n \neq 0 \end{cases} \quad (27)$$

Ανεξάρτητα από την τιμή του  $n$  οι συναρτήσεις  $Y_n(u) = Y_n(k_c \rho)$  έχουν πόλο στη θέση  $\rho=0$ , δηλ. πάνω στον άξονα  $z$ . Για το λόγο αυτό πρέπει να αποφεύγουμε να τις χρησιμοποιούμε σε προβλήματα, που στην υπό μελέτη περιοχή περιλαμβάνεται και ο άξονας  $z$ , εκτός αν στις θέσεις  $\rho=0$  υπάρχει γραμμική πηγή πεδίου (π.χ. ένα λεπτό φορτισμένο σύρμα).

"Αν το  $k_c$  είναι φανταστικό εξακολουθούν να ισχύουν οι (14),

(15). Μπορούμε τότε να ορίσουμε δύο τροποποιημέ-

νες συναρτήσεις Bessel, που είναι πραγματικές, ως εξής :

Υποθέτουμε ότι

$$k_c = j t \quad (28)$$

καὶ ὀρίζουμε τὴς

$$I_n(t\rho) = (j)^{-n} J_n(j t \rho) \quad (29)$$

$$K_n(t\rho) = \frac{\pi}{2} (j)^{n+1} H_n^{(1)}(j t \rho) \quad (30)$$

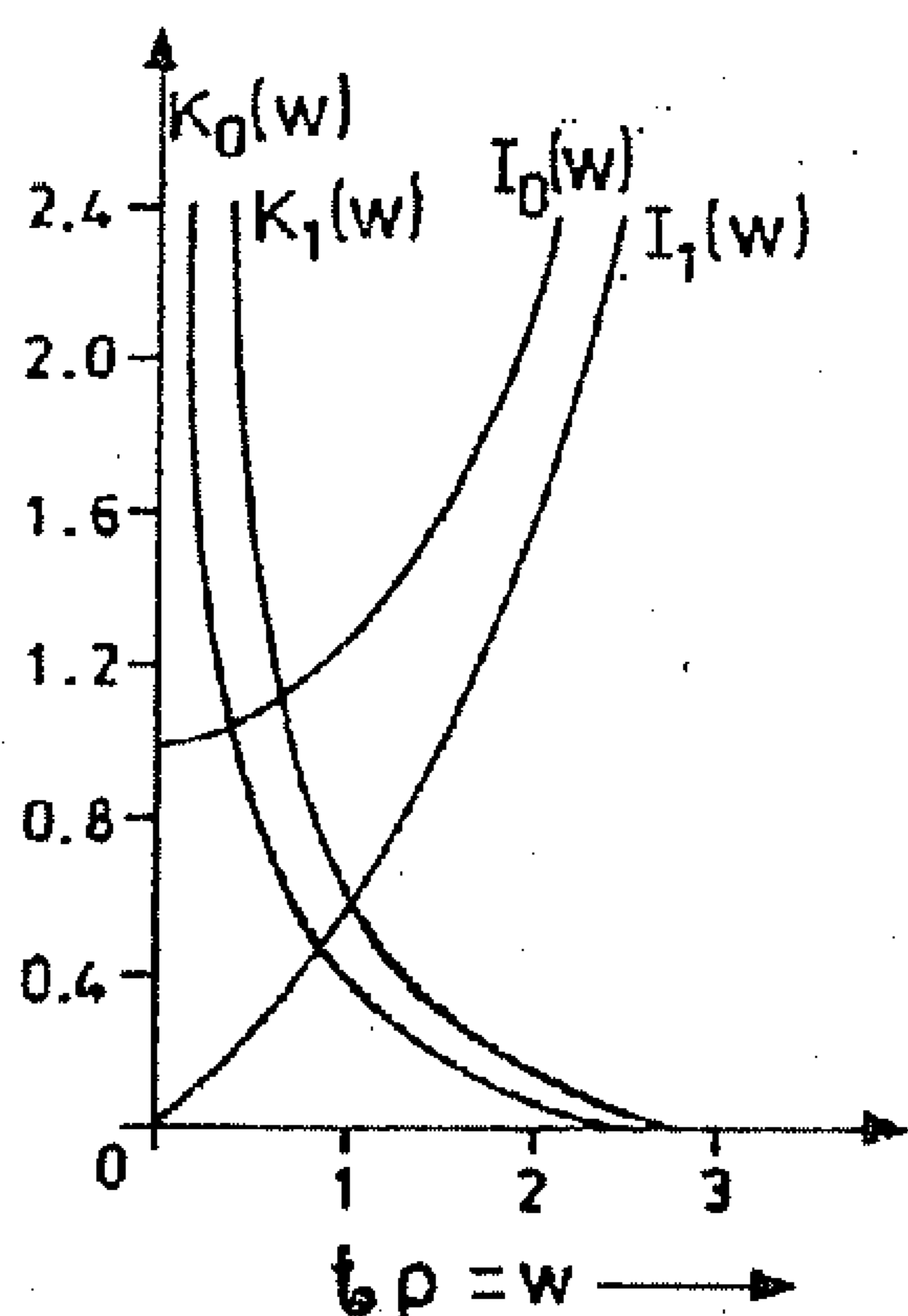
Οἱ  $I_n(t\rho)$  καὶ  $K_n(t\rho)$  ἀποτελοῦν ἓνα ἀνεξάρτητο σύνολο λύσεων τῆς ἐξίσωσης Bessel. Ὄταν

$$t\rho \gg 1, n \quad (31)$$

τότε

$$I_n(t\rho) \rightarrow \frac{e^{t\rho}}{\sqrt{2\pi t\rho}} \quad (32)$$

$$K_n(t\rho) \rightarrow \sqrt{\frac{\pi}{2t\rho}} e^{-t\rho} \quad (33)$$



Σχ. 2 Τροποποιημένες συναρτήσεις Bessel .

Στό σχ. 2 παριστάνονται μερικές από τὴς πρῶτες τροποποιημένες συναρτήσεις Bessel.

Στόν ἐπόμενο πίνακα δίνουμε μερικές ιδιότητες καὶ ὀρισμένους ἀναγωγικούς τύπους τῶν συναρτήσεων Bessel .

Ἡ λύση (2) τῆς (1) δίνεται ἀπό τό γινόμενο τῶν  $R_n(\rho), F_n(\varphi)$  γιὰ κάθε περίπτωση τοῦ  $k_c$  ὅπως δείχνει

ὁ πίνακας I πού ἀκολουθεῖ. Ἡ γενική λύση τῆς (1) προκύπτει σάν ἄθροισμα τῶν συναρτήσεων  $U_n(\rho, \varphi)$  τοῦ πίνακα I .

$$U = \sum_{n=-\infty}^{\infty} U_n \quad (34)$$

## ΠΙΝΑΚΑΣ I

$$J_{-n}(v) = (-1)^n J_n(v)$$

$$Y_n(v) = \lim_{v \rightarrow n} \frac{\cos v\pi J_v(v) - J_{-v}(v)}{\sin v\pi}$$

$$Y_{-n}(v) = (-1)^n Y_n(v)$$

$$I_{-n}(w) = I_n(w)$$

$$K_{-n}(w) = K_n(w)$$

$$n J_n(v) = \frac{v}{2} [J_{n-1}(v) + J_{n+1}(v)]$$

$$J'_n(v) = \frac{1}{2} [J_{n-1}(v) - J_{n+1}(v)]$$

$$\cos(x \sin \vartheta) = J_0(x) + 2 \sum_{n=1}^{\infty} J_{2n}(x) \cos 2n\vartheta$$

$$\cos(x \cos \vartheta) = J_0(x) - 2J_2(x) \cos 2\vartheta + 2J_4(x) \cos 4\vartheta - \dots$$

$$\sin(x \sin \vartheta) = 2 \cdot \sum_{n=1}^{\infty} J_{2n-1}(x) \sin(2n-1)\vartheta$$

$$\sin(x \cos \vartheta) = 2 [J_1(x) \cos \vartheta - J_3(x) \cos 3\vartheta + \dots]$$

$$\begin{array}{l} \frac{d}{dv} [v^n J_n(v)] = v^n J_{n-1}(v) \\ \frac{d}{dv} [v^{-n} J_n(v)] = -v^{-n} J_{n+1}(v) \end{array} \left\{ \begin{array}{l} \int J_1(v) dv = -J_0(v) \\ \int v J_0(v) dv = v J_1(v) \\ \int J_0^2(v) v dv = \frac{v^2}{2} [J_0^2(v) + J_1^2(v)] \\ \int J_n^2(v) v dv = \frac{v^2}{2} [J_n^2(v) - J_{n-1}(v) J_{n+1}(v)] \end{array} \right.$$

## ΠΙΝΑΚΑΣ II

Λ Υ Σ Η	$k_c = 0$		$k_c = \text{πραγμ.} \neq 0$	$k_c = j\epsilon$
	$n=0$	$n=\pm 1, \pm 2, \dots$	$n=0, \pm 1, \pm 2, \dots$	$n=+0, \pm 1, \pm 2, \dots$
$R_n(\rho)$	$A \ln \rho + B$	$A_n \rho^n + B_n \rho^{-n}$	$A_n J_n(k_c \rho) + B_n Y_n(k_c \rho)$	$A_n I_n(\epsilon \rho) + B_n K_n(\epsilon \rho)$
$F_n(\varphi)$	$M_n \cos n\varphi + N_n \sin n\varphi$			
$U_n(\rho, \varphi)$	Δέν ενδιαφέρει έδω	$(A_n J_n + B_n Y_n)(M_n \cos n\varphi + N_n \sin n\varphi)$		Δέν ενδιαφέρει έδω

Επειδή οι συναρτήσεις  $Y_n$  και  $K_n$  εμφανίζουν ασυνέχεια (άπει-  
ρίζονται) για  $\rho = 0$  και επειδή στο πρόβλημά μας περιλαμβάνεται  
ο άξονας  $z(\rho=0)$  στην περιοχή που μελετούμε, στις λύσεις  $U_n$  του  
πίνακα I θεωρούμε ότι:

$$B_n = 0 \quad (35)$$

Για κάθε  $n$  έχουμε λοιπόν και μία ανεξάρτητη λύση:

$$U_n = U_0 J_n(k_c \rho) [\cos n\varphi + \sin n\varphi] \quad (36)$$

που αν αγνοήσουμε τόν ήμιτονικό προσθετέο γίνεται απλούστερη :

$$U_n = U_0 J_n(k_c \rho) \cos n\varphi \quad (37)$$

και σημαίνει ότι η  $U_n$  είναι μέγιστη στις θέσεις  $\varphi = 0$  και  $\varphi = \pi$   
και μηδέν στις θέσεις  $\pi/2$  και  $3\pi/2$ . Αν αντί του ήμιτονικού  
όρου παραλείπαμε τόν συνημιτονικό, οι συνθήκες του  $U_n$  θα περι-  
στρέφονταν κατά  $90^\circ$ . Υποθέτοντας όμως ότι ο εγκάρσιος προσα-  
νατολισμός του πεδίου είναι αυθαίρετος μάς αρκεί οποιαδήποτε  
από τις δύο λύσεις.

## Σ η μ ε ρ ω σ η

Στήν περίπτωση διαδόσεως κυκλικά πολωμένου Ἡλεκτρομαγνητικοῦ κύματος μέσα ἀπό τόν κυματοδηγό πρέπει νά ληφθοῦν ὑπόψη καί οἱ δύο ὅροι.

Στόν ἐπόμενο πύνακα δύνονται οἱ τιμές τῶν πρώτων ριζῶν τῆς συνάρτησης Bessel α' εἴδους  $J_n(u)$  καθώς καί τῆς πρώτης παραγώγου τῆς  $J_n(u)$ .

## ΠΙΝΑΚΑΣ ΙΙΙ

ΜΕΡΙΚΕΣ ΑΠΟ ΤΙΣ ΠΡΩΤΕΣ ΡΙΖΕΣ ΤΗΣ ΣΥΝΑΡΤΗΣΗΣ BESSEL  $J_n(u)$  ΚΑΙ ΤΗΣ ΠΑΡΑΓΩΓΟΥ ΤΗΣ  $J_n(u)$ .

A/A ΡΙΖΑΣ	$J_0(u)$	$J_1(u)$	$J_2(u)$	$J_3(u)$	$J_4(u)$	$J_5(u)$
1	2,4048	3,8317	5,1356	6,3802	7,5883	8,7715
2	5,5201	7,0156	8,4172	9,7610	11,0647	12,3386
3	8,6537	10,1735	11,6198	13,0152	14,3725	15,7002
4	11,7915	13,3237	14,7960	16,2235	17,6160	18,9801
5	14,9309	16,4706	17,9538	19,4094	20,8269	22,2178
	$J'_0(u)$	$J'_1(u)$	$J'_2(u)$	$J'_3(u)$		
1	3,8317	1,8412	3,0542	4,2012		
2	7,0156	5,3314	6,7061	8,0152		
3	10,1735	8,5363	9,9695	11,3459		

\*) Παρατήρησις : Ὅπως προκύπτει καί ἀπό τίς τιμές τοῦ πύνακα εἶναι  $J'_0(u) = -J_1(u)$ . Δηλαδή οἱ  $J_1(u)$  καί  $J'_0(u)$  ἔχουν τίς ἑδρες ρίζες.





## ΠΡΟΒΛΗΜΑΤΑ

**Σημείωση** Τά προβλήματα έχουν καταχωρηθεῖ κατὰ κεφάλαιο στὶς ἀκόλουθες δύο κατηγορίες :

- A . Πρόβλήματα στὰ ὅποια δύνεται ἡ πλήρης λύση τους .
- B . Πρόβλήματα στὰ ὅποια δύνεται μόνο τὸ ἀποτέλεσμά τους .

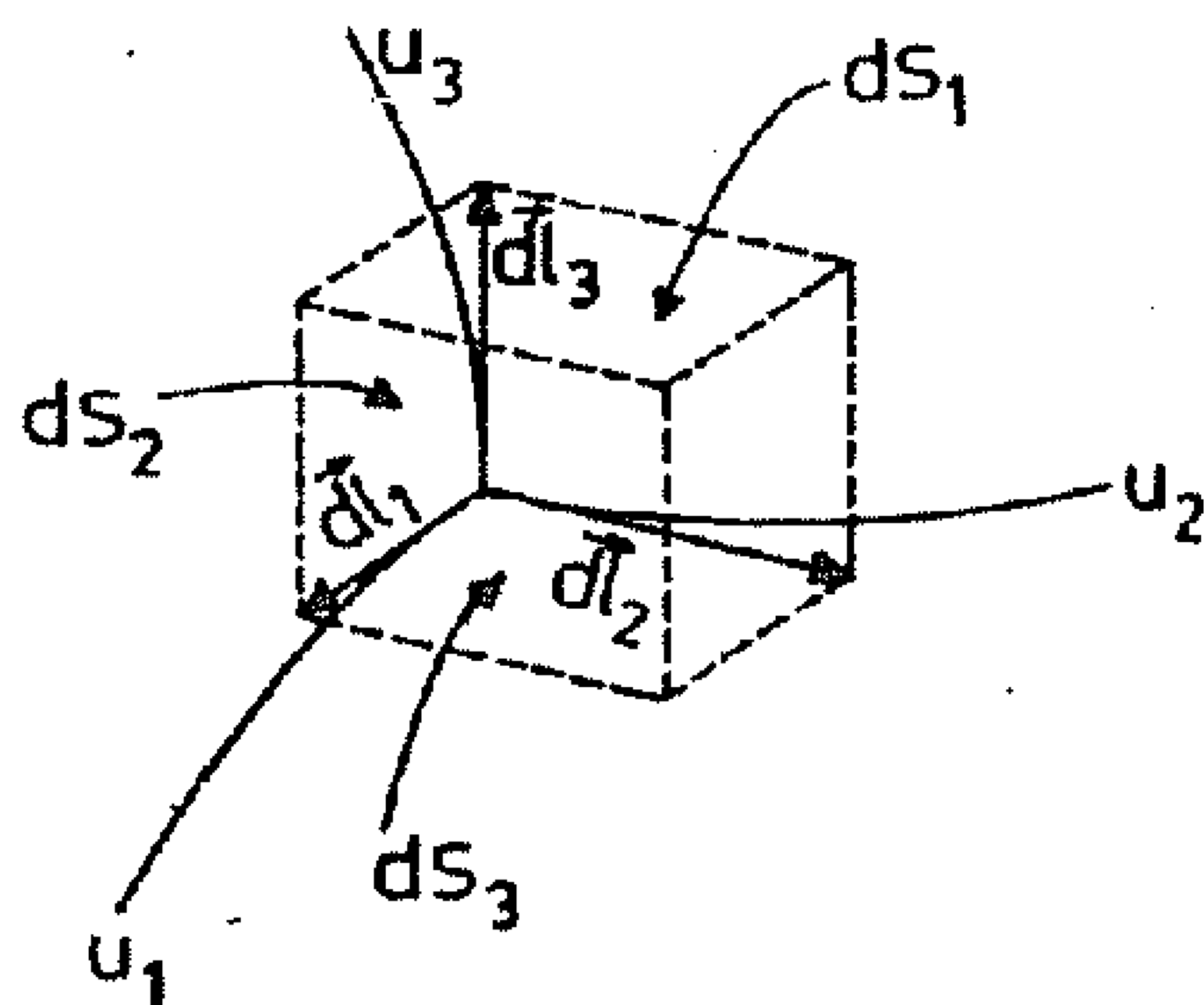
### ΚΕΦΑΛΑΙΟ 1

1.1 Νά προσδιοριστοῦν οἱ ἐκφράσεις, πού δύνουν τὸ στοιχειῶδες ἐμβαδό, πάνω σέ κάθε συντεταγμένη ἐπιφάνεια, ἐνός ὀρθογώνιου καμπυλόγραμμου συστήματος συντεταγμένων, μέ παράγοντες κλίμακας  $h_1$  ,  $h_2$  ,  $h_3$  .

Λύση

Θεωροῦμε τὸ στοιχειῶδες ὀρθογώνιο τοῦ σχήματος σέ κάποια τυχαία θέση  $\vec{r}$  τοῦ χώρου . Εἶναι :

$$\left. \begin{aligned} dl_1 &= h_1 du_1 \\ dl_2 &= h_2 du_2 \\ dl_3 &= h_3 du_3 \end{aligned} \right\} \quad (1)$$



Από τις σχέσεις (1) έχουμε :

$$\left. \begin{aligned} dS_1 &= dl_2 dl_3 = h_2 h_3 du_2 du_3 \\ dS_2 &= dl_3 dl_1 = h_3 h_1 du_3 du_1 \\ dS_3 &= dl_1 dl_2 = h_1 h_2 du_1 du_2 \end{aligned} \right\} \quad (2)$$

Οι (2) είναι οι εκφράσεις, που ζητούνται .

1.2 Νά αποδείξετε ότι σ' ένα ορθογώνιο καμπυλόγραμμο σύστημα συντεταγμένων  $(u_1, u_2, u_3)$  τα μοναδιαία διανύσματα  $\bar{u}_1, \bar{u}_2, \bar{u}_3$ , που εφάπτονται στις συντεταγμένες καμπύλες, στην τυχαία θέση  $\vec{r}$ , μπορούν να προσδιοριστούν από τις σχέσεις :

$$\hat{u}_i = \frac{1}{h_i} \frac{\partial \vec{r}}{\partial u_i}, \quad i = 1, 2, 3$$

όπου  $h_i$ ,  $i=1,2,3$  οι παράγοντες κλίμακας του συστήματος .

Λύση

Τα διανύσματα

$$\begin{aligned} \frac{\partial \vec{r}}{\partial u_1} &= \lim_{\Delta u_1 \rightarrow 0} \frac{\vec{r}(u_1 + \Delta u_1, u_2, u_3) - \vec{r}(u_1, u_2, u_3)}{\Delta u_1} \\ \frac{\partial \vec{r}}{\partial u_2} &= \dots \\ \frac{\partial \vec{r}}{\partial u_3} &= \dots \end{aligned} \quad (1)$$

εφάπτονται, αντίστοιχα, στις συντεταγμένες καμπύλες  $u_1$ ,  $u_2$ ,  $u_3$ . Τα αντίστοιχα μοναδιαία διανύσματα  $\hat{u}_i$  θα είναι:

$$\hat{u}_i = \frac{\frac{\partial \vec{r}}{\partial u_i}}{\left| \frac{\partial \vec{r}}{\partial u_i} \right|}, \quad i = 1, 2, 3 \quad (2)$$

Αλλά είναι :

$$\left| \frac{\partial \vec{r}}{\partial u_i} \right| = \frac{dl_i}{du_i} = h_i, \quad i = 1, 2, 3 \quad (3)$$

Ωστε :

$$\hat{u}_i = \frac{1}{h_i} \frac{\partial \vec{r}}{\partial u_i} \quad (4)$$

1.3 Νά μετασχηματιστεῖ τό διάνυσμα  $\vec{R} = \rho \hat{\rho} + z \hat{z}$  ἀπό τό κυλινδρικό σύστημα στό καρτεσιανό.

Λύση

Ἄς ποῦμε ὅτι τό διάνυσμα πού ζητοῦμε εἶναι τό

$$\vec{R} = R_x \hat{x} + R_y \hat{y} + R_z \hat{z} \quad (1)$$

Θά εἶναι :

$$\left. \begin{aligned} R_x &= \vec{R} \cdot \hat{x} \\ R_y &= \vec{R} \cdot \hat{y} \\ R_z &= \vec{R} \cdot \hat{z} \end{aligned} \right\} \quad (2)$$

Δηλαδή :

$$\left. \begin{aligned} R_x &= \rho \hat{\rho} \cdot \hat{x} + z \hat{z} \cdot \hat{x} = \rho \cos \varphi + 0 = \rho \cos \varphi = x \\ R_y &= \rho \hat{\rho} \cdot \hat{y} + z \hat{z} \cdot \hat{y} = \rho \sin \varphi + 0 = \rho \sin \varphi = y \\ R_z &= \rho \hat{\rho} \cdot \hat{z} + z \hat{z} \cdot \hat{z} = 0 + z = z \end{aligned} \right\} \quad (3)$$

Ἀπό τίς (3) ἢ (1) γύνεται :

$$\vec{R} = x \hat{x} + y \hat{y} + z \hat{z} \equiv \vec{r} \quad (4)$$

Ωστε τό διάνυσμα  $\vec{R} = \rho \hat{\rho} + z \hat{z} = \rho \hat{\rho} + 0 \hat{\phi} + z \hat{z}$ , πού παριστάνει ἓνα σημεῖο τοῦ ἐπιπέδου  $\varphi = \text{σταθ.}$ , ταυτίζεται μέ τό διάνυσμα θέσης  $\vec{r}$  τοῦ καρτεσιανοῦ συστήματος.

1.4 Νά υπολογιστοῦν οἱ παράγωγοι τῶν μοναδιαίων διανυσμάτων τοῦ κυλινδρικοῦ συστήματος συντεταγμένων ὡς πρὸς  $\rho$ ,  $\varphi$  καὶ  $z$ , ἀφοῦ πρῶτα ὁριστοῦν τὰ διανύσματα αὐτά.

Λύση

$$\text{Θεωροῦμε τὸ διάνυσμα θέσης: } \vec{r} = x\hat{x} + y\hat{y} + z\hat{z} \quad (1)$$

καὶ τίς σχέσεις μετασχηματισμοῦ

$$\left. \begin{aligned} x &= \rho \cos \varphi \\ y &= \rho \sin \varphi \\ z &= z \end{aligned} \right\} \quad (2)$$

Ἔχουμε (βλ. σχέση (4) τοῦ προβλ. 1.2) :

$$\hat{\rho} = \frac{\partial \vec{r} / \partial \rho}{|\partial \vec{r} / \partial \rho|} = \frac{\hat{x} \frac{\partial x}{\partial \rho} + \hat{y} \frac{\partial y}{\partial \rho} + \hat{z} \frac{\partial z}{\partial \rho}}{|\partial \vec{r} / \partial \rho|} = \frac{\hat{x} \cos \varphi + \hat{y} \sin \varphi}{\cos^2 \varphi + \sin^2 \varphi} = \hat{x} \cos \varphi + \hat{y} \sin \varphi$$

$$\hat{\varphi} = \frac{\partial \vec{r} / \partial \varphi}{|\partial \vec{r} / \partial \varphi|} = \frac{\hat{x} \frac{\partial x}{\partial \varphi} + \hat{y} \frac{\partial y}{\partial \varphi} + \hat{z} \frac{\partial z}{\partial \varphi}}{|\partial \vec{r} / \partial \varphi|} = \frac{-\hat{x} \sin \varphi + \hat{y} \cos \varphi}{\sin^2 \varphi + \cos^2 \varphi} = -\hat{x} \sin \varphi + \hat{y} \cos \varphi$$

$$\hat{z} = \frac{\partial \vec{r} / \partial z}{|\partial \vec{r} / \partial z|} = \frac{0 + 0 + \hat{z}}{1} = \hat{z}$$

Ἄρα:

$$\left. \begin{aligned} \hat{\rho} &= \hat{x} \cos \varphi + \hat{y} \sin \varphi \\ \hat{\varphi} &= -\hat{x} \sin \varphi + \hat{y} \cos \varphi \\ \hat{z} &= \hat{z} \end{aligned} \right\} \quad (3)$$

Ἀπὸ τίς (3) προκύπτουν οἱ παράγωγοι :

$$\frac{\partial \hat{\rho}}{\partial \rho} = 0, \quad \frac{\partial \hat{\varphi}}{\partial \rho} = 0, \quad \frac{\partial \hat{z}}{\partial \rho} = 0$$

$$\frac{\partial \hat{\rho}}{\partial \varphi} = -\hat{x} \sin \varphi + \hat{y} \cos \varphi = \hat{\varphi}, \quad \frac{\partial \hat{\varphi}}{\partial \varphi} = -\hat{x} \cos \varphi - \hat{y} \sin \varphi = -\hat{\rho}, \quad \frac{\partial \hat{z}}{\partial \varphi} = 0$$

$$\frac{\partial \hat{\rho}}{\partial z} = 0, \quad \frac{\partial \hat{\varphi}}{\partial z} = 0, \quad \frac{\partial \hat{z}}{\partial z} = 0$$

1.5 Μία καμπύλη  $C$  δίνεται στο χώρο από τις παραμετρικές της εξισώσεις  $x = x(l)$ ,  $y = y(l)$ ,  $z = z(l)$ , όπου  $l$  τό μήκος πάνω στην καμπύλη  $C$ . "Αν  $\vec{r}$  είναι τό διάνυσμα θέσης όποιουδήποτε σημείου της  $C$ , νά αποδειχτεϊ ότι τό διάνυσμα  $d\vec{r}/dl$  είναι μοναδιαϊο έφαπτόμενο διάνυσμα της καμπύλης  $C$ .

Λύση

Τό διάνυσμα 
$$\frac{d\vec{r}}{dl} = \frac{d(x\hat{x} + y\hat{y} + z\hat{z})}{dl} = \frac{dx}{dl}\hat{x} + \frac{dy}{dl}\hat{y} + \frac{dz}{dl}\hat{z}$$

έφάπτεται στην καμπύλη  $C$  στη θέση  $\vec{r}$ , αφού έχει τή διεύθυνση του  $d\vec{r}$ .

Εξάλλου

$$\left| \frac{d\vec{r}}{dl} \right| = \sqrt{\left( \frac{dx}{dl} \right)^2 + \left( \frac{dy}{dl} \right)^2 + \left( \frac{dz}{dl} \right)^2} = \sqrt{\frac{dx^2 + dy^2 + dz^2}{dl^2}}$$

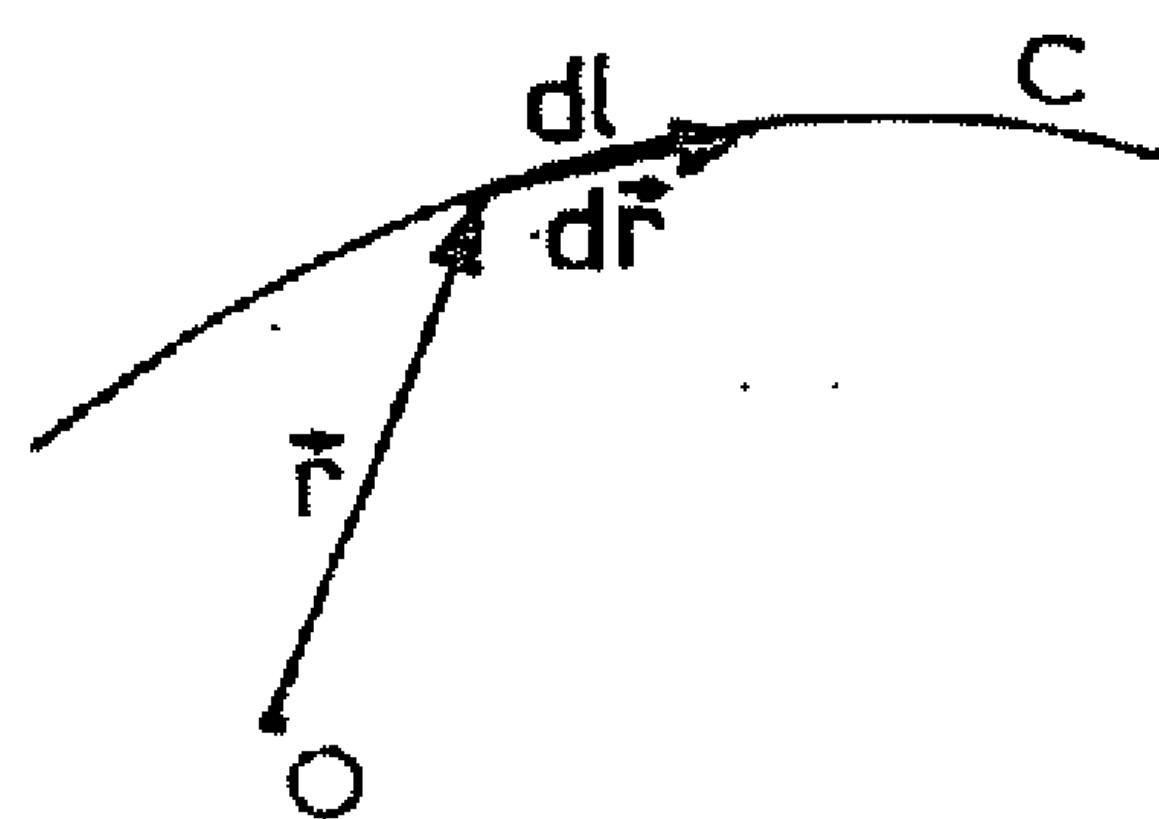
καί αφού

$$dl^2 = dx^2 + dy^2 + dz^2$$

Προκύπτει ότι:

$$\left| \frac{d\vec{r}}{dl} \right| = 1$$

Ωστε τό διάνυσμα  $d\vec{r}/dl$  είναι μοναδιαϊο καί έφάπτεται στην καμπύλη  $C$ .



1.6 Έστω ότι η κίνηση ενός υλικού σημείου περιγράφεται από την εξίσωση

$$\vec{r} = r \cos \omega t \cdot \hat{x} + r \sin \omega t \cdot \hat{y} \quad (1)$$

όπου  $r = \text{σταθ.}$  και  $\omega = \text{σταθ.}$

α) Νά προσδιοριστεί η ταχύτητα  $\vec{v}$  του σημείου και ν' αποδειχτεί ότι είναι κάθετη στο διάνυσμα θέσης  $\vec{r}$ .

β) Νά προσδιοριστεί η επιτάχυνση  $\vec{\gamma}$  του σημείου και νά αποδειχτεί ότι έχει την ίδια διεύθυνση με το  $\vec{r}$  αλλά αντίθετη φορά, δηλαδή κατευθύνεται προς την αρχή των αξόνων.

γ) Ν' αποδειχτεί ότι  $\vec{r} \times \vec{v} = \text{σταθ.}$

Λύση

$$\alpha) \quad \vec{v} = \frac{d\vec{r}}{dt} = -r\omega \sin \omega t \cdot \hat{x} + r\omega \cos \omega t \cdot \hat{y} \quad (2)$$

$$v = \sqrt{r^2 \omega^2 \sin^2 \omega t + r^2 \omega^2 \cos^2 \omega t} = \omega \cdot r \quad (3)$$

$$\begin{aligned} \vec{r} \cdot \vec{v} &= (r \cos \omega t \cdot \hat{x} + r \sin \omega t \cdot \hat{y}) \cdot (-r\omega \sin \omega t \cdot \hat{x} + r\omega \cos \omega t \cdot \hat{y}) = \\ &= -r^2 \omega \sin \omega t \cos \omega t + r^2 \omega \sin \omega t \cos \omega t = 0 \end{aligned}$$

$$\text{Ώστε :} \quad \vec{r} \cdot \vec{v} = 0 \quad (4)$$

Η ταχύτητα λοιπόν δίνεται από τη (2) έχει μέτρο σταθερό ( $v = \omega r$ ) και είναι κάθετη πάνω στο διάνυσμα θέσης  $\vec{r}$ .

$$\beta) \quad \vec{\gamma} = \frac{d\vec{v}}{dt} = -r\omega^2 \cos \omega t \cdot \hat{x} - r\omega^2 \sin \omega t \cdot \hat{y} = -\omega^2 (r \cos \omega t \cdot \hat{x} + r \sin \omega t \cdot \hat{y})$$

$$\text{ή} \quad \vec{\gamma} = -\omega^2 \vec{r}$$

$$\gamma) \vec{r} \times \vec{v} = \begin{vmatrix} \hat{x} & \hat{y} & \hat{z} \\ r \cos \omega t & r \sin \omega t & 0 \\ -r\omega \sin \omega t & r\omega \cos \omega t & 0 \end{vmatrix} = \hat{z}(r^2 \omega \cos^2 \omega t + r^2 \omega \sin^2 \omega t) = r^2 \omega \hat{z} = \text{σταθ.}$$

Παρατήρηση 'Η κίνηση είναι όμαλή κυκλική κίνηση ύλικοῦ σημείου. 'Αν  $m$  ή μάζα τοῦ ύλικοῦ σημείου, τό διάνυσμα

$$\vec{G} = \vec{r} \times m\vec{v} = m \vec{r} \times \vec{v} = m \omega r^2 \hat{z}$$

είναι τό γνωστό διάνυσμα τῆς στροφομῆς τοῦ ύλικοῦ σημείου.

1.7 'Ενα ύλικό σημείο ἔλκεται ἀπό μιὰ δύναμη, ποῦ προέρχεται ἀπό ὀρισμένο σημείο  $O$  (κεντρική δύναμη). 'ΑΣ θεωρήσουμε τό  $O$  σάν ἀρχή τῶν ἀξόνων. 'Αν ή δύναμη είναι

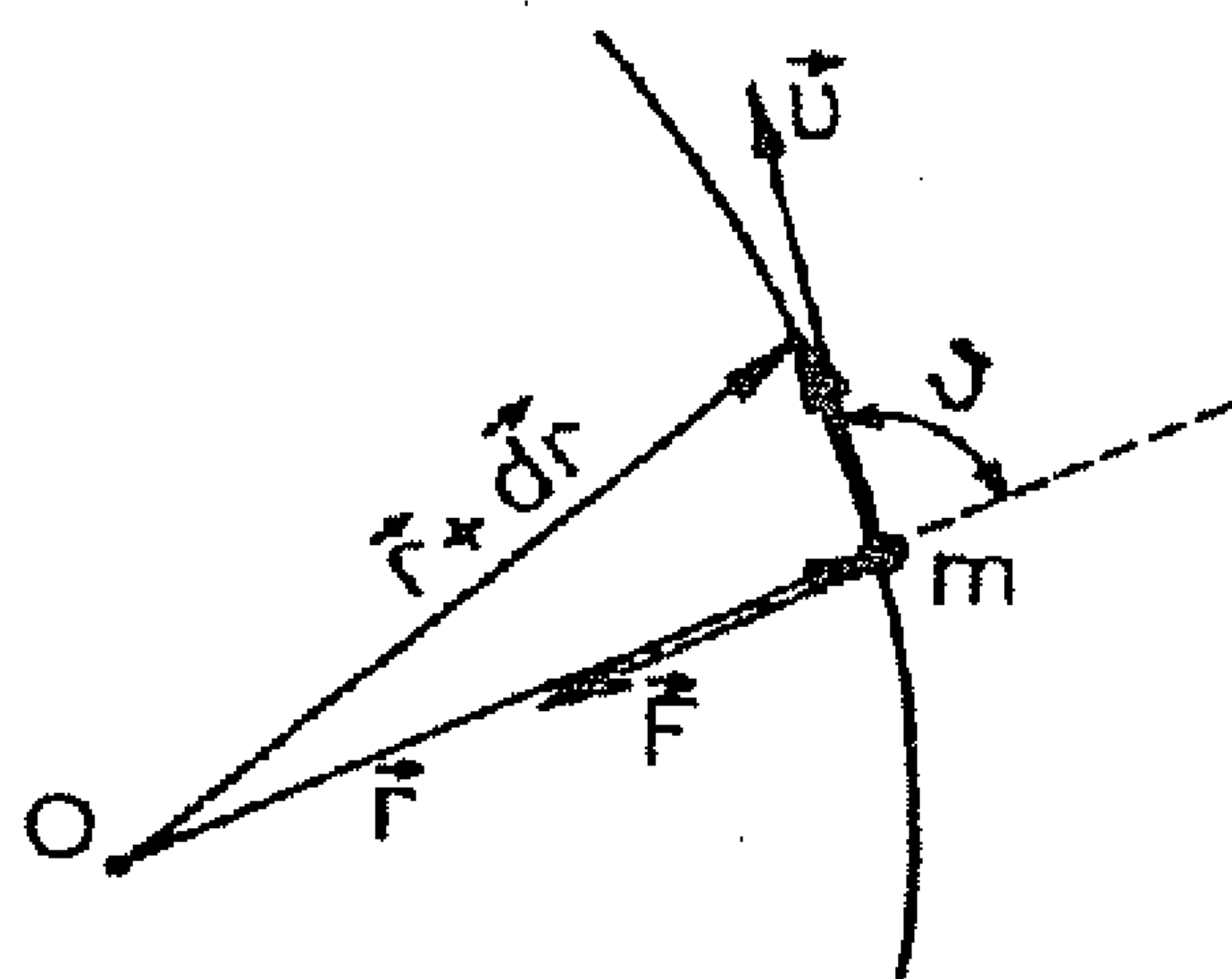
$$\vec{F} = f(r) \vec{r} \quad (1)$$

ὅπου  $\vec{r}$  τό διάνυσμα θέσης τοῦ σημείου, νά ἀποδείξετε ὅτι ή στροφομή  $\vec{G}$  τοῦ ύλικοῦ σημείου ὡς πρὸς τό  $O$  είναι σταθερό διάνυσμα καί νά προσδιορίσετε τή διεύθυνση καί τή φορά τοῦ διανύσματος αὐτοῦ. 'Αν  $m$  ή μάζα τοῦ ύλικοῦ σημείου τί ἐκφράζει τό διάνυσμα  $\vec{H} = \frac{1}{2m} \vec{G}$  ;

Λύση

'Από τόν θεμελιώδη νόμο τῆς μηχανικῆς είναι :

$$\vec{F} = m \frac{d\vec{v}}{dt} = \frac{d\vec{J}}{dt} \quad (2)$$



ὅπου  $\vec{J} = m\vec{v}$  ή ὁρμή τοῦ ύλικοῦ σημείου. 'Η στροφομή τοῦ ύλικοῦ σημείου είναι :

$$\vec{G} = \vec{r} \times \vec{J} = \vec{r} \times m\vec{v} \quad (3)$$



Από τήν (3) έχουμε :

$$\frac{d\vec{G}}{dt} = \frac{d\vec{r}}{dt} \times \vec{J} + \vec{r} \times \frac{d\vec{J}}{dt} = \vec{v} \times m\vec{v} + \vec{r} \times \vec{F} = m\vec{v} \times \vec{v} + f(r)\vec{r} \times \vec{r} \quad (4)$$

Αλλά  $\vec{v} \times \vec{v} = 0$  ,  $\vec{r} \times \vec{r} = 0$  (5)

Ωστε :  $\frac{d\vec{G}}{dt} = 0$  (6)

ή  $\vec{G} = \text{σταθ.}$  (7)

Από τήν (3) προκύπτει ότι η  $\vec{G}$  είναι κάθετη στο επίπεδο της τροχιάς (των  $\vec{r}$  και  $\vec{v}$ ) κι έχει τή φορά του εξωτερικού γινομένου  $\vec{r} \times \vec{v}$

Από τήν (3) έχουμε ακόμα :  $\vec{H} = \frac{1}{2m} \vec{G} = \frac{1}{2} \vec{r} \times \vec{v} = \text{σταθ.}$  (8)

Τό διάνυσμα  $\vec{H}$  έχει τή διεύθυνση και φορά της στροφορμής  $\vec{G}$  και μέτρο

$$H = \frac{1}{2} r \frac{dl}{dt} \cdot \sin \vartheta \quad (9)$$

Αλλά

$$\frac{1}{2} r dl \sin \vartheta = dS \quad (10)$$

όπου  $dS$  τό έμβαδό πού διαγράφει τό διάνυσμα  $\vec{r}$  μέσα στό χρόνο  $dt$ .

Ωστε :  $H = \frac{dS}{dt}$  (11)

Τό διάνυσμα  $\vec{H}$  λοιπόν εκφράζει τήν "έμβαδική ταχύτητα" του υλικού σημείου. Καί έπειδή (βλ. σχέση (8))  $\vec{H} = \text{σταθ.}$  βγαίνει τό συμπέρασμα ότι η έμβαδική ταχύτητα του σημείου είναι σταθερή , δηλ. τό διάνυσμα θέσης του υλικού σημείου διαγράφει σέ ίσους χρόνους ίσα έμβαδά πάνω στό επίπεδο της τροχιάς (Νόμος των έμβαδών του Kepler) .

1.8 Νά προσδιοριστεί τό κάθετο μοναδιαίο διάνυσμα  $\hat{n}$  στό τυχαίο σημείο  $(x, y, z)$  τῆς σφαίρας:

$$x^2 + y^2 + (z - c)^2 = R^2 \quad (1)$$

Εἰδικά : Στά σημεία: α)  $(R, 0, c)$  β)  $(0, R, c)$   
 γ)  $(0, 0, c+R)$  καί δ)  $(0, 0, c-R)$  .

Λύση

Ἡ σφαῖρα περιγράφεται ἀπό τήν ἐξίσωση :

$$\Phi(x, y, z) \equiv x^2 + y^2 + (z - c)^2 = R^2 = \text{σταθ.} \quad (2)$$

Στήν τυχαία θέση  $(x, y, z)$  τῆς ἐπιφάνειας τῆς σφαίρας τό μοναδιαίο διάνυσμα  $\hat{n}$  μπορεῖ νά προσδιοριστεῖ ἀπό τή σχέση :

$$\hat{n} = \frac{\vec{\nabla} \Phi}{|\vec{\nabla} \Phi|} \quad (3)$$

Εἶναι :

$$\vec{\nabla} \Phi = \left( \frac{\partial}{\partial x} \hat{x} + \frac{\partial}{\partial y} \hat{y} + \frac{\partial}{\partial z} \hat{z} \right) \Phi = 2x\hat{x} + 2y\hat{y} + 2(z - c)\hat{z} \quad (4)$$

καί

$$|\vec{\nabla} \Phi| = \sqrt{4x^2 + 4y^2 + 4(z - c)^2} = 2\sqrt{x^2 + y^2 + (z - c)^2} = 2R \quad (5)$$

Ἀπό τίς (3), (4) καί (5) ἔχουμε:

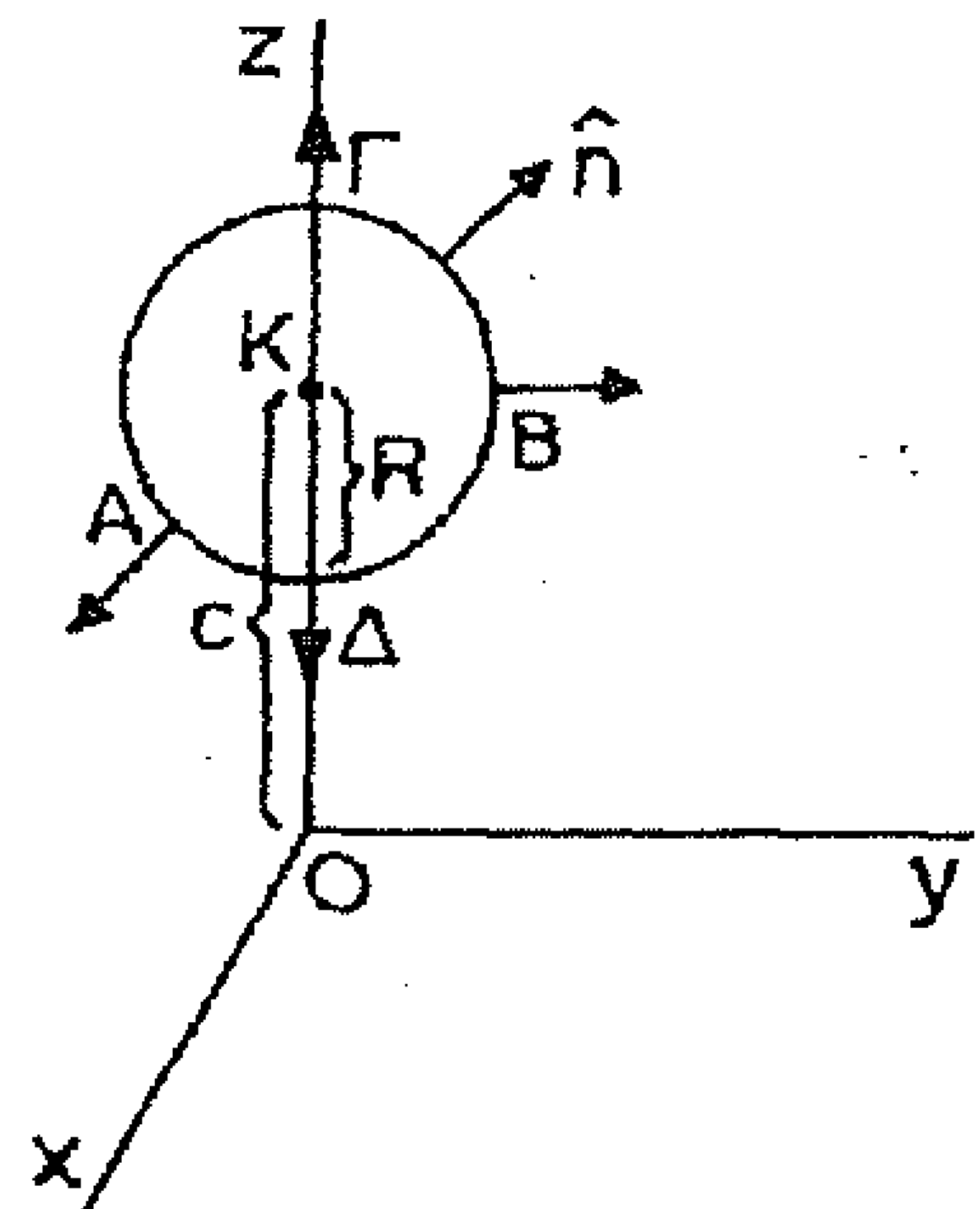
$$\hat{n} = \frac{x\hat{x} + y\hat{y} + (z - c)\hat{z}}{R}$$

(6)

Εἰδικότερα :

α. Στό  $A(R, 0, c)$  :

$$\hat{n} = \frac{R\hat{x} + 0 + 0}{R} = \hat{x}$$



$$\beta. \text{ Στο σημείο } B(0, R, c) : \quad \hat{n} = \frac{0 + R\hat{y} + 0}{R} = \hat{y}$$

$$\gamma. \text{ Στο σημείο } \Gamma(0, c+R) : \quad \hat{n} = \frac{0 + 0 + R\hat{z}}{R} = \hat{z}$$

$$\delta. \text{ Στο σημείο } \Delta(0, 0, c-R) : \quad \hat{n} = \frac{0 + 0 - R\hat{z}}{R} = -\hat{z}$$

1.9 'Η σχετική θέση του σημείου  $\vec{r}$  ως προς τό σημείο  $\vec{r}'$  δύνετα

$$\text{ἀπό τό διάνυσμα :} \quad \vec{R} = \vec{r} - \vec{r}' = R \hat{R} \quad (1)$$

Χρησιμοποιώντας τούς τελεστές :

$$\vec{\nabla} = \hat{x} \frac{\partial}{\partial x} + \hat{y} \frac{\partial}{\partial y} + \hat{z} \frac{\partial}{\partial z} \quad (2)$$

$$\vec{\nabla}' = \hat{x}' \frac{\partial}{\partial x'} + \hat{y}' \frac{\partial}{\partial y'} + \hat{z}' \frac{\partial}{\partial z'} \quad (3)$$

νά υπολογίσετε τίς βαθμύδες :  $\vec{\nabla} R$  καί  $\vec{\nabla}' R$  ὅταν  $R \neq 0$

Λύση

Στό καρτεσιανό σύστημα εἶναι :

$$\vec{R} = (x - x')\hat{x} + (y - y')\hat{y} + (z - z')\hat{z} \quad (4)$$

$$\text{καί} \quad R = \sqrt{(x - x')^2 + (y - y')^2 + (z - z')^2} \quad (5)$$

"Εχοντας υπόψη ὅτι  $R \neq 0$  υπολογίζουμε :

$$\frac{\partial R}{\partial x} = \dots = \frac{x - x'}{R}$$

$$\frac{\partial R}{\partial x'} = \dots = -\frac{x - x'}{R}$$

$$\frac{\partial R}{\partial y} = \dots = \frac{y - y'}{R}$$

καί

$$\frac{\partial R}{\partial y'} = \dots = -\frac{y - y'}{R}$$

$$\frac{\partial R}{\partial z} = \dots = \frac{z - z'}{R}$$

$$\frac{\partial R}{\partial z'} = \dots = -\frac{z - z'}{R}$$

Οπότε

$$\vec{\nabla} R = \frac{x-x'}{R} \hat{x} + \frac{y-y'}{R} \hat{y} + \frac{z-z'}{R} \hat{z} = \frac{\vec{R}}{R} = \hat{R} \quad (6)$$

και

$$\vec{\nabla}' R = \frac{-\vec{R}}{R} = -\hat{R} \quad (7)$$

**1.10** "Εστω μία συνάρτηση  $f(R)$ , όπου  $R$  τό μέτρο του διανύσματος της προηγούμενης άσκησης. "Αν ή  $f(R)$  ελναι συνεχής και παραγωγίσιμη ως προς  $R$ , νά προσδιορίσετε τίς βαθμύδες  $\vec{\nabla} f(R)$  και  $\vec{\nabla}' f(R)$ . Ελδικά όταν  $f(R) \equiv 1/R$ ,  $R \neq 0$ .

Λύση

$$\begin{aligned} \vec{\nabla} f(R) &= \left( \frac{\partial}{\partial x} \hat{x} + \frac{\partial}{\partial y} \hat{y} + \frac{\partial}{\partial z} \hat{z} \right) f(R) = \frac{\partial f}{\partial x} \hat{x} + \frac{\partial f}{\partial y} \hat{y} + \frac{\partial f}{\partial z} \hat{z} = \\ &= \frac{\partial f}{\partial R} \frac{\partial R}{\partial x} \hat{x} + \frac{\partial f}{\partial R} \frac{\partial R}{\partial y} \hat{y} + \frac{\partial f}{\partial R} \frac{\partial R}{\partial z} \hat{z} = \frac{\partial f}{\partial R} \vec{\nabla} R \end{aligned} \quad (1)$$

Γιά  $R \neq 0$  και σύμφωνα μέ τά αποτελέσματα της προηγούμενης άσκησης ελναι :

$$\vec{\nabla} f(R) = \frac{\partial f}{\partial R} \vec{\nabla} R = \frac{\partial f}{\partial R} \frac{\vec{R}}{R} = \frac{\partial f}{\partial R} \hat{R} \quad (2)$$

$$\vec{\nabla}' f(R) = \frac{\partial f}{\partial R} \vec{\nabla}' R = -\frac{\partial f}{\partial R} \frac{\vec{R}}{R} = -\frac{\partial f}{\partial R} \hat{R} \quad (3)$$

"Ωστε :

$$\vec{\nabla} f(R) = -\vec{\nabla}' f(R) = \frac{\partial f}{\partial R} \hat{R} \quad (4)$$

Ελδικά :

$$f(R) \equiv 1/R, \quad R \neq 0$$

τότε

$$\frac{\partial f}{\partial R} = -\frac{1}{R^2} \quad (5)$$

και

$$\vec{\nabla} \left( \frac{1}{R} \right) = -\vec{\nabla}' \left( \frac{1}{R} \right) = -\frac{\hat{R}}{R^2} = -\frac{\vec{R}}{R^3} \quad (6)$$

1.11 Νά προσδιοριστοῦν οἱ προβολές τῶν μοναδιαίων διανυσμάτων τοῦ καρτεσιανοῦ συστήματος  $\hat{x}, \hat{y}, \hat{z}$  πάνω στίς συντεταγμένες καμπύλες τοῦ σφαιρικοῦ συστήματος.

Λύση

Εἶναι :

$$\hat{r} = \frac{\partial \vec{r} / \partial r}{|\partial \vec{r} / \partial r|} = \frac{\partial \vec{r}}{\partial r} = \frac{\partial x}{\partial r} \hat{x} + \frac{\partial y}{\partial r} \hat{y} + \frac{\partial z}{\partial r} \hat{z} \quad (1)$$

Ἀνάλογες σχέσεις ἰσχύουν καὶ γιὰ τὰ  $\hat{\vartheta}, \hat{\varphi}$ .

Ἀλλά

$$\left. \begin{aligned} x &= r \sin \vartheta \cos \varphi \\ y &= r \sin \vartheta \sin \varphi \\ z &= r \cos \vartheta \end{aligned} \right\} \quad (2)$$

Ὡστε :

$$\begin{aligned} \hat{r} &= \sin \vartheta \cos \varphi \hat{x} + \sin \vartheta \sin \varphi \hat{y} + \cos \vartheta \hat{z} \\ \hat{\vartheta} &= \cos \vartheta \cos \varphi \hat{x} + \cos \vartheta \sin \varphi \hat{y} - \sin \vartheta \hat{z} \\ \hat{\varphi} &= -\sin \varphi \hat{x} + \cos \varphi \hat{y} \end{aligned} \quad (3)$$

Οἱ προβολές τοῦ  $\hat{x}$  πάνω στίς καμπύλες  $r, \vartheta, \varphi$  εἶναι :

$$\hat{x} \cdot \hat{r} = \sin \vartheta \cos \varphi$$

$$\hat{x} \cdot \hat{\vartheta} = \cos \vartheta \cos \varphi$$

$$\hat{x} \cdot \hat{\varphi} = -\sin \varphi$$

Οἱ προβολές τῶν  $\hat{y}$  καὶ  $\hat{z}$  πάνω στίς καμπύλες  $r, \vartheta, \varphi$  εἶναι ἀντίστοιχα :

$$\hat{y} \cdot \hat{r} = \sin \vartheta \sin \varphi$$

$$\hat{z} \cdot \hat{r} = \cos \vartheta$$

$$\hat{y} \cdot \hat{\vartheta} = \cos \vartheta \sin \varphi$$

$$\hat{z} \cdot \hat{\vartheta} = -\sin \vartheta$$

$$\hat{y} \cdot \hat{\varphi} = \cos \varphi$$

$$\hat{z} \cdot \hat{\varphi} = 0$$

1.12 Νά υπολογίσετε τά μεγέθη  $\frac{\partial \vec{r}}{\partial u_1}, \frac{\partial \vec{r}}{\partial u_2}, \frac{\partial \vec{r}}{\partial u_3}, \vec{\nabla} u_1, \vec{\nabla} u_2$  καί  $\vec{\nabla} u_3$

α) σέ καρτεσιανές β) σέ κυλινδρικές καί γ) σέ σφαιρικές συντεταγμένες.

Λύση

Σύμφωνα μέ τό πρόβλ. 1.2 εἶναι :

$$\frac{\partial \vec{r}}{\partial u_i} = h_i \hat{u}_i \quad i = 1, 2, 3 \quad (1)$$

Εξάλλου εἶναι :

$$\vec{\nabla} u_1 = \left( \frac{1}{h_1} \frac{\partial}{\partial u_1} \cdot \hat{u}_1 + \frac{1}{h_2} \frac{\partial}{\partial u_2} \hat{u}_2 + \frac{1}{h_3} \frac{\partial}{\partial u_3} \hat{u}_3 \right) u_1 = \frac{\hat{u}_1}{h_1} \quad (2)$$

καί ανάλογα :

$$\vec{\nabla} u_2 = \frac{\hat{u}_2}{h_2} \quad (3)$$

$$\vec{\nabla} u_3 = \frac{\hat{u}_3}{h_3} \quad (4)$$

α) Καρτεσιανό  $(x, y, z)$  :  $h_1 = h_2 = h_3 = 1$

$$\frac{\partial \vec{r}}{\partial x} = \frac{\hat{x}}{1} = \hat{x} \quad , \quad \frac{\partial \vec{r}}{\partial y} = \hat{y} \quad , \quad \frac{\partial \vec{r}}{\partial z} = \hat{z}$$

$$\vec{\nabla} x = \hat{x} \quad , \quad \vec{\nabla} y = \hat{y} \quad , \quad \vec{\nabla} z = \hat{z}$$

β) Κυλινδρικό  $(\rho, \varphi, z)$  :  $h_1 = 1, h_2 = \rho, h_3 = 1$

$$\frac{\partial \vec{r}}{\partial \rho} = \hat{\rho} \quad , \quad \frac{\partial \vec{r}}{\partial \varphi} = \rho \hat{\varphi} \quad , \quad \frac{\partial \vec{r}}{\partial z} = \hat{z}$$

$$\vec{\nabla} \rho = \hat{\rho} \quad , \quad \vec{\nabla} \varphi = \frac{\hat{\varphi}}{\rho} \quad , \quad \vec{\nabla} z = \hat{z}$$

γ) Σφαιρικό  $(r, \vartheta, \varphi) : h_1 = 1, h_2 = r, h_3 = r \sin \vartheta$

$$\frac{\partial \vec{r}}{\partial r} = \hat{r}, \quad \frac{\partial \vec{r}}{\partial \vartheta} = r \hat{\vartheta}, \quad \frac{\partial \vec{r}}{\partial \varphi} = r \sin \vartheta \hat{\varphi}$$

$$\vec{\nabla} r = \hat{r}, \quad \vec{\nabla} \vartheta = \frac{\hat{\vartheta}}{r}, \quad \vec{\nabla} \varphi = \frac{\hat{\varphi}}{r \sin \vartheta}$$

1.13 "Αν  $\vec{A} = \text{σταθ.}$  νά αποδειχτε ότι :  $\vec{\nabla}(\vec{r} \cdot \vec{A}) = \vec{A}$

Λύση

Είναι :

$$\vec{r} = x \hat{x} + y \hat{y} + z \hat{z} \quad (1)$$

$$\vec{A} = A_x \hat{x} + A_y \hat{y} + A_z \hat{z} \quad (2)$$

$$\text{καί} \quad \vec{r} \cdot \vec{A} = x A_x + y A_y + z A_z \quad (3)$$

Γενικά είναι :

$$\begin{aligned} \vec{\nabla}(\vec{r} \cdot \vec{A}) &= \left( \frac{\partial}{\partial x} \hat{x} + \frac{\partial}{\partial y} \hat{y} + \frac{\partial}{\partial z} \hat{z} \right) (x A_x + y A_y + z A_z) = \\ &= \left( A_x + x \frac{\partial A_x}{\partial x} + y \frac{\partial A_y}{\partial x} + z \frac{\partial A_z}{\partial x} \right) \hat{x} + \\ &+ \left( x \frac{\partial A_x}{\partial y} + A_y + y \frac{\partial A_y}{\partial y} + z \frac{\partial A_z}{\partial y} \right) \hat{y} + \\ &+ \left( x \frac{\partial A_x}{\partial z} + y \frac{\partial A_y}{\partial z} + A_z + z \frac{\partial A_z}{\partial z} \right) \hat{z} \end{aligned}$$

Αλλά, αφού τό  $\vec{A}$  είναι σταθερό διάνυσμα όλες οι παράγωγοι των προβολών του ως προς  $x, y, z$ , είναι μηδέν .



Ωστε :  $\vec{\nabla}(\vec{r} \cdot \vec{A}) = A_x \hat{x} + A_y \hat{y} + A_z \hat{z} = \vec{A}$

1.14 Νά υπολογιστεῖ τό μέγεθος  $\vec{\nabla} \times \left( \frac{\vec{r}}{r^2} \right)$

Λύση

$$\begin{aligned} \vec{\nabla} \times \left( \frac{\vec{r}}{r^2} \right) &= \begin{vmatrix} \hat{x} & \hat{y} & \hat{z} \\ \frac{\partial}{\partial x} & \frac{\partial}{\partial y} & \frac{\partial}{\partial z} \\ \frac{x}{r^2} & \frac{y}{r^2} & \frac{z}{r^2} \end{vmatrix} = \\ &= \hat{x} \left[ \frac{\partial}{\partial y} \left( \frac{z}{r^2} \right) - \frac{\partial}{\partial z} \left( \frac{y}{r^2} \right) \right] + \\ &+ \hat{y} \left[ \frac{\partial}{\partial z} \left( \frac{x}{r^2} \right) - \frac{\partial}{\partial x} \left( \frac{z}{r^2} \right) \right] + \\ &+ \hat{z} \left[ \frac{\partial}{\partial x} \left( \frac{y}{r^2} \right) - \frac{\partial}{\partial y} \left( \frac{x}{r^2} \right) \right] = \\ &= \hat{x} \left[ -\frac{2z}{r^3} \frac{\partial r}{\partial y} + \frac{2y}{r^3} \frac{\partial r}{\partial z} \right] + \hat{y} \left[ -\frac{2x}{r^3} \frac{\partial r}{\partial z} + \frac{2z}{r^3} \frac{\partial r}{\partial x} \right] + \\ &+ \hat{z} \left[ -\frac{2y}{r^3} \frac{\partial r}{\partial x} + \frac{2x}{r^3} \frac{\partial r}{\partial y} \right] \end{aligned} \quad (1)$$

Αλλά  $r = (x^2 + y^2 + z^2)^{1/2}$  (2)

καί  $\frac{\partial r}{\partial x} = \frac{x}{r}$  ,  $\frac{\partial r}{\partial y} = \frac{y}{r}$  ,  $\frac{\partial r}{\partial z} = \frac{z}{r}$  (3)

Από τίς (1) καί (3) προκύπτει :

$$\vec{\nabla} \times \frac{\vec{r}}{r^2} = \left( -\frac{2z}{r^3} \frac{y}{r} + \frac{2y}{r^3} \frac{z}{r} \right) \hat{x} + \left( -\frac{2x}{r^3} \frac{z}{r} + \frac{2z}{r^3} \frac{x}{r} \right) \hat{y} +$$

$$+ \left( -\frac{2y}{r^3} \frac{x}{r} + \frac{2x}{r^3} \frac{y}{r} \right) \hat{z} = 0 \cdot \hat{x} + 0 \cdot \hat{y} + 0 \cdot \hat{z} = 0$$

Ωστε :

$$\vec{\nabla} \times \frac{\vec{r}}{r^2} = 0$$

1.15 "Αν  $\Phi(\vec{r})$  είναι μία συνάρτηση συνεχής και παραγωγίσιμη, να αποδειχτεί ότι :

$$\text{rot} (\Phi \text{ grad } \Phi) = 0$$

(Η απόδειξη ως γίνεται στο καρτεσιανό σύστημα)

Λύση

$$\text{rot}(\Phi \text{ grad } \Phi) = \vec{\nabla} \times (\Phi \vec{\nabla} \Phi) = \vec{\nabla} \times \left( \Phi \frac{\partial \Phi}{\partial x} \hat{x} + \Phi \frac{\partial \Phi}{\partial y} \hat{y} + \Phi \frac{\partial \Phi}{\partial z} \hat{z} \right) =$$

$$= \begin{vmatrix} \hat{x} & \hat{y} & \hat{z} \\ \frac{\partial}{\partial x} & \frac{\partial}{\partial y} & \frac{\partial}{\partial z} \\ \Phi \frac{\partial \Phi}{\partial x} & \Phi \frac{\partial \Phi}{\partial y} & \Phi \frac{\partial \Phi}{\partial z} \end{vmatrix} = \hat{x} \left( \Phi \frac{\partial^2 \Phi}{\partial y \partial z} + \frac{\partial \Phi}{\partial y} \frac{\partial \Phi}{\partial z} - \Phi \frac{\partial^2 \Phi}{\partial z \partial y} - \frac{\partial \Phi}{\partial z} \frac{\partial \Phi}{\partial y} \right) +$$

$$+ \hat{y} \left( \Phi \frac{\partial^2 \Phi}{\partial z \partial x} + \frac{\partial \Phi}{\partial z} \frac{\partial \Phi}{\partial x} - \Phi \frac{\partial^2 \Phi}{\partial x \partial z} - \frac{\partial \Phi}{\partial x} \frac{\partial \Phi}{\partial z} \right) +$$

$$+ \hat{z} \left( \Phi \frac{\partial^2 \Phi}{\partial x \partial y} + \frac{\partial \Phi}{\partial x} \frac{\partial \Phi}{\partial y} - \Phi \frac{\partial^2 \Phi}{\partial y \partial x} - \frac{\partial \Phi}{\partial y} \frac{\partial \Phi}{\partial x} \right)$$

Αλλά αφού  $\Phi$  είναι συνεχής, ισχύει :

$$\frac{\partial^2 \Phi}{\partial x \partial y} = \frac{\partial^2 \Phi}{\partial y \partial x} \quad \kappa. \tau. \lambda.$$

Άρα :

$$\vec{\nabla} \times (\Phi \vec{\nabla} \Phi) = 0$$

**1.16** Αν  $\vec{A} = \vec{A}(t)$ , όπου  $t$  μία παράμετρος, να υπολογιστεί το ολοκλήρωμα:

$$\int \vec{A} \times \frac{d^2 \vec{A}}{dt^2} dt$$

Λύση

$$\frac{d}{dt} \left( \vec{A} \times \frac{d\vec{A}}{dt} \right) = \vec{A} \times \frac{d^2 \vec{A}}{dt^2} + \frac{d\vec{A}}{dt} \times \frac{d\vec{A}}{dt} = \vec{A} \times \frac{d^2 \vec{A}}{dt^2}$$

Όστε :

$$\int \vec{A} \times \frac{d^2 \vec{A}}{dt^2} dt = \int \frac{d}{dt} \left( \vec{A} \times \frac{d\vec{A}}{dt} \right) dt = \vec{A} \times \frac{d\vec{A}}{dt}$$

**1.17** Να αποδείξετε ότι :

$$\int_V \vec{\nabla} \Phi dV = \oint_S \Phi d\vec{S} \quad (1)$$

όπου  $S$  είναι μία κλειστή επιφάνεια, που περιλαμβάνει τον όγκο  $V$  και  $\Phi = \Phi(\vec{r})$  μία φυσική συνάρτηση της θέσης.

Λύση

Σύμφωνα με το θεώρημα του Gauss είναι :

$$\int_V \vec{\nabla} \cdot \vec{A} dV = \oint_S \vec{A} \cdot d\vec{S} \quad (2)$$

Έστω ένα διάνυσμα  $\vec{B} = \text{σταθ.}$  και ότι  $\vec{A} = \phi \vec{B}$ . Τότε

$$\vec{\nabla} \cdot \vec{A} = \vec{\nabla} \cdot (\phi \vec{B}) = \vec{\nabla} \phi \cdot \vec{B} + \phi \vec{\nabla} \cdot \vec{B} = \vec{B} \cdot \vec{\nabla} \phi \quad (3)$$

Αλλά  $(\phi \vec{B}) \cdot d\vec{S} = \vec{B} \cdot (\phi d\vec{S})$  (4)

Εφαρμόζοντας τη (2), τώρα, έχουμε :

$$\int_V \vec{\nabla} \cdot \vec{A} \, dV = \int_V \vec{B} \cdot \vec{\nabla} \phi \, dV = \oint_S \vec{B} \cdot \phi d\vec{S} \quad (5)$$

ή

$$\vec{B} \cdot \left[ \int_V \vec{\nabla} \phi \, dV - \oint_S \phi d\vec{S} \right] = 0 \quad (6)$$

Αλλά το  $\vec{B}$  είναι σταθερό και αυθαίρετο. Επομένως για να ισχύει η (6) πρέπει :

$$\int_V \vec{\nabla} \phi \, dV = \oint_S \phi d\vec{S} \quad (7)$$

**1.18** Νά προσδιορίσετε δύο μοναδιαα διανύσματα , πού νά είναι κάθετα στήν εύθεια, πού ένώνει τήν άρχή τών άξόνων μέ τό σημείο  $(x_1, y_1, 0)$  καί νά βρίσκονται πάνω στό έπίπεδο  $xy$ .

$$\left( \text{'Απ.} \quad \pm \frac{y_1 \hat{x} - x_1 \hat{y}}{\sqrt{x_1^2 + y_1^2}} \right)$$

**1.19** Τό διάνυσμα, πού έχει άρχή τό σημείο  $(\rho=2, \varphi=\pi, z=0)$  καί τέλος τό σημείο  $(\rho=3, \varphi=\frac{\pi}{2}, z=1)$ , νά έκφραστε

α. στό όρθογώνιο καρτεσιανό σύστημα συντεταγμένων

β. στό κυλινδρικό σύστημα συντεταγμένων (θυμηθεΐτε ότι τά  $\hat{\rho}$  καί  $\hat{\varphi}$  έξαρτώνται από τό  $\varphi$ , αποφασίστε ποιά  $\hat{\rho}$  καί  $\hat{\varphi}$  θά χρησιμοποιήσετε καί συμβολίστε τά ανάλογα).

$$\left( \text{'Απ.} \quad \alpha) \quad 2\hat{x} + 3\hat{y} + \hat{z} \quad \beta) \quad -2\hat{\rho}(\pi) - 3\hat{\varphi}(\pi) + \hat{z} \right)$$

**1.20** Νά μετασχηματίστε τό διάνυσμα  $\vec{A} = x\hat{x} + y\hat{y}$  σέ κυλινδρικές συντεταγμένες.

$$\left( \text{'Απ.} \quad \vec{A} = \sqrt{x^2 + y^2} \hat{\rho} \quad , \text{όπου} \quad \hat{\rho} = \hat{\rho}(\arctan \frac{y}{x}) \right)$$

**1.21** Η θέση ενός ύλικοϋ σημείου σέ κυλινδρικές συντεταγμένες δύνεται σέ κάθε χρονική στιγμή  $t$  από τό διάνυσμα  $\vec{r} = \rho\hat{\rho} + z\hat{z}$  όπου  $\rho = \rho(t)$ ,  $\varphi = \varphi(t)$  καί  $z = z(t)$ .

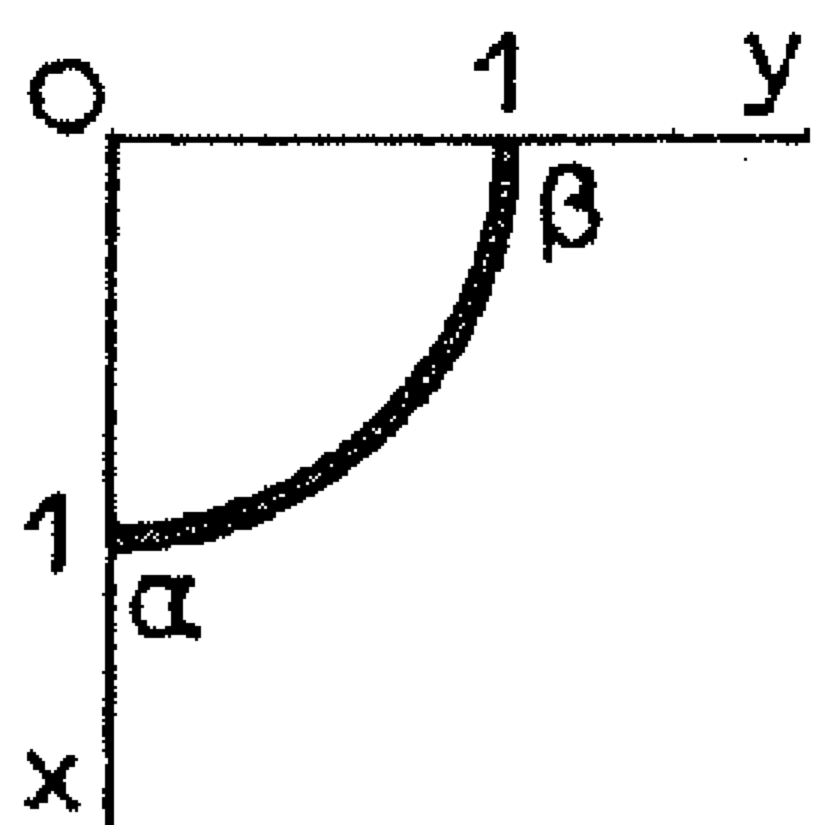
α. Νά προσδιορίσετε τήν ταχύτητα  $\vec{v}(t)$  τοϋ σημείου.

β. Νά προσδιορίσετε τήν ἐπιτάχυνση  $\vec{\gamma}(t)$  τοῦ σημείου.

( 'Απ. α)  $\vec{v} = \hat{\rho} \frac{d\rho}{dt} + \rho \hat{\phi} \frac{d\phi}{dt} + \hat{z} \frac{dz}{dt}$

β)  $\vec{\gamma} = \hat{\rho} \left[ \frac{d^2\rho}{dt^2} - \rho \left( \frac{d\phi}{dt} \right)^2 \right] + \hat{\phi} \left[ \rho \frac{d^2\phi}{dt^2} + 2 \frac{d\rho}{dt} \frac{d\phi}{dt} \right] + \hat{z} \frac{d^2z}{dt^2}$

1.22 Νά υπολογίσετε τό ολοκλήρωμα  $\int_{\alpha}^{\beta} \vec{A} \cdot d\vec{l}$  ὅπου  $\vec{A} = y\hat{x} - x\hat{y}$  μέ δρόμο ολοκλήρωσης τό τεταρτοκύκλιο πού δείχνει τό σχῆμα .



( 'Απ.  $-\frac{\pi}{2}$  )

1.23 Νά υπολογίσετε τό ολοκλήρωμα  $\int_{\alpha}^{\beta} \hat{\rho} d\phi$  μέ δρόμο ολοκλήρωσης τό τεταρτοκύκλιο  $\widehat{\alpha\beta}$  τοῦ προηγούμενου προβλήματος.

( 'Απ.  $\hat{x} + \hat{y}$  )

1.24 Νά υπολογίσετε τό ἐπικαμπύλιο ολοκλήρωμα :

$$\vec{Q} = \int_{\alpha}^{\beta} (\cos \phi \hat{\rho} + \sin \phi \hat{\phi}) d\phi$$

μέ δρόμο ολοκλήρωσης τόν ἴδιο μέ τῶν δύο προηγούμενων προβλημάτων.

( 'Απ.  $\vec{Q} = \hat{y}$  )

1.25 Νά ἀποδείξετε ὅτι  $\oint_S \cos \vartheta \hat{r} \cdot d\vec{S} = 0$  ἄν  $S$  εἶναι ὁποιαδήποτε σφαῖρα μέ κέντρο τήν ἀρχή τῶν ἀξόνων.

1.26 Νά υπολογιστεῖ τό ολοκλήρωμα  $\vec{Q} = \int_V \hat{r} \sin\varphi dV$  ὅπου  $V$  ὁ ὄγκος μιᾶς σφαίρας μέ κέντρο τήν ἀρχή τῶν ἀξόνων καί μοναδιαία ἀκτίνα.

$$(\text{'Απ. } \vec{Q} = \frac{\pi}{6} \hat{y})$$

1.27 Νά προσδιορίσετε τό ολοκλήρωμα  $I = \oint_S x \hat{x} \cdot d\vec{S}$  ὅπου  $S$  ἡ ἐπιφάνεια ἑνός κύβου μέ μοναδιαία ἀκμή, μέ τή μιᾶ του κορυφή στήν ἀρχή τῶν ἀξόνων καί τίς τρεῖς ἀκμές, πού συγκλίνουν στήν κορυφή αὐτή, πάνω στούς θετικούς καρτεσιανούς ἡμιάξονες.

$$(\text{'Απ. } I = 1)$$

1.28 Ἐστω ὁ κύκλος

$$x^2 + y^2 = 4, \quad z = 0.$$

Νά υπολογίσετε τό ἐπικαμπύλιο ολοκλήρωμα  $Q = \oint_C \vec{A} \cdot d\vec{l}$  ὅπου  $\vec{A}$  εἶναι τό διανυσματικό πεδίο

$$\vec{A} = 2y\hat{x} + 3yz\hat{y} + y\hat{z}$$

καί  $C$  ἡ περιφέρεια τοῦ προαναφερμένου κύκλου διαγραφόμενη κατὰ τή θετική φορά τῆς γωνίας  $\varphi$ . Ὅπως θά προκύψει, ἡ ἀπόδειξη δύναται εὐκολότερα στό κυλινδρικό σύστημα.

$$(\text{'Απ. } Q = - \int_0^{2\pi} 8 \sin^2 \varphi d\varphi = -8\pi)$$

1.29 Νά προσδιορίσετε τό μέγιστο ρυθμό μεταβολῆς τοῦ μονόμε-  
τρου πεδίου  $\Phi = x^2 + y^2$  σέ κάθε σημείο  $(x, y, z)$ , καθώς καί τή διεύθυνση  $\hat{n}$  τοῦ μέγιστου αὐτοῦ ρυθμοῦ στό σημείο  $(1, 2, 0)$ .

$$(\text{'Απ. } |\vec{\nabla}\Phi| = \sqrt{4x^2 + 4y^2}, \quad \hat{n} = 0,45\hat{x} + 0,89\hat{y})$$



1.30 Νά εξετάσετε αν τό διανυσματικό πεδίο  $\vec{A} = 3xy^2\hat{x} + 5z\hat{y} + xz\hat{z}$  έχει πηγή ή καταβόθρα στό σημείο  $(1,3,2)$ .

( 'Απ. 'Αφοῦ  $\vec{\nabla} \cdot \vec{A} = 10 > 0$  στό σημείο αυτό υπάρχει πηγή τοῦ  $\vec{A}$  ).

1.31 Τό διάνυσμα θέσης τοῦ σημείου  $(x,y,z)$  εἶναι ὅπως ξέρουμε  $\vec{r} = x\hat{x} + y\hat{y} + z\hat{z}$ , προσδιορίστε τήν απόκλιση  $\vec{\nabla} \cdot \vec{r}$  καί δεῦξτε ὅτι

$$\oint_S \vec{r} \cdot d\vec{S} = 3V$$

ὅπου  $V$  ὁ ὄγκος πού περιορίζει μιά αὐθαίρετη κλειστή ἐπιφάνεια  $S$

( 'Απ.  $\vec{\nabla} \cdot \vec{r} = 3$  )

1.32 "Ας θεωρήσουμε ἓνα διανυσματικό πεδίο  $\vec{A}$  πού σέ κυλινδρικό σύστημα συντεταγμένων ἐκφράζεται  $\vec{A} = \rho\hat{\phi}$ . Στή θέση  $\rho = 0$  νά προσδιορίσετε τόν  $\text{rot}\vec{A}$  θεωρώντας τον ὡς τή μέγιστη κυκλοφορία τοῦ  $\vec{A}$  ἀνά μονάδα ἐπιφάνειας μέ ὑπολογισμό τοῦ  $\int_C \vec{A} \cdot d\vec{l}$  πάνω σέ μιά περιφέρεια μέ ἀκτίνα  $\alpha$ , στό ἐπίπεδο  $\rho\phi$ , καί παίρνοντας τό ὄριο γιά  $\alpha \rightarrow 0$ .

Ἐπαληθεύσετε τό ἀποτέλεσμα ὑπολογίζοντας τόν  $\text{rot}\vec{A}$  μέ τή βοήθεια τῆς γνωστῆς ὀρίζουσας.

( 'Απ.  $\text{rot}\vec{A} = 2\hat{z}$  )

1.33 "Αν  $\vec{A} = A_0\hat{x}\sin\omega t$  καί  $\vec{B} = B_0\hat{x}\sin(\omega t + \varphi)$ , νά προσδιορίσετε τή χρονική μέση τιμή  $\langle \vec{A} \cdot \vec{B} \rangle$ .

( 'Απ.  $\langle \vec{A} \cdot \vec{B} \rangle = \frac{1}{2} A_0 B_0 \cos\varphi$  )

## ΚΕΦΑΛΑΙΟ 2

**2.1** Τό βήτατρο είναι επιταχυντής ηλεκτρονίων, πού εκμεταλλεύεται τό ηλεκτρικό πεδίο, πού επάγεται από τή χρονική μεταβολή ενός μαγνητικού πεδίου στό χώρο. "Αν υποτεθεῖ ὅτι ἡ τροχιά τῶν επιταχυνόμενων ηλεκτρονίων είναι περίπου κυκλική καί ὀριζόντια καί ἔχει ἀκτίνα  $r$  καί ὅτι τό μαγνητικό πεδίο ἔχει τή μορφή:

$$\vec{B} = C t \hat{z}$$

ὅπου  $C = \text{σταθ.}$ , νά προσδιοριστοῦν :

- τό ηλεκτρικό πεδίο, πού ἀντιμετωπίζουν τά ηλεκτρόνια
- ἡ διαφορά δυναμικοῦ  $\Delta V$ , πού επάγεται σέ κάθε διαγραφή τῆς τροχιάς τοῦ ηλεκτρονίου καί
- ἡ ἀντίστοιχη αὔξηση  $\Delta U$  τῆς ἐνέργειας τοῦ ηλεκτρονίου.

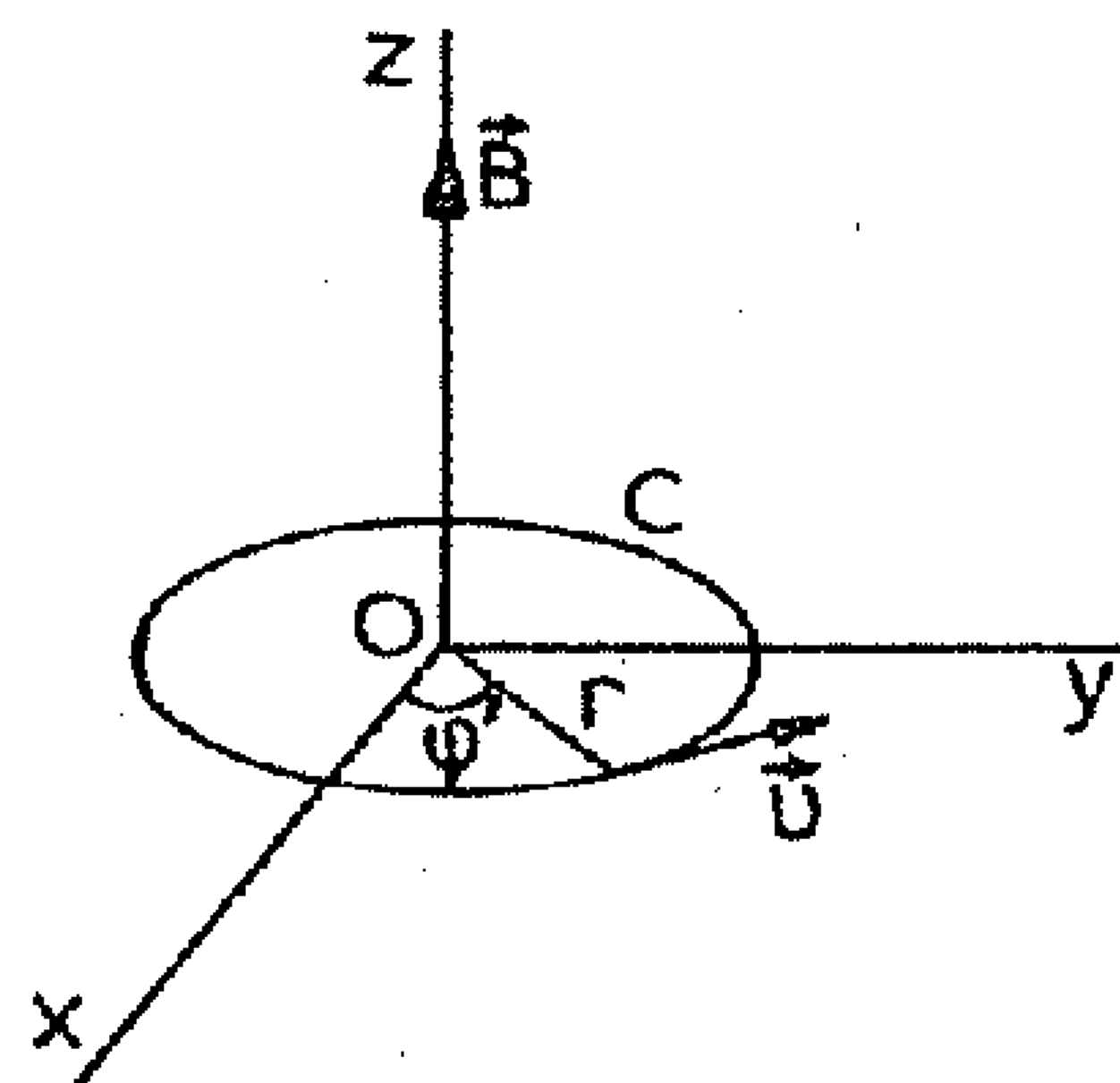
Ἐφαρμογή :  $C = 10^3 \text{ Weber m}^2 \text{sec}^{-1}$ ,  $r = 0,01 \text{ m}$

Λύση

- Ἀπό τήν δεύτερη ἐξίσωση τοῦ Maxwell σέ ολοκληρωτική μορφή ἔχουμε :

$$\oint_C \vec{E} \cdot d\vec{l} = - \int_S \frac{\partial \vec{B}}{\partial t} \cdot d\vec{S} \quad (1)$$

$$\text{Ἀλλά} \quad \frac{\partial \vec{B}}{\partial t} = C \hat{z} \quad \text{καί} \quad d\vec{S} = \hat{z} dS \quad (2)$$



Ωστε  $\oint_C \vec{E} \cdot d\vec{l} = \int_0^{2\pi} r E_\varphi d\varphi = E_\varphi 2\pi r = -C\pi r^2$  (3)

ή  $E_\varphi = -\frac{r}{2} C$  (4)

β. Είναί :

$$V_2 - V_1 = \Delta V = \int_2^1 \vec{E} \cdot d\vec{l} = - \int_1^2 \vec{E} \cdot d\vec{l} = \int_0^{2\pi} r E_\varphi d\varphi = -E_\varphi \cdot 2\pi r$$
 (5)

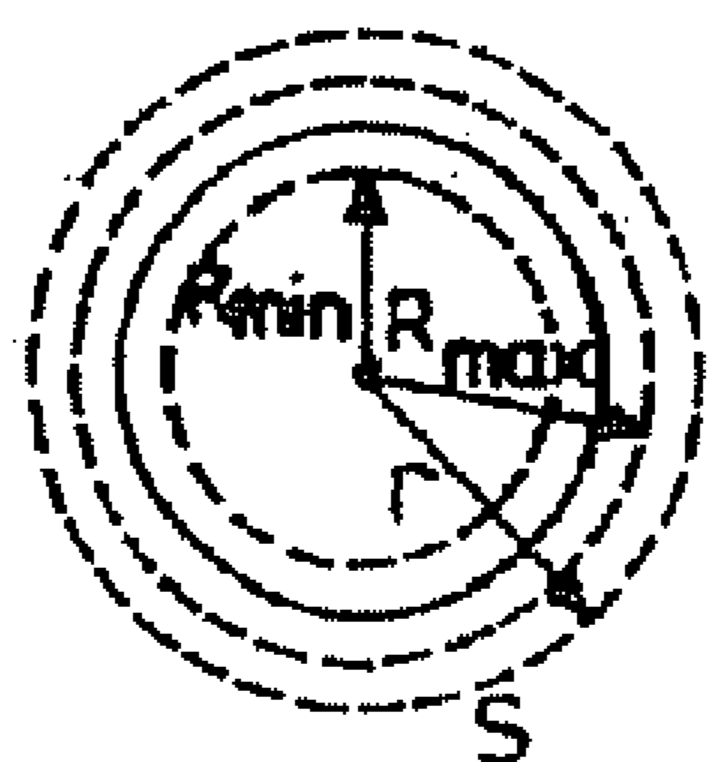
ή  $\Delta V = C\pi r^2$  (6)

γ.  $\Delta U = e \Delta V = C e \pi r^2$  (7)

Εφαρμογή :  $E_\varphi = -5 \frac{V}{m}$ ,  $\Delta V = 0,314 V/\text{τροχιά}$ ,  $\Delta U = 0,314 eV/\text{τροχιά}$

**2.2** Ένα αγωγικό σφαιρικό μπαλόνι είναι φορτισμένο με σταθερό φορτίο  $Q$ . Η ακτίνα του μπαλονιού αυξομειώνεται ήμειονικά από μια ελάχιστη τιμή  $R_{\min}$  ως μια μέγιστη  $R_{\max}$ . Θα μπορούσε κανένας να υποθέσει ότι με τόν τρόπο αυτό θα παράγεται ένα σφαιρικά συμμετρικό ηλεκτρομαγνητικό κύμα, που θα διαδίδεται ακτινικά. Να αποδείξετε ότι δεν συμβαίνει κάτι τέτοιο υπολογίζοντας το ηλεκτρικό πεδίο  $E$  σε κάποια απόσταση  $r$  πέρα από την  $R_{\max}$  ( $r > R_{\max}$ ).

Λύση



Λόγω της σφαιρικής συμμετρίας το ηλεκτρικό πεδίο στη θέση  $\vec{r}$  έχει μόνο ακτινική συνιστώσα :

$$\vec{E} = E_r \hat{r} \quad (1)$$

Από την τρίτη εξίσωση του Maxwell έχουμε :

$$\oint_S \vec{D} \cdot d\vec{S} = \int_V \rho dV \quad (2)$$

Εφαρμόζοντάς την για την επιφάνεια  $S = 4\pi r^2$  και τον όγκο  $V$  που αυτή περικλείει, και λαβαίνοντας υπόψη ότι :

$$d\vec{S} = \hat{r} dS \quad (3)$$

βρίσκουμε :

$$\epsilon \oint_S \vec{E} \cdot d\vec{S} = Q \quad \text{ή}$$

$$\epsilon \oint_S E_r \hat{r} \cdot \hat{r} dS = Q \quad \text{ή}$$

$$\epsilon E_r \cdot 4\pi r^2 = Q \quad \text{όποτε} \quad E_r = \frac{Q}{4\pi \epsilon r^2} \quad (4)$$

$$\text{Δηλαδή :} \quad \vec{E} = \frac{Q}{4\pi \epsilon r^2} \hat{r} \quad (5)$$

Από την (5) φαίνεται ότι η ένταση  $\vec{E}$  του πεδίου στο τυχαίο  $r$  ( $r > R_{\max}$ ) δεν εξαρτάται παρά μόνο από το σταθερό φορτίο  $Q$  του μπαλονιού, είναι χρονικά ανεξάρτητη, και προφανώς δεν αντιστοιχεί σε κύμα.

**2.3** Έστω ότι σε έναν περιορισμένο κενό χώρο ( $\epsilon_0, \mu_0$ ) υπάρχει ένα ηλεκτροστατικό πεδίο;

$$\vec{E} = E_0 (\sin x \cdot \hat{x} + \cos x \cdot \hat{y}) e^{-y} \quad (1)$$

Νά υπολογίσετε την πυκνότητα φορτίου στα διάφορα σημεία  $\vec{r}$  του χώρου αυτού.

Λύση

Από την 3<sup>η</sup> εξίσωση του Maxwell έχουμε :

$$\vec{\nabla} \cdot \vec{D} = \epsilon_0 \vec{\nabla} \cdot \vec{E} = \rho \quad (2)$$

Ωστε για οποιαδήποτε θέση  $\vec{r}(x, y, z)$  του χώρου που μελετάμε είναι

$$\rho(\vec{r}) = \epsilon_0 \vec{\nabla} \cdot \vec{E} \quad (3)$$

Επειδή όμως

$$\vec{E} = E_x \hat{x} + E_y \hat{y} + E_z \hat{z} \quad (4)$$

όπου:  $E_x = E_0 \sin x e^{-y}$ ,  $E_y = E_0 \cos x e^{-y}$ ,  $E_z = 0$

είναι  $\vec{\nabla} \cdot \vec{E} = \frac{\partial E_x}{\partial x} + \frac{\partial E_y}{\partial y} + \frac{\partial E_z}{\partial z} = E_0 \cos x e^{-y} + (-E_0 \cos x e^{-y}) = 0$

Δηλαδή:  $\rho(\vec{r}) = \epsilon_0 \vec{\nabla} \cdot \vec{E} = 0$

Δηλαδή ο χώρος αυτός δεν πρέπει να περιέχει φορτία.

**2.4** Ένας μακρύς κυλινδρικός άγωγός με ακτίνα  $a$  και ειδική αγωγιμότητα  $\sigma = \infty$  μεταφέρει ηλεκτρικό ρεύμα  $I = I_0 \sin \omega t$ .

Νά προσδιορίσετε σαν συνάρτηση της ακτίνας  $r$  ( $r < a$ ,  $r > a$ )

α. την πυκνότητα ρεύματος άγωγής  $J(r)$

β. την πυκνότητα ρεύματος μετατόπισης  $J_d(r)$  και

γ. την ένταση του μαγνητικού πεδίου  $B(r)$ .

(Απ.  $J = (I_0/\pi a^2) \sin \omega t$  για  $0 \leq r \leq a$  και  $J = 0$  για  $r > a$

α.  $J_d = 0$  για όλα τα  $r$

β.  $B = I/2\pi\mu_0^{-1}r$  για  $r \geq a$

γ.  $B = Ir/2\pi\mu_0^{-1}a^2$  για  $0 < r \leq a$  )

2.5 Σ' έναν επίπεδο πυκνωτή μέ κυκλικούς όπλισμούς , πού έχουν ακτίνα  $a$  καί απόσταση  $d$  μεταξύ τους, εφαρμόζεται ή τάση  $V = V_0 \sin \omega t$ . Τό διηλεκτρικό του πυκνωτη είναι τό κενό. Νά προσδιοριστεί σάν συνάρτηση τής ακτίνας  $r$  ( $r < a$ )

α. ή πυκνότητα ρεύματος μετατόπισης  $J_d(r)$  καί

β. ή μαγνητική δέγερση  $H(r)$ . Υποθέστε ότι  $d \ll a$ .

( 'Απ. α.  $J_d = (\epsilon_0 \omega V_0 / d) \cos \omega t$

β.  $H_\phi = r (\epsilon_0 \omega V_0 / 2d) \cos \omega t$  )

2.6 Μέσα σ' έναν άγώγιμο κύλινδρο διαδίδεται μία κυλινδρική ήλεκτρονική δέσμη, πού αποτελείται από σταθερή πυκνότητα φορτίου κινούμενη μέ σταθερή άξονική ταχύτητα  $v_0 = 10^7$  m/sec. "Αν ή ακτίνα τής δέσμης είναι  $a = 1$  mm καί τό όλικό ρεύμα  $I_0 = 10$  mA, νά υπολογίσετε τό ήλεκτρικό πεδίο  $\vec{E}$  μέσα κι έξω από τήν ήλεκτρονική δέσμη. Άλλάζει τό  $\vec{E}$  αν αλλάξει ή διάμετρος του άγώγιμου κυλίνδρου ;

( 'Απ.  $E_r = -18 \cdot 10^6 r$  για  $r \leq a$

$E_r = -\frac{18}{r}$  για  $r > a$

Τό  $\vec{E}$  δέν εξαρτάται από τή διάμετρο του κυλίνδρου)

2.7 "Εστω μία σφαιρική κατανομή φορτίου στόν έλεύθερο χώρο πού χαρακτηρίζεται από τήν πυκνότητα φορτίου

$$\rho = \begin{cases} \rho_0 \left(1 - \frac{r^2}{a^2}\right) & , \quad r \leq a \\ 0 & , \quad r > a \end{cases}$$

όπου  $a$  ή ακτίνα τής σφαίρας καί  $\rho_0$  σταθερά. Νά προσδιορίσετε τήν ένταση του ήλεκτρικού πεδίου για όλες τίς τιμές του  $r$ .

$$(\text{'A}\pi. \quad E_r = \frac{\rho_0}{\epsilon_0} \left( \frac{r}{3} - \frac{r^3}{5a^2} \right) \quad \text{γλá} \quad r \leq a$$

$$E_r = \frac{\rho_0}{\epsilon_0} \frac{2}{15} \frac{a^3}{r^2} \quad \text{γλá} \quad r > a \quad )$$



## ΚΕΦΑΛΑΙΟ 3

3.1 Νά αποδείξετε ότι τά πεδία  $\vec{E}$  και  $\vec{B}$  παραμένουν τά ίδια αν αντὶ τῶν δυναμικῶν  $\vec{A}$  και  $\Phi$  χρησιμοποιήσουμε τά δυναμικά  $\vec{A}' = \vec{A} - \vec{\nabla}\Lambda$  και  $\Phi' = \Phi + \frac{\partial\Lambda}{\partial t}$ , ὅπου  $\Lambda = \Lambda(\vec{r}, t)$  ἓνα αὐθαίρετο, ἀρχικά, μονόμετρο πεδίο. Ποιά μορφή παίρνει τότε ἡ συνθήκη τοῦ Lorentz και τί συνεπάγεται γιὰ τό πεδίο  $\Lambda$ ;

Λύση

Ἰσχύουν οἱ σχέσεις :

$$\vec{B} = \vec{\nabla} \times \vec{A} \quad (1)$$

$$\vec{E} = -\vec{\nabla} \Phi - \frac{\partial \vec{A}}{\partial t} \quad (2)$$

και ἡ συνθήκη τοῦ Lorentz :

$$\vec{\nabla} \cdot \vec{A} + \epsilon \mu \frac{\partial \Phi}{\partial t} + \sigma \mu \Phi = 0 \quad (3)$$

Θεωρώντας τά νέα δυναμικά ἔχουμε :

$$\vec{B}' = \vec{\nabla} \times \vec{A}' = \vec{\nabla} \times \vec{A} - \vec{\nabla} \times \vec{\nabla} \Lambda = \vec{\nabla} \times \vec{A} - 0 = \vec{\nabla} \times \vec{A} = \vec{B} \quad (4)$$

$$\begin{aligned} \vec{E}' &= -\vec{\nabla} \Phi' - \frac{\partial \vec{A}'}{\partial t} = -\vec{\nabla} \Phi - \vec{\nabla} \frac{\partial \Lambda}{\partial t} - \frac{\partial \vec{A}}{\partial t} - \frac{\partial}{\partial t} \vec{\nabla} \Lambda = \\ &= -\vec{\nabla} \Phi - \frac{\partial \vec{A}}{\partial t} + \frac{\partial \vec{\nabla} \Lambda}{\partial t} - \frac{\partial \vec{\nabla} \Lambda}{\partial t} = -\vec{\nabla} \Phi - \frac{\partial \vec{A}}{\partial t} = \vec{E} \end{aligned} \quad (5)$$

Ὡστε :

$$\left. \begin{aligned} \vec{B}' &= \vec{B} \\ \vec{E}' &= \vec{E} \end{aligned} \right\} \quad (6)$$

Η νέα μορφή της συνθήκης του Lorentz θα είναι :

$$\vec{\nabla} \cdot \vec{A}' + \epsilon \mu \frac{\partial \Phi'}{\partial t} + \sigma \mu \Phi' = 0 \quad (7)$$

$$\text{ή} \quad \vec{\nabla} \cdot (\vec{A} - \vec{\nabla} \Lambda) + \epsilon \mu \frac{\partial}{\partial t} \left( \Phi + \frac{\partial \Lambda}{\partial t} \right) + \sigma \mu \left( \Phi + \frac{\partial \Lambda}{\partial t} \right) = 0 \quad (8)$$

$$\text{ή} \quad (\vec{\nabla} \cdot \vec{A} + \epsilon \mu \frac{\partial \Phi}{\partial t} + \sigma \mu \Phi) - \nabla^2 \Lambda + \epsilon \mu \frac{\partial^2 \Lambda}{\partial t^2} + \sigma \mu \frac{\partial \Lambda}{\partial t} = 0 \quad (9)$$

Καί χρησιμοποιώντας καί τήν (3) έχουμε:

$$\nabla^2 \Lambda - \epsilon \mu \frac{\partial^2 \Lambda}{\partial t^2} - \sigma \mu \frac{\partial \Lambda}{\partial t} = 0 \quad (10)$$

Ωστε, τό αρχικά αὐθαίρετο  $\Lambda$  πρέπει νά ικανοποιεῖ τήν (10) πού εἶναι ὁμογενής διαφορική ἐξίσωση κύματος. Τό  $\Lambda$  ἀναφέρεται συνήθως σάν συμβιβαστικό μέτρο τοῦ Lorentz (Lorentz gauge) καί ὁ μετασχηματισμός σάν μετασχηματισμός μέτρου (gauge Transformation).

**3.2** Νά ἀποδείξετε ὅτι τό στατικό διανυσματικό δυναμικό πού δίνεται ἀπό τή σχέση :

$$\vec{A}(\vec{r}) = \int_V \frac{\vec{J}(\vec{r}')}{4\pi\mu^{-1}R} dV' \quad (1)$$

ὅπου  $R = |\vec{r} - \vec{r}'|$  ἔχει μηδενική ἀπόκλιση, εἶναι δηλ. σωληνοειδές πεδίο. Στή συνέχεια νά διερευνήσετε ἂν τό γεγονός αὐτό συμβιβάζεται μέ τή συνθήκη τοῦ Lorentz στίς ἀκόλουθες περιπτώσεις:

α. στήν περίπτωση μέσου χωρίς ἀπώλειες ( $\sigma = 0$ )

β. στήν περίπτωση, πού τά ρεύματα πηγῶν  $\vec{J}(\vec{r}')$  εἶναι ρεύματα ἀγωγῆς, καί ὁ ὑπόλοιπος χώρος ἠλεκτρικά οὐδέτερος.

Υ. στην περίπτωση, που  $\sigma \neq 0$  και  $\Phi(\vec{r}) \neq 0$

Λύση

Θέλουμε ν' αποδείξουμε ότι:

$$\vec{\nabla} \cdot \vec{A} = 0 \quad (2)$$

έπειδή 
$$\vec{\nabla} = \frac{\partial}{\partial x} \hat{x} + \frac{\partial}{\partial y} \hat{y} + \frac{\partial}{\partial z} \hat{z} \quad (3)$$

από την (1) έχουμε

$$\vec{\nabla} \cdot \vec{A} = \frac{1}{4\pi\mu^{-1}} \int_V \vec{\nabla} \cdot \left[ \frac{\vec{J}(\vec{r}')}{R} \right] dV' \quad (4)$$

Για κάθε διανυσματικό πεδίο  $\vec{C}$  και κάθε μονόμετρο πεδίο  $u$  ισχύει η ταυτότητα :

$$\vec{\nabla} \cdot (u\vec{C}) = \vec{\nabla} u \cdot \vec{C} + u \vec{\nabla} \cdot \vec{C} \quad (5)$$

όποτε

$$\vec{\nabla} \cdot \left[ \frac{\vec{J}(\vec{r}')}{R} \right] = \vec{\nabla} \left( \frac{1}{R} \right) \cdot \vec{J}(\vec{r}') + \frac{1}{R} \vec{\nabla} \cdot \vec{J}(\vec{r}') \quad (6)$$

Αλλά είναι:

$$\vec{\nabla} \cdot \vec{J}(\vec{r}') = 0 \quad (7)$$

γιατί το  $\vec{J}(\vec{r}')$  δεν εξαρτάται από το  $\vec{r}$ . Δηλαδή :

$$\vec{\nabla} \cdot \left[ \frac{\vec{J}(\vec{r}')}{R} \right] = \vec{\nabla} \left( \frac{1}{R} \right) \cdot \vec{J}(\vec{r}') \quad (8)$$

Αλλά ισχύει

$$\vec{\nabla} \left( \frac{1}{R} \right) = -\vec{\nabla}' \left( \frac{1}{R} \right) \quad (9)$$

(βλ. προβλ. 1.10 σχέση (6) )

Από τις (4) , (8) και (9) έχουμε :

$$\vec{\nabla} \cdot \vec{A} = -\frac{1}{4\pi\mu^{-1}} \int_V \vec{J}(\vec{r}') \cdot \vec{\nabla}' \left( \frac{1}{R} \right) dV' \quad (10)$$

Σύμφωνα μέ την (5) είναι :

$$\vec{\nabla}' \left( \frac{1}{R} \vec{J}(\vec{r}') \right) = \vec{\nabla}' \left( \frac{1}{R} \right) \cdot \vec{J}(\vec{r}') + \frac{1}{R} \vec{\nabla}' \cdot \vec{J}(\vec{r}') \quad (11)$$

Επειδή όμως η κατανομή των ρευμάτων  $\vec{J}(\vec{r}')$  είναι χρονικά αμετάβλητη, θα πρέπει για κάθε όγκο  $V'$  που περικλείει τό σημείο πηγής  $\vec{r}'$ , τό συνολικό εισερχόμενο ρεύμα νά είναι ἴσο μέ τό ἐξερχόμενο. Αν δηλ.  $S'$  ή ἐπιφάνεια, πού περιορίζει τόν όγκο  $V'$  ἔχουμε :

$$\oint_{S'} \vec{J}(\vec{r}') \cdot \hat{n} dS' = \int_{V'} \vec{\nabla}' \cdot \vec{J}(\vec{r}') dV' = 0 \quad (12)$$

Επειδή ό όγκος  $V'$  είναι αὐθαίρετος, για νά ισχύει ή (12)πρέπει:

$$\vec{\nabla}' \cdot \vec{J}(\vec{r}') = 0 \quad (13)$$

Από τίς (11) καί (13) ἔχουμε:

$$\vec{\nabla}' \cdot \left( \frac{1}{R} \vec{J}(\vec{r}') \right) = \vec{\nabla}' \left( \frac{1}{R} \right) \cdot \vec{J}(\vec{r}') \quad (14)$$

Από τίς (10) καί (14) ἔχουμε :

$$\vec{\nabla} \cdot \vec{A} = - \frac{1}{4\pi\mu^{-1}} \int_V \vec{\nabla}' \cdot \left( \frac{\vec{J}(\vec{r}')}{R} \right) dV' = - \frac{1}{4\pi\mu^{-1}} \oint_S \frac{\vec{J}(\vec{r}')}{R} \hat{n} dS' \quad (15)$$

όπου  $V$  είναι όλος ό χώρος, πού περιέχει πηγές. Τόν όγκο αυτό μπορούμε νά τόν πάρουμε τόσο μεγάλο, ὥστε νά περιλαμβάνει όλες τίς πηγές καί πάνω στήν ἐπιφάνεια  $S$  νά είναι  $\vec{J} = 0$ .

Τότε θά είναι :

$$\oint_S \frac{\vec{J}(\vec{r}')}{R} \hat{n} dS' = 0 \quad (16)$$

Ωστε :

$$\vec{\nabla} \cdot \vec{A} = 0 \quad (17)$$

Η συνθήκη τοῦ Lorentz είναι :

$$\vec{\nabla} \cdot \vec{A} + \epsilon \mu \frac{\partial \Phi}{\partial t} + \mu \sigma \Phi = 0 \quad (18)$$

πού για τή στατική περίπτωση γίνεται :

$$\vec{\nabla} \cdot \vec{A} + \mu \sigma \Phi = 0 \quad (19)$$

α. Σε μέσο χωρίς απώλειες, όπου  $\sigma = 0$  ή συνθήκη (19) δίνει:

$$\vec{\nabla} \cdot \vec{A} = 0 \quad (20)$$

Δηλαδή τό αποτέλεσμα (17) συμβιβάζεται, για τήν περίπτωση τέτοιου υλικού, με τή συνθήκη του Lorentz.

β. Στην περίπτωση αυτή είναι :

$$\Phi(\vec{r}) = 0 \quad (21)$$

καί ή (19) δίνει :

$$\vec{\nabla} \cdot \vec{A} = 0 \quad (22)$$

Δηλαδή καί πάλι τό αποτέλεσμα συμβιβάζεται με τή συνθήκη του Lorentz.

γ. Στην περίπτωση αυτή ή (19) δίνει :

$$\vec{\nabla} \cdot \vec{A} = -\mu \sigma \Phi \quad (23)$$

Δηλαδή στην περίπτωση αυτή ή (17) δέν συμβιβάζεται με τή συνθήκη του Lorentz. "Ας ζητήσουμε πώς πρέπει νά τροποποιηθεῖ ή (1) ὥστε ή περίπτωση γ νά συμβιβάζεται με τή συνθήκη του Lorentz :

Χρησιμοποιώντας τό μετασχηματισμό μέτρου του Lorentz

$$\vec{A}' = \vec{A} - \vec{\nabla} \Lambda \quad (24)$$

καί απαιτώντας νά ισχύει ή (23) ἔχουμε ὅτι τό συμβιβαστικό μέτρο  $\Lambda(\vec{r})$  (Lorentz gauge) του Lorentz, πρέπει νά ικανοποιεῖ τήν ἐξίσωση .

$$\nabla^2 \Lambda = \mu \sigma \Phi \quad (25)$$

"Ωστε στην περίπτωση αυτή ή (1) ισχύει τροποποιημένη:

$$\vec{A}' = \int_V \frac{\vec{J}(\vec{r}')}{4\pi R \mu^{-1}} dV' - \vec{\nabla} \Lambda \quad (26)$$

όπου η  $\Lambda$  προκύπτει από την (25) και ισχύει

$$\vec{\nabla} \cdot \vec{A}' = -\mu \sigma \Phi \quad (27)$$

όπως προβλέπει η συνθήκη του Lorentz.

**3.3** Έστω ένα ηλεκτρικό δίπολο, που έχει σταθερή ηλεκτρική ροπή  $\vec{p}$ . Νά προσδιοριστούν :

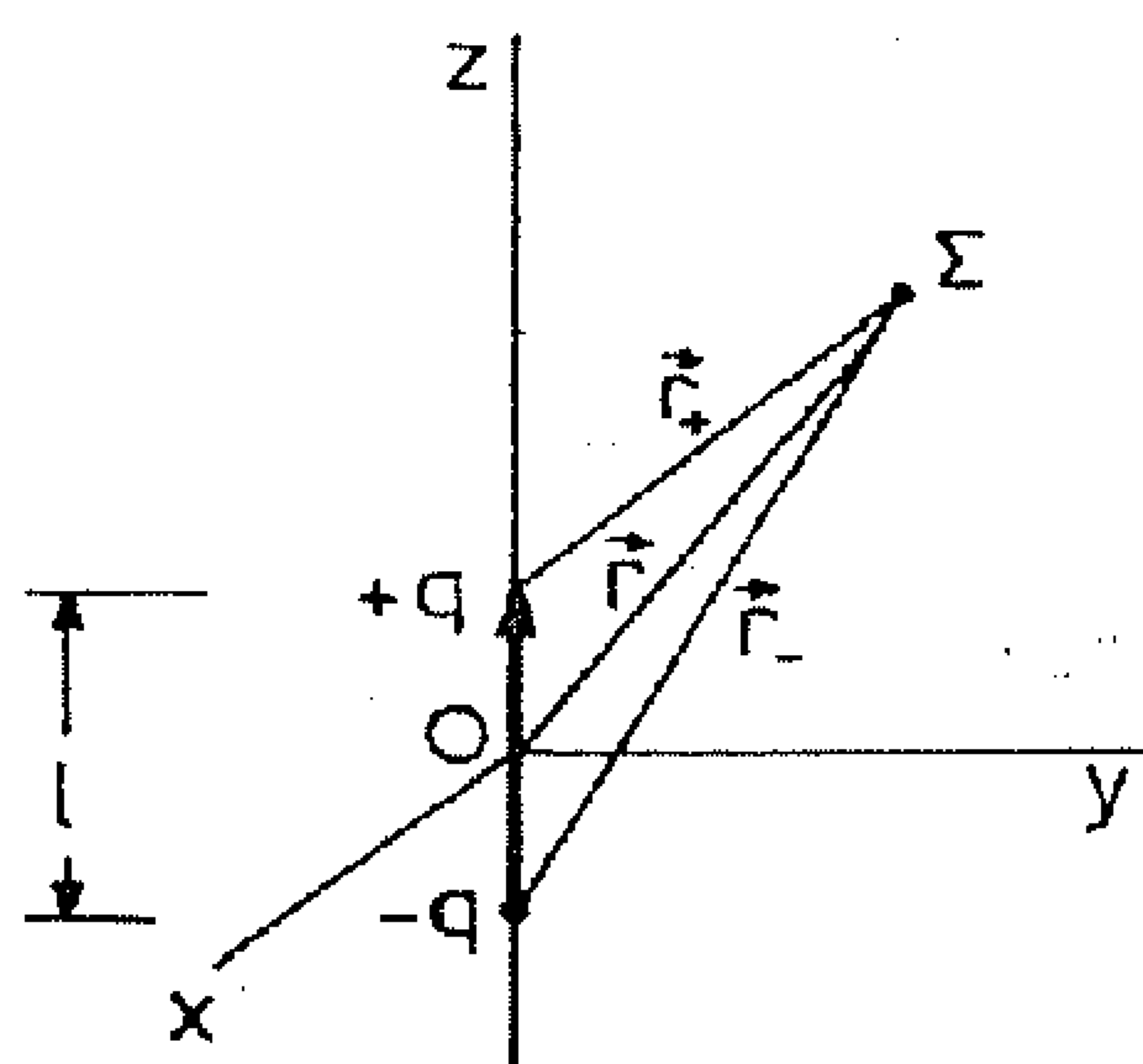
α. Τό δυναμικό  $\Phi(\vec{r})$  σε κάποια θέση  $\vec{r}$ , μακρινή σε σχέση με τις διαστάσεις του διπόλου (πάρτε ως αρχή των αξόνων τό κέντρο του διπόλου και ως κατεύθυνση του διπόλου την  $\hat{z}$ ).

β. Η ένταση του ηλεκτρικού πεδίου  $\vec{E}(\vec{r})$  και η ηλεκτρική διέγερση  $\vec{D}(\vec{r})$  (ή δηλ. σταθερά του μέσου είναι  $\epsilon$ )

γ. Η εξίσωση και η μορφή των ηλεκτρικών δυναμικών γραμμών και

δ. Η εξίσωση και η μορφή των ισοδυναμικών επιφανειών.

Λύση



Σχ. 1

α. Τό δυναμικό στη θέση  $\vec{r}$  είναι τό άθροισμα των δυναμικών, που δημιουργεί χωριστά καθένα από τά δύο φορτία  $(+q, -q)$  του διπόλου :

$$\Phi(\vec{r}) = \Phi_+(\vec{r}) + \Phi_-(\vec{r}) \quad (1)$$

ή

$$\Phi(\vec{r}) = \frac{q}{4\pi\epsilon} \left( \frac{1}{r_+} - \frac{1}{r_-} \right) \quad (2)$$

Άληθεύουν οι σχέσεις :

$$r^2 = x^2 + y^2 + z^2 \quad (3)$$

$$r_+^2 = x^2 + y^2 + \left( z - \frac{l}{2} \right)^2 \quad (4)$$

$$r_-^2 = x^2 + y^2 + \left( z + \frac{l}{2} \right)^2 \quad (5)$$

Υποθέτουμε ότι

$$l \ll r$$

(6)

έχουμε :

$$r_+^2 = r^2 - zl + \frac{l^2}{4} \simeq r^2 - zl = r^2 \left(1 - \frac{zl}{r^2}\right) \quad (7)$$

$$r_-^2 = r^2 + zl + \frac{l^2}{4} \simeq r^2 + zl = r^2 \left(1 + \frac{zl}{r^2}\right) \quad (8)$$

Ωστε

$$\Phi(\vec{r}) = \frac{q}{4\pi\epsilon r} \left[ \left(1 - \frac{zl}{r^2}\right)^{-\frac{1}{2}} - \left(1 + \frac{zl}{r^2}\right)^{-\frac{1}{2}} \right] \quad (9)$$

Από την (6) προκύπτει ότι :

$$zl \ll r^2 \quad (10)$$

$$\left(1 - \frac{zl}{r^2}\right)^{-\frac{1}{2}} \simeq 1 + \frac{1}{2} \frac{zl}{r^2} \quad (11)$$

$$\left(1 + \frac{zl}{r^2}\right)^{-\frac{1}{2}} \simeq 1 - \frac{1}{2} \frac{zl}{r^2} \quad (12)$$

Ωστε

$$\Phi(\vec{r}) = \frac{q}{4\pi\epsilon r} \left( \frac{1}{2} \frac{zl}{r^2} + \frac{1}{2} \frac{zl}{r^2} \right) = \frac{qlz}{4\pi\epsilon r^3} \quad (13)$$

Αλλά είναι

$$z = r \cos \vartheta \quad \text{και} \quad \vec{p} = ql \vec{1} \quad (14)$$

Ωστε :

$$\boxed{\Phi(\vec{r}) = \frac{\vec{p} \cdot \cos \vartheta}{4\pi\epsilon r^2}} \quad (15)$$

ή ακόμα

$$\Phi(\vec{r}) = \frac{\vec{p} \cdot \vec{r}}{4\pi\epsilon r^3} \quad (16)$$

ή έπειδή

$$\frac{\vec{r}}{r^3} = -\vec{\nabla} \left( \frac{1}{r} \right) \quad (17)$$

γράφουμε :

$$\Phi(\vec{r}) = \frac{-\vec{p}}{4\pi\epsilon} \cdot \vec{\nabla} \left( \frac{1}{r} \right) \quad (18)$$

β. θα εργαστούμε σε σφαιρικές συντεταγμένες και θα προσδιορίσουμε το  $\vec{E}(\vec{r})$  ως :

$$\vec{E}(\vec{r}) = -\vec{\nabla} \Phi(\vec{r}) \quad (19)$$

Στις σφαιρικές συντεταγμένες είναι :

$$\vec{\nabla} \Phi = \frac{\partial \Phi}{\partial r} \hat{r} + \frac{1}{r} \frac{\partial \Phi}{\partial \vartheta} \hat{\vartheta} + \frac{1}{r \sin \vartheta} \frac{\partial \Phi}{\partial \varphi} \hat{\varphi} \quad (20)$$

Ωστε :

$$\vec{E} = - \left( \frac{\partial \Phi}{\partial r} \hat{r} + \frac{1}{r} \frac{\partial \Phi}{\partial \vartheta} \hat{\vartheta} + \frac{1}{r \sin \vartheta} \frac{\partial \Phi}{\partial \varphi} \hat{\varphi} \right) \quad (21)$$

Από τη (15) έχουμε:

$$\frac{\partial \Phi}{\partial r} = - \frac{p \cos \vartheta}{2 \pi \epsilon r^3} \quad (22)$$

$$\frac{\partial \Phi}{\partial \vartheta} = - \frac{p \sin \vartheta}{4 \pi \epsilon r^2} \quad (23)$$

$$\frac{\partial \Phi}{\partial \varphi} = 0 \quad (24)$$

και η (21) γίνεται:

$$\vec{E}(\vec{r}) = \frac{p}{4 \pi \epsilon r^3} (2 \cos \vartheta \hat{r} + \sin \vartheta \hat{\vartheta}) \quad (25)$$

Δεδομένου ότι  $\vec{D} = \epsilon \vec{E}$

έχουμε :

$$\vec{D}(\vec{r}) = \frac{p}{4 \pi r^3} (2 \cos \vartheta \hat{r} + \sin \vartheta \hat{\vartheta}) \quad (26)$$

γ. Η εξίσωση των δυναμικών γραμμών προσδιορίζεται από τις σχέσεις :

$$\frac{dl_r}{D_r} = \frac{dl_\vartheta}{D_\vartheta} = \frac{dl_\varphi}{D_\varphi} \quad (27)$$

$$\eta \quad \frac{dl_r}{dl_\vartheta} = \frac{D_r}{D_\vartheta} \quad \text{και} \quad \frac{dl_\varphi}{dl_r} = \frac{D_\varphi}{D_r} \quad (28)$$

Αλλά είναι:

$$\left. \begin{aligned} dl_r &= dr \\ dl_\vartheta &= r d\vartheta \\ dl_\varphi &= r \sin \vartheta d\varphi \end{aligned} \right\} \quad (29)$$

Από τις (26) και (28) προκύπτουν οι :

$$\frac{dr}{r d\vartheta} = \frac{2 \cos \vartheta}{\sin \vartheta} \quad (30)$$

$$\text{και} \quad \frac{\sin \vartheta d\varphi}{d\vartheta} = 0 \quad (31)$$



Όλοκληρώνοντας την (30) έχουμε :

$$r = K \sin^2 \vartheta \quad (32)$$

όπου  $K = \text{σταθ.}$

Όλοκληρώνοντας την (31) έχουμε :

$$\varphi = C = \text{σταθ.} \quad (33)$$

Τό ζευγάρι των εξισώσεων (32) και (33) :

$$\boxed{\begin{array}{l} r = K \sin^2 \vartheta \\ \varphi = C \end{array}} \quad (34)$$

δίνει την εξίσωση των δυναμικών γραμμών του πεδίου .

δ. Από τη σχέση (15) προσδιορίζουμε την εξίσωση των ισοδυναμικών επιφανειών :

$$\Phi = \frac{\rho \cos \vartheta}{4\pi \epsilon r^2} = \text{σταθ.} = C_1 \quad (35)$$

όποτε τά  $\cos \vartheta$  και  $C_1$  πρέπει να είναι όμοσημα. Από την (35) έχουμε :

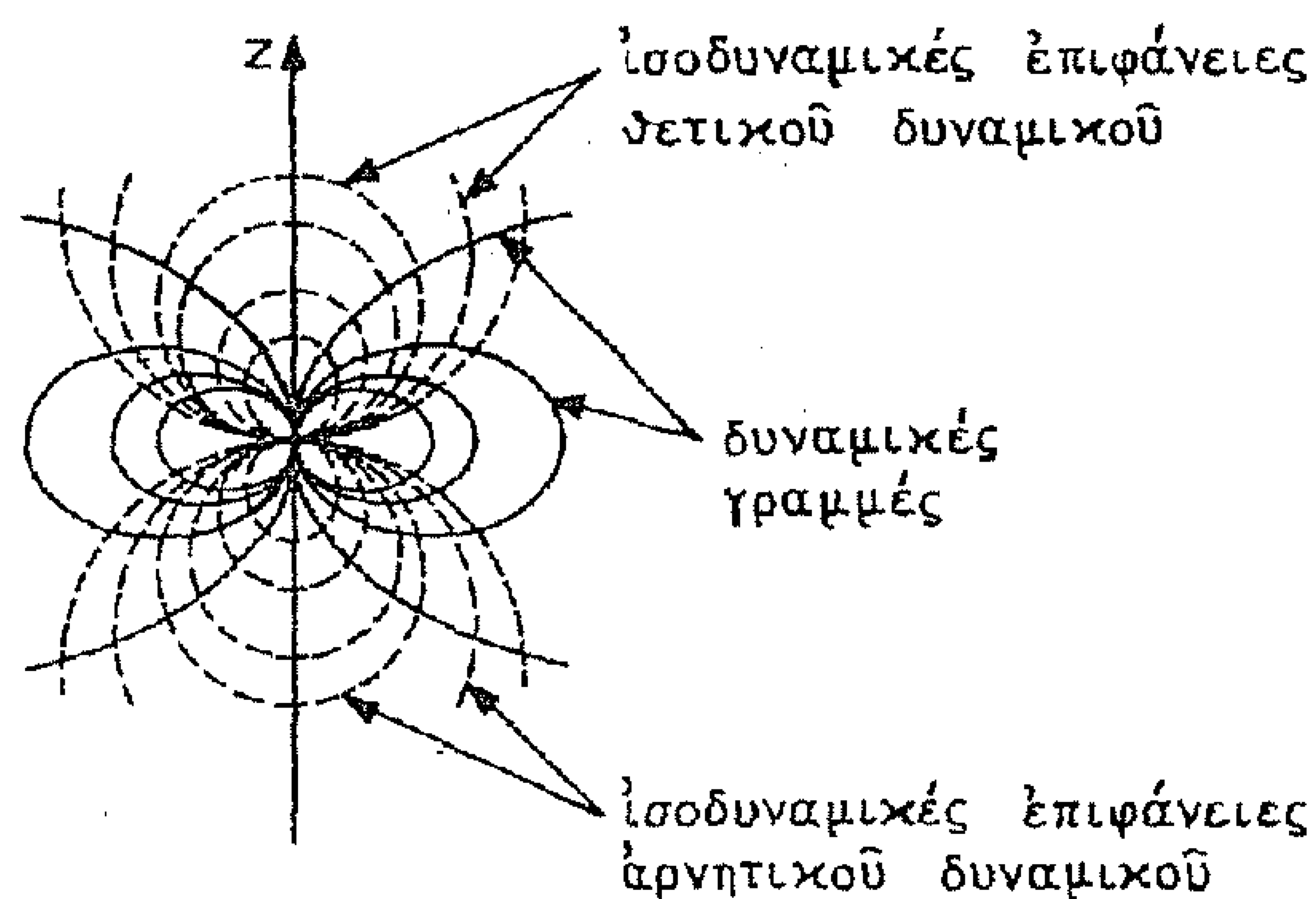
$$\boxed{r^2 = C_2 \cos \vartheta} \quad (36)$$

Η (36) για διάφορα  $C_2$  , θετικά, ικανοποιείται στην περιοχή γωνιών  $0 \leq \vartheta \leq \frac{\pi}{2}$  δηλ. στο πάνω ημισφαίριο και δίνει τις ισοδυναμικές επιφάνειες θετικού δυναμικού (βλ. σχήμα 2), ενώ για  $C_2$  αρνητικά ικανοποιείται στην περιοχή γωνιών  $\frac{\pi}{2} \leq \vartheta \leq \pi$  και δίνει τις ισοδυναμικές επιφάνειες αρνητικού δυναμικού (στο κάτω ημισφαίριο σχ. 2)

Αν θέλουμε με μία μόνο εξίσωση να διατυπώσουμε τις ισοδυναμικές επιφάνειες απόλυτου δυναμικού μπορούμε από την (36) να γράψουμε :

$$\boxed{r = C_3 \sqrt{|\cos \vartheta|}} \quad (37)$$

όπου  $C_3 > 0$



Σχ. 2

3.4 Έστω τό επίπεδο ηλεκτρομαγνητικό κύμα, πού διαδίδεται στό κενό :

$$\vec{E}(\vec{r}, t) = \vec{E}_0 e^{j(\omega t - \vec{k} \cdot \vec{r})}$$

$$\vec{B}(\vec{r}, t) = \vec{B}_0 e^{j(\omega t - \vec{k} \cdot \vec{r})}$$

όπου τά  $\vec{E}_0$ ,  $\vec{B}_0$  καί  $\vec{k}$  εἶναι πραγματικά διανύσματα, πού ἀποτελοῦν τρισορθογώνιο σύστημα, καί  $\omega$  σταθερή κυκλική συχνότητα.

α. Νά προσδιορίσετε τό στιγμιαῖο διάνυσμα Poynting  $\vec{P}$ , τή συνεχή  $\bar{\vec{P}}$  καί τήν ἐναλλασσόμενη  $\tilde{\vec{P}}$  συνιστώσα του καί νά δώσετε τή γραφική παράσταση τῶν μέτρων τους  $P$ ,  $\bar{P}$  καί  $\tilde{P}$  σέ συνάρτηση μέ τό χρόνο  $t$ , σέ ὀρισμένη θέση  $\vec{r}$  τοῦ χώρου.

β. Νά προσδιορίσετε τή μέση ἀκτινοβολούμενη ἰσχύ, πού διαπερνᾷ μιὰ ἐπίπεδη ἐπιφάνεια  $S$ , κάθετη στό  $\vec{k}$ .

Λύση

Μποροῦμε νά γράψουμε:

$$\vec{E}(\vec{r}, t) = (\vec{E}_0 e^{-j\vec{k} \cdot \vec{r}}) e^{j\omega t} = \vec{\tilde{E}} e^{j\omega t} \quad (1)$$

$$\vec{B}(\vec{r}, t) = (\vec{B}_0 e^{-j\vec{k} \cdot \vec{r}}) e^{j\omega t} = \vec{\tilde{B}} e^{j\omega t} \quad (2)$$

όπου  $\vec{\tilde{E}}$  καί  $\vec{\tilde{B}}$  οἱ phasors τῶν πεδίων.

Έχουμε τότε:

$$\vec{P} = \frac{1}{2} \operatorname{Re}(\vec{E} \times \vec{H}^*) + \frac{1}{2} \operatorname{Re}(\vec{E} \times \vec{H} e^{j2\omega t}) \quad (3)$$

ή

$$\vec{P} = \frac{1}{2\mu_0} \operatorname{Re}(\vec{E} \times \vec{B}^*) + \frac{1}{2\mu_0} \operatorname{Re}(\vec{E} \times \vec{B} e^{j2\omega t}) \quad (4)$$

Αντικαθιστούμε τα  $\vec{E}$  και  $\vec{B}$  των (1) και (2) στην (4) και έχουμε:

$$\vec{P} = \frac{1}{2\mu_0} (\vec{E}_0 \times \vec{B}_0) + \frac{1}{2\mu_0} \operatorname{Re}(\vec{E}_0 \times \vec{B}_0 e^{j2(\omega t - \vec{k} \cdot \vec{r})}) \quad (5)$$

ή

$$\vec{P} = \frac{1}{2\mu_0} E_0 B_0 \hat{k} + \frac{1}{2\mu_0} E_0 B_0 \hat{k} \cos 2(\omega t - \vec{k} \cdot \vec{r}) \quad (6)$$

Ωστε και:

$$\bar{P} = \frac{1}{2\mu_0} E_0 B_0 \hat{k} \quad (7)$$

$$\tilde{P} = \frac{1}{2\mu_0} E_0 B_0 \cos 2(\omega t - \vec{k} \cdot \vec{r}) \cdot \hat{k} \quad (8)$$

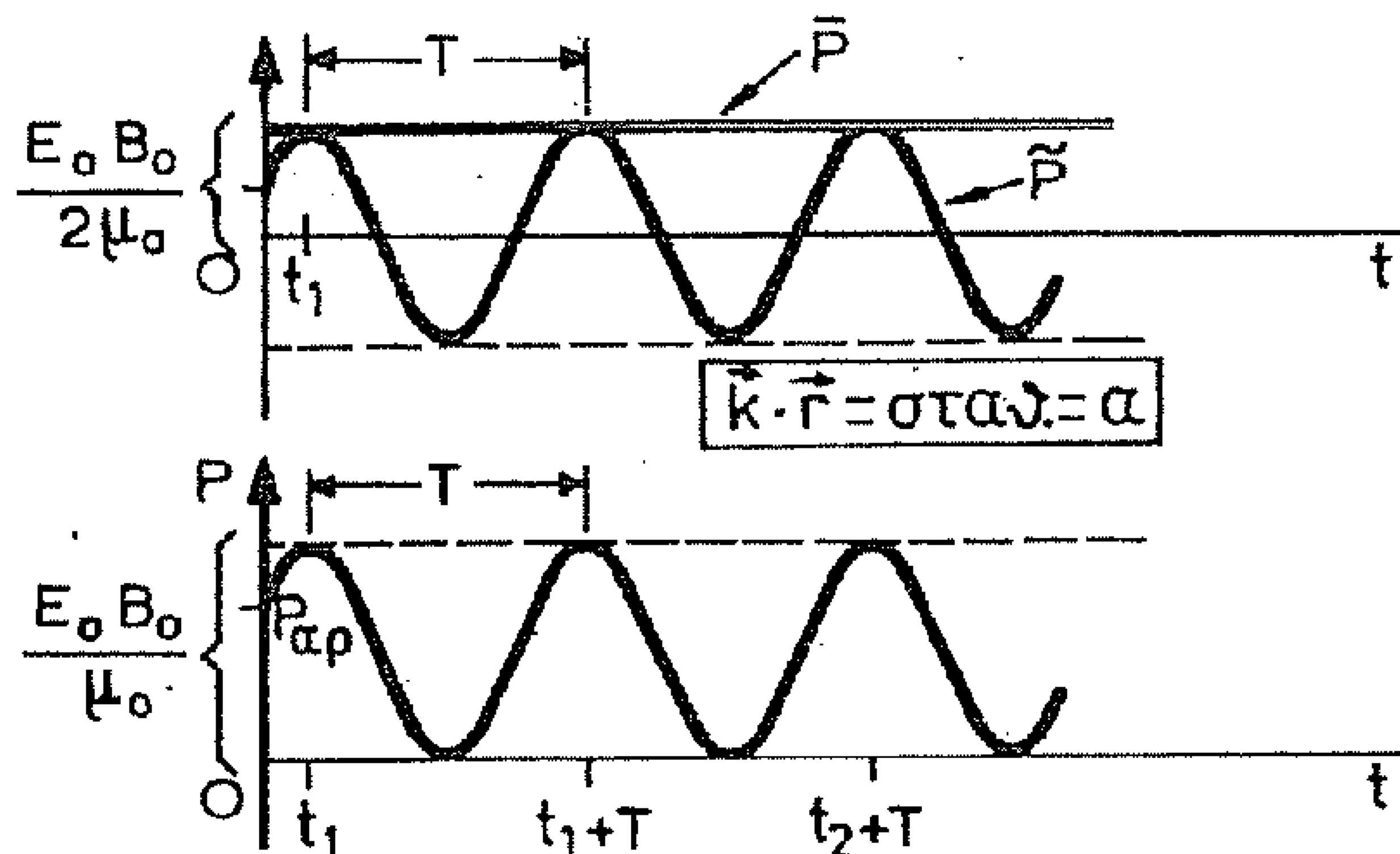
Τά μέτρα των διανυσμάτων είναι:

$$P = \frac{1}{2\mu_0} E_0 B_0 (1 + \cos 2(\omega t - \vec{k} \cdot \vec{r})) \quad (9)$$

$$\bar{P} = \frac{1}{2\mu_0} E_0 B_0 \quad (10)$$

$$\tilde{P} = \frac{1}{2\mu_0} E_0 B_0 \cos 2(\omega t - \vec{k} \cdot \vec{r}) \quad (11)$$

Οι ζητούμενες γραφικές παραστάσεις των  $P, \bar{P}, \tilde{P}$  δίνονται στο παρακάτω σχήμα.



Η αρχική τιμή του  $P$  (γιά  $t = 0$ ) είναι :

$$P_{αρ} = \frac{E_o B_o}{2\mu_o} (1 + \cos 2\alpha) \quad (12)$$

ένω του  $\tilde{P}$  :

$$\tilde{P}_{αρ} = \frac{E_o B_o}{2\mu_o} \cos 2\alpha \quad (13)$$

ή περίοδος είναι :

$$T = \frac{2\pi}{2\omega} = \frac{\pi}{\omega} \quad (14)$$

καύ ή χρονική στιγμή  $t_1$  :

$$t_1 = \frac{\alpha}{\omega} \quad (15)$$

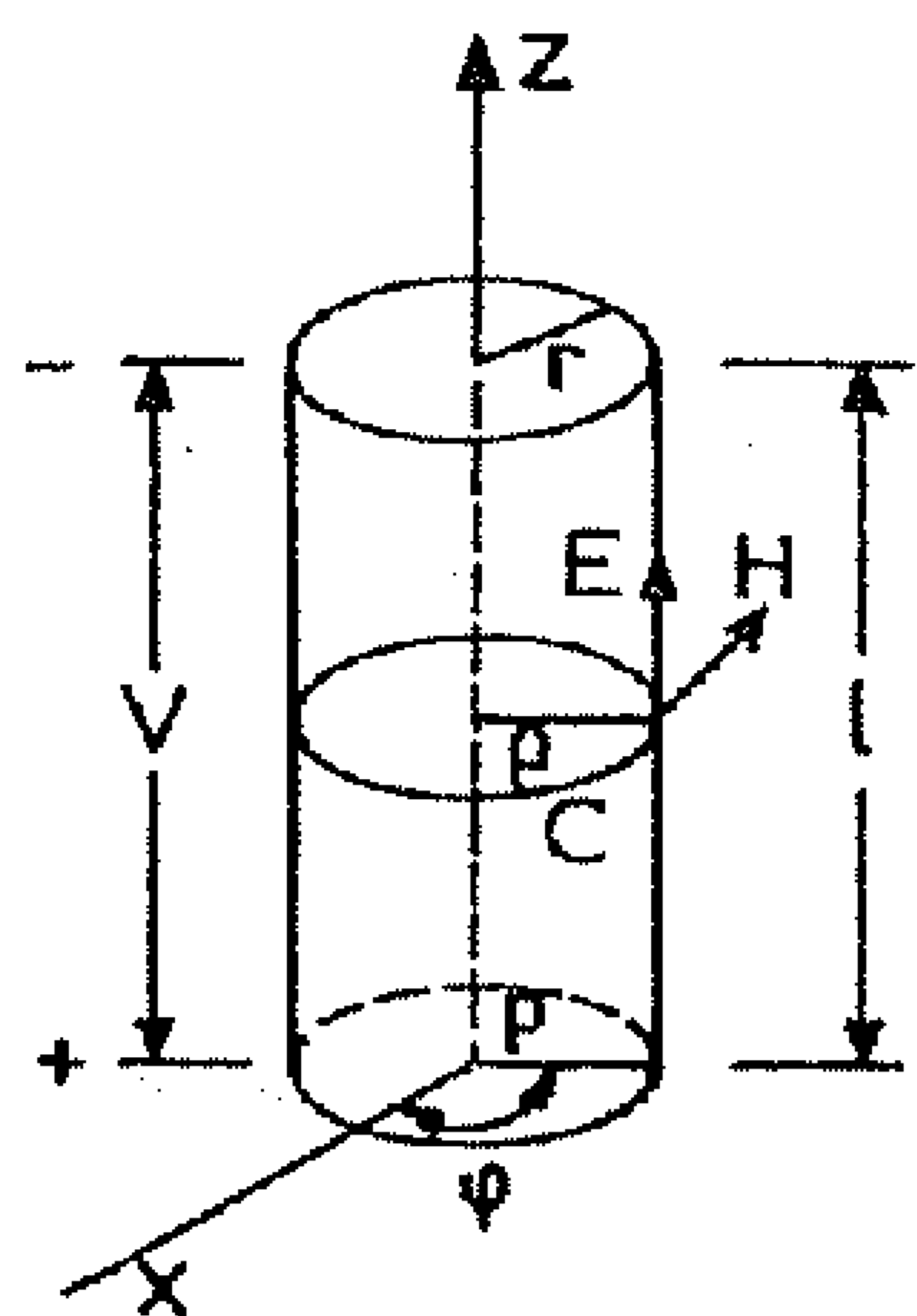
β. θα έχουμε :

$$\bar{N}_{rad} = \int_S \vec{P} \cdot \hat{n} dS = \bar{P} S = \frac{E_o B_o}{2\mu_o} S \quad (16)$$

**3.5** Ένας κυλινδρικός άγωγός διαρρέεται από σταθερό ρεύμα  $I$ .

Αν  $r$  ή ακτίνα του άγωγού,  $R$  ή αντίστασή του καύ  $l$  τό μήκος του, νά προσδιοριστεί τό διάνυσμα Poynting  $\vec{P}$  σέ κάθε σημείο τής έπιφάνειας του άγωγού καύ ή ίσχύς, πού καταναλώνεται στόν άγωγό.

Λύση



Χρησιμοποιούμε κυλινδρικές συντεταγμέ-  
( $\rho, \phi, z$ ). Έστω  $V$  ή διαφορά δυναμικού  
στά άκρα του άγωγού. Τό πεδίο  $\vec{E}$  είναι :

$$\vec{E} = \frac{V}{l} \hat{z} \quad (1)$$

ή

$$\vec{E} = \frac{IR}{l} \hat{z} \quad (2)$$

δηλ. είναι έφαπτομενικό στήν κυλινδρι-  
κή έπιφάνεια. Έπομένως, λόγω τής όριακής συνθήκης, ή τιμή αύτή  
θά είναι ίδια κοντά στήν κυλινδρική έπιφάνεια τόσο στό έσωτερι-  
κό του άγωγού όσο καύ στό έξωτερικό του.

Τό πεδίο  $\vec{H}$  έχει μόνο συνιστώσα κατά τή διεύθυνση  $\hat{\phi}$  καύ προσδιο-  
ρίζεται από τό νόμο του Ampere έφαρμοσμένο σ' έναν κύκλο μέ ακ-  
τίνα  $r$  στήν άμεση γειτονιά τής έπιφάνειας του άγωγού (1<sup>η</sup> έξ. του  
Maxwell):

$$\oint_C \vec{H} \cdot d\vec{l} = I \quad (3)$$

$$\vec{H} \quad 2\pi r H_\varphi = I \quad (4)$$

ή τελικά :

$$\vec{H} = \frac{I}{2\pi r} \hat{\varphi} \quad (5)$$

Τό διάνυσμα Poynting είναι :

$$\vec{P} \triangleq \vec{E} \times \vec{H} \quad (6)$$

$$\vec{P} = \frac{I^2 R}{2\pi r l} \hat{z} \times \hat{\varphi} = \frac{I^2 R}{2\pi r l} (-\hat{\rho}) \quad (7)$$

ή τελικά :

$$\vec{P} = -\frac{I^2 R}{2\pi r l} \hat{\rho} \quad (8)$$

Άρα, τό διάνυσμα Poynting κατευθύνεται κάθετα προς τήν επιφάνεια του άγωγού καί μάλιστα προς τά μέσα. Η ισχύς πού ρέει προς τό έσωτερικό του άγωγού είναι :

$$N = \int_S \vec{P} \cdot (-\hat{\rho}) dS = \frac{I^2 R}{2\pi r l} 2\pi r l = I^2 R$$

Είναι λοιπόν :

$$N = I^2 R \quad (9)$$

**3.6** Ένα κατακόρυφο ηλεκτρικό δίπολο έχει μήκος  $l = 10 \text{ cm}$  καί διαρρέεται από ήμιτονικό ρεύμα, πού έχει πλάτος  $I_0 = 1 \text{ A}$  καί κυκλική συχνότητα  $\omega = 10^8 \text{ sec}^{-1}$  (έπομένως μπορεί νά θεωρηθεῖ στοιχειώδες) Τό δίπολο ακτινοβολεῖ στόν έλεύθερο χώρο ( $\epsilon_0, \mu_0$ ) .

**α.** Σέ απόσταση  $r = 10 \text{ km}$  από τό δίπολο καί στό ἕδω οριζόντιο επίπεδο μέ αὐτό, πόσο είναι τό πλάτος  $E_0$  τῆς έντασης τοῦ ηλεκτρικοῦ πεδίου  $\vec{E}$  ;

**β.** Σέ πόση απόσταση τό πλάτος τῶν ὁρῶν τῆς συνιστώσας  $E_\theta$  τοῦ ηλεκτρικοῦ πεδίου, πού ἐξαρτῶνται ἀπό τό  $\frac{1}{r^2}$  καί ἀπό τό  $\frac{1}{r^3}$  πέφτει στό  $\frac{1}{100}$  τῆς τιμῆς τοῦ ὅρου πού ἐξαρτᾶται ἀπό τό  $\frac{1}{r}$  ;

( $\mu_0 = 4\pi 10^{-7} \text{ H/m}$ ) .

## Α ύ σ η

Οι τρεις συνιστώσες του  $\vec{E}$  σε σφαιρικό σύστημα είναι (βλ. σχέσεις 3-178) .

$$E_r(r, t) = \left( \frac{I_0 l}{2\pi\epsilon_0 v r^2} - \frac{j I_0 l}{2\pi\epsilon_0 \omega r^3} \right) \cos\vartheta e^{j(\omega t - kr)} \quad (1)$$

$$E_\vartheta(r, t) = \left( \frac{j I_0 l k^2}{4\pi\epsilon_0 \omega r} + \frac{I_0 l}{4\pi\epsilon_0 v r^2} - \frac{j I_0 l}{4\pi\epsilon_0 \omega r^3} \right) \sin\vartheta e^{j(\omega t - kr)} \quad (2)$$

$$E_\varphi(r, t) = 0 \quad (3)$$

α. Στην απόσταση  $r = 10\text{km}$  επικρατεί, πρακτικά, μόνο ο προσθε-  
τέος της  $E_\vartheta$ , που εξαρτάται από το  $\frac{1}{r}$ . Δηλαδή:

$$\vec{E} = \text{Re}(\vec{\tilde{E}}) = \text{Re}(E_\vartheta \hat{\vartheta}) = \text{Re} \left[ \frac{j I_0 l k^2}{4\pi\epsilon_0 \omega r} \sin\vartheta e^{j(\omega t - kr)} \hat{\vartheta} \right] =$$

$$= \text{Re} \left[ \frac{I_0 l k^2}{4\pi\epsilon_0 \omega r} \sin\vartheta e^{j(\omega t - kr + \frac{\pi}{2})} \hat{\vartheta} \right] \quad \eta$$

$$\vec{E} = \frac{I_0 l k^2}{4\pi\epsilon_0 \omega r} \sin\vartheta \cos\left(\omega t - kr + \frac{\pi}{2}\right) \hat{\vartheta} \quad (4)$$

Θέτουμε  $k = \frac{\omega}{v}$  και  $v = c = \frac{1}{\sqrt{\epsilon_0 \mu_0}}$  και έχουμε :

$$E_0 = \frac{I_0 l \omega^2}{4\pi\epsilon_0 \omega v^2 r} \sin\vartheta = \frac{I_0 l \omega \epsilon_0 \mu_0}{4\pi\epsilon_0 r} \sin\vartheta$$

και για  $\vartheta = \pi/2$  είναι :  $E_0 = \frac{I_0 l \omega \mu_0}{4\pi r} \quad (5)$

Εφαρμογή για :

$$I_0 = 1\text{A}$$

$$l = 0,1\text{m}$$

$$\omega = 10^8 \text{ sec}^{-1}$$

$$\mu_0 = 4\pi \cdot 10^{-7} \text{ H/m}$$

$$r = 10^4 \text{ m}$$

$$E_0 = \frac{1 \cdot 0,1 \cdot 10^8 \cdot 4\pi \cdot 10^{-7}}{4\pi \cdot 10^4} \frac{\text{A} \cancel{\text{m}} \text{sec}^{-1} \text{H}}{\text{m} \cancel{\text{m}}} = 10^{-6} \frac{\text{AH}}{\text{m sec}}$$

ή

$$E_0 = 10^{-6} \frac{\text{V}}{\text{m}} = 100 \frac{\mu\text{V}}{\text{m}} \quad (6)$$

β. Στην απόσταση  $r$  έχουμε για τους λόγους  $n_2$ ,  $n_3$  :

$$n_2 \triangleq \frac{\left[ (E_0)_{1/r^2} \right]_0}{\left[ (E_0)_{1/r} \right]_0} = \frac{\frac{1}{U r}}{\frac{k^2}{\omega}} = \frac{U}{\omega r} = \frac{c}{\omega r} \quad (7)$$

$$n_3 \triangleq \frac{\left[ (E_0)_{1/r^3} \right]_0}{\left[ (E_0)_{1/r} \right]_0} = \frac{\frac{1}{\omega r^2}}{\frac{k^2}{\omega}} = \frac{1}{r^2 k^2} = \frac{c^2}{r^2 \omega^2} = n_2^2 \quad (8)$$

Για να έχουμε  $n_2 = 1/100$  πρέπει :

$$\frac{c}{\omega r_2} = \frac{1}{100} \quad \text{και} \quad r_2 = \frac{100 c}{\omega} \quad (9)$$

ή

$$r_2 = \frac{10^2 \cdot 3 \cdot 10^8}{10^8} \frac{\text{m}}{\text{sec sec}^{-1}} = 300 \text{ m}$$

$$\underline{r_2 = 300 \text{ m}} \quad (10)$$

Για να έχουμε  $n_3 = \frac{1}{100}$  πρέπει :

$$\frac{c^2}{r_3^2 \omega^2} = \frac{1}{100} \quad \text{και} \quad r_3 = \frac{10 c}{\omega} \quad (11)$$

ή

$$\underline{r_3 = 30 \text{ m}} \quad (12)$$

Ωστε τό  $n_2$  γίνεται  $1/100$  στά  $300\text{m}$ , ενώ τό  $n_3$  στά  $30\text{m}$ .

Π α ρ α τ ή ρ η σ η

Για την τυχαία απόσταση  $r$  ισχύουν οι (7) και (8) :

$$n_3 = n_2^2 = \frac{c^2}{r^2 \omega^2} \quad (13)$$

π.χ. στά  $10\text{km}$  είναι :

$$n_2 = \frac{c}{v_2} = \frac{3 \cdot 10^8}{10^4 \cdot 10^8} = 3 \cdot 10^{-4}$$

$$n_3 = n_2^2 = 9 \cdot 10^{-8}$$

έπομένως σωστά θεωρήθηκε ότι επικρατεί αποκλειστικά ο όρος που εξαρτάται από το  $1/r$ .

3.7 Ξέρουμε ότι το πεδίο ακτινοβολίας ενός στοιχειώδους ηλεκτρικού διπόλου, που έχει μήκος  $l$  και διαρρέεται από εναλλασσόμενο ρεύμα με πλάτος  $I_0$ , (για αρκετά μακρινές αποστάσεις από το δίπολο) είναι (βλ. σχέσεις 3-179) :

$$\left. \begin{aligned} \vec{E} &= E_\theta \hat{\theta} = \frac{j k^2 I_0 l \sin \theta}{4\pi \epsilon \omega} e^{j(\omega t - kr)} \hat{\theta} \\ \vec{H} &= H_\phi \hat{\phi} = \frac{j k I_0 l \sin \theta}{4\pi r} e^{j(\omega t - kr)} \hat{\phi} \end{aligned} \right\} \quad (1)$$

α. Νά προσδιοριστεί το στιγμιαίο διάνυσμα Poynting  $\vec{P}$ .

β. Νά αποδειχτεί ότι η ολική μέση ισχύς, που ακτινοβολεί το δίπολο στο χώρο είναι :

$$\bar{N}_{ολ} = \frac{1}{2} I_0^2 R_r = I_{ev}^2 R_r \quad (2)$$

όπου  $R_r = \frac{2\pi}{3} \sqrt{\frac{\mu}{\epsilon}} \left(\frac{l}{\lambda}\right)^2 = \frac{2\pi}{3} Z \left(\frac{l}{\lambda}\right)^2 \quad (3)$

ή λεγόμενη " αντίσταση ακτινοβολίας " του ηλεκτρικού διπόλου μέσα στο συγκεκριμένο μέσο .

Λ ύ σ η .

α. Είναι :  $\vec{P} \triangleq \vec{E} \times \vec{H} = \frac{1}{2} \text{Re}(\vec{E} \times \vec{H}^*) + \frac{1}{2} \text{Re}(\vec{E} \times \vec{H}) \quad (4)$

Αντικαθιστώντας τις (1) στην (4) έχουμε :



$$\vec{P} = \frac{1}{2} \operatorname{Re}(\vec{E}_\vartheta \vec{H}_\varphi^* \hat{j} \times \hat{\varphi}) + \frac{1}{2} \operatorname{Re}(\vec{E}_\vartheta \vec{H}_\varphi \hat{j} \times \hat{\varphi}) \quad (5)$$

Αλλά  $\hat{j} \times \hat{\varphi} = \hat{r}$  (6)

Ωστε :  $\vec{P} = \frac{1}{2} \operatorname{Re}(\vec{E}_\vartheta \vec{H}_\varphi^* \hat{r}) + \frac{1}{2} \operatorname{Re}(\vec{E}_\vartheta \vec{H}_\varphi \hat{r})$  (7)

ή

$$\vec{P} = \left[ \frac{1}{2} \frac{k}{\epsilon \omega} \left( \frac{k I_0}{4\pi r} \right)^2 \sin^2 \vartheta - \frac{1}{2} \frac{k}{\epsilon \omega} \left( \frac{k I_0}{4\pi r} \right)^2 \sin^2 \vartheta \cos 2(\omega t - kr) \right] \hat{r} \quad (8)$$

Αλλά  $\frac{k}{\epsilon \omega} = \frac{\omega}{v \epsilon \omega} = \frac{\sqrt{\epsilon \mu}}{\epsilon} = \sqrt{\frac{\mu}{\epsilon}} \triangleq Z$  (9)

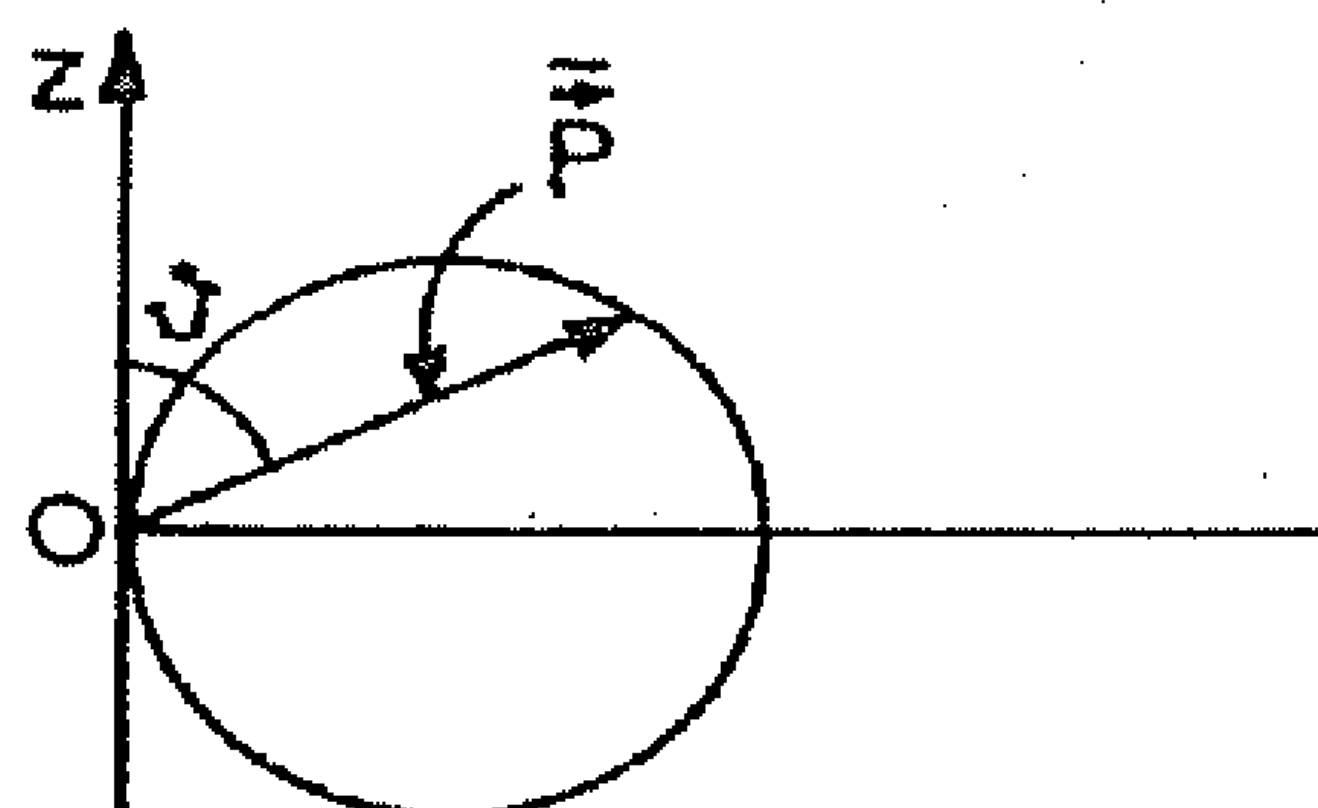
όπου  $Z$  ή " κυματική αντίσταση του μέσου "

Ωστε ή (8) γίνεται :

$$\vec{P} = \left[ \frac{1}{2} Z \left( \frac{k I_0}{4\pi r} \right)^2 \sin^2 \vartheta - \frac{1}{2} Z \left( \frac{k I_0}{4\pi r} \right)^2 \sin^2 \vartheta \cos 2(\omega t - kr) \right] \hat{r} \quad (10)$$

ή απλούστερα :

$$\vec{P} = (\bar{P} + \tilde{P}) \hat{r} \quad (11)$$



Σχ. 1

Ωστε ή ισχύς ακτινοβολείται κατά την ακτινική διεύθυνση  $\hat{r}$  και είναι ανάλογη προς το  $\sin^2 \vartheta$ , που σημαίνει ότι κατά τον άξονα του διπόλου ( $\vartheta = 0$ ) δεν ακτινοβολείται ενέργεια (σχ. 1).

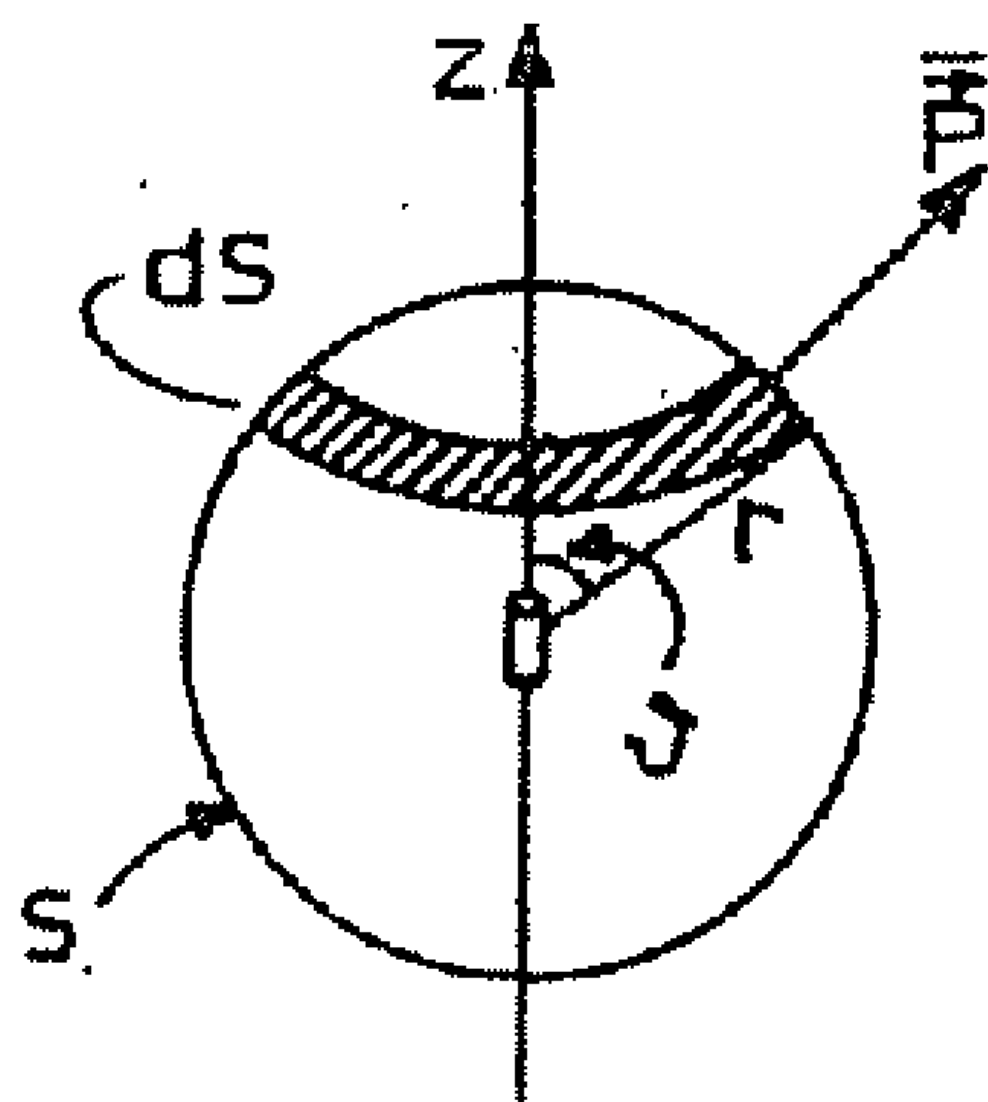
β. θεωρούμε μία σφαίρα που περιβάλλει το δίπολο κι έχει ακτίνα  $r$  (βλ. σχ. 2) .

Είναι:

$$\bar{N}_{0\lambda} = \oint_S \vec{P} \cdot \hat{r} dS \quad (12)$$

Αλλά  $dS = 2\pi r^2 \sin \vartheta d\vartheta$  (13)

και επομένως :



Σχ. 2

$$\vec{P} \cdot \hat{r} = \frac{1}{2} Z \left( \frac{k l I_0}{4\pi} \right)^2 \frac{\sin^2 \vartheta}{r^2} \quad (14)$$

Ωστε  $\bar{N}_{o\lambda} = \frac{1}{2} Z \left( \frac{k l I_0}{4\pi} \right)^2 2\pi \int_0^\pi \sin^2 \vartheta \sin \vartheta d\vartheta$  (15)

Αλλά  $\int_0^\pi \sin^2 \vartheta \sin \vartheta d\vartheta = - \int_0^\pi (1 - \cos^2 \vartheta) d \cos \vartheta = \left[ -\cos \vartheta \right]_0^\pi +$   
 $+ \left[ \frac{\cos^3 \vartheta}{3} \right]_0^\pi = 2 + \left( -\frac{1}{3} - \frac{1}{3} \right) = \frac{4}{3}$  (16)

Από τις (15) και (16) έχουμε:

$$\bar{N}_{o\lambda} = \frac{1}{2} Z \left( \frac{\frac{2\pi}{\lambda} l}{2\pi} \right) \frac{I_0^2}{4} 2\pi \frac{4}{3} = \frac{\pi}{3} Z \left( \frac{l}{\lambda} \right)^2 I_0^2 \quad (17)$$

Θέτοντας  $R_r \triangleq \frac{2\pi}{3} Z \left( \frac{l}{\lambda} \right)^2$  (18)

έχουμε :  $\bar{N}_{o\lambda} = \frac{1}{2} R_r I_0^2 = I_{ev}^2 R_r$  (19)

**Π α ρ α τ ή ρ η σ η**

Γιὰ τὸ κενό (πρακτικά καὶ γιὰ τὸν ἀέρα) εἶναι :

$$Z_0 = 120\pi = 377 \, \Omega \quad \text{καὶ ἡ (18) δίνει :}$$

$$R_r = 80\pi^2 \left( \frac{l}{\lambda} \right)^2 \, \Omega \quad (20)$$

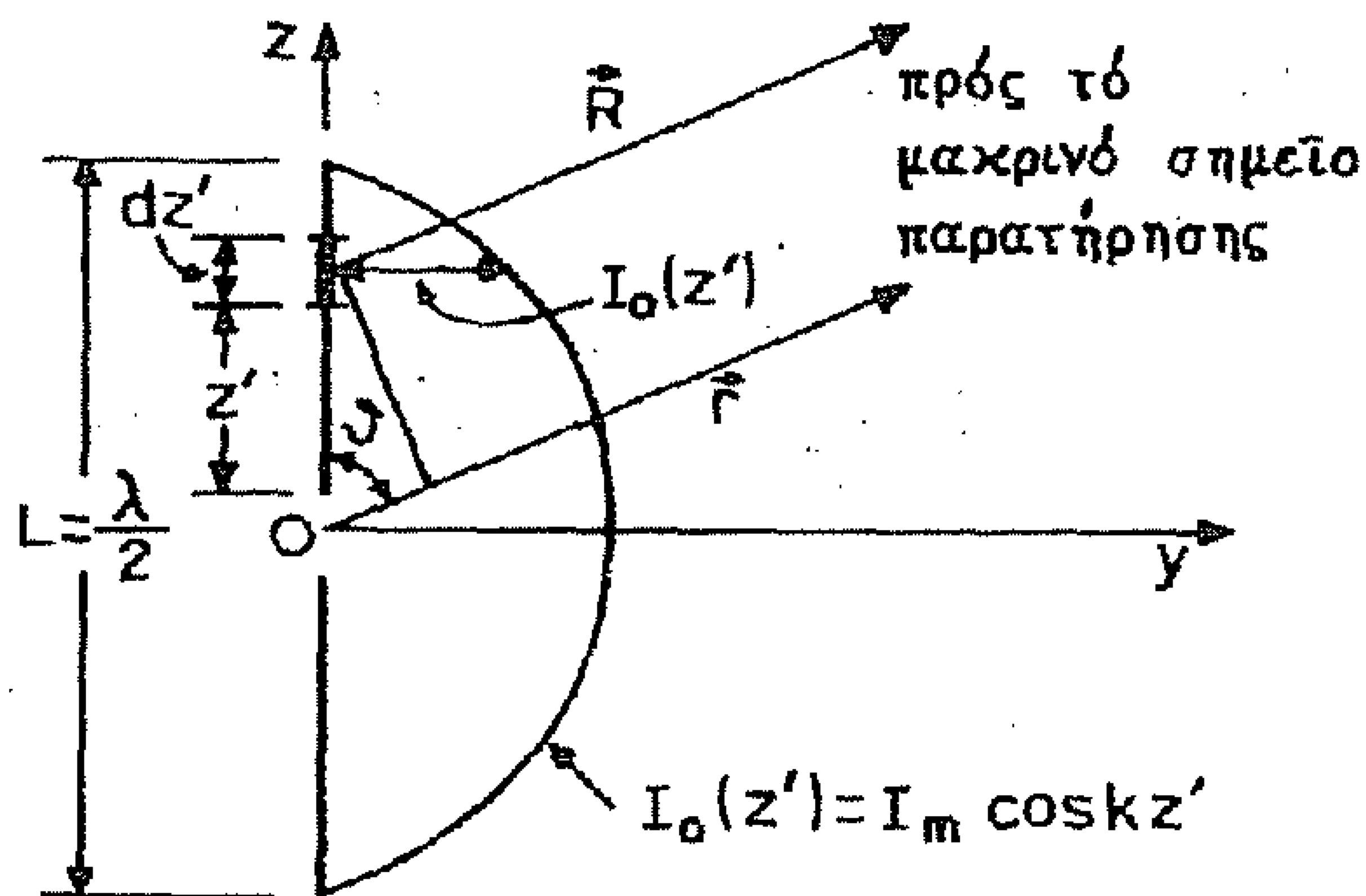
### 3.8 Μελέτη ἀκτινοβολίας κεραίας $\lambda/2$ :

Θεωρώντας γνωστές τις ἐξισώσεις τοῦ πεδίου ἀκτινοβολίας τοῦ στοιχειώδους ἡλεκτρικοῦ διπόλου, νὰ προσδιορίσετε τὸ πεδίο ἀκτινοβολίας μιᾶς εὐθύγραμμης κεραίας πού τροφοδοτεῖται σὲ μέσο της μὲ ἐναλλασσόμενο ρεῦμα κυκλικῆς συχνότητας  $\omega$  καὶ ἔχει μήκος :

$$L = \frac{\lambda}{2} \quad (1)$$

(όπου  $\lambda = \frac{2\pi v}{\omega}$  με  $v = \frac{1}{\sqrt{\epsilon\mu}}$

ταχύτητα του φωτός στον  
αέρα που θεωρείται ότι  
έχει διηλεκτρική σταθερά  
 $\epsilon$  και μαγνητική διαπερα-  
τότητα  $\mu$ ). Δύνεται ότι  
τό πλάτος του εναλλασσό-  
μενου ρεύματος που διαρ-



Σχ. 1

ρέει την κεραία, κατανέμεται κατά μήκος της σύμφωνα με την:

$$I_0(z') = I_m \cos kz' \quad (2)$$

όπου  $k = 2\pi/\lambda = \omega/v$ .

#### Λύση

Ξέρουμε ότι τό πεδίο ενός στοιχειώδους διπόλου  $dz'$  που βρίσκεται στη θέση  $z'$  από τό μέσο 0, δύνεται από τίς (βλ. σχ. 3-179) :

$$d\vec{E}(t) = \frac{jk^2 I_0(z') dz'}{4\pi\epsilon\omega R} \sin\vartheta e^{j(\omega t - kR)} \hat{\vartheta} \quad (3)$$

$$d\vec{B}(t) = \frac{jk I_0(z') dz'}{4\pi\mu^{-1}R} \sin\vartheta e^{j(\omega t - kR)} \hat{\varphi} \quad (4)$$

Από τό σχήμα φαίνεται ότι, για μεγάλες αποστάσεις, όποτε οι  $\vec{r}$  και  $\vec{R}$  είναι πρακτικά παράλληλες, έχουμε :

$$R = r - z' \cos\vartheta \quad (5)$$

δηλ. ή διαφορά μεταξύ  $R$  και  $r$  είναι μικρή ( $\leq \lambda/4$ ).

Η μικρή αυτή διαφορά δέν θά επηρεάσει τόν παράγοντα τοῦ πλάτους όταν τό  $r$  είναι αρκετά μεγάλο και μπορούμε νά βάλουμε όπου :

$\frac{1}{R} \rightarrow \frac{1}{r}$ . Αντίθετα όμως, στον παράγοντα φάσης, πρέπει νά ληφθῇ

υπόψη και ό εκθετικός όρος γράφεται  $e^{j\omega t} e^{-jkr} e^{jkz' \cos\vartheta}$

Παραλείποντας τόν παράγοντα  $e^{j\omega t}$  χρονικής μεταβολῆς και παίρ-

νοντας υπόψη και την (2) έχουμε από τις (3) και (4) για τους phasors του πεδίου :

$$d\vec{E} = \frac{jk^2 I_m}{4\pi\epsilon\omega r} \sin\vartheta e^{-jkr} \cos kz' e^{jkz'\cos\vartheta} dz' \hat{\vartheta} \quad (6)$$

$$d\vec{B} = \frac{jk I_m}{4\pi\mu^{-1}r} \sin\vartheta e^{-jkr} \cos kz' e^{jkz'\cos\vartheta} dz' \hat{\varphi} \quad (7)$$

Για να πάρουμε, ολοκληρώνοντας τις (6) , (7) τα πεδία  $\vec{E}, \vec{B}$  πρέπει να υπολογίσουμε το ολοκλήρωμα :

$$\begin{aligned} Q &= \int_{-L/2}^{+L/2} \cos kz' e^{jk\cos\vartheta z'} dz' = \frac{1}{jk\cos\vartheta} \int_{-\lambda/4}^{\lambda/4} \cos kz' \cdot d(e^{jk\cos\vartheta z'}) = \\ &= 0 + \frac{k_1}{jk\cos\vartheta} \int_{-\lambda/4}^{\lambda/4} e^{jk\cos\vartheta z'} \sin kz' dz' = -\frac{1}{k\cos^2\vartheta} \left[ \sin kz' e^{jk\cos\vartheta z'} \right]_{-\lambda/4}^{\lambda/4} + \frac{k_1}{k\cos^2\vartheta} Q \end{aligned}$$

Εκτελώντας τις πράξεις για  $k = \frac{2\pi}{\lambda}$  έχουμε εύκολα για το Q

$$Q = \frac{2\cos\left(\frac{\pi}{2}\cos\vartheta\right)}{k\sin^2\vartheta} \quad (8)$$

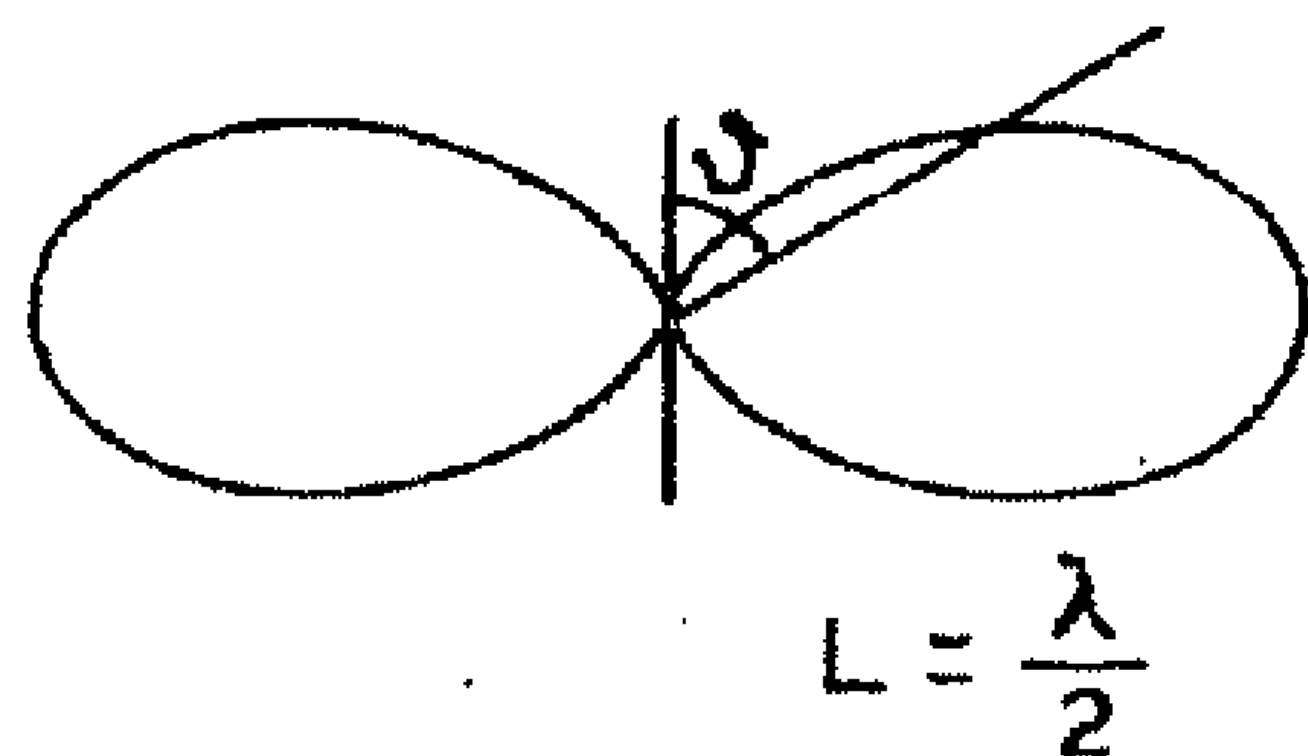
Άρα, η ολοκλήρωση των (6) και (7) δίνει:

$$\vec{E} = \frac{jk e^{-jkr} I_m}{2\pi\epsilon\omega} \left[ \frac{\cos\left(\frac{\pi}{2}\cos\vartheta\right)}{\sin\vartheta} \right] \hat{\vartheta} \quad (9)$$

$$\vec{B} = \frac{j e^{-jkr} I_m}{2\pi\mu^{-1}r} \left[ \frac{\cos\left(\frac{\pi}{2}\cos\vartheta\right)}{\sin\vartheta} \right] \hat{\varphi} \quad (10)$$

και πολλαπλασιάζοντας επί το χρονικό παράγοντα  $e^{j\omega t}$  παίρνουμε την πλήρη έκφραση του πεδίου  $\vec{E}(\vec{r}, t)$ ,  $\vec{B}(\vec{r}, t)$  του έχει μορφή

σφαιρικού κύματος  $e^{j(\omega t - kr)}$  μέ-  
πλάτος που εξαρτάται μόνο από  
τή γωνία  $\vartheta$  (διάγραμμα χώρου  
"έκ περιστροφής") όπως φαίνε-  
ται στο σχ. 2.



Π α ρ α τ ή ρ η σ η : Τελεώς

Σχ. 2

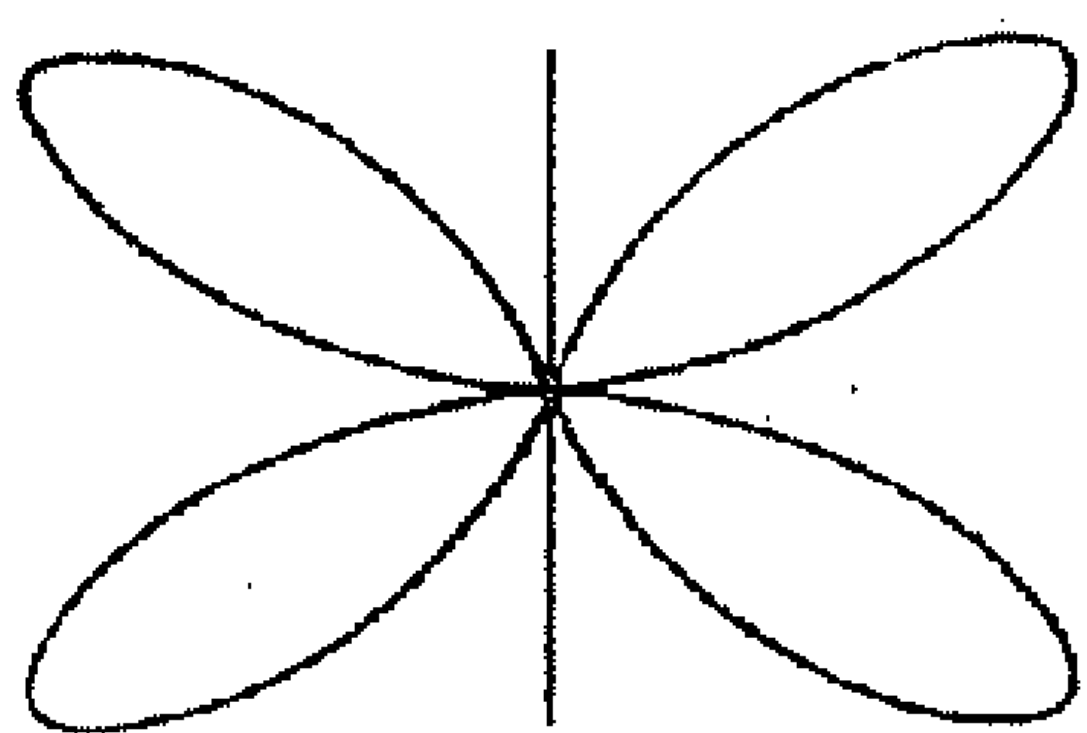
ανάλογα μέ την πιο πάνω μελέτη

μπορούμε νά μελετήσουμε την ακτινοβολία μιᾶς γραμμικής κεραίας  
όποιουδήποτε μήκους  $L$  τροφοδοτημένης στο μέσο της. Έτσι παίρ-  
νουμε γιά την ηλεκτρική ένταση τοῦ πεδίου ακτινοβολίας:

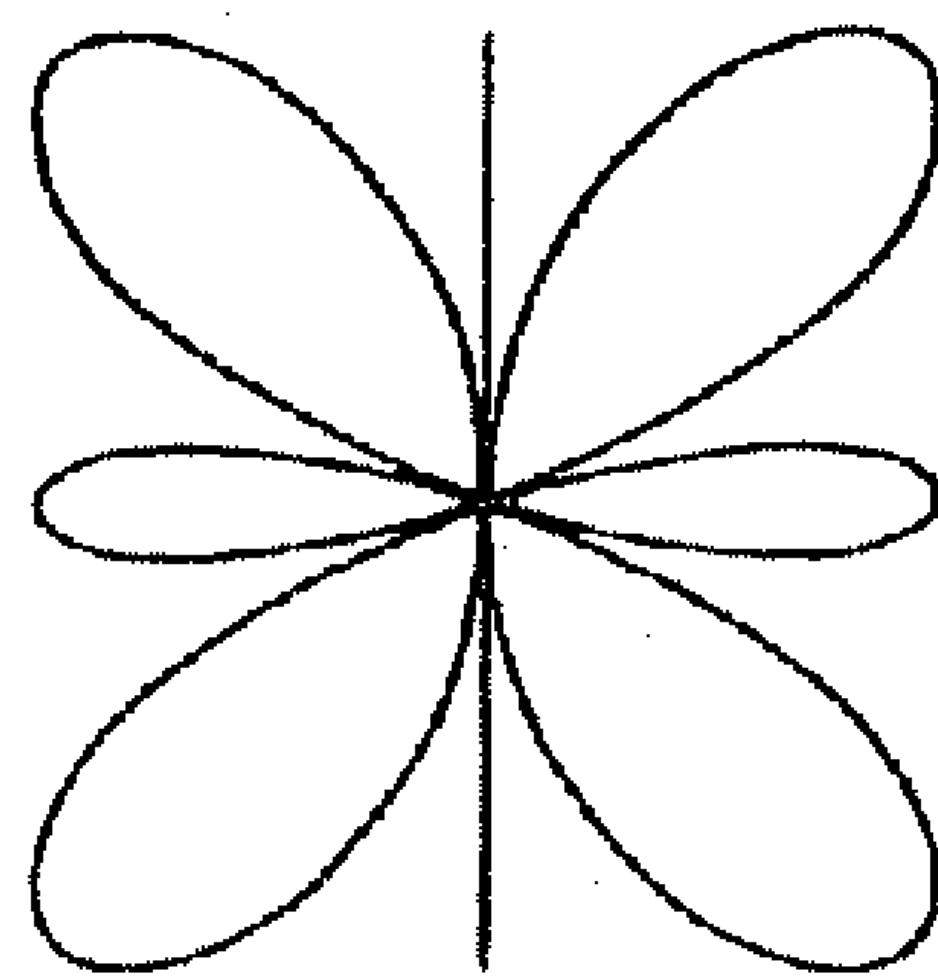
$$\vec{E}(\vec{r}, t) = \frac{j k^2 I_m}{2 \pi \epsilon \omega r} e^{j(\omega t - kr)} \left[ \frac{\cos(kL \cos \vartheta / 2) - \cos(kL / 2)}{\sin \vartheta} \right] \quad (11)$$

ή οποία γιά  $L = \lambda/2$  δύνει βέβαια την (9).

Στό πιο κάτω σχ. 3 φαίνεται τό διάγραμμα πεδίου γραμμικής κε-



(α)



(β)

Σχ. 3

ραίας γιά τίς περιπτώσεις (α)  $L = \lambda$  καί (β)  $L = \frac{3}{4} \lambda$ .

3.9 Κάτω από ποιές συνθήκες είναι δυνατό νά όρίσουμε την έντα-  
ση τοῦ μαγνητικού πεδίου  $\vec{B}$  ὡς βαθμίδα ενός μονόμετρου μαγνητι-  
κού δυναμικοῦ, δηλ.  $\vec{B} = -\vec{\nabla} \Phi_m$ ; Ποιά θά είναι, τότε, ἡ διαφο-  
ρική εξίσωση τοῦ  $\Phi_m$ ;

( 'Απ. Όταν  $\vec{\nabla} \times \vec{B} = 0$  ,  $\nabla^2 \Phi_m = 0$  ) .

**3.10** Ποιές είναι οι διαφορικές εξισώσεις για τα πεδία  $\vec{H}$  και  $\vec{J}$  μέσα σ' έναν άγωγο ;

( 'Απ.  $\nabla^2 \vec{H} = j\omega\mu\sigma\vec{H}$  ,  $\nabla^2 \vec{J} = j\omega\mu\sigma\vec{J}$  )

**3.11** Αν στον κενό χώρο υπάρχει η πυκνότητα ρεύματος :

$$\vec{J} = J_0 \sin \alpha x \hat{x} , \quad \alpha = \text{σταθ.}$$

α. Νά γραφεί η σχετική διαφορική εξίσωση για το διανυσματικό δυναμικό  $\vec{A}$  .

β. Νά υπολογιστεί το διανυσματικό δυναμικό υποθέτοντας ότι δεν υπάρχει εξάρτησή του από τα  $y$  ,  $z$  .

γ. Νά υπολογιστεί το μαγνητικό πεδίο  $\vec{B}$  .

( 'Απ. (α)  $\frac{\partial^2 \vec{A}}{\partial x^2} = -\mu_0 \vec{J}$

(β)  $\vec{A} = \left[ \frac{\mu_0 J_0}{\alpha^2} \sin \alpha x + C_1 x + C_2 \right] \hat{x}$

(γ)  $\vec{B} = 0$  )

**3.12** Δύο άπεραντα και παράλληλα άγωγά επίπεδα βρίσκονται στις θέσεις  $z = 0$  και  $z = a$  . Ανάμεσά τους υπάρχει το έναλλασσόμενο ηλεκτρικό πεδίο

$$\vec{E} = E_0 \sin \frac{\pi z}{a} \hat{x} e^{j\omega t}$$

α. Νά προσδιορίσετε τα μεγέθη  $\vec{\nabla} \cdot \vec{E}$  και  $\vec{\nabla} \times \vec{E}$  σε όλα τα σημεία ανάμεσα στα επίπεδα.

β. Μπορεί το  $\vec{E}$  να εκφραστεί σαν  $\vec{E} = -\vec{\nabla} \phi$  όπου  $\phi$  μονόμετρο δυναμικό ;

γ. Νά προσδιοριστεί το μαγνητικό πεδίο  $\vec{B}$  ανάμεσα στα δύο επίπεδα.

$$(\text{'Απ. } (\alpha) \quad \vec{\nabla} \cdot \vec{E} = 0 \quad , \quad \vec{\nabla} \times \vec{E} = E_0 \frac{\pi}{a} \cos \frac{\pi z}{a} e^{j\omega t} \hat{y}$$

$$(\beta) \quad \text{"Όχι" , γιατί } \vec{\nabla} \times \vec{E} \neq 0$$

$$(\gamma) \quad \vec{B} = \frac{j\pi E_0}{\omega a} \cos \frac{\pi z}{a} e^{j\omega t} \hat{y} \quad )$$

3.13 Έστω ότι υπάρχει στο χώρο ένα ηλεκτρικό πεδίο της μορφής

$$\vec{E}(\vec{r}, t) = \vec{E}_0 e^{j(\omega t - \vec{k} \cdot \vec{r})} \quad (1)$$

όπου  $\vec{k}$  είναι σταθερό πραγματικό διάνυσμα,  $\vec{E}_0 = \vec{E}_0 e^{j\varphi}$  ένας σταθερός phasor και  $\omega$  μία σταθερή κυκλική συχνότητα.

α. Νά αποδειχτεί ότι το πεδίο της (1) αποτελεί ένα επίπεδο κύμα, που διαδίδεται κατά την κατεύθυνση του  $\vec{k}$  με ταχύτητα  $\omega/k$ . (Νά δειχτεί δηλ. ότι οι ίσοφασικές επιφάνειες του κύματος είναι επίπεδα, που η απόστασή τους από την αρχή των αξόνων μεγαλώνει με ρυθμό  $\omega/k$ ).

β. Υποθέτοντας ότι το υλικό, μέσα στο οποίο διαδίδεται το κύμα (1) δεν έχει απώλειες ( $\sigma = 0$ ) και δεν περιέχει πηγές ( $\rho = 0$ ,  $\vec{J}_1 = 0$ ) και ότι η διηλεκτρική σταθερά του και η μαγνητική διαπερατότητα του είναι αντίστοιχα,  $\epsilon$  και  $\mu$ , νά αποδειχτεί ότι το ηλεκτρικό πεδίο  $\vec{E}$  ικανοποιεί την αντίστοιχη διαφορική εξίσωση του ηλεκτρικού πεδίου αρκεί νά είναι  $k = \omega \sqrt{\epsilon \mu}$ .

γ. Κάνοντας χρήση της 3<sup>ης</sup> εξίσωσης του Maxwell νά αποδειχτεί ότι  $\vec{E} \perp \vec{k}$ . (δηλ. νά δειχθεί ότι  $\vec{E} \cdot \vec{k} = 0$ )

δ. Νά προσδιοριστεί ο phasor  $\vec{B}(\vec{r}, t)$  του μαγνητικού πεδίου που συνοδεύει το ηλεκτρικό της (1) και νά αποδειχτεί



ὅτι ἡ τριάδα  $\vec{E}$ ,  $\vec{B}$ ,  $\vec{k}$  ἀποτελεῖ τρισορθογώνιο σύστημα διανυσμάτων.

ε. Νά προσδιοριστοῦν τὰ πραγματικά διανύσματα  $\vec{E}$ ,  $\vec{B}$  καὶ  $\vec{H}$  καὶ νά ἀποδειχτεῖ ὅτι εἶναι  $Z = \frac{E}{H} = \sqrt{\frac{\mu}{\epsilon}}$  (τό  $Z$  εἶναι ἡ λεγόμενη κυματική ἀντίσταση τοῦ μέσου).

**3.14** Μέσα σ' ἓνα ἀγώγιμο μέσο, μέ εἰδική ἀγωγιμότητα  $\sigma$  διαδίδεται ἓνα ἠλεκτρομαγνητικό κύμα, πού ἔχει ἠλεκτρικό πεδίο

$$\vec{E} = E_y \hat{y} = E_0 e^{-\alpha x} e^{j(\omega t - \alpha x)} \hat{y} \quad (1)$$

ὅπου

$$\alpha = \sqrt{\frac{\omega \mu \sigma}{2}} \quad (2)$$

(βλ. θεωρία Κεφ. 3.5.2)

α. Νά προσδιοριστεῖ ἡ μαγνητική διέγερση  $\vec{H}$  πού συνοδεύει τό  $\vec{E}$  τῆς (1).

β. Νά προσδιοριστεῖ ἡ κυματική ἀντίσταση ( $Z_c$ ) τοῦ ἀγώγιμου μέσου, πού ὀρίζεται :

$$Z_c \triangleq \frac{\vec{E}}{\vec{H}} \quad (3)$$

γ. Νά ἀποδειχτεῖ ὅτι τό πραγματικό μέρος τῆς  $Z_c$  ἐκφράζει τήν ἀντίσταση  $R_s$ , πού παρουσιάζει κατὰ μήκος τῆς μιᾶς πλάκας ἀπό τό ἀγώγιμο ὑλικό μέ μήκος  $l$ , πλάτος  $w$  καὶ πάχος  $d$ , ὅπου  $l = w = 1\text{m}$  καὶ  $d = x_0 = \frac{1}{\alpha}$  (δηλ.  $d$  ἴσο μέ τό βάθος διείσδυσης τοῦ ὑλικοῦ). Σημειώνεται ὅτι ἡ  $R_s$  λέγεται καὶ "ἐπιδερμική ἀντίσταση" τοῦ ὑλικοῦ.

(Ἀπ. (α)  $\vec{H} = \frac{\alpha \sqrt{2}}{\omega \mu} E_y e^{-j\frac{\pi}{4}} \hat{z}$

δηλ. ἐμφανίζει διαφορά φάσης  $45^\circ$  ὡς πρὸς τό  $\vec{E}$ .



$$(β) \quad Z_c = \sqrt{\frac{\omega \mu}{2\sigma}} + j \sqrt{\frac{\omega \mu}{2\sigma}} = \sqrt{\frac{\omega \mu}{\sigma}} \angle 45^\circ$$

$$(γ) \quad R_s = \frac{1}{\sigma x_0} = \sqrt{\frac{\omega \mu}{2\sigma}} = \operatorname{Re} Z_c \quad )$$

**3.15** Ένα επίπεδο ηλεκτρομαγνητικό κύμα με συχνότητα 3GHz πέφτει πάνω σ' ένα μεγάλο φύλλο πολυστερύνης που έχει σχετική διηλεκτρική σταθερά  $\epsilon_r = 2,7$ . Πόσο πάχος πρέπει να έχει τό φύλλο ώστε να επιβραδύνει τή φάση του κύματος, που τό διαπερνά, κατά  $180^\circ$  σέ σύγκριση μέ τό μέρος του κύματος, που περνά μέσα από μία μεγάλη τρύπα του διηλεκτρικού φύλλου ;

(Απ.  $d = 77,7 \text{ mm}$ ).

**3.16** Ένα μακρύ πηνίο με ακτίνα σπειρών  $r$  διαρρέεται από σταθερό ρεύμα  $I$ . Μελετώντας ένα κομμάτι του πηνίου, με μήκος  $l$  και αριθμό σπειρών  $N$

α. Να προσδιορίσετε τό διάνυσμα Poynting  $\vec{P}$  πάνω στην κυλινδρική επιφάνεια  $S$ , που μόλις περιβάλλει τό μέρος αυτό του πηνίου, κατά τή διάρκεια τής αποκατάστασης του ρεύματος  $I$ ,

β. Να υπολογίσετε τήν ισχύ  $N$  που εισρέει και αποθηκεύεται στο μέρος αυτό του πηνίου κατά τή διάρκεια τής αποκατάστασης του ρεύματος και

γ. Να υπολογίσετε τήν ενέργεια  $W$  που είναι αποθηκευμένη στο έσωτερικό του μέρους αυτού του πηνίου, όταν πιά έχει αποκατασταθεῖ τό ρεύμα  $I$ .

(Θεωρήστε ὅτι εἶναι  $i$  ἡ στιγμιαία τιμή του ρεύματος και ὅτι εἶναι γνωστός ὁ συντελεστής αὐτεπαγωγῆς του τμήματος αὐτοῦ του πηνίου  $L = \frac{\pi r^2 \mu N^2}{l}$  )

( 'Απ. α.  $\vec{P} = - \frac{\mu N^2 r i}{2 l^2} \frac{\partial i}{\partial t} \hat{\rho}$

β.  $N = \int_S \vec{P} \cdot d\vec{S} = L i \frac{di}{dt}$

γ.  $W = \int_{i=0}^I N dt = \frac{1}{2} L I^2$  )

**3.17** Ένα όμοαξονικό καλώδιο αποτελείται από έναν έσωτερικό κυλινδρικό άγωγό μέ ακτίνα  $a$  καί από έναν έξωτερικό άγωγό κυλινδρο μέ ακτίνα  $b$ . Στήν περίπτωση πού οί άγωγοί είναι τέλει-οι, μπορούν νά μεταφέρουν συνεχή (dc) ίσχύ μέσω έπιφανειακών ρευμάτων πάνω τους, πού ρέουν μέ αντίθετες κατευθύνσεις μέσα στόν έσωτερικό καί στόν έξωτερικό κύλινδρο. "Αν ή τάση στό άκρο του καλωδίου (μεταξύ των δύο κυλίνδρων) είναι  $V$  καί τό όλικό ρεύμα  $I$

α. Χρησιμοποιώντας κυλινδρικές συντεταγμένες  $(\rho, \phi, z)$  καί υποθέτοντας γνωστό ότι στό χώρο ανάμεσα στους κυλινδρικούς άγωγούς είναι :

$$V(\rho) = V \frac{\ln \frac{\rho}{b}}{\ln \frac{a}{b}} \quad \text{καί} \quad \vec{B} = \frac{\mu_0 I}{2\pi\rho} \hat{\phi},$$

νά προσδιορίσετε στό χώρο αυτό τό διάνυσμα Poynting.

β. Πόση ίσχύς  $N$  μεταφέρεται από τό όμοαξονικό καλώδιο ;

( 'Απ. α.  $\vec{P} = - \frac{VI}{2\pi\rho^2 \ln \frac{a}{b}} \hat{z}$

β.  $N = VI$  )

**3.18** Ένα επίπεδο ηλεκτρομαγνητικό κύμα μέ συχνότητα  $100 \text{ MHz}$  έχει μέσο διάνυσμα Poynting μέ μέτρο  $5 \text{ Wm}^{-2}$  καί διαδύδεται μέσα σέ μέσο, πού έχει  $\mu_r = 2$  καί  $\epsilon_r = 2$ . Νά προσδιορίσετε :

- α. Τήν ταχύτητα τοῦ κύματος
- β. Τό μήκος κύματος
- γ. Τήν κυματική αντίσταση τοῦ μέσου
- δ. Τήν ενεργό τιμή  $E_{\text{eff}}$  τοῦ ηλεκτρικοῦ πεδίου  $\vec{E}$  καί
- ε. Τήν ενεργό τιμή  $H_{\text{eff}}$  τῆς μαγνητικῆς διέγερσης  $\vec{H}$ .

- ( 'Απ. α.  $v = 150 \text{ Mm/sec}$   
 β.  $\lambda = 1,5 \text{ m}$   
 γ.  $Z = 377 \Omega$   
 δ.  $E_{\text{eff}} = 43,4 \text{ V/m}$   
 ε.  $H_{\text{eff}} = 115,1 \text{ mA/m}$  )

**3.19** Ἐνα ἐπίπεδο ἠλεκτρομαγνητικό κύμα ἔχει μέγιστο πλάτος ἠλεκτρικοῦ πεδίου  $E_0 = 6 \text{ V/m}$ . Ἄν τό μέσο ὅπου διαδίδεται τό κύμα δέν ἔχει ἀπώλειες καί ἔχει  $\epsilon_r = 3$  καί  $\mu_r = 1$ , νά προσδιοριστοῦν :

- α. Ἡ ταχύτητα τοῦ κύματος
- β. Τό μέγιστο πλάτος τοῦ διανύσματος Poynting.
- γ. Ἡ μέση τιμή τοῦ διανύσματος Poynting
- δ. Ἡ κυματική αντίσταση τοῦ μέσου καί
- ε. Τό μέγιστο πλάτος τῆς μαγνητικῆς διέγερσης  $H_0$ .

- ( 'Απ. α.  $173,2 \cdot 10^6 \text{ m/s}$   
 β.  $165,4 \text{ mW/m}^2$   
 γ.  $82,7 \text{ mW/m}^2$   
 δ.  $217,7 \Omega$   
 ε.  $27,6 \text{ mA/m}$  )

**3.20** Θεωρούμε μία δέσμη επίπεδου κύματος, με εγκάρσια διατομή  $1 \text{ m}^2$ , που διαδίδεται στον αέρα και μεταφέρει όληκη μέση ισχύ  $100 \text{ W}$ .

α. Πόσο είναι τό μέγιστο πλάτος  $E_0, B_0$  του ηλεκτρικού και του μαγνητικού πεδίου αντίστοιχα ;

β. Πόση είναι η μέση πυκνότητα της ηλεκτρομαγνητικής ενέργειας στο χώρο της δέσμης ;

( 'Απ. α.  $E_0 = 274 \text{ V/m}$  ,  $B_0 = 9,16 \cdot 10^{-7} \text{ Wb/m}^2$

β.  $w = 0,33 \cdot 10^{-6} \text{ J/m}^3$  )

**3.21** Η γη δέχεται από τον ήλιο φωτεινή ακτινοβολία με ένταση  $0,14 \text{ Wcm}^{-2}$ .

α. Νά προσδιοριστεί τό μέτρο του διανύσματος Poynting

β. "Αν ο ήλιος υποτεθεί ισότροπη πηγή ακτινοβολίας πόση είναι η συνολική ισχύς που ακτινοβολεί ;

γ. Ποιά είναι η ενεργός τιμή του ηλεκτρικού πεδίου στη γη αν υποθέσουμε ότι όλο τό ηλιακό φως αντιστοιχεί σε μία μόνο συχνότητα ; ( 'Απόσταση Γη - "Ηλιος  $\approx 150 \text{ Gm}$  ) .

( 'Απ. α.  $\bar{P} = 1,4 \text{ kW m}^{-2}$

β.  $N = 3,96 \cdot 10^{26} \text{ W}$

γ.  $E_{\text{eff}} = 726,5 \text{ Vm}^{-1}$  )

**3.22** Ο ήλιος εκπέμπει ραδιοκύματα στην περιοχή των  $3 \text{ GHz}$  που φτάνουν στη Γη με φασματική πυκνότητα έντάσεως  $P_f = 10^{-20} \text{ W/m}^2 \text{ Hz}$ .

α. "Αν η  $P_f$  θεωρηθεί σταθερή σε μία ζώνη εύρους  $\Delta f = 1 \text{ GHz}$ , πόσο είναι τό μέτρο  $\bar{P}$  του μέσου διανύσματος Poynting ;

β. "Αν θεωρηθεί ότι η ισχύς που εκπέμπεται μέσα στη ζώνη  $\Delta f$  έχει μία μόνο συχνότητα, πόση θά είναι η ενεργός

τιμή  $E_{\text{eff}}$  του ηλεκτρικού πεδίου ; (κυματική αντίσταση του κενού και του αέρα  $Z = 120 \pi = 377 \Omega$ )

γ. Πόση μέση ραδιοκυματική ισχύ  $\bar{N}$  εκπέμπει ο ήλιος μέσα στη ζώνη  $\Delta f$ , αν τον θεωρήσουμε ισότροπη πηγή ; (απόσταση Γη - Ήλιος :  $R = 150 \text{ Gm}$ ) (Θέμα Έξετάσεων Οκτωβρίου 1978) .

( 'Απ. α.  $\bar{P} = 10 \text{ pW/m}^2$

β.  $E_{\text{eff}} = 61,4 \mu\text{V/m}$

γ.  $\bar{N} = 2,83 \text{ TW}$  )

**3.23** Σε προηγούμενο πρόβλημα (προβλ. 3.3) αποδείχτηκε ότι το ηλεκτροστατικό πεδίο που δημιουργεί ένα στατικό ηλεκτρικό δίπολο σε κάποια μακρινή (σε σχέση με τις διαστάσεις του) απόσταση  $\vec{r}$ , είναι :

$$\vec{E}_s(\vec{r}) = \frac{p}{4\pi\epsilon r^3} (2\cos\vartheta \cdot \hat{r} + \sin\vartheta \cdot \hat{\vartheta}) \quad (1)$$

Γνωστό είναι, επίσης, ότι το ίδιο δίπολο δεν δημιουργεί μαγνητικό πεδίο, δηλ.

$$\vec{B}_s(\vec{r}) = 0 \quad (2)$$

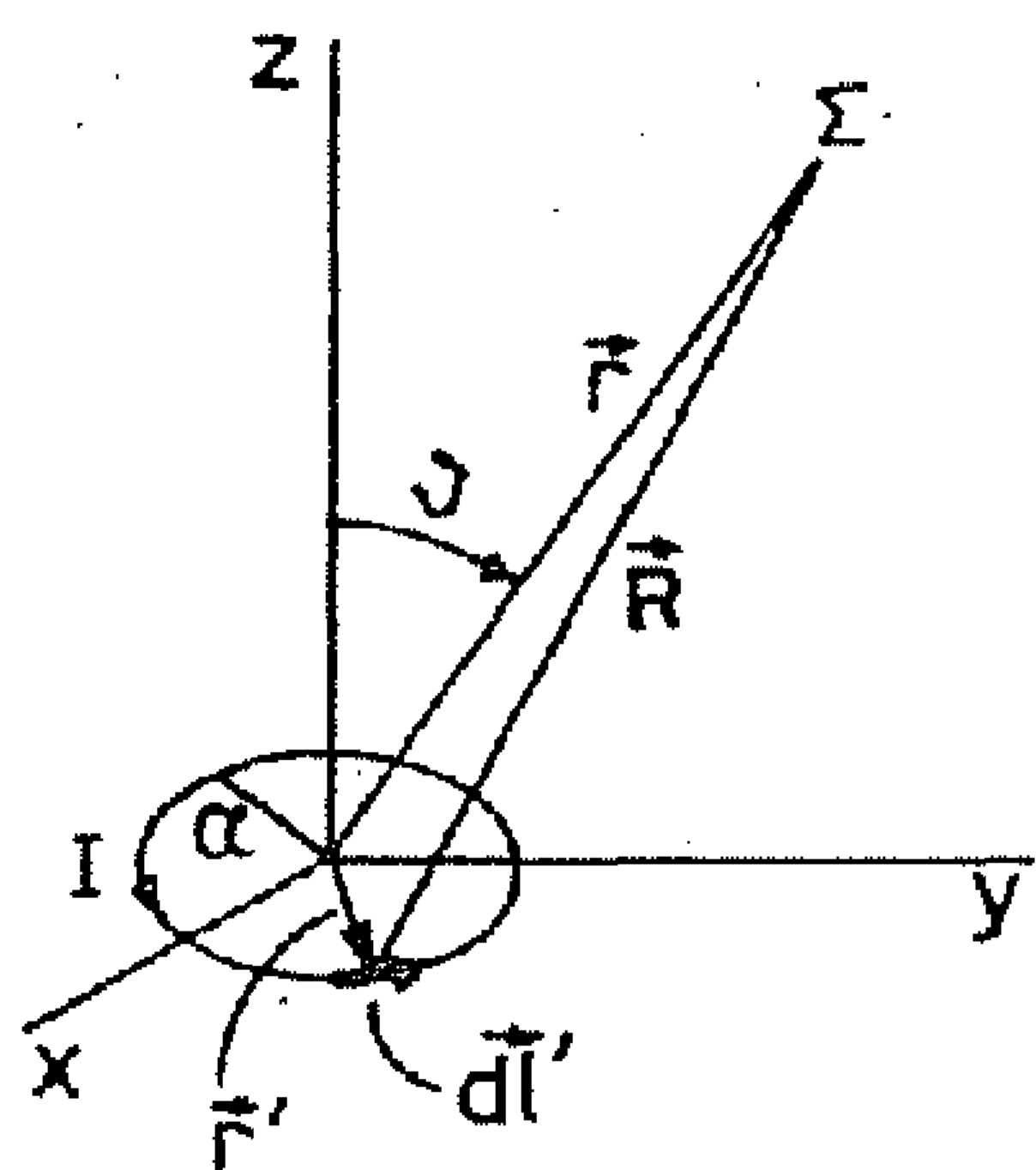
Νά αποδειχτεί ότι οι (1) και (2) μπορούν να προκύψουν από τις εξισώσεις των  $\vec{E}(\vec{r})$  και  $\vec{B}(\vec{r})$  του παλλόμενου ηλεκτρικού διπόλου (σχέσεις 3-178) σαν όριακές περιπτώσεις για  $\omega \rightarrow 0$  (έπομένως και για  $k \rightarrow 0$ ) .

**3.24** Έστω ένα μαγνητικό δίπολο, που έχει σταθερή μαγνητική ροπή  $\vec{m}$ , (στατικό μαγνητικό δίπολο). Νά προσδιοριστούν :

α. Το διανυσματικό δυναμικό  $\vec{A}(\vec{r})$  σε κάποια θέση  $\vec{r}$  μακρινή σε σχέση με τις διαστάσεις του διπόλου (πάρτε ως αρχή

τῶν ἀξόνων τό κέντρο τοῦ διπόλου καί διεύθυνση τῆς  $\vec{m}$  τήν  $\hat{z}$  ) .

β. Τό μαγνητικό πεδίο  $\vec{B}(\vec{r})$  καί ἡ μαγνητική δέγερση  $\vec{H}(\vec{r})$ .



γ. Ἡ ἐξίσωση καί ἡ μορφή τῶν μαγνητικῶν δυναμικῶν γραμμῶν.

δ. Τό μονόμετρο μαγνητικό δυναμικό  $\Phi_m(\vec{r})$  καί

ε. Ἡ ἐξίσωση τῶν ἰσοδυναμικῶν ἐπιφανειῶν.

$$(\text{Ἀπ. α. } \vec{A}(\vec{r}) = \frac{m \sin \theta}{4\pi \mu^{-1} r^2} \hat{\phi} = \frac{\vec{m} \times \vec{r}}{4\pi \mu^{-1} r^3})$$

$$\beta. \vec{B}(\vec{r}) = \frac{m}{4\pi \mu^{-1} r^3} [2 \cos \theta \cdot \hat{r} + \sin \theta \cdot \hat{\theta}]$$

$$\vec{H}(\vec{r}) = \mu^{-1} \vec{B}(\vec{r})$$

$$\gamma. \left. \begin{aligned} r &= K \sin^2 \theta \\ \phi &= C \end{aligned} \right\} \quad K, C = \text{σταθερές}$$

δηλ. ἡ μορφή τῶν δυναμικῶν γραμμῶν τοῦ στατικού ἡλεκτρικοῦ διπόλου (βλ. πρόβλ. 3 ).

$$\delta. \Phi_m = \frac{m \cos \theta}{4\pi \mu^{-1} r^2} = \frac{\vec{m} \cdot \vec{r}}{4\pi \mu^{-1} r^3}$$

$$\epsilon. \text{ ἰσοδυναμικῆς τοῦ } A : \quad r^2 = C_1 \sin \theta$$

$$\text{ἰσοδυναμικῆς τοῦ } \Phi_m : \quad r^2 = C_2 \cos \theta \quad )$$

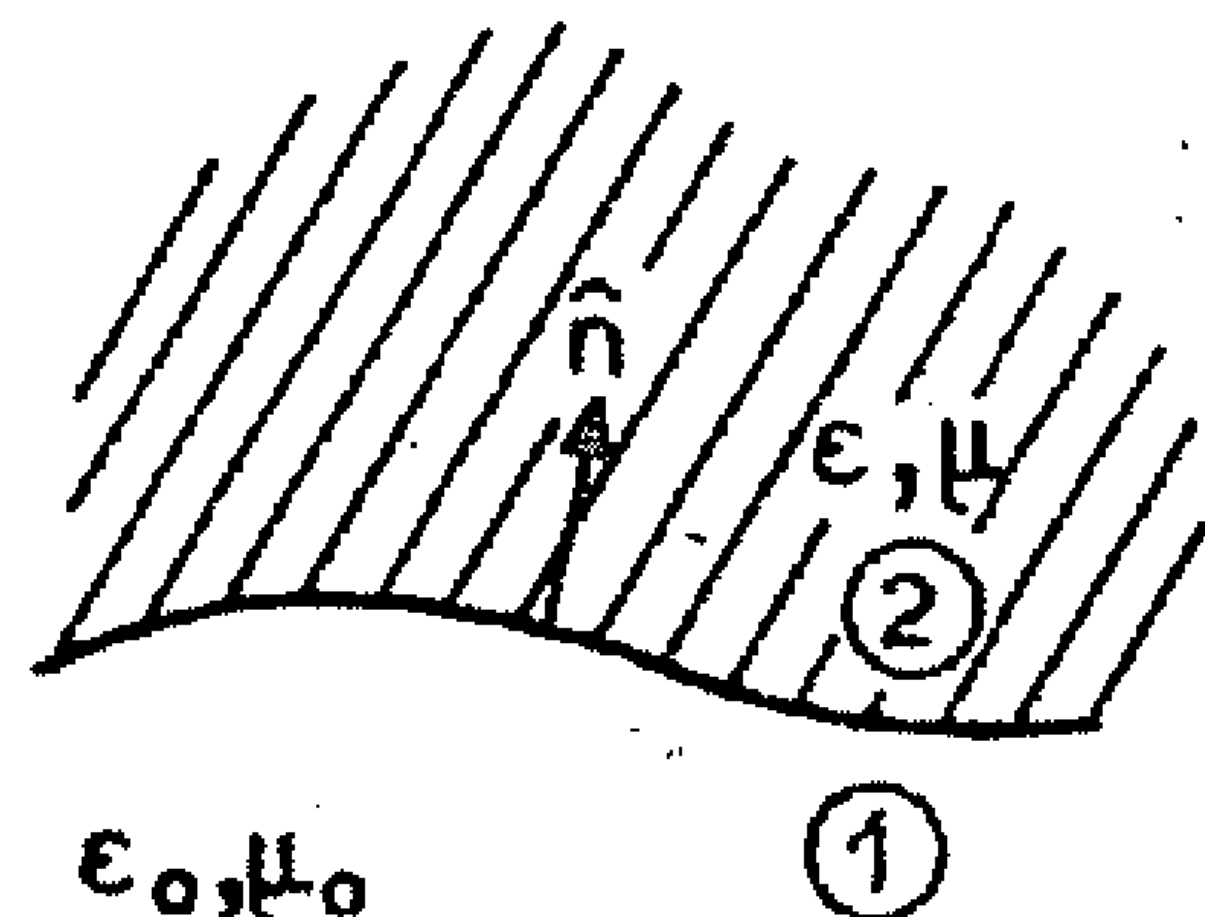
**3.25** Μιά πολύ μικρή ἀντίσταση  $R$ , μέ κυλινδρική μορφή, ἔχει ἀπώλειες Joule ( $N_J$ ) ἀλλά ταυτόχρονα ἀκτινοβολεῖ καί σάν στοιχειώδες ἡλεκτρικό δύπολο ( $N_{\text{rad}}$ ). Ἡ  $R$  βρύσκεται στόν ἐλεύθερο χῶρο καί τροφοδοτεῖται μέ συχνότητα  $f = 10^8 \text{ Hz}$ . Ἄν τό μήκος τῆς ἐλ-  
 ναι  $l = 1 \text{ cm}$  καί ἡ διατομή τῆς  $S = 1 \text{ mm}^2$ , νά προσδιοριστεῖ ὁ λό-  
 γος  $N_{\text{rad}}/N_J$  α) ἄν ἡ εἰδική ἀγωγιμότητα τοῦ ὕλικου τῆς  $R$  εἶναι

$$\sigma = 10^7 \text{ mhos/m και } \beta) \text{ αν } \sigma = 10^{-3} \text{ mhos/m (Απ.α) } 8,8 \beta) 8,8 \cdot 10^{10}$$

## ΚΕΦΑΛΑΙΟ 4

4.1 Νά θεωρήσετε την όριακή επιφάνεια μεταξύ ενός αφόρτιστου διηλεκτρικού και του κενού (βλ. σχήμα )

α. "Αν  $\vec{E}_1$  και  $\vec{E}_2$  είναι τό ηλεκτρικό πεδίο στη μία και στην άλλη πλευρά της όριακής επιφάνειας και  $\vec{P}_2$  η ηλεκτρική πόλωση του διηλεκτρικού, νά αποδείξετε ότι



$$\hat{n} \cdot (\vec{E}_1 - \vec{E}_2) = \hat{n} \cdot \frac{\vec{P}_2}{\epsilon_0} \quad (1)$$

β. "Αν  $\vec{H}_1$  και  $\vec{H}_2$  είναι η μαγνητική διέγερση στη μία και στην άλλη πλευρά της όριακής επιφάνειας και  $\vec{M}_2$  η μαγνητική πόλωση του υλικού (2) νά αποδείξετε ότι :

$$\hat{n} \cdot (\vec{H}_1 - \vec{H}_2) = \hat{n} \cdot \vec{M}_2 \quad (2)$$

γ. Τί συμπεράσματα βγάξετε από τά αποτελέσματα (1) και (2);

Λ ύ σ η

$$\alpha. \text{ Είναι: } \vec{P}_2 = \vec{D}_2 - \epsilon_0 \vec{E}_2 \quad (3)$$

από όπου έχουμε:

$$\vec{E}_2 = \frac{\vec{D}_2 - \vec{P}_2}{\epsilon_0} \quad (4)$$

$$\text{'Εξάλλου είναι: } \vec{E}_1 = \frac{\vec{D}_1}{\epsilon_0} \quad (5)$$

'Από τίς (4) και (5) προκύπτει:

$$\hat{n} \cdot (\vec{E}_1 - \vec{E}_2) = -\hat{n} \cdot \frac{\vec{D}_2 - \vec{P}_2}{\epsilon_0} + \hat{n} \cdot \frac{\vec{D}_1}{\epsilon_0} = \frac{1}{\epsilon_0} \hat{n} \cdot (\vec{D}_2 - \vec{D}_1) + \hat{n} \cdot \frac{\vec{P}_2}{\epsilon_0} \quad (6)$$

Αλλά ισχύει η όριακή συνθήκη :

$$\hat{n} \cdot (\vec{D}_2 - \vec{D}_1) = \rho_s \quad (7)$$

όπου  $\rho_s$  η επιφανειακή πυκνότητα φορτίου (έδω  $\rho_s = 0$ ) .

Άρα :

$$\hat{n} \cdot (\vec{E}_1 - \vec{E}_2) = \hat{n} \cdot \frac{\vec{P}_2}{\epsilon_0} \quad (8)$$

β. Από τις γνωστές σχέσεις :

$$\vec{H}_2 = \mu_0^{-1} \vec{B}_2 - \vec{M}_2 \quad (9)$$

$$\vec{H}_1 = \mu_0^{-1} \vec{B}_1 \quad (10)$$

έχουμε :

$$\begin{aligned} \hat{n} \cdot (\vec{H}_1 - \vec{H}_2) &= \hat{n} \cdot (\mu_0^{-1} \vec{B}_1 - \mu_0^{-1} \vec{B}_2 + \vec{M}_2) = \\ &= \mu_0^{-1} (\vec{B}_1 - \vec{B}_2) \cdot \hat{n} + \hat{n} \cdot \vec{M}_2 \end{aligned} \quad (11)$$

Αλλά ισχύει η όριακή συνθήκη :

$$\hat{n} \cdot (\vec{B}_2 - \vec{B}_1) = 0 \quad (12)$$

Άρα :

$$\hat{n} \cdot (\vec{H}_1 - \vec{H}_2) = \hat{n} \cdot \vec{M}_2 \quad (13)$$

γ. Η (1) εκφράζει ότι η ασυνέχεια, που εμφανίζεται στην κάθετη συνιστώσα του ηλεκτρικού πεδίου  $\vec{E}$  οφείλεται στην ηλεκτρική πόλωση του διηλεκτρικού.

Η (2) εκφράζει ότι η ασυνέχεια, που εμφανίζεται στην κάθετη συνιστώσα της μαγνητικής δέγερσης  $\vec{H}$ , οφείλεται στη μαγνητική πόλωση του διηλεκτρικού.

Επομένως, αν οι αντίστοιχες πολώσεις είναι μηδέν δεν υπάρχει ασυνέχεια .



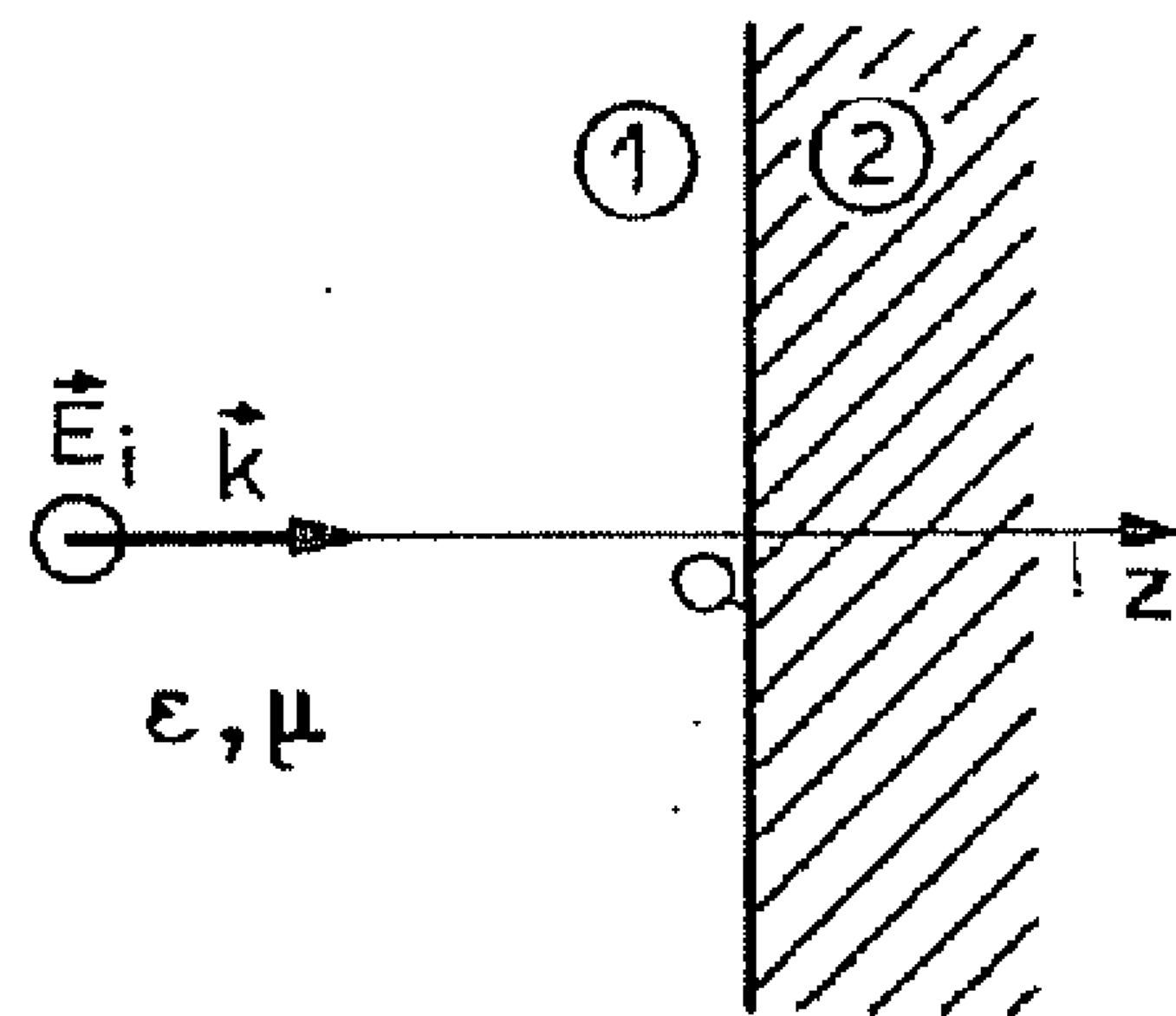
#### 4.2 Έστω τό επίπεδο κύμα

$$\vec{E}_i = E_0 \hat{x} e^{-jkz} \quad (1)$$

πού προσπίπτει κάθετα πάνω σέ μία τέλεια αγωγική επιφάνεια ( $z=0$  βλ. σχήμα).

α. Νά προσδιορίσετε τό μαγνητικό πεδίο  $\vec{B}_i$  τοῦ κύματος (1).

β. Ἐφαρμόζοντας τήν κατάλληλη συνθήκη στήν επιφάνεια  $z = 0$ , νά προσδιορίσετε τό ἀνακλώμενο ἠλεκτρομαγνητικό κύμα ( $\vec{E}_r$ ,  $\vec{B}_r$ ).



γ. Νά προσδιορίσετε τήν επιφανειακή πυκνότητα ρεύματος  $\vec{J}_s$  πού ἐπάγεται πάνω στήν ἐντελῶς αγωγική επιφάνεια.

δ. Νά προσδιορίσετε τά μεγαδικά διανύσματα Poynting  $\vec{P}_i$  καί  $\vec{P}_r$  καί τίς ἀντίστοιχες τιμές τῆς μέσης ἀκτινοβολούμενης ἰσχύος ἀνά μονάδα επιφάνειας.

ε. Νά ἀποδείξετε ὅτι στό χῶρο (1) θά ἀποκατασταθεῖ ἓνα στάσιμο κύμα καί νά προσδιορίσετε τά χαρακτηριστικά του (πλάτος, θέσεις μεγίστων-ἐλαχίστων).

#### Λύση

α. Ἀπό τήν 2<sup>η</sup> ἐξίσωση τοῦ Maxwell ἔχουμε :

$$\vec{\nabla} \times \vec{E}_i = -j\omega \vec{B}_i \quad (2)$$

$$\begin{aligned} \vec{B}_i &= \frac{j}{\omega} \vec{\nabla} \times \vec{E}_i = \frac{j}{\omega} \begin{vmatrix} \hat{x} & \hat{y} & \hat{z} \\ \frac{\partial}{\partial x} & \frac{\partial}{\partial y} & \frac{\partial}{\partial z} \\ E_0 e^{-jkz} & 0 & 0 \end{vmatrix} = \frac{j}{\omega} [-\hat{y}(jkE_0 e^{-jkz})] = \\ &= \frac{k}{\omega} E_0 e^{-jkz} \hat{y} = \frac{1}{v} E_0 e^{-jkz} \hat{y} = \sqrt{\epsilon\mu} E_0 e^{-jkz} \hat{y} \end{aligned}$$

Ωστε :

$$\boxed{\vec{B}_i = \sqrt{\epsilon\mu} E_0 \hat{y} e^{-jkz}} \quad (3)$$

β. Οι όριακές συνθήκες για το  $\vec{E}$  πάνω στην επιφάνεια είναι:

$$\hat{z} \cdot (\vec{D}_2 - \vec{D}_1) = \rho_s \quad (4)$$

$$\hat{n} \cdot (\epsilon_2 \vec{E}_2 - \epsilon_1 \vec{E}_1) = \rho_s \quad (5)$$

$$\text{και} \quad \vec{E}_{2t} - \vec{E}_{1t} = 0 \quad (6)$$

Επειδή στο μέσο (2) είναι  $\vec{E}_2 = 0$  και επομένως  $\vec{E}_{2t} = 0$  και επειδή είναι και  $\rho_s = 0$ , οι (5) και (6) γίνονται:

$$\vec{E}_1 \Big|_{z=0} = 0 \quad (7)$$

Αλλά στο χώρο (1) είναι:

$$\vec{E}_1 = \vec{E}_i + \vec{E}_r \quad (8)$$

Από τις (7) και (8), για  $z = 0$ , έχουμε :

$$0 = \vec{E}_i(0) + \vec{E}_r(0) \quad (9)$$

και από την (1) προκύπτει:

$$\vec{E}_r(0) = -\vec{E}_i(0) = -E_0 \hat{x} \quad (10)$$

Τό  $\vec{E}_r$  είναι επίπεδο κύμα, που διαδίδεται κατά τη διεύθυνση  $-\hat{z}$  και είναι πολωμένο κατά τη διεύθυνση  $\hat{x}$

$$\vec{E}_r = E_{or} e^{jkz} \hat{x} \quad (11)$$

Από τις (10), (11) προκύπτει:

$$E_{or} = -E_0 = E_0 e^{j\pi} \quad (12)$$

Ωστε :

$$\boxed{\vec{E}_r = -E_0 \hat{x} e^{jkz} = E_0 \hat{x} e^{j(kz+\pi)}} \quad (13)$$

και

$$\vec{E}_1 = E_0 e^{-jkz} \hat{x} - E_0 e^{jkz} \hat{x} \quad (14)$$

Προκειμένου για το μαγνητικό πεδίο έχουμε :

$$\vec{B}_r = \frac{j}{\omega} \begin{vmatrix} \hat{x} & \hat{y} & \hat{z} \\ \frac{\partial}{\partial x} & \frac{\partial}{\partial y} & \frac{\partial}{\partial z} \\ -E_0 e^{jkz} & 0 & 0 \end{vmatrix} = \frac{j}{\omega} [-\hat{y} (jk E_0 e^{jkz})] = \frac{k}{\omega} E_0 e^{jkz} \hat{y} =$$

$$= \frac{1}{v} E_0 e^{jkz} \hat{y} = \sqrt{\epsilon \mu} E_0 \hat{y} e^{jkz}$$

Όστε

$$\boxed{\vec{B}_r = \sqrt{\epsilon \mu} E_0 \hat{y} e^{jkz}} \quad (15)$$

παρατηρούμε ότι ενώ το  $\vec{E}$  κατά την ανάκλαση αλλάζει κατά  $180^\circ$  τη φάση του το  $\vec{B}$  δεν παθαίνει καμιά αλλαγή φάσης.

γ. Η όριακή συνθήκη για την εφαπτομενική συνιστώσα της μαγνητικής διέγερσης  $\vec{H}$ , πάνω στην επιφάνεια  $z = 0$ , είναι:

$$\hat{z} \times (\vec{H}_2 - \vec{H}_1) = \vec{J}_s \quad (16)$$

$$\text{'Αλλά είναι: } \vec{H}_2 = 0 \quad (17)$$

$$\text{'Όστε: } \vec{H}_1 \times \hat{z} \Big|_{z=0} = \vec{J}_s \quad (18)$$

$$\text{'Αλλά } \vec{H}_1 \Big|_{z=0} = \vec{H}_i + \vec{H}_r \Big|_{z=0} = \frac{\vec{B}_i + \vec{B}_r}{\mu} \Big|_{z=0} \quad (19)$$

Από τις (3), (15), (18) και (19) έχουμε :

$$\vec{J}_s = \left[ \frac{\sqrt{\epsilon \mu} E_0 \hat{y} (e^{-jkz} + e^{jkz})}{\mu} \right]_{z=0} \times \hat{z} = \left[ \sqrt{\frac{\epsilon}{\mu}} E_0 \hat{y} \right] \times \hat{z} =$$

$$= \sqrt{\frac{\epsilon}{\mu}} E_0 (\hat{y} \times \hat{z}) = \sqrt{\frac{\epsilon}{\mu}} E_0 \hat{x}$$

$$\text{'Όστε: } \vec{J}_s = \sqrt{\frac{\epsilon}{\mu}} E_0 \hat{x} = \frac{E_0}{Z} \hat{x} \quad (20)$$

$$\text{'Όπου: } Z = \sqrt{\frac{\mu}{\epsilon}} \quad (21)$$

ή κυματική αντίσταση του μέσου  $(\epsilon, \mu)$ .

Δηλαδή η πραγματική πυκνότητα ρεύματος είναι:

$$\vec{J}_s = \frac{E_0}{Z} \cos \omega t \hat{x} \quad (22)$$

καί ἔχει τή διεύθυνση τῆς πόλωσης ( $\hat{x}$ ) τοῦ ἠλεκτρικοῦ πεδίου.

δ. Τό  $\vec{P}$  γενικά ὀρίζεται :

$$\vec{P} = \vec{E} \times \vec{H}^* = \frac{1}{\mu} \vec{E} \times \vec{B}^* \quad (23)$$

Ἀπό τίς (1) καί (3) προκύπτει :

$$\vec{P}_i = \frac{1}{\mu} \sqrt{\epsilon \mu} E_0^2 \hat{x} \times \hat{y} = \sqrt{\frac{\epsilon}{\mu}} E_0^2 \hat{z} \quad (24)$$

Ἀντίστοιχα, ἀπό τίς (13) καί (15) προκύπτει :

$$\vec{P}_r = -\frac{1}{\mu} \sqrt{\epsilon \mu} E_0^2 \hat{x} \times \hat{y} = -\sqrt{\frac{\epsilon}{\mu}} E_0^2 \hat{z} \quad (25)$$

$$\text{Ὡστε} \quad \vec{P}_r = -\vec{P}_i \quad (26)$$

Οἱ ζητούμενες τιμές ἰσχύος εἶναι , ἀντίστοιχα , :

$$\bar{P}_i = |\vec{P}_i| = \left| \frac{1}{2} \operatorname{Re} \vec{P}_i \right| = \frac{1}{2} \sqrt{\frac{\epsilon}{\mu}} E_0^2 \quad (27)$$

$$\bar{P}_r = |\vec{P}_r| = \left| \frac{1}{2} \operatorname{Re} \vec{P}_r \right| = \frac{1}{2} \sqrt{\frac{\epsilon}{\mu}} E_0^2 \quad (28)$$

Δηλαδή κατὰ τήν κάθετη πρόσπτωση ἐπίπεδου ΗΜ κύματος πάνω σέ ἐντελῶς ἀγωγίμη ἐπίπεδη ἐπιφάνεια, ὅση ἰσχύς προσπίπτει τόση καί ἀνακλᾶται χωρίς καμιά ἀπώλεια .

ε. Σέ κάθε σημείο μπροστά ἀπὸ τήν ἀγωγίμη ἐπιφάνεια  $z = 0$  δέν ἔχουμε σ υ ν ο λ ι κ ᾶ συνεχή ροή ἰσχύος οὔτε πρὸς τήν  $\hat{z}$  οὔτε πρὸς τήν  $-\hat{z}$  διεύθυνση, πράγμα πού σημαίνει ὅτι δέν ἔχουμε συνολικό τρέχον κύμα. Πράγματι, αὐτό προκύπτει καί ἀπό τή (14) :

$$\vec{E}_1 = E_0 \hat{x} (e^{-jkz} - e^{jkz}) = -2j E_0 \sin kz \cdot \hat{x} \quad (29)$$

άπό όπου προκύπτει ότι τό πραγματικό πεδίο  $\vec{E}_1$  είναι

$$\vec{E}_1 = \text{Re}(\vec{E}_1 e^{j\omega t}) = 2E_0 \hat{x} \sin kz \cos(\omega t - \frac{\pi}{2}) \quad (30)$$

Η (30) παριστάνει σ τ ά σ ι μ ο κ ύ μ α μέ πλάτος  $2E_0 \sin kz$ , πού αύξομειώνεται ήμειτονικά πάνω στόν άξονα τών  $z$ , μεταξύ τής τιμής 0, πού παίρνει στά σημεία όπου

$$k|z| = m\pi \quad (31)$$

$$\text{ή} \quad |z| = m \frac{\lambda}{2} \quad (m=0,1,2,\dots) \quad (32)$$

καί τής τιμής  $2E_0$ , πού παίρνει στά σημεία όπου :

$$k|z| = n \frac{\pi}{2} \quad (n=1,3,5,\dots) \quad (33)$$

$$\text{ή} \quad |z| = n \frac{\lambda}{4} \quad (n=1,3,5,\dots) \quad (34)$$

**Π α ρ α τ ή ρ η σ η :** Στις ύψηλές συχνότητες κι ένας πραγματικός άγωγός συμπεριφέρεται περίπου σάν τέλειος άγωγός. Τότε τό επιφανειακό ρεύμα  $\vec{J}_s$ , στην πράξη, περνά από ένα λεπτό στρώμα μέ πάχος  $x_0$  ίσο μέ τό βάθος διείσδυσης, ή αντίσταση του οποίου προκαλεί απώλεια ισχύος (βλ. παρακάτω πρόβλημα 4-4).

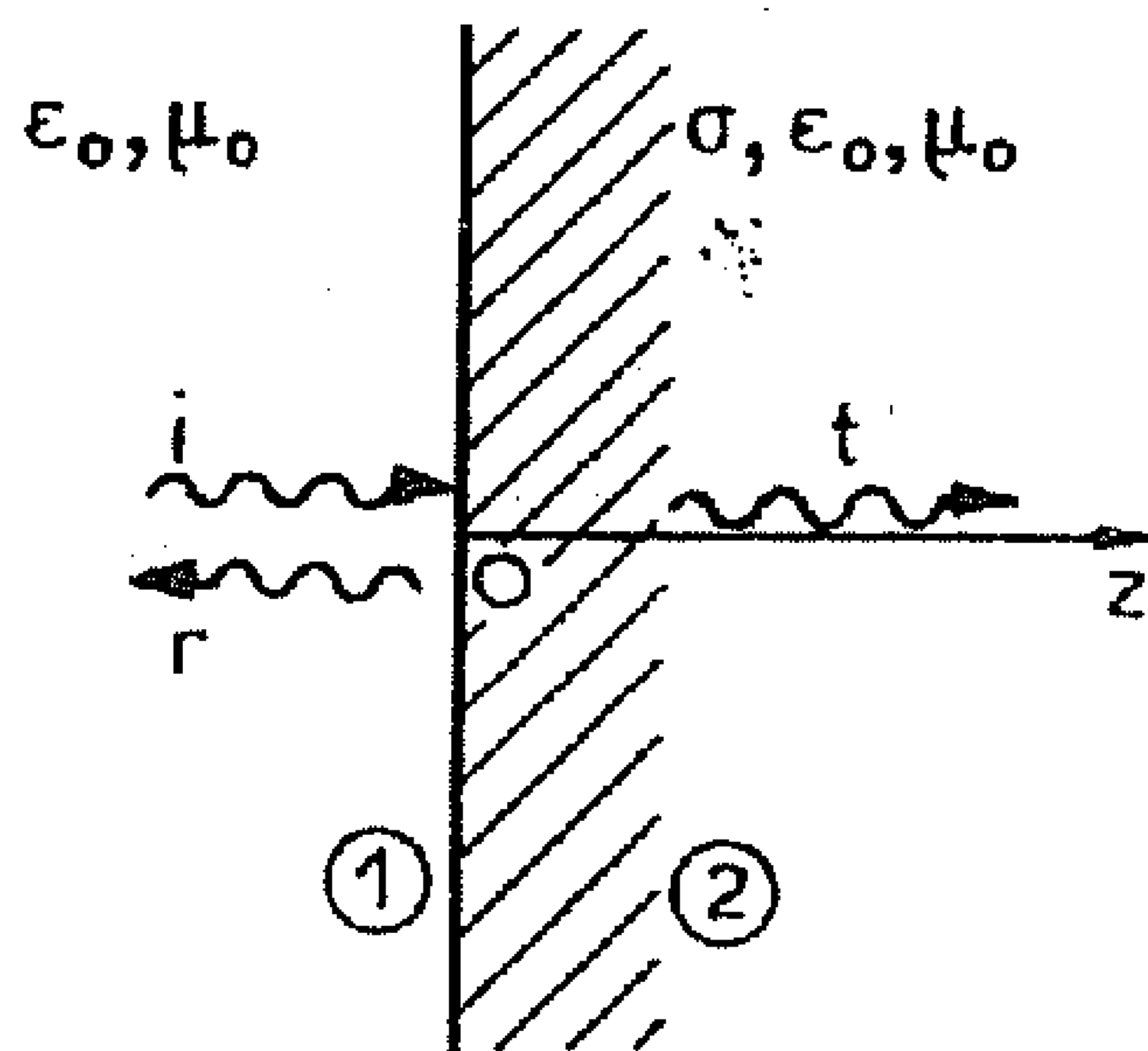
#### 4.3 Μελέτη κάθετης πρόσπτωσης κύματος σέ επίπεδη επιφάνεια πραγματικού άγωγού (μέ απώλειες).

Έστω τό επίπεδο κύμα

$$\vec{E}_i = E_{i0} e^{-jk_0 z} \hat{x} \quad (1)$$

πού πέφτει κάθετα στην επίπεδη επιφάνεια  $z = 0$  (βλ. σχήμα) ενός πραγματικού άγωγού. Ένα μέρος από τό κύμα αυτό περνά μέσα στόν άγωγό :

$$\vec{E}_t = E_{t0} e^{-\gamma z} \hat{x} \quad (2)$$



όπου :

$$\gamma = \sqrt{j\omega\mu_0\sigma} = \sqrt{\frac{\omega\mu_0\sigma}{2}} + j\sqrt{\frac{\omega\mu_0\sigma}{2}}$$

ή σταθερά μεταδόσεως μέσα στον άγωγό, ενώ ένα άλλο μέρος του ανάκλāται και επιστρέφει μέσα στο ύλικο (1) :

$$\vec{E}_r = E_{r0} e^{jk_0 z} \hat{x} \quad (3)$$

α. "Αν  $Z_0$  και  $Z_c$  είναι οι κυματικές αντίστάσεις του ύλικου (1) και του ύλικου (2) (βλ. προβλ. 3.14) να προσδιοριστούν τά πεδία  $\vec{H}_i$ ,  $\vec{H}_t$  και  $\vec{H}_r$  που αντιστοιχοῦν στά πεδία των (1), (2) και (3).

β. Εφαρμόζοντας τις κατάλληλες όριακές συνθήκες να αποδειχτεί ότι ο " συντελεστής ανάκλάσεως "  $\rho$  που ορίζεται από τή σχέση  $E_{r0} = \rho E_{i0}$ , και ο " συντελεστής μεταδόσεως "  $\tau$ , που ορίζεται από τή σχέση  $E_{t0} = \tau E_{i0}$  μπορούν να προσδιοριστούν από τις σχέσεις :

$$\rho = \frac{Z_c - Z_0}{Z_c + Z_0} \quad \tau = \frac{2Z_c}{Z_c + Z_0} \quad (4)$$

γ. Να αποδειχτεί ότι τό μέσο διάνυσμα Poynting ( $\vec{P}_t$ ) μόλις μέσα στην άγωγίμη έπιφάνεια  $z = 0$ , του οποίου τό μέτρο έκφράζει τήν ίσχύ ανά μονάδα, έπιφάνειας, που είσχωρεῖ και χάνεται μέσα στον άγωγό είναι :

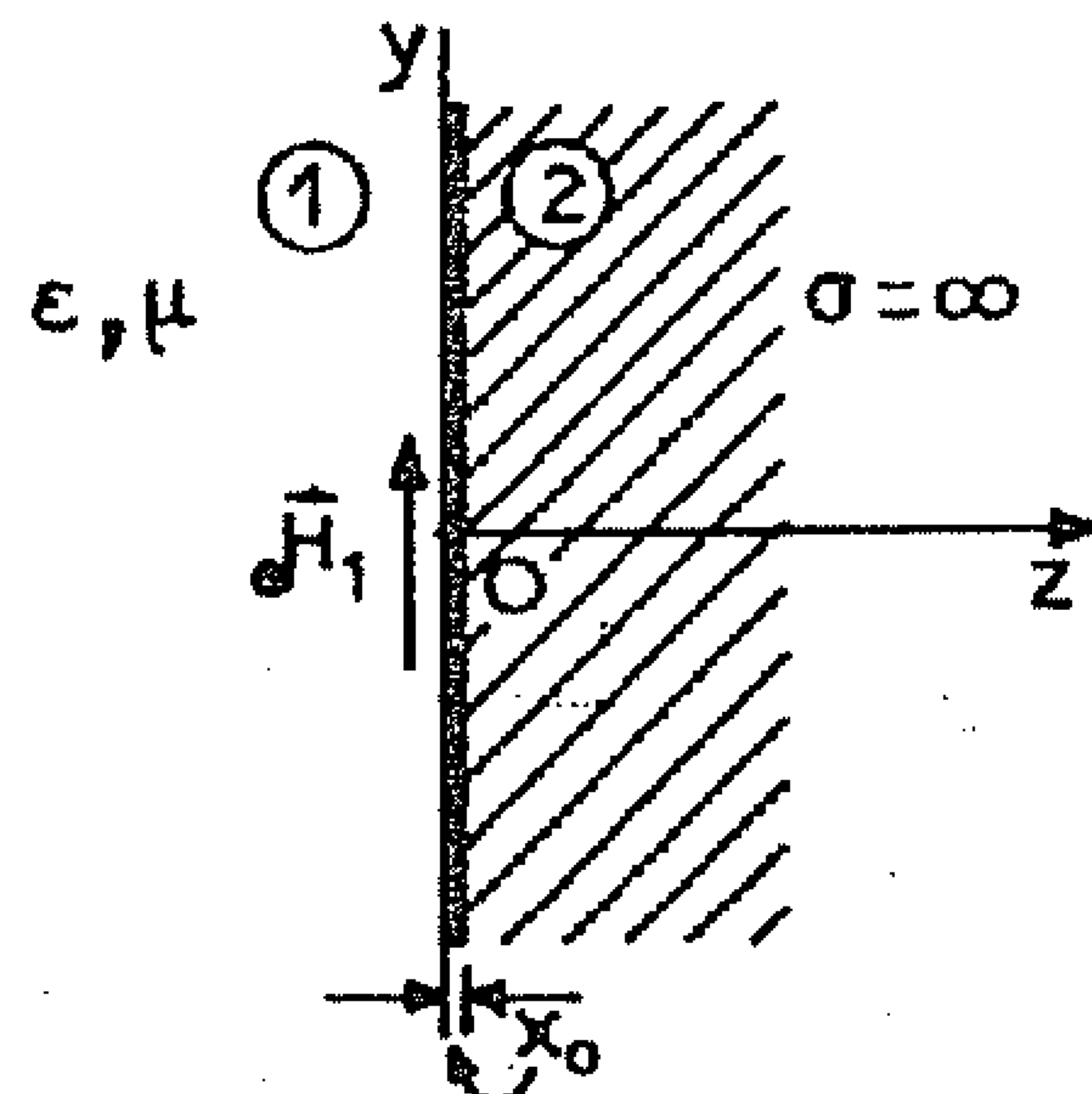
$$\vec{P}_t = \frac{1}{2} |\tau E_{i0}|^2 \text{Re} \left( \frac{1}{Z_c} \right) \hat{z} = \frac{1}{2} |H_{10}|^2 \text{Re} Z_c \hat{z} \quad (5)$$

όπου  $H_{10} = H_{i0} + H_{r0} = H_{t0}$  είναι ο phasor του συνολικού πεδίου  $\vec{H}_1$  μέσα στο ύλικο (1) και μπροστά ακριβώς στην έπιφάνεια του άγωγοῦ και ο όποιος στην πράξη (για  $\sigma \gg \omega\epsilon$ ) μπορεί να ληφθεῖ  $H_{10} = 2H_{i0}$ .

4.4 Έστω ότι μπροστά στην επίπεδη επιφάνεια ( $z=0$ ) ενός πραγματικού αγωγού (βλ. σχ. 1) υπάρχει το επαπτομενικό πεδίο

$$\vec{H}_1 = \text{Re}(\vec{H}_{10} e^{j\omega t}) \hat{y} \quad (1)$$

Αν η συχνότητα είναι υψηλή μπορεί κανένας να θεωρήσει ότι η επίδραση του πεδίου μέσα στον αγωγό εκτείνεται μόνο σε ένα λεπτό επιφανειακό στρώμα με πάχος ίσο με το βάθος διείσδυσης  $x_0$  και ότι ο υπόλοιπος αγωγός συμπεριφέρεται σαν τέλειος αγωγός. Ωστε μέσα από το επιφανειακό αυτό στρώμα περνά το επαγόμενο ρεύμα με επιφανειακή πυκνότητα  $\vec{J}_S$ .

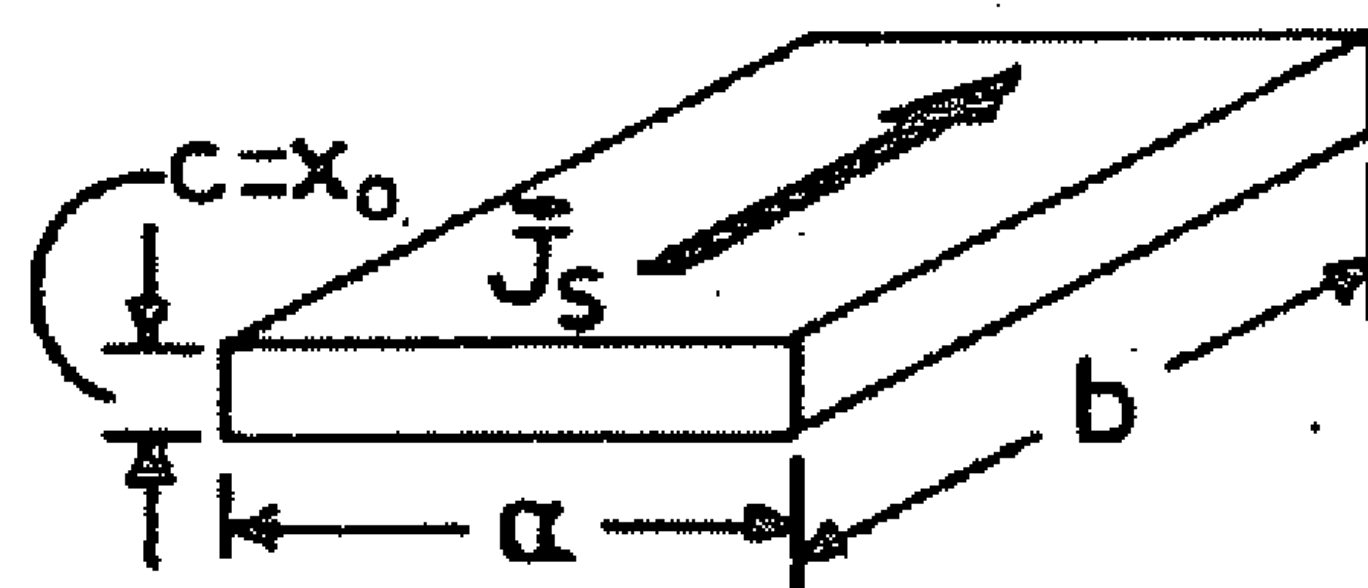


Σχ. 1

α. Με την παραπάνω θεώρηση να αποδειχτεί ότι η όριακή συνθήκη της μαγνητικής διέγερσης παίρνει τη μορφή :

$$\vec{\mathcal{G}}_{S0} = -\hat{z} \times \vec{H}_{10} = \mathcal{H}_{10} \hat{x} \quad (2)$$

β. Θεωρώντας μία επιφανειακή πλάκα του αγωγίμου υλικού (βλ. σχ. 2) διαστάσεων  $a \times b \times c$  (όπου  $c=x_0$ ) να αποδειχτεί ότι η απώλεια ισχύος ανά μονάδα επιφάνειας του αγωγού μπορεί να υπολογιστεί με τη σχέση :



Σχ. 2

$$\bar{P} = \frac{1}{2} |\mathcal{H}_{10}|^2 R_S = \frac{1}{2} |\mathcal{H}_{10}|^2 \text{Re} Z_c \quad (3)$$

όπου  $R_S$  η επιδερμική αντίσταση και  $Z_c$  η αμιγής αντίσταση του αγωγίμου υλικού (βλ. προβλ. 3.14)

γ. Να παραβληθεί η (3) με την (5) του προβλ. 4.3 .

4.5 Έστω ένας αγωγικός ημιχώρος  $x < 0$  (βλ. σχήμα), μέσα στον οποίο υπάρχει ένα εναλλασσόμενο ρεύμα αγωγής που έχει πυκνότητα :

$$\vec{J} = J_0 \hat{x} e^{j(\omega t + \varphi)} \quad (1)$$

και σταματά στην επιφάνεια  $x = 0$ . Να προσδιοριστεί η ένταση  $\vec{E}$  του ηλεκτρικού πεδίου στον ημιχώρο  $x > 0$  με δύο τρόπους.

Δηλαδή:

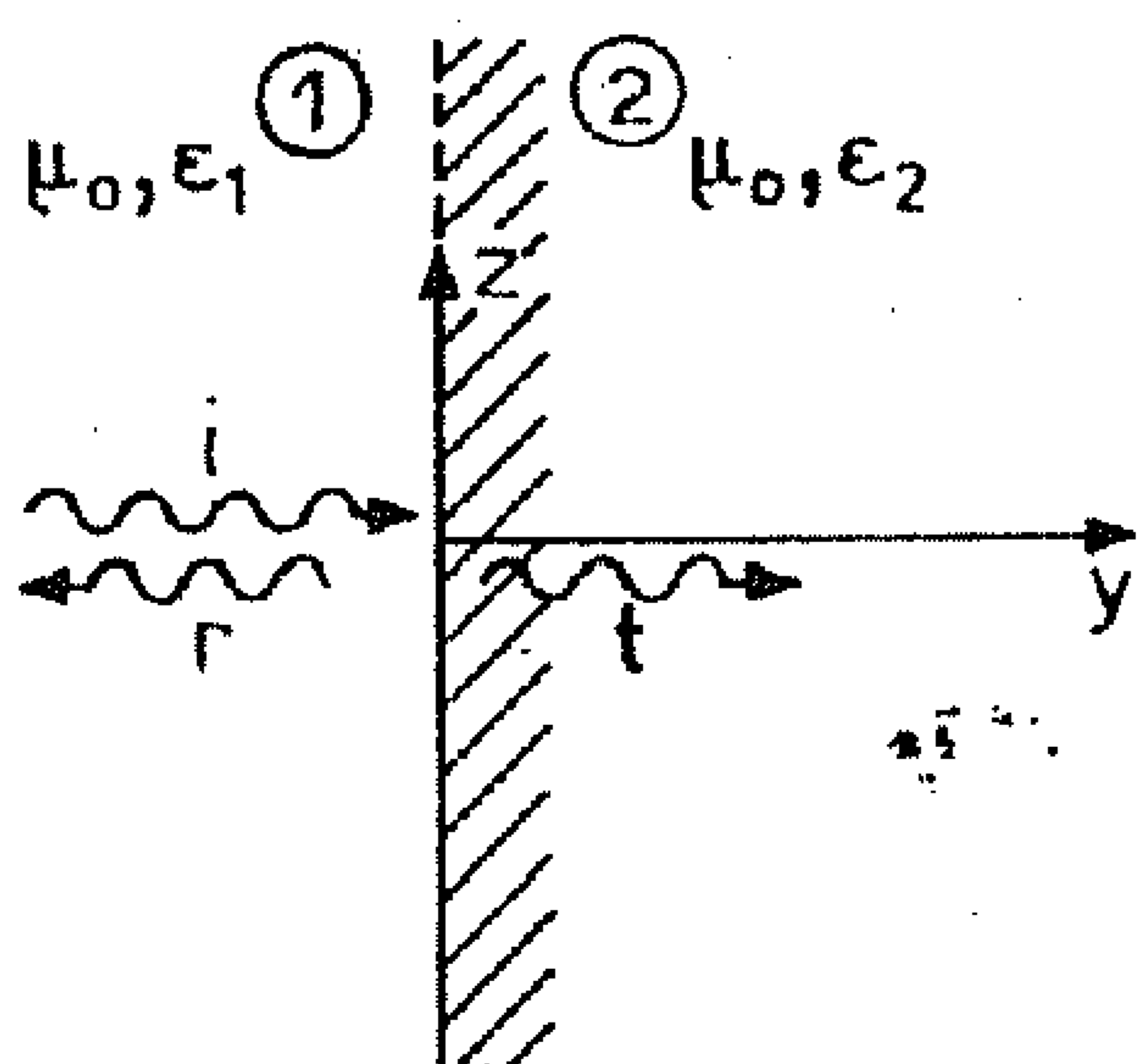
α. Προσδιορίζοντας πρώτα, από την εξίσωση της συνέχειας και το νόμο του Gauss την επιφανειακή πυκνότητα φορτίου  $\rho_s$  πάνω στην επιφάνεια  $x = 0$  και εφαρμόζοντας την

κατάλληλη οριακή συνθήκη και

β. Εξισώνοντας το ρεύμα αγωγής του ημιχώρου  $x < 0$  με το ρεύμα μετατόπισης του ημιχώρου  $x > 0$ .

(Απ. α και β : 
$$\vec{E} = \frac{J_0 \hat{x}}{\omega \epsilon_0} \cos\left(\omega t - \frac{\pi}{2} + \varphi\right)$$
)

4.6 Το επίπεδο  $xz$  είναι η διαχωριστική επιφάνεια δύο τέλειων διηλεκτρικών υλικών με μαγνητική διαπερατότητα  $\mu_0$  και διηλεκτρικές σταθερές  $\epsilon_1, \epsilon_2$ , αντίστοιχα (βλ. σχήμα).



Πάνω στην οριακή επιφάνεια πέφτει κάθετα από την πλευρά του υλικού (1) τό κύμα :

$$\vec{E}_i(y, t) = E_{i0} \hat{x} e^{j(\omega t - k_1 y)} \quad (1)$$

όπου

$$k_1 = \omega \sqrt{\epsilon_1 \mu_0} \quad (2)$$

και ένα μέρος απ' αυτό ( $\vec{E}_t$ ) περνά στο υλικό (2), ενώ ένα άλλο μέρος ( $\vec{E}_r$ )



ἀνακλᾶται.

α. Νά προσδιορίσετε τὰ φασικά διανύσματα (Phasors)  $\vec{E}_i$  καὶ  $\vec{B}_i$  τοῦ κύματος (1)

β. "Αν  $E_{i0}$ ,  $E_{r0}$ , καὶ  $E_{t0}$  εἶναι οἱ τιμές τῶν phasors τῶν τριῶν κυμάτων στό ἐπίπεδο  $y = 0$ , νά προσδιορίσετε τοὺς λόγους  $\rho = (E_{r0}/E_{i0})$  καὶ  $\tau = (E_{t0}/E_{i0})$  σέ συνάρτηση μέ τά  $\epsilon_1$  καὶ  $\epsilon_2$  ( $\rho$  εἶναι ὁ συντελεστής ἀνακλάσεως ἐνῶ  $\tau$  ὁ συντελεστής μεταδόσεως).

γ. Νά ὑπολογίσετε τὸ ποσοστὸ τῆς ἰσχύος τοῦ κύματος (1) περνᾷ στό μέσο (2) καὶ τὸ ποσοστὸ ἀνακλᾶται στήν ὁριζική ἐπιφάνεια καὶ ξαναγυρίζει στό μέσο (1). (Θέμα ἐξετάσεων Ὀκτωβρίου 1977).

(Ἀπ. α.  $\vec{E}_i = E_{i0} e^{-jk_1 y} \hat{x}$ ,  $\vec{B}_i = -\frac{1}{\omega} k_1 E_{i0} e^{-jk_1 y} \hat{z}$

β.  $\rho = \left(1 - \sqrt{\frac{\epsilon_2}{\epsilon_1}}\right) / \left(1 + \sqrt{\frac{\epsilon_2}{\epsilon_1}}\right)$

$\tau = 2 / \left(1 + \sqrt{\frac{\epsilon_2}{\epsilon_1}}\right)$

γ.  $\bar{P}_t / \bar{P}_i = \tau^2$ ,  $\bar{P}_r / \bar{P}_i = \rho^2$ )

$\sqrt{\frac{\epsilon_2}{\epsilon_1}} \cdot \tau$

## ΚΕΦΑΛΑΙΟ 5

5.1. Στήν πράξη, οἱ κατασκευαστές κυματοδηγῶν τηροῦν συνήθως τήν ἀκόλουθη σχέση μεταξύ τῶν ἐσωτερικῶν ἐγκαρσίων διαστάσεων ἑνὸς ὀρθογώνιου κυματοδηγοῦ:

$$w = 2d \quad (1)$$

ὑποθέτοντας ὅτι τηρεῖται ἡ σχέση αὕτη:

α. Νά ἀποδειχτεῖ ὅτι στόν ὀρθογώνιο κυματοδηγό ὁ κυματικός τύπος  $TE_{10}$  ἔχει τὸ μεγαλύτερο ὀρικό μῆκος κύματος ἀπὸ ὅλους τοὺς ἄλλους τύπους  $TE_{mn}$  καὶ ἀκολουθοῦν οἱ

κυματικοί τύποι  $TE_{01}$  και  $TE_{20}$  και στη συνέχεια όλοι οι άλλοι τύποι.

- β. Νά υπολογιστεί η περιοχή τιμών των διαστάσεων  $w$  και  $d$  του κυματοδηγού, που μπορούμε να χρησιμοποιήσουμε για να κυματοδηγήσουμε τον κυματικό τύπο  $TE_{10}$  στη συχνότητα  $f_0 = 6 \text{ GHz}$  και μιά περιοχή της  $\pm 20\%$  πάνω και κάτω απ' αυτήν (τό διηλεκτρικό του κυματοδηγού είναι αέρας).

#### Λύση

- α. Εφαρμόζοντας την (1) στη γνωστή σχέση:

$$\frac{1}{\lambda_{mn,op}} = \frac{1}{2} \sqrt{\frac{m^2}{w^2} + \frac{n^2}{d^2}} \quad (2)$$

έχουμε:

$$\lambda_{mn,op} = \frac{w}{\sqrt{\frac{m^2}{4} + n^2}} \quad (3)$$

Μελετώντας την (3) συμπεραίνουμε ότι το μεγαλύτερο όριό μήκος κύματος τό έχει ο κυματικός τύπος  $TE_{10}$  και ακολουθούν άμέσως οι  $TE_{01}$  και  $TE_{20}$  :

$$\lambda_{10,op} = 2w \quad (4)$$

$$\lambda_{01,op} = \lambda_{20,op} = w \quad (5)$$

Όλοι οι άλλοι τύποι έχουν μικρότερο  $\lambda_{op}$ .

- β. Για να διαδίδεται ένα μήκος κύματος  $\lambda$  μέσα στον κυματοδηγό πρέπει να είναι  $\lambda < \lambda_{op}$ , ενώ για να μη διαδίδεται πρέπει να είναι  $\lambda > \lambda_{op}$ .

Από τα αποτελέσματα του προηγούμενου ερωτήματος, προκύπτει ότι για να διαδίδεται στον κυματοδηγό μόνο ο κυματικός τύπος  $TE_{10}$  και κανένας άλλος,

πρέπει καὶ ἀρκεῖ νὰ εἶναι :

$$\lambda_{01,op} < \lambda < \lambda_{10,op} \quad (6)$$

$$\eta \quad w < \lambda < 2w \quad (7)$$

Ἡ (7) μπορεῖ νὰ γραφεῖ καὶ ἔτσι :

$$\frac{\lambda}{2} < w < \lambda \quad (8)$$

Ἄν ἀντὶ γιὰ τὸ  $\lambda$  χρησιμοποιήσουμε τὴ συχνότητα  $f$  ἡ (8) γίνεται :

$$\frac{c}{2f} < w < \frac{c}{f} \quad (9)$$

Οἱ συχνότητες πού θέλουμε νὰ περνοῦν μέσα ἀπὸ τὸν κυματοδηγό εἶναι ἀπὸ

$$f_1 = 0,8 f_0 = 4,8 \text{ GHz} \quad \text{ἔως} \quad f_2 = 1,2 f_0 = 7,2 \text{ GHz} .$$

Ἡ (9) πρέπει νὰ ἰσχύει γιὰ ὅλες τὶς συχνότητες μεταξύ τῶν  $f_1$  καὶ  $f_2$  . Ἀρκεῖ νὰ εἶναι λοιπὸν :

$$\frac{c}{2f_1} < w < \frac{c}{f_2} \quad (10)$$

Ἀντικαθιστώντας τὰ  $f_1$  ,  $f_2$  καὶ  $c$  στὴ (10) ἔχουμε :

$$3,12 \text{ cm} < w < 4,17 \text{ cm} \quad (11)$$

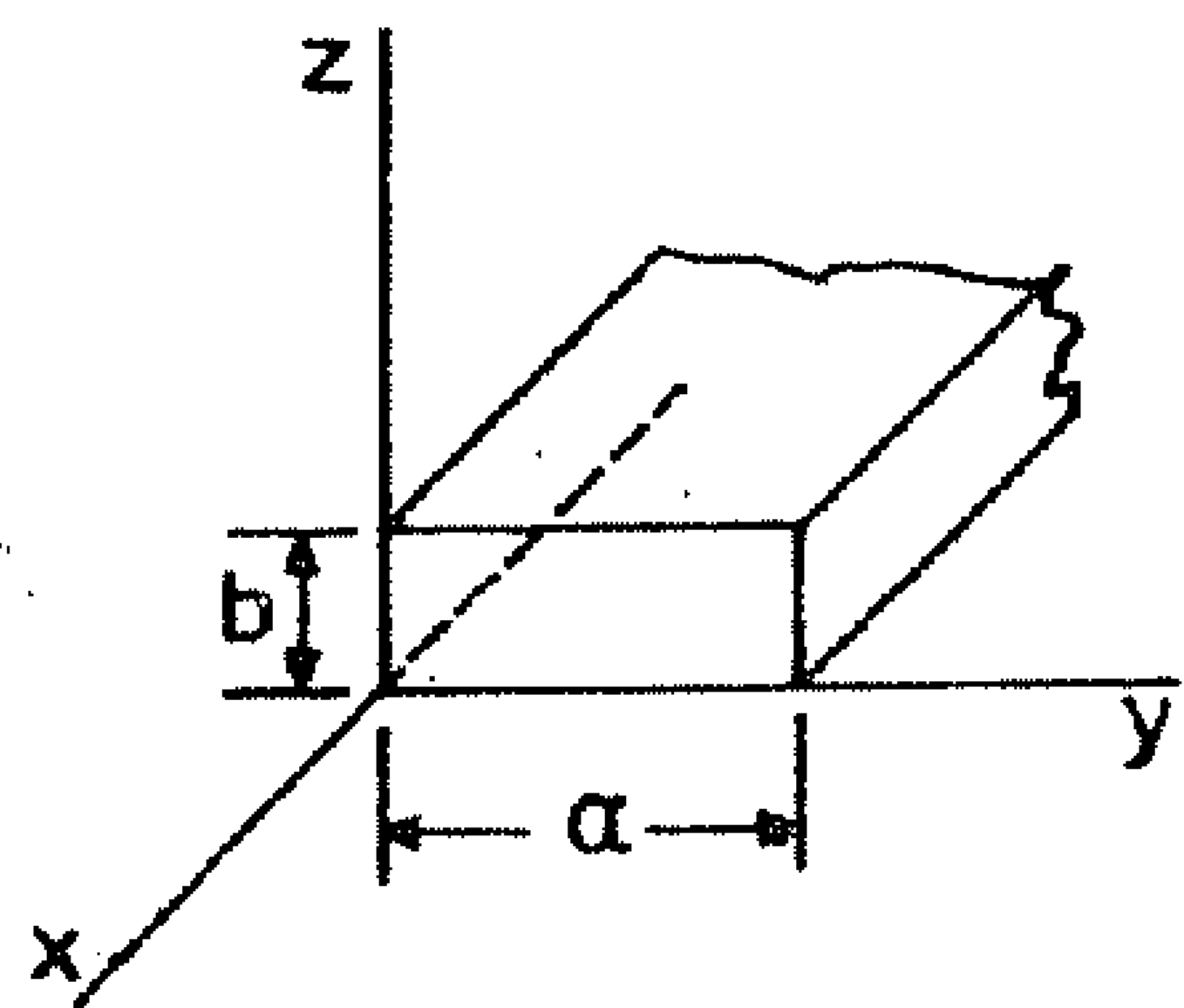
Ἡ (11) μαζί με τὴν (1) δύνουν ὅλες τὶς δυνατές τιμές  $w$  καὶ  $d$  πού μπορούμε νὰ χρησιμοποιήσουμε. Π.χ. μπορούμε νὰ χρησιμοποιήσουμε  $w = 3,5 \text{ cm}$  καὶ  $d = 1,75 \text{ cm}$  ἢ  $w = 4 \text{ cm}$  καὶ  $d = 2 \text{ cm}$  .

5.2 Οἱ ἐσωτερικὲς ἐγκάρσιες διαστάσεις ἑνὸς ὀρθογώνιου κυματοδηγοῦ εἶναι  $a$  καὶ  $b$  (βλ. σχῆμα) .

Ὁ κυματικὸς τύπος, πού μεταδίδει ὁ κυματοδηγὸς ἔχει ἠλεκτρικὲς προβολές :

$$E_y = A \sin \frac{\pi z}{b} e^{j(\omega t - \beta x)} \quad (1)$$

$$E_x = E_z = 0 \quad (2)$$



- α. Ποιός κυματικός τύπος είναι αυτός;  
 β. Νά προσδιοριστούν οι υπόλοιπες προβολές του  $(H_x, H_y, H_z)$ .  
 γ. Νά δοθεῖ ἡ γραφικὴ παράσταση  $\beta^2 = f(\frac{1}{b^2})$   
 Δίνονται τὰ  $\epsilon, \mu, \omega, \alpha, b, A$ .

## Λύση

- α. Ἀφοῦ  $E_x = 0$  πρόκειται γιὰ τύπο  $TE_{mn}$ . Κατὰ τὸν ἄξονα  $y$  δὲν ἔχουμε διακύμανση τοῦ πεδίου, ἄρα  $m=0$ .  
 Κατὰ τὸν ἄξονα  $z$  ἔχουμε μιᾶς ἡμιτονοειδῆ διακύμανση (τὸ πηλὺκο  $\frac{\pi z}{b}$  μεταβάλλεται ἀπὸ 0 ἕως  $\pi$ ), ἄρα  $n=1$ .  
 Πρόκειται λοιπὸν γιὰ τὸν κυματικὸν τύπο  $TE_{01}(H_{01})$

- β. Ἀπὸ τὴ θεωρία (σχέσεις (5-57)) ἔχουμε γιὰ τὴν  $E_y$   
 γενικά:

$$E_y = \frac{j\omega\mu n\pi}{k_c^2 b} H_0 \cos \frac{m\pi y}{a} \sin \frac{n\pi z}{b} e^{j(\omega t - \beta x)} \quad (3)$$

πού γιὰ  $m = 0$  καὶ  $n=1$  γίνεταί:

$$E_y = \frac{j\omega\mu\pi}{k_c^2 b} H_0 \sin \frac{\pi z}{b} e^{j(\omega t - \beta x)} \quad (4)$$

Ταυτίζοντας τὴν (1) μέ τὴν (4) ἔχουμε :

$$A = \frac{j\omega\mu\pi H_0}{k_c^2 b} \quad (5)$$

$$\text{ἢ} \quad H_0 = \frac{k_c^2 b A}{j\omega\mu\pi} \quad (6)$$

Ἀπὸ τὴ θεωρία, ἐπίσης, ξέρουμε ὅτι οἱ προβολές τοῦ  $\vec{H}$   
 εἶναι (γιὰ  $m = 0$  ,  $n = 1$ ) :

$$\left. \begin{aligned} H_x &= H_0 \cos \frac{\pi z}{b} e^{j(\omega t - \beta x)} \\ H_y &= 0 \\ H_z &= \frac{j \beta \pi}{k_c^2 b} H_0 \sin \frac{\pi z}{b} e^{j(\omega t - \beta x)} \end{aligned} \right\} \quad (7)$$

Χρησιμοποιώντας την (6) έχουμε:

$$\left. \begin{aligned} H_x &= \frac{k_c^2 b A}{j \omega \mu \pi} \cos \frac{\pi z}{b} e^{j(\omega t - \beta x)} \\ H_z &= \frac{j \beta \pi}{k_c^2 b} \frac{k_c^2 b A}{j \omega \mu \pi} \sin \frac{\pi z}{b} e^{j(\omega t - \beta x)} \end{aligned} \right\} \quad (8)$$

Αλλά

$$k_c^2 = k_y^2 + k_z^2 = \left( \frac{m \pi}{a} \right)^2 + \left( \frac{n \pi}{b} \right)^2 = \left( \frac{\pi}{b} \right)^2 \quad (9) \quad \text{καί}$$

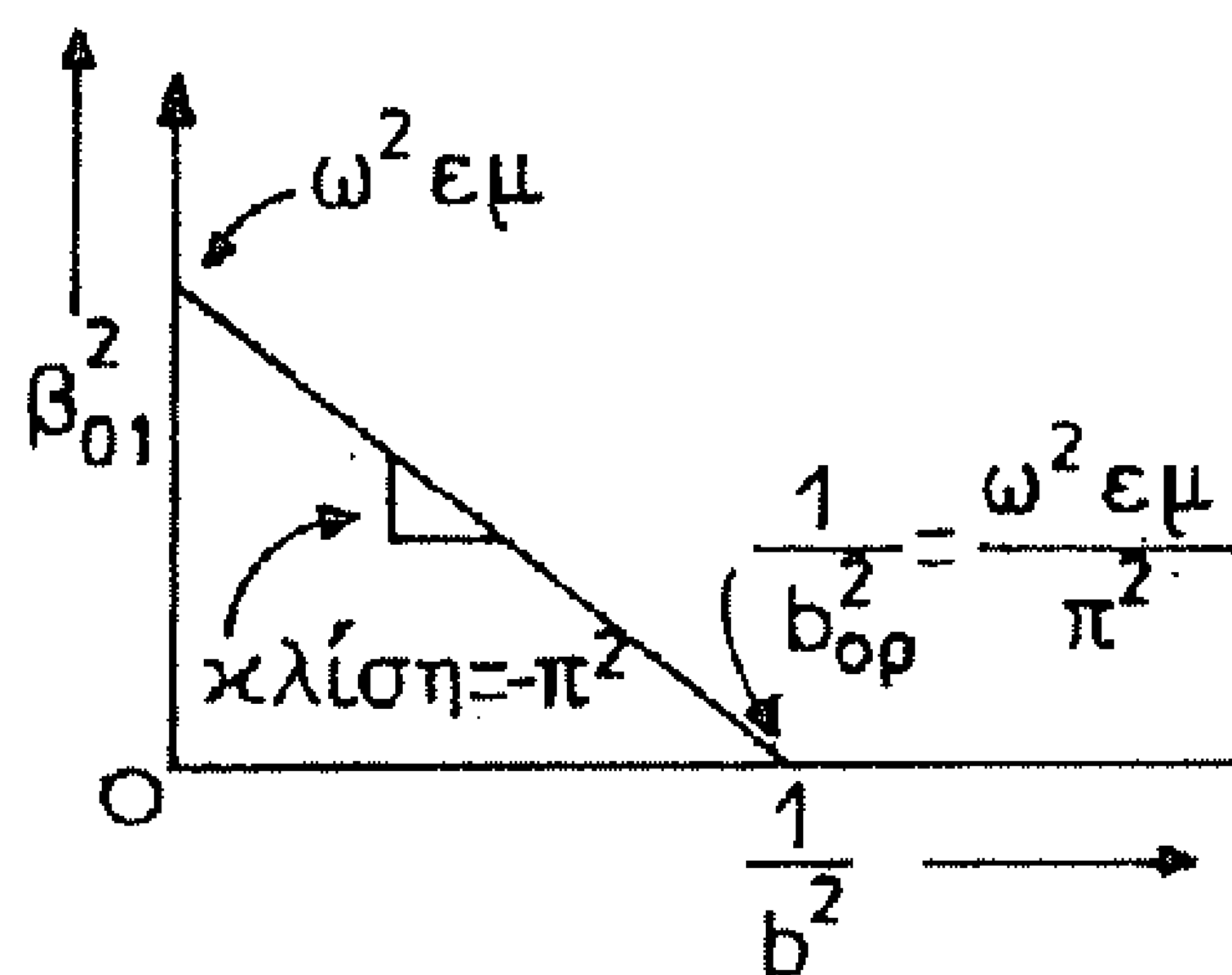
$$\beta \equiv \beta_{01} = \sqrt{\frac{\omega^2}{u^2} - \frac{\pi^2}{b^2}} = \sqrt{\omega^2 \epsilon \mu - \frac{\pi^2}{b^2}} \quad (10)$$

Ωστε, τελικά:

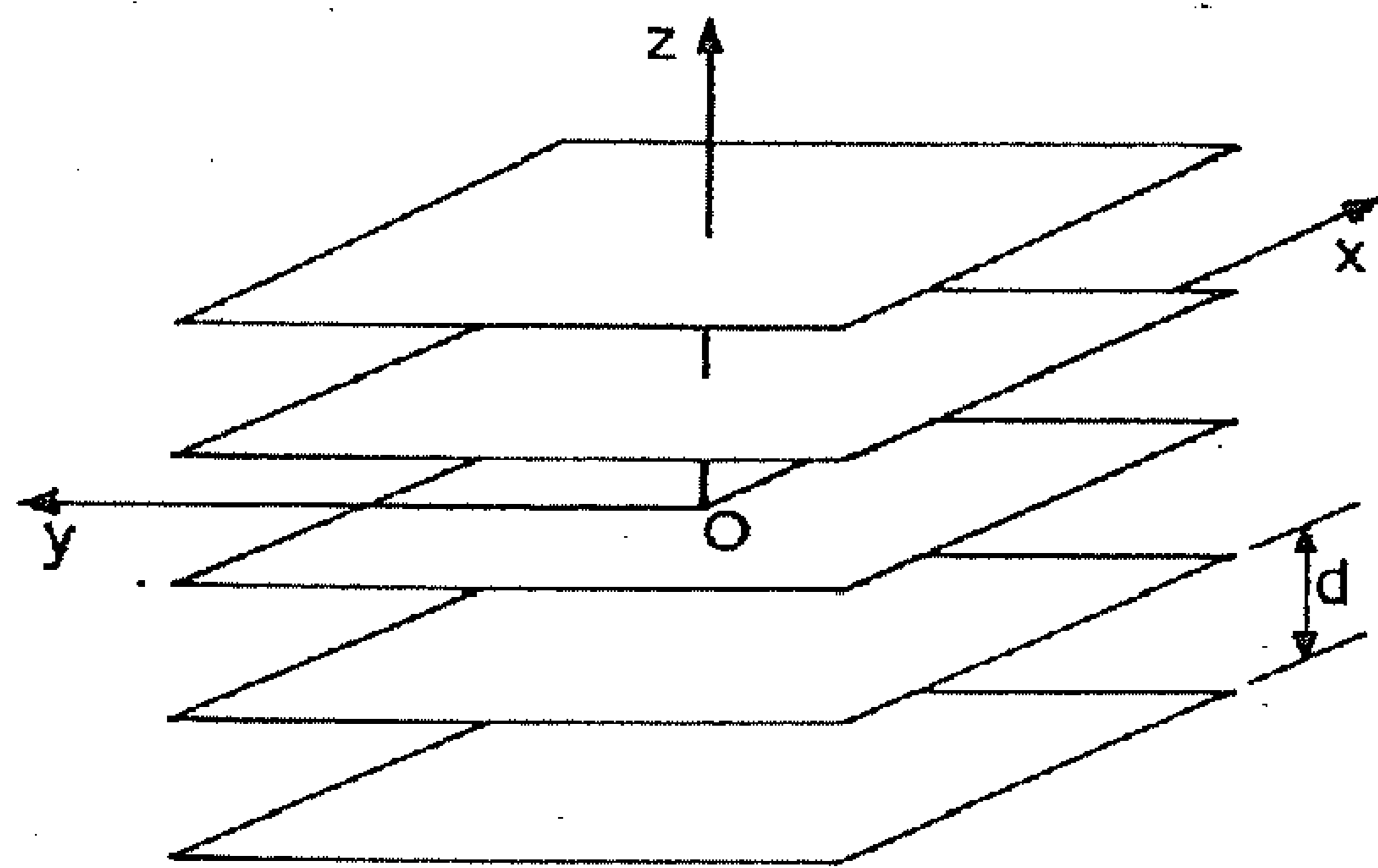
$$\left. \begin{aligned} H_x &= \frac{\pi A}{j \omega \mu b} \cos \frac{\pi z}{b} e^{j(\omega t - \beta x)} \\ H_y &= 0 \\ H_z &= \frac{A}{\omega \mu} \sqrt{\omega^2 \epsilon \mu - \frac{\pi^2}{b^2}} \sin \frac{\pi z}{b} e^{j(\omega t - \beta x)} \end{aligned} \right\} \quad (11)$$

γ. Από την (10) έχουμε :

$$\beta^2 \equiv \beta_{01}^2 = \omega^2 \epsilon \mu - \frac{\pi^2}{b^2} \quad (12)$$



5.3 Έστω μία σειρά από αγωγίμα επίπεδα παράλληλα προς τό επίπεδο  $xy$ , πού απέχουν τό ένα από τό άλλο απόσταση  $d$ . (βλ. σχ. 1). Νά αποδείξετε ότλ ένα TEM κύμα, πού διαδίδεται κατά τόν άξονα  $x$



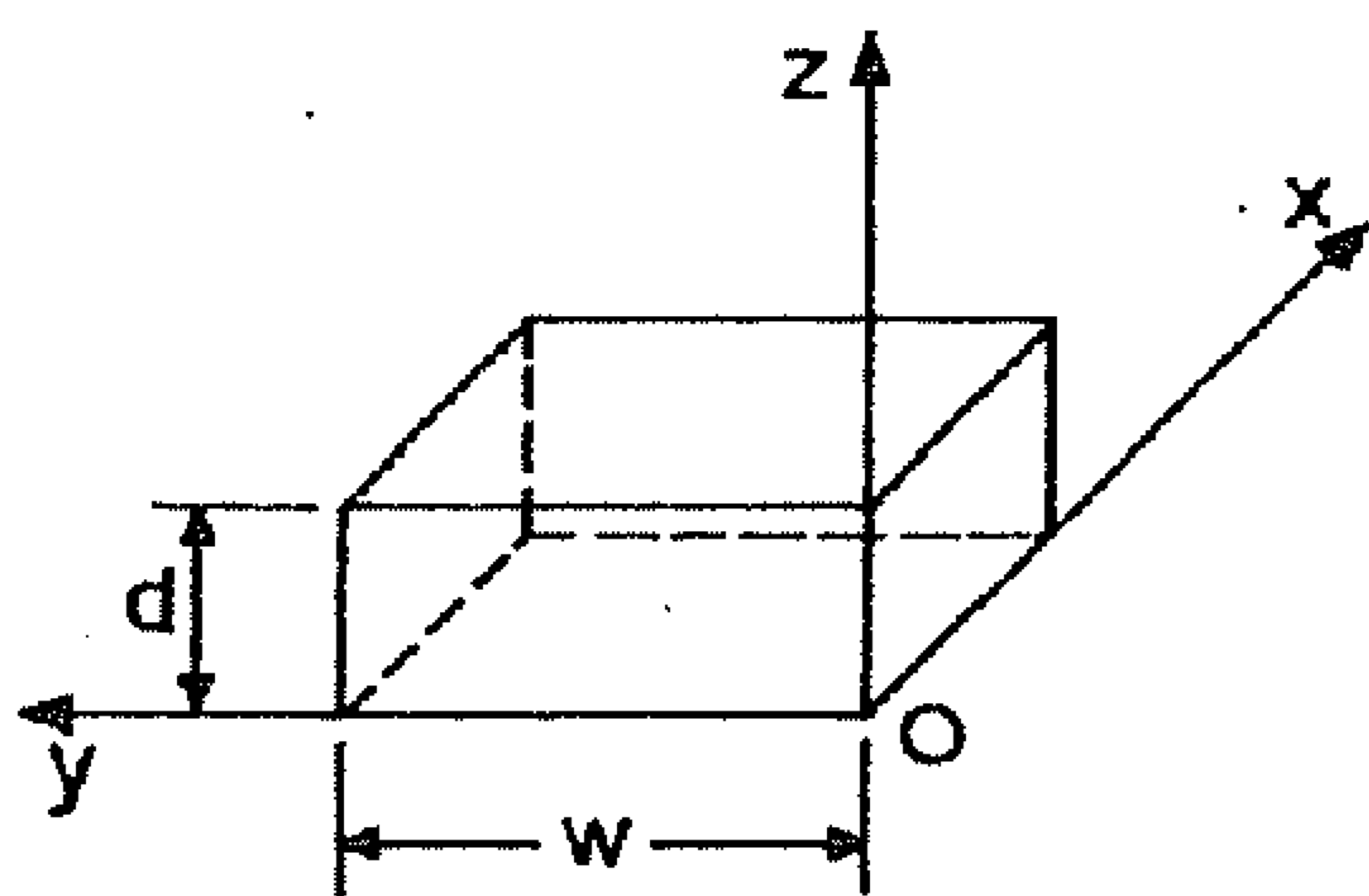
Σχ. 1

καί φτάνει στά επίπεδα, περνά έλεύθερα μέσα τους αν τό ηλεκτρικό του πεδίο είναι κάθετο στά επίπεδα. "Αν, όμως, τό ηλεκτρικό πεδίο του κύματος είναι παράλληλο μέ τά επίπεδα, τότε γιά νά περάσει πρέπει νά είναι  $d > \lambda/2$ .

(Υπόδειξη : "Ανά δύο τά επίπεδα νά θεωρηθοῦν σάν όριακή περίπτωση όρθογώνιου κυματοδηγοῦ, πού ή μία έγκάρσια διάστασή του ( $w$ ) τείνει στό άπειρο).

### Λύση

α. "Αν  $w \rightarrow \infty$  ό κυματοδηγός του σχ. 2 τείνει σέ δύο παράλληλα επίπεδα μέ άπειρο πλάτος. Ένα επίπεδο TEM κύμα μέ ηλεκτρικό πεδίο παράλληλο μέ τή διάσταση  $d$  περνά έλεύθερα γιατί ικανοποιεί τίσ όριακές συνθήκες :



Σχ. 2

Εφαπτομ. συνιστώσα του  $\vec{E}=0$   
(1)  
Κάθετη συνιστώσα του  $\vec{H}=0$

στήν επιφάνεια καθενός από τά δύο όριζόντια επίπεδα.

"Ας εξετάσουμε τώρα τούς κυματικούς τύπου  $TE_{mn}$ , πού μπορεί νά κυματοδηγήσει ό κυματοδηγός όταν  $w \rightarrow \infty$  (στήν πράξη όταν  $w \gg d$ ). Στή γενική περίπτωση μέ  $w$  καί  $d$  πεπερασμένα, οί συνιστώσες του ηλεκτρικού πεδίου του

τύπου  $TE_{mn}$  είναι (βλ. σχέσεις (5-69) ) :

$$\left. \begin{aligned} E_x &= 0 \\ E_y &= \frac{j\omega\mu k_z}{k_c^2} H_0 \cos k_y y \sin k_z z e^{j(\omega t - \beta_{mn} x)} \\ E_z &= -\frac{j\omega\mu k_y}{k_c^2} H_0 \sin k_y y \cos k_z z e^{j(\omega t - \beta_{mn} x)} \end{aligned} \right\} \quad (2)$$

$$\text{όπου} \quad k_c^2 = k_y^2 + k_z^2 = \frac{m^2 \pi^2}{w^2} + \frac{n^2 \pi^2}{d^2} \quad \text{και} \quad \beta_{mn}^2 = \left(\frac{2\pi}{\lambda}\right)^2 - k_c^2 \quad (3)$$

Όταν  $w \rightarrow \infty$  (στην πράξη όταν  $w \gg d$ ) τότε  $k_y \rightarrow 0$  (στην πράξη  $k_y \ll k_z$ ) και τότε

$$k_c = k_z = \frac{n\pi}{d} \quad (4)$$

όπου  $n$  θετικός ακέραιος αριθμός. Τότε οι (2) γίνονται :

$$\left. \begin{aligned} E_x &= 0 \\ E_y &= \frac{j\omega\mu d}{n\pi} H_0 \sin\left(\frac{n\pi}{d} z\right) e^{j(\omega t - \beta x)} \\ E_z &= 0 \end{aligned} \right\} \quad (5)$$

Άρα, μπορούν να διαδοθούν οι κυματικοί τύποι  $TE_{mn}$ , που έχουν μόνο την  $E_y \neq 0$ , που έχουν δηλ. τό ηλεκτρικό πεδίο  $\vec{E}$  πολωμένο παράλληλα με τα επίπεδα. Σύμφωνα με τα γνωστά μας, διάδοση μπορεί να γίνει μόνο όταν :

$$\lambda < \lambda_{op} \equiv \frac{2\pi}{k_c} = \frac{2\pi d}{n\pi} = \frac{2d}{n} \quad (6)$$

$$\text{ένω όταν} \quad \lambda > \frac{2d}{n} \quad (7)$$

δεν επιτρέπεται διάδοση.

Επειδή  $n = 1, 2, 3, \dots$  ή (6), αν ικανοποιείται με  $n = 1$ , ικανοποιείται και με κάθε άλλο  $n$ .

Επομένως αρκεί :

$$\lambda < 2d$$

$$\text{ή} \quad d > \frac{\lambda}{2} \quad (8)$$

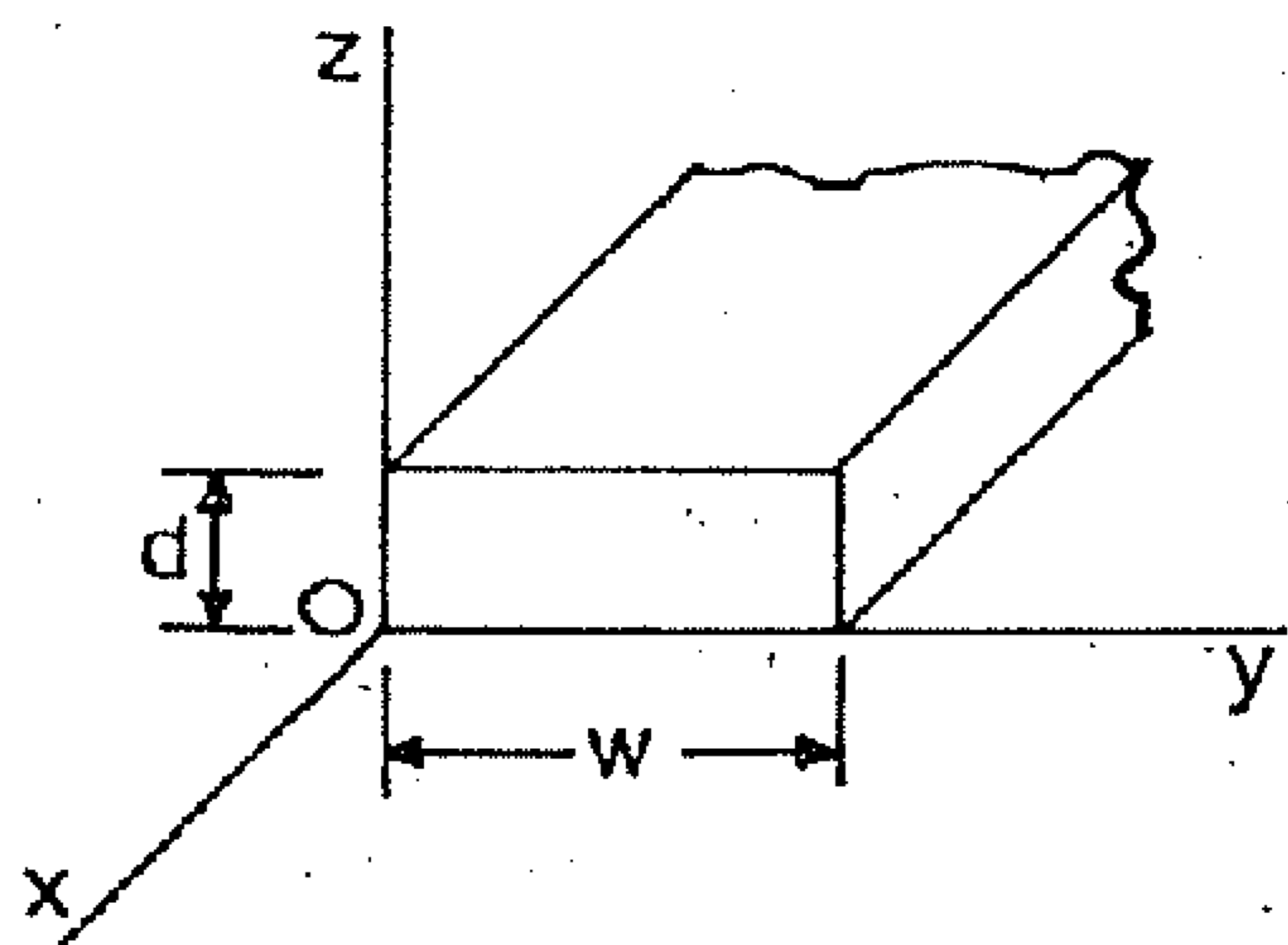
για να υπάρχει διάδοση.

Ωστε, αν προσπέσει ένα επίπεδο TEM κύμα στη μία πλευρά της σειράς των επιπέδων, με πόλωση παράλληλη με αυτά, μπορεί να περάσει μέσα τους σαν κυματικός τύπος  $TE_{mn}$ , αν ισχύει η (8). Αν όχι, δεν θα μεταδοθεί καθόλου.

Π α ρ α τ ή ρ η σ η :

Στή γενική περίπτωση, που τό  $\vec{E}$  του κύματος σχηματίζει τυχαία γωνία με τα επίπεδα, τότε μπορεί να αναλυθεί σε δύο συνιστώσες, μία κάθετη και μία παράλληλη με αυτά. Αν τότε ισχύει και  $d < \lambda/2$  τό σύστημα συμπεριφέρεται σαν πολωτής με χαρακτηριστικό επίπεδο τό επίπεδο  $xz$ .

5.4 Ένας ορθογώνιος κυματοδηγός έχει εσωτερικές εγκάρσιες διαστάσεις  $w$  και  $d$  ( $w > d$  βλ. σχ. 1) και κυματοδηγεί τον κυματικό τύπο  $TE_{10}$  σε συχνότητα  $f$ .



Σχ. 1

Τό διηλεκτρικό του κυματοδηγοῦ είναι αέρας ( $\epsilon_0, \mu_0$ ). Στήν αρχή των αξόνων και για τή χρονική στιγμή  $t = 0$  ή μαγνητική συνιστώσα  $H_x$  έχει τιμή  $H_0$ .

α. Να προσδιορίσετε τή συνεχή συνιστώσα του διανύσματος Poynting ( $\vec{P}$ ) στο εσωτερικό του κυματοδηγοῦ.

β. Να δώσετε τή γραφική παράσταση  $\bar{P} = f(y)$ , όπου  $\bar{P} = |\vec{P}|$ , καθώς και τή γραφική παράσταση  $\bar{P} = f(z)$ .



γ. Νά υπολογίσετε τήν ὅλική ἰσχύ  $N$ , πού κυματοδηγεῖται (ὑποθέτουμε ὅτι δέν υπάρχουν ἀπώλειες).

δ. Πόση εἶναι ἡ  $\bar{N}$  στήν περίπτωση πού  $w = 2\text{cm}$ ,  $d = 1\text{cm}$ ,  $f = 10\text{GHz}$ ,  $H_0 = 5\text{A/m}$ ;

### Λύση

α. Οἱ συνιστώσες τῶν πεδίων τοῦ τύπου  $TE_{10}$  (βλ. σχέσεις (5-66) εἶναι:

$$H_x = H_0 \cos \frac{\pi y}{w} e^{j(\omega t - \beta_{10} x)} \quad (1)$$

$$H_y = \frac{j\beta_{10} w}{\pi} H_0 \sin \frac{\pi y}{w} e^{j(\omega t - \beta_{10} x)} \quad (2)$$

$$H_z = 0, \quad E_x = 0, \quad E_y = 0 \quad (3)$$

$$E_z = \frac{-j\omega\mu_0 w}{\pi} H_0 \sin \frac{\pi y}{w} e^{j(\omega t - \beta_{10} x)} \quad (4)$$

$$\text{ὅπου} \quad \beta_{10}^2 = \left(\frac{2\pi}{\lambda}\right)^2 - \frac{\pi^2}{w^2} = \left(\frac{2\pi f}{c}\right)^2 - \frac{\pi^2}{w^2} = \pi^2 \left(\frac{4f^2}{c^2} - \frac{1}{w^2}\right) \quad (5)$$

$$\text{Ἔχουμε τότε} \quad \bar{P} = \frac{1}{2} \text{Re}(\vec{E} \times \vec{H}^*) = \frac{1}{2} \text{Re} \begin{vmatrix} \hat{x} & \hat{y} & \hat{z} \\ 0 & 0 & E_z \\ H_x^* & H_y^* & 0 \end{vmatrix} \quad (6)$$

$$\text{ἢ} \quad \bar{P} = \frac{1}{2} \text{Re} \left[ -E_z H_y^* \hat{x} + E_z H_x^* \hat{y} \right] \quad (7)$$

Ὥστε:

$$\bar{P} = \frac{1}{2} \text{Re} \left[ -\frac{j\omega\mu_0 w}{\pi} \frac{j\beta_{10} w H_0^2}{\pi} \sin^2 \frac{\pi y}{w} \hat{x} - \frac{j\omega\mu_0 w}{\pi} H_0^2 \sin \frac{\pi y}{w} \cos \frac{\pi y}{w} \hat{y} \right]$$

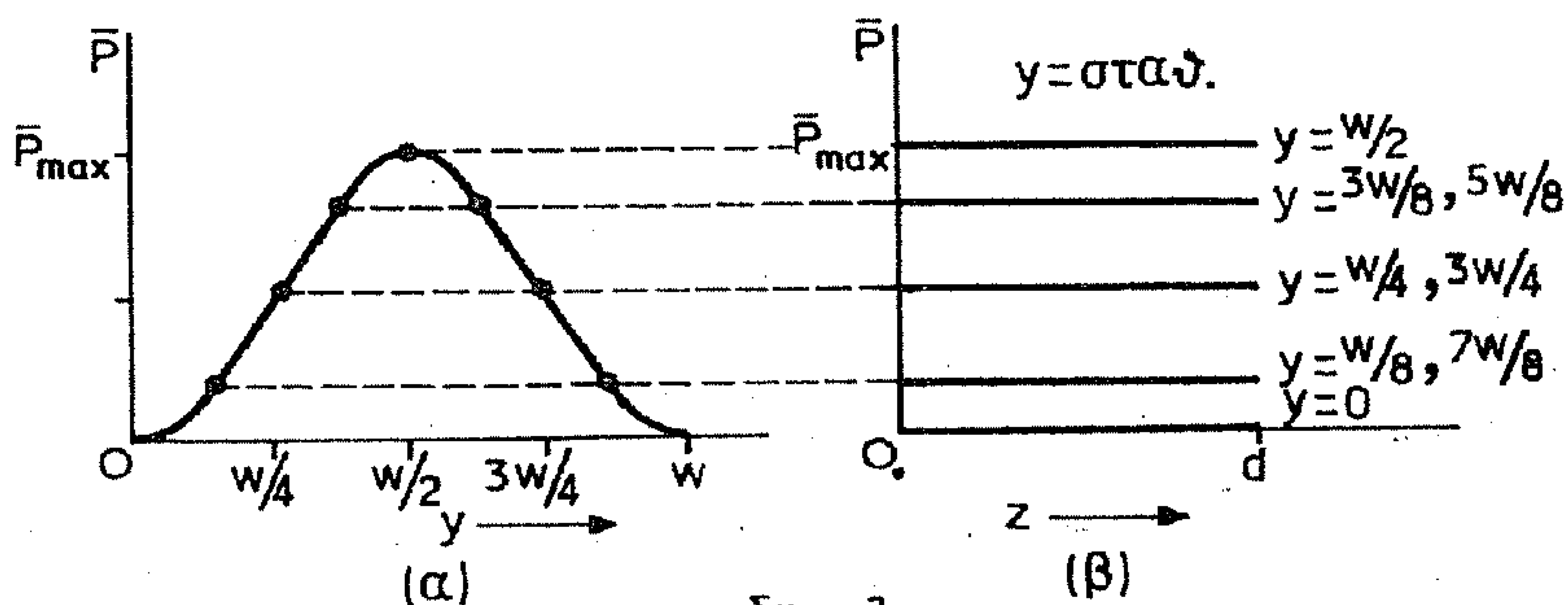
$$\bar{P} = \frac{1}{2} \text{Re} \left[ \frac{\mu_0 \omega w^2 H_0^2 \beta_{10}}{\pi^2} \sin^2 \frac{\pi y}{w} \hat{x} - j \frac{\mu_0 \omega w}{\pi} H_0^2 \sin \frac{\pi y}{w} \cos \frac{\pi y}{w} \hat{y} \right]$$

$$\bar{P} = \frac{1}{2} \frac{\mu_0 \omega w^2 \beta_{10}}{\pi^2} H_0^2 \sin^2 \frac{\pi y}{w} \hat{x} = \frac{2\pi f \mu_0 w^2 H_0^2}{2\pi^2} \sin^2 \frac{\pi y}{w} \pi \sqrt{\frac{4f^2}{c^2} - \frac{1}{w^2}} \hat{x}$$

$$\bar{P} = \mu_0 w^2 H_0^2 \sin^2 \frac{\pi y}{w} f \sqrt{\frac{4f^2}{c^2} - \frac{1}{w^2}} \hat{x} \quad (8)$$

$$\bar{P} = \mu_0 w H_0^2 \sin^2 \frac{\pi y}{w} f \sqrt{\frac{4f^2 w^2}{c^2} - 1} \hat{x} \quad (9)$$

β.Οι γραφικές παραστάσεις δύνονται στο σχήμα 2(α,β)



Σχ. 2

όπου:

$$\bar{P}_{\max} = \mu_0 w H_0^2 f \sqrt{\frac{4f^2 w^2}{c^2} - 1} \quad (10)$$

γ.Είναι:

$$\bar{N} = \int \bar{P} \cdot \hat{x} \, dS \quad (11)$$

όπου η ολοκλήρωση γίνεται σ' όλη την εγκάρσια διατομή .

Από τις (9), (10) και (11) προκύπτει :

$$\begin{aligned} \bar{N} &= \bar{P}_{\max} \int_0^d dz \int_0^w \sin^2 \frac{\pi y}{w} dy = \frac{w \bar{P}_{\max} d}{\pi} \int_0^w \sin^2 \frac{\pi y}{w} d\left(\frac{\pi y}{w}\right) = \\ &= \frac{w \bar{P}_{\max} d}{\pi} \int_0^\pi \sin^2 \vartheta d\vartheta = wd \bar{P}_{\max} \left[ \frac{1}{\pi} \int_0^\pi \sin^2 \vartheta d\vartheta \right] = \frac{wd \bar{P}_{\max}}{2} \\ \bar{N} &= \frac{1}{2} \mu_0 w^2 d H_0^2 f \sqrt{\frac{4f^2 w^2}{c^2} - 1} \quad (12) \end{aligned}$$

δ. 'Αντικαθιστώντας τις τιμές των μεγεθών στη (12) βρίσκουμε :

$$\bar{N} = 0,55 \text{ W} .$$

**5.5** "Αν  $\omega$  είναι η κυκλική συχνότητα ενός ηλεκτρομαγνητικού κύματος μέσα σ' έναν κυματοδηγό, πού είναι γεμάτος με τέλειο διηλεκτρικό,  $\beta$  η σταθερά φάσης του μέσα στον κυματοδηγό και  $u$  η ταχύτητα του κύματος στο ελεύθερο διηλεκτρικό.

α. Νά δώσετε τη σχέση  $\omega = \omega(\beta)$  (έξισωση διασποράς)

β. Νά δώσετε, ποιοτικά, τη γραφική παράσταση της προηγούμενης σχέσης προσδιορίζοντας και τις τιμές των  $\omega$  για  $\beta=0$  και  $\beta$  πολύ μεγάλο.

γ. Νά υποδείξετε πώς, από το διάγραμμα αυτό, μπορούμε να προσδιορίσουμε, γραφικά, την ταχύτητα φάσης  $u_p$  και την ταχύτητα ομάδας  $u_g$ .

Λύση

α. 'Από τη θεωρία ξέρουμε ότι η σχέση του  $\beta^2$  με το  $\omega$  είναι :

$$\beta^2 = \frac{\omega^2}{u^2} - k_c^2 \quad (1)$$

όπου  $k_c^2$  γεωμετρικός παράγοντας, πού εξαρτάται από το είδος του κυματοδηγού. π.χ. στον ορθογώνιο κυματοδηγό είναι :

$$k_c^2 = k_y^2 + k_z^2 = \left(\frac{m\pi}{w}\right)^2 + \left(\frac{n\pi}{d}\right)^2 \quad (2)$$

Λύνοντας την (1) για το  $\omega$  έχουμε :

$$\boxed{\omega = \sqrt{u^2 \beta^2 + u^2 k_c^2}} \quad (3)$$

β. Στο σχήμα φαίνεται η ζητούμενη γραφική παράσταση.

Για  $\beta = 0$  έχουμε:

$$\omega = \omega_{op} = v k_c$$

$$\boxed{\omega_{op} = v k_c} \quad (4)$$

ένω για  $\beta \gg k_c$  ή (3) γίνεται:

$$\boxed{\omega = v \beta} \quad (5)$$

Η (5) είναι η εξίσωση της ασύμπτωτης ευθείας που ισχύει για το ελεύθερο διηλεκτρικό αφού τότε είναι :

$$\beta = \frac{\omega}{v} \quad (6)$$

Από την (4) έχουμε τη γνωστή μας σχέση:

$$\lambda_{op} = \frac{2\pi}{k_c} \quad (7)$$

γ. Επειδή 
$$v_p = \frac{\omega}{\beta} \quad (8)$$

από το διάγραμμα, για το συγκεκριμένο  $\omega$ , βρίσκουμε το αντίστοιχο  $\beta$  και υπολογίζουμε το πηλίκό τους.

Εξάλλου η ταχύτητα ομάδας  $v_g$  είναι :

$$v_g = \frac{d\omega}{d\beta} \quad (9)$$

είναι δηλ. ὅση μέ την κλίση της καμπύλης διασποράς στο αντίστοιχο  $\omega$ .

**5.6 α.** Πόση είναι η διάμετρος ενός κυκλικού κυλινδρικού κυματοδηγού γεμάτου με αέρα ( $\epsilon_0, \mu_0$ ) αν η όρική συχνότητά του στον κυματικό τύπο  $TE_{11}$  είναι  $9,2 \text{ GHz}$  ;

β. Σε ποιά συχνότητα θα αρχίσει να εμφανίζεται διάδοση του κυματικού τύπου  $TM_{01}$  μέσα στον κυματοδηγό;

Λύση

α. Αν  $2a$  η διάμετρος του κυματοδηγού είναι:

$$\lambda_{\text{ορΤΕ}_{11}} = \frac{2\pi\alpha}{P'_{11}} \quad (1)$$

όπου  $P'_{11}$  ή πρώτη ρίζα της  $J'_1(u)$ , πού από τό σχετικό πίνακα ριζών βρύσκεται ότι είναι:

$$P'_{11} = 1,8412 \quad (2)$$

$$f_{\text{ορΤΕ}_{11}} = \frac{c}{\lambda_{\text{ορΤΕ}_{11}}} = \frac{cP'_{11}}{2\pi\alpha} \Rightarrow \alpha = \frac{cP'_{11}}{2\pi f_{\text{ορΤΕ}_{11}}}$$

$$\text{καί } \alpha = \frac{3 \cdot 10^8 \cdot 1,8412}{2\pi \cdot 9,2 \cdot 10^9} \text{ m} = 0,0095 \text{ m} = 0,95 \text{ cm}$$

$$\alpha = 0,95 \text{ cm}$$

β. Τό όρικό μήκος κύματος τοῦ τύπου  $\text{TM}_{01}$  είναι:

$$\lambda_{\text{ορΤΜ}_{01}} = \frac{2\pi\alpha}{P_{01}} \quad (3)$$

όπου  $P_{01}$  ή πρώτη ρίζα της  $J_0(u)$ , πού είναι

$$P_{01} = 2,4048 \quad (4)$$

Ωστε:

$$f_{\text{ορΤΜ}_{01}} = \frac{c}{\lambda_{\text{ορΤΜ}_{01}}} = \frac{cP_{01}}{2\pi\alpha} = \frac{3 \cdot 10^8 \cdot 2,4048}{2\pi \cdot 0,95 \cdot 10^{-2}} \text{ Hz} = 12,1 \cdot 10^9 \text{ Hz}$$

$$\underline{f_{\text{ορΤΜ}_{01}} = 12,1 \text{ GHz}}$$

**5.7** Νά αποδείξετε ότι, γιά όλους τούς κυματικούς τύπους  $\text{TM}_{n1}$  ενός κυκλικού κυματοδηγού, τήν ελάχιστη εξασθένιση λόγω άτελουσ άγωγιμότητας έχουμε στή συχνότητα:

$$f_m = \sqrt{3} f_{\text{ορ}}$$

καί νά προσδιορίσετε τήν εξάρτηση τοῦ συντελεστή εξασθένισης (λόγω άτελουσ άγωγιμότητας) στή συχνότητα αὐτή από τήν τιμή της  $f_{\text{ορ}}$ .

Λύση

Ο συντελεστής εξασθένισης λόγω άτελουσ άγωγιμότητας των τοιχωμάτων τοῦ κυκλικού κυματοδηγού είναι:

$$\alpha_{TMnl} = \frac{R_s}{\alpha Z_d \sqrt{1 - \left(\frac{f_{op}}{f}\right)^2}} \quad (1)$$

όπου  $R_s$  η επιδερμική αντίσταση του άγωγοῦ:

$$R_s = \sqrt{\frac{\pi f \mu_c}{\sigma_c}} \quad (2)$$

καί  $\sigma_c$ ,  $\mu_c$  η ειδική αγωγιμότητα καί η μαγνητική διαπερατότητα του άγωγοῦ. Ὡστε:

$$\alpha_{TMnl} = \frac{1}{\alpha Z_d} \sqrt{\frac{\pi \mu_c}{\sigma_c}} \sqrt{\frac{f^3}{f^2 - f_{op}^2}} \quad (3)$$

Εἶναι φανερό (μπορεῖ ν' αποδειχτεῖ μέ παραγωγή της (3)) ὅτι ὁ  $\alpha$ , ὅσο ἡ  $f$  μεγαλώνει ἀπό τήν τιμή  $f_{op}$  καί πάνω, ὡς τό ἄπειρο, ἐμφανίζει ἐλάχιστο σέ κάποια συχνότητα  $f_m$ . Τήν τιμή αὐτή της  $f_m$  τή βρίσκουμε μηδενίζοντας τήν πρώτη παράγωγο της (3). Δηλαδή:

$$\left. \frac{\partial \alpha_{TMnl}}{\partial f} \right|_{f=f_m} = \frac{1}{\alpha Z_d} \sqrt{\frac{\pi \mu_c}{\sigma_c}} \left. \frac{\frac{(f^2 - f_{op}^2) 3f^2 - 2f^3}{(f^2 - f_{op}^2)^2}}{2 \sqrt{\frac{f^3}{f^2 - f_{op}^2}}} \right|_{f=f_m} = 0 \quad (4)$$

$$\eta \quad 3(f_m^2 - f_{op}^2) = 2f_m^2 \quad (5)$$

$$\eta \text{ ἄκόμα} \quad f_m^2 = 3f_{op}^2$$

$$\eta \text{ τελικά} \quad \boxed{f_m = \sqrt{3} f_{op}} \quad (6)$$

Ἀντικαθιστοῦμε στήν (3) καί ἔχουμε:

$$(\alpha_{TMnl})_{min} = \frac{1}{\alpha Z_d} \sqrt{\frac{\pi \mu_c}{\sigma_c}} \sqrt{\frac{3\sqrt{3} f_{op}^3}{3f_{op}^2 - f_{op}^2}} =$$

ή

$$(\alpha_{TM_{nl}})_{\min} = \frac{1}{\alpha Z_d} \sqrt{\frac{3\sqrt{2} \pi \mu_c}{2\sigma_c}} \sqrt{f_{op}} \quad (7)$$

καί άφοϋ

$$Z_d = \sqrt{\frac{\mu_d}{\epsilon_d}} \quad (8)$$

$$(\alpha_{TM_{nl}})_{\min} = \sqrt{\frac{3\sqrt{2} \pi \mu_c \epsilon_d}{2\alpha^2 \sigma_c \mu_d}} \sqrt{f_{op}} \quad (9)$$

**5.6** Νά υπολογίσετε τήν ίσχύ, πού κυματοδηγεΐται άπό έναν κυκλικό κυλινδρικό κυματοδηγό πού εΐναι διεγερμένος στόν τύπο  $TE_{01}$ , άν στην άρχή τών άξόνων ( $\rho=0$ ,  $z=0$ ) τό πλάτος τής μαγνητικής  $z$ -συνιστώσας εΐναι  $H_0$ . Ή άκτίνα τοϋ κυματοδηγοϋ εΐναι  $a$  καί εΐναι κενός.

Λύση

Ή μαγνητική  $z$ -συνιστώσα τοϋ κυματικοϋ τύπου  $TE_{01}$ , όπως ξέρουμε άπό τή θεωρία (βλ. σχέσεις τοϋ πύνακα 5-1) εΐναι :

$$H_z = H_0 J_0(k_c \rho) e^{j(\omega t - \beta z)} \quad (1)$$

Οί υπόλοιπες συνιστώσες εΐναι :

$$E_\rho = 0 \quad (2)$$

$$E_\varphi = j Z_0 \frac{\lambda_{op}}{\lambda} H_0 J_0'(k_c \rho) e^{j(\omega t - \beta z)} \quad (3)$$

$$H_\varphi = 0 \quad (4)$$

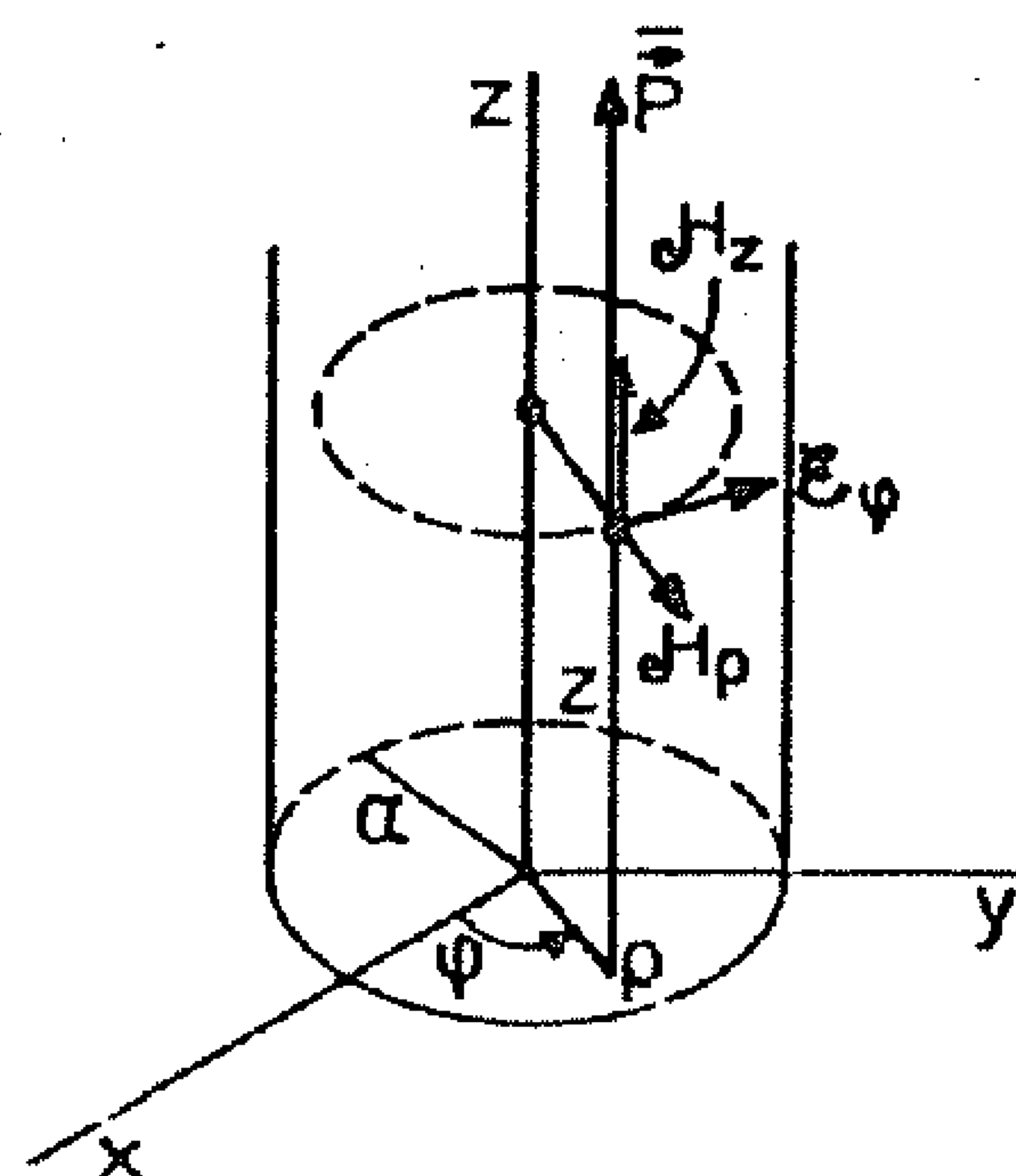
$$H_\rho = -j \frac{Z_0}{Z_{TE}} \frac{\lambda_{op}}{\lambda} H_0 J_0'(k_c \rho) e^{j(\omega t - \beta z)} \quad (5)$$

$$E_z = 0 \quad (6)$$

Στό σχήμα εΐναι σχεδιασμένες οί μή μηδενικές προβολές.

Ή συνεχής συνιστώσα τοϋ διανύσματος Poynting εΐναι :

$$\bar{P} = \frac{1}{2} \text{Re}(\bar{E} \times \bar{H}^*) \quad (7)$$



$$\bar{P} = \frac{1}{2} \operatorname{Re} \left[ -E_{\varphi} H_{\rho}^* \hat{z} + E_z H_{\varphi}^* \hat{\rho} \right] = \frac{1}{2} \operatorname{Re} \left[ -j Z_0 \frac{\lambda_{op}}{\lambda} H_0 J_0'(k_c \rho) j \frac{Z_0}{Z_{TE}} \cdot \right. \\ \left. - \frac{\lambda_{op}}{\lambda} H_0 J_0'(k_c \rho) \hat{z} + j Z_0 \frac{\lambda_{op}}{\lambda} H_0 J_0'(k_c \rho) H_0 J_0(k_c \rho) \hat{\rho} \right] \quad (8)$$

$$\bar{P} = \frac{Z_0^2 H_0^2 J_0'^2(k_c \rho)}{2 Z_{TE}} \left( \frac{\lambda_{op}}{\lambda} \right)^2 \hat{z} \quad (9)$$

Τό μέτρο  $\bar{P}$  τοῦ  $\bar{P}$  ἐκφράζει τήν ἰσχύ ἀνά μονάδα διατομῆς.  
Ὡστε, ἂν  $S$  ἡ διατομή, ἡ ὅλκκη ἰσχύς πού κυματοδηγεῖται εἶναι :

$$\bar{N} = \int_S \bar{P} \cdot \hat{z} \, dS = \int_S \bar{P} \, dS = \int_0^{2\pi} \int_0^{\alpha} \bar{P} \rho \, d\rho \, d\varphi \quad (10)$$

$$\text{καί ἐπειδὴ εἶναι:} \quad \bar{P} = \bar{P}(\rho) \quad (11)$$

$$\text{ἔχουμε} \quad \bar{N} = 2\pi \int_0^{\alpha} \bar{P} \rho \, d\rho \quad (12)$$

$$\bar{N} = \frac{\pi Z_0^2 H_0^2}{Z_{TE}} \left( \frac{\lambda_{op}}{\lambda} \right)^2 \int_0^{\alpha} J_0'^2(k_c \rho) \rho \, d\rho \quad (13)$$

$$\bar{N} = \frac{\pi Z_0^2 H_0^2}{k_c^2 Z_{TE}} \left( \frac{\lambda_{op}}{\lambda} \right)^2 \int_0^{k_c \alpha} J_0'^2(u) u \, du \quad (14)$$

$$\text{ὅπου:} \quad Z_0 = 377 \Omega = \sqrt{\frac{\mu_0}{\epsilon_0}} \quad (15)$$

$$k_c = (k_c)_{01} = \frac{P_{01}'}{\alpha} \quad (16)$$

ὅπου  $P_{01}'$  εἶναι ἡ 1 τάξης ρίζα τῆς  $J_0'(u)$

$$f_{op} = \frac{c P_{01}'}{2\pi \alpha} \quad (17)$$

$$\text{καί} \quad Z_{TE} = \frac{Z_0}{\sqrt{1 - \left( \frac{\lambda}{\lambda_{op}} \right)^2}} \quad (18)$$

Π α ρ α τ ῆ ρ η σ η : Στόν ὑπολογισμό τῆς (14) μπορούμε νά χρη-  
σιμοποιήσουμε τή σχέση:  $J_0'(u) = -J_1(u)$  (19)

$$\text{καί τόν ἀναγωγικό τύπο:} \quad \int J_n^2(u) u \, du = \frac{u^2}{2} [J_n^2(u) - J_{n-1}(u) J_{n+1}(u)]$$

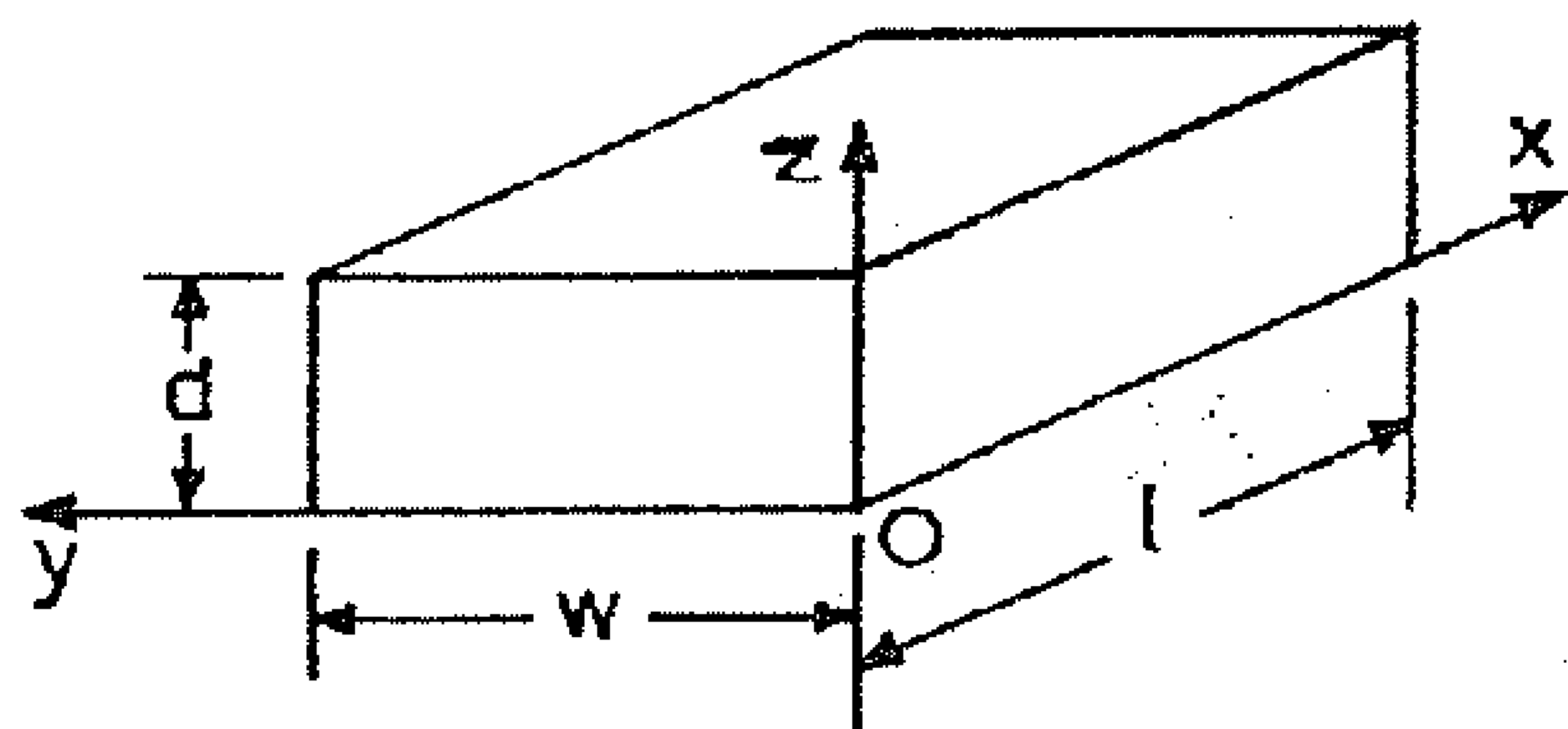


5.9 Μελέτη του ὀρθογώνιου ἡλεκτρομαγνητικοῦ ἀντηχεύου σέ κυμα-  
τικό τύπο  $TE_{101}$ .

Ἐστω ὅτι τὸ ὀρθογώνιο ἡλεκτρομαγνητικό ἀντηχεῖο τοῦ σχή-  
ματος πάλλεται στὸν κυματικό τύπο  $TE_{101}$ . Ἐὰν τὸ διηλεκτρικό τοῦ  
ἀντηχεύου εἶναι ἀέρας

α. Νά προσδιοριστεῖ ἡ συχνό-  
τητα συντονισμοῦ  $f_{101}$  τοῦ  
ἀντηχεύου.

β. Ἐὰν  $w=2\text{cm}$  καὶ  $d=1\text{cm}$  πόσο  
πρέπει νά εἶναι τὸ  $l$  γιὰ  
νά συντονίσει τὸ ἀντηχεῖο στὰ  $10\text{ GHz}$  ;



γ. Νά προσδιοριστεῖ ἡ στιγμιαία ἡλεκτρικὴ ἐνέργεια  $W_e$ , πού  
εἶναι ἀποθηκευμένη μέσα στὸ ἀντηχεῖο, καθώς καὶ ἡ στιγμι-  
αία μαγνητικὴ ἐνέργεια  $W_m$ .

δ. Νά ἀποδειχτεῖ ὅτι, ἂν ἀγνοηθοῦν οἱ ἀπώλειες στὰ τοιχώματα,  
ἡ ὅλική ἀποθηκευμένη ἡλεκτρομαγνητικὴ ἐνέργεια μέσα  
στὸ ἀντηχεῖο εἶναι ἀνεξάρτητη ἀπὸ τὸ χρόνο.

ε. Ἐὰν, μέ μιὰ γραμμὴ μεταφορᾶς, τροφοδοτεῖται τὸ ἀντηχεῖο μέ  
ἰσχύ τόση, ὅση ἀκριβῶς καταναλώνεται στὰ τοιχώματά του, νά  
ὑπολογιστεῖ ἡ ἰσχύς, πού χάνεται σέ κάθε ἓνα ζευγάρι πα-  
ράλληλων τοιχωμάτων του.

στ. Νά προσδιοριστεῖ ὁ συντελεστής ποιότητος  $Q$  τοῦ ἀντηχεύου,  
πού ὀρίζεται ἀπὸ τὴ σχέση :

$$Q = 2\pi \frac{\text{ὅλική ἀποθηκευμένη ἐνέργεια}}{\text{ἐνέργεια πού χάνεται σέ μιὰ περίοδο}} = 2\pi \frac{W}{W_T}.$$

ζ. Νά προσδιοριστεῖ τὸ  $Q$  στὴν περίπτωση πού  $w=l$  (τετράγωνο  
ἀντηχεῖο) καὶ νά ὑπολογιστεῖ τὸ  $Q$  τοῦ ἀντηχεύου τοῦ ἐρω-  
τήματος β, ἂν τὸ ἀντηχεῖο εἶναι χάλκινο καὶ τὸ βάθος δι-

είσδυσης στο χαλκό είναι :

$$x_0 = \frac{6,6 \cdot 10^{-2}}{\sqrt{f}} \quad \text{σέ m αν τό } f \text{ σέ Hz} .$$

η. "Αν τό άντηχεῖο τοῦ ἐρωτήματος β τροφοδοτεῖται ἀπό γραμμή μεταφορᾶς μέ σταθερή ἰσχύ  $0,1 \text{ W}$  καί βρίσκεται σέ ἰσορροπία, νά προσδιοριστεῖ τό πλάτος  $H_0$  τῆς μαγνητικῆς διέγερσης μέσα του (γιά τό χαλκό  $\sigma = 5,7 \cdot 10^7 \Omega^{-1} \text{ m}^{-1}$ ) .

### Λύση

α. 'Από τή σχέση (5-152) τῆς θεωρίας, γιά  $m = 1$  ,  $n = 0$  καί  $p = 1$  , προκύπτει:

$$\frac{\omega^2}{v^2} = \pi^2 \left( \frac{1}{w^2} + \frac{1}{l^2} \right) = \frac{\pi^2}{w^2} \left( 1 + \frac{w^2}{l^2} \right) \quad (1)$$

ἀπό τή σχέση αὐτή μέ  $v = c$  καί  $\omega = 2\pi f$  ἔχουμε:

$$f_{101} = \frac{c}{2w} \sqrt{1 + \frac{w^2}{l^2}} \quad (2)$$

β. 'Από τή (2) προκύπτει ἡ διτετράγωνη ἐξίσωση:

$$4f_{101}^2 l^4 - c^2 l^2 - w^2 c^2 = 0 \quad (3)$$

πού ἔχει τή θετική πραγματική λύση:

$$l = \sqrt{\frac{c^2 + \sqrt{c^4 + 16f_{101}^2 w^2 c^2}}{8f_{101}^2}} \quad (4)$$

ἀντικαθιστώντας τίς τιμές βρίσκουμε :  $l = 2,08 \text{ cm}$

γ. Οἱ συνιστώσες πεδίου τοῦ τύπου  $TE_{101}$  τοῦ ὀρθογώνιου ἀντηχεῖου δύνονται ἀπό τίς σχέσεις (5-154). "Αν  $V$  ὁ ὄγκος τοῦ ἀντηχεῖου εἶναι:

$$W_e = \int_V w_e dV = \frac{1}{2} \epsilon_0 \int_V E^2 dV = \frac{1}{2} \epsilon_0 \int_V E_z^2 dV \quad (5)$$

καί ἐπειδή, ἂν  $H_0 = H_0$  (δηλ. ἔχει φάση μηδέν) , εἶναι:

$$E_z = \frac{\omega \mu w H_0}{\pi} \sin \frac{\pi y}{w} \sin \frac{\pi x}{l} \cos \left( \omega t - \frac{\pi}{2} \right) \quad (6)$$

ἔχουμε :

$$W_e = \frac{\epsilon_0}{2} (2f_{101} \mu W H_0)^2 \cos^2 \left( \omega t - \frac{\pi}{2} \right) \int_0^l \int_0^w \int_0^d \sin^2 \frac{\pi y}{w} \sin^2 \frac{\pi x}{l} dx dy dz \quad (7)$$

Μετά τήν ολοκλήρωση έχουμε :

$$W_e = \frac{\mu_0 H_0^2 l w d}{8} \left( 1 + \frac{w^2}{l^2} \right) \sin^2 \omega t \quad (8)$$

Ανάλογα έχουμε :

$$W_m = \frac{\mu_0}{2} \int_V H^2 dV \quad (9)$$

$$\text{όπου} \quad H^2 = H_x^2 + H_y^2 \quad (10)$$

$$\text{καί} \quad H_x = H_0 \cos \frac{\pi y}{w} \sin \frac{\pi x}{l} \cos \omega t \quad (11)$$

$$H_y = -\frac{w}{l} H_0 \sin \frac{\pi y}{w} \cos \frac{\pi x}{l} \cos \omega t \quad (12)$$

Τελικά βρίσκουμε:

$$W_m = \frac{\mu_0 H_0^2 l w d}{8} \left( 1 + \frac{w^2}{l^2} \right) \cos^2 \omega t \quad (13)$$

δ. Από τύς (8) καί (13) έχουμε:

$$W = W_e + W_m = \frac{\mu_0 H_0^2 l w d}{8} \left( 1 + \frac{w^2}{l^2} \right) \quad (14)$$

Αν αγνοηθοῦν οἱ ἀπώλειες εἶναι  $H_0 = \text{σταθ. καί ἑπομένως:}$

$$W = \text{σταθ.}$$

ε. Ἐστω  $\bar{N}_x$  ἡ ἰσχύς πού χάνεται στά δύο τοιχώματα πού εἶναι κάθετα στόν ἄξονα  $x$  καί ἀντίστοιχα  $\bar{N}_y$  καί  $\bar{N}_z$  γιά τούς ἄλλους ἄξονες. Στή  $\bar{N}_x$  συνεισφέρει μόνο ἡ παράλληλη συνιστώσα  $H_y$  (βλ. πρόβλ. 4.5 καί προβλ. 4.4). Ἐάν  $\bar{P}_x$  εἶναι ἡ ἰσχύς ἀνά μονάδα ἐπιφάνειας πού χάνεται, ἔχουμε γιά τό τοίχωμα  $x = 0$  :

$$\bar{P}_x = \frac{1}{2} R_s |H_y|_{x=0}^2 \quad (15)$$

$$\text{Ὡστε} \quad \bar{N}_x = 2 \int_{y=0}^w \int_{z=0}^d \bar{P}_x dy dz = R_s \int_{y=0}^w \int_{z=0}^d |H_y|_{x=0}^2 dy dz \quad (16)$$

$$\text{Ἀλλά εἶναι :} \quad |H_y|_{x=0}^2 = \left( \frac{w}{l} \right)^2 H_0^2 \sin^2 \frac{\pi y}{w} \quad (17)$$

ή τελικά:

$$\bar{N}_x = \frac{1}{2} R_s H_0^2 \left( \frac{w}{l} \right)^2 w d \quad (18)$$

Μέ τον ίδιο τρόπο στην ισχύ  $\bar{N}_y$  συνεισφέρει η  $H_x$  ενώ στην ισχύ  $\bar{N}_z$  συνεισφέρουν και η  $H_x$  και η  $H_y$ .

Οι αντίστοιχοι υπολογισμοί δίνουν :

$$\bar{N}_y = \frac{1}{2} R_s H_0^2 l d \quad (19)$$

$$\text{και} \quad \bar{N}_z = \frac{1}{4} R_s H_0^2 \left( 1 + \frac{w^2}{l^2} \right) w l \quad (20)$$

στ. Η ολική μέση ισχύς  $\bar{N}$  που χάνεται στα τοιχώματα είναι:

$$\bar{N} = \bar{N}_x + \bar{N}_y + \bar{N}_z \quad (21)$$

και επομένως:

$$Q = \frac{2\pi f W}{\bar{N}} = \frac{\mu_0 \pi f}{R_s} l w d \frac{1 + \frac{w^2}{l^2}}{2 \left( \frac{w}{l} \right)^2 w d + 2 l d + \left( 1 + \frac{w^2}{l^2} \right) w l} \quad (22)$$

ζ. Για  $w=l$  η (22) δίνει:

$$Q = \frac{2 \mu_0 \pi f}{R_s} \frac{l w d}{2 (w d + l d + w l)} \quad (23)$$

ή

$$Q = \frac{2 \mu_0 \pi f}{R_s} \frac{V}{S_{ολ}} \quad (24)$$

όπου  $V=lwd$  είναι ο όγκος του αντηχείου και  $S_{ολ}=2(wd+ld+wl)$  το συνολικό έμβαδό των έσωτερικών του τοιχωμάτων.

Δεδομένου ότι

$$R_s = \sqrt{\frac{\omega \mu}{2\sigma}} = \sqrt{\frac{\pi f \mu}{\sigma}} \quad (25)$$

$$\text{και το βάθος διείσδυσης} \quad x_0 = \sqrt{\frac{2}{\omega \mu \sigma}} \quad (26)$$

η (24) μπορεί να γραφεί:

$$Q = \frac{2}{x_0} \frac{V}{S_{ολ}} \quad (27)$$

Στην περίπτωση του έρωτ. β είναι  $w = 2d = 2\text{cm}$  και  $f=10\text{ GHz}=10^{10}\text{ Hz}$ , προσδιορίστηκε δέ  $\lambda = 2,08\text{ cm} \approx 2\text{ cm}$ .

Μπορούμε λοιπόν να χρησιμοποιήσουμε τη σχέση (27) :

$$Q = \frac{2 \cdot 10^5}{6,6 \cdot 10^{-2}} \frac{4 \cdot 10^{-6}}{16 \cdot 10^{-4}} = 7576 \quad (28)$$

"Αν λογαριάσουμε τό  $Q$  από την (22) βρίσκουμε την ακριβέστερη τιμή :  $Q = 7646$  .

η. Από τις (18), (19), (20) και (21) έχουμε:

$$\bar{N} = \frac{1}{4} R_S H_o^2 \left[ 2 \left( \frac{w}{l} \right)^2 w d + 2 l d + \left( 1 + \frac{w^2}{l^2} \right) w l \right] \quad (29)$$

Για  $w \simeq l$  έχουμε:

$$\bar{N} = \frac{1}{4} R_S H_o^2 S_{o\lambda} \quad (30)$$

Είναι όμως :

$$R_S = \frac{1}{\sigma x_o} \quad (31)$$

Ωστε

$$\bar{N} = \frac{1}{4 \sigma x_o} H_o^2 S_{o\lambda} \quad (32)$$

και

$$H_o = \sqrt{\frac{4 \sigma x_o \bar{N}}{S_{o\lambda}}} \quad (33)$$

Θέτοντας στην (33)  $\bar{N} = 0,1 \text{ W}$  ,  $\sigma = 5,7 \cdot 10^7 \Omega^{-1} \text{ m}^{-1}$  ,

$$S_{o\lambda} = 16 \cdot 10^{-4} \text{ m}^2 \quad \text{και} \quad x_o = \frac{6,6 \cdot 10^{-2}}{10^5} \text{ m}$$

Έχουμε τελικά:  $\underline{H_o = 94 \text{ A/m}}$  .

**5.10** Ένας ορθογώνιος κυματοδηγός έχει εσωτερικές εγκάρσιες διαστάσεις  $w = 8 \text{ cm}$  και  $d = 4 \text{ cm}$ , και περιέχει αέρα.

α. Να προσδιοριστούν οι όρικές συχνότητες των ακόλουθων κυματικών τύπων:  $TEM$ ,  $TE_{10}$  ,  $TE_{20}$ ,  $TE_{01}$ ,  $TE_{02}$ ,  $TE_{11}$  ,  $TE_{21}$ , και  $TE_{12}$  .

β. Να προσδιοριστεί ο λόγος της ταχύτητας, που έχει τό κύ-

μα μέσα στον κυματοδηγό, προς την ταχύτητά του στον ελεύθερο αέρα, για κάθε έναν από τους παραπάνω κυματικούς τύπους στη συχνότητα  $f = 1,5 f_{op}$ .

( 'Απ. α. 'Ο τύπος TEM δεν διαδίδεται

$$TE_{10} : f_{op} = 1,87 \text{ GHz}$$

$$TE_{20} : 3,75 \text{ GHz}$$

$$TE_{01} : 3,75 \text{ GHz}$$

$$TE_{02} : 7,50 \text{ GHz}$$

$$TE_{11} : 4,19 \text{ GHz}$$

$$TE_{21} : 5,30 \text{ GHz}$$

$$TE_{12} : 7,73 \text{ GHz}$$

β.  $\frac{u_p}{u} = 1,342$  για όλους τους τύπους που διαδίδονται).

**5.11** Νά υπολογιστούν η ταχύτητα φάσης ( $u_p$ ) και η ταχύτητα ομάδας ( $u_g$ ) του κυματικού τύπου  $H_{10}$  μέσα σ' έναν ορθογώνιο κυματοδηγό, που έχει εσωτερικές εγκάρσιες διαστάσεις  $w = 2,5 \text{ cm}$  και  $d = 1,25 \text{ cm}$  και περιέχει αέρα. 'Η συχνότητα του κύματος είναι  $f = 10 \text{ GHz}$ .

( 'Απ.  $u_p = 3,75 \cdot 10^8 \text{ m/sec}$ ,  $u_g = 2,4 \cdot 10^8 \text{ m/sec}$  )

**5.12** Νά υπολογιστούν οι διαστάσεις  $w$  και  $d$  ενός ορθογώνιου κυματοδηγού, αν  $\frac{w}{2} < d < w$  και ο κυματοδηγός με διηλεκτρικό τόν αέρα, θέλουμε να μεταδίδει τον κυματικό τύπο  $TE_{10}$  σε συχνότητα  $f = 3 \text{ GHz}$  και με παράγοντα ασφάλειας 30% (δηλ.  $f = 1,3 f_{op}$ ).

'Επιπλέον, όμως, ο κυματικός τύπος με την άμέσως μεγαλύτερη ορική συχνότητα να βρίσκεται 30% κάτω από αυτήν. (έξετάσεις Δεκεμ. 1978) ( 'Απ.  $w = 6,5 \text{ cm}$ ,  $d = 3,5 \text{ cm}$  )

**5.13** 'Η εξίσωση διασποράς για έναν ορθογώνιο κυματοδηγό και για έναν από τους κυματικούς τύπους  $TE_{mn}$  μπορεί να γραφεί ως εξής :

$$\omega^2 = A \left( \beta^2 + \frac{\pi^2}{w^2} + \frac{\pi^2}{d^2} \right) \quad (1)$$

όπου  $\omega$  ή κυκλική συχνότητα του κύματος,  $\beta$  ή σταθερά φάσης του,  $\pi=3,14$ ,  $w$  και  $d$  οι εγκάρσιες διαστάσεις του κυματοδηγού και  $A = 9 \cdot 10^{16} \text{ m}^2/\text{sec}^2$  (Είναι  $w > d$ ).

α. Νά προσδιοριστούν οι αριθμοί  $m$  και  $n$  του συγκεκριμένου αυτού τύπου  $TE_{mn}$ , καθώς και η τιμή  $v$  της ταχύτητας διάδοσης, που θα είχε τό κύμα με την ίδια κυκλική συχνότητα στο ελεύθερο διηλεκτρικό.

β. Νά προσδιοριστούν η σταθερά φάσης  $\beta$  του παραπάνω κυματικού τύπου και τό μήκος κύματός του  $\lambda_x$ , αν η συχνότητά του είναι  $f = 10\text{GHz}$  και είναι  $w = 3\text{cm}$ ,  $d = 2\text{cm}$ .

γ. Πόση είναι η ταχύτητα ομάδας  $v_g$  μέσα στον κυματοδηγό;  
(θέμα εξετάσεων 'Οκτωβρίου 1978)

( 'Απ. α.  $m=n=1$ ,  $v = 3 \cdot 10^8 \text{ m/sec}$

β.  $\beta = 91 \text{ m}^{-1}$ ,  $\lambda_x = 69 \text{ mm}$

γ.  $v_g = 1,3 \cdot 10^8 \text{ m/sec}$  )

**5.14** Οι έσωτερικές εγκάρσιες διαστάσεις ενός ορθογώνιου κυματοδηγού είναι  $w = 5 \text{ cm}$  και  $d = 4 \text{ cm}$  και τό διηλεκτρικό του είναι αέρας:

α. Σέ συχνότητες κάτω από  $8 \text{ GHz}$  ποιού κυματικού τύπου  $TE$  και  $TM$  διαδίδονται;

β. Στή συχνότητα  $f = 1,7f_{op}$  πόσος είναι ο λόγος της ταχύτητας του κύματος μέσα στον κυματοδηγό πρός την ταχύτητά του στον ελεύθερο αέρα για κάθε κυματικό τύπο;

( 'Απ. α.  $TE_{10}$  3,0 GHz ,  $TE_{20}$  6,0 GHz ,  $TE_{11}$  4,8 GHz

$TE_{21}$  7,1 GHz ,  $TE_{01}$  3,7 GHz ,  $TE_{02}$  7,5 GHz

$TM_{11}$  4,8 GHz ,  $TM_{21}$  7,1 GHz

β.  $v_x/v = 1,237$  για όλους τους τύπους)

5.15 'Η σχέση πού δίνει τό συντελεστή εξασθένησης  $\alpha_c$ , λόγω άτε-  
λοῦς άγωγιμότητας, τῶν κυματικῶν τύπων  $TM_{mn}$  σ' ἓναν ὀρθογώνιο  
κυματοδηγό, εἶναι:

$$(\alpha_c)_{TM_{mn}} = \frac{2R_s}{dz_d \sqrt{1 - \left(\frac{f_{op}}{f}\right)^2}} \frac{\left[m^2 \left(\frac{d}{w}\right)^3 + n^2\right]}{\left[m^2 \left(\frac{d}{w}\right)^2 + n^2\right]} \quad (1)$$

Νά προσδιοριστεῖ ἡ συχνότητα  $f_m$ , στήν ὁποία ὁ  $\alpha_c$  γίνεται  
ελάχιστος. ( 'Υπενθυμίζεται ὅτι ἡ ἐπιδερμική αντίσταση  $R_s$  εἶναι  
συνάρτηση τῆς συχνότητας βλ. καί προβλ. 5.7)

( 'Απ.  $f_m = \sqrt{3} f_{op}$  )

5.16 Νά ἀποδειχτεῖ ὅτι ἓνας ὀρθογώνιος κυματοδηγός, πού ἔχει  
ἑσωτερικές ἐγκάρσιες διαστάσεις  $w$  καί  $d$ , ἐντελῶς άγωγιμα τοιχώ-  
ματα καί εἶναι διεγερμένος στόν κυματικό τύπο  $TE_{10}$ , μεταδύδει  
ὅλική μέση ἰσχύ :

$$\bar{N} = \frac{\omega \mu \beta_{10} |H_0|^2 d w^3}{4 \pi^2}$$

5.17 'Η ἑσωτερική διάμετρος ἑνός κυλινδρικοῦ κυματοδηγοῦ, πού  
περιέχει αέρα, εἶναι  $2a = 5 \text{ cm}$ .

α. Νά προσδιοριστοῦν οἱ ὀρικές συχνότητες τῶν κυματικῶν



τύπων:  $TM_{01}$ ,  $TM_{02}$ ,  $TM_{11}$ ,  $TM_{12}$ ,  $TE_{01}$ ,  $TE_{02}$ ,  $TE_{11}$  και  $TE_{12}$ .

β. Πόσος είναι ο λόγος της ταχύτητας του κύματος μέσα στο κυματοδηγό προς την ταχύτητά του στον ελεύθερο αέρα, για τους παραπάνω κυματικούς τύπους και στη συχνότητα  $f = 1,3 f_{op}$ ;

(Απ. α.  $TM_{01}$  2,3 GHz,  $TM_{02}$  5,3 GHz,  $TM_{11}$  3,7 GHz

$TM_{12}$  6,7 GHz,  $TE_{01}$  3,7 GHz,  $TE_{02}$  6,7 GHz

$TE_{11}$  1,8 GHz,  $TE_{12}$  5,1 GHz

β.  $v_x/v = 1,565$  για όλους τους τύπους)

5.18 Ένας κυλινδρικός κυματοδηγός με εσωτερική διάμετρο  $2a=7,5$  cm περιέχει αέρα.

α. Σέ συχνότητες κάτω από 5 GHz ποιούς κυματικούς τύπους, TE ή TM μπορεί να μεταδώσει ο κυματοδηγός;

β. Πόσος είναι ο λόγος της ταχύτητας του κύματος μέσα στο κυματοδηγό προς την ταχύτητά του στον ελεύθερο αέρα, στη συχνότητα  $f = 1,3 f_{op}$ ;

(Απ. α.  $TE_{11}$  1,17 GHz,  $TE_{21}$  1,97 GHz,  $TE_{31}$  2,67 GHz

$TE_{41}$  3,37 GHz,  $TE_{51}$  4,01 GHz,  $TE_{01}$  2,45 GHz

$TE_{02}$  4,46 GHz,  $TE_{12}$  3,39 GHz,  $TE_{22}$  4,27 GHz

$TM_{01}$  1,52 GHz,  $TM_{11}$  2,45 GHz,  $TM_{31}$  4,05 GHz

$TM_{41}$  4,82 GHz,  $TM_{02}$  3,51 GHz,  $TM_{12}$  4,46 GHz

β.  $v_x/v = 1,809$  για όλους τους τύπους)

5.19 Νά αποδειχτεί ότι ένας κυλινδρικός κυματοδηγός, που έχει εσωτερική ακτίνα  $a$ , έντελως αγωγικά τοιχώματα και είναι διεγερ-

μέγος στον κυματικό τύπο  $TE_{11}$ , μεταδύδει όλική μέση ισχύ:

$$\bar{N} = \frac{\omega \mu \beta_{11} |H_0|^2 a^4}{82}$$

**5.20** Νά προσδιορίσετε ποιός κυματικός τύπος έχει τη μικρότερη όρική συχνότητα και πόση είναι αυτή, αν ξέρουμε τα γεωμετρικά στοιχεία του κυματοδηγού και τα  $\epsilon$  και  $\mu$  του διηλεκτρικού του.

α. Σ'έναν ορθογώνιο κυματοδηγό με εγκάρσιες διαστάσεις  $w$  και  $d$  ( $w > d$ ) και

β. Σ'έναν κυκλικό κυλινδρικό κυματοδηγό με ακτίνα  $a$ .

(Θέμα εξέτασεων 'Ιουλίου 1977) .

( 'Απ. α. 'Ο τύπος  $TE_{10}$  με  $f_{op} = \frac{1}{2 \sqrt{\epsilon \mu} w}$

β. 'Ο τύπος  $TE_{11}$  με  $f_{op} = \frac{0,293}{a \sqrt{\epsilon \mu}}$  )

**5.21** α. Νά προσδιορίσετε τη συνάρτηση

$$\lambda_x = \lambda_x(\lambda_0, \lambda_{op}, \epsilon_r, \mu_r)$$

όπου  $\lambda_x$  τό μήκος κύματος, πού έχει ένας όρισμένος κυματικός τύπος μέσα σ'έναν κυματοδηγό,  $\lambda_0$  τό μήκος κύματος της ίδιας συχνότητας στο κενό, χωρίς κυματοδήγηση,  $\lambda_{op}$  τό όρικό μήκος κύματος του κυματοδηγού για τόν συγκεκριμένο κυματικό τύπο και  $\epsilon_r$ ,  $\mu_r$  ή σχετική διηλεκτρική σταθερά και ή σχετική μαγνητική διαπερατότητα του υλικού, πού περιέχει ό κυματοδηγός.

β. 'Η όρική συχνότητα για όρισμένο κυματικό τύπο ενός κυματοδηγού, όταν αυτός είναι άδειος, είναι  $f_{op} = 8,6$  GHz. Γεμίζουμε τόν κυματοδηγό με διηλεκτρικό υλικό, πού έχει  $\epsilon_r = 2,56$  και  $\mu_r = 1$ , και κυματοδηγοῦμε τόν ίδιο κυματικό

τύπο σέ συχνότητα  $f = 6 \text{ GHz}$ . Πόσο είναι τό μήκος κύματος  $\lambda_{\kappa}$  μέσα στόν κυματοδηγό; (Θέμα εξέτάσεων 'Οκτωβ. 1977)

( 'Απ. α. 
$$\lambda_{\kappa} = \frac{\lambda_0}{\sqrt{\epsilon_r \mu_r - \left(\frac{\lambda_0}{\lambda_{0p}}\right)^2}}$$
  
 β.  $\lambda_{\kappa} = 0,07 \text{ m}$  )

5.22 Ένα ὀρθογώνιο ἡλεκτρομαγνητικό ἀντηχεῖο περιέχει ἀέρα καί ἔχει διαστάσεις  $w = l = 8 \text{ cm}$  καί  $d = 3,5 \text{ cm}$ . Είναι κατασκευασμένο ἀπό χαλκό καί ἐπικρυσωμένο ἐσωτερικά. Ἄν τό ἀντηχεῖο λειτουργεῖ στόν κυματικό τύπο  $TE_{101}$  νά προσδιοριστοῦν :

α. Ἡ συχνότητα συντονισμοῦ

β. Τό μήκος κύματος συντονισμοῦ

γ. Ὁ συντελεστής ποιότητος  $Q$ .

(Γιά τό χρυσό εἶναι  $\sigma = 4,1 \cdot 10^7 \text{ } \Omega^{-1} \text{ m}^{-1}$  )

( 'Απ. α.  $f = 2,65 \text{ GHz}$

β.  $\lambda = 11,3 \text{ cm}$

γ.  $Q = 12413$  )

5.23 α. Νά ἀποδειχτεῖ ὅτι ὁ συντελεστής ποιότητος  $Q$ , ἑνός ὀρθογώνιου ἡλεκτρομαγνητικοῦ ἀντηχείου πού ἔχει ἐσωτερικές διαστάσεις  $w, d, l$  καί λειτουργεῖ στόν κυματικό τύπο  $TE_{101}$  μπορεῖ νά προσδιοριστεῖ ἀπό τή σχέση:

$$Q = \frac{\pi Z}{4R_s} \left[ \frac{2d(w^2 + l^2)^{3/2}}{wl(w^2 + l^2) + 2d(w^3 + l^3)} \right] \quad (1)$$

ὅπου  $Z$  ἡ κυματική ἀντίσταση τοῦ διηλεκτρικοῦ τοῦ ἀντηχείου καί  $R_s$  ἡ ἐπιδερμική ἀντίσταση τῶν τοιχωμάτων του.

β. Νά αποδειχτεῖ ὅτι στήν περίπτωση κυβικοῦ ἡλεκτρομαγνητικοῦ ἀντηχεύου εἶναι:

$$Q = \frac{\sqrt{2}\pi}{6} \frac{Z}{R_S} = 0,742 \frac{Z}{R_S} \quad (2)$$

δηλ. ὁ  $Q$  εἶναι ἀνεξάρτητος ἀπό τήν ἀκμή τοῦ κύβου.

γ. Νά αποδειχτεῖ ὅτι γιά ἓνα χάλκινο κυβικό ἀντηχεῖο μέ διηλεκτρικό τόν ἀέρα, σέ συχνότητα  $f = 10 \text{ GHz}$ , εἶναι:

$$Q = 10730$$

(γιά τό χαλκό  $\Gamma_S = 0,0261 \Omega$ , γιά τόν ἀέρα  $Z \simeq Z_0 = 377\Omega$ ).

## Κ Ε Φ Α Λ Α Ι Ο 6

6.1 Μέσα σ' ἓνα ἀραιό ἀέριο πλάσμα ὑπάρχει ἐξωτερικό σταθερό μαγνητικό πεδίο  $\vec{B}_0$  παράλληλο πρὸς τόν ἄξονα  $z$ . Νά αποδειχτεῖ ὅτι ἂν μέσα στό πλάσμα διαδύδεται ἓνα ἡλεκτρομαγνητικό κύμα μέ κυκλική συχνότητα  $\omega \gg \frac{e}{m} B_0$  ἡ συνιστώσα Hall τῆς πυκνότητας ρεύματος ( $\vec{J}_H$ ), πού ἀναπτύσσεται, εἶναι κάθετη στό  $\vec{B}_0$  καί στό διάνυσμα  $\vec{E}$  τοῦ ἡλεκτρικοῦ πεδίου τοῦ κύματος ( $e$ ,  $m$  φορτίο καί μάζα τοῦ ἡλεκτρονίου ἀντίστοιχα).

### Λ ύ σ η

τό μέγεθος  $\omega_g = \frac{e}{m} B_0 \quad (1)$

εἶναι ἡ γυρομαγνητική συχνότητα τοῦ πλάσματος.

Ὅταν  $\omega \gg \omega_g$  (ὅπως συμβαίνει ἐδῶ) ὁ τανυστής τῆς εἰδικῆς ἀγωγιμότητας τοῦ πλάσματος ἔχει τή συνιστώσα:

$$\vec{\sigma}_H = \frac{j\sigma_0 \omega_g}{\omega} \begin{bmatrix} 0 & 1 & 0 \\ -1 & 0 & 0 \\ 0 & 0 & 0 \end{bmatrix} \quad (2)$$

πού ἐκφράζει τό φαινόμενο Hall, ὅπου:

$$\sigma_0 = -j \frac{Ne^2}{\omega m} \quad (3)$$

Η συνιστώσα Hall της πυκνότητας ρεύματος είναι:

$$\vec{J}_H = \vec{\mathcal{J}}_H e^{j\omega t} \quad (4)$$

$$\text{μέ } \vec{\mathcal{J}}_H = \vec{\sigma}_H \vec{\mathcal{E}} = j \frac{\sigma_o \omega g}{\omega} \begin{bmatrix} 0 & 1 & 0 \\ -1 & 0 & 0 \\ 0 & 0 & 0 \end{bmatrix} \begin{bmatrix} \mathcal{E}_x \\ \mathcal{E}_y \\ \mathcal{E}_z \end{bmatrix} = j \frac{\sigma_o \omega g}{\omega} \begin{bmatrix} \mathcal{E}_y \\ -\mathcal{E}_x \\ 0 \end{bmatrix} \quad (5)$$

Όστε η  $\vec{J}_H$  δεν έχει z-συνιστώσα, είναι δηλαδή κάθετη στον άξονα z, επομένως και στο  $\vec{B}_0$ .

Σχηματίζοντας το εσωτερικό γινόμενο  $\vec{\mathcal{J}}_H \cdot \vec{\mathcal{E}}$  έχουμε:

$$\begin{aligned} \vec{\mathcal{J}}_H \cdot \vec{\mathcal{E}} &= [\vec{\mathcal{J}}_H]^T [\vec{\mathcal{E}}] = j \frac{\sigma_o \omega g}{\omega} \begin{bmatrix} \mathcal{E}_y & -\mathcal{E}_x & 0 \end{bmatrix} \begin{bmatrix} \mathcal{E}_x \\ \mathcal{E}_y \\ \mathcal{E}_z \end{bmatrix} = \\ &= j \frac{\sigma_o \omega g}{\omega} (\mathcal{E}_y \mathcal{E}_x - \mathcal{E}_x \mathcal{E}_y) = 0 \end{aligned}$$

Όστε η  $\vec{J}_H$  είναι κάθετη και στο πεδίο  $\vec{E}$  του ηλεκτρομαγνητικού κύματος.

**6.2** Ένα αραιό αέριο πλάσμα έχει ηλεκτρονική πυκνότητα N.

α. Μέ πόση ταχύτητα υ διαδίδεται μέσα σ' αυτό ένα επίπεδο ηλεκτρομαγνητικό κύμα, μέ κυκλική συχνότητα  $\omega$  αρκετά μεγαλύτερη από τη χαρακτηριστική κυκλική συχνότητα του πλάσματος;

β. Στην περίπτωση ενός διαμορφωμένου κύματος ενδιαφέρει τόσο η ταχύτητα φάσης όσο και η ταχύτητα ομάδας.

Αν τό παραπάνω κύμα διαμορφωθεί, πόση θά είναι η ταχύτητα φάσης και πόση η ταχύτητα ομάδας;

### Λύση

α. Η συχνότητα πλάσματος  $f_p$  και η πυκνότητα N σχετίζονται μέ την εξίσωση (σύστημα SI) :

$$f_p = 9 \sqrt{N} \quad (1)$$

Επομένως  $\omega_p = 18\pi\sqrt{N}$  (2)

Η διηλεκτρική σταθερά του πλάσματος (απουσία μαγνητικού πεδίου) είναι:

$$\epsilon = \epsilon_0 \left(1 - \frac{\omega_p^2}{\omega^2}\right) = \epsilon_0 \left(1 - \frac{324\pi^2 N}{\omega^2}\right) \quad (3)$$

Η ταχύτητα  $v$  του ΗΜ κύματος είναι:

$$v = \frac{1}{\sqrt{\epsilon\mu_0}} = \frac{1}{\sqrt{\epsilon_0\mu_0}} \frac{1}{\sqrt{1 - \frac{\omega_p^2}{\omega^2}}} = \frac{c}{\sqrt{1 - \frac{324\pi^2 N}{\omega^2}}} \quad (4)$$

β. Η σταθερά φάσης του κύματος είναι:

$$\beta = \frac{\omega}{c} \sqrt{1 - \frac{\omega_p^2}{\omega^2}} = \frac{\omega}{c} \sqrt{1 - \frac{324\pi^2 N}{\omega^2}} \quad (5)$$

Η ταχύτητα φάσης  $v_p$  είναι:

$$v_p = \frac{\omega}{\beta} = \frac{c}{\sqrt{1 - \frac{324\pi^2 N}{\omega^2}}} = v \quad (6)$$

Γράφουμε την (5) με τη μορφή :

$$\beta^2 = \frac{\omega^2}{c^2} - \frac{324\pi^2 N}{c^2} \quad (7)$$

όποτε η ταχύτητα ομάδας  $v_g$  προκύπτει με την παραγωγή της (7)

$$2\beta d\beta = \frac{2\omega}{c^2} d\omega \quad \text{από όπου} \quad v_g = \frac{d\omega}{d\beta} = \frac{\beta c^2}{\omega} = \frac{c^2}{v} \quad (8)$$

καί χρησιμοποιώντας έχουμε:  $v_g = c \sqrt{1 - \frac{324\pi^2 N}{\omega^2}}$  (9)

**6.3** Ο ταυιστής της σχετικής διηλεκτρικής σταθεράς ενός αραίου καί ψυχρού αέριου πλάσματος, παρουσία μαγνητικού πεδίου με ένταση  $\vec{B}_0 = B_0 \hat{z}$ , προκύπτει από τη σχέση (6-32).

Νά προσδιορίσετε τη σταθερά φάσης  $\beta$  του επίπεδου κύματος:

$$\vec{E}(z,t) = \vec{E}_0 e^{j(\omega t - \beta z)} = \vec{E} e^{j\omega t} \quad (1)$$

πού διαδίδεται μέσα στο πλάσμα και να αποδείξετε ότι το κύμα αυτό για να διαδίδεται πρέπει να είναι κυκλικά πολωμένο, δεξιότροφα ή αριστερότροφα (βλ και Κεφ. 7 θεωρίας για την κυκλική πόλωση) .

### Λ ύ σ η

Ξέρουμε από τη θεωρία ότι αν το κύμα διαδίδεται, γενικά, υπό γωνία  $\vartheta$  ως προς τον άξονα  $z$ , η λύση της εξίσωσης διασποράς δίνει τη σταθερά φάσης  $\beta$  της σχέσης (6-66) .

Στην περίπτωση μας το κύμα διαδίδεται κατά τον άξονα  $z$ , είναι δηλ.  $\vartheta = 0$  και η (6-66) γίνεται :

$$\beta^2 = \frac{\omega^2}{c^2} \frac{2\epsilon_{11}\epsilon_{33} \pm \sqrt{4\epsilon_{12}^2\epsilon_{33}^2}}{2\epsilon_{33}} = \frac{\omega^2}{c^2} \frac{2\epsilon_{11}\epsilon_{33} \pm 2\epsilon_{12}\epsilon_{33}}{2\epsilon_{33}} = \frac{\omega^2}{c^2} (\epsilon_{11} \pm \epsilon_{12}) \quad (2)$$

Όποτε: 
$$\beta = \frac{\omega}{c} \sqrt{\epsilon_{11} \pm \epsilon_{12}} \quad (3)$$

παίρνοντας τα  $\epsilon_{11}$  και  $\epsilon_{12}$  από την (6-32) έχουμε:

$$\beta^2 = \frac{\omega^2}{c^2} \left( 1 - \frac{\omega_p^2}{\omega^2 - \omega_g^2} \mp \frac{\frac{\omega_p^2}{\omega} \omega_g}{\omega^2 - \omega_g^2} \right) = \frac{\omega^2}{c^2} \left( 1 - \frac{\omega_p^2 (\omega \pm \omega_g)}{\omega (\omega^2 - \omega_g^2)} \right)$$

ή 
$$\beta^2 = \frac{\omega^2}{c^2} \left( 1 - \frac{\frac{\omega_p^2}{\omega}}{\omega \mp \omega_g} \right) \quad (4)$$

Από τη θεωρία ξέρουμε ότι, στη γενική περίπτωση που  $\vartheta \neq 0^\circ, 90^\circ$ , το φασικό ηλεκτρικό πεδίο  $\vec{E}$  του κύματος πρέπει να επαληθεύει την εξίσωση:

$$\begin{bmatrix} \epsilon_{11} - \left(\frac{c}{\omega}\right)^2 \beta^2 \cos^2 \vartheta & -j\epsilon_{12} & \left(\frac{c}{\omega}\right)^2 \beta^2 \sin \vartheta \cos \vartheta \\ j\epsilon_{12} & \epsilon_{11} - \left(\frac{c}{\omega}\right)^2 \beta^2 & 0 \\ \left(\frac{c}{\omega}\right)^2 \beta^2 \sin \vartheta \cos \vartheta & 0 & \epsilon_{33} - \left(\frac{c}{\omega}\right)^2 \beta^2 \sin^2 \vartheta \end{bmatrix} \cdot \begin{bmatrix} E_x \\ E_y \\ E_z \end{bmatrix} = 0 \quad (5)$$

Η (5) για  $\vartheta=0^\circ$  γίνεται:

$$\begin{bmatrix} \epsilon_{11} - \left(\frac{c}{\omega}\right)^2 \beta^2 & j\epsilon_{12} & 0 \\ -j\epsilon_{12} & \epsilon_{11} - \left(\frac{c}{\omega}\right)^2 \beta^2 & 0 \\ 0 & 0 & \epsilon_{33} - \left(\frac{c}{\omega}\right)^2 \beta^2 \end{bmatrix} \cdot \begin{bmatrix} \mathcal{E}_x \\ \mathcal{E}_y \\ \mathcal{E}_z \end{bmatrix} = 0 \quad (6)$$

παίρνοντας τα  $\epsilon_{11}$  και  $\epsilon_{12}$  από την (6-32) και το  $\beta^2$  από την (4) έχουμε:

$$\begin{bmatrix} \gamma - \frac{\omega_p^2}{\omega^2 - \omega_g^2} - \gamma + \frac{\frac{\omega_p^2}{\omega}}{\omega \mp \omega_g} & j \frac{\frac{\omega_p^2}{\omega} \omega_g}{\omega^2 - \omega_g^2} & 0 \\ -j \frac{\frac{\omega_p^2}{\omega} \omega_g}{\omega^2 - \omega_g^2} & \gamma - \frac{\omega_p^2}{\omega^2 - \omega_g^2} - \gamma + \frac{\frac{\omega_p^2}{\omega}}{\omega \mp \omega} & 0 \\ 0 & 0 & 1 - \frac{\omega_p^2}{\omega^2} \end{bmatrix} \begin{bmatrix} \mathcal{E}_x \\ \mathcal{E}_y \\ \mathcal{E}_z \end{bmatrix} = 0 \quad (7)$$

Αλλά οι δύο πρώτοι διαγώνιοι όροι γράφονται:

$$\frac{\frac{\omega_p^2}{\omega} (\omega \mp \omega_g) + \omega_p^2}{\omega^2 - \omega_g^2} = \pm \frac{\frac{\omega_p^2}{\omega} \omega_g}{\omega^2 - \omega_g^2} = \mp \epsilon_{12} \quad (8)$$

Ωστε η (7) γράφεται:

$$\begin{bmatrix} \mp \epsilon_{12} & j\epsilon_{12} & 0 \\ -j\epsilon_{12} & \mp \epsilon_{12} & 0 \\ 0 & 0 & \epsilon_{33} \end{bmatrix} \cdot \begin{bmatrix} \mathcal{E}_x \\ \mathcal{E}_y \\ \mathcal{E}_z \end{bmatrix} = 0 \quad (9)$$

Από την (9) προκύπτει ότι:

$$\mathcal{E}_z = 0 \quad (10)$$

$$\text{και } \text{ότι:} \quad \mp \epsilon_{12} \mathcal{E}_x + j \epsilon_{12} \mathcal{E}_y = 0 \quad (11)$$

$$\text{ή } \text{ότι:} \quad \mathcal{E}_y = \mp j \mathcal{E}_x = \mathcal{E}_x e^{\mp j \frac{\pi}{2}} \quad (12)$$



Οι (10) και (12) εκφράζουν ότι το ηλεκτρικό πεδίο του κύματος βρίσκεται στο επίπεδο  $xy$  και ότι οι συνιστώσες του  $E_y$  και  $E_x$  έχουν ίσα πλάτη αλλά διαφορά φάσης  $\pm \frac{\pi}{2}$ , δηλαδή το κύμα είναι κυκλικά πολωμένο, δεξιόστροφα ή αριστερόστροφα.

6.4 Στο αέριο πλάσμα του προηγούμενου προβλήματος να εξετάσετε τη διάδοση επίπεδου ηλεκτρομαγνητικού κύματος κατά τη διεύθυνση  $\hat{x}$  (έγκάρσια διάδοση) όταν  $\omega$  αρκετά μεγαλύτερη από την  $\omega_g$ .

α. Να δώσετε τη σταθερά φάσης της τακτικής ακτίνας και να αποδείξετε ότι η ακτίνα αυτή είναι γραμμικά πολωμένη κατά τον άξονα  $z$ .

β. Να δώσετε τη σταθερά φάσης της έκτακτης ακτίνας και να αποδείξετε ότι η ακτίνα αυτή είναι γραμμικά πολωμένη κατά τη διεύθυνση  $\hat{y}$  και επιπλέον έχει συνιστώσα  $E_x \neq 0$ .

#### Λύση

α. Για την τακτική ακτίνα είναι:

$$\beta = \frac{\omega}{c} \sqrt{\epsilon_{11}} \quad (1)$$

όποτε η εξίσωση, που μας δίνει τις λύσεις του ηλεκτρικού πεδίου για  $\theta = 90^\circ$ , παίρνει τη μορφή (βλ. και σχέση (5) στο προηγούμενο πρόβλημα):

$$\begin{bmatrix} \epsilon_{11} & -j\epsilon_{12} & 0 \\ j\epsilon_{12} & 0 & 0 \\ 0 & 0 & 0 \end{bmatrix} \cdot \begin{bmatrix} E_x \\ E_y \\ E_z \end{bmatrix} = 0 \quad (2)$$

Από την (2) προκύπτουν οι σχέσεις:

$$E_z \neq 0 \quad (3)$$

$$j\epsilon_{12}\mathbf{E}_x = 0 \quad (4)$$

$$\epsilon_{11}\mathbf{E}_x - j\epsilon_{12}\mathbf{E}_y = 0 \quad (5)$$

Από τήν (4) καί τήν (5) ἔχουμε:

$$\mathbf{E}_x = 0, \quad \mathbf{E}_y = 0 \quad (6)$$

Ὡστε, ὑπάρχει μόνο z-συνιστώσα καί ἡ τακτική ἀκτίνα εἶναι γραμμικά πολωμένη κατὰ τή διεύθυνση  $\hat{z}$ , παράλληλα δηλ. πρὸς τὸ  $\vec{B}_0$ .

β. Γιά τήν ἑκτακτη ἀκτίνα εἶναι:

$$\beta = \frac{\omega}{c} \sqrt{\frac{\epsilon_{11}^2 - \epsilon_{12}^2}{\epsilon_{11}}} \quad (7)$$

ὁπότε ἡ ἐξίσωση πού μᾶς δύνει τίς λύσεις τοῦ πεδίου εἶναι :

$$\begin{bmatrix} \epsilon_{11} & -j\epsilon_{12} & 0 \\ j\epsilon_{12} & +\frac{\epsilon_{12}^2}{\epsilon_{11}} & 0 \\ 0 & 0 & +\frac{\epsilon_{12}^2}{\epsilon_{11}} \end{bmatrix} \begin{bmatrix} \mathbf{E}_x \\ \mathbf{E}_y \\ \mathbf{E}_z \end{bmatrix} = 0 \quad (8)$$

Από τήν (8) προκύπτουν οἱ σχέσεις:

$$\mathbf{E}_z = 0 \quad (9)$$

$$\epsilon_{11}\mathbf{E}_x - j\epsilon_{12}\mathbf{E}_y = 0 \quad (10)$$

$$j\epsilon_{12}\mathbf{E}_x + \frac{\epsilon_{12}^2}{\epsilon_{11}}\mathbf{E}_y = 0 \quad (11)$$

Οἱ (10) καί (11) ταυτίζονται καί δύνουν:

$$\mathbf{E}_y = -\frac{j\epsilon_{11}}{\epsilon_{12}}\mathbf{E}_x \quad (12)$$

ἀλλά γιά  $\omega$  ἀρκετά μεγαλύτερη ἀπὸ τήν  $\omega_g$  εἶναι:

$$\epsilon_{11} = 1 - \frac{\omega_p^2}{\omega^2} \quad \text{καί} \quad \epsilon_{12} = \frac{-\omega_p^2 \omega_g}{\omega^3} \quad (13)$$

Δηλαδή :

$$\mathbf{E}_y = j \frac{1 - \frac{\omega_p^2}{\omega^2}}{\frac{\omega_p^2 \omega_g}{\omega^3}} \mathbf{E}_x = j \frac{\omega^3 - \omega_p^2 \omega}{\omega_p^2 \omega_g} \mathbf{E}_x \quad (14)$$

Όστε, στο επίπεδο  $yz$  (τό εγκάρσιο στη διάδοση) τό πεδίο  $\mathbf{\tilde{E}}$  έχει μόνο τή συνιστώσα  $\mathbf{E}_y$  είναι δηλ. γραμμικά πολωμένο κατά τή διεύθυνση  $\hat{y}$ . Τονίζουμε όμως ότι εμφανίζεται καί μιá συνιστώσα

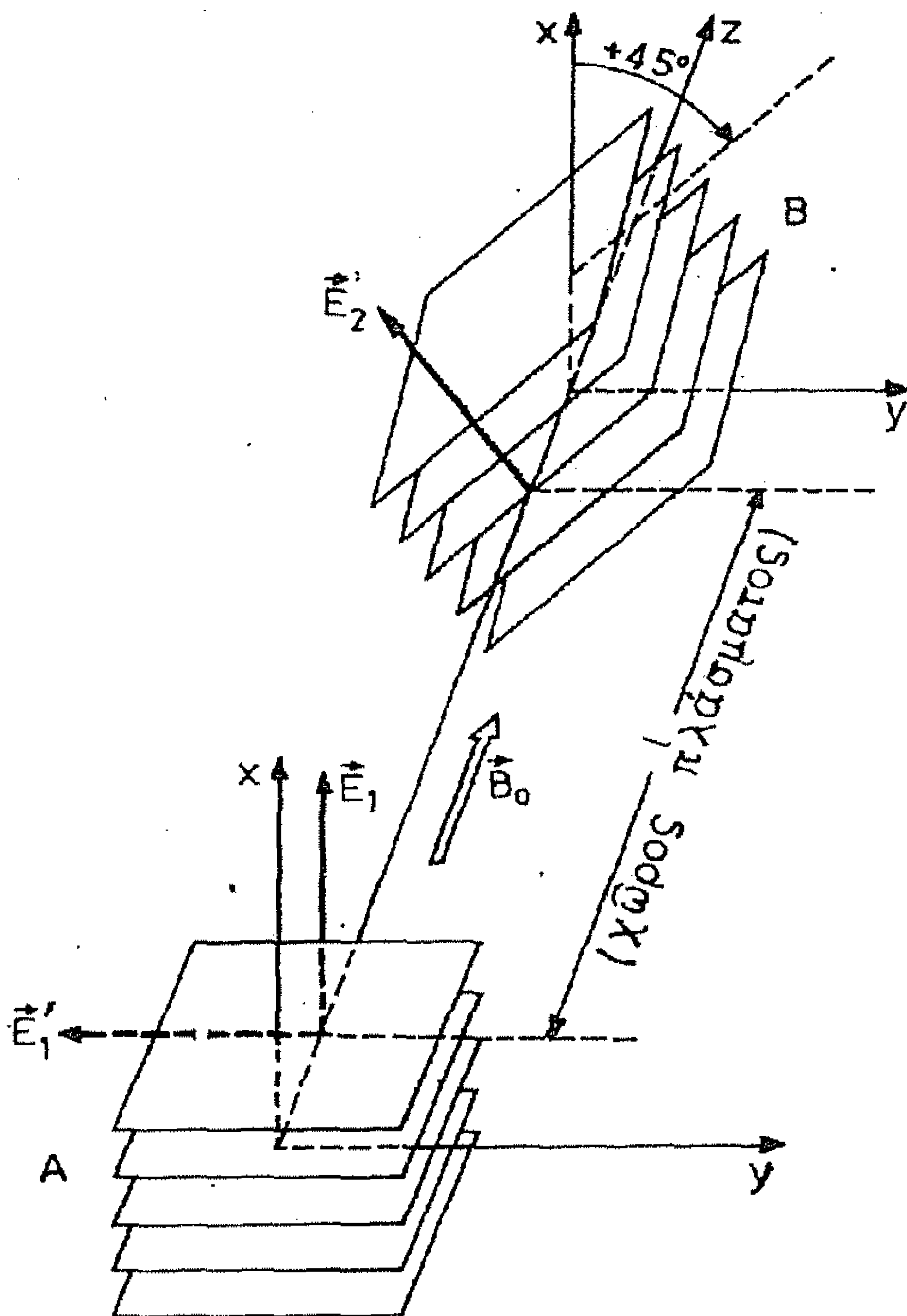
$\mathbf{E}_x \neq 0$  καί μάλιστα μέ διαφορά φάσης  $\frac{\pi}{2}$  από τήν  $\mathbf{E}_y$ .

Έτσι τό όλικό πεδίο  $\mathbf{\tilde{E}}$  βρίσκεται σέ επίπεδο πού περιέχει τή διεύθυνση διάδοσης  $\hat{x}$ .

**6.5** 'Η διάταξη του σχήματος περιλαμβάνει μιá περιοχή ενός αραίου αέριου πλάσματος, μέσα σέ σταθερό μαγνητικό πεδίο  $\vec{B}_0 = B_0 \hat{z}$ . Στην άρχή Α της διάταξης (μπροστά από τό πλάσμα) υπάρχει ένα σύστημα Α από άγωγιμα επίπεδα, παράλληλα προς τό επίπεδο  $yz$  καί σέ απόσταση  $d$  τό ένα από τό άλλο.

Στό τέλος Β της διάταξης (πίσω από τό πλάσμα) υπάρχει ένα όμοιο σύστημα επιπέδων Β, στραμμένο όμως γύρω από τόν άξονα  $z$ , έτσι πού νά σχηματίζουν γωνία  $+45^\circ$  μέ τό επίπεδο  $xz$ .

α. "Ας υποθέσουμε ότι είναι  $N$  ή πυκνότητα των ηλεκτρονίων του πλάσματος, σταθερή σ' όλη τήν περιοχή του πλάσματος, καί  $l$  τό συνολικό μήκος της διαδρομής.



Πόση πρέπει να είναι η τιμή  $B_0$  του μαγνητικού πεδίου, ώστε ένα γραμμικά πολωμένο επίπεδο κύμα να περνά ελεύθερα από όλη τη διάταξη; Δηλ. η  $B_0$  πρέπει να είναι τέτοια, ώστε η στροφή Faraday που θα υποστεί ένα επίπεδο κύμα :

$$\vec{E}(z, t) = E_0 \hat{x} e^{j(\omega t - kz)} \quad (1)$$

πού πέφτει πάνω στο σύστημα A, κατά τη διαδρομή του ως το B, να είναι  $-45^\circ$  (βλ. Πρόβλ. 5.3)

β. Στο άκρο B της διάταξης πέφτει το επίπεδο κύμα:

$$\vec{E}(z, t) = \frac{E_0}{\sqrt{2}} (\hat{x} - \hat{y}) e^{j(\omega t + kz)} \quad (2)$$

πώς θα συμπεριφερθεί η διάταξη, αν η απόσταση  $d$  των επιπέδων ικανοποιεί τη συνθήκη:

$$d < \frac{\lambda}{2} \quad (3)$$

Συνοψίστε τα συμπεράσματά σας για τη συμπεριφορά της διάταξης, που μελετήθηκε.

#### Λύση

α. Το κύμα (1) είναι πολωμένο κάθετα στα επίπεδα A και επομένως περνά ελεύθερα μέσα από αυτά (βλ. πρόβλ. 5.3). Η διάδοση μέσα στο μαγνητόπλασμα είναι διαμήκης, δηλαδή γίνεται παράλληλα προς το μαγνητικό πεδίο  $B_0$  ( $\nabla = 0$ ). Όπως είναι γνωστό από τη θεωρία, για τη στοιχειώδη διαδρομή  $d\mathbf{l} = dz$  η στροφή Faraday του επιπέδου πόλωσης του κύματος είναι\* :

$$d\Phi = - \frac{Ne^3 B_0}{8\pi^2 c \epsilon_0 m^2 f^2} d\mathbf{l} = \frac{-Ne^3 B_0}{8\pi^2 c \epsilon_0 m^2 f^2} d\mathbf{l} \quad (4)$$

---

\* Το πρόσημο "πλήν" χρειάζεται γιατί στο σύστημα αξόνων του σχήματος οι άξονες  $y$  και  $z$  έχουν αντίθετες φορές από τους αντίστοιχους άξονες που χρησιμοποίησε ο Faraday.

Αποῦ  $B_0 = \text{σταθ.}$  καὶ  $N = \text{σταθ.}$ , γιὰ ὅλο τὸ μῆκος  $l$  τῆς διαδρομῆς θὰ ἔχουμε :

$$\Phi = - \frac{Ne^3 B_0 l}{8\pi^2 c \epsilon_0 m^2 f^2} \quad (5)$$

θέτοντας  $\Phi = -\frac{\pi}{4} \quad (6)$

ἔχουμε  $B_0 = \frac{2\pi^3 c \epsilon_0 m^2 f^2}{Ne^3 l} \quad (7)$

β. Ἡ διάδοση τοῦ κύματος (2) εἶναι δυνατὴ μέσα ἀπὸ τὰ ἐπίπεδα  $B$  γιὰτὶ αὐτὸ εἶναι πολωμένο ὑπὸ γωνία  $\alpha$ .

$$\alpha \triangleq \arctan \frac{E_y}{E_x} = \arctan \frac{-\frac{E_0}{\sqrt{2}} \cos(\omega t + kz)}{\frac{E_0}{\sqrt{2}} \cos(\omega t + kz)} = \arctan(-1) = -45^\circ \quad (8)$$

δηλ. εἶναι πολωμένο κάθετα πρὸς τὰ ἐπίπεδα.

Ἡ διάδοση τοῦ κύματος (2) μέσα στὸ πλάσμα εἶναι διαμήκης μέ γωνία  $\vartheta = 180^\circ$  ὡς πρὸς τὸ μαγνητικὸ πεδίο  $\vec{B}_0$ .

Ἡ στοιχειώδης στροφή Faraday σ' αὐτὴ τὴν περίπτωση δύναται ἀπὸ τὴν (4) ἀλλὰ μέ ἀντίθετο πρόσημο, καὶ μέ  $dl = -dz$  γιὰτὶ τὸ κύμα διαδίδεται κατὰ τὴ διεύθυνση  $-\hat{z}$ , ὁπότε :

$$d\Phi' = \frac{Ne^3 B_0}{8\pi^2 c \epsilon_0 m^2 f^2} dl = - \frac{Ne^3 B_0}{8\pi^2 c \epsilon_0 m^2 f^2} dz \quad (9)$$

Ὁλοκληρώνοντας γιὰ ὅλο τὸ μῆκος  $l$  ἔχουμε:

$$\Phi' = - \frac{Ne^3 B_0 l}{8\pi^2 c \epsilon_0 m^2 f^2} \quad (10)$$

καὶ παίρνοντας ἀπὸ τὴν (7) τὴν τιμὴ τοῦ  $B_0$  ἔχουμε :

$$\Phi' = - \frac{\pi}{4} \quad (11)$$

Όστε όταν τό κύμα φτάνει στά έπίπεδα Α έχει πόλωση μέ γωνία:

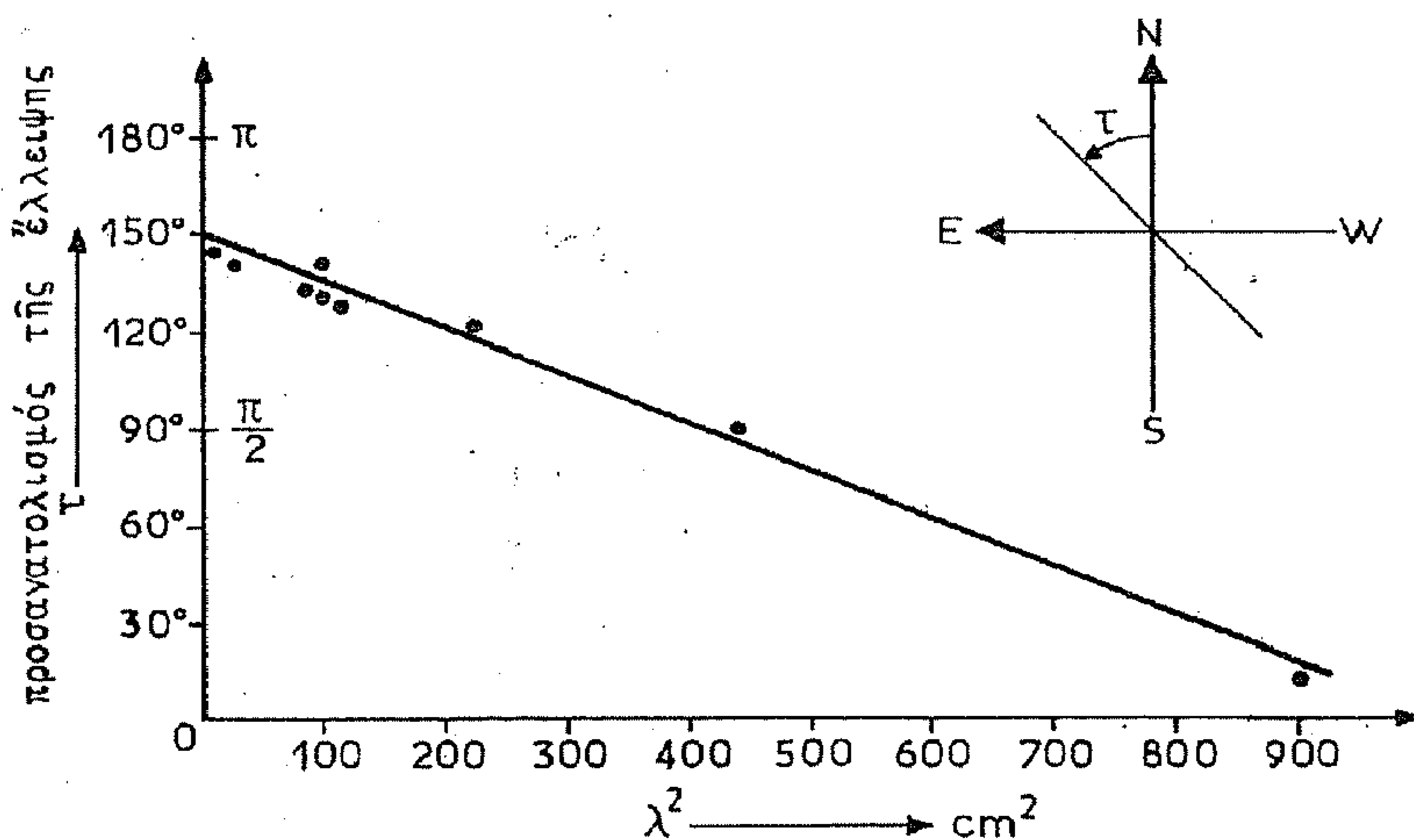
$$\alpha + \Phi' = -45^\circ - 45^\circ = -90^\circ \quad (12)$$

εἶναι δηλαδή πολωμένο κατά τόν ἄξονα  $y$ , δηλαδή παράλληλα μέ τά έπίπεδα Α καί ἀφοῦ  $d < \frac{\lambda}{2}$  δέν περνᾷ ανάμεσά τους, ἀλλά ἀνακλᾶται.

**Συμπέρασμα :** Ἡ διάταξη τοῦ σχήματος, μέ τίς προϋποθέσεις (3) καί (7), εἶναι μονοκατευθυντική στή διάδοση γραμμικά πολωμένου κύματος, δηλαδή δρᾷ σάν ἀπομονωτής, γιὰ τόν ὅποιο δέν ἰσχύει ἡ ἀρχή τῆς ἀντίστροφης πορείας τοῦ ΗΜ-κύματος.

Σημειώνεται ὅτι μιά τέτοια διάταξη ἀντί γιὰ αέριο πλάσμα μπορεῖ νά ἔχει σάν ἐνεργό ὕλικο ἓνα κομμάτι φερρίτη.

**6.6** Διάφοροι ἐρευνητές ἔκαναν μετρήσεις τῆς πόλωσης τῶν ραδιοκυμάτων, πού ἐκπέμπει ὁ ραδιοαστέρας Taurus A (νεφέλωμα τοῦ Καρκίνου). Μερικά ἀπό τά ἀποτελέσματά τους συνοψίζονται στό πῶ κάτω σχῆμα μέ τή μορφή διαγράμματος τῆς γωνίας  $\tau$ , πού σχηματίζει ὁ μέγας ἄξονας τῆς ἔλλειψης τῆς πόλωσης μέ τό Βορρά, σέ συνάρτηση μέ τό τετράγωνο τοῦ μήκους κύματος ( $\lambda^2$ ) τῆς ἀκτινοβολίας.



"Αν ἡ διάδοση θεωρηθεῖ "σχεδόν διαμήκης", δηλ. ὁ ἄξονάς της σχηματίζει πολύ μικρή γωνία  $\vartheta$  μέ τό ὅλικο μαγνητικό πεδίο  $\vec{B}$  (τῆς γῆς καί τοῦ διαστρικοῦ χώρου) .

α.Νά προσδιορίσετε τήν ἐξίσωση τῆς εὐθείας τοῦ σχήματος.

β.Νά δώσετε τή θεωρητική της ἐξήγηση καί νά προσδιορίσετε τίς ἐκφράσεις καί τή σημασία τῶν σταθερῶν συντελεστῶν της. (Θέμα Ἐξετάσεων Ἰουλ. 1977)

(Ἀπ. α.  $\tau = 2,62 - 26,2 \lambda^2$  (τό  $\lambda$  σέ m, τό  $\tau$  σέ rad)

β. Ἡ σταθερά  $2,62 \text{ rad} = 150^\circ \equiv \tau_0$  εἶναι ὁ προσανατολισμός τῆς ἑλλειψης τῆς πόλωσης τοῦ κύματος στό ξεκίνημά του ἀπό τόν ραδιαστέρα, ἐνῶ ἡ κλίση  $K \equiv -26,2 \frac{\text{rad}}{\text{m}^2}$  χαρακτηρίζει τή διαδρομή

τοῦ κύματος καί τίς συνθήκες μαγνητικοῦ πεδίου πού ἔχει ὑποστεί ὥσπου νά φτάσει στή γῆ).

6.7 Θεωρεῖται γνωστός ὁ τύπος (γιά διαμήκη διάδοση).

$$\Phi_{\text{rad}} = \frac{2,36 \cdot 10^{-3}}{f_{\text{MHz}}^2} \int_0^l N_{\text{nl/cm}^3} B_{\text{Gauss}} dl_{\text{cm}}$$

α.Δεῦξτε ὅτι στήν περίπτωση, πού ἓνας παρατηρητής κάνει λήψη, μ' ἓνα δέπλο, τοῦ σήματος ἑνός τεχνητοῦ δορυφόρου πού πλησιάζει ἢ ἀπομακρύνεται ἀπ' αὐτόν κατά διεύθυνση περίπου παράλληλη πρός τό γήινο μαγνητικό πεδίο  $B$ , θά παρατηρεῖ ἓνα ἰσχυρό "fading" (αὐξομείωση στήν ἔνταση τοῦ σήματος) πού δέν θά ὀφείλεται σέ στροφή τοῦ δορυφόρου ἀλλά στό φαινόμενο Faraday.

β.Βοῆτε τόν τύπο πού συνδέει τό  $\frac{d\Phi}{dt}$  μέ τήν ταχύτητα  $v = \frac{dl}{dt}$  τοῦ δορυφόρου καί

γ. Υπολογίστε τη μέση ηλεκτρονική πυκνότητα της ιονόσφαιρας αν γνωρίζουμε ότι παρατηρούνται τρία fading ανά λεπτό στους 108 MHz από ένα δορυφόρο που είναι γνωστό ότι κινείται με 7 km/sec, ως προς τον παρατηρητή, παράλληλα στο μαγνητικό πεδίο  $B = 1 \text{ Gauss}$ ,  
(Θέμα εξετάσεων 'Οκτωβρ. 1976)

$$(\text{'Απ. } \beta. \frac{d\Phi}{dt} = \frac{Ne^3 B_0 \omega}{8\pi^2 c \epsilon_0 m^2 f^2} \quad \gamma. \quad N = 1,1 \cdot 10^{11} \text{ m}^{-3} )$$

## Κ Ε Φ Α Λ Α Ι Ο 7

7.1 Δίνεται το διάνυσμα Stokes  $[S_i]$  ενός ηλεκτρομαγνητικού κύματος, όλικά πολωμένου :

$$[S_i] = \begin{bmatrix} I \\ Q \\ U \\ V \end{bmatrix}$$

Ξέροντας αυτό και μόνο να διατυπώσετε σχέσεις προσδιορισμού :

- α. Της μέγιστης ισχύος ανά μονάδα επιφάνειας, που μεταφέρει το κύμα.
- β. Τοῦ πλάτους κάθε εγκάρσιας συνιστώσας (x,y)
- γ. Της γωνίας, που σχηματίζει κάθε άξονας της έλλειψης, που χαρακτηρίζει την πόλωση, με τον άξονα x.
- δ. Τοῦ σημείου (ε,τ) που παριστάνει την πόλωση πάνω στη σφαίρα του Poincaré.
- ε. Τῶν άλλων δύο παραμέτρων (γ,δ), που αντιστοιχοῦν στο προηγούμενο σημείο, και
- στ. Τοῦ άξονικού πηλίκου της έλλειψης, που χαρακτηρίζει την πόλωση.



## Λ ύ σ η

α. Έστω  $S_x$  και  $S_y$  ή ισχύς ανά μονάδα επιφάνειας που μεταφέρει ή αντίστοιχη εγκάρσια συνιστώσα. Ξέρουμε ότι η παράμετρος  $I$  ορίζεται :

$$I \triangleq S_x + S_y = S \quad (1)$$

Ωστε:

$$S = I \quad (2)$$

β. Από την (1) και από την

$$Q \triangleq \frac{E_{x0}^2}{Z} - \frac{E_{y0}^2}{Z} = S_x - S_y \quad (3)$$

προκύπτουν εύκολα οι σχέσεις:

$$E_{x0} = \sqrt{\frac{Z(I+Q)}{2}} \quad (4)$$

$$E_{y0} = \sqrt{\frac{Z(I-Q)}{2}} \quad (5)$$

γ. Είναι:

$$U \triangleq Q \tan 2\tau \quad (6)$$

όπου  $\tau$  ή γωνία που σχηματίζει ο μεγάλος άξονας της έλλειψης με τον άξονα  $x$ . Αν  $\tau_1$  είναι η αντίστοιχη γωνία του μικρού άξονα, είναι :

$$\tau = \frac{1}{2} \arctan \frac{U}{Q} \quad (7)$$

$$\text{και} \quad \tau_1 = \tau + \frac{\pi}{2} \quad (8)$$

δ. Από τη γνωστή σχέση :

$$V = S \sin 2\epsilon = I \sin 2\epsilon \quad (9)$$

και την (7) προκύπτει:

$$(\epsilon, \tau) = \left( \frac{1}{2} \arcsin \frac{V}{I}, \frac{1}{2} \arctan \frac{U}{Q} \right) \quad (10)$$

δηλ. ἡ παράμετρος  $\epsilon$  ἔχει τό πρόσημο τῆς  $V$ .

ε. Ἡ παράμετρος  $\gamma$  προσδιορίζεται ἀπό τή σχέση ὁρισμοῦ τῆς

$$\tan \gamma = \frac{E_{y0}}{E_{x0}} \quad (11)$$

καί ἀπό τύς (4) καί (5). Εἶναι δηλαδή:

$$\boxed{\tan \gamma = \sqrt{\frac{I-Q}{I+Q}}} \quad (12)$$

Τήν παράμετρο  $\delta$ , πού εἶναι ἡ διαφορά φάσης ἀνάμεσα στίς δύο ἐγκάρσιες συνιστώσες, μπορούμε νά προσδιορίσουμε ἀπό τή γνωστή σχέση:

$$\sin \delta = \frac{\sin 2\epsilon}{\sin 2\gamma} \quad (13)$$

πού γράφεται καί:

$$\sin^2 \delta = \frac{\sin^2 2\epsilon}{4 \sin^2 \gamma \cos^2 \gamma} = \frac{\sin^2 2\epsilon}{4 \frac{\tan^2 \gamma}{1 + \tan^2 \gamma} \cdot \frac{1}{1 + \tan^2 \gamma}}$$

Χρησιμοποιώντας τύς (9) καί (12) ἔχουμε:

$$\sin^2 \delta = \frac{\frac{V^2}{I^2}}{4 \frac{\frac{I-Q}{I+Q}}{\left[1 + \frac{I-Q}{I+Q}\right]^2}} = \frac{\frac{V^2}{I^2} \cdot \frac{(2I)^2}{I+Q}}{4(I-Q)} = \frac{V^2}{I^2 - Q^2}$$

$$\eta \quad |\sin \delta| = \sqrt{\frac{V^2}{I^2 - Q^2}} \quad (14)$$

ὅπως φαίνεται ἀπό τή (13) ἡ  $\delta$  ἔχει τό πρόσημο τῆς  $\epsilon$ , δηλ. τό πρόσημο τῆς παραμέτρου  $V$  ὥστε :

$$\boxed{\delta = \arcsin \frac{V}{\sqrt{I^2 - Q^2}}} \quad (15)$$

στ. Τό αξονικό πηλίκο (ΑΠ) είναι :

$$\boxed{ΑΠ = |\cot \epsilon|} \quad (16)$$

όπου τό  $\epsilon$  τό έχουμε από τή (10)

**7.2** Μιά δέσμη LASER, έλλειπτικά πολωμένη, περνά μέσα από ένα πλακίδιο  $\lambda/4$  κι' αμέσως μετά μέσα από έναν γραμμικό πολωτή. Τό πλακίδιο  $\lambda/4$  έχει τόν όπτικό του άξονα (γρήγορο άξονα) υπό γωνία  $30^\circ$  από τόν όριζόντιο άξονα (άξονα  $x$ ). Περιστρέφοντας τόν πολωτή παρατηρούμε τήν έξοδό του και διαπιστώνουμε ότι ή δέσμη έξόδου μηδενίζεται όταν τό χαρακτηριστικό επίπεδο του πολωτή σχηματίζει γωνία  $60^\circ$  με τόν όριζόντιο άξονα  $x$ .

"Αν ή ένταση τής αρχικής δέσμης LASER είναι

$$I_1 = 1 \text{ kw/m}^2$$

νά προσδιοριστούν :

- α. Τό διάνυσμα Stokes τής δέσμης που βγαίνει από τό πλακίδιο  $\lambda/4$  σε συνάρτηση με εκείνο που μπαίνει.
- β. Τά χαρακτηριστικά τής έλλειψης πόλωσης τής αρχικής δέσμης (δηλ. προσανατολισμός και ΑΠ) .
- γ. Η διαφορά φάσης  $\delta$  που υπάρχει ανάμεσα στις δύο έγκάρσιες συνιστώσες τής αρχικής δέσμης.

Λ ύ σ η

- α. "Ας ποϋμε ότι τό διάνυσμα Stokes τής αρχικής δέσμης LASER είναι:

$$[S_i]_1 = \begin{bmatrix} I_1 \\ Q_1 \\ U_1 \\ V_1 \end{bmatrix} \quad (1)$$

όπου  $I_1 = 1 \text{ kW/m}^2$

Τό διάνυσμα Stokes στην έξοδο του πλακιδίου  $\lambda/4$  θα είναι :

$$[S_i]_2 = [M_{ij}]_{\lambda/4} [S_i]_1 \quad (2)$$

όπου  $[M_{ij}]_{\lambda/4}$  ή μήτρα Mueller του πλακιδίου  $\lambda/4$  προσανατολισμένου κατά  $30^\circ$  ως προς τον άξονα x.

Από τον πίνακα 7-III έχουμε :

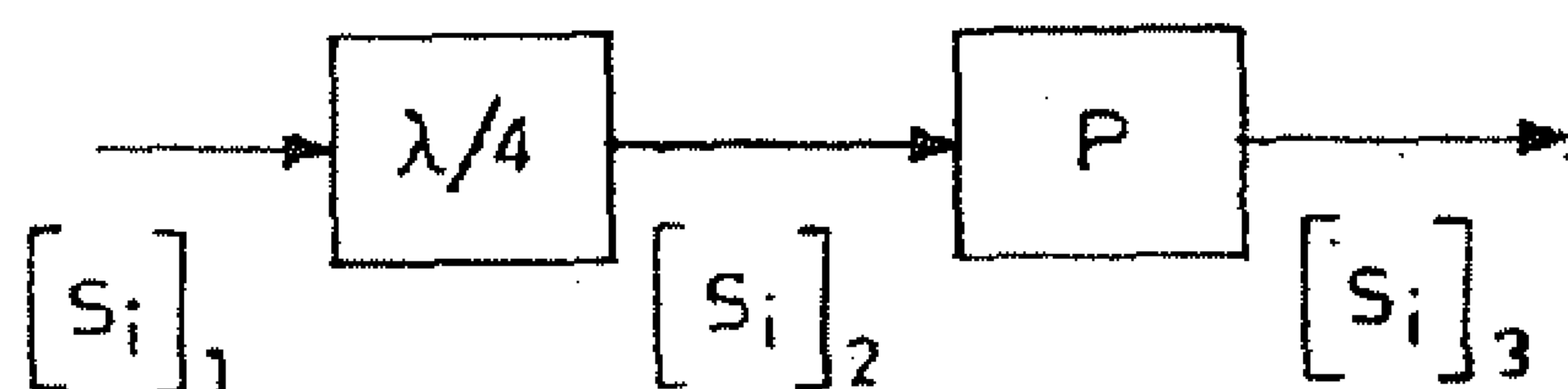
$$[M_{ij}]_{\lambda/4} = \begin{bmatrix} 1 & 0 & 0 & 0 \\ 0 & 1/4 & \sqrt{3}/4 & -\sqrt{3}/2 \\ 0 & \sqrt{3}/4 & 3/4 & 1/2 \\ 0 & \sqrt{3}/2 & -1/2 & 0 \end{bmatrix} \quad (3)$$

Οότε:

$$[S_i]_2 = \begin{bmatrix} 1 & 0 & 0 & 0 \\ 0 & 1/4 & \sqrt{3}/4 & -\sqrt{3}/2 \\ 0 & \sqrt{3}/4 & 3/4 & 1/2 \\ 0 & \sqrt{3}/2 & -1/2 & 0 \end{bmatrix} \begin{bmatrix} I_1 \\ Q_1 \\ U_1 \\ V_1 \end{bmatrix} = \begin{bmatrix} I_1 \\ \frac{1}{4}Q_1 + \frac{\sqrt{3}}{4}U_1 - \frac{\sqrt{3}}{2}V_1 \\ \frac{\sqrt{3}}{4}Q_1 + \frac{3}{4}U_1 + \frac{1}{2}V_1 \\ \frac{\sqrt{3}}{2}Q_1 - \frac{1}{2}U_1 \end{bmatrix} \quad (4)$$

β. Αφοῦ μετά τόν πολωτή ή δέσμη μηδενίζεται όταν αὐτός τοποθετηθεῖ σέ γωνία  $60^\circ$  συμπεραίνουμε ὅτι ή δέσμη  $[S_i]_2$  εἶναι γραμμικά πολωμένη ὑπό γωνία :

$$60^\circ + 90^\circ = 150^\circ$$



θά πρέπει λοιπόν νά εἶναι :

$$[S_i]_2 = \begin{bmatrix} I_2 \\ I_2 \cos(300^\circ) \\ I_2 \sin(300^\circ) \\ 0 \end{bmatrix} = I_2 \begin{bmatrix} 1 \\ 1/2 \\ -\sqrt{3}/2 \\ 0 \end{bmatrix} \quad (5)$$

Από τῆς (4) καί (5) καί ἀφοῦ  $I_2 = I_1 = 1 \text{ kW/m}^2$  ἔχουμε τό σύστημα:

$$\left. \begin{aligned} \frac{1}{4}Q_1 + \frac{\sqrt{3}}{4}U_1 - \frac{\sqrt{3}}{2}V_1 &= \frac{1}{2} \\ \frac{\sqrt{3}}{4}Q_1 + \frac{3}{4}U_1 + \frac{1}{2}V_1 &= -\frac{\sqrt{3}}{2} \\ \frac{\sqrt{3}}{2}Q_1 - \frac{1}{2}U_1 &= 0 \end{aligned} \right\} \quad (6)$$

Από τή λύση τοῦ συστήματος (6) προκύπτει:

$$\begin{aligned} Q_1 &= -\frac{1}{4} \\ U_1 &= -\frac{\sqrt{3}}{4} \\ V_1 &= -\frac{\sqrt{3}}{2} \end{aligned} \quad (7)$$

Ὡστε, τό ἀρχικό διάνυσμα Stokes εἶναι:

$$[S_i]_1 = \begin{bmatrix} I_1 \\ Q_1 \\ U_1 \\ V_1 \end{bmatrix} = \begin{bmatrix} 1 \\ -\frac{1}{4} \\ -\frac{\sqrt{3}}{4} \\ -\frac{\sqrt{3}}{2} \end{bmatrix} \quad (8)$$

Ὁ μέγας ἀξονας τῆς ἑλλειψης σχηματίζει μέ τόν ἀξονα x γωνία  $\tau$

$$\tau = \frac{1}{2} \arctan \frac{U_1}{Q_1} = \frac{1}{2} \arctan \sqrt{3} = \frac{1}{2} 60^\circ = 30^\circ$$

Ὡστε

$$\boxed{\tau = 30^\circ} \quad (9)$$

Τό ἀξονικό πηλίκο εἶναι:

$$A_P = |\cot \epsilon| \quad (10)$$

ὅπου

$$\sin 2\epsilon = \frac{V_1}{I_1} = -\frac{\sqrt{3}}{2} \quad (11)$$

$$\text{Από τήν (11) ἔχουμε } 2\epsilon = -60^\circ \text{ ἢ } \epsilon = -30^\circ \quad (12)$$

καί

$$\boxed{A_P = \sqrt{3}} \quad (13)$$

γ. Ἡ διαφορά φάσης  $\delta$  προσδιορίζεται ἀπό τή σχέση:

$$\sin \delta = \frac{V_1}{\sqrt{I_1^2 - Q_1^2}} \quad (14)$$

$$\text{ἢ} \quad \sin \delta = \frac{-\frac{\sqrt{3}}{2}}{\sqrt{1 - \frac{1}{16}}} = -0,894 \quad (15)$$

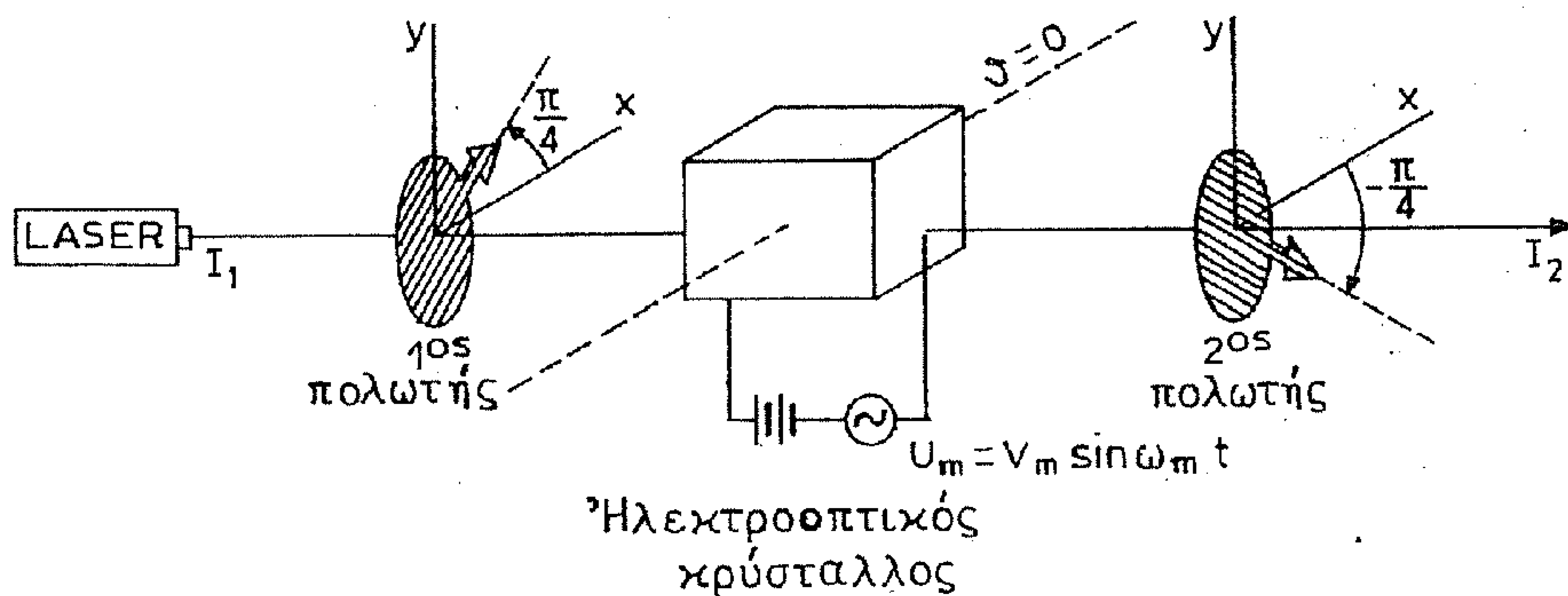
καί

$$\boxed{\delta = -63,43^\circ} \quad (16)$$

ἢ

$$\boxed{\delta = -63^\circ 26'}$$

7.3 Μιά δέσμη LASER, στην αρχή έντελως απόλωτη, περνά μέσα από τη διάταξη του σχήματος:



Ο  $10^{\circ}$  πολωτής σχηματίζει  $45^{\circ}$  με τον άξονα  $x$ , ενώ ο  $20^{\circ} - 45^{\circ}$ .  
 Ο ηλεκτροοπτικός κρύσταλλος είναι ένας γραμμικός έμβραδυντής, που έμβραδύνει κατά  $\delta$  τη μία κάθετη συνιστώσα έναντι της άλλης. Η γωνία  $\delta$  σχετίζεται με το σήμα  $U_m$  με τη σχέση :

$$\delta = \frac{\pi}{2} + k U_m = \frac{\pi}{2} + k V_m \sin \omega_m t \quad (1)$$

όπου  $k$  = σταθερά.

Ο γρήγορος άξονας του κρυστάλλου σχηματίζει γωνία  $\delta=0$  με τον άξονα  $x$ . Αν  $I_1$  ή ένταση της αρχικής δέσμης LASER

α. Νά προσδιορίσετε τη μήτρα Mueller της óπτικης διάταξης .

β. Νά προσδιορίσετε την ένταση  $I_2$  της τελικής δέσμης και νά αποδείξετε ότι η τελική δέσμη είναι διαμορφωμένη κατά ένταση με κυκλική συχνότητα διαμόρφωσης  $\omega_m$  .

(Υπόδειξη: τό ανάπτυγμα  $\sin(a \sin \beta)$  νά τό πάρετε από τό σχετικό πύνακα τών ιδιοτήτων τών συναρτήσεων Bessel και νά θεωρήσετε μικρό  $V_m$  ).

( θέμα έξετάσεων Οκτωβρ. 1977)

## Λύση

Τό διάνυσμα Stokes της απόλυτης δέσμης στην είσοδο της διάταξης είναι :

$$[S_i]_1 = \begin{bmatrix} I_1 \\ 0 \\ 0 \\ 0 \end{bmatrix} \quad (2)$$

Αν  $M_1$  και  $M_2$  είναι οι μήτρες Mueller των δύο πολωτών και  $M_K$  η μήτρα Mueller του κρυστάλλου, τό διάνυσμα Stokes της τελικής δέσμης θά είναι :

$$[S_i]_2 = M_2 M_K M_1 [S_i]_1 = M [S_i]_1 \quad (3)$$

όπου  $M$  η μήτρα Mueller του συστήματος. Από τό σχετικό πύνακα έχουμε :

$$\text{γιά } \vartheta = \frac{\pi}{4} : \quad M_1 = \frac{1}{2} \begin{bmatrix} 1 & 0 & 1 & 0 \\ 0 & 0 & 0 & 0 \\ 1 & 0 & 1 & 0 \\ 0 & 0 & 0 & 0 \end{bmatrix}$$

$$\text{γιά } \vartheta = 0 : \quad M_2 = \frac{1}{2} \begin{bmatrix} 1 & 0 & -1 & 0 \\ 0 & 0 & 0 & 0 \\ -1 & 0 & 1 & 0 \\ 0 & 0 & 0 & 0 \end{bmatrix}$$

$$\text{γιά } \vartheta = -\frac{\pi}{4} : \quad M_K = \begin{bmatrix} 1 & 0 & 0 & 0 \\ 0 & 1 & 0 & 0 \\ 0 & 0 & \beta & \mu \\ 0 & 0 & -\mu & \beta \end{bmatrix} \quad \text{όπου } \begin{cases} \mu = \sin \delta \\ \beta = \cos \delta \end{cases} \quad (4)$$

Άστε η μήτρα Mueller του συστήματος είναι :

$$M = \frac{1}{4} \begin{bmatrix} 1 & 0 & -1 & 0 \\ 0 & 0 & 0 & 0 \\ -1 & 0 & 1 & 0 \\ 0 & 0 & 0 & 0 \end{bmatrix} \begin{bmatrix} 1 & 0 & 0 & 0 \\ 0 & 1 & 0 & 0 \\ 0 & 0 & \beta & \mu \\ 0 & 0 & -\mu & \beta \end{bmatrix} \begin{bmatrix} 1 & 0 & 1 & 0 \\ 0 & 0 & 0 & 0 \\ 1 & 0 & 1 & 0 \\ 0 & 0 & 0 & 0 \end{bmatrix} = \frac{1}{4} \begin{bmatrix} 1-\beta & 0 & 1-\beta & 0 \\ 0 & 0 & 0 & 0 \\ \beta-1 & 0 & \beta-1 & 0 \\ 0 & 0 & 0 & 0 \end{bmatrix} \quad (5)$$

β. Τό διάνυσμα Stokes της δέσμης  $I_2$  είναι :

$$[S_i]_2 = \frac{1}{4} \begin{bmatrix} 1-\beta & 0 & 1-\beta & 0 \\ 0 & 0 & 0 & 0 \\ \beta-1 & 0 & \beta-1 & 0 \\ 0 & 0 & 0 & 0 \end{bmatrix} \begin{bmatrix} I_1 \\ 0 \\ 0 \\ 0 \end{bmatrix} = \frac{1}{4} \begin{bmatrix} I_1(1-\beta) \\ 0 \\ I_1(\beta-1) \\ 0 \end{bmatrix} \quad (6)$$

Η ένταση, λοιπόν, της τελικής δέσμης είναι:

$$I_2 = \frac{1}{4} I_1 (1-\beta) = \frac{1}{4} I_1 (1-\cos\delta) = \frac{I_1}{4} \left( 1 - \cos \left( \frac{\pi}{2} + kV_m \sin\omega_m t \right) \right)$$

ή τέλος 
$$I_2 = \frac{I_1}{4} \left[ 1 + \sin(kV_m \sin\omega_m t) \right] \quad (7)$$

Αλλά ισχύει η ιδιότητα (βλ. πίνακα I του παραρτήματος )

$$\sin(\alpha \sin\beta) = 2 J_1(\alpha) \sin\beta + 2 J_3(\alpha) \sin 3\beta + \dots$$

Ωστε:

$$\sin(kV_m \sin\omega_m t) = 2 J_1(kV_m) \sin\omega_m t + 2 J_3(kV_m) \sin 3\omega_m t + \dots \quad (8)$$

και 
$$I_2 = \frac{I_1}{4} \left[ 1 + 2 J_1(kV_m) \sin\omega_m t + 2 J_3(kV_m) \sin 3\omega_m t + \dots \right] \quad (9)$$

Αν περιοριστούμε σε μικρά  $V_m$  τά πλάτη των ανώτερων αρμονικών μικραίνουν πάρα πολύ και είναι:

$$I_2 \simeq \frac{I_1}{4} + \frac{I_1}{2} J_1(kV_m) \sin\omega_m t \quad (10)$$

Ωστε, η ένταση  $I_2$  της τελικής δέσμης LASER είναι πρακτικά διαμορφωμένη στην κυκλική συχνότητα  $\omega_m$  και μάλιστα με βάθος διαμόρφωσης :

$$m = \frac{\frac{I_1}{2} J_1(kV_m)}{I_{1/4}} = 2 J_1(kV_m) \quad (11)$$



7.4 Σ' έναν μικροκυματικό σταθμό κάνουμε λήψη του φέροντος κύματος ενός μακρινού πομπού με τις δύο παραβολικές κεραίες του σχήματος (K1 και K2). Το λαμβανόμενο κύμα είναι ολικά έλλειπτικά πολωμένο με το μεγάλο άξονα της έλλειψης οριζόντιο.

Οι κεραίες K1 και K2

έχουν το ίδιο ενεργό

άνοιγμα  $A=2,5 \text{ m}^2$  και

αν τις χρησιμοποιού-

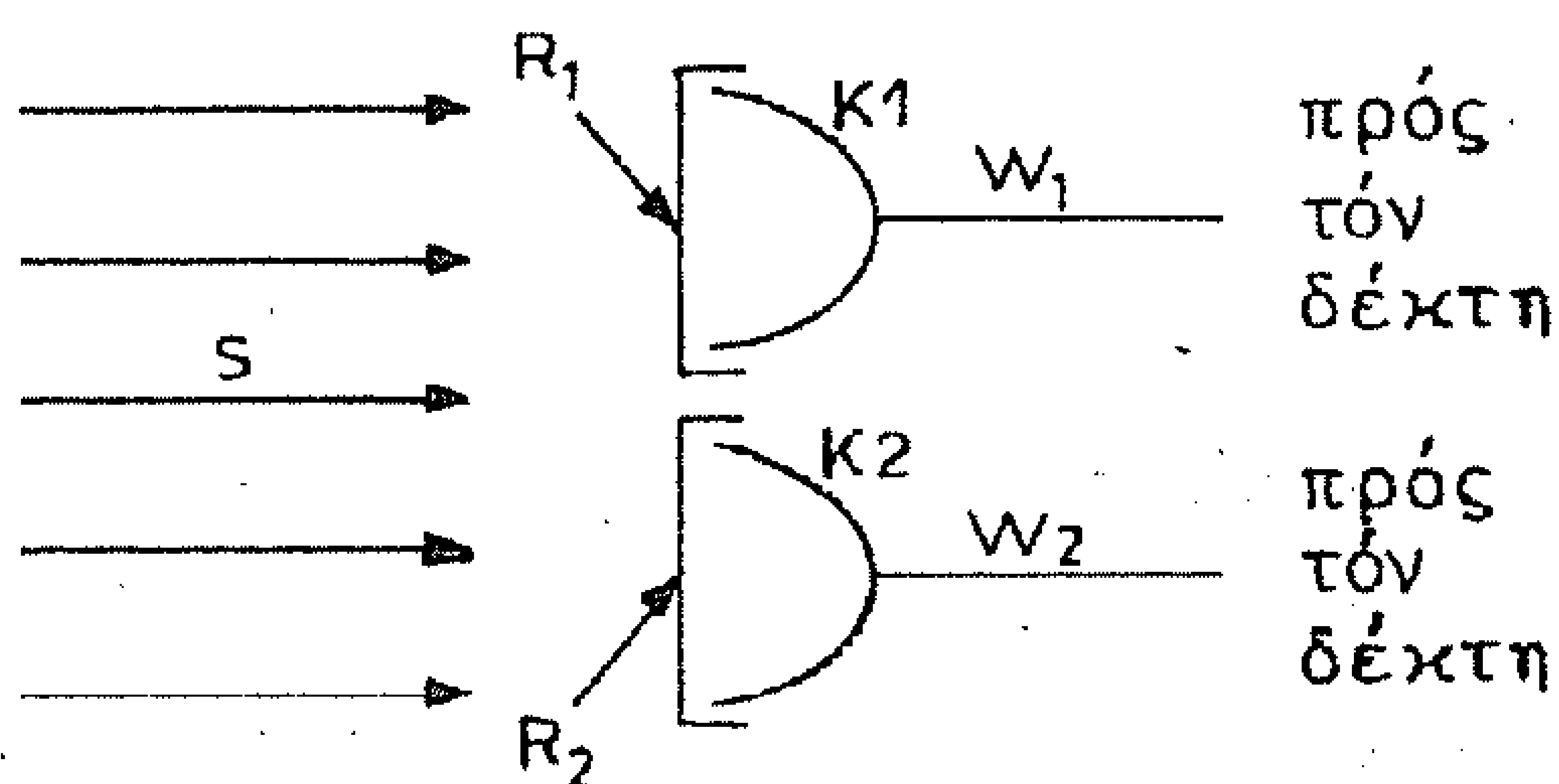
σαμε ως κεραίες εκ-

πομπής ή K1 θα ακτι-

νοβολοῦσε οριζόντια

γραμμικά πολωμένο κύμα, ενώ ή K2 θα ακτινοβολοῦσε κατακόρυφα

γραμμικά πολωμένο κύμα.



Η κεραία K1 καλύπτεται με ένα προστατευτικό φύλλο διηλεκτρικού (radome)  $R_1$ , που προκαλεί εξασθένηση 3 dB στην προσπίπτουσα ισχύ, ενώ ή K2 καλύπτεται με το radome  $R_2$ , που προκαλεί εξασθένηση 6 dB στην προσπίπτουσα ισχύ.

Αν στο δέκτη της κεραίας K1 λαβαίνουμε ισχύ  $W_1 = 30 \mu\text{W}$ , ενώ στο δέκτη της K2 λαβαίνουμε ισχύ  $W_2 = 10 \mu\text{W}$  και θεωρήσουμε ότι ή γραμμή μεταφοράς από τις κεραίες στο δέκτη δεν έχει απώλειες.

α. Να προσδιοριστεί το πλάτος της έντασης (ισχύος ανά μονάδα επιφάνειας)  $S$  του έλλειπτικά πολωμένου κύματος.

β. Να προσδιοριστεί το αξονικό πηλίκο  $ΑΠ$  της έλλειψης πόλωσης του κύματος.

(Θέμα εξέτασεων 'Ιουλ. 1977)

(Απ. α.  $S = 40 \mu\text{W}/\text{m}^2$

β.  $ΑΠ = 1,22$  )

**7.5** "Ας θεωρήσουμε γνωστό ότι ο " βαθμός γραμμικής πόλωσης" ενός κύματος, που είναι μερικά έλλειπτικά πολωμένο, ορίζεται από το πηλύκο.

$$d_l = \frac{W_{||} - W_{\perp}}{W_{||} + W_{\perp}} \quad (1)$$

όπου  $W_{||}$  η ισχύς λήψης μιας γραμμικά πολωμένης κεραίας, προσανατολισμένης παράλληλα με το μεγάλο άξονα της έλλειψης της πόλωσης και  $W_{\perp}$  η ισχύς λήψης της ίδιας κεραίας, προσανατολισμένης κάθετα προς το μεγάλο άξονα της έλλειψης.

Ποιά σχέση συνδέει τον  $d_l$  με το βαθμό πόλωσης  $d$  και το άξονικό πηλύκο  $AP$ ; (θέμα εξέτασεων 'Οκτωβρ. 1978)

$$(\text{'AP.} \quad d_l = d \frac{(AP)^2 - 1}{(AP)^2 + 1} \quad )$$

**7.6** "Ένας γεωστατικός δορυφόρος εκπέμπει γραμμικά πολωμένη ΗΜ δέσμη προς ένα σταθμό έδάφους, που διαθέτει κεραία λήψης δεξιόστροφα κυκλικά πολωμένη. Η συχνότητα εκπομπής είναι  $f$ , η απόσταση "δορυφόρου-σταθμού έδάφους" είναι  $l$ , η μέση ηλεκτρονική πυκνότητα της διαδρομής του κύματος είναι  $N_e$  και η διάδοση θεωρείται διαμήκης (δηλ. παράλληλη με το μαγνητικό πεδίο  $B_0$  της γης).

"Αν η αρχική πόλωση του κύματος σχηματίζει γωνία  $\alpha$  με τη διεύθυνση Βορρά-Νότου (ή διεύθυνση αυτή παίρνεται σαν άξονας των  $x$ )

α. Νά δοθεί μία σχέση υπολογισμού της συνολικής στροφής Faraday  $\Phi$ , που θα υποστεί το κύμα ώσπου να φτάσει στο σταθμό.

β. Νά αποδειχτεί ότι αν αγνοηθεί κάθε άλλο φαινόμενο εκτός από τη στροφή Faraday, μπορεί να ληφθεί σαν μήτρα Mueller του μέσου, που διασχίζει το κύμα κατά τη διαδρομή του ή :

$$M = \begin{bmatrix} 1 & 0 & 0 & 0 \\ 0 & \cos 2\Phi & -\sin 2\Phi & 0 \\ 0 & \sin 2\Phi & \cos 2\Phi & 0 \\ 0 & 0 & 0 & 1 \end{bmatrix}$$

γ. Νά υπολογιστεῖ ἡ ἰσχύς λήψης  $N$  τῆς κεραίας καί νά ἀποδειχτεῖ ὅτι εἶναι ἀνεπηρέαστη ἀπό τή στροφή Faraday, πού προκαλεῖ τό μέσο τῆς διάδοσης.

(Θέμα ἐξετάσεων Δεκεμβρ. 1978)

(Απ. α.) 
$$\Phi = - \frac{N_e e^3 B_0 I}{8 \pi^2 c \epsilon_0 m^2 f^2}$$

γ. 
$$N = \frac{SA}{2}$$

7.7 α. Αναλύοντας τό διάνυσμα Stokes ενός μερικῶς ἑλλειπτικῶς πολωμένου ΗΜ κύματος μέ ἔνταση  $S$ , νά ἀποδειχτεῖ ὅτι τοῦτο μπορεῖ νά ἐκφραστεῖ σάν ἄθροισμα τῶν διανυσμάτων Stokes τριῶν κυμάτων :

- Ἐνός (δεξιόστροφα ἢ ἀριστερόστροφα) κυκλικῶς πολωμένου μέ ἔνταση  $S_c$ .
- Ἐνός γραμμικῶς πολωμένου μέ γωνία πόλωσης  $\alpha = \tau$  (δηλ. κατὰ τόν μέγало ἄξονα τῆς ἑλλειψῆς) καί ἔνταση  $S_l$  καί
- Ἐνός ἐντελῶς ἀπόλωτου μέ ἔνταση  $S_u$ .

β. Νά προσδιοριστεῖ ὁ " βαθμός κυκλικῆς πόλωσης "

$$d_c \equiv \frac{S_c}{S}$$

γ. Νά προσδιοριστεῖ ὁ " βαθμός γραμμικῆς πόλωσης " :

$$d_l \equiv \frac{S_l}{S}$$

δ. Νά προσδιοριστεῖ τό ποσοστό τῆς ἀπόλωτης ἰσχύος :

$$d_u = \frac{S_u}{S}$$

ε. Ποιά σχέση συνδέει τὰ μεγέθη  $d_c$ ,  $d_l$ , καὶ  $d_u$  μεταξύ τους καὶ ποιά τὰ  $d_c$  καὶ  $d_l$  μεταξύ τους ;

(Δύνονται τὰ στοιχεῖα  $S$ ,  $d$  καὶ  $\epsilon$  τοῦ ἀρχικοῦ HM κύματος).

( 'Απ. β.  $d_c = d |\sin 2\epsilon|$

γ.  $d_l = d \cos 2\epsilon$

δ.  $d_u = 1 - d_c - d_l$

ε.  $d_c + d_l + d_u = 1$  καὶ  $d_c^2 + d_l^2 = d^2$  )

## BIBΛΙΟΓΡΑΦΙΑ

Ἡ βιβλιογραφία ἡ σχετική μέ τόν Ἠλεκτρομαγνητισμό εἶναι ἐξαιρετικά ἐκτενής. Περιοριστήκαμε ἐδῶ σέ μερικά μόνο βιβλία, ὅσα θεωρήσαμε ὅτι καλύπτουν ἀρκετά τίς διάφορες ὀψεις τῆς ὕλης τοῦ βιβλίου καθώς καί σέ μερικά κείμενα σιά ἑλληνικά πού θά μπορούσαν νά βοηθήσουν τόν Ἕλληνα σπουδαστή.

COLLIN R.: "Field Theory of Guided Waves" (Mc Graw 1963).

DURNEY C. and JOHNSON C.: "Introduction to Modern Electromagnetism" (Mc Graw 1969).

ELLIOTT R.: "Electromagnetism" (Mc Graw 1966).

JACKSON W.: "Classical Electrodynamics" (J. Wiley).

KRAUS J.: "Radioastronomy" (Mc Graw 1966).

KRAUS J. and CARVER: "Electromagnetism" (Mc Graw 1973).

LANDAU L. et LIFCHITZ: "Théorie du Champ" (Mir Publishers 1966).

PANOFSKY W. and PHILLIPS M.: "Classical Electricity and Magnetism" (Addison-Wesley 1964).

PLONSEY R. and COLLIN R.: "Principles and Applications of Electromagnetic Fields" (Mc Graw 1961).

QUÉMADA D.: "Ondes Dans les Plasmas" (Hermann 1968).

REITZ and MILFORD.: "Foundations of Electromagnetic Theory" (Addison-Wesley).

SCHWARTZ M.: "Principles of Electrodynamics" (Mc Graw 1972).

SOMMERFELD A.: "Electrodynamics" (Ac.Press 1964).

Σέ ελληνική γλώσσα:

ALONSO M. καί FINN E.: "Θεμελιώδης Πανεπιστημιακή Φυσική" Τόμος 2 (Μετάφραση από τούς Λ.Κ.Ρεσβάνη καί Τ.Α. Φίλιππα 1979)

ΒΟΥΔΟΥΡΗ Γ.: "Ηλεκτρομαγνητικά 'Αντηχεία" ("Έκδοση Τ.Ε.Ε. 1968. Μία βελτιωμένη καί συμπληρωμένη έκδοση: "Cavités Electromagnétiques", Dunod 1971).

GRAWFORD F. et al.: "Ηλεκτρισμός-Μαγνητισμός" (Μαθήματα Φυσικής του Πανεπιστημίου του BERKELEY-Τόμος 2) (Μετάφραση του 'Εργαστηρίου Φυσικής του ΕΜΠ, 1978).

ΚΑΡΟΥΜΠΑΛΟΥ Κ.: "Θέματα 'Εφαρμοσμένων Μαθηματικών" (Αθήνα 1968).

ΡΟΪΛΟΥ Μ.: "Ηλεκτρισμός-Μαγνητισμός" (Πανεπιστήμιο Πατρών 1975).

# ΑΛΦΑΒΗΤΙΚΟ ΕΥΡΕΤΗΡΙΟ

## A

*Αέριο		ιδιότητες.....	15-19
ήλεκτρονίων.....	132	ορισμός.....	5
ιονισμένο (βλ. ί- ονισμένο μέσο)		φυσική σημασία..	11-13
πλάσμα (βλ. ίονι- σμένο μέσο)		*Αποκοπή (βλ. συνθή- κη αποκοπής)	
*Ακτινοβολία		*Αποκοπής	
ίσχύος.....	49, 50, 52	συνθήκη.....	93
στοιχειώδους δι- πόλου:		συχνότητα.....	141
- ηλεκτρικού.....	60-67	*Απόλωτο κύμα (βλ. πόλωση)	
- μαγνητικού.....	68-75	*Απώλειες	
*Ακτινοβολίας		σέ μέσο διάδοσης	
(βλ. και πεδίο)		(βλ. διάδοση κύ- ματος)	
*Ανισότροπο μέσο.....	132	*Αριστερόστροφη πό- λωση (βλ. πόλωση)	
(βλ. και ιονισμέ- νο μέσο σέ μαγνη- τικό πεδίο)		*Αρμονικού πεδίου (βλ. έξισώσεις)	
*Ανάδελτα (βλ. τελε- στής).....	7-9		
		B	
*Αντηχεΐο (βλ. Ήλε- κρομαγνητικό άν- τηχεΐο)		Βαθμίδα (Grad).....	4, 5, 7-9, 9-11, 15-18
*Αντίσταση κυματική (βλ. κυματική άν- τίσταση)		έκφραση σέ διά- φορα συστήματα..	17
*Απόκλιση		ιδιότητες.....	15-19
(Divergence).....	4, 5, 7, 11-13, 15-19	ορισμός.....	4
έκφραση σέ διάφο- ρα συστήματα.....	17	φυσική σημασία..	9-11
		Βαθμός πόλωσης (βλ. και πόλωση κύμα- τος).....	169, 172

Βάθος διείσδυσης....	42	σέ κυλινδρικό κυ- ματοδηγό	
Bessel		-τύπου TE.....	113-114
ρίζες.....	191	-τύπου TM.....	111-112
συναρτήσεις.....	185, 186, 189	σέ ορθογώνιο κυ- ματοδηγό	
τροποποιημένες..	187	-τύπου TE.....	91-100
Γ		-τύπου TM.....	101-102
Γραμμική πόλωση (βλ. πόλωση)		σχεδόν διαμήκης..	148-149
Γυρομαγνητική συχνό- τητα (βλ. συχνό- τητα)		σχεδόν εγκάρσια..	148-149
Γυρομαγνητικός συν- τονισμός (βλ. συν- τονισμός)		ταχύτητα φάσης...	104
Grad (βλ. βαθμίδα)...		Διάνυσμα Poynting....	50, 51, 54 (βλ. καί θεώρημα Poynting)
Δ		μικροδυναμικό.....	54
Δείκτης διάθλασης... 146-148		Διάνυσμα του Stokes (βλ. καί πόλωση)...	165
(βλ. καί ιονι- σμένο μέσο)		Διανυσματική ανάλυση (βλ. τελεστές)	
Δεξιόστροφη πόλωση (βλ. πόλωση)		θεωρήματα.....	7
Διάδοση		τυπολόγιο.....	18
διαμήκης..... 147		Διανυσματικός τελε- στής (βλ. καί τε- λεστής).....	4-6, 7-19
επίπεδου κύματος 39-44, 44-46		ανάδελτα.....	7-9, 15
επίπεδου μονο- χρωματικού κύμα- τος..... 39-44		έκφραση σέ ορθο- γώνιο σύστημα....	17
σέ ιονισμένο μέ- σο..... 132-155		ιδιότητες.....	15-16
σέ μέσο μέ μεγά- λη αγωγιμότητα.. 41-44		κύριοι τύποι.....	18
σέ μέσο χωρίς α- πώλειες..... 41		όρισμοί.....	5
		φυσική σημασία...	13-15
		τυπολόγιο.....	17, 18
		Διασποράς εξίσωση (di- spersion relation)	142, 145



Διατήρηση τῆς ἐνέργειας

(βλ. θεώρημα Poynting)

Διαφορική ἐξίσωση

κυλινδρικοῦ κυματοδηγοῦ..... 183-191

Διαφορική ἐξίσωση κύματος (βλ. ἐξισώσεις κύματος)

Διαφορικός τελεστής

(βλ. τελεστής ἢ διανυσματικός τελεστής)

Διηλεκτρική σταθερά (βλ. καί τανυστής)

ἐνεργός..... 139

σχετική..... 140

Δίπολο

ἡλεκτρικό..... 60-67

μαγνητικό..... 68-75

στοιχειῶδες (βλ. καί στοιχειῶδες δίπολο)

Δυναμικά (βλ. Δυναμικό)

Δυναμικό..... 19, 31-35

ἐξισώσεις..... 32-35

ἐξισώσεις γιὰ ἁρμονικά πεδία..... 38-39

καθυστερημένο (retarded)..... 58-60

μὴ ὁμογενεῖς ἐξισώσεις..... 34-35

ὁρισμοί..... 31

στατικό..... 55-56, 56-58

στατικό μονόμετρο.. 55-56

στάτικό διανυσματικό..... 56-58

χρονικά μεταβαλλόμενο..... 58-60

Ἐγκάρσιος (βλ. καί κυματικός τύπος)

ἡλεκτρικός κυματικός τύπος (TE)..... 91-100, 113-114, 120-122, 124-127

μαγνητικός κυματικός τύπος (TM).... 101-102, 111-113, 122-124, 127-130

Εἰδική ἀγωγιμότητα (βλ. τανυστής)

Ἐκτακτη ἀκτίνα..... 147, 149

Ἐκφυλισμένος κυματικός τύπος σέ ἀντηχεῖο..... 124

Ἐλλειπτική πόλωση (βλ. πόλωση)

Ἐνεργός διηλεκτρική σταθερά (βλ. καί τανυστής)..... 139

Ἐξασθένηση κύματος

σέ κυλινδρικό κυματοδηγό..... 114-115

σέ ὀρθογώνιο κυματοδηγό..... 106-107

Ἐξισώσεις

ἁρμονικοῦ πεδίου.. 38-39

βασικὲς τοῦ ἡλεκτρομαγνητισμοῦ (βλ. καί ἐξισώσεις Maxwell)..... 29

ἡλεκτρομαγνητισμοῦ (βλ. ἐξισώσεις Maxwell)

κύματος..... 34-35

μὴ ὁμογενεῖς..... 34-35

Maxwell (βλ. ἐξισώσεις Maxwell)

ὁμογενεῖς.....	35	-πεδριακή κατανομή	129
πεδίου.....	32-39, 36-38, 38-39	-τύπος TE.....	125-127
Ἐξισώσεις Maxwell...	22-23, 24-27, 30	-τύπος TM.....	127-129
γιά ἁρμονικά πε- δία καὶ πηγές....	30	ὀρθογώνιο.....	119-125
δεύτερη.....	25, 30	-πεδριακή κατανομή	125
πίνακας.....	29	-τύπος TE.....	120-122, 124-125
πρώτη.....	24, 30	-τύπος TM.....	122-123
τέταρτη.....	27, 30	Σύζευξη μέ γραμ- μή καὶ δέσμη.....	130
τρίτη.....	26, 30	Θ	
φυσικοὶ νόμοι πού ἀντιστοιχοῦν.....	22-23	θεώρημα	
Ἐξίσωση διασποράς...	142, 145	Gauss.....	7
Ἐξίσωση συνέχειας...	12, 27-29	Poynting.....	47-50, 51-54, 54-55
Ἐπαγωγῆς πεδίο.....	65, 66, 73	Stokes.....	7
Ἐπίπεδο κύμα.....	39, 41	I	
σέ ἰονισμένο μέσο	132-150	Ἰονισμένο μέσο.....	132-149
σέ μαγνητόπλάσμα.	132-150	δείκτης διάθλασης	146-148
σέ μέσο μέ ἀπώ- λειες.....	41-44	διάδοση κύματος (βλ. διάδοση)	
σέ μέσο χωρίς ἀ- πώλειες.....	41	εἰδική ἀγωγιμότη- τα.....	132-139
Εὐκίνησία (βλ. τανυ- στής)		παρουσία πεδίου..	132
Extraordinary) (βλ. ἐκτακτὴ ἀκτίνα)		σταθερά διάδοσης.	143-149
Η		στροφή Faraday (βλ. στροφή)	
Ἡλεκτρικὸ δίπολο (βλ. δίπολο)		τανυστὴς διηλε- κτρικῆς σταθερᾶς.	139-143
Ἡλεκτρομαγνητικὸ Ἀντηχεῖο		τανυστὴς εὐκίνη- σίας.....	132-139
διέγερση.....	130	Ἰσχύς	
κυκλικὸ κυλινδρι- κὸ.....	125-129	ἀκτινοβολία.....	49, 50, 52
		μιγαδική.....	54

Κ		Κυματική αντίσταση	
Καθυστερημένο (βλ. δυναμικό)		κυματοδηγοῦ.....	99, 101,
Καταβόθρα (βλ. πεδίο)		μέσου.....	67, 74
Κοιλότητες (βλ. ἠλεκτρομαγνητικά ἀντηχεῖα)		Κυματικός τύπος ἀντηχείου (ἢ στάσιμος κυματικός τύπος)	
Κυκλοφορία πεδίου (βλ. στροβιλισμό).....	13-14	κυλινδρικοῦ	
Κύμα (βλ. καί κύματος)		- Ἐγκάρσ. ἠλεκ. (TE <sub>n1α</sub> ).....	125-127
ἀπό στοιχειῶδες δίπολο.....	60-67, 68-75	- Ἐγκάρσ. Μαγν. (TM <sub>n1α</sub> ).....	127-129
ἐπίπεδο (βλ. ἐπίπεδο κύμα καί διάδοση)		ὀρθογώνιου	
πολωμένο (βλ. καί πόλωση).....	155-182	- Ἐγκάρσ. ἠλεκ. (TE <sub>mnp</sub> ).....	120-122, 124-125
σέ ἀντηχεῖο (βλ. ἠλεκτρομαγνητικό ἀντηχεῖο)		- Ἐγκάρσ. Μαγν. (TM <sub>mnp</sub> ).....	122-124
σέ κυματοδηγό (βλ. σφαιρικό κύμα)		Κυματικός τύπος κυματοδηγοῦ (ἢ "τρέχοντες" κυματικοί τύποι)	
Κύματος		ἐκφυλισμένος.....	124
διάδοση (βλ. Διάδοση)		- Ἐγκάρσ. ἠλεκ. (TE)	113-114
ἐπίπεδο (βλ. Ἐπίπεδο κύμα)		- Ἐγκάρσ. μαγν. (TM)	111-113
πόλωση (βλ. καί πόλωση).....	155-182	ὀρθογώνιου	
σταθερά (βλ. Σταθερά)		- Ἐγκάρσ. ἠλεκ. (TE)	91-100
τύπος (βλ. Κυματικός τύπος)		- Ἐγκάρσ. μαγν. (TM)	101-102
Κυματάνυσμα.....	44-46, 144-146	Κυματοδηγός	
Κυματαριθμός.....	44, 89	διέγερση.....	118
		εἰσαγωγή.....	84-86
		κυκλικός κυλινδρικός.....	108-119
		- ἔξασθένιση.....	114-115
		- κυματική ἀντίσταση.....	111
		- ὀρικό μήκος κύματος.....	111

-πεδριακή κατανομή..	116	μή ομογενῶν ἐξισώ- σεων.....	55
-τύπος TE.....	113-114	μονοχρωματικοῦ κύ- ματος.....	39-41
-τύπος TM.....	111-113	Laplacien (βλ. Λαπλα- σιανή)	
ὀρθογώνιος.....	87-107	Longitudinal (βλ.διά- δοση διαμήκης)	
-ἐξασθένιση.....	106-107	Lorentz (βλ. Συνθήκη του)	
-κυματική αντίσταση	93-97, 102	M	
-πεδριακή κατανομή..	98, 100	Μαγνητοαντίσταση.....	138
-τύπος TE.....	91-100	Μαγνητόπλασμα (βλ.ίο- νισμένο μέσο)	
-τύπος TM.....	101-102	Μετασχηματισμός πόλω- σης (βλ. μήτρα Mueller)	
σύζευξη.....	118	Μῆκος κύματος	
Coherency (βλ. μήτρα συνεκτικότητας πο- λωμένου κύματος)		διάδοσης σέ κυ- λινδρικό κυματο- δηγό.....	111
Curl (βλ. Στροβιλισμός)		διάδοσης σέ ὀρθογ. κυματοδηγό.....	94
Quasi		ὀρικό (βλ. ὀρικό μῆκος κύματος)	
Longitudinal (βλ. διάδοση σχεδόν δια- μήκης)		Μῆτρα (πολωμένου κύ- ματος) (βλ. καί πόλωση κύματος)	
Transverse (βλ.διά- δοση σχεδόν ἐγκάρ- σια)		κεραίας.....	173-176
Λ		μετασχηματισμοῦ (βλ. Mueller)	
Λαπλασιανή (Laplacien)	6, 9, 15-17	Mueller.....	179-182
ἐκφραση σέ διάφορα συστήματα.....	17	παραστατική.....	173-182
ὀρισμός.....	6	συνεκτικότητας (coherency).....	177
φυσική σημασία.....	15	Μοναδιαῖο διάνυσμα.....	1, 2
Λύση			
γενική, ἐπίπεδου κύ- ματος.....	44-46		
ἐξίσωσης πεδίων....	39-40, 41-44, 44-46		
ἐπίπεδου κύματος...	44-46		

Maxwell (βλ. Ἐξισώσεις  
Maxwell)

Mode (βλ. κυματικός τύ-  
πος)

Mueller (βλ. πόλωση κύ-  
ματος, μήτρα)

## N

### Νόμος

Ampère..... 22

Gauss..... 23

Ohm..... 23

Faraday..... 22

D'Alembert (βλ. τελε-  
στής)..... 35

Divergence (βλ. Ἀπό-  
κλίση)..... 4

## O

Ὀλικά πολωμένο κύμα  
(βλ. πόλωση)

Ὀλική

στροφή Faraday.... 152

Ὀρθογώνιο ἀντηχεῖο  
(βλ. ἡλεκτρομαγνη-  
τικό ἀντηχεῖο)

Ὀρθογώνιος κυματοδη-  
γός (βλ. κυματοδη-  
γός)

Ὀριακές συνθήκες (ἢ  
συνθήκες στά ὅρια) 75-83

εἰδικές περιπτώσεις 81-83

ἐφαπτομενικές συνι-  
στῶσες πεδίων..... 77-80

κάθετες συνιστῶσες  
πεδίων..... 75-77

στήν ἐπιφάνεια με-  
ταξύ διηλεκτρικῶν. 81

στήν ἐπιφάνεια τέ-  
λειων ἀγωγῶν..... 81-83

συνοπτικός πίνακας 83

Ὀριακό μήκος κύματος

σέ κυκλικό ἀντηχεῖο 127, 128

σέ κυλινδρικό κυ-  
ματοδηγό..... 111

σέ ὀρθογώνιο ἀντη-  
χεῖο..... 123

σέ ὀρθογώνιο κυμα-  
τοδηγό..... 93-97,  
102

Ordinary (βλ. τακτική  
ἀκτίνα)

## Π

Παράγοντας σύζευξης κε-  
ραίας-κύματος (βλ.  
σύζευξη καί πόλωση)

Παράμετροι πόλωσης (βλ.  
πόλωση)

Πεδία (βλ. πεδίο)

Πεδιακή κατανομή

κυλινδρικοῦ ἀντη-  
χείου..... 129

κυλινδρικοῦ κυμα-  
τοδηγοῦ..... 116

ὀρθογώνιου ἀντηχεί-  
ου..... 120,  
124-125

ὀρθογώνιου κυματο-  
δηγοῦ..... 98, 100

Πεδίο

ἀκτινοβολούμενο ἀπό  
δίπολο (βλ. δίπολο)

ἀστροβίλο..... 14

γνώση του.....	19	διάνυσμα του Stokes	165
διανυσματικό.....	4-6, 19-20	έλλειπτική.....	155, 156
έξισώσεις.....	32-35, 36-38	επίδραση γραμμικής διάταξης (βλ. μή- τρα Mueller)	
έπαγωγής.....	66	κανονικοποιημένες παράμετροι.....	166, 170
κατανομή (βλ. πε- διακή κατανομή)		κεραίας.....	173-175
καταβόθρα.....	11-12	κυκλική.....	155, 156, 157
κυκλοφορία (βλέπε στροβιλισμός)		μερική.....	162-163, 167-172
κυματικού τύπου TE, TM (βλ. κυματικός τύπος)		μήτρα (παραστατική)	173-182
κυματοδηγοῦ (βλ. κυ- ματοδηγός)		μήτρα κεραίας.....	173-176
μιγαδική περιγραφή	19	μήτρα Mueller.....	179-182
μονόμετρο.....	4-6, 19-20	μήτρα συνεκτικότη- τας.....	177
όριακές συνθήκες..	75-83	ολική.....	155-161
πηγή.....	11-12	παράμετροι.....	156, 158-160, 162-174
παλωμένο.....	155-182	παράμετροι Stokes..	162-174
πότε τό γνωρίζουμε τέλεια.....	19	Παραστατική μήτρα..	173-182
στροβιλό.....	14	Poincaré.....	158
σωληνοειδές.....	12	σύζευξη κεραίας-κύ- ματος.....	174-175
φασικό (phasor)...	20-21	σφαίρα του Poincaré	158-160
χρονική περιγραφή.	19-21	Stokes παράμετροι	162-174
Πλάσμα (βλ. ιονισμένο μέσο)		τελείως απόλυτο....	162, 167-172
Πόλωση κύματος		τυχαῖα.....	162
ἀπόκριση κεραίας..	160	Προσαρμογή πόλωσης	
ἀριστερόστροφη....	158, 160	κύματος-κεραίας....	174, 175
βαθμός πόλωσης....	169, 172	Πυκνότητες ρεύματος	
γεωμετρική περιγρα- φή.....	156, 159	ἀπόκρισης.....	32
γραμμική.....	155, 157	ἐπιβολῆς.....	32
δεξιόστροφη.....	158, 160	Poincaré (σφαίρα) (βλ. πόλωση)	



Poynting (βλ. θεώρημα καί διάνυσμα)		Στροφή Faraday.....	150-154
P		για σχεδόν διαμή- κη διάδοση.....	151
Retarded Potential (βλ. δυναμικό κα- θυστερημένο)		για σχεδόν εγκάρ- σια διάδοση.....	153
Rotation		ολική.....	152
Faraday (βλ. καί στροφή).....	150-154	Στροβιλισμός (curl, ro- tation).....	5, 6, 8, 13-15, 15-19
(βλ. στροβιλι- σμός).....	5	έκφραση σέ διάφορα συστήματα.....	17
Σ		ιδιότητες.....	15-19
Σταθερά		όρισμός.....	5
διάδοσης.....	40, 41, 42, 93, 111, 141, 143-149	φυσική σημασία....	13-15
διηλεκτρική στα- θερά.....	139-143	Σύζευξη πόλωση κεραί- ας-κύματος.....	174-175
έξασθένησης.....	40, 41, 42	(βλ. καί πόλωση)	
φάσης.....	40, 41, 42, 44, 103, 142, 149-152	Συνεκτικότητας (βλ. μήτρα)	
Στάσιμοι κυματικοί τύποι (βλ. κυμα- τικός τύπος άν- τηχείου)		Συνθήκης αποκοπής όρθογώνιου κυματο- δηγοῦ.....	93
Στάσιμοι κυματικοί τύποι (βλ. κυμα- τικός τύπος άν- τηχείου)		Συνθήκη τοῦ Lorentz...	33, 34
Στοιχείο		Συνιστώσες πεδίου όριακές (βλ. όρια- κές συνθήκες)	
έπιφάνειας.....	3, 4	Συνθήκες στά όρια (βλ. όριακές συνθήκες)	
μήκους.....	3, 4	Συντελεστές	
όγκου.....	3, 4	κλίμακας.....	1, 3
Στοιχειῶδες δίπολο		Συντελεστής έξασθένη- σης, (βλ. καί έ- ξασθένηση κύματος)	107, 114
ήλεκτρικό.....	60-67	Συντεταγμένες	
μαγνητικό.....	68-75	γραμμές.....	1, 2, 3, 4
		έπιφάνειες.....	1, 2, 3, 4

Συντονισμός		Stokes παράμετροι (βλ. πόλωση κύματος)	
γυρομαγνητικός...	137		
Σύστημα συντεταγμένων	1	T	
έκφραση διανυσμα- τικών τελεστών (βλ. καί τελεστής)....	17	Τακτική ακτίνα.....	147, 149
καμπυλόγραμμων...	1-4	Τανυστής	
καρτεσιανό.....	2	άγωγιμότητας.....	136
κυλινδρικό.....	2	διηλεκτρικής στα- θεράς.....	139-143
όρθογώνιο.....	1	είδικης άγωγιμό- τητας.....	136-138
σφαιρικό.....	3	εύκινησίας.....	132-139
Συχνότητα		"κυματανύσματος".	144
γυρομαγνητική....	135	Ταχύτητα	
κρίσιμη.....	141	κύματος.....	35
όρική (βλ. Συχνό- τητα όρική)		όμάδας.....	105
πλάσματος.....	139, 141	φάσης.....	104-105
συντονισμού άντη- χείου.....	124	Τελεστής (βλ. καί δια- νυσματικός τελε- στής).....	4-6, 7-19
Συχνότητα όρική		ανάδελτα.....	7-9
κυλινδρικού κυμα- τοδηγοῦ.....	112, 113, 115	έκφραση σέ όρθο- γώνιο σύστημα....	17
όρθογώνιου κυμα- τοδηγοῦ.....	103	ιδιότητες.....	15-16
συντονισμού άντη- χείου.....	124, 127	κύριοι τύποι.....	18
Σφαίρα τοῦ Poincaré (βλ. πόλωση)		Nabla (ή Hamilton)	8
Σφαιρικό κύμα		D'Alembert.....	35
άπό ήλεκτρικό δί- πολο.....	65, 66	Del (ή Hamilton).	8
άπό μαγνητικό δί- πολο.....	73	όλοκληρωτικός....	5
Σχετική διηλεκτρική σταθερά (βλ. καί τανυστής).....	140	όρισμοί.....	5
		φυσική σημασία...	13-15
		τυπολόγιο.....	17, 18
		Hamilton (ή del ή nabla).....	8
		TE (βλ. κυματικός τύ- πος κυματοδηγοῦ, άντηχείου)	



TM (βλ. κυματικός τύπος  
κυματοδηγοῦ, ἀντη-  
χείου)

Τρέχοντες κυματικοί τύ-  
ποι (βλ. κυματικοί  
τύποι κυματοδηγῶν)

Τύπος κυματικός (βλ.  
κυματικός τύπος κυ-  
ματοδηγῶν, ἀντηχεί-  
ων)

Transverse (βλ. διάδοση  
ἐγκάρσια)

#### Φαινόμενο

Faraday (βλ. Στροφή)

Hall..... 138

Faraday Rotation (βλ. καί  
στροφή Faraday)..... 150-154

Phasor (βλ. καί φασικό  
πεδίο)..... 20-21

#### X

Hall (βλ. φαινόμενο)



